

PROYECTO CONSTRUCTIVO DE UN HANGAR PARA MANTENIMIENTO Y REPARACIONES DE AVIONES COMERCIALES EN EL AEROPUERTO DE VALENCIA

TRABAJO FIN DE MASTER

AUTOR

ÓSCAR CATALÁN JARQUE

DIRECTOR

DAVID HERNANDEZ FIGUEIRIDO

CASTELLÓN, ABRIL 2019

ÍNDICE GENERAL

1. MEMORIA.....	5
2. ANEJOS A LA MEMORIA.....	63
3. PLIEGO DE CONDICIONES.....	563
4. PRESUPUESTO.....	613
5. PLANOS.....	623

CAPÍTULO I

MEMORIA

ÍNDICE MEMORIA

1. OBJETIVO.....	9
2. ALCANCE.....	10
3. ANTECEDENTES.....	11
4. SITUACIÓN.....	13
5. NORMATIVA Y REFERENCIAS.....	15
5.1. Servidumbres de aeródromo.....	15
5.2. Servidumbres de las instalaciones radioeléctricas aeronáuticas.....	16
5.3. Disposiciones legales y normas aplicadas.....	16
5.4. Bibliografía.....	17
6. REQUISITOS DE DISEÑO.....	18
6.1. Aviones.....	18
6.2. Condiciones para la realización de mantenimientos y reparaciones.....	19
7. ACCIONES EN LA ESTRUCTURA.....	20
7.1. Acciones permanentes.....	20
7.2. Acciones variables.....	20
7.3. Climatología e hidrología.....	30
8. PROGRAMAS UTILIZADOS.....	32
9. ANÁLISIS DE ALTERNATIVAS.....	34
10. RESULTADOS FINALES.....	36
10.1. Descripción del hangar.....	36
10.2. Cerramientos.....	37
10.3. Correas.....	38
10.4. Pórtico interior.....	40
10.5. Pórtico frontal.....	41
10.6. Pórtico trasero.....	43
10.7. Pórtico número 2 y 20.....	44
10.8. Unión pórtico frontal y trasero con pórticos 2 y 20.....	46
10.9. Viga perimetral.....	47
10.10 Viga contra viento.....	48
10.11. Sistema de arriostramiento de la fachada lateral.....	48
10.12. Placas de anclaje.....	49
10.13. Cimentación.....	55
11. ESTUDIO DE SEGURIDAD Y SALUD.....	58
12. INFORME MEDIOAMBIENTAL	59

13. ESTUDIO DE VIABILIDAD ECONÓMICA.....	60
14. PRESUPUESTO RESUMIDO	61

1. OBJETIVO

En el presente proyecto se va a realizar el diseño y cálculo de una estructura metálica dedicada como hangar para aviones comerciales ubicado en una parcela dentro del aeropuerto de Valencia. Actualmente el aeropuerto de Valencia únicamente dispone de 3 hangares para aviones comerciales por lo que hace necesaria la construcción de este nuevo hangar.

Se van a determinar los parámetros principales de diseño así como su configuración funcional para que se puedan llevar a cabo actividades de mantenimiento y reparaciones. El hangar está diseñado para aviones de grandes dimensiones, en concreto para los modelos Boeing 777, 787 y 747 y Airbus A350, 340 y 330, cuyas envergaduras oscilan entre los 60 y 68,5 metros y longitudes entre los 56,7 y 76,4 metros. Por lo que las dimensiones del hangar van a ser de 90 de anchura, 100 de longitud y altura en cumbrera de 25.

En el proyecto se compararán diferentes alternativas en cuanto a disposición de los perfiles a utilizar comprobando su viabilidad técnica y coste para obtener la estructura que mejor se adapte a las condiciones de trabajo del hangar.

Para su realización se ha utilizado el software CYPE y AutoCAD siendo imprescindibles para este trabajo debido a la cantidad de elementos y cargas a calcular.

2. ALCANCE

El alcance del proyecto parte de una parcela del aeropuerto de Valencia situada al lado de los actuales hangares donde se pretende construir el nuevo hangar para aviones comerciales.

En el proyecto se realizará el diseño y cálculo de la estructura metálica con todos sus componentes; pilares, vigas, jácenas, vigas de atado... y el dimensionamiento de las placas de anclaje y la cimentación del hangar.

Para comenzar con el diseño, se tendrá que estudiar las características de los aviones que va a albergar para así conocer su geometría. Una vez conocida esta, se comenzará con el dimensionamiento de los perfiles así como la disposición de estos en la estructura para soportar las acciones. Finalmente se dimensionarán las placas de anclaje y la cimentación, todo ello bajo el Código Técnico de la Edificación.

Para completar el proyecto se realizará un estudio de viabilidad económica donde se demostrará la rentabilidad de hacer esta inversión, un informe medioambiental sobre la afectación del hangar a la zona y finalmente un estudio de seguridad y salud para asegurar que este se va a realizar ante condiciones que minimicen el riesgo de accidente.

3. ANTECEDENTES

El sector aeronáutico está creciendo considerablemente a causa del abaratamiento de este medio de transporte y la necesidad de ser utilizado debido a la globalización. Por consiguiente el aeropuerto de Valencia ha crecido considerablemente, en la *figura 1* se observa el crecimiento que ha tenido este en cuanto al número de pasajeros entre 2015 y 2017 según datos ofrecidos por Aena. El crecimiento en 2018 ha sido del 15,2% en cuanto al número de pasajeros y de un 11,5% en número de vuelos gestionados, siendo este el cuarto aeropuerto con mayor crecimiento de Europa. Se pronostica que el aeropuerto de Valencia continuará en crecimiento según análisis realizados por Aena.

	2013		2014		2015		2016		2017	
Mes del Año	Pasajeros	%	Pasajeros	%	Pasajeros	%	Pasajeros	%	Pasajeros	%
Enero	263.449	-8,0%	255.252	-3,1%	271.106	6,2%	307.672	13,5%	367.262	19,4%
Febrero	264.110	-10,1%	256.963	-2,7%	274.590	6,9%	327.713	19,3%	364.414	11,2%
Marzo	357.993	-2,6%	322.761	-9,8%	360.219	11,6%	421.244	16,9%	464.297	10,2%
Abril	412.636	-3,7%	416.132	0,8%	447.396	7,5%	467.849	4,6%	560.691	19,8%
Mayo	411.055	-0,4%	407.300	-0,9%	446.415	9,6%	514.986	15,4%	589.146	14,4%
Junio	428.017	-2,3%	433.405	1,3%	477.915	10,3%	534.761	11,9%	623.279	16,6%
Julio	502.805	-4,2%	496.281	-1,3%	548.187	10,5%	627.667	14,5%	717.932	14,4%
Agosto	530.313	-3,4%	535.048	0,9%	598.759	11,9%	679.406	13,5%	754.508	11,1%
Septiembre	449.702	-1,8%	446.894	-0,6%	489.652	9,6%	565.311	15,5%	657.702	16,3%
Octubre	419.166	3,2%	423.352	1,0%	462.774	9,3%	537.817	16,2%	639.180	18,8%
Noviembre	297.029	2,7%	309.060	4,1%	343.119	11,0%	405.426	18,2%	509.456	25,7%
Diciembre	276.409	-2,7%	293.029	6,0%	329.565	12,5%	402.907	22,3%	489.360	21,5%
Total	4.612.684	-2,7%	4.595.477	-0,4%	5.049.697	9,9%	5.792.759	14,7%	6.737.227	16,3%

Figura 1. Evolución del número de pasajeros del aeropuerto de Valencia.

El crecimiento de la zona suele estar estrechamente relacionadas con el crecimiento y evolución del tráfico aéreo. Como se observa en la *figura 2*, el PIB per cápita en la Comunidad Valenciana está creciendo considerablemente en los últimos años, recuperándose de la caída sufrida por la grave crisis económica.

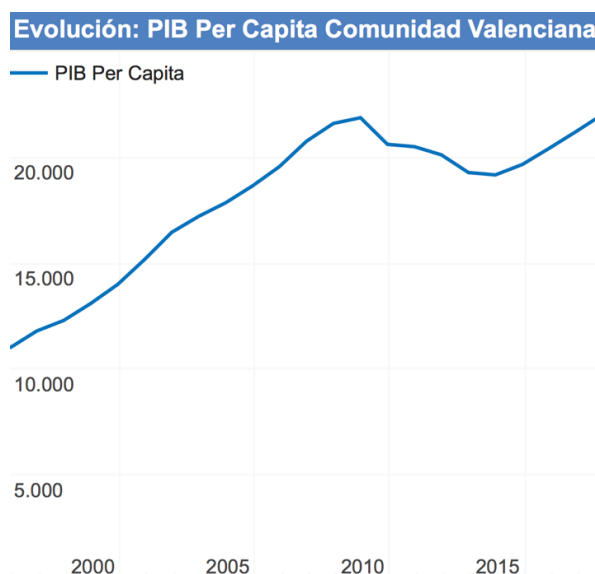


Figura 2. PIB por cápita Comunidad Valenciana.

Actualmente el aeropuerto de Valencia existen un conjunto de infraestructuras destinadas al tráfico aéreo, en concreto cuenta con 3 hangares destinados a aviones comerciales, siendo estos propiedad de AirNostrum, Cessna y Symbol. También cuenta con 4 hangares destinados para avionetas, helicópteros y jets, todos ubicados en la zona sur del aeropuerto. En la *figura 3* se pueden observar los hangares actuales del aeropuerto de Valencia.



Figura 3. Hangares aeropuerto de Valencia.

A pesar de la existencia de estos hangares, los técnicos no disponen de suficiente espacio para realizar operaciones de mantenimiento y reparaciones a todo el tráfico aéreo del aeropuerto y se ven obligados a realizar estas tareas fuera de este aeropuerto. Además compañías aeronáuticas están estudiando realizar inspecciones de aviones en este aeropuerto, estas inspecciones serían tipo C, donde se requiere desmontar partes del avión por lo que deben realizarse dentro de un hangar.

La construcción de un nuevo hangar para el mantenimiento y reparación de aviones comerciales queda justificado debido al crecimiento del aeropuerto y transporte aéreo, y las necesidades de las compañías aéreas de tener estas instalaciones para poder realizar sus actividades técnicas de manera eficaz en el aeropuerto de Valencia. En la figura 4 se puede observar el mayor hangar del aeropuerto explotado por la compañía AIR NOSTRUM.



Figura 4. Hangar AIR NOSTRUM del aeropuerto de Valencia.

4. SITUACIÓN.

La parcela de implantación del hangar proyectado se encuentra en el extremo sur del aeropuerto de Valencia, ubicado a 8,5 kilómetros de la ciudad de Valencia y en el término municipal de Manises. El aeropuerto se encuentra en una llanura cuya altitud media es de 74 metros sobre el nivel del mar. En la *figura 5* se puede observar la situación del aeropuerto de Valencia.

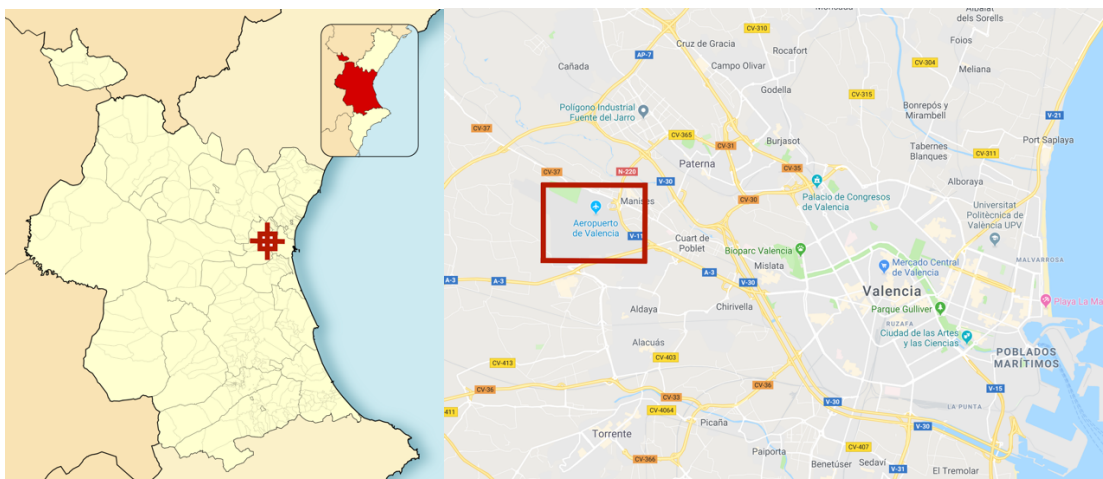


Figura 5. Situación aeropuerto de Valencia.

En concreto la parcela donde se construirá el hangar se encuentra en el límite sur del aeropuerto, junto a la autovía A3 y a 50 metros al oeste de los actuales hangares. En la parcela de estudio no existe ninguna edificación, pero sí existe en la zona frontal de esta una carretera interior aeroportuaria para vehículos y una pista de viraje para el tráfico de aviones, lo que permitirá el tráfico de estos hasta el interior del hangar. En las *figuras 6 y 7* se puede observar la situación de la parcela dentro del aeropuerto de Valencia.



Figura 6. Situación de la parcela dentro del aeropuerto de Valencia.



Figura 7. Detalle de la parcela dentro del aeropuerto de Valencia.

En cuanto al acceso a la parcela desde las principales urbes, esta se realiza por el sur a través de la autovía A3 (Carretera de Valencia) y posteriormente por la CV-410 si la ruta es en sentido sur o por la CV-33 si la ruta es en sentido norte. Finalmente se entra por la zona de servicios sur del aeropuerto de Valencia y prosiguiendo por la carretera de interior que bordea el aeropuerto.

En la *figura 8* se observa el acceso a la parcela desde la autovía A3 en sentido Sur.



Figura 8. Acceso a la parcela.

5. NORMATIVA Y REFERENCIAS.

Debido a que la parcela se encuentra en el recinto del aeropuerto de Valencia, esta debe atenerse a las restricciones y normativa aeronáuticas marcadas por el plan director del aeropuerto de Valencia. En este caso son las servidumbres aeronáuticas del aeropuerto de Valencia.

Las servidumbres que afectan en este caso al hangar proyectado son las servidumbres de aeródromo y servidumbres de las instalaciones radioeléctricas aeronáuticas.

Además de esta normativa, se debe cumplir con la propia para el cálculo de estructuras metálicas.

5.1. Servidumbres de aeródromo.

Las servidumbres de aeródromo que limitan la altura de la parcela son las provenientes de la pista 12-30. En la *figura 9* se muestran las coordenadas geográficas, coordenadas UTM y altitud sobre el nivel del mar de las servidumbres de aeródromo para la pista 12-30 en la parcela del aeropuerto.

	GEOGRÁFICAS WGS84		U.T.M. ED 50 (Huso 30)		ALTITUD
	LATITUD (N)	LONGITUD (W)	X	Y	(metros)
PR	39° 29' 21,5"	0° 28' 53,8"	716.684	4.374.315	61
Umbral 12	39° 29' 46,9"	0° 30' 00,4"	715.072	4.375.052	73
Umbral 30	39° 29' 00,9"	0° 27' 59,8"	717.994	4.373.716	52

Figura 9. Punto de referencia y umbrales para el cálculo de servidumbres de aeródromo.

En la *figura 10* se puede observar el perfil longitudinal de la pista.

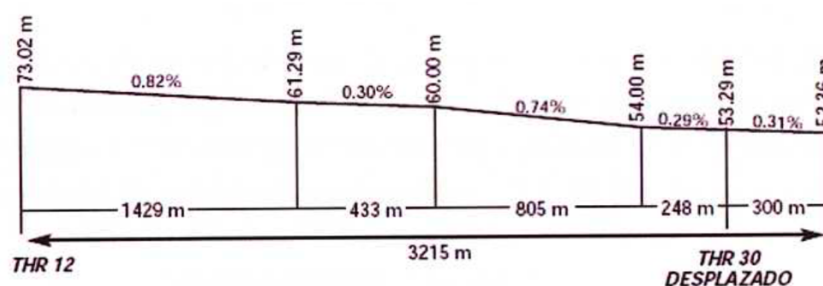


Figura 10. Perfil longitudinal de la pista.

La limitación determinante en este caso corresponde a la zona de transición que según el plano de servidumbres de aeródromo, esta tiene una pendiente de 14,3%. La parcela se encuentra a 1,15 kilómetros por lo que la altura limitante es de 164,45 metros, la diferencia entre alturas es de 2 metros ya que la altura de la pista perpendicular a parcela es de 60 metros y la altura de la parcela es de 62. Por lo que la limitación de

altura por servidumbres de aeródromo es de 162,45 metros, lo que no afectará a la altura proyectada del hangar.

5.2. Servidumbres de las instalaciones radioeléctricas aeronáuticas.

El hangar se debe diseñar para que no afecte al correcto funcionamiento de los diversos elementos de navegación, que en este caso son los receptores/emisores del sistema radioeléctrico del aeropuerto y el sistema de localización

Los emisores/receptores más cercanos están situados al Norte de la parcela, en concreto a 780 metros de la parcela. Estos emisores son el DME VLC cuya altura respecto al nivel del mar es de 66 metros y el VOR VLC cuya altura respecto al nivel del mar es de 64 metros, ambos con pendientes del 3%. Por lo que la limitación de altura es de 23,4 metros, pero debido a la diferencia entre cotas respecto al nivel del mar de 2 metros, ya que la parcela se encuentra a 62 metros, la altura máxima de construcción del hangar es de 25,4 metros.

El siguiente emisor/receptor más cercanos se encuentra a 1200 metros, en concreto el C.Rec_ACC y cuya altura sobre el nivel del mar es de 63 metros con una pendiente del 5% por lo que la altura limitante para esta parcela sería de 61 metros.

Se han comprobado los emisores más cercanos de pendiente 3% y únicamente podría ser limitante también el emisor/receptor GP IVC por su pendiente del 2% y su altura respecto al nivel del mar de 54 metros. Este está situado a 1700 metros de la parcela por lo que la altura limitante de este sería de 26 metros.

5.3. Disposiciones legales y normas aplicadas.

Debido a la naturaleza del proyecto, el principal documento es el Código técnico de la edificación (CTE) que constituye el marco normativo por el que se regulan las exigencias básicas de calidad que deben cumplir los edificios, incluidas sus instalaciones, para satisfacer los requisitos básicos de seguridad y habitabilidad, en desarrollo de lo previsto en la disposición final segunda de la Ley 38/1999, de 5 de noviembre, de Ordenación de la Edificación, en adelante LOE.

Se han considerado algunos de los documentos que configuran el marco regulatorio del CTE referentes al presente proyecto, entre los cuales se encuentran:

- Documento Básico Seguridad Estructural (SE); cuyo objeto es establecer reglas y procedimientos que aseguren que el edificio tiene un comportamiento estructural adecuado frente a las acciones e influencias previsibles a las que pueda estar sometido durante su construcción y uso previsto.
- Documento Básico Acciones en la Edificación (SE-AE); establece la determinación de las diferentes acciones que actúan sobre los edificios, para verificar el cumplimiento de los requisitos de seguridad estructural y aptitud al

servicio, establecidos en el DB-SE.

- Documento Básico Acero (SE-A); destinado a verificar la seguridad estructural de los elementos metálicos realizados con acero en edificación, excluyendo aspectos propios de otros campos de la construcción. Se refiere únicamente a la seguridad en condiciones adecuadas de utilización, incluidos los aspectos relativos a la durabilidad, de acuerdo con el DB-SE.
- Documento Básico Cimientos (SE-C); interviene en la seguridad estructural, capacidad portante y aptitud al servicio, de los elementos de cimentación y, en su caso, de contención de todo tipo de edificios, en relación con el terreno, independientemente de lo que afecta al elemento propiamente dicho, que se regula en los Documentos Básicos relativos a la seguridad estructural de los diferentes materiales o la Instrucción Española del Hormigón Estructural (EHE).

5.4. Bibliografía.

- Código técnico de la edificación (CTE) .
- Temario de la asignatura SJA-009. Construcción y Arquitectura Industrial.
- Web empresa termiser sobre inspecciones en aviación:
<https://www.termiser.com/mantenimiento-de-aviones-comerciales/>
- Tarifas Aena:
[http://www.aena.es/csee/ccurl/775/927/Gu%C3%ADa%20de%20Tarifas%202019%20AIRM%20\(Ed%20marzo\).pdf](http://www.aena.es/csee/ccurl/775/927/Gu%C3%ADa%20de%20Tarifas%202019%20AIRM%20(Ed%20marzo).pdf)
- Plan director del aeropuerto de Valencia:
<https://www.fomento.gob.es/areas-de-actividad/aviacion-civil/politicas-aeroportuarias/integracion-territorial-aeroportuaria/planes-directores/plan-director-del-aeropuerto-de-valencia>
- Plano servidumbres aeronáuticas aeropuerto de Valencia
https://www.fomento.gob.es/recursos_mfom/pdf/5A265565-7B96-4A8C-9A37-489455D7107E/99057/Plano_521.pdf
- Web de constructalia:
<https://constructalia.arcelormittal.com/es>
- Foro sólo arquitectura:
<https://www.soloarquitectura.com>
- Sede electrónica del catastro:
<https://www1.sedecatastro.gob.es/cartografia/mapa.aspx>
- Web de Gestair sobre mantenimiento en aviación:
<http://www.gestair.com/es>

6. REQUISITOS DE DISEÑO.

Las características de diseño del hangar, deben posibilitar las operaciones de reparación y mantenimiento, entre las cuales la revisión tipo C en aviones comerciales de gran envergadura. Este tipo de operaciones requiere desmontar partes del avión, por lo que deben realizarse dentro de un hangar con el espacio suficiente.

6.1. Aviones.

En concreto el presente hangar va a ser diseñado para 6 modelos de aviones, los modelos Boeing 777, 787 y 747, Airbus A350, 340 y 330. Aunque también tiene la posibilidad de ser usado por aviones de tamaños inferiores si en algún momento se requiere.

En la *tabla 1* se detalla de las principales medidas a tener en cuenta para el diseño del hangar de cada uno de los modelos su serie de mayores dimensiones además en la figura 11 se observan las características de estos aviones.

Modelo	Longitud(m)	Envergadura (m)	Altura de cola (m)
Boeing 777	73,9	64,8	18,5
Boeing 747	76,4	68,5	19,4
Boeing 787	68,3	60	16,8
Airbus A350	73,88	64,8	17,05
Airbus A340	75,30	63,45	17,3
Airbus A330	63,6	60,3	17,4

Tabla 1. Dimensiones de los aviones operativos en el hangar.

Las dimensiones mínimas con que debe cumplir el hangar para permitir la entrada de los aviones debe ser de una longitud de 75,3 metros, distancia libre entre pilares de 68,5 metros y altura libre de 19,4 metros.



Figura 11. Aviones operativos en el hangar.

6.2 Condiciones para la realización de mantenimientos y reparaciones.

El hangar proyectado tiene como misión ser utilizado para la realización de mantenimiento y reparaciones de aviones. En concreto la revisión tipo C va a ser la revisión más exhaustiva que se va a realizar en este hangar, siendo para ello necesario requerir de gran espacio extra para depositar algunas piezas y la operatividad de la maquinaria utilizada para ello.

Las revisiones realizadas en los aviones se pueden dividir en 4 categorías, A, B, C y D. El presente hangar está diseñado para realizar todas estas revisiones a excepción de la D.

Revisiones tipo A, se realizan cada 400-600 horas y son necesarias entre 50 y 70 horas hombre, normalmente realizadas en los hangares con una duración mínima de 10 horas.

Revisiones tipo B, aproximadamente se realizan cada 6-8 meses y son necesarias entre 160 y 180 horas hombres, su duración oscila entre 1 y 3 días.

Revisiones tipo C, se realizan cada 20-24 meses, cuando la aeronave cumple con un número determinado de horas de vuelo. Son mucho más profundas que las revisiones tipo B, puesto que requieren la revisión y desmontaje de un número de piezas mucho mayor. Por ello dicho control requiere, también un mayor espacio que para las revisiones A y B. El tiempo necesario para completar las revisiones tipo C es de 1-2 semanas con un esfuerzo de alrededor de 1600 horas- hombre.

En el caso de las revisiones tipo D, se requiere la realización de un chequeo completo de todo el avión, desmontando prácticamente la totalidad de la aeronave, estas no se podrán realizar en el hangar proyectado debido a la necesidad de mayor espacio.

Para la realización de la revisión tipo C, la más exhaustiva que se va a realizar en el hangar, se debe de disponer de espacio para poder desmontar y revisar las diferentes partes de la aeronave. Para ello van a ser utilizados elevadores y pequeñas grúas que deberán tener facilidad de operar en todo el hangar, siendo su radio de trabajo de entre 6 y 9 metros.

Atendiendo a las dimensiones del hangar y las condiciones para realizar las operaciones de reparación y mantenimiento. El hangar tendrá unas dimensiones de 100 metros de longitud y anchura de 90 metros. Debido a la restricción de las servidumbres aeronáuticas, este tendrá una altura en cumbrera de 25 metros.

7. ACCIONES EN LA ESTRUCTURA.

7.1. Acciones permanentes.

Se consideran acciones permanentes como aquellas que actúan en todo instante sobre la estructura con posición constante. En este caso los elementos que generan peso propio serán los elementos estructurales, (pilares, correas, jácenas...), los cerramientos y la carpintería.

En cuanto al peso propio de la estructura, este se estima como $Luz(m)/100kN/m^2$, por lo que este es de $0,9kN/m^2$, el panel sándwich utilizado genera una carga $0,095kN/m^2$ y la estimación para las correas es de $0.05kN/m^2$. Lo que suma un total de $1,045kN/m^2$.

7.2. Acciones variables.

Sobrecarga de uso

Se considera sobrecarga de uso al peso de todo lo que puede gravitar sobre el edificio por razón de uso. Por lo general, los efectos de la sobrecarga de uso pueden simularse por la aplicación de una carga distribuida uniformemente.

La cubierta del hangar únicamente será accesible para conservación, es decir realizar tareas de mantenimiento y reparaciones de la misma. En este caso se trata de una cubierta ligera sobre correas, por lo que su categoría será G1 de acuerdo con la *tabla 2*. Esta sobrecarga de uso no se considerará concomitante con el resto de las acciones variables.

Categoría de uso		Subcategorías de uso		Carga uniforme [kN/m ²]	Carga concentrada [kN]
A	Zonas residenciales	A1	Viviendas y zonas de habitaciones en, hospitales y hoteles	2	2
		A2	Trasteros	3	2
B	Zonas administrativas			2	2
C	Zonas de acceso al público (con la excepción de las superficies pertenecientes a las categorías A, B, y D)	C1	Zonas con mesas y sillas	3	4
		C2	Zonas con asientos fijos	4	4
		C3	Zonas sin obstáculos que impidan el libre movimiento de las personas como vestíbulos de edificios públicos, administrativos, hoteles; salas de exposición en museos; etc.	5	4
		C4	Zonas destinadas a gimnasio u actividades físicas	5	7
		C5	Zonas de aglomeración (salas de conciertos, estadios, etc)	5	4
D	Zonas comerciales	D1	Locales comerciales	5	4
		D2	Supermercados, hipermercados o grandes superficies	5	7
E	Zonas de tráfico y de aparcamiento para vehículos ligeros (peso total < 30 kN)			2	20 ⁽¹⁾
F	Cubiertas transitables accesibles sólo privadamente ⁽²⁾			1	2
G	Cubiertas accesibles únicamente para conservación ⁽³⁾	G1 ⁽⁷⁾	Cubiertas con inclinación inferior a 20°	1 ^{(4) (6)}	2
			Cubiertas ligeras sobre correas (sin forjado) ⁽⁵⁾	0,4 ⁽⁴⁾	1
		G2	Cubiertas con inclinación superior a 40°	0	2

Tabla 2. Valores característicos sobrecarga de uso (CTE).

Acción del viento

Las acciones dinámicas producidas por el viento se representan a través de las fuerzas estáticas equivalentes.

La acción de viento es, en general, una fuerza perpendicular a la superficie de cada punto expuesto, o una presión estática, q_e , que puede expresarse como:

$$q_e = q_b \cdot c_e \cdot c_p$$

Donde :

q_b la presión dinámica del viento, pueden obtenerse los valores más precisos en el Anejo D del CTE, en función del emplazamiento geográfico.

c_e el coeficiente de exposición, variable con la altura del punto considerado, en función del grado de aspereza del entorno donde se encuentra ubicada la construcción.

c_p el coeficiente eólico o de presión, dependiente de la forma y orientación de la superficie respecto al viento, y en su caso, de la situación del punto respecto a los bordes de esa superficie; un valor negativo indica succión.

Presión dinámica del viento, q_b

La presión dinámica del viento se puede obtener como:

$$q_b = 0,5 \cdot \delta \cdot v_b^2$$

Siendo δ la densidad del aire y v_b el valor de la velocidad básica del viento. La velocidad básica del viento se obtiene de un mapa geográfico en que se divide España en 3 zonas con tres valores diferentes como se observa en la *figura 12*.



Figura 12. Valor básico de la velocidad del viento (CTE).

En concreto para la zona del aeropuerto de Valencia, zona A, la velocidad básica del viento es de 26 m/s, por lo tanto q_b será:

$$q_b = 0,5 \cdot 1,25 \cdot 26 = 0,43 \text{ kN/m}^2$$

Coeficiente de exposición, c_e

El coeficiente de exposición tiene en cuenta los efectos de las turbulencias originadas por el relieve y la topografía del terreno. Para el caso de alturas sobre el terreno no mayores de 200 metros puede determinarse con la expresión:

$$c_e = F \cdot (F + 7 \cdot k)$$

$$F = k \cdot \ln (\max (z, Z) / L)$$

Donde F, k y L son parámetros característicos del tipo del entorno que se pueden obtener de la tabla 3.

Grado de aspereza del entorno	Parámetro		
	k	L (m)	Z (m)
I Borde del mar o de un lago, con una superficie de agua en la dirección del viento de al menos 5 km de longitud	0,15	0,003	1,0
II Terreno rural llano sin obstáculos ni arbolado de importancia	0,17	0,01	1,0
III Zona rural accidentada o llana con algunos obstáculos aislados, como árboles o construcciones pequeñas	0,19	0,05	2,0
IV Zona urbana en general, industrial o forestal	0,22	0,3	5,0
V Centro de negocios de grandes ciudades, con profusión de edificios en altura	0,24	1,0	10,0

Tabla 3. Valores del coeficiente de exposición.

Se considerará un grado de aspereza IV puesto que esta situado junto con otros hangares, similar a una zona industrial y de la tabla se obtiene:

$$k = 0,22$$

$$L = 0,3\text{m}$$

$$Z = 5\text{m}$$

Por tanto,

$$F = k \cdot \ln (\max (z, Z) / L) = 0,22 \cdot \ln (\max (25,5) / 0,3) = 0,973$$

$$c_e = F \cdot (F + 7 \cdot k) = 0,973 \cdot (0,973 + 7 \cdot 0,22) = 2,445$$

Coeficiente de presión, c_p

Los vientos que inciden sobre el hangar pueden tener diferentes direcciones por ello para el cálculo del coeficiente de presión se tendrá en cuenta si este es frontal o lateral. En el CTE se establecen tablas para el cálculo del coeficiente de presión para naves con formas canónicas.

a) Viento exterior.

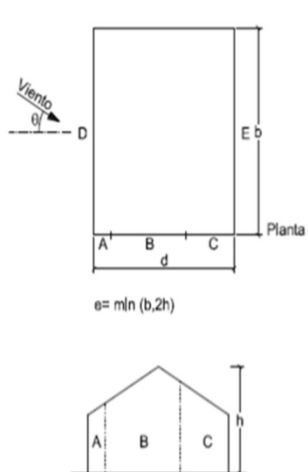
Debido a la incidencia del viento, se debe calcular el coeficiente de presión exterior en las 4 orientaciones perpendiculares, pero debido a la simetría del hangar únicamente se va a calcular en la dirección 0° y 90° .

Se calculará en cada dirección del viento la influencia sobre:

- Paramentos verticales.
- Cubierta.

- Viento 0° , paramentos verticales

Se determinará el coeficiente de presión exterior según los datos proporcionados por la *tabla 4* del código técnico de la edificación, definida por el área de influencia y la esbeltez.



A (m ²)	h/d	Zona (según figura), $-45^\circ < \theta < 45^\circ$				
		A	B	C	D	E
≥ 10	5	-1,2	-0,8	-0,5	0,8	-0,7
	1	"	"	"	"	-0,5
	$\leq 0,25$	"	"	"	0,7	-0,3
5	5	-1,3	-0,9	-0,5	0,9	-0,7
	1	"	"	"	"	-0,5
	$\leq 0,25$	"	"	"	0,8	-0,3
2	5	-1,3	-1,0	-0,5	0,9	-0,7
	1	"	"	"	"	-0,5
	$\leq 0,25$	"	"	"	0,7	-0,3
≤ 1	5	-1,4	-1,1	-0,5	1,0	-0,7
	1	"	"	"	"	-0,5
	$\leq 0,25$	"	"	"	"	-0,3

Tabla 4. Coeficientes de presión en paramentos verticales (CTE).

El área de influencia se calcula de acuerdo a la *figura 13* donde la altura es de 22 metros y la curvatura (r) de 5 metros. El área de influencia es de $110 \text{ m}^2 > 10 \text{ m}^2$.

En cuanto a la esbeltez (h/d) esta es de $22/90 = 0,24$.

También se define e como el mínimo entre $(100, 2 \cdot 22) = 44$

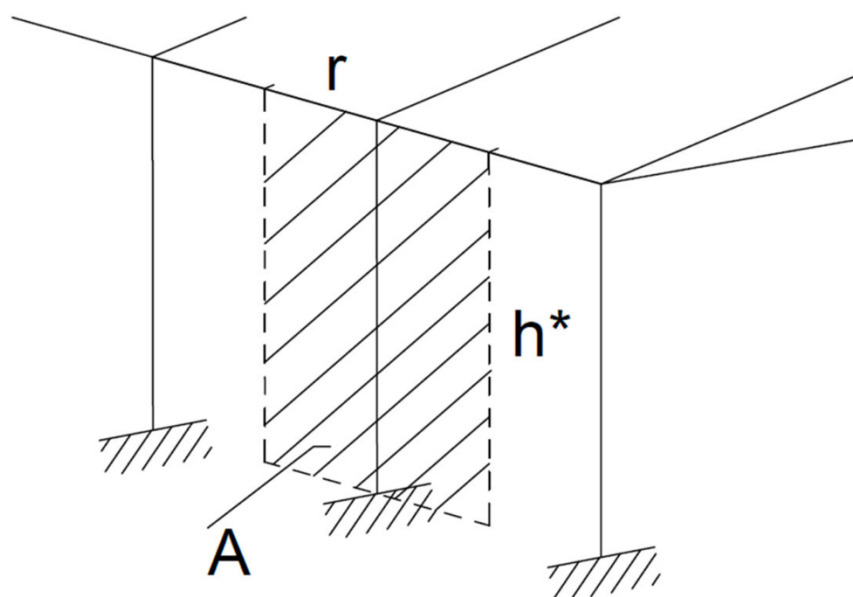


Figura 13. Área de influencia paramentos verticales.

Los coeficientes de presión en paramentos verticales con viento a 0° se observan en la *tabla 5*.

	A	B	C	D	E
ce	-1,2	-0,8	-0,5	0,7	-0,3

Tabla 5. Coeficientes de presión en paramentos verticales, viento 0° .

- Viento 90° , paramentos verticales

De manera análoga para el viento a 0° se calcula para 90° utilizando la tabla 7.2.3.

En este caso el área de influencia es también de 110 m^2 , superior a 10 m^2 .

La esbeltez es de $22/100 = 0,22$.

El parámetro e se obtiene como el mínimo entre $(90, 2 \cdot 22) = 44 \text{ m}$

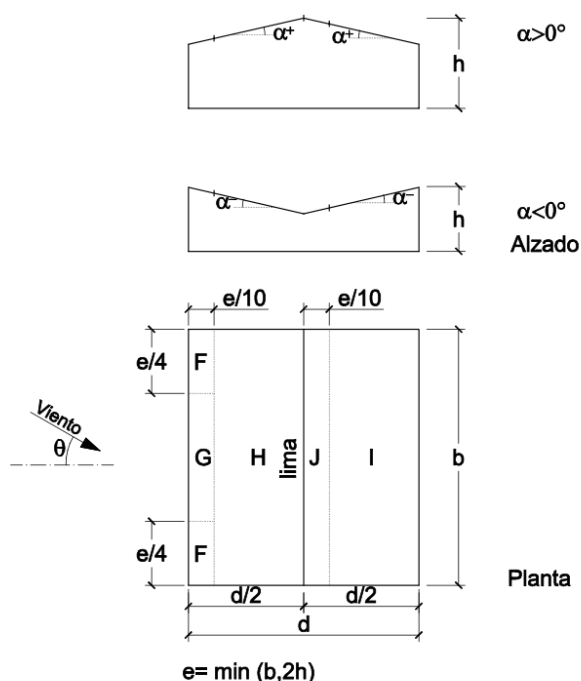
Los coeficientes de presión en paramentos verticales con viento a 90° se observan en la *tabla 6*.

	A	B	C	D	E
ce	-1,2	-0,8	-0,5	0,7	-0,3

Tabla 6. Coeficientes de presión en paramentos verticales, viento 90° .

- Viento 0°, cubierta.

La pendiente de la cubierta del hangar es de 5,07°, por lo que se considera cubierta a dos aguas. Para el cálculo del coeficiente de presión en cubiertas a dos aguas, se utilizará la *tabla 7* obtenida del CTE.



Pendiente de la cubierta α	A (m ²)	Zona (según figura)				
		F	G	H	I	J
-45°	≥ 10	-0,6	-0,6	-0,8	-0,7	-1
	≤ 1	-0,6	-0,6	-0,8	-0,7	-1,5
-30°	≥ 10	-1,1	-0,8	-0,8	-0,6	-0,8
	≤ 1	-2	-1,5	-0,8	-0,6	-1,4
-15°	≥ 10	-2,5	-1,3	-0,9	-0,5	-0,7
	≤ 1	-2,8	-2	-1,2	-0,5	-1,2
-5°	≥ 10	-2,3	-1,2	-0,8	0,2	0,2
	≤ 1	-2,5	-2	-1,2	0,2	0,2
5°	≥ 10	-1,7	-1,2	-0,6	-0,6	0,2
	≤ 1	-2,5	-2	-1,2	-0,6	0,2
15°	≥ 10	-0,9	-0,8	-0,3	-0,4	-1
	≤ 1	0,2	0,2	0,2	+0,0	+0,0
30°	≥ 10	-0,5	-0,5	-0,2	-0,4	-0,5
	≤ 1	0,7	0,7	0,4	0	0
45°	≥ 10	-0,0	-0,0	-0,0	-0,2	-0,3
	≤ 1	0,7	0,7	0,6	+0,0	+0,0
60°	≥ 10	-0,0	-0,0	-0,0	-0,2	-0,3
	≤ 1	0,7	0,7	0,7	-0,2	-0,3
75°	≥ 10	0,8	0,8	0,8	-0,2	-0,3
	≤ 1	0,8	0,8	0,8	-0,2	-0,3

Tabla 7. Coeficientes de presión en cubierta, viento 0° (CTE).

En este caso el área de influencia se calcula como la longitud, 45 metros, por la cirugía, 5 metros. Siendo el área de influencia de 225 m^2 , mayor que 10 m^2 . En la *figura 14* se puede observar el área de influencia en cubierta.

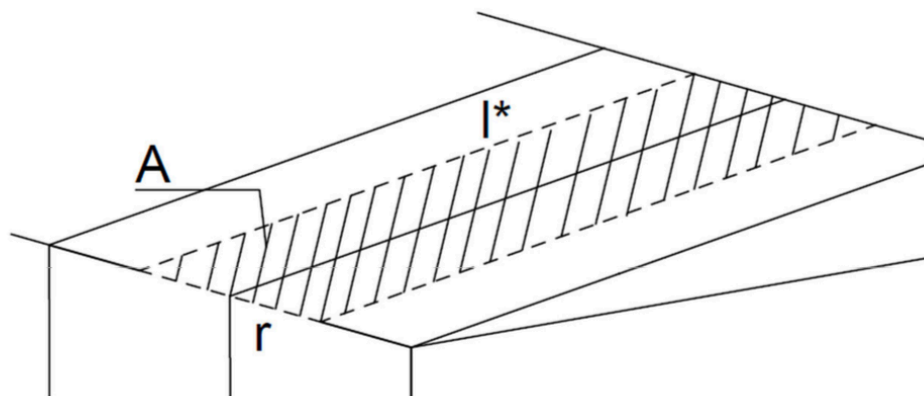


Figura 14. Área de influencia cubierta.

Por lo que el coeficiente de exposición se detalla en la *tabla 8* para esta condición de viento sobre el hangar, definiéndose dos situaciones posibles.

Para este caso e se define como $\min(100, 2 \cdot 22) = 44 \text{ m}$

	F	G	H	I	J
Ce (sit 1)	-1,7	-1,2	-0,6	-0,6	0,2
Ce (sit 2)	+ 0,0	+ 0,0	+ 0,0	-0,6	-0,6

Tabla 8. Coeficientes de presión en cubierta, viento 0° .

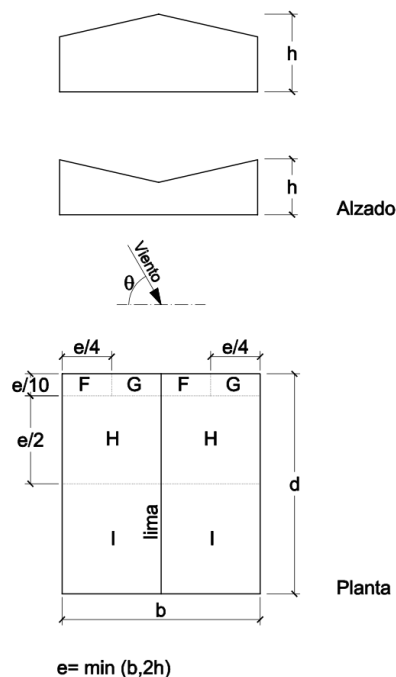
- Viento 90° , cubierta.

De manera análoga para vientos de 0° se calcula para vientos a 90° , utilizando para ello la *tabla 9*.

El área de influencia es la longitud, 45 metros por la cirugía, 5 metros siendo el área de influencia de 225 m^2 , mayor que 10 m^2 .

Por lo que el coeficiente de explosión se detalla en la *tabla 10* para esta condición de viento sobre el hangar, definiéndose dos situaciones posibles.

Para este caso “e” se define como $\min(90, 2 \cdot 22) = 44 \text{ m}$.



Pendiente de la cubierta α	A (m ²)	Zona (según figura), $-45^\circ \leq \theta \leq 45^\circ$			
		F	G	H	I
-45°	≥ 10	-1,4	-1,2	-1,0	-0,9
	≤ 1	-2,0	-2,0	-1,3	-1,2
-30°	≥ 10	-1,5	-1,2	-1,0	-0,9
	≤ 1	-2,1	-2,0	-1,3	-1,2
-15°	≥ 10	-1,9	-1,2	-0,8	-0,8
	≤ 1	-2,5	-2,0	-1,2	-1,2
-5°	≥ 10	-1,8	-1,2	-0,7	-0,6
	≤ 1	-2,5	-2,0	-1,2	-1,2
5°	≥ 10	-1,6	-1,3	-0,7	-0,6
	≤ 1	-2,2	-2,0	-1,2	-0,6
15°	≥ 10	-1,3	-1,3	-0,6	-0,5
	≤ 1	-2,0	-2,0	-1,2	-0,5
30°	≥ 10	-1,1	-1,4	-0,8	-0,5
	≤ 1	-1,5	-2,0	-1,2	-0,5
45°	≥ 10	-1,1	-1,4	-0,9	-0,5
	≤ 1	-1,5	-2,0	-1,2	-0,5
60°	≥ 10	-1,1	-1,2	-0,8	-0,5
	≤ 1	-1,5	-2,0	-1,0	-0,5
75°	≥ 10	-1,1	-1,2	-0,8	-0,5
	≤ 1	-1,5	-2,0	-1,0	-0,5

Tabla 9. Coeficientes de presión en cubierta viento 90° (CTE).

	F	G	H	I
Ce	-1,6	-1,3	-0,7	-0,6

Tabla 10. Coeficientes de presión en cubierta, viento 90°.

b) Viento interior.

En el caso de que los huecos de la nave, superen el 30% de la superficie de la nave, estos se tendrán en cuenta, en el caso del hangar, se supera este porcentaje.

En la *tabla 11* aparecen los coeficientes de presión según la esbeltez y el área de huecos en zonas de succión respecto al área total de huecos del edificio.

HUECOS A BARLOVENTO		HUECOS A SOTAVENTO										
Esbeltez en el plano paralelo al viento	Área de huecos en zonas de succión respecto al área total de huecos del edificio	0,0	0,1	0,2	0,3	0,4	0,5	0,6	0,7	0,8	0,9	1
≤1		0,7	0,7	0,6	0,4	0,3	0,1	0,0	-0,1	-0,3	-0,4	-0,5
≥4		0,5	0,5	0,4	0,3	0,2	0,1	0,0	-0,1	-0,2	-0,3	-0,3

Tabla 11. Coeficientes de presión viento interior.

Como se ha calculado anteriormente, la esbeltez en el plano paralelo al viento es igual a $25/100 = 0,25$, por lo que es menor que 1.

El área del hueco en zona de succión será la puerta del hangar con un área de 1764m^2 , siendo el área total de los huecos del hangar de 1952m^2 . Por lo que el coeficiente es $1764/1952=0,9$.

Para el caso de viento interior $c_e = -0,4$.

Nieve

La distribución y la intensidad de la carga de nieve sobre una cubierta depende del clima del lugar, del tipo de precipitación, del relieve del entorno, de la forma del edificio o de la cubierta, de los efectos del viento, y de los intercambios térmicos en los paramentos exteriores.

Para el cálculo del valor de carga de nieve por unidad de superficie en proyección horizontal, q_n , puede tomarse:

$$q_n = \mu \cdot s_k$$

Siendo:

μ coeficiente de forma de cubierta.

s_k el valor característico de la carga de nieve sobre un terreno horizontal.

El coeficiente de forma tiene el valor de 1 para cubiertas con inclinación menor o igual que 30° como es el caso del hangar. Estos datos se describen en el punto 2 del subepígrafe 3.5.3 del CTE-DB-SE-AE.

En cuanto al valor de carga de nieve se puede obtener de la *figura 15*, donde se obtiene que el aeropuerto se encuentra en la zona 5. Posteriormente en la *tabla 12* se

obtiene la sobrecarga de nieve, conociendo que la altitud de la parcela es de 62 metros sobre el nivel del mar e interpolando.

$$\frac{200-0}{0,3-0,2} = \frac{200-62}{0,3-x} \rightarrow x = 0,23 \text{ kN/m}^2$$

$$q_n = \mu \cdot s_k = 1 \cdot 0,23 = 0,23 \text{ kN/m}^2$$



Figura 15. Mapa zonas climáticas de invierno.

Altitud (m)	Zona de clima invernal, (según figura E.2)						
	1	2	3	4	5	6	7
0	0,3	0,4	0,2	0,2	0,2	0,2	0,2
200	0,5	0,5	0,2	0,2	0,3	0,2	0,2
400	0,6	0,6	0,2	0,3	0,4	0,2	0,2
500	0,7	0,7	0,3	0,4	0,4	0,3	0,2
600	0,9	0,9	0,3	0,5	0,5	0,4	0,2
700	1,0	1,0	0,4	0,6	0,6	0,5	0,2
800	1,2	1,1	0,5	0,8	0,7	0,7	0,2
900	1,4	1,3	0,6	1,0	0,8	0,9	0,2
1.000	1,7	1,5	0,7	1,2	0,9	1,2	0,2
1.200	2,3	2,0	1,1	1,9	1,3	2,0	0,2
1.400	3,2	2,6	1,7	3,0	1,8	3,3	0,2
1.600	4,3	3,5	2,6	4,6	2,5	5,5	0,2
1.800	-	4,6	4,0	-	-	9,3	0,2
2.200	-	8,0	-	-	-	-	-

Tabla 12. Sobrecarga de nieve en un terreno horizontal.

Acciones térmicas

La temperatura ambiente exterior somete a los edificios y a sus elementos a deformaciones y cambios geométricos. Estas dependen de las condiciones climáticas del lugar, la orientación y de la exposición del edificio, las características de los materiales constructivos y de los acabados de los revestimientos.

El CTE en el DB referido a las acciones en edificación, expresa en edificios con elementos estructurales de hormigón o acero pueden no considerarse las acciones térmicas cuando se dispongan juntas de dilatación de forma que no existan elementos continuos de mas de 40m de longitud. Por ello, para este caso se tendrán en cuenta las acciones térmicas.

7.3. Climatología e hidrología.

El hangar va a estar sometido a una serie de fenómenos atmosféricos que deben tenerse en cuenta tanto por la estructura del propio hangar como pueda ser el acero o el hormigón utilizado así como por la actividades que se van a llevar a cabo.

En la tabla 13 se observa la velocidad del viento en las diferentes direcciones, datos recogidos entre el período 1995-2016. De la siguiente tabla destaca la predominancia de vientos entre 1 y 16 nudos y rara vez se superan los 33 nudos, también destaca la presencia de vientos 40°-120° y 240°-330°.

Dirección del viento	Velocidad del viento en nudos (Kt.)													
	Calma	1-3	4-6	7-10	11-16	17-21	22-27	28-33	34-40	41-47	48-55	56-63	64-100	Total
Calma	5,37	0,00	0,00	0,00	0,00	0,00	0,00	0,00	0,00	0,00	0,00	0,00	0,00	5,37
0°	0,00	5,92	0,13	0,01	0,00	0,00	0,00	0,00	0,00	0,00	0,00	0,00	0,00	6,06
10°	0,00	0,28	0,27	0,09	0,03	0,00	0,00	0,00	0,00	0,00	0,00	0,00	0,00	0,67
20°	0,00	0,35	0,39	0,15	0,04	0,00	0,00	0,00	0,00	0,00	0,00	0,00	0,00	0,93
30°	0,00	0,43	0,58	0,22	0,08	0,00	0,00	0,00	0,00	0,00	0,00	0,00	0,00	1,31
40°	0,00	0,42	0,76	0,43	0,17	0,01	0,00	0,00	0,00	0,00	0,00	0,00	0,00	1,79
50°	0,00	0,34	0,86	0,62	0,25	0,02	0,00	0,00	0,00	0,00	0,00	0,00	0,00	2,08
60°	0,00	0,35	0,96	0,68	0,27	0,01	0,00	0,00	0,00	0,00	0,00	0,00	0,00	2,28
70°	0,00	0,38	1,25	1,19	0,33	0,01	0,00	0,00	0,00	0,00	0,00	0,00	0,00	3,16
80°	0,00	0,43	1,59	1,89	0,49	0,00	0,00	0,00	0,00	0,00	0,00	0,00	0,00	4,41
90°	0,00	0,45	1,10	1,66	0,39	0,00	0,00	0,00	0,00	0,00	0,00	0,00	0,00	3,60
100°	0,00	0,27	0,75	1,20	0,20	0,00	0,00	0,00	0,00	0,00	0,00	0,00	0,00	2,43
110°	0,00	0,25	0,63	1,15	0,24	0,00	0,00	0,00	0,00	0,00	0,00	0,00	0,00	2,26
120°	0,00	0,34	0,99	1,78	0,50	0,00	0,00	0,00	0,00	0,00	0,00	0,00	0,00	3,61
130°	0,00	0,33	0,99	1,40	0,34	0,00	0,00	0,00	0,00	0,00	0,00	0,00	0,00	3,06
140°	0,00	0,30	0,83	0,61	0,11	0,00	0,00	0,00	0,00	0,00	0,00	0,00	0,00	1,86
150°	0,00	0,27	0,54	0,22	0,03	0,00	0,00	0,00	0,00	0,00	0,00	0,00	0,00	1,06
160°	0,00	0,20	0,24	0,10	0,01	0,00	0,00	0,00	0,00	0,00	0,00	0,00	0,00	0,54
170°	0,00	0,15	0,18	0,04	0,00	0,00	0,00	0,00	0,00	0,00	0,00	0,00	0,00	0,37
180°	0,00	0,23	0,22	0,03	0,01	0,00	0,00	0,00	0,00	0,00	0,00	0,00	0,00	0,49
190°	0,00	0,18	0,18	0,03	0,00	0,00	0,00	0,00	0,00	0,00	0,00	0,00	0,00	0,39
200°	0,00	0,23	0,22	0,05	0,00	0,00	0,00	0,00	0,00	0,00	0,00	0,00	0,00	0,50
210°	0,00	0,23	0,27	0,12	0,02	0,00	0,00	0,00	0,00	0,00	0,00	0,00	0,00	0,65
220°	0,00	0,25	0,33	0,25	0,07	0,00	0,00	0,00	0,00	0,00	0,00	0,00	0,00	0,91
230°	0,00	0,31	0,39	0,38	0,19	0,02	0,00	0,00	0,00	0,00	0,00	0,00	0,00	1,29
240°	0,00	0,46	0,67	0,71	0,54	0,09	0,01	0,00	0,00	0,00	0,00	0,00	0,00	2,49
250°	0,00	0,72	1,01	1,13	0,99	0,26	0,05	0,01	0,00	0,00	0,00	0,00	0,00	4,17
260°	0,00	1,18	1,44	1,20	1,13	0,40	0,12	0,02	0,00	0,00	0,00	0,00	0,00	5,48
270°	0,00	2,26	1,89	0,88	0,93	0,41	0,14	0,02	0,00	0,00	0,00	0,00	0,00	6,52
280°	0,00	2,48	1,81	0,60	0,73	0,36	0,13	0,02	0,00	0,00	0,00	0,00	0,00	6,12
290°	0,00	2,33	1,58	0,46	0,39	0,16	0,05	0,01	0,00	0,00	0,00	0,00	0,00	4,98
300°	0,00	2,30	1,49	0,45	0,30	0,09	0,03	0,00	0,00	0,00	0,00	0,00	0,00	4,67
310°	0,00	1,80	1,80	0,53	0,26	0,07	0,03	0,00	0,00	0,00	0,00	0,00	0,00	4,50
320°	0,00	1,30	2,11	0,56	0,28	0,09	0,04	0,00	0,00	0,00	0,00	0,00	0,00	4,39
330°	0,00	0,95	1,36	0,39	0,23	0,09	0,04	0,00	0,00	0,00	0,00	0,00	0,00	3,05
340°	0,00	0,53	0,63	0,19	0,18	0,08	0,02	0,00	0,00	0,00	0,00	0,00	0,00	1,63
350°	0,00	0,40	0,27	0,09	0,10	0,02	0,01	0,00	0,00	0,00	0,00	0,00	0,00	0,90
Total	5,37	29,60	30,75	21,46	9,82	2,21	0,67	0,09	0,01	0,00	0,00	0,00	0,00	99,99

Fuente: Instituto Nacional de Meteorología.

Tabla13. Intensidad y dirección del viento aeropuerto de Valencia.

En cuanto a las precipitaciones, destaca el clima seco de esta zona, aunque tal y como se observa en la *tabla 14* se han producido lluvias muy intensas en periodos muy cortos de tiempo como es la precipitación en octubre de 1971 que en 1 día cayeron 187 mm, los datos recogidos en esta tabla se corresponden al periodo entre 1971-2010.

Destacar que la probabilidad de otros fenómenos como granizo o nieve es muy baja, siendo la última vez que nevó en esta zona 1960.

Mes	Prec. mensual media (mm)	Prec. mensual máxima (mm)	Prec. mensual mínima (mm)	Prec. diaria máxima (mm)	Fecha prec diaria máxima (mm)
Enero	38	133	0	72	22/01/1987
Febrero	32	112	0	85	26/02/1980
Marzo	34	148	1	78	20/03/1974
Abril	38	118	2	48	18/04/1982
Mayo	36	95	0	32	06/05/1996
Junio	20	101	0	68	04/06/1973
Julio	14	126	0	123	15/07/1990
Agosto	19	126	0	83	27/08/1982
Septiembre	49	275	0	176	04/09/1989
Octubre	74	374	2	187	06/10/1971
Noviembre	54	196	0	89	08/11/1971
Diciembre	50	187	0	91	13/12/1991

Fuente: Instituto Nacional de Meteorología.

Tabla 14. Precipitaciones en el aeropuerto de Valencia.

Las temperaturas del aeropuerto de Valencia son símbolo de un clima cálido, con una media de máximas entorno a los 30°C y unas mínimas de 5°C, siendo pocos los días que la temperatura baja de los 0°C como se observa en la figura 16.

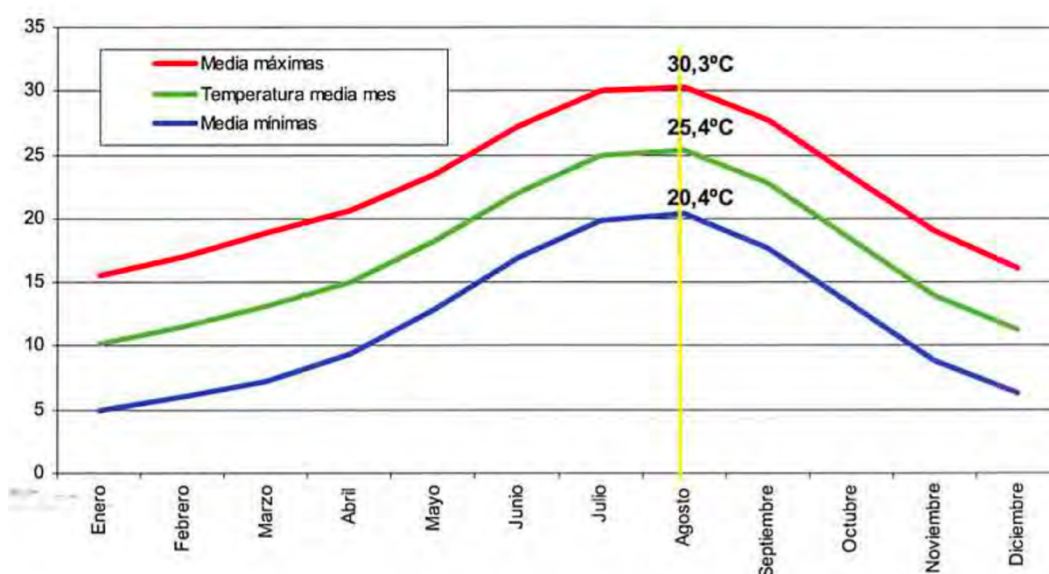


Figura 16. Temperaturas en el aeropuerto de Valencia.

8. PROGRAMAS UTILIZADOS.

En el presente proyecto se han utilizado diversos softwares que han facilitado su realización. Estos han sido programas de diseño y cálculo.

8.1. Generador de Pórticos.

CYPE Ingenieros está compuesto de diferentes módulos, uno de los cuales es el Generador de Pórticos. Este módulo permite crear la geometría de los pórticos e introducir las cargas de peso propio, sobrecarga de uso, viento y nieve que hay sobre cada uno de ellos. También se logra el dimensionamiento de las correas de cubierta y laterales.

En el programa se pueden generar naves de tipologías diferentes como son a dos aguas o a un agua que a partir de esto se pueden crear varios tipos de cubiertas como pórtico rígido y celosías entre otras.

Finalmente el Generador de Pórticos, con las cargas añadidas y las dimensiones de las correas definidas permite exportar el número de pórticos deseados al módulo CYPE 3D que será el siguiente módulo utilizado en el proyecto.

8.2.CYPE 3D.

Este módulo está enfocado al cálculo de estructuras en tres dimensiones que en este caso serán barras de acero, incluyendo la cimentación (encepados, zapatas y vigas de atado) además del sistemas de arriostramiento y el diseño de las placas de anclaje.

Con los datos obtenidos del Generador de Pórticos se procede a añadir las barras que faltan para completar la estructura. El siguiente paso es agrupar las barras con sus vinculaciones que tienen los distintos nudos así como asignar límites de flecha y las betas de pandeo de cada una de las barras.

El último paso será describir los perfiles de cada grupo de barras y realizar el cálculo, también más tarde se dimensionarán las cimentaciones.

Una vez finalizados los cálculos y todas las barras cumplen las diferentes comprobaciones, CYPE 3D permite la obtención de los resultados en forma de listados además de los planos del hangar.

8.3. Generador de Precios.

El Generador de Precios es otro módulo de CYPE Ingenieros, el cual va a ser utilizado para generar el presupuesto del hangar. En el Generador de Precios es una base de datos con los costes ajustados al máximo con la realidad incluyendo tanto productos de fabricantes como productos genéricos.

8.4. AutoCAD.

El último software utilizado será AutoCAD, en concreto este será utilizado para la realización de los planos. Se utiliza este software ya que CYPE 3D genera los planos utilizando formatos de archivo que pueden ser abiertos y modificados por este programa ya que todos los planos deben ser modificados y adaptados a la normativa además de ser estéticos y de fácil comprensión.

9. ANÁLISIS DE ALTERNATIVAS.

Determinados los requerimientos y necesidades del presente proyecto, se ha llevado a cabo un análisis de alternativas para establecer el diseño y las funcionalidades básicas del hangar.

Se plantean dos diferentes tipologías estructurales en cuanto a los pilares del hangar, la primera utilizando una viga doble T de canto variable y la otra opción es utilizando pilares en celosía con perfiles tubulares.

Para realizar esta comparativa, se ha realizado un análisis estructural del pórtico 8 del hangar utilizando en cada caso las tipologías antes descritas con el fin de determinar los perfiles necesarios y por consiguiente el peso de estos. En ambos casos se ha utilizado jácena en celosía tipo Pratt.

En el primer caso se ha utilizado para los pilares viga doble T con canto variable en base de 1100 mm y 1400 mm en cabeza como puede observarse en la *figura 17*. Este perfil tiene un canto de ala de 350 mm y espesores de alma y ala de 15 mm tal y como se observa en la *figura 18*. Con este perfil se ha conseguido un aprovechamiento de resistencia de 78,65% y un peso de 226,08 Kg/m.

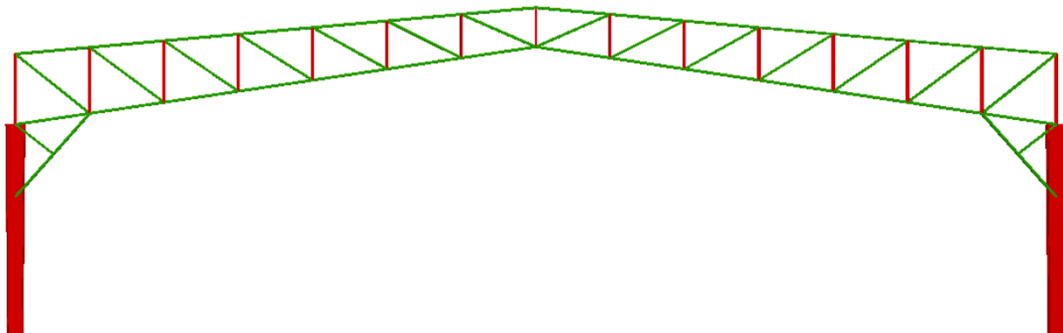


Figura 17. Pórtico con pilares en doble T con canto variable.

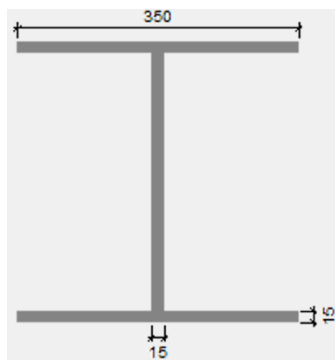


Figura 18. Detalle pilar en doble T con canto variable.

La segunda opción planteada ha sido utilizando ,p, como se observa en la figura 19. Con este perfil se ha conseguido un aprovechamiento máximo de 81,43% y un peso de cada una de las barras de 36,43 Kg/m, lo que supone un peso total del pilar de 145,68 Kg/m.

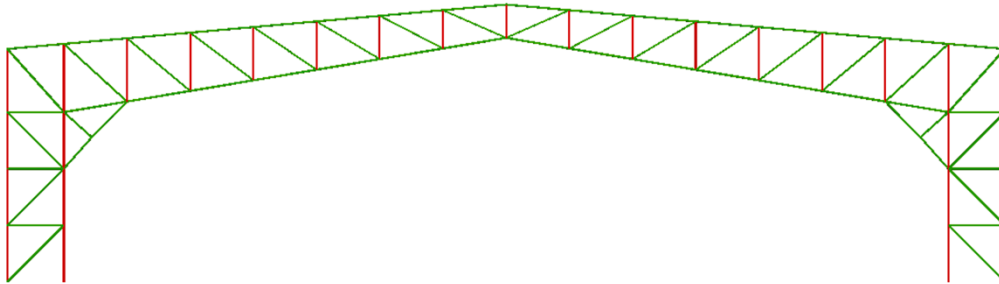


Figura 19. Pórtico con pilares en celosía.

Una vez descritas ambas soluciones, se observa la diferencia de peso entre ambas opciones, utilizando pilares en doble T de canto variable se obtiene un peso lineal de 226,08 Kg/m mientras que utilizando pilares en celosía se obtiene un peso de 145,68 Kg/m. Debido a la gran diferencia de peso se ha decidido por la construcción del hangar utilizando pórticos con pilares en celosía.

10. RESULTADOS FINALES.

10.1. Descripción del hangar.

La solución final adoptada ha sido un hangar con unas dimensiones exteriores de 100 metros de longitud por 90 metros de ancho y 25 de altura en cumbrera con una cubierta a dos aguas. De esta manera se han conseguido unas dimensiones interiores útiles de 98 metros de longitud 79.8 metros de ancho y 22 de altura en cumbrera.

La estructura está formada por 21 pórticos en celosía tipo Pratt con perfiles tubulares de diferentes medidas y espesores distanciados con una cirugía de 5 metros. Se pueden diferenciar 4 tipos de pórticos distinguiendo el pórtico de fachada, pórtico trasero, pórticos interiores y pórticos 2 y 20, donde cada uno de ellos cuenta con unas características diferentes con el fin de soportar las cargas a las que están sometidos.

Debido a la fuertes acciones a las que están sometidos los pórticos frontal y trasero, estos se han unido mediante una estructura tipo Pratt a los pórticos 2 y 20 para formar un pórtico con estructura tridimensional capaz de resistir estos esfuerzos.

También se ha utilizado el sistema de arriostramiento y el sistema contraviento de la nave utilizando elementos constructivos como cruces de San Andrés y vigas Pratt. Cada cierto número de pórticos se añade un sistema contraviento con la intención de recordar este efecto.

Otra característica del hangar ha sido la utilización de viga perimetral en cumbrera debido a las características de luz del hangar que requerían de la unión entre pórticos en la cumbrera asegurando la rigidez de este. También se ha añadido viga perimetral entre los pilares de los pórticos y la jácena inferior para evitar el pandeo de estos. En las *figuras 20 y 21* se puede observar la estructura del hangar.

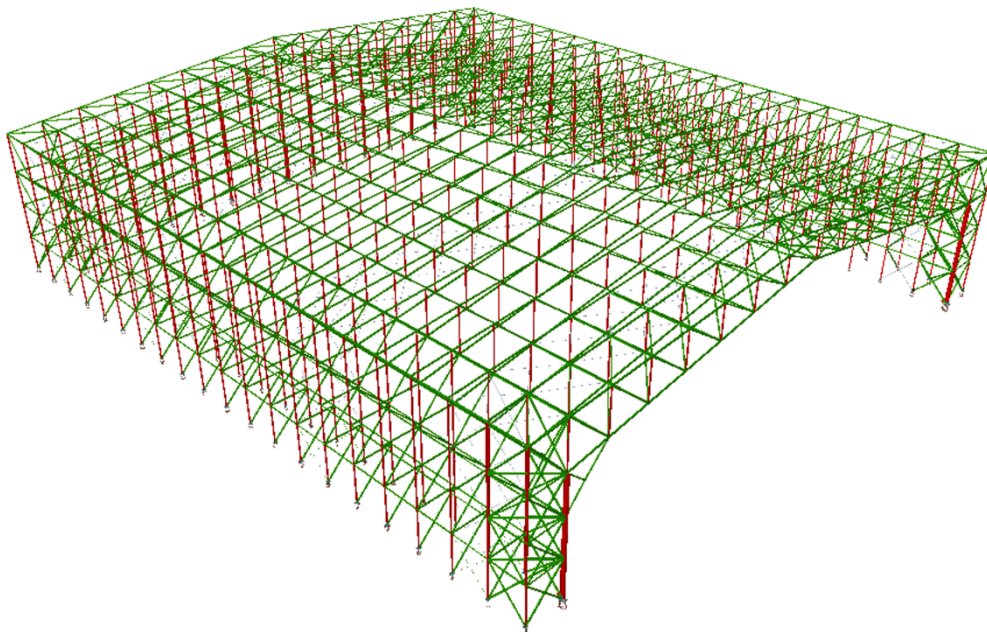


Figura 20. Estructura metálica hangar frontal.

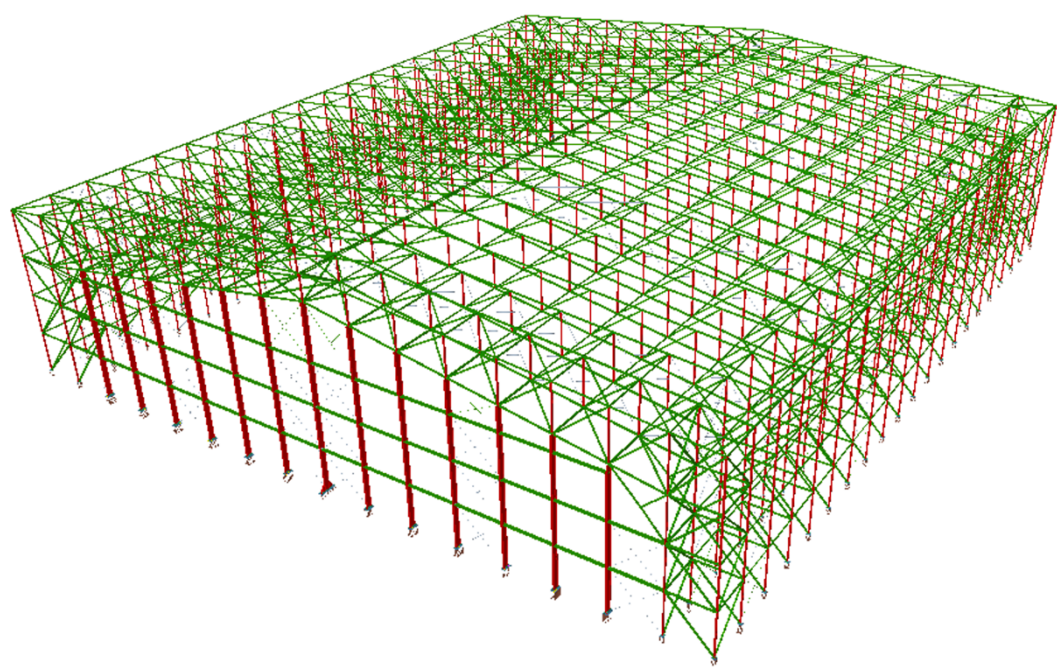


Figura 21. Estructura metálica hangar trasera.

10.2. Cerramientos.

Debido a la necesidad del aislamiento del exterior por las tareas a realizar en el hangar, este estará recubierto mediante panel sándwich prefabricado, utilizando este tanto para la cubierta como para los cerramientos laterales.

En concreto para la fachada se utilizará panel fachada ancho 600 de espesor 50 mm con un peso de 10,78 Kg/m² ya que la distancia entre apoyos es de 1,6 metros capaz de mantener una sobrecarga admisible de 320,8 Kg/m² tal como se observa en la figura 22.

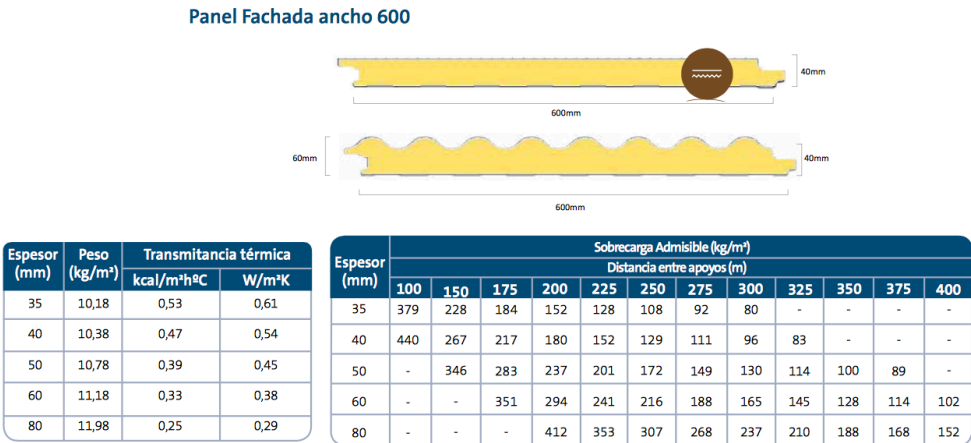
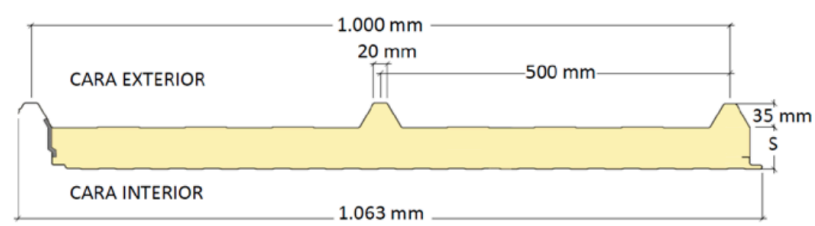


Figura 22. Panel sándwich fachada.

Para la cubierta se ha seleccionado panel sándwich de espesor 50 mm, con un peso de 8,37 Kg/m². Debido a que la distancia entre apoyos es de 1,6 metros, es capaz

de mantener una sobrecarga admisible de 2.78 daN/m². En la figura 23 se observan las características del panel seleccionado.



Espesor (mm)	Peso (kg/m²) 0,40+0,40	Coef. Trans. Térmica (W/m²K) U sin FACTOR JUNTA	Luz admisible L (m)								Luz admisible L (m)							
			60	80	100	120	150	200	250	60	80	100	120	150	200	250	60	80
30	6,67	0,68	2,71	2,38	2,14	1,96	1,77	1,54	1,38	2,25	1,97	1,78	1,63	1,46	1,27	1,14	2,25	1,97
40	7,08	0,52	3,02	2,65	2,39	2,19	1,97	1,72	1,54	2,72	2,39	2,15	1,97	1,77	1,54	1,38	2,72	2,39
50	7,48	0,42	3,30	2,90	2,62	2,40	2,16	1,88	1,69	3,17	2,78	2,50	2,30	2,07	1,80	1,61	3,17	2,78
60	7,88	0,35	3,57	3,14	2,83	2,60	2,34	2,04	1,84	3,59	3,15	2,84	2,60	2,34	2,04	1,83	3,59	3,15
	0,50+0,40	U sin FACTOR JUNTA	Sobrecarga P (daN/m²)								Sobrecarga P (daN/m²)							
			60	80	100	120	150	200	250	60	80	100	120	150	200	250	60	80
			3,00	2,64	2,38	2,18	1,96	1,71	1,54	2,99	2,72	2,45	2,25	2,02	1,76	1,58	2,99	2,72
30	7,56	0,68	3,00	2,64	2,38	2,18	1,96	1,71	1,54	2,99	2,72	2,45	2,25	2,02	1,76	1,58	2,99	2,72
40	7,96	0,52	3,33	2,92	2,64	2,42	2,18	1,90	1,71	3,48	3,19	2,97	2,73	2,45	2,14	1,92	3,48	3,19
50	8,37	0,42	3,64	3,19	2,88	2,65	2,38	2,08	1,87	3,95	3,62	3,38	3,18	2,86	2,49	2,24	3,95	3,62
60	8,77	0,35	3,92	3,45	3,12	2,86	2,58	2,25	2,02	4,39	4,03	3,76	3,55	3,25	2,83	2,54	4,39	4,03

Figura 23. Panel sándwich cubierta.

10.3. Correas.

Las correas constituyen el componente estructural secundario de cubierta de tipo tejado o de los laterales que apoyan sobre las jácenas y pilares respectivamente. Debido a que las correas son piezas que trabajan a flexión, se han configurado como vigas de alma llena en este caso se han seleccionado perfiles CF.

En cuanto a la selección de las dimensiones del perfil, mediante el uso del generador de pórticos de CYPE, se ha conseguido obtener una serie de perfiles que cumplen las comprobaciones realizadas. En concreto se ha seleccionado el perfil CF-250x2.5 con una separación de 1.6 metros y peso de 5.44 Kg/m². Se ha seleccionado este perfil ya que es el que minimiza el coste de material y el de instalación. En la figura 24 se pueden ver las comprobaciones realizadas por el generador de pórticos.

Dimensionamiento de perfiles

Nombre	Peso (kg/m ²)	Texto de comprobación
CF-60x2.0	0.00	No cumple para ninguna separación.
CF-60x2.5	0.00	No cumple para ninguna separación.
CF-60x3.0	0.00	No cumple para ninguna separación.
CF-80x2.0	0.00	No cumple para ninguna separación.
CF-80x2.5	0.00	No cumple para ninguna separación.
CF-80x3.0	0.00	No cumple para ninguna separación.
CF-100x2.0	0.00	No cumple para ninguna separación.
CF-100x2.5	0.00	No cumple para ninguna separación.
CF-100x3.0	0.00	No cumple para ninguna separación.
CF-120x2.0	0.00	No cumple para ninguna separación.
CF-120x2.5	0.00	No cumple para ninguna separación.
CF-120x3.0	0.00	No cumple para ninguna separación.
CF-140x2.0	0.00	No cumple para ninguna separación.
CF-140x2.5	12.92	cada 0.40 m.
CF-140x3.0	15.31	cada 0.40 m.
CF-160x2.0	12.00	cada 0.40 m.
CF-160x2.5	9.92	cada 0.60 m.
CF-160x3.0	8.83	cada 0.80 m.
CF-180x2.0	8.53	cada 0.60 m.
CF-180x2.5	7.93	cada 0.80 m.
CF-180x3.0	7.54	cada 1.00 m.
CF-200x2.0	5.43	cada 1.00 m.
CF-200x2.5	5.62	cada 1.20 m.
CF-200x3.0	5.72	cada 1.40 m.
CF-225x2.5	5.13	cada 1.60 m.
CF-225x3.0	6.11	cada 1.60 m.
CF-225x4.0	7.95	cada 1.60 m.
CF-250x2.5	5.44	cada 1.60 m.
CF-250x3.0	6.48	cada 1.60 m.
CF-250x4.0	8.44	cada 1.60 m.
CF-275x2.5	5.75	cada 1.60 m.
CF-275x3.0	6.85	cada 1.60 m.
CF-275x4.0	8.93	cada 1.60 m.
CF-300x2.5	6.05	cada 1.60 m.
CF-300x3.0	7.21	cada 1.60 m.
CF-300x4.0	9.40	cada 1.60 m.

Significado de los iconos

Elemento incompatible

Elemento que cumple todas las comprobaciones.

Aceptar

Figura 24. Selección de correas.

El material utilizado, el perfil y la separación seleccionada ha sido la misma para las correas laterales y las de cubierta tal y como se puede observar en la *tabla 15*.

Tipo de correas	Material	Tipo de perfil	Separación	Límite de flecha	Peso superficial kg/m ²	Tipo de fijación	Nº de correas
Correas de cubierta	Acero S235	CF-250x2.5	1.6 m	L/300	5.61	Fijación rígida	58
Correas laterales	Acero S235	CF-250x2.5	1.6 m	L/300	2.71	Fijación rígida	28

Tabla 15. Característica de las correas.

10.4. Pórtico interior.

El pórtico de interior está formado por pilares y jácenas en celosía formados por diferentes perfiles tubulares rectangulares. Tanto la jácena como los pilares están formados por una celosía tipo Pratt,

Para todas las jácenas se ha utilizado una estructura en celosía con perfil variable. Esta característica se debe a la restricción de obtener mayor altura interior en cumbrera y así optimizar también el acero utilizado en el hangar debido a la reducción de esfuerzos en esta zona respecto a otras zonas de la jácena.

Otra singularidad de los pórticos utilizados en el hangar ha sido reforzar el interior de los pilares mediante una estructura de tres barras capaz de soportar los grandes esfuerzos a que está sometida esta zona del pórtico. En la *figura 25* se puede observar la geometría del pórtico interior.

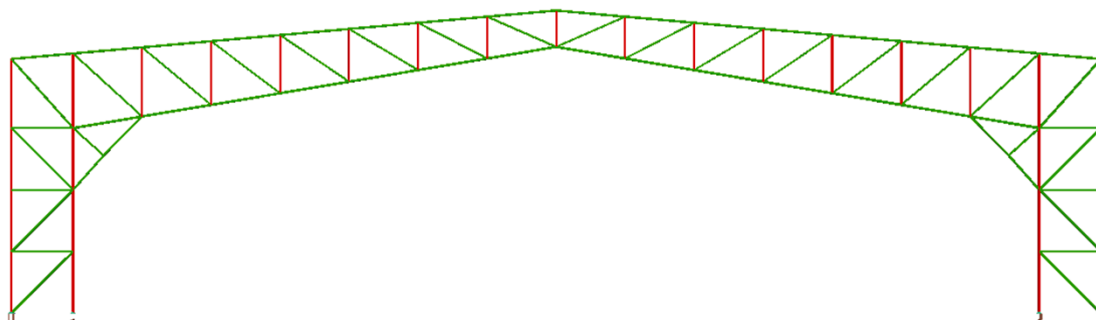


Figura 25. Pórtico interior.

En la *tabla 16* se pueden observar los diferentes perfiles utilizados para las barras del pórtico interior y en la *figura 26* se observa su disposición.

<i>Pilar exterior</i>	<i>Pilar interior</i>	<i>Montante pilar</i>	<i>Jácena superior</i>	<i>Jácena inferior</i>	<i>Montante jácena</i>	<i>Refuerzos esquinas</i>
#180x100x 8	#160x120x 6	#180x140x 8	#180x140x 8	#200x150x 6	#160x120x 5	#160x120x 5

Tabla 16. Perfiles pórtico interior.

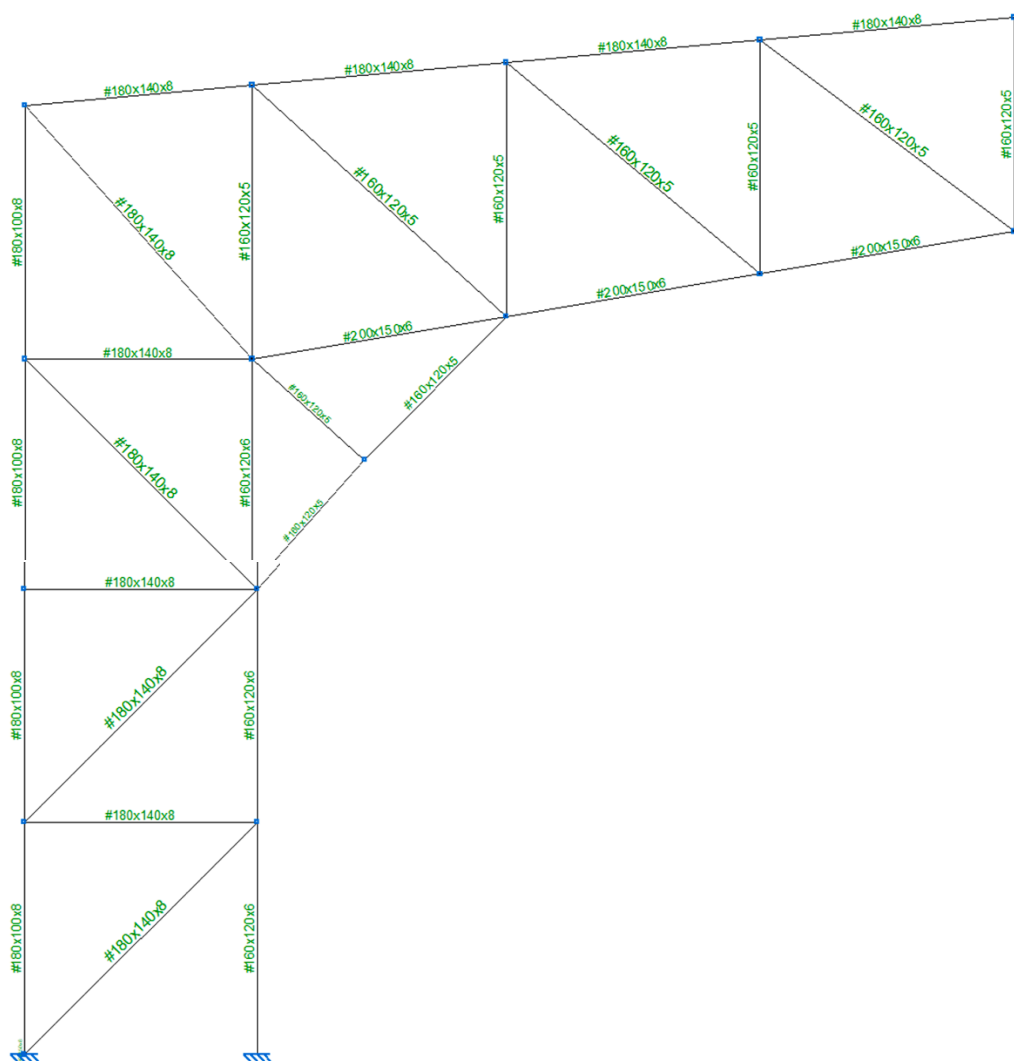
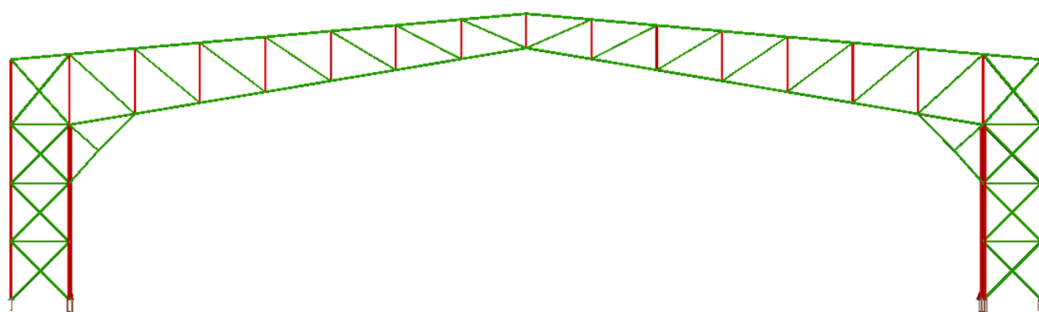


Figura 26. Detalle perfiles pórtico interior.

10.5. Pórtico frontal.

El pórtico frontal está formado por pilares y jácenas en celosía formados por diferentes perfiles tubulares rectangulares de manera similar al pórtico interior aunque este presenta peculiaridades ya que debe albergar la puerta principal del hangar y soportar las acciones del viento frontal. La jácena está formada por una celosía tipo Pratt, mientras que en los pilares se han tenido que doblar las diagonales de la celosía tipo Pratt para que estos fuesen capaces de soportar los esfuerzos a los que están sometidos.

Otra característica del pórtico frontal ha sido la utilización de un perfil IPE550 reforzado con cartelas en la parte inferior, en vez de perfiles tubulares como pilar interior del pórtico, para ser capaz de soportar los esfuerzos del viento frontal. También debido a estos grandes esfuerzos a los que está sometido se ha unido mediante una viga tipo Pratt con el segundo pórtico con el fin de soportar entre ambos las acciones a las que está sometido. En la *figura 27* se puede observar la geometría del pórtico frontal.



En la *tabla 17* se pueden observar los diferentes perfiles utilizados en las barras del pórtico frontal y en la *figura 28* se observa su disposición.

<i>Pilar exterior</i>	<i>Pilar interior</i>	<i>Montante pilar horizontal</i>	<i>Montante pilar diagonal</i>	<i>Jácena superior</i>	<i>Jácena inferior</i>	<i>Montante jácena</i>	<i>Refuerzos esquinas</i>
#180x140 x8	IPE 550	#140x100 x6	#200x150 x8	#200x150 x6	#200x150 x8	#160x120 x8	#160x120 x8

The diagram illustrates a truss bridge structure with various members and their properties. The structure is supported by two pin supports at the bottom left and right. The members are labeled with their respective cross-sections and dimensions:

- Top Chord Members:** #200x150x6
- Bottom Chord Members:** #180x140x6
- Vertical Members:** #160x120x8
- Diagonal Members:** #160x120x8, #200x150x8, #140x100x6
- Internal Bracing Members:** #160x120x8, #200x150x8, #140x100x6
- Support Reaction Members:** IPE 550

The diagram also shows the reaction forces at the supports, indicated by red arrows.

Figura 28. Detalle perfiles pórtico frontal.

10.6. Pórtico trasero.

El pórtico de trasero, de manera similar al resto de pórticos está formado por pilares y jácenas en celosía tipo Pratt formados por diferentes perfiles tubulares rectangulares.

La mayor diferencia de este pórtico respecto al resto es que debe de soportar los vientos frontales además de las cargas gravitatorias, pero no tiene que albergar ninguna puerta. Por ello se ha podido crear una estructura de perfiles IPE arriostrado mediante Cruces de San Andrés.

La estructura está compuesta de 13 pilares IPE 600 y 3 vigas horizontales IPE 330, además para conseguir que el pórtico sea intraslacional en un plano se han colocado 20 arriostramientos en forma de Cruz de San Andrés formados por tirantes redondos macizos de 14 y 24 milímetros.

De manera similar al pórtico de fachada, este se encuentra unido al pórtico 20 mediante una viga tipo Pratt para vencer entre ambos las acciones a las que se encuentran sometidos. En la *figura 29* se observa la geometría del del pórtico trasero.

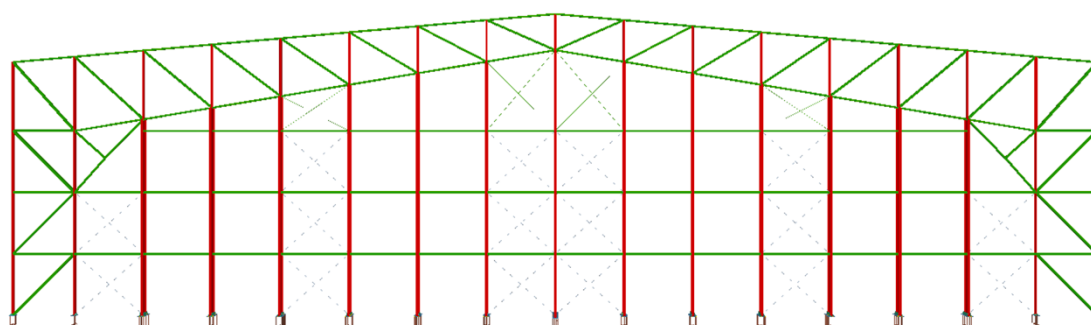


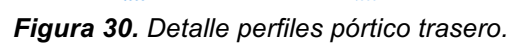
Figura 29. Pórtico trasero.

En la *tabla 18* se pueden observar los diferentes perfiles utilizados las barras del pórtico trasero y en la *figura 30* la disposición de estas.

Pilar exterior (celosía)	Pilar interior (celosía)	Montante pilar	Jácena superior	Jácena inferior	Montante jácena
#200x120x8	#200x120x8	#200x150x8	#160x120x8	#160x120x8	#180x140x8

Refuerzos esquinas	Pilar interiores	Vigas horizontales	Tirantes inferiores	Tirantes superiores
#160x120x8	IPE 600	IPE 330	R14	R24

Tabla 18. Perfiles pórtico trasero.



Los pórticos número 2 y 20 mantienen una estructura idéntica ya que ambos ayudan a vencer además de sus propias acciones las derivadas de los pórticos frontal y trasero. Esta presenta estructura similar respecto a los pórticos interiores en cuanto a la geometría, pero las barras tienen perfiles de otras dimensiones.

MEMORIA

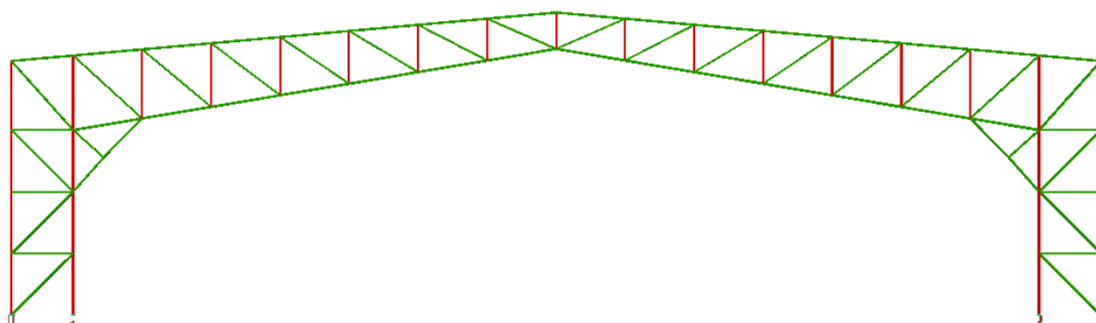


Figura 31. Pórticos 2 y 20.

En la *tabla 19* se pueden observar los diferentes perfiles utilizados en las barras de los pórticos 2 y 20 y en la *figura 32* se observa su disposición.

<i>Pilar exterior</i>	<i>Pilar interior</i>	<i>Montante pilar</i>	<i>Jácena superior</i>	<i>Jácena inferior</i>	<i>Montante jácena</i>	<i>Refuerzos esquinas</i>
#180x140x 8	#180x140x 8	#180x140x 8	#200x150x 8	#200x150x 8	#180x140x 8	#160x120x 8

Tabla 19. Perfiles pórticos 2 y 20.

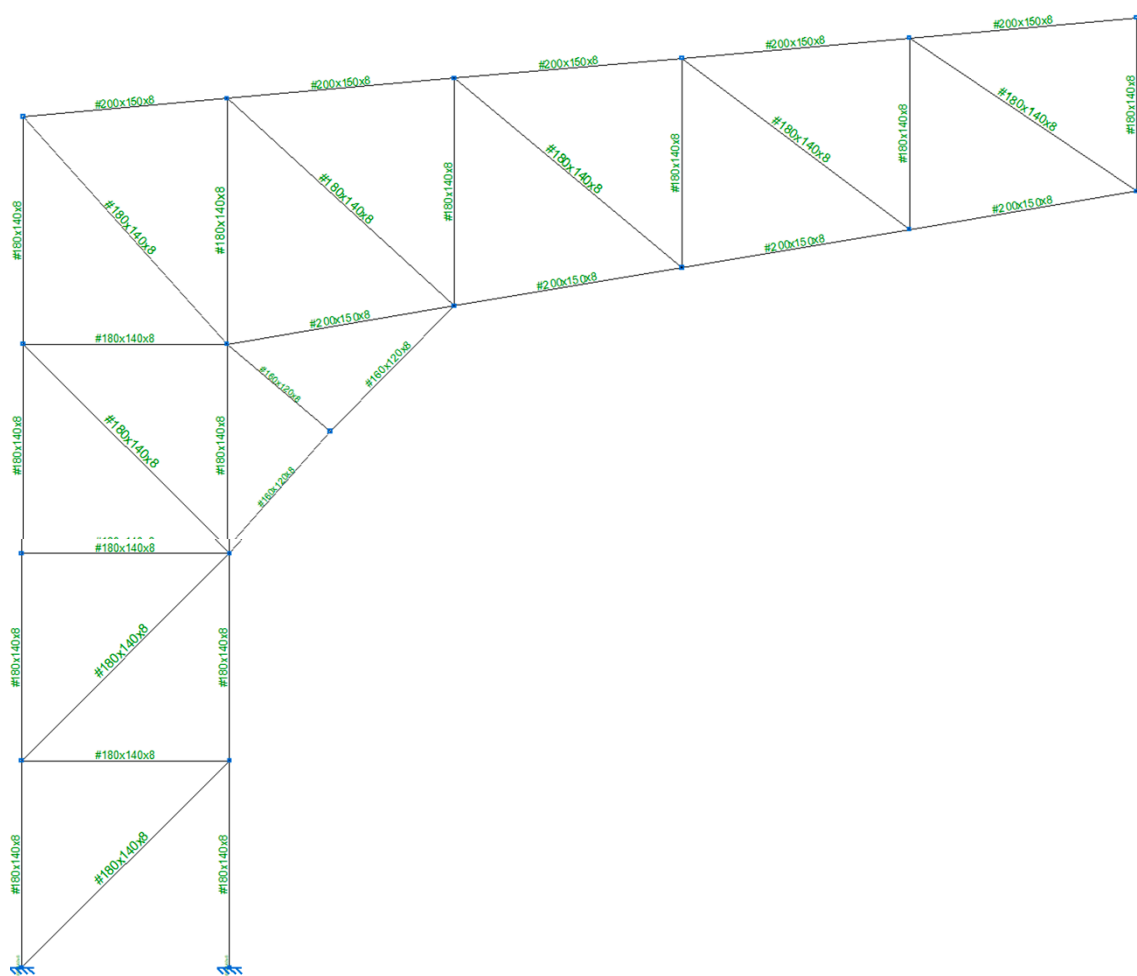


Figura 32. Detalle perfiles pórticos 2 y 20.

10.8. Unión pórtico frontal y trasero con pórticos 2 y 20.

Como se ha comentado con anterioridad, debido a los grandes esfuerzos que acometen contra los pórticos frontal y trasero, se ha optado por generar una estructura tridimensional utilizando una viga Pratt para la unión con los pórticos 2 y 20. En el caso de los pilares, se han tenido que duplicar las diagonales de la viga Pratt para poder soportar los esfuerzos.

De esta manera ambos pórticos ayudan a soportar los esfuerzos acometidos por las acciones. En la *figura 33* y en la *figura 34* se observa la estructura en color naranja que une los pórticos frontal y trasero con los pórticos número 2 y 20. En concreto se han utilizado #160x120x6 para viga Pratt que une jácenas y pilares exteriores y #200x150x8 para unir jácenas y pilar interiores.

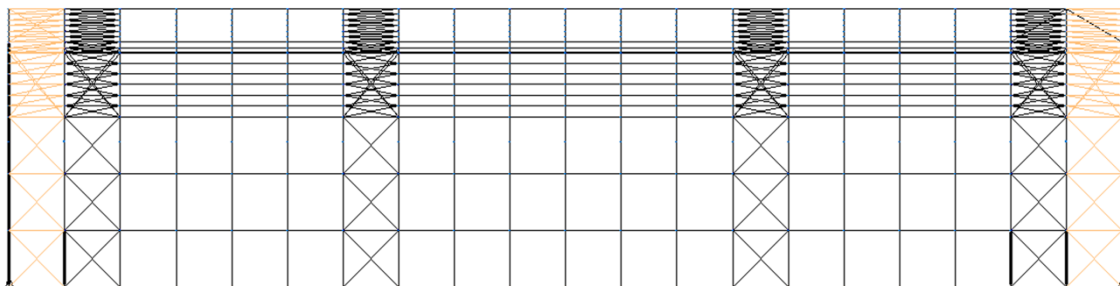


Figura 33. Vista lateral del hangar (viga Pratt).

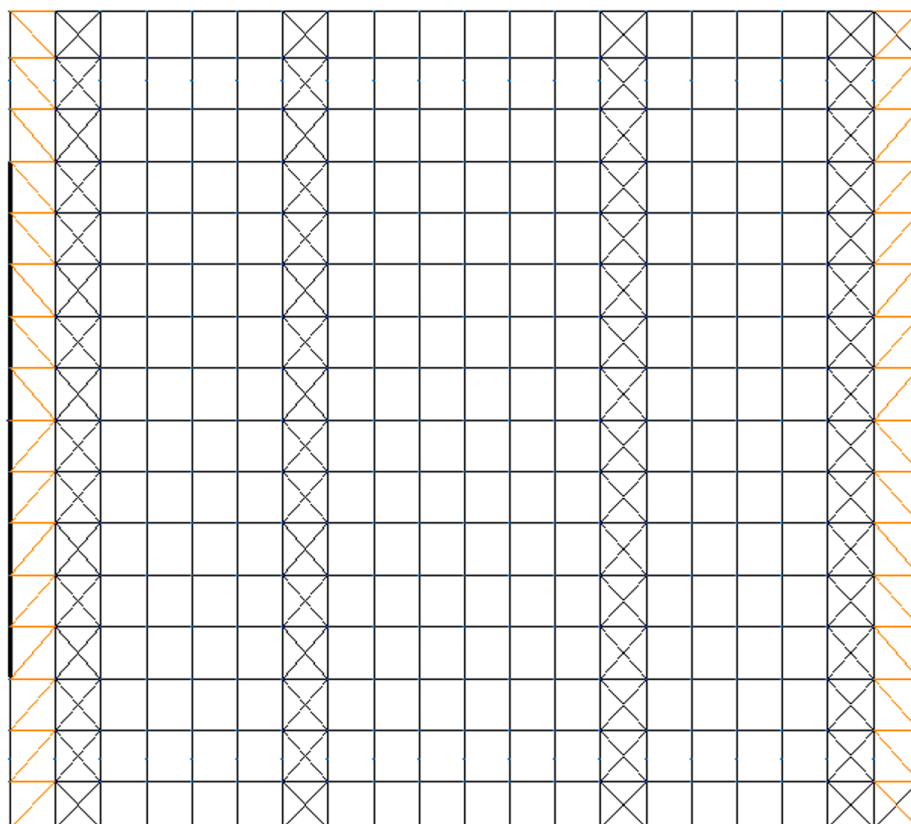


Figura 34. Vista superior del hangar (viga Pratt).

10.9. Viga perimetral.

Para la construcción del hangar se ha utilizado la viga perimetral que es un elemento de arriostramiento que ata las cabezas de los pilares y en este caso también el extremo superior de la jácena a lo largo de la longitud de la nave. La función de esta es canalizar cualquier empuje movilizado por intento de pandeo de los pórticos interiores a la CSA, por lo tanto es una barra que trabaja a tracción y el perfil utilizado ha sido #160x8.

Además debido a que las correas no arriostran la jácena inferior de los pórticos, se ha utilizado el perfil #120x4 para arriostrarlos y evitar así el pandeo en el plano perpendicular al pórtico. En la *figura 35* se puede observar la configuración de la viga perimetral del hangar en naranja.

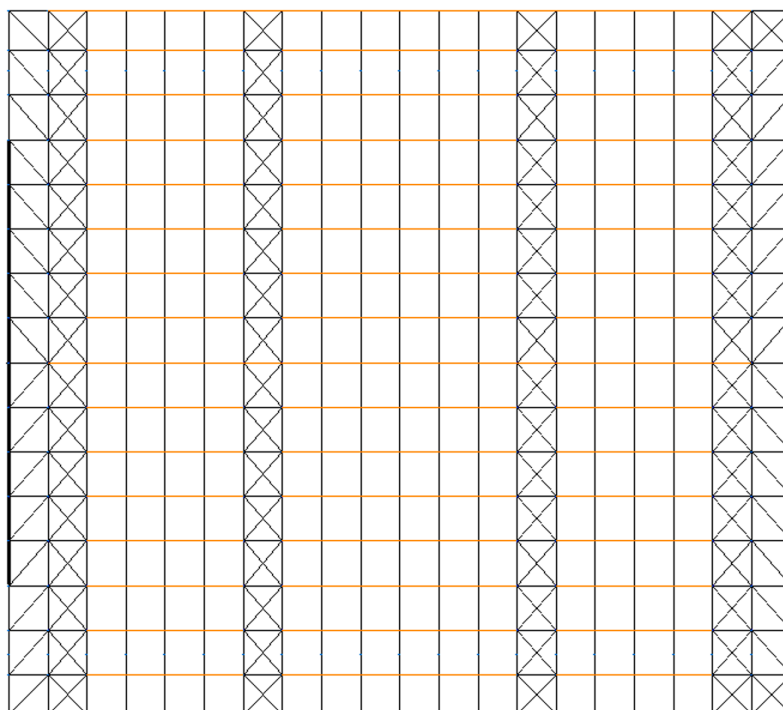


Figura 35. Vista superior del hangar (viga perimetral).

Debido a la insuficiencia de esbeltez en el plano perpendicular al pórtico, se ha tenido que introducir perfiles #120x4 para arriostrar la estructura y evitar el pandeo en el plano perpendicular al pórtico tal y como se puede observar en la *figura 36* en naranja.

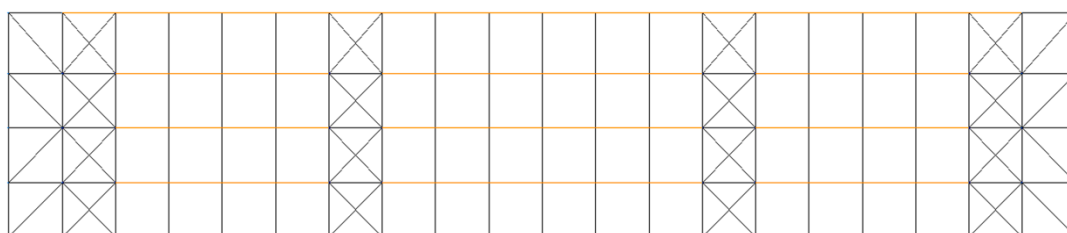


Figura 36. Vista superior del hangar (viga perimetral).

10.10. Viga contra viento.

La viga contraviento utilizada en el hangar se trata de tipo Pratt, que se irá repitiendo a lo largo del hangar con la intención de reforzar la acción del sistema contraviento. Se ha introducido la viga contraviento tanto en el plano de la jácena inferior como en el superior.

En el sistema contraviento los montantes trabajarán a compresión debido a la acción del viento frontal, mientras que las diagonales trabajan solo a tracción siendo estas dobladas para poder absorber la acción del viento frontal en los dos sentidos.

La viga contraviento del hangar se resuelve con los montantes de perfil cuadrado hueco #120x4 y diagonales tirantes redondos de 25 mm en el plano de jácena superior. En el plano de jácena inferior se ha utilizado montantes de perfil cuadrado hueco #120x6 y diagonales tirantes redondos de 35 mm. En la *figura 37* se puede observar la viga contraviento en naranja.

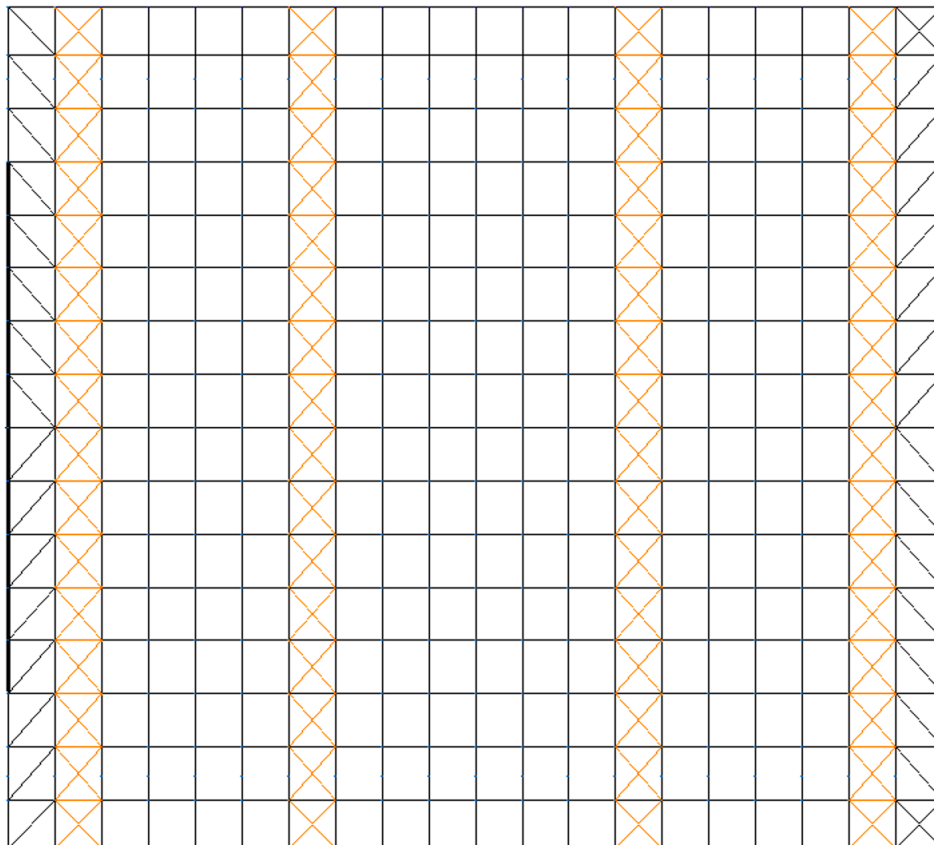


Figura 37. Vista superior del hangar (viga contraviento).

10.11. Sistema de arriostramiento de la fachada lateral.

Para el sistema de arriostramiento de la fachada lateral también se utilizan las cruces de San Andrés. Son tirantes cuya función es canalizar los esfuerzos del viento a la cimentación y arriostrar el plano de fachada lateral.

Se dispondrá de 4 puntos de arriostramiento lateral coincidiendo con la viga

perimetral. También se ha realizado arriostramiento tanto en el plano del pilar exterior como del pilar interior del pórtico.

El sistema de arriostramiento de la fachada lateral del hangar se resuelve con montantes #80x4 y tirantes redondos de 18 mm en el plano del pilar exterior. En el plano del pilar interior se ha utilizado montantes #120x4 y tirantes redondos de 35 mm. En la *figura 38* en naranja se puede observar el sistema de arriostramiento de fachada lateral.

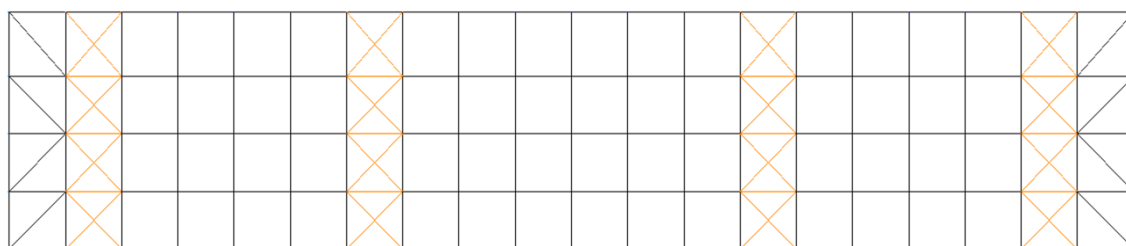


Figura 38. Vista lateral del hangar (arriostramiento de fachada lateral).

10.12. Placas de anclaje.

Las placas de anclaje se encargan de unir los pilares con la cimentación y por lo tanto de transmitir los esfuerzos al terreno. Estas están construidas con el mismo tipo de acero del pilar y se pueden distinguir tres partes: placa base, pernos de anclaje y cartelas de rigidez. Se puede ver el esquema tipo de una placa de anclaje en la *figura 39*.

Las cartelas no es un elemento imprescindible pero recomendable cuando la placa se encuentra muy solicitada y el espesor necesario es mayor de 30 mm. Ya que con las cartelas se aumenta la rigidez y resistencia de la misma, distribuyendo por tanto el axil en la base.

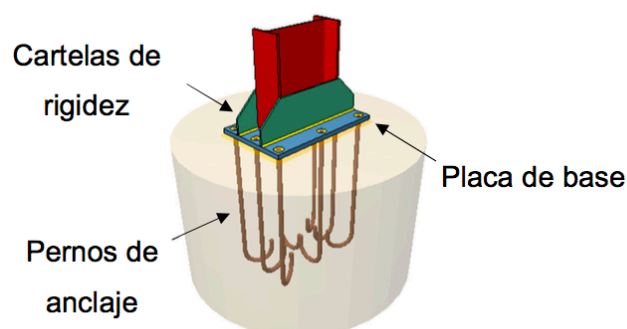


Figura 39. Esquema partes de una placa de anclaje.

De manera similar a los pórticos, se ha realizado una agrupación de las placas de anclaje atendiendo a los perfiles que llegan a estas así como los esfuerzos a los que están sometidas. Por lo tanto se han creado 8 tipos tal y como se muestra en la *figura 40* donde se ha representado cada tipo de placa de anclaje en un color.



Figura 40. Agrupaciones de placas de anclaje.

10.12.1. Placas de anclaje de los pilares exteriores del pórtico de fachada.

Los pilares exteriores del pórtico de fachada están compuestos por la misma tipología de placa de anclaje. En la *figura 41* se observa la geometría de esta y en la *tabla 20* se especifican sus características.



Figura 41. Placa de anclaje pilares exteriores del pórtico de fachada.

Dimensiones de la placa (X,Y,Z)	400, 450, 25 (mm)
Número de rigidizadores	4
Dimensiones de los rigidizadores	100x12 (mm)
Número y diámetro de pernos	10 pernos de diámetro 20 mm
Tipo de anclaje al hormigón de los pernos	Gancho a 180 grados
Longitud de los pernos	800 mm

Tabla 20. Características de la placa de anclaje de los pilares exteriores del pórtico de fachada.

10.12.2. Placas de anclaje de los pilares interiores del pórtico de fachada.

Los pilares interiores del pórtico de fachada están compuestos por la misma tipología de placa de anclaje. En la figura 42 se observa su geometría y en la tabla 21 se especifican sus características.

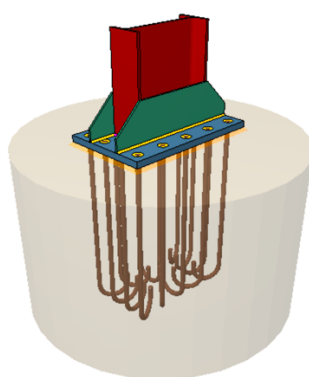


Figura 42. Placa de anclaje pilares interiores del pórtico de fachada.

Dimensiones de la placa (X,Y,Z)	550, 900, 40 (mm)
Número de rigidizadores	2
Dimensiones de los rigidizadores	250x80x12 (mm)
Número y diámetro de pernos	14 pernos de diámetro 32 mm
Tipo de anclaje al hormigón de los pernos	Gancho a 180 grados
Longitud de los pernos	900 mm

Tabla 21. Características de la placa de anclaje de los pilares interiores del pórtico de fachada.

10.12.3. Placas de anclaje de los pilares de los pórticos 2 y 20.

Los pilares de los pórticos 2 y 20, están compuestos por la misma tipología de placa de anclaje. En la figura 43 se observa su geometría y en la tabla 22 se especifican sus características.

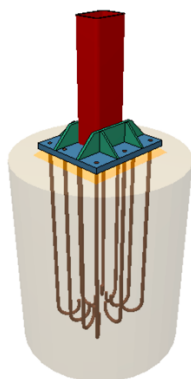


Figura 43. Placa de anclaje pilares de los pórticos 2 y 20.

Dimensiones de la placa (X,Y,Z)	400, 450, 30 (mm)
Número de rigidizadores	4
Dimensiones de los rigidizadores	100x0x15 (mm)
Número y diámetro de pernos	10 pernos de diámetro 20 mm
Tipo de anclaje al hormigón de los pernos	Gancho a 180 grados
Longitud de los pernos	900 mm

Tabla 22. Características de la placa de anclaje de los de los pórticos 2 y 20.

10.12.4. Placas de anclaje de los pilares exteriores del pórtico interior tipo.

Los pilares exteriores del pórtico interior tipo, están compuestos por la misma tipología de placa de anclaje. En la *figura 44* se observa su geometría y en la *tabla 23* se especifican sus características.

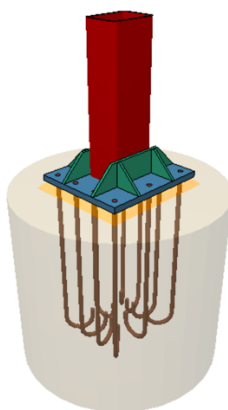


Figura 44. Placa de anclaje pilares exteriores del pórtico interior tipo.

Dimensiones de la placa (X,Y,Z)	400, 450, 25 (mm)
Número de rigidizadores	4
Dimensiones de los rigidizadores	100x0x12 (mm)
Número y diámetro de pernos	10 pernos de diámetro 20 mm
Tipo de anclaje al hormigón de los pernos	Gancho a 180 grados
Longitud de los pernos	600 mm

Tabla 23. Características de la placa de anclaje de los pilares exteriores del pórtico interior tipo.

10.12.5. Placas de anclaje de los pilares interiores del pórtico interior tipo.

Los pilares interiores del pórtico interior tipo, están compuestos por la misma tipología de placa de anclaje. En la *figura 45* se observa su geometría y en la *tabla 24* se especifican sus características.

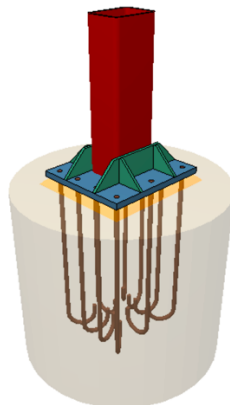


Figura 45. Placa de anclaje pilares interiores del pórtico interior tipo.

Dimensiones de la placa (X,Y,Z)	300, 350, 22 (mm)
Número de rigidizadores	4
Dimensiones de los rigidizadores	100x0x10 (mm)
Número y diámetro de pernos	8 pernos de diámetro 20 mm
Tipo de anclaje al hormigón de los pernos	Gancho a 180 grados
Longitud de los pernos	400 mm

Tabla 24. Características de la placa de anclaje de los pilares interiores del pórtico interior tipo.

10.12.6. Placas de anclaje de los pilares exteriores del pórtico trasero.

Los pilares exteriores del pórtico trasero, están compuestos por la misma tipología de placa de anclaje. En la *figura 46* se observa su geometría y en la *tabla 25* se especifican sus características.

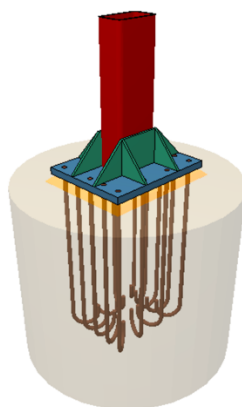


Figura 46. Placa de anclaje pilares exteriores del pórtico trasero.

Dimensiones de la placa (X,Y,Z)	400, 500, 30 (mm)
Número de rigidizadores	4
Dimensiones de los rigidizadores	150x0x10 (mm)
Número y diámetro de pernos	14 pernos de diámetro 20 mm
Tipo de anclaje al hormigón de los pernos	Gancho a 180 grados
Longitud de los pernos	650 mm

Tabla 25. Características de la placa de anclaje de los pilares exteriores del pórtico trasero.

10.12.7. Placas de anclaje de los pilares interiores del pórtico trasero.

Los pilares interiores del pórtico trasero, están compuestos por la misma tipología de placa de anclaje. En la *figura 47* se observa su geometría y en la *tabla 26* se especifican sus características.

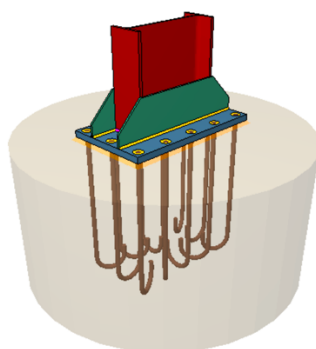


Figura 47. Placa de anclaje pilares interiores del pórtico trasero.

Dimensiones de la placa (X,Y,Z)	550, 950, 40 (mm)
Número de rigidizadores	2
Dimensiones de los rigidizadores	250x80x12 (mm)
Número y diámetro de pernos	12 pernos de diámetro 32 mm
Tipo de anclaje al hormigón de los pernos	Gancho a 180 grados
Longitud de los pernos	750 mm

Tabla 26. Características de la placa de anclaje de los pilares interiores del pórtico trasero.

10.12.8. Placa de anclaje del pilar intermedio del pórtico trasero.

El pilar intermedio del pórtico trasero están compuestos por una tipología de placa de anclaje diferente ya que utiliza cartelas en la parte inferior de este, en la *figura 48* se observa su geometría y en la *tabla 27* donde se especifican sus características.

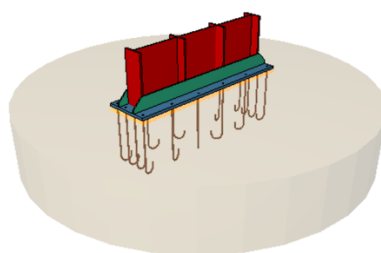


Figura 48. Placa de anclaje pilar intermedio del pórtico trasero.

Dimensiones de la placa (X,Y,Z)	500, 200, 30 (mm)
Número de rigidizadores	2
Dimensiones de los rigidizadores	140x40x12 (mm)
Número y diámetro de pernos	16 pernos de diámetro 20 mm
Tipo de anclaje al hormigón de los pernos	Gancho a 180 grados
Longitud de los pernos	50 mm

Tabla 27. Características de la placa del pilar intermedio del pórtico trasero.

10.13. Cimentación.

La cimentación es el conjunto de elementos estructurales cuya principal misión es transmitir las cargas del hangar al suelo distribuyéndolas sobre el terreno. Esta se compone principalmente de zapatas y vigas de atado.

10.13.1. Zapatas.

Para la construcción del hangar, las zapatas se han resuelto mediante zapatas aisladas y zapatas combinadas rectangulares compuestas de hormigón armado HA-25 y de acero B500S.

De manera similar a las placas de anclaje, estas se han agrupado en 6 grupos tal y como se observa en la *figura 49* en la *tabla 28* aparecen las características de cada una de estas zapatas.

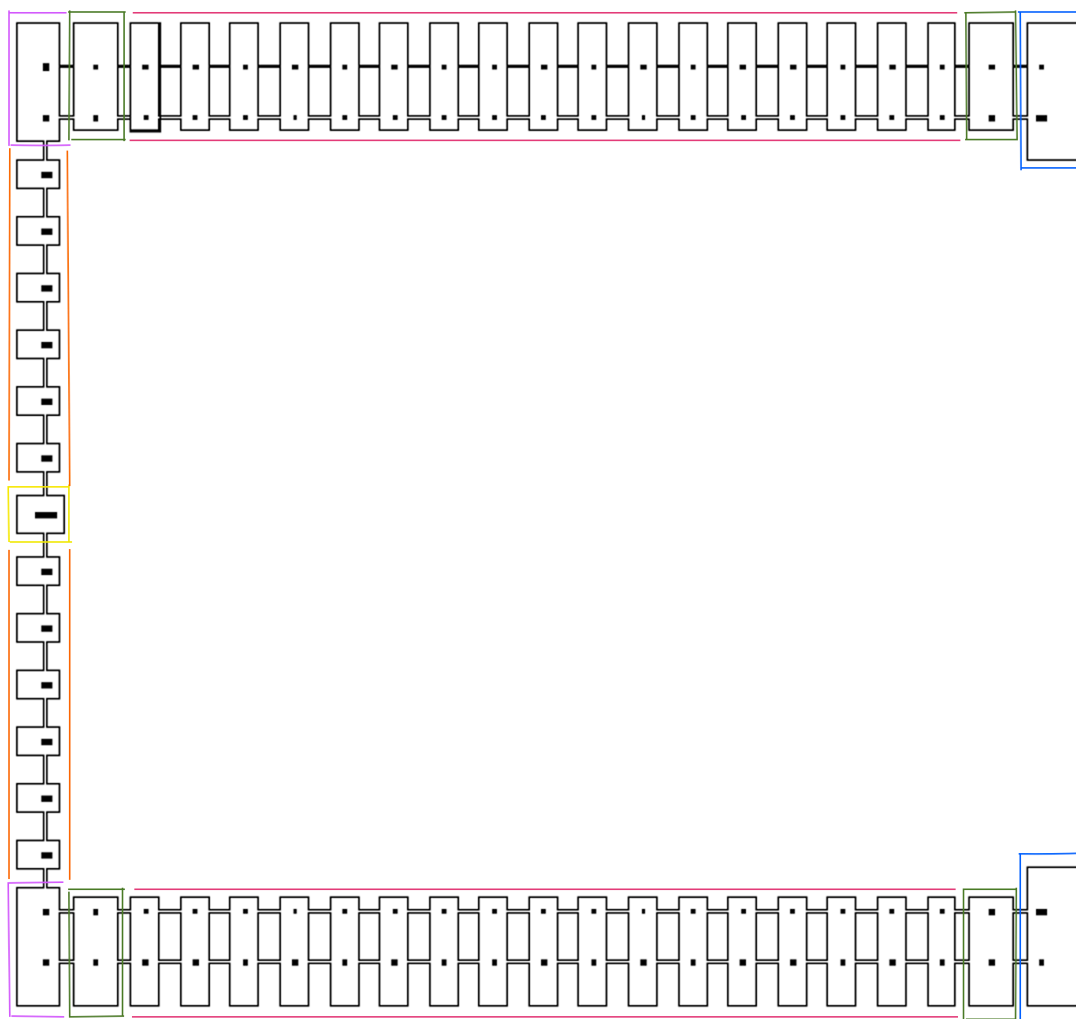


Figura 49. Distribución de las diferentes tipologías de zapatas en el hangar.

Grupo de zapatas	Dimensiones X (cm)	Dimensiones Y (cm)	Dimensiones Z (cm)	Armado en X	Armado en Y
Azul	140x400	700x700	160	66Ø20c/21	25Ø20c/21
Verde	230x230	400x700	160	52Ø20c/21	22Ø20c/21
Rojo	150x150	400x700	140	46Ø20c/24	12Ø20c/24
Morado	150x300	500x700	160	57Ø20c/21	21Ø20c/21
Naranja	150x150	150x300	140	19Ø20c/24	12Ø20c/24
Amarillo	200x200	200x300	140	21Ø20c/24	17Ø20c/24

Tabla 28. Características de las zapatas en el hangar.

10.13.2. Vigas de atado.

Las vigas de atado unen dos o mas zapatas con el fin de absorber las posibles acciones horizontales que pueden recibir los cimientos bien de la estructura o del propio terreno. De esta manera se evita el desplazamiento de las zapatas por lo que son obligadas. Estas están compuestas de los mismos materiales que las zapatas.

Todas las vigas de atado utilizadas presenta la misma geometría y armado, pero su longitud debido a la distancia entre las zapatas es diferente.

En la figura 50 se pueden observar las características de la viga de atado utilizada en la construcción del hangar.

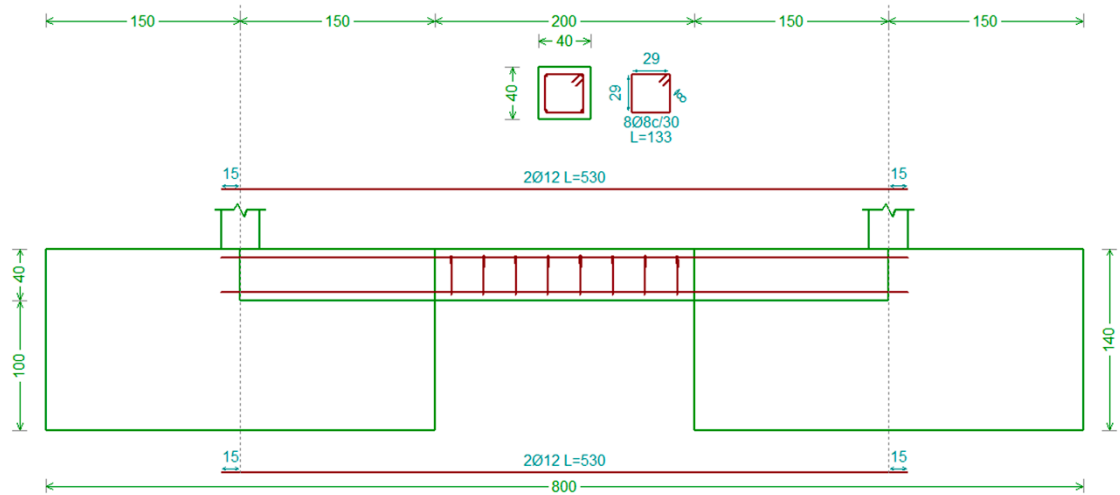


Figura 50. Características de la viga de atado.

11. ESTUDIO DE SEGURIDAD Y SALUD.

En el presente proyecto se incluye el pertinente Estudio de Seguridad y Salud para cumplir con el Real Decreto 1627/1997 de 24 de Octubre, Ministerio de Presidencia (B.O.E. 256/97 de 25 Octubre) sobre las disposiciones mínimas de Seguridad y Salud exigidas en las obras de construcción.

El Estudio de Seguridad y Salud realizado tiene por sí y Además, el presente estudio también contempla las instalaciones básicas de higiene y bienestar de todos los trabajadores presentes en la obra.

En este estudio se dan las directrices básicas a la empresa constructora para llevar a cabo las obligaciones pertinentes en el campo de la prevención de riesgos laborales. Por tanto se facilita su desarrollo bajo el control del coordinador en materia de seguridad y salud durante la ejecución de la obra.

Para dar como resultado el Estudio de Seguridad y Salud se han analizado los riesgos y tomado medidas preventivas tanto al inicio de las obras como de las diferentes unidades de obra, de los medios auxiliares y de las máquinas herramientas. Se ha elaborado un planificación y normas contra incendios y manipulación y almacenamiento de sustancias peligrosas para finalmente establecer las protecciones colectivas e individuales que se deben de utilizar en cada momento en la obra.

El estudio se compone de cuatro documentos: La memoria, esquemas y plano, el pliego de condiciones y el correspondiente presupuesto de seguridad y salud. Todos ellos quedan recogidos en el anejo II de Estudio de Seguridad y Salud.

12. INFORME MEDIOAMBIENTAL.

Debido a que durante el transcurso de la ejecución y operación del proyecto pueden generarse diversos impactos sobre el medio donde se emplaza el hangar, se ha elaborado un informe medioambiental que recoge estos posibles impactos. Los principales impactos identificados son:

1. Generación de residuos en la construcción.
2. Destrucción de la vegetación en parcela y caminos de acceso a la obra.
3. Emisión de polvo durante la ejecución de los trabajos.
4. Emisiones derivadas de la combustión como consecuencia de la maquinaria en la ejecución de la obra.
5. Contaminación acústica en la ejecución de los trabajos.

Definidos los diferentes impactos generados por la construcción del hangar, se han planteado una serie medidas preventivas que deben adoptarse en el desarrollo de la ejecución del hangar con el fin de mitigar su efecto contra el entorno. Estas medidas preventivas están relacionadas con la protección del suelo, calidad de las aguas y del sistema hidrológico, vegetación, protecciones atmosféricas y protección acústica.

Finalmente en el informe medioambiental se ha desarrollado el Plan de Vigilancia Ambiental para la ejecución del proyecto donde se definen las responsabilidades, el programa de aseguramiento de la calidad ambiental de la obra así como el diario ambiental de la obra.

El informe medioambiental queda recogido en el anejo III del presente proyecto.

13. ESTUDIO DE VIABILIDAD ECONÓMICA.

Para determinar si la construcción de un nuevo hangar en el aeropuerto de Valencia es viable económicamente se ha realizado un estudio analizando su construcción y operación suponiendo como una concesión de AENA a 30 años.

Este proyecto se ha evaluado como una inversión, calculando el Valor Actual Neto (VAN) a 30 años, la Tasa Interna de Retorno (TIR) comparándola con la rentabilidad mínima exigida en el sector de mantenimiento y servicios aeronáuticos y el Periodo de Retorno de la inversión.

Para llevar a cabo este estudio se distinguen las siguientes observaciones:

- El VAN a 30 años es positivo.
- La TIR es mayor que la rentabilidad mínima exigida a proyectos del mismo sector.
- El Periodo de Retorno de la inversión permite generar beneficios en los siguientes años de operación.
- En los primeros años de explotación el flujo de caja es positivo, asegurando de esta manera la sostenibilidad inicial de la concesión.

Debido a que se cumplen esta serie de premisas puede determinarse que el proyecto de construcción de un hangar en el Aeropuerto de Valencia es viable económicamente.

Para obtener mayor detalle, en el anejo IV Estudio de Viabilidad Económica se recogen las hipótesis del análisis, incluyendo los valores usados para la tasa de descuento, las previsiones de tráfico aéreo, los incrementos de costes, rentabilidad exigida y todos los cálculos realizados para desarrollar este estudio.

14. PRESUPUESTO RESUMIDO.

El presupuesto final del proyecto se obtiene considerando las diferentes partidas para su construcción. Por lo que se obtiene:

CAPÍTULO 1	MOVIMIENTO DE TIERRAS	72.379,70 €
CAPÍTULO 2	CIMENTACIONES	707.407,14 €
CAPÍTULO 3	ESTRUCTURA	1.074.789,11 €
CAPÍTULO 4	CERRAMIENTOS Y CARPINTERIA	969.913,94 €
CAPÍTULO 5	PRESUPUESTO SEGURIDAD Y SALUD	20.066,77 €
	TOTAL	2.838.135,83 €
PRESUPUESTO DE EJECUCIÓN MATERIAL (PEM)		2.844.556,66 €
12% Gastos generales		341.346,8 €
6% Beneficio industrial		191.154,20 €
PRESUPUESTO DE EJECUCIÓN POR CONTRATA (PEC)		3.377.057,66 €
21% I.V.A		709.182,10 €
PRESUPUESTO TOTAL		4.086.239,77 €

El presupuesto final corresponde con el presupuesto total y asciende a CUATRO MILLONES OCHENTA Y SEIS MIL DOSCIENTO TREINTA Y NUEVE EUROS CON SETENTA Y SIETE CÉNTIMOS.

CAPÍTULO II

ANEJOS A LA MEMORIA

ÍNDICE ANEJOS A LA MEMORIA

ANEJO 1 CÁLCULOS.....	67
ANEJO 2 ESTUDIO DE SEGURIDAD Y SALUD.....	455
ANEJO 3 INFORME MEDIOAMBIENTAL.....	541
ANEJO 4 ESTUDIO DE VIABILIDAD ECONOMICA.....	553

ANEJO I

CÁLCULOS

ÍNDICE ANEJO I

A1.1. BASES DE CÁLCULO.....	71
A1.1.1.Estados límite.....	71
A1.1.2. Combinaciones.....	75
A1.2. COMPROBACIONES DE LAS BARRAS.....	76
A1.2.1. Correas.....	76
A1.2.2. Pórtico interior tipo.....	85
A1.2.3. Pórtico frontal.....	150
A1.2.4. Pórticos 2 y 20.....	220
A1.2.5. Pórtico trasero.....	268
A1.2.6. Viga de unión pórticos frontal y trasero con pórticos 2 y 20.....	352
A1.2.7. Viga contraviento.....	376
A1.2.8. Arriostramiento fachada.....	396
A1.2.9. Viga perimetral.....	417
A1.2.10. Placas de anclaje.....	429
A1.2.11. Cimentación.....	439

A1.1. BASES DE CÁLCULO

En esta sección se describen las bases de cálculo sobre las que se basa el diseño del hangar, así como los materiales a emplear para la edificación de la misma (aceros y hormigón) junto con aspectos relacionados con la seguridad de la edificación. La estructura de dicha nave se somete a distintas hipótesis en cuanto a los estados límites últimos y de servicio, así como con respecto a las acciones que actúan sobre la misma, con el objetivo de que cumpla para los casos más desfavorables de combinación de hipótesis.

Para el cálculo de las combinaciones de hipótesis se emplea el programa CYPE mediante el cual se obtiene los coeficientes a aplicar sobre la estructura, de forma que se corresponda con el caso más desfavorable. De ese modo, se consigue que el hangar aguante en cualquier situación en la que haya varias acciones en juego actuando sobre ella. El programa también debe considerar las posibles desviaciones a nivel de la estructura debido a las acciones a las que está sometida.

Por lo tanto, la nave debe estar diseñada para cumplir con una serie de verificaciones basadas en coeficientes parciales: capacidad portante, aptitud al servicio y efecto del tiempo.

A1.1.1. Estados límite

En función de las situaciones del proyecto, el cálculo de las acciones varía, dependiendo de si se usan coeficientes de combinación o no. De ese modo, para el cálculo de acciones sobre la estructura se tienen en cuenta las siguientes ecuaciones:

- Con coeficientes de combinación:

$$\sum_{j \geq 1} \gamma_{Gj} G_{kj} + \gamma_P P_k + \gamma_{Q1} \Psi_{p1} Q_{k1} + \sum_{i \geq 2} \gamma_{Qi} \Psi_{ai} Q_{ki}$$

Donde:

G_k	Acción permanente
P_k	Acción de pretensado
Q_k	Acción variable
γ_G	Coeficiente parcial de seguridad de las acciones permanentes
γ_P	Coeficiente parcial de seguridad de la acción de pretensado
$\gamma_{Q,2}$	Coeficiente parcial de seguridad de la acción variable principal
$\gamma_{Q,i}$	Coeficiente parcial de seguridad de las acciones variables de acompañamiento
$\Psi_{p,1}$	Coeficiente de combinación de la acción variable principal
$\Psi_{a,1}$	Coeficiente de combinación de las acciones variables de acompañamiento

Teniendo en cuenta esta ecuación y sus coeficientes, para las distintos cálculos y comprobaciones que se van a realizar a lo largo del cálculo de la estructura, se aplicarán los siguientes coeficientes:

- **E.L.U de rotura. Hormigón de cimentaciones: EHE-08 / CTE DB-SE C**

Acción persistente o transitoria				
	Coeficientes parciales de seguridad (g)		Coeficientes de combinación (γ)	
	Favorable	Desfavorable	Principal ($\psi_{p,1}$)	Acompañamiento ($\psi_{a,1}$)
Carga permanente (G)	1.000	1.600	-	-
Sobrecarga (Q)	0.000	1.600	0.000	0.000
Viento (Q)	0.000	1.600	1.000	0.600
Nieve (Q)	0.000	1.600	1.000	0.500

Acción persistente o transitoria (G1)				
	Coeficientes parciales de seguridad (g)		Coeficientes de combinación (γ)	
	Favorable	Desfavorable	Principal ($\psi_{p,1}$)	Acompañamiento ($\psi_{a,1}$)
Carga permanente (G)	1.000	1.600	-	-
Sobrecarga (Q)	0.000	1.600	1.000	0.000
Viento (Q)	0.000	1.600	0.000	0.000
Nieve (Q)	0.000	1.600	0.000	0.000

- E.L.U de rotura. Acero laminado: CTE DB SE-A

Acción Persistente o transitoria				
	Coeficientes parciales de seguridad (g)		Coeficientes de combinación (γ)	
	Favorable	Desfavorable	Principal ($\psi_{p,1}$)	Acompañamiento ($\psi_{a,1}$)
Carga permanente (G)	0.800	1.350	-	-
Sobrecarga (Q)	0.000	1.500	0.000	0.000
Viento (Q)	0.000	1.500	1.000	0.600
Nieve (Q)	0.000	1.500	1.000	0.500

Acción Persistente o transitoria (G1)				
	Coeficientes parciales de seguridad (g)		Coeficientes de combinación (γ)	
	Favorable	Desfavorable	Principal ($\psi_{p,1}$)	Acompañamiento ($\psi_{a,1}$)
Carga permanente (G)	0.800	1.350	-	-
Sobrecarga (Q)	0.000	1.500	1.000	0.000
Viento (Q)	0.000	1.500	0.000	0.000
Nieve (Q)	0.000	1.500	0.000	0.000

- Tensiones sobre el terreno

Acción Persistente o transitoria				
	Coeficientes parciales de seguridad (g)		Coeficientes de combinación (γ)	
	Favorable	Desfavorable	Principal ($\psi_{p,1}$)	Acompañamiento ($\psi_{a,1}$)
Carga permanente (G)	1.000	1.000	-	-
Sobrecarga (Q)	0.000	1.000	0.000	0.000
Viento (Q)	0.000	1.000	1.000	1.000
Nieve (Q)	0.000	1.000	1.000	1.000

Acción Persistente o transitoria (G1)				
	Coeficientes parciales de seguridad (g)		Coeficientes de combinación (γ)	
	Favorable	Desfavorable	Principal ($\psi_{p,1}$)	Acompañamiento ($\psi_{a,1}$)
Carga permanente (G)	1.000	1.000	-	-
Sobrecarga (Q)	0.000	1.000	1.000	1.000
Viento (Q)	0.000	1.000	1.000	1.000
Nieve (Q)	0.000	1.000	1.000	1.000

- Desplazamientos

Acción Persistente o transitoria				
	Coeficientes parciales de seguridad (g)		Coeficientes de combinación (γ)	
	Favorable	Desfavorable	Principal ($\psi_{p,1}$)	Acompañamiento ($\psi_{a,1}$)
Carga permanente (G)	1.000	1.000	-	-
Sobrecarga (Q)	0.000	1.000	0.000	0.000
Viento (Q)	0.000	1.000	1.000	1.000
Nieve (Q)	0.000	1.000	1.000	1.000

Acción Persistente o transitoria (G1)				
	Coeficientes parciales de seguridad (g)		Coeficientes de combinación (γ)	
	Favorable	Desfavorable	Principal ($\psi_{p,1}$)	Acompañamiento ($\psi_{a,1}$)
Carga permanente (G)	1.000	1.000	-	-
Sobrecarga (Q)	0.000	1.000	1.000	1.000
Viento (Q)	0.000	1.000	1.000	1.000
Nieve (Q)	0.000	1.000	1.000	1.000

A1.1.2. Combinaciones.

Se han aplicado combinaciones de todas estas hipótesis junto a los coeficientes que acaban de ser descritos. Las hipótesis que se han considerado para hacer las combinaciones son las siguientes:

PP	Peso propio
Q	Sobrecarga de uso
V(0°) H1	Viento a 0°, presión exterior tipo 1 sin acción en el interior
V(0°) H2	Viento a 0°, presión exterior tipo 1 succión interior
V(0°) H3	Viento a 0°, presión exterior tipo 2 sin acción en el interior
V(0°) H4	Viento a 0°, presión exterior tipo 2 succión interior
V(90°) H1	Viento a 0°, presión exterior tipo 1 presión interior
V(90°) H2	Viento a 0°, presión exterior tipo 1 succión interior
V(180°) H1	Viento a 0°, presión exterior tipo 1 sin acción en el interior
V(180°) H2	Viento a 0°, presión exterior tipo 1 succión interior
V(180°) H3	Viento a 0°, presión exterior tipo 2 sin acción en el interior
V(180°) H4	Viento a 0°, presión exterior tipo 2 succión interior
V(270°) H1	Viento a 0°, presión exterior tipo 1 presión interior
V(270°) H2	Viento a 0°, presión exterior tipo 1 succión interior
N(EI)	Nieve (estado inicial)
N(R) 1	Nieve (redistribución) 1
N(R) 2	Nieve (redistribución) 2

Se debe recordar que al establecer la tipología de la nave como tipo G1, se asume que la sobrecarga de uso es no concomitante con el resto de cargas variables, y por tanto, no se deben comprobar aquellas hipótesis que no cumplan con esta condición.

A1.2. COMPROBACIONES DE LAS BARRAS.

A1.2.1. Correas


Para el cálculo de las correas, se ha fijado el material (acero S235) para luego lanzar el cálculo haciendo variar el perfil (serie CF) y la distancia entre correas al mismo tiempo. La variación de distancia entre correas se ha establecido entre 0.4m y 1.6 m con un paso de 0.2, distancias habituales en este tipo de construcciones. Esta simulación se ha ejecutado tanto para las correas de cubierta como para las correas laterales (los cerramientos laterales son panel sándwich, que necesitan correas). Se ha decidido

utilizar la serie CF aunque la serie ZF es otra posibilidad que puede dar buenos resultados. Los resultados obtenidos para las correas de cubierta son los siguientes:

A1.2.1.1 Correas de cubierta

Datos de correas de cubierta	
Descripción de correas	Parámetros de cálculo
Tipo de perfil: CF-250x2.5	Límite flecha: $L / 300$
Separación: 1.60 m	Número de vanos: Un vano
Tipo de Acero: S235	Tipo de fijación: Fijación rígida
Comprobación de resistencia	

Comprobación de resistencia
El perfil seleccionado cumple todas las comprobaciones.
Aprovechamiento: 88.78 %

Perfil: CF-250x2.5 Material: S235									
	Nudos		Longitud d (m)	Características mecánicas					
	Inicial	Final		Área (cm ²)	I _y ⁽¹⁾ (cm ⁴)	I _z ⁽¹⁾ (cm ⁴)	I _t ⁽²⁾ (cm ⁴)	y _g ⁽³⁾ (mm)	z _g ⁽³⁾ (mm)
	89.203, 0.000, 21.071	89.203, 5.000, 21.071	5.000	11.0 9	1032.9 5	93.7 1	0.23	- 17.4 8	0.00
	Notas: ⁽¹⁾ Inercia respecto al eje indicado ⁽²⁾ Momento de inercia a torsión uniforme ⁽³⁾ Coordenadas del centro de gravedad								
		Pandeo		Pandeo lateral					
	Plano XY	Plano XZ	Ala sup.		Ala inf.				
β	0.00	1.00	0.00		0.00				
L _K	0.000	5.000	0.000		0.000				
C ₁	-		1.000						
Notación: β: Coeficiente de pandeo L _K : Longitud de pandeo (m) C ₁ : Factor de modificación para el momento crítico									

Barra	COMPROBACIONES (CTE DB SE-A)													Estado
	b / t	$\bar{\lambda}$	N _t	N _c	M _y	M _z	M _y M _z	V _y	V _z	N _t M _y M _z	N _c M _y M _z	NM _y M _z V _y V _z	M _t NM _y M _z V _y V _z	
pésima en cubierta	b / t ≤ (b / t) _{Máx.} Cumple	N.P. ⁽¹⁾	N.P. ⁽²⁾	N.P. ⁽³⁾	x: 2.5 m η = 88.8	N.P. ⁽⁴⁾	N.P. ⁽⁵⁾	N.P. ⁽⁶⁾	x: 0 m η = 21.3	N.P. ⁽⁷⁾	N.P. ⁽⁸⁾	N.P. ⁽⁹⁾	N.P. ⁽¹⁰⁾	CUMPLE η = 88.8
Notación: b / t: Relación anchura / espesor $\bar{\lambda}$: Limitación de esbeltez N _t : Resistencia a tracción N _c : Resistencia a compresión M _y : Resistencia a flexión. Eje Y M _z : Resistencia a flexión. Eje Z M _y M _z : Resistencia a flexión biaxial V _y : Resistencia a corte Y V _z : Resistencia a corte Z N _t M _y M _z : Resistencia a tracción y flexión N _c M _y M _z : Resistencia a compresión y flexión NM _y M _z V _y : Resistencia a cortante, axil y flexión M _t NM _y M _z V _y : Resistencia a torsión combinada con axil, flexión y cortante x: Distancia al origen de la barra η: Coeficiente de aprovechamiento (%) N.P.: No procede														

Barra	COMPROBACIONES (CTE DB SE-A)													Estado
	b / t	$\bar{\lambda}$	N _t	N _c	M _y	M _z	M _y M _z	V _y	V _z	N _t M _y M _z	N _c M _y M _z	NM _y M _z V _y V _z	M _t NM _y M _z V _y V _z	
Comprobaciones que no proceden (N.P.):														
(1) La comprobación no procede, ya que no hay axil de compresión ni de tracción.														
(2) La comprobación no procede, ya que no hay axil de tracción.														
(3) La comprobación no procede, ya que no hay axil de compresión.														
(4) La comprobación no procede, ya que no hay momento flector.														
(5) La comprobación no procede, ya que no hay flexión biaxial para ninguna combinación.														
(6) La comprobación no procede, ya que no hay esfuerzo cortante.														
(7) No hay interacción entre axil de tracción y momento flector para ninguna combinación. Por lo tanto, la comprobación no procede.														
(8) No hay interacción entre axil de compresión y momento flector para ninguna combinación. Por lo tanto, la comprobación no procede.														
(9) No hay interacción entre momento flector, axil y cortante para ninguna combinación. Por lo tanto, la comprobación no procede.														
(10) La comprobación no procede, ya que no hay momento torsor.														

Relación anchura / espesor (CTE DB SE-A, Tabla 5.5 y Eurocódigo 3 EN 1993-1-3: 2006, Artículo 5.2)

Se debe satisfacer:

$$h/t \leq 250$$

$$h / t : \underline{96.0} \quad \checkmark$$

$$b/t \leq 90$$

$$b / t : \underline{28.0} \quad \checkmark$$

$$c/t \leq 30$$

$$c / t : \underline{8.0} \quad \checkmark$$

Los rigidizadores proporcionan suficiente rigidez, ya que se cumple:

$$0.2 \leq c/b \leq 0.6$$

$$c / b : \underline{0.286}$$

Donde:

h: Altura del alma.

h : 240.00 mm

b: Ancho de las alas.

b : 70.00 mm

c: Altura de los rigidizadores.

c : 20.00 mm

t: Espesor.

t : 2.50 mm

Nota: Las dimensiones no incluyen el acuerdo entre elementos.

Limitación de esbeltez (CTE DB SE-A, Artículos 6.3.1 y 6.3.2.1 - Tabla 6.3)

La comprobación no procede, ya que no hay axil de compresión ni de tracción.

Resistencia a tracción (CTE DB SE-A y Eurocódigo 3 EN 1993-1-3: 2006, Artículo 6.1.2)

La comprobación no procede, ya que no hay axil de tracción.

Resistencia a compresión (CTE DB SE-A y Eurocódigo 3 EN 1993-1-3: 2006, Artículo 6.1.3)

La comprobación no procede, ya que no hay axil de compresión.

Resistencia a flexión. Eje Y (CTE DB SE-A y Eurocódigo 3 EN 1993-1-3: 2006, Artículo 6.1.4.1)

Se debe satisfacer:

$$\eta = \frac{M_{Ed}}{M_{c,Rd}} \leq 1$$

$$\eta : \underline{0.888} \quad \checkmark$$

Para flexión positiva:

M_{v,Ed}: Momento flector solicitante de cálculo pésimo.

$$M_{v,Ed}^+ : \underline{0.000} \text{ t}\cdot\text{m}$$

Para flexión negativa:

El esfuerzo solicitante de cálculo pésimo se produce en un punto situado a una distancia de 2.500 m del nudo 89.203, 0.000, 21.071, para la combinación de acciones 0.80*G1 + 0.80*G2 + 1.50*V(180°) H1.

M_{v,Ed}: Momento flector solicitante de cálculo pésimo.

$$M_{v,Ed}^- : \underline{1.576} \text{ t}\cdot\text{m}$$

La resistencia de cálculo a flexión **M_{c,Rd}** viene dada por:

$$M_{c,Rd} = \frac{W_{eff} \cdot f_{yb}}{\gamma_{M0}}$$

$$M_{c,Rd} : \underline{1.775} \text{ t}\cdot\text{m}$$

Donde:

W_{eff}: Módulo resistente eficaz correspondiente a la fibra de mayor tensión.

$$W_{eff} : \underline{77.81} \text{ cm}^3$$

f_{yb}: Límite elástico del material base. (CTE DB SE-A, Tabla 4.1)

$$f_{yb} : \underline{2395.51} \text{ kp/cm}^2$$

γ_{M0}: Coeficiente parcial de seguridad del material.

$$\gamma_{M0} : \underline{1.05}$$

Resistencia a pandeo lateral del ala superior: (CTE DB SE-A y Eurocódigo 3 EN 1993-1-3: 2006, Artículo 6.2.4)

La comprobación a pandeo lateral no procede, ya que no hay momento flector.

Resistencia a pandeo lateral del ala inferior: (CTE DB SE-A y Eurocódigo 3 EN 1993-1-3: 2006, Artículo 6.2.4)

La comprobación a pandeo lateral no procede, ya que la longitud de pandeo lateral es nula.

Resistencia a flexión. Eje Z (CTE DB SE-A y Eurocódigo 3 EN 1993-1-3: 2006, Artículo 6.1.4.1)

La comprobación no procede, ya que no hay momento flector.

Resistencia a flexión biaxial (CTE DB SE-A y Eurocódigo 3 EN 1993-1-3: 2006, Artículo 6.1.4.1)

La comprobación no procede, ya que no hay flexión biaxial para ninguna combinación.

Resistencia a corte Y (CTE DB SE-A y Eurocódigo 3 EN 1993-1-3: 2006, Artículo 6.1.5)

La comprobación no procede, ya que no hay esfuerzo cortante.

Resistencia a corte Z (CTE DB SE-A y Eurocódigo 3 EN 1993-1-3: 2006, Artículo 6.1.5)

Se debe satisfacer:

$$\eta = \frac{V_{Ed}}{V_{b,Rd}} \leq 1$$

$$\eta : \underline{0.213} \quad \checkmark$$

El esfuerzo solicitante de cálculo pésimo se produce en el nudo 89.203, 0.000, 21.071, para la combinación de acciones 0.80*G1 + 0.80*G2 + 1.50*V(180°) H1.

V_{Ed}: Esfuerzo cortante solicitante de cálculo pésimo.

$$V_{Ed} : \underline{1.261} \text{ t}$$

El esfuerzo cortante resistente de cálculo $V_{b,Rd}$ viene dado por:

$$V_{b,Rd} = \frac{\frac{h_w}{\sin \phi} \cdot t \cdot f_{bv}}{\gamma_{M0}}$$

$$V_{b,Rd} : \underline{5.913} \text{ t}$$

Donde:

h_w : Altura del alma.

$$h_w : \underline{245.30} \text{ mm}$$

t : Espesor.

$$t : \underline{2.50} \text{ mm}$$

ϕ : Ángulo que forma el alma con la horizontal.

$$\phi : \underline{90.0} \text{ grados}$$

f_{bv} : Resistencia a cortante, teniendo en cuenta el pandeo.

$$0.83 < \bar{\lambda}_w < 1.40 \rightarrow f_{bv} = 0.48 \cdot f_{yb} / \bar{\lambda}_w$$

$$f_{bv} : \underline{1012.46} \text{ kp/cm}^2$$

Siendo:

$\bar{\lambda}_w$: Esbeltez relativa del alma.

$$\bar{\lambda}_w = 0.346 \cdot \frac{h_w}{t} \cdot \sqrt{\frac{f_{yb}}{E}}$$

$$\bar{\lambda}_w : \underline{1.14}$$

Donde:

f_{yb} : Límite elástico del material base. (CTE DB SE-A, Tabla 4.1)

$$f_{yb} : \underline{2395.51} \text{ kp/cm}^2$$

E : Módulo de elasticidad.

$$E : \underline{2140672.78} \text{ kp/cm}^2$$

γ_{M0} : Coeficiente parcial de seguridad del material.

$$\gamma_{M0} : \underline{1.05}$$

Resistencia a tracción y flexión (CTE DB SE-A y Eurocódigo 3 EN 1993-1-3: 2006, Artículos 6.1.8 y 6.3)

No hay interacción entre axil de tracción y momento flector para ninguna combinación. Por lo tanto, la comprobación no procede.

Resistencia a compresión y flexión (CTE DB SE-A y Eurocódigo 3 EN 1993-1-3: 2006, Artículos 6.1.9 y 6.2.5)

No hay interacción entre axil de compresión y momento flector para ninguna combinación. Por lo tanto, la comprobación no procede.

Resistencia a cortante, axil y flexión (CTE DB SE-A y Eurocódigo 3 EN 1993-1-3: 2006, Artículo 6.1.10)

No hay interacción entre momento flector, axil y cortante para ninguna combinación. Por lo tanto, la comprobación no procede.

Resistencia a torsión combinada con axil, flexión y cortante (CTE DB SE-A y Eurocódigo 3 EN 1993-1-3: 2006, Artículo 6.1.6)

La comprobación no procede, ya que no hay momento torsor.

Comprobación de flecha
El perfil seleccionado cumple todas las comprobaciones.
Porcentajes de aprovechamiento:
- Flecha: 71.84 %


A1.2.1.2 Correas laterales

Datos de correas laterales	
Descripción de correas	Parámetros de cálculo
Tipo de perfil: CF-250x2.5	Límite flecha: $L / 300$
Separación: 1.60 m	Número de vanos: Un vano
Tipo de Acero: S235	Tipo de fijación: Fijación rígida

Comprobación de resistencia

Comprobación de resistencia
El perfil seleccionado cumple todas las comprobaciones.
Aprovechamiento: 74.22 %

Barra pésima en lateral

Perfil: CF-250x2.5 Material: S235									
	Nudos		Longitud (m)	Características mecánicas					
	Inicial	Final		Área (cm ²)	I _y ⁽¹⁾ (cm ⁴)	I _z ⁽¹⁾ (cm ⁴)	I _t ⁽²⁾ (cm ⁴)	y _g ⁽³⁾ (mm)	z _g ⁽³⁾ (mm)
	0.000, 10.000, 0.800	0.000, 5.000, 0.800	5.000	11.09	1032.95	93.71	0.23	-17.48	0.00
	Notas: ⁽¹⁾ Inercia respecto al eje indicado ⁽²⁾ Momento de inercia a torsión uniforme ⁽³⁾ Coordenadas del centro de gravedad								
	Pandeo				Pandeo lateral				
	Plano XY	Plano XZ			Ala sup.	Ala inf.			
β	0.00	1.00			0.00	0.00			
L _K	0.000	5.000			0.000	0.000			
C ₁	-				1.000				
Notación: β: Coeficiente de pandeo L _K : Longitud de pandeo (m) C ₁ : Factor de modificación para el momento crítico									

COMPROBACIONES (CTE DB SE-A)														
Barra	b / t	$\bar{\lambda}$	N _t	N _c	M _y	M _z	M _y M _z	V _y	V _z	N _t M _y M _z	N _c M _y M _z	NM _y M _z V _y V _z	M _t NM _y M _z V _y V _z	Estado
pésima en lateral	b / t ≤ (b / t) _{Máx.} Cumple	N.P. ⁽¹⁾	N.P. ⁽²⁾	N.P. ⁽³⁾	x: 2.5 m η = 74.2	N.P. ⁽⁴⁾	N.P. ⁽⁵⁾	N.P. ⁽⁶⁾	x: 0 m η = 17.8	N.P. ⁽⁷⁾	N.P. ⁽⁸⁾	N.P. ⁽⁹⁾	N.P. ⁽¹⁰⁾	CUMPLE E η = 74.2
Notación: b / t: Relación anchura / espesor λ̄: Limitación de esbeltez N _t : Resistencia a tracción N _c : Resistencia a compresión M _y : Resistencia a flexión. Eje Y M _z : Resistencia a flexión. Eje Z M _y M _z : Resistencia a flexión biaxial V _y : Resistencia a corte Y V _z : Resistencia a corte Z N _t M _y M _z : Resistencia a tracción y flexión N _c M _y M _z : Resistencia a compresión y flexión NM _y M _z V _y : Resistencia a cortante, axil y flexión M _t NM _y M _z V _y : Resistencia a torsión combinada con axil, flexión y cortante x: Distancia al origen de la barra η: Coeficiente de aprovechamiento (%) N.P.: No procede														
Comprobaciones que no proceden (N.P.): ⁽¹⁾ La comprobación no procede, ya que no hay axil de compresión ni de tracción. ⁽²⁾ La comprobación no procede, ya que no hay axil de tracción. ⁽³⁾ La comprobación no procede, ya que no hay axil de compresión. ⁽⁴⁾ La comprobación no procede, ya que no hay momento flector. ⁽⁵⁾ La comprobación no procede, ya que no hay flexión biaxial para ninguna combinación. ⁽⁶⁾ La comprobación no procede, ya que no hay esfuerzo cortante. ⁽⁷⁾ No hay interacción entre axil de tracción y momento flector para ninguna combinación. Por lo tanto, la comprobación no procede. ⁽⁸⁾ No hay interacción entre axil de compresión y momento flector para ninguna combinación. Por lo tanto, la comprobación no procede. ⁽⁹⁾ No hay interacción entre momento flector, axil y cortante para ninguna combinación. Por lo tanto, la comprobación no procede. ⁽¹⁰⁾ La comprobación no procede, ya que no hay momento torsor.														

Relación anchura / espesor (CTE DB SE-A, Tabla 5.5 y Eurocódigo 3 EN 1993-1-3: 2006, Artículo 5.2)

Se debe satisfacer:

$$h/t \leq 250$$

$$h / t : \underline{96.0} \quad \checkmark$$

$$b/t \leq 90$$

$$b / t : \underline{28.0} \quad \checkmark$$

$$c/t \leq 30$$

$$c / t : \underline{8.0} \quad \checkmark$$

Los rigidizadores proporcionan suficiente rigidez, ya que se cumple:

$$0.2 \leq c/b \leq 0.6$$

$$c / b : \underline{0.286}$$

Donde:

h: Altura del alma.

$$h : \underline{240.00} \text{ mm}$$

b: Ancho de las alas.

$$b : \underline{70.00} \text{ mm}$$

c: Altura de los rigidizadores.

$$c : \underline{20.00} \text{ mm}$$

t: Espesor.

$$t : \underline{2.50} \text{ mm}$$

Nota: Las dimensiones no incluyen el acuerdo entre elementos.

Limitación de esbeltez (CTE DB SE-A, Artículos 6.3.1 y 6.3.2.1 - Tabla 6.3)

La comprobación no procede, ya que no hay axil de compresión ni de tracción.

Resistencia a tracción (CTE DB SE-A y Eurocódigo 3 EN 1993-1-3: 2006, Artículo 6.1.2)

La comprobación no procede, ya que no hay axil de tracción.

Resistencia a compresión (CTE DB SE-A y Eurocódigo 3 EN 1993-1-3: 2006, Artículo 6.1.3)

La comprobación no procede, ya que no hay axil de compresión.

Resistencia a flexión. Eje Y (CTE DB SE-A y Eurocódigo 3 EN 1993-1-3: 2006, Artículo 6.1.4.1)

Se debe satisfacer:

$$\eta = \frac{M_{Ed}}{M_{c,Rd}} \leq 1$$

$$\eta : \underline{0.742} \quad \checkmark$$

Para flexión positiva:

M_{v,Ed}: Momento flector solicitante de cálculo pésimo.

$$M_{v,Ed}^+ : \underline{0.000} \text{ t}\cdot\text{m}$$

Para flexión negativa:

El esfuerzo solicitante de cálculo pésimo se produce en un punto situado a una distancia de 2.500 m del nudo 0.000, 10.000, 0.800, para la combinación de acciones $0.80 \cdot G1 + 0.80 \cdot G2 + 1.50 \cdot V(270^\circ)$ H1.

$M_{v,Ed}$: Momento flector solicitante de cálculo pésimo.

$M_{v,Ed}$: 1.317 t·m

La resistencia de cálculo a flexión $M_{c,Rd}$ viene dada por:

$$M_{c,Rd} = \frac{W_{eff} \cdot f_{yb}}{\gamma_{M0}}$$

$M_{c,Rd}$: 1.775 t·m

Donde:

W_{eff} : Módulo resistente eficaz correspondiente a la fibra de mayor tensión.

W_{eff} : 77.81 cm³

f_{yb} : Límite elástico del material base. (CTE DB SE-A, Tabla 4.1)

f_{yb} : 2395.51 kp/cm²

γ_{M0} : Coeficiente parcial de seguridad del material.

γ_{M0} : 1.05

Resistencia a pandeo lateral del ala superior: (CTE DB SE-A y Eurocódigo 3 EN 1993-1-3: 2006, Artículo 6.2.4)

La comprobación a pandeo lateral no procede, ya que no hay momento flector.

Resistencia a pandeo lateral del ala inferior: (CTE DB SE-A y Eurocódigo 3 EN 1993-1-3: 2006, Artículo 6.2.4)

La comprobación a pandeo lateral no procede, ya que la longitud de pandeo lateral es nula.

Resistencia a flexión. Eje Z (CTE DB SE-A y Eurocódigo 3 EN 1993-1-3: 2006, Artículo 6.1.4.1)

La comprobación no procede, ya que no hay momento flector.

Resistencia a flexión biaxial (CTE DB SE-A y Eurocódigo 3 EN 1993-1-3: 2006, Artículo 6.1.4.1)

La comprobación no procede, ya que no hay flexión biaxial para ninguna combinación.

Resistencia a corte Y (CTE DB SE-A y Eurocódigo 3 EN 1993-1-3: 2006, Artículo 6.1.5)

La comprobación no procede, ya que no hay esfuerzo cortante.

Resistencia a corte Z (CTE DB SE-A y Eurocódigo 3 EN 1993-1-3: 2006, Artículo 6.1.5)

Se debe satisfacer:

$$\eta = \frac{V_{Ed}}{V_{b,Rd}} \leq 1$$

η : 0.178 ✓

El esfuerzo solicitante de cálculo pésimo se produce en el nudo 0.000, 10.000, 0.800, para la combinación de acciones $0.80 \cdot G1 + 0.80 \cdot G2 + 1.50 \cdot V(270^\circ)$ H1.

V_{Ed} : Esfuerzo cortante solicitante de cálculo pésimo.

V_{Ed} : 1.054 t

El esfuerzo cortante resistente de cálculo $V_{b,Rd}$ viene dado por:

$$V_{b,Rd} = \frac{\frac{h_w}{\sin \phi} \cdot t \cdot f_{dv}}{\gamma_{M0}}$$

$V_{b,Rd}$: 5.913 t

Donde:

h_w : Altura del alma.

h_w : 245.30 mm

t : Espesor.

t : 2.50 mm

ϕ : Ángulo que forma el alma con la horizontal.

ϕ : 90.0 grados

f_{bv} : Resistencia a cortante, teniendo en cuenta el pandeo.

$$0.83 < \bar{\lambda}_w < 1.40 \rightarrow f_{bv} = 0.48 \cdot f_{yb} / \bar{\lambda}_w$$

f_{bv} : 1012.46 kp/cm²

Siendo:

$\bar{\lambda}_w$: Esbeltez relativa del alma.

$$\bar{\lambda}_w = 0.346 \cdot \frac{h_w}{t} \cdot \sqrt{\frac{f_{yb}}{E}}$$

$\bar{\lambda}_w$: 1.14

Donde:

f_{yb} : Límite elástico del material base. (CTE DB SE-A, Tabla 4.1)

f_{yb} : 2395.51 kp/cm²

E : Módulo de elasticidad.

E : 2140672.78 kp/cm²

γ_{m0} : Coeficiente parcial de seguridad del material.

γ_{m0} : 1.05

Resistencia a tracción y flexión (CTE DB SE-A y Eurocódigo 3 EN 1993-1-3: 2006, Artículos 6.1.8 y 6.3)

No hay interacción entre axil de tracción y momento flector para ninguna combinación. Por lo tanto, la comprobación no procede.

Resistencia a compresión y flexión (CTE DB SE-A y Eurocódigo 3 EN 1993-1-3: 2006, Artículos 6.1.9 y 6.2.5)

No hay interacción entre axil de compresión y momento flector para ninguna combinación. Por lo tanto, la comprobación no procede.

Resistencia a cortante, axil y flexión (CTE DB SE-A y Eurocódigo 3 EN 1993-1-3: 2006, Artículo 6.1.10)

No hay interacción entre momento flector, axil y cortante para ninguna combinación. Por lo tanto, la comprobación no procede.

Resistencia a torsión combinada con axil, flexión y cortante (CTE DB SE-A y Eurocódigo 3 EN 1993-1-3: 2006, Artículo 6.1.6)

La comprobación no procede, ya que no hay momento torsor.

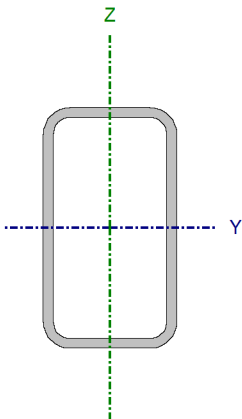
Comprobación de flecha
El perfil seleccionado cumple todas las comprobaciones.
Porcentajes de aprovechamiento:
- Flecha: 62.06 %

Medición de correas			
Tipo de correas	Nº de correas	Peso lineal kg/m	Peso superficial kg/m ²
Correas de cubierta	58	504.71	5.61
Correas laterales	28	243.65	2.71

A1.2.2. Pórtico interior

A continuación se van a representar los elementos característicos del pórtico interior, en concreto el pórtico número 8, para mas información se puede consultar el plano número 05.

A1.2.2.1. Pilar exterior

Perfil: #180x100x8								
Material: Acero (S275)								
		Nudos		Longitud (m)	Características mecánicas			
		Inicial	Final		Área (cm ²)	I _y ⁽¹⁾ (cm ⁴)	I _z ⁽¹⁾ (cm ⁴)	I _t ⁽²⁾ (cm ⁴)
		N1099	N477	5.088	39.99	1589.89	632.88	1561.01
		Notas: ⁽¹⁾ Inercia respecto al eje indicado ⁽²⁾ Momento de inercia a torsión uniforme						
		Pandeo		Pandeo lateral				
		Plano XY	Plano XZ	Ala sup.	Ala inf.			
β		0.70	0.70	0.00	0.00			
L _K		3.562	3.562	0.000	0.000			
C _m		1.000	1.000	1.000	1.000			
C ₁		-		1.000				
Notación: β: Coeficiente de pandeo L _K : Longitud de pandeo (m) C _m : Coeficiente de momentos C ₁ : Factor de modificación para el momento crítico								

Limitación de esbeltez (CTE DB SE-A, Artículos 6.3.1 y 6.3.2.1 - Tabla 6.3)

La esbeltez reducida $\bar{\lambda}$ de las barras comprimidas debe ser inferior al valor 2.0.

$$\bar{\lambda} = \sqrt{\frac{A \cdot f_y}{N_{cr}}}$$

$\bar{\lambda}$: **1.03** ✓

Donde:

Clase: Clase de la sección, según la capacidad de deformación y de desarrollo de la resistencia plástica de los elementos planos comprimidos de una sección.

Clase : 1

A: Área de la sección bruta para las secciones de clase 1, 2 y 3.

A : 39.99 cm²

f_y: Límite elástico. (CTE DB SE-A, Tabla 4.1)

f_y : 275.00 MPa

N_{cr}: Axil crítico de pandeo elástico.

N_{cr} : 1034.06 kN

El axil crítico de pandeo elástico **N_{cr}** es el menor de los valores obtenidos en a), b) y c):

a) Axil crítico elástico de pandeo por flexión respecto al eje Y.

N_{cr,y} : 2597.73 kN

$$N_{cr,y} = \frac{\pi^2 \cdot E \cdot I_y}{L_{ky}^2}$$

b) Axil crítico elástico de pandeo por flexión respecto al eje Z.

$$N_{cr,z} : 1034.06 \text{ kN}$$

$$N_{cr,z} = \frac{\pi^2 \cdot E \cdot I_z}{L_{kz}^2}$$

c) Axil crítico elástico de pandeo por torsión.

$$N_{cr,T} : \infty$$

$$N_{cr,T} = \frac{1}{i_0^2} \cdot \left[G \cdot I_t + \frac{\pi^2 \cdot E \cdot I_w}{L_{kt}^2} \right]$$

Donde:

I_y : Momento de inercia de la sección bruta, respecto al eje Y.

$$I_y : 1589.89 \text{ cm}^4$$

I_z : Momento de inercia de la sección bruta, respecto al eje Z.

$$I_z : 632.88 \text{ cm}^4$$

I_t : Momento de inercia a torsión uniforme.

$$I_t : 1561.01 \text{ cm}^4$$

I_w : Constante de alabeo de la sección.

$$I_w : 0.00 \text{ cm}^6$$

E : Módulo de elasticidad.

$$E : 210000 \text{ MPa}$$

G : Módulo de elasticidad transversal.

$$G : 81000 \text{ MPa}$$

L_{ky} : Longitud efectiva de pandeo por flexión, respecto al eje Y.

$$L_{ky} : 3.562 \text{ m}$$

L_{kz} : Longitud efectiva de pandeo por flexión, respecto al eje Z.

$$L_{kz} : 3.562 \text{ m}$$

L_{kt} : Longitud efectiva de pandeo por torsión.

$$L_{kt} : 0.000 \text{ m}$$

i_0 : Radio de giro polar de la sección bruta, respecto al centro de torsión.

$$i_0 : 7.46 \text{ cm}$$

$$i_0 = \left(i_y^2 + i_z^2 + y_0^2 + z_0^2 \right)^{0.5}$$

Siendo:

i_y, i_z : Radios de giro de la sección bruta, respecto a los ejes principales de inercia Y y Z.

$$i_y : 6.31 \text{ cm}$$

$$i_z : 3.98 \text{ cm}$$

y_0, z_0 : Coordenadas del centro de torsión en la dirección de los ejes principales Y y Z, respectivamente, relativas al centro de gravedad de la sección.

$$y_0 : 0.00 \text{ mm}$$

$$z_0 : 0.00 \text{ mm}$$

Abolladura del alma inducida por el ala comprimida (Criterio de CYPE Ingenieros, basado en: Eurocódigo 3 EN 1993-1-5: 2006, Artículo 8)

Se debe satisfacer:

$$\frac{h_w}{t_w} \leq k \frac{E}{f_{yf}} \sqrt{\frac{A_w}{A_{fc,ef}}}$$

$$20.50 \leq 414.90 \checkmark$$

Donde:

h_w : Altura del alma.

$$h_w : 164.00 \text{ mm}$$

t_w : Espesor del alma.

$$t_w : 8.00 \text{ mm}$$

A_w : Área del alma.

$$A_w : 26.24 \text{ cm}^2$$

$A_{fc,ef}$: Área reducida del ala comprimida.

$$A_{fc,ef} : 8.00 \text{ cm}^2$$

k : Coeficiente que depende de la clase de la sección.

$$k : 0.30$$

E : Módulo de elasticidad.

$$E : 210000 \text{ MPa}$$

f_{yf} : Límite elástico del acero del ala comprimida.

$$f_{yf} : 275.00 \text{ MPa}$$

Resistencia a tracción (CTE DB SE-A, Artículo 6.2.3)

Se debe satisfacer:

$$\eta = \frac{N_{t,Ed}}{N_{t,Rd}} \leq 1$$

$$\eta : \underline{0.139} \quad \checkmark$$

El esfuerzo solicitante de cálculo pésimo se produce en el nudo N477, para la combinación de acciones 0.8·PP+1.5·V(0°)H1.

N_{t,Ed}: Axil de tracción solicitante de cálculo pésimo.

$$\mathbf{N_{t,Ed}} : \underline{145.19} \text{ kN}$$

La resistencia de cálculo a tracción **N_{t,Rd}** viene dada por:

$$\mathbf{N_{t,Rd}} = A \cdot f_{yd}$$

$$\mathbf{N_{t,Rd}} : \underline{1047.38} \text{ kN}$$

Donde:

A: Área bruta de la sección transversal de la barra.

$$\mathbf{A} : \underline{39.99} \text{ cm}^2$$

f_{yd}: Resistencia de cálculo del acero.

$$\mathbf{f_{yd}} : \underline{261.90} \text{ MPa}$$

$$f_{yd} = f_y / \gamma_{M0}$$

Siendo:

f_y: Límite elástico. (CTE DB SE-A, Tabla 4.1)

$$\mathbf{f_y} : \underline{275.00} \text{ MPa}$$

γ_{M0}: Coeficiente parcial de seguridad del material.

$$\mathbf{\gamma_{M0}} : \underline{1.05}$$

Resistencia a compresión (CTE DB SE-A, Artículo 6.2.5)

Se debe satisfacer:

$$\eta = \frac{N_{c,Ed}}{N_{c,Rd}} \leq 1$$

$$\eta : \underline{0.214} \quad \checkmark$$

$$\eta = \frac{N_{c,Ed}}{N_{b,Rd}} \leq 1$$

$$\eta : \underline{0.411} \quad \checkmark$$

El esfuerzo solicitante de cálculo pésimo se produce en el nudo N1099, para la combinación de acciones 1.35·PP+1.5·V(180°)H4+0.75·N(EI).

N_{c,Ed}: Axil de compresión solicitante de cálculo pésimo.

$$\mathbf{N_{c,Ed}} : \underline{224.54} \text{ kN}$$

La resistencia de cálculo a compresión **N_{c,Rd}** viene dada por:

$$\mathbf{N_{c,Rd}} = A \cdot f_{yd}$$

$$\mathbf{N_{c,Rd}} : \underline{1047.38} \text{ kN}$$

Donde:

Clase: Clase de la sección, según la capacidad de deformación y de desarrollo de la resistencia plástica de los elementos planos comprimidos de una sección.

$$\mathbf{Clase} : \underline{1}$$

A: Área de la sección bruta para las secciones de clase 1, 2 y 3.

$$\mathbf{A} : \underline{39.99} \text{ cm}^2$$

f_{yd}: Resistencia de cálculo del acero.

$$\mathbf{f_{yd}} : \underline{261.90} \text{ MPa}$$

$$f_{yd} = f_y / \gamma_{M0}$$

Siendo:

f_y : Límite elástico. (CTE DB SE-A, Tabla 4.1)

$$f_y : 275.00 \text{ MPa}$$

γ_{M0} : Coeficiente parcial de seguridad del material.

$$\gamma_{M0} : 1.05$$

Resistencia a pandeo: (CTE DB SE-A, Artículo 6.3.2)

La resistencia de cálculo a pandeo $N_{b,Rd}$ en una barra comprimida viene dada por:

$$N_{b,Rd} = \chi \cdot A \cdot f_{yd}$$

$$N_{b,Rd} : 546.74 \text{ kN}$$

Donde:

A: Área de la sección bruta para las secciones de clase 1, 2 y 3.

$$A : 39.99 \text{ cm}^2$$

f_{yd} : Resistencia de cálculo del acero.

$$f_{yd} : 261.90 \text{ MPa}$$

$$f_{yd} = f_y / \gamma_{M1}$$

Siendo:

f_y : Límite elástico. (CTE DB SE-A, Tabla 4.1)

$$f_y : 275.00 \text{ MPa}$$

γ_{M1} : Coeficiente parcial de seguridad del material.

$$\gamma_{M1} : 1.05$$

χ : Coeficiente de reducción por pandeo.

$$\chi = \frac{1}{\Phi + \sqrt{\Phi^2 - (\bar{\lambda})^2}} \leq 1$$

$$\chi_y : 0.75$$

$$\chi_z : 0.52$$

Siendo:

$$\Phi = 0.5 \cdot \left[1 + \alpha \cdot (\bar{\lambda} - 0.2) + (\bar{\lambda})^2 \right]$$

$$\phi_y : 0.82$$

$$\phi_z : 1.24$$

α : Coeficiente de imperfección elástica.

$$\alpha_y : 0.49$$

$$\alpha_z : 0.49$$

$\bar{\lambda}$: Esbeltez reducida.

$$\bar{\lambda} = \sqrt{\frac{A \cdot f_y}{N_{cr}}}$$

$$\bar{\lambda}_y : 0.65$$

$$\bar{\lambda}_z : 1.03$$

N_{cr} : Axil crítico elástico de pandeo, obtenido como el menor de los siguientes valores:

$$N_{cr} : 1034.06 \text{ kN}$$

$N_{cr,y}$: Axil crítico elástico de pandeo por flexión respecto al eje Y.

$$N_{cr,y} : 2597.73 \text{ kN}$$

$N_{cr,z}$: Axil crítico elástico de pandeo por flexión respecto al eje Z.

$$N_{cr,z} : 1034.06 \text{ kN}$$

$N_{cr,T}$: Axil crítico elástico de pandeo por torsión.

$$N_{cr,T} : \infty$$

Resistencia a flexión eje Y (CTE DB SE-A, Artículo 6.2.6)

Se debe satisfacer:

$$\eta = \frac{M_{Ed}}{M_{c,Rd}} \leq 1$$

$$\eta : \underline{0.378} \quad \checkmark$$

Para flexión positiva:

El esfuerzo solicitante de cálculo pésimo se produce en el nudo N477, para la combinación de acciones 1.35·PP+1.5·V(0°)H4+0.75·N(EI).

M_{Ed}^+ : Momento flector solicitante de cálculo pésimo.

$$M_{Ed}^+ : \underline{20.85} \text{ kN}\cdot\text{m}$$

Para flexión negativa:

El esfuerzo solicitante de cálculo pésimo se produce en el nudo N477, para la combinación de acciones 0.8·PP+1.5·V(270°)H1.

M_{Ed}^- : Momento flector solicitante de cálculo pésimo.

$$M_{Ed}^- : \underline{22.26} \text{ kN}\cdot\text{m}$$

El momento flector resistente de cálculo $M_{c,Rd}$ viene dado por:

$$M_{c,Rd} = W_{pl,y} \cdot f_{yd}$$

$$M_{c,Rd} : \underline{58.91} \text{ kN}\cdot\text{m}$$

Donde:

Clase: Clase de la sección, según la capacidad de deformación y de desarrollo de la resistencia plástica de los elementos planos de una sección a flexión simple.

$$\text{Clase} : \underline{1}$$

$W_{pl,y}$: Módulo resistente plástico correspondiente a la fibra con mayor tensión, para las secciones de clase 1 y 2.

$$W_{pl,y} : \underline{224.93} \text{ cm}^3$$

f_{yd} : Resistencia de cálculo del acero.

$$f_{yd} : \underline{261.90} \text{ MPa}$$

$$f_{yd} = f_y / \gamma_{M0}$$

Siendo:

f_y : Límite elástico. (CTE DB SE-A, Tabla 4.1)

$$f_y : \underline{275.00} \text{ MPa}$$

γ_{M0} : Coeficiente parcial de seguridad del material.

$$\gamma_{M0} : \underline{1.05}$$

Resistencia a pandeo lateral: (CTE DB SE-A, Artículo 6.3.3.2)

No procede, dado que las longitudes de pandeo lateral son nulas.

Resistencia a flexión eje Z (CTE DB SE-A, Artículo 6.2.6)

Se debe satisfacer:

$$\eta = \frac{M_{Ed}}{M_{c,Rd}} \leq 1$$

$$\eta : \underline{0.013} \quad \checkmark$$

Para flexión positiva:

El esfuerzo solicitante de cálculo pésimo se produce en el nudo N1099, para la combinación de acciones 1.35·PP+1.5·V(0°)H3+0.75·N(EI).

M_{Ed}^+ : Momento flector solicitante de cálculo pésimo.

$$M_{Ed}^+ : \underline{0.36} \text{ kN}\cdot\text{m}$$

Para flexión negativa:

El esfuerzo solicitante de cálculo pésimo se produce en el nudo N1099, para la combinación de acciones 0.8·PP+1.5·V(270°)H2.

M_{Ed}^- : Momento flector solicitante de cálculo pésimo.

$$M_{Ed}^- : \underline{0.52} \text{ kN}\cdot\text{m}$$

El momento flector resistente de cálculo $M_{c,Rd}$ viene dado por:

$$M_{c,Rd} = W_{pl,z} \cdot f_{yd}$$

$$M_{c,Rd} : \underline{39.14} \text{ kN}\cdot\text{m}$$

Donde:

$$\text{Clase} : \underline{1}$$

Clase: Clase de la sección, según la capacidad de deformación y de desarrollo de la resistencia plástica de los elementos planos de una sección a flexión simple.

$W_{pl,z}$: Módulo resistente plástico correspondiente a la fibra con mayor tensión, para las secciones de clase 1 y 2.

$$W_{pl,z} : 149.45 \text{ cm}^3$$

f_{yd} : Resistencia de cálculo del acero.

$$f_{yd} : 261.90 \text{ MPa}$$

$$f_{yd} = f_y / \gamma_{M0}$$

Siendo:

f_y : Límite elástico. (CTE DB SE-A, Tabla 4.1)

$$f_y : 275.00 \text{ MPa}$$

γ_{M0} : Coeficiente parcial de seguridad del material.

$$\gamma_{M0} : 1.05$$

Resistencia a corte Z (CTE DB SE-A, Artículo 6.2.4)

Se debe satisfacer:

$$\eta = \frac{V_{Ed}}{V_{c,Rd}} \leq 1$$

$$\eta : 0.064 \checkmark$$

El esfuerzo solicitante de cálculo pésimo se produce en el nudo N477, para la combinación de acciones 0.8·PP+1.5·V(270°)H1.

V_{Ed} : Esfuerzo cortante solicitante de cálculo pésimo.

$$V_{Ed} : 25.59 \text{ kN}$$

El esfuerzo cortante resistente de cálculo **$V_{c,Rd}$** viene dado por:

$$V_{c,Rd} = A_v \cdot \frac{f_{yd}}{\sqrt{3}}$$

$$V_{c,Rd} : 396.78 \text{ kN}$$

Donde:

A_v : Área transversal a cortante.

$$A_v : 26.24 \text{ cm}^2$$

$$A_v = 2 \cdot d \cdot t_w$$

Siendo:

d : Altura del alma.

$$d : 164.00 \text{ mm}$$

t_w : Espesor del alma.

$$t_w : 8.00 \text{ mm}$$

f_{yd} : Resistencia de cálculo del acero.

$$f_{yd} : 261.90 \text{ MPa}$$

$$f_{yd} = f_y / \gamma_{M0}$$

Siendo:

f_y : Límite elástico. (CTE DB SE-A, Tabla 4.1)

$$f_y : 275.00 \text{ MPa}$$

γ_{M0} : Coeficiente parcial de seguridad del material.

$$\gamma_{M0} : 1.05$$

Abolladura por cortante del alma: (CTE DB SE-A, Artículo 6.3.3.4)

Aunque no se han dispuesto rigidizadores transversales, no es necesario comprobar la resistencia a la abolladura del alma, puesto que se cumple:

$$20.50 < 64.71 \checkmark$$

$$\frac{d}{t_w} < 70 \cdot \epsilon$$

Donde:

λ_w : Esbeltez del alma.

λ_w : 20.50

$$\lambda_w = \frac{d}{t_w}$$

$\lambda_{m\acute{a}x}$: Esbeltez máxima.

$\lambda_{m\acute{a}x}$: 64.71

ε : Factor de reducción.

ε : 0.92

$$\varepsilon = \sqrt{\frac{f_{ref}}{f_y}}$$

Siendo:

f_{ref} : Límite elástico de referencia.

f_{ref} : 235.00 MPa

f_y : Límite elástico. (CTE DB SE-A, Tabla 4.1)

f_y : 275.00 MPa

Resistencia a corte Y (CTE DB SE-A, Artículo 6.2.4)

Se debe satisfacer:

$$\eta = \frac{V_{Ed}}{V_{c,Rd}} \leq 1$$

η : 0.001 ✓

El esfuerzo solicitante de cálculo pésimo se produce para la combinación de acciones 0.8·PP+1.5·V(270°)H2.

V_{Ed} : Esfuerzo cortante solicitante de cálculo pésimo.

V_{Ed} : 0.15 kN

El esfuerzo cortante resistente de cálculo $V_{c,Rd}$ viene dado por:

$$V_{c,Rd} = A_v \cdot \frac{f_{yd}}{\sqrt{3}}$$

$V_{c,Rd}$: 207.93 kN

Donde:

A_v : Área transversal a cortante.

A_v : 13.75 cm²

$$A_v = A - 2 \cdot d \cdot t_w$$

Siendo:

A : Área de la sección bruta.

A : 39.99 cm²

d : Altura del alma.

d : 164.00 mm

t_w : Espesor del alma.

t_w : 8.00 mm

f_{yd} : Resistencia de cálculo del acero.

f_{yd} : 261.90 MPa

$$f_{yd} = f_y / \gamma_{M0}$$

Siendo:

f_y : Límite elástico. (CTE DB SE-A, Tabla 4.1)

f_y : 275.00 MPa

γ_{M0} : Coeficiente parcial de seguridad del material.

γ_{M0} : 1.05

Abolladura por cortante del alma: (CTE DB SE-A, Artículo 6.3.3.4)

Aunque no se han dispuesto rigidizadores transversales, no es necesario comprobar la resistencia a la abolladura del alma, puesto que se cumple:

$$\frac{b}{t_f} < 70 \cdot \varepsilon$$

Donde:

λ_w : Esbeltez del alma.

λ_w : 12.50

$$\lambda_w = \frac{b}{t_f}$$

$\lambda_{m\acute{a}x}$: Esbeltez máxima.

$\lambda_{m\acute{a}x}$: 64.71

ε : Factor de reducción.

ε : 0.92

$$\varepsilon = \sqrt{\frac{f_{ref}}{f_y}}$$

Siendo:

f_{ref} : Límite elástico de referencia.

f_{ref} : 235.00 MPa

f_y : Límite elástico. (CTE DB SE-A, Tabla 4.1)

f_y : 275.00 MPa

Resistencia a momento flector Y y fuerza cortante Z combinados (CTE DB SE-A, Artículo 6.2.8)

No es necesario reducir la resistencia de cálculo a flexión, ya que el esfuerzo cortante solicitante de cálculo pésimo V_{Ed} no es superior al 50% de la resistencia de cálculo a cortante $V_{c,Rd}$.

$$V_{Ed} \leq \frac{V_{c,Rd}}{2}$$

24.83 kN ≤ 198.39 kN



Los esfuerzos solicitantes de cálculo pésimos se producen para la combinación de acciones 1.35·PP+1.5·V(270°)H1+0.75·N(EI).

V_{Ed} : Esfuerzo cortante solicitante de cálculo pésimo.

V_{Ed} : 24.83 kN

$V_{c,Rd}$: Esfuerzo cortante resistente de cálculo.

$V_{c,Rd}$: 396.78 kN

Resistencia a momento flector Z y fuerza cortante Y combinados (CTE DB SE-A, Artículo 6.2.8)

No es necesario reducir la resistencia de cálculo a flexión, ya que el esfuerzo cortante solicitante de cálculo pésimo V_{Ed} no es superior al 50% de la resistencia de cálculo a cortante $V_{c,Rd}$.

$$V_{Ed} \leq \frac{V_{c,Rd}}{2}$$

0.15 kN ≤ 103.96 kN



Los esfuerzos solicitantes de cálculo pésimos se producen para la combinación de acciones 0.8·PP+1.5·V(270°)H2.

V_{Ed} : Esfuerzo cortante solicitante de cálculo pésimo.

V_{Ed} : 0.15 kN

$V_{c,Rd}$: Esfuerzo cortante resistente de cálculo.

$V_{c,Rd}$: 207.93 kN

Resistencia a flexión y axil combinados (CTE DB SE-A, Artículo 6.2.8)

Se debe satisfacer:

$$\eta = \frac{N_{c,Ed}}{N_{pl,Rd}} + \frac{M_{y,Ed}}{M_{pl,Rd,y}} + \frac{M_{z,Ed}}{M_{pl,Rd,z}} \leq 1$$

$$\eta : \underline{0.488} \quad \checkmark$$

$$\eta = \frac{N_{c,Ed}}{\chi_y \cdot A \cdot f_{yd}} + k_y \cdot \frac{c_{m,y} \cdot M_{y,Ed}}{\chi_{LT} \cdot W_{pl,y} \cdot f_{yd}} + \alpha_z \cdot k_z \cdot \frac{c_{m,z} \cdot M_{z,Ed}}{W_{pl,z} \cdot f_{yd}} \leq 1$$

$$\eta : \underline{0.293} \quad \checkmark$$

Los esfuerzos solicitantes de cálculo p^{és}imos se producen en el nudo N477, para la combinaci3n de acciones 0.8·PP+1.5·V(270°)H1.

Donde:

N_{t,Ed}: Axil de tracci3n solicitante de c3lculo p^{és}imo.

$$N_{t,Ed} : \underline{113.35} \text{ kN}$$

M_{y,Ed}, M_{z,Ed}: Momentos flectores solicitantes de c3lculo p^{és}imos, seg^{ún} los ejes Y y Z, respectivamente.

$$M_{y,Ed} : \underline{22.26} \text{ kN}\cdot\text{m}$$

$$M_{z,Ed} : \underline{0.08} \text{ kN}\cdot\text{m}$$

Clase: Clase de la secci3n, seg^{ún} la capacidad de deformaci3n y de desarrollo de la resistencia pl3stica de sus elementos planos, para axil y flexi3n simple.

$$\text{Clase} : \underline{1}$$

N_{pl,Rd}: Resistencia a tracci3n.

$$N_{pl,Rd} : \underline{1047.38} \text{ kN}$$

M_{pl,Rd,y}, M_{pl,Rd,z}: Resistencia a flexi3n de la secci3n bruta en condiciones pl3sticas, respecto a los ejes Y y Z, respectivamente.

$$M_{pl,Rd,y} : \underline{58.91} \text{ kN}\cdot\text{m}$$

$$M_{pl,Rd,z} : \underline{39.14} \text{ kN}\cdot\text{m}$$

Resistencia a pandeo: (CTE DB SE-A, Art3culo 6.3.4.1)

M_{ef,Ed}: Momento flector solicitante de c3lculo p^{és}imo.

$$M_{ef,Ed} : \underline{-17.16} \text{ kN}\cdot\text{m}$$

Siendo:

σ_{com,Ed}: Tensi3n combinada en la fibra extrema comprimida.

$$\sigma_{com,Ed} : \underline{76.28} \text{ MPa}$$

W_{y,com}: M3dulo resistente de la secci3n referido a la fibra extrema comprimida, alrededor del eje Y.

$$W_{y,com} : \underline{224.93} \text{ cm}^3$$

A: 3rea de la secci3n bruta.

$$A : \underline{39.99} \text{ cm}^2$$

M_{b,Rd,y}: Momento flector resistente de c3lculo.

$$M_{b,Rd,y} : \underline{58.91} \text{ kN}\cdot\text{m}$$

Resistencia a flexi3n, axil y cortante combinados (CTE DB SE-A, Art3culo 6.2.8)

No es necesario reducir las resistencias de c3lculo a flexi3n y a axil, ya que se puede ignorar el efecto de abolladura por esfuerzo cortante y, adem3s, el esfuerzo cortante solicitante de c3lculo p^{és}imo **V_{Ed}** es menor o igual que el 50% del esfuerzo cortante resistente de c3lculo **V_{c,Rd}**.

Los esfuerzos solicitantes de c3lculo p^{és}imos se producen para la combinaci3n de acciones 1.35·PP+1.5·V(270°)H1+0.75·N(EI).

$$V_{Ed,y} \leq \frac{V_{c,Rd,y}}{2}$$

$$24.83 \text{ kN} \leq 198.14 \text{ kN}$$



Donde:

V_{Ed,z}: Esfuerzo cortante solicitante de c3lculo p^{és}imo.

$$V_{Ed,z} : \underline{24.83} \text{ kN}$$

V_{c,Rd,z}: Esfuerzo cortante resistente de c3lculo.

$$V_{c,Rd,z} : \underline{396.28} \text{ kN}$$

Resistencia a torsión (CTE DB SE-A, Artículo 6.2.7)

Se debe satisfacer:

$$\eta = \frac{M_{T,Ed}}{M_{T,Rd}} \leq 1$$

$$\eta : \underline{0.001} \quad \checkmark$$

El esfuerzo solicitante de cálculo pésimo se produce para la combinación de acciones 0.8·PP+1.5·V(90°)H2.

M_{T,Ed}: Momento torsor solicitante de cálculo pésimo.

$$\mathbf{M_{T,Ed}} : \underline{0.05} \text{ kN}\cdot\text{m}$$

El momento torsor resistente de cálculo **M_{T,Rd}** viene dado por:

$$\mathbf{M_{T,Rd}} = \frac{1}{\sqrt{3}} \cdot W_T \cdot f_{yd}$$

$$\mathbf{M_{T,Rd}} : \underline{38.28} \text{ kN}\cdot\text{m}$$

Donde:

W_T: Módulo de resistencia a torsión.

$$\mathbf{W_T} : \underline{253.18} \text{ cm}^3$$

f_{yd}: Resistencia de cálculo del acero.

$$\mathbf{f_{yd}} : \underline{261.90} \text{ MPa}$$

$$\mathbf{f_{yd}} = f_y / \gamma_{M0}$$

Siendo:

f_y: Límite elástico. (CTE DB SE-A, Tabla 4.1)

$$\mathbf{f_y} : \underline{275.00} \text{ MPa}$$

γ_{M0}: Coeficiente parcial de seguridad del material.

$$\mathbf{\gamma_{M0}} : \underline{1.05}$$

Resistencia a cortante Z y momento torsor combinados (CTE DB SE-A, Artículo 6.2.8)

Se debe satisfacer:

$$\eta = \frac{V_{Ed}}{V_{pl,T,Rd}} \leq 1$$

$$\eta : \underline{0.065} \quad \checkmark$$

Los esfuerzos solicitantes de cálculo pésimos se producen en el nudo N477, para la combinación de acciones 0.8·PP+1.5·V(270°)H1.

V_{Ed}: Esfuerzo cortante solicitante de cálculo pésimo.

$$\mathbf{V_{Ed}} : \underline{25.59} \text{ kN}$$

M_{T,Ed}: Momento torsor solicitante de cálculo pésimo.

$$\mathbf{M_{T,Ed}} : \underline{0.04} \text{ kN}\cdot\text{m}$$

El esfuerzo cortante resistente de cálculo reducido **V_{pl,T,Rd}** viene dado por:

$$\mathbf{V_{pl,T,Rd}} = \left[1 - \frac{\tau_{T,Ed}}{f_{yd}/\sqrt{3}} \right] \cdot V_{pl,Rd}$$

$$\mathbf{V_{pl,T,Rd}} : \underline{396.33} \text{ kN}$$

Donde:

V_{pl,Rd}: Esfuerzo cortante resistente de cálculo.

$$\mathbf{V_{pl,Rd}} : \underline{396.78} \text{ kN}$$

τ_{T,Ed}: Tensiones tangenciales por torsión.

$$\mathbf{\tau_{T,Ed}} : \underline{0.17} \text{ MPa}$$

$$\mathbf{\tau_{T,Ed}} = \frac{M_{T,Ed}}{W_t}$$

Siendo:

W_T: Módulo de resistencia a torsión.

$$\mathbf{W_T} : \underline{253.18} \text{ cm}^3$$

f_{yd}: Resistencia de cálculo del acero.

$$\mathbf{f_{yd}} : \underline{261.90} \text{ MPa}$$

$$\mathbf{f_{yd}} = f_y / \gamma_{M0}$$

Siendo:

f_y : Límite elástico. (CTE DB SE-A, Tabla 4.1)
 γ_{M0} : Coeficiente parcial de seguridad del material.

f_y : 275.00 MPa
 γ_{M0} : 1.05

Resistencia a cortante Y y momento torsor combinados (CTE DB SE-A, Artículo 6.2.8)

Se debe satisfacer:

$$\eta = \frac{V_{Ed}}{V_{pl,T,Rd}} \leq 1$$

η : 0.001 ✓

Los esfuerzos solicitantes de cálculo pésimos se producen para la combinación de acciones 0.8·PP+1.5·V(270°)H2.

V_{Ed} : Esfuerzo cortante solicitante de cálculo pésimo.

V_{Ed} : 0.15 kN

$M_{T,Ed}$: Momento torsor solicitante de cálculo pésimo.

$M_{T,Ed}$: 0.04 kN·m

El esfuerzo cortante resistente de cálculo reducido $V_{pl,T,Rd}$ viene dado por:

$$V_{pl,T,Rd} = \left[1 - \frac{\tau_{T,Ed}}{f_{yd}/\sqrt{3}} \right] \cdot V_{pl,Rd}$$

$V_{pl,T,Rd}$: 207.72 kN

Donde:

$V_{pl,Rd}$: Esfuerzo cortante resistente de cálculo.

$V_{pl,Rd}$: 207.93 kN

$\tau_{T,Ed}$: Tensiones tangenciales por torsión.

$\tau_{T,Ed}$: 0.15 MPa

$$\tau_{T,Ed} = \frac{M_{T,Ed}}{W_t}$$

Siendo:

W_T : Módulo de resistencia a torsión.

W_T : 253.18 cm³

f_{yd} : Resistencia de cálculo del acero.

f_{yd} : 261.90 MPa

$$f_{yd} = f_y / \gamma_{M0}$$

Siendo:

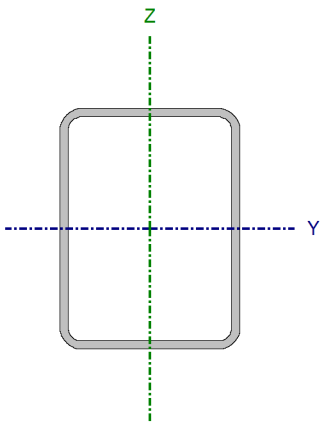
f_y : Límite elástico. (CTE DB SE-A, Tabla 4.1)

f_y : 275.00 MPa

γ_{M0} : Coeficiente parcial de seguridad del material.

γ_{M0} : 1.05

A1.2.2.2. Pilar interior

Perfil: #160x120x6 Material: Acero (S275)							
	Nudos		Longitud (m)	Características mecánicas			
	Inicial	Final		Área (cm ²)	I _y ⁽¹⁾ (cm ⁴)	I _z ⁽¹⁾ (cm ⁴)	I _t ⁽²⁾ (cm ⁴)
	N1122	N853	5.088	30.89	1097.16	704.43	1417.32
	Notas:						
	⁽¹⁾ Inercia respecto al eje indicado						
	⁽²⁾ Momento de inercia a torsión uniforme						
		Pandeo		Pandeo lateral			
	Plano XY	Plano XZ	Ala sup.	Ala inf.			
β	0.70	0.70	0.00	0.00			
L _K	3.562	3.562	0.000	0.000			
C _m	1.000	1.000	1.000	1.000			
C ₁	-		1.000				
Notación:							
β: Coeficiente de pandeo							
L _K : Longitud de pandeo (m)							
C _m : Coeficiente de momentos							
C ₁ : Factor de modificación para el momento crítico							

Limitación de esbeltez (CTE DB SE-A, Artículos 6.3.1 y 6.3.2.1 - Tabla 6.3)

La esbeltez reducida $\bar{\lambda}$ de las barras comprimidas debe ser inferior al valor 2.0.

$$\bar{\lambda} = \sqrt{\frac{A_{ef} \cdot f_y}{N_{cr}}}$$

$\bar{\lambda}$: **0.86** ✓

Donde:

Clase: Clase de la sección, según la capacidad de deformación y de desarrollo de la resistencia plástica de los elementos planos comprimidos de una sección.

Clase : 1

A: Área de la sección bruta para las secciones de clase 1, 2 y 3.

A : 30.89 cm²

f_y: Límite elástico. (CTE DB SE-A, Tabla 4.1)

f_y : 275.00 MPa

N_{cr}: Axil crítico de pandeo elástico.

N_{cr} : 1150.96 kN

El axil crítico de pandeo elástico **N_{cr}** es el menor de los valores obtenidos en a), b) y c):

a) Axil crítico elástico de pandeo por flexión respecto al eje Y.

N_{cr,y} : 1792.65 kN

$$N_{cr,y} = \frac{\pi^2 \cdot E \cdot I_y}{L_{ky}^2}$$

b) Axil crítico elástico de pandeo por flexión respecto al eje Z.

N_{cr,z} : 1150.96 kN

$$N_{cr,z} = \frac{\pi^2 \cdot E \cdot I_z}{L_{kz}^2}$$

c) Axil crítico elástico de pandeo por torsión.

N_{cr,T} : ∞

$$N_{cr,T} = \frac{1}{i_0^2} \cdot \left[G \cdot I_t + \frac{\pi^2 \cdot E \cdot I_w}{L_{kt}^2} \right]$$

Donde:

I_y : Momento de inercia de la sección bruta, respecto al eje Y.	I_y : <u>1097.16</u> cm ⁴
I_z : Momento de inercia de la sección bruta, respecto al eje Z.	I_z : <u>704.43</u> cm ⁴
I_t : Momento de inercia a torsión uniforme.	I_t : <u>1417.32</u> cm ⁴
I_w : Constante de alabeo de la sección.	I_w : <u>0.00</u> cm ⁶
E : Módulo de elasticidad.	E : <u>210000</u> MPa
G : Módulo de elasticidad transversal.	G : <u>81000</u> MPa
L_{ky} : Longitud efectiva de pandeo por flexión, respecto al eje Y.	L_{ky} : <u>3.562</u> m
L_{kz} : Longitud efectiva de pandeo por flexión, respecto al eje Z.	L_{kz} : <u>3.562</u> m
L_{kt} : Longitud efectiva de pandeo por torsión.	L_{kt} : <u>0.000</u> m
i_o : Radio de giro polar de la sección bruta, respecto al centro de torsión.	i_o : <u>7.64</u> cm

$$i_o = (i_y^2 + i_z^2 + y_o^2 + z_o^2)^{0.5}$$

Siendo:

i_y , i_z : Radios de giro de la sección bruta, respecto a los ejes principales de inercia Y y Z.	i_y : <u>5.96</u> cm
	i_z : <u>4.78</u> cm
y_o , z_o : Coordenadas del centro de torsión en la dirección de los ejes principales Y y Z, respectivamente, relativas al centro de gravedad de la sección.	y_o : <u>0.00</u> mm
	z_o : <u>0.00</u> mm

Abolladura del alma inducida por el ala comprimida (Criterio de CYPE Ingenieros, basado en: Eurocódigo 3 EN 1993-1-5: 2006, Artículo 8)

Se debe satisfacer:

$$\frac{h_w}{t_w} \leq k \frac{E}{f_{yf}} \sqrt{\frac{A_w}{A_{fc,ef}}}$$

$$24.67 \leq 359.80 \quad \checkmark$$

Donde:

h_w : Altura del alma.	h_w : <u>148.00</u> mm
t_w : Espesor del alma.	t_w : <u>6.00</u> mm
A_w : Área del alma.	A_w : <u>17.76</u> cm ²
A_{fc,ef} : Área reducida del ala comprimida.	A_{fc,ef} : <u>7.20</u> cm ²
k : Coeficiente que depende de la clase de la sección.	k : <u>0.30</u>
E : Módulo de elasticidad.	E : <u>210000</u> MPa
f_{yf} : Límite elástico del acero del ala comprimida.	f_{yf} : <u>275.00</u> MPa

Resistencia a tracción (CTE DB SE-A, Artículo 6.2.3)

Se debe satisfacer:

$$\eta = \frac{N_{t,Ed}}{N_{t,Rd}} \leq 1$$

$$\eta : \underline{0.285} \quad \checkmark$$

El esfuerzo solicitante de cálculo pésimo se produce en el nudo N853, para la combinación de acciones 1.35·PP+1.5·V(180°)H4+0.75·N(R)1.

N_{t,Ed}: Axil de tracción solicitante de cálculo pésimo.

N_{t,Ed} : 230.70 kN

La resistencia de cálculo a tracción **N_{t,Rd}** viene dada por:

$$N_{t,Rd} = A \cdot f_{yd}$$

N_{t,Rd} : 809.15 kN

Donde:

A: Área bruta de la sección transversal de la barra.

A : 30.89 cm²

f_{yd}: Resistencia de cálculo del acero.

f_{yd} : 261.90 MPa

$$f_{yd} = f_y / \gamma_{M0}$$

Siendo:

f_y: Límite elástico. (CTE DB SE-A, Tabla 4.1)

f_y : 275.00 MPa

γ_{M0}: Coeficiente parcial de seguridad del material.

γ_{M0} : 1.05

Resistencia a compresión (CTE DB SE-A, Artículo 6.2.5)

Se debe satisfacer:

$$\eta = \frac{N_{c,Ed}}{N_{c,Rd}} \leq 1$$

η : 0.344 ✓

$$\eta = \frac{N_{c,Ed}}{N_{b,Rd}} \leq 1$$

η : 0.551 ✓

El esfuerzo solicitante de cálculo pésimo se produce en el nudo N1122, para la combinación de acciones 0.8·PP+1.5·V(0°)H3.

N_{c,Ed}: Axil de compresión solicitante de cálculo pésimo.

N_{c,Ed} : 278.66 kN

La resistencia de cálculo a compresión **N_{c,Rd}** viene dada por:

$$N_{c,Rd} = A_{ef} \cdot f_{yd}$$

N_{c,Rd} : 809.15 kN

Donde:

Clase: Clase de la sección, según la capacidad de deformación y de desarrollo de la resistencia plástica de los elementos planos comprimidos de una sección.

Clase : 1

A: Área de la sección bruta para las secciones de clase 1, 2 y 3.

A : 30.89 cm²

f_{yd}: Resistencia de cálculo del acero.

f_{yd} : 261.90 MPa

$$f_{yd} = f_y / \gamma_{M0}$$

Siendo:

f_y: Límite elástico. (CTE DB SE-A, Tabla 4.1)

f_y : 275.00 MPa

γ_{M0}: Coeficiente parcial de seguridad del material.

γ_{M0} : 1.05

Resistencia a pandeo (CTE DB SE-A, Artículo 6.3.2)

La resistencia de cálculo a pandeo **N_{b,Rd}** en una barra comprimida viene dada por:

$$N_{b,Rd} = \chi \cdot A_{ef} \cdot f_{yd}$$

N_{b,Rd} : 505.81 kN

Donde:

A: Área de la sección bruta para las secciones de clase 1, 2 y 3.

$$A : 30.89 \text{ cm}^2$$

f_{yd}: Resistencia de cálculo del acero.

$$f_{yd} : 261.90 \text{ MPa}$$

$$f_{yd} = f_y / \gamma_{M1}$$

Siendo:

f_y: Límite elástico. (CTE DB SE-A, Tabla 4.1)

$$f_y : 275.00 \text{ MPa}$$

γ_{M1}: Coeficiente parcial de seguridad del material.

$$\gamma_{M1} : 1.05$$

χ: Coeficiente de reducción por pandeo.

$$\chi = \frac{1}{\Phi + \sqrt{\Phi^2 - (\bar{\lambda})^2}} \leq 1$$

$$\chi_y : 0.73$$

$$\chi_z : 0.63$$

Siendo:

$$\Phi = 0.5 \cdot \left[1 + \alpha \cdot (\bar{\lambda} - 0.2) + (\bar{\lambda})^2 \right]$$

$$\phi_y : 0.86$$

$$\phi_z : 1.03$$

α: Coeficiente de imperfección elástica.

$$\alpha_y : 0.49$$

$$\alpha_z : 0.49$$

λ̄: Esbeltez reducida.

$$\bar{\lambda} = \sqrt{\frac{A_{ef} \cdot f_y}{N_{cr}}}$$

$$\bar{\lambda}_y : 0.69$$

$$\bar{\lambda}_z : 0.86$$

N_{cr}: Axil crítico elástico de pandeo, obtenido como el menor de los siguientes valores:

$$N_{cr} : 1150.96 \text{ kN}$$

N_{cr,y}: Axil crítico elástico de pandeo por flexión respecto al eje Y.

$$N_{cr,y} : 1792.65 \text{ kN}$$

N_{cr,z}: Axil crítico elástico de pandeo por flexión respecto al eje Z.

$$N_{cr,z} : 1150.96 \text{ kN}$$

N_{cr,T}: Axil crítico elástico de pandeo por torsión.

$$N_{cr,T} : \infty$$

Resistencia a flexión eje Y (CTE DB SE-A, Artículo 6.2.6)

Se debe satisfacer:

$$\eta = \frac{M_{Ed}}{M_{c,Rd}} \leq 1$$

$$\eta : 0.050 \checkmark$$

Para flexión positiva:

El esfuerzo solicitante de cálculo pésimo se produce en el nudo N1122, para la combinación de acciones 0.8·PP+1.5·V(0°)H1.

M_{Ed}⁺: Momento flector solicitante de cálculo pésimo.

$$M_{Ed}^+ : 2.16 \text{ kN}\cdot\text{m}$$

Para flexión negativa:

El esfuerzo solicitante de cálculo pésimo se produce en el nudo N1122, para la combinación de acciones 1.35·PP+1.5·V(180°)H4+0.75·N(EI).

M_{Ed}⁻: Momento flector solicitante de cálculo pésimo.

$$M_{Ed}^- : 1.50 \text{ kN}\cdot\text{m}$$

El momento flector resistente de cálculo **M_{c,Rd}** viene dado por:

$$M_{c,Rd} = W_{pl,y} \cdot f_{yd}$$

$$M_{c,Rd} : 43.60 \text{ kN}\cdot\text{m}$$

Donde:

Clase: Clase de la sección, según la capacidad de deformación y de desarrollo de la resistencia plástica de los elementos planos de una sección a flexión simple.

Clase : 1

$W_{pl,y}$: Módulo resistente plástico correspondiente a la fibra con mayor tensión, para las secciones de clase 1 y 2.

$W_{pl,y}$: 166.47 cm³

f_{yd} : Resistencia de cálculo del acero.

f_{yd} : 261.90 MPa

$$f_{yd} = f_y / \gamma_{M0}$$

Siendo:

f_y : Límite elástico. (CTE DB SE-A, Tabla 4.1)

f_y : 275.00 MPa

γ_{M0} : Coeficiente parcial de seguridad del material.

γ_{M0} : 1.05

Resistencia a pandeo lateral: (CTE DB SE-A, Artículo 6.3.3.2)

No procede, dado que las longitudes de pandeo lateral son nulas.

Resistencia a flexión eje Z (CTE DB SE-A, Artículo 6.2.6)

Se debe satisfacer:

$$\eta = \frac{M_{Ed}}{M_{c,Rd}} \leq 1$$

$$M_{c,Rd} = W_{pl,z} \cdot f_{yd}$$

η : 0.021 ✓

Para flexión positiva:

El esfuerzo solicitante de cálculo pésimo se produce en el nudo N1122, para la combinación de acciones 1.35·PP+1.5·V(90°)H1+0.75·N(R)1.

M_{Ed}^+ : Momento flector solicitante de cálculo pésimo.

M_{Ed}^+ : 0.60 kN·m

Para flexión negativa:

El esfuerzo solicitante de cálculo pésimo se produce en el nudo N1122, para la combinación de acciones 0.8·PP+1.5·V(270°)H2.

M_{Ed}^- : Momento flector solicitante de cálculo pésimo.

M_{Ed}^- : 0.77 kN·m

El momento flector resistente de cálculo **$M_{c,Rd}$** viene dado por:

$$M_{c,Rd} = W_{pl,z} \cdot f_{yd}$$

$M_{c,Rd}$: 35.84 kN·m

Donde:

Clase: Clase de la sección, según la capacidad de deformación y de desarrollo de la resistencia plástica de los elementos planos de una sección a flexión simple.

Clase : 1

$W_{pl,z}$: Módulo resistente plástico correspondiente a la fibra con mayor tensión, para las secciones de clase 1 y 2.

$W_{pl,z}$: 136.84 cm³

f_{yd} : Resistencia de cálculo del acero.

f_{yd} : 261.90 MPa

$$f_{yd} = f_y / \gamma_{M0}$$

Siendo:

f_y : Límite elástico. (CTE DB SE-A, Tabla 4.1)

f_y : 275.00 MPa

γ_{M0} : Coeficiente parcial de seguridad del material.

γ_{M0} : 1.05

Resistencia a corte Z (CTE DB SE-A, Artículo 6.2.4)

Se debe satisfacer:

$$\eta = \frac{V_{Ed}}{V_{c,Rd}} \leq 1$$

η : **0.003** ✓

El esfuerzo solicitante de cálculo pésimo se produce para la combinación de acciones 0.8·PP+1.5·V(0°)H1.

V_{Ed}: Esfuerzo cortante solicitante de cálculo pésimo.

V_{Ed} : 0.71 kN

El esfuerzo cortante resistente de cálculo **V_{c,Rd}** viene dado por:

$$V_{c,Rd} = A_v \cdot \frac{f_{yd}}{\sqrt{3}}$$

V_{c,Rd} : 268.55 kN

Donde:

A_v: Área transversal a cortante.

A_v : 17.76 cm²

$$A_v = h \cdot t_w$$

Siendo:

d: Altura del alma.

d : 148.00 mm

t_w: Espesor del alma.

t_w : 6.00 mm

f_{yd}: Resistencia de cálculo del acero.

f_{yd} : 261.90 MPa

$$f_{yd} = f_y / \gamma_{M0}$$

Siendo:

f_y: Límite elástico. (CTE DB SE-A, Tabla 4.1)

f_y : 275.00 MPa

γ_{M0}: Coeficiente parcial de seguridad del material.

γ_{M0} : 1.05

Abolladura por cortante del alma: (CTE DB SE-A, Artículo 6.3.3.4)

Aunque no se han dispuesto rigidizadores transversales, no es necesario comprobar la resistencia a la abolladura del alma, puesto que se cumple:

24.67 < 64.71 ✓

$$\frac{d}{t_w} < 70 \cdot \varepsilon$$

Donde:

λ_w: Esbeltez del alma.

λ_w : 24.67

$$\lambda_w = \frac{d}{t_w}$$

λ_{máx}: Esbeltez máxima.

λ_{máx} : 64.71

ε: Factor de reducción.

ε : 0.92

$$\varepsilon = \sqrt{\frac{f_{ref}}{f_y}}$$

Siendo:

f_{ref}: Límite elástico de referencia.

f_{ref} : 235.00 MPa

f_y: Límite elástico. (CTE DB SE-A, Tabla 4.1)

f_y : 275.00 MPa

Resistencia a corte Y (CTE DB SE-A, Artículo 6.2.4)

Se debe satisfacer:

$$\eta = \frac{V_{Ed}}{V_{c,Rd}} \leq 1$$

$\eta : \underline{0.001}$ ✓

El esfuerzo solicitante de cálculo pésimo se produce para la combinación de acciones 0.8·PP+1.5·V(270°)H2.

V_{Ed} : Esfuerzo cortante solicitante de cálculo pésimo.

$V_{Ed} : \underline{0.23}$ kN

El esfuerzo cortante resistente de cálculo $V_{c,Rd}$ viene dado por:

$$V_{c,Rd} = A_v \cdot \frac{f_{yd}}{\sqrt{3}}$$

$V_{c,Rd} : \underline{198.61}$ kN

Donde:

A_v : Área transversal a cortante.

$A_v : \underline{13.13}$ cm²

$$A_v = A - d \cdot t_w$$

Siendo:

A : Área de la sección bruta.

$A : \underline{30.89}$ cm²

d : Altura del alma.

$d : \underline{148.00}$ mm

t_w : Espesor del alma.

$t_w : \underline{6.00}$ mm

f_{yd} : Resistencia de cálculo del acero.

$f_{yd} : \underline{261.90}$ MPa

$$f_{yd} = f_y / \gamma_{M0}$$

Siendo:

f_y : Límite elástico. (CTE DB SE-A, Tabla 4.1)

$f_y : \underline{275.00}$ MPa

γ_{M0} : Coeficiente parcial de seguridad del material.

$\gamma_{M0} : \underline{1.05}$

Abolladura por cortante del alma: (CTE DB SE-A, Artículo 6.3.3.4)

Aunque no se han dispuesto rigidizadores transversales, no es necesario comprobar la resistencia a la abolladura del alma, puesto que se cumple:

$20.00 < \underline{64.71}$ ✓

Donde:

λ_w : Esbeltez del alma.

$\lambda_w : \underline{20.00}$

$\lambda_{m\acute{a}x}$: Esbeltez máxima.

$\lambda_{m\acute{a}x} : \underline{64.71}$

ϵ : Factor de reducción.

$\epsilon : \underline{0.92}$

Siendo:

f_{ref} : Límite elástico de referencia.

$f_{ref} : \underline{235.00}$ MPa

f_y : Límite elástico. (CTE DB SE-A, Tabla 4.1)

$f_y : \underline{275.00}$ MPa

Resistencia a momento flector Y y fuerza cortante Z combinados (CTE DB SE-A, Artículo 6.2.8)

No es necesario reducir la resistencia de cálculo a flexión, ya que el esfuerzo cortante solicitante de cálculo pésimo V_{Ed} no es superior al 50% de la resistencia de cálculo a cortante $V_{c,Rd}$.

$$V_{Ed} \leq \frac{V_{c,Rd}}{2}$$

0.71 kN ≤ 134.28 kN ✓

Los esfuerzos solicitantes de cálculo p_{ésimos} se producen para la combinación de acciones 0.8·PP+1.5·V(0°)H1.

V_{Ed}: Esfuerzo cortante solicitante de cálculo p_{ésimo}. **V_{Ed}** : 0.71 kN

V_{c,Rd}: Esfuerzo cortante resistente de cálculo. **V_{c,Rd}** : 268.55 kN

Resistencia a momento flector Z y fuerza cortante Y combinados (CTE DB SE-A, Artículo 6.2.8)

No es necesario reducir la resistencia de cálculo a flexión, ya que el esfuerzo cortante solicitante de cálculo p_{ésimo} **V_{Ed}** no es superior al 50% de la resistencia de cálculo a cortante **V_{c,Rd}**.

$$V_{Ed} \leq \frac{V_{c,Rd}}{2}$$

0.23 kN ≤ 99.31 kN ✓

Los esfuerzos solicitantes de cálculo p_{ésimos} se producen para la combinación de acciones 0.8·PP+1.5·V(270°)H2.

V_{Ed}: Esfuerzo cortante solicitante de cálculo p_{ésimo}. **V_{Ed}** : 0.23 kN

V_{c,Rd}: Esfuerzo cortante resistente de cálculo. **V_{c,Rd}** : 198.61 kN

Resistencia a flexión y axil combinados (CTE DB SE-A, Artículo 6.2.8)

Se debe satisfacer:

$$\eta = \frac{N_{c,Ed}}{N_{pl,Rd}} + \frac{M_{y,Ed}}{M_{el,Rd,y}} + \frac{M_{z,Ed}}{M_{el,Rd,z}} \leq 1$$

η : **0.396** ✓

$$\eta = \frac{N_{c,Ed}}{\chi_y \cdot A \cdot f_{yd}} + k_y \cdot \frac{C_{m,y} \cdot M_{y,Ed}}{\chi_{LT} \cdot W_{el,y} \cdot f_{yd}} + \alpha_z \cdot k_z \cdot \frac{C_{m,z} \cdot M_{z,Ed}}{W_{el,z} \cdot f_{yd}} \leq 1$$

η : **0.532** ✓

$$\eta = \frac{N_{c,Ed}}{\chi_z \cdot A \cdot f_{yd}} + \alpha_y \cdot k_y \cdot \frac{C_{m,y} \cdot M_{y,Ed}}{W_{el,y} \cdot f_{yd}} + k_z \cdot \frac{C_{m,z} \cdot M_{z,Ed}}{W_{el,z} \cdot f_{yd}} \leq 1$$

η : **0.592** ✓

Los esfuerzos solicitantes de cálculo p_{ésimos} se producen en el nudo N1122, para la combinación de acciones 0.8·PP+1.5·V(0°)H3.

Donde:

N_{c,Ed}: Axil de compresión solicitante de cálculo p_{ésimo}. **N_{c,Ed}** : 278.66 kN

M_{y,Ed}, **M_{z,Ed}**: Momentos flectores solicitantes de cálculo p_{ésimos}, según los ejes Y y Z, respectivamente. **M_{y,Ed}**⁺ : 2.05 kN·m

M_{z,Ed}⁺ : 0.17 kN·m

Clase: Clase de la sección, según la capacidad de deformación y de desarrollo de la resistencia plástica de sus elementos planos, para axil y flexión simple. **Clase** : 1

N_{pl,Rd}: Resistencia a compresión de la sección bruta. **N_{pl,Rd}** : 809.15 kN

M_{pl,Rd,y}, **M_{pl,Rd,z}**: Resistencia a flexión de la sección bruta en condiciones plásticas, respecto a los ejes Y y Z, respectivamente. **M_{pl,Rd,y}** : 43.60 kN·m

M_{pl,Rd,z} : 35.84 kN·m

Resistencia a pandeo: (CTE DB SE-A, Artículo 6.3.4.2)

A: Área de la sección bruta.

$$A : 30.89 \text{ cm}^2$$

$W_{pl,y}$, $W_{pl,z}$: Módulos resistentes plásticos correspondientes a la fibra comprimida, alrededor de los ejes Y y Z, respectivamente.

$$W_{pl,y} : 166.47 \text{ cm}^3$$

$$W_{pl,z} : 136.84 \text{ cm}^3$$

f_{yd} : Resistencia de cálculo del acero.

$$f_{yd} : 261.90 \text{ MPa}$$

$$f_{yd} = f_y / \gamma_{M1}$$

Siendo:

f_y : Límite elástico. (CTE DB SE-A, Tabla 4.1)

$$f_y : 275.00 \text{ MPa}$$

γ_{M1} : Coeficiente parcial de seguridad del material.

$$\gamma_{M1} : 1.05$$

k_y , k_z : Coeficientes de interacción.

$$k_y = 1 + 0.6 \cdot \bar{\lambda}_y \cdot \frac{N_{c,Ed}}{\chi_y \cdot N_{c,Rd}}$$

$$k_y : 1.23$$

$$k_z = 1 + 0.6 \cdot \bar{\lambda}_z \cdot \frac{N_{c,Ed}}{\chi_z \cdot N_{c,Rd}}$$

$$k_z : 1.36$$

$C_{m,y}$, $C_{m,z}$: Factores de momento flector uniforme equivalente.

$$C_{m,y} : 1.00$$

$$C_{m,z} : 1.00$$

χ_y , χ_z : Coeficientes de reducción por pandeo, alrededor de los ejes Y y Z, respectivamente.

$$\chi_y : 0.73$$

$$\chi_z : 0.63$$

$\bar{\lambda}_y$, $\bar{\lambda}_z$: Esbelteces reducidas con valores no mayores que 1.00, en relación a los ejes Y y Z, respectivamente.

$$\bar{\lambda}_y : 0.69$$

$$\bar{\lambda}_z : 0.86$$

α_y , α_z : Factores dependientes de la clase de la sección.

$$\alpha_y : 0.60$$

$$\alpha_z : 0.60$$

Resistencia a flexión, axil y cortante combinados (CTE DB SE-A, Artículo 6.2.8)

No es necesario reducir las resistencias de cálculo a flexión y a axil, ya que se puede ignorar el efecto de abolladura por esfuerzo cortante y, además, el esfuerzo cortante solicitante de cálculo pésimo **V_{Ed}** es menor o igual que el 50% del esfuerzo cortante resistente de cálculo **$V_{c,Rd}$** .

Los esfuerzos solicitantes de cálculo pésimos se producen para la combinación de acciones 0.8·PP+1.5·V(0°)H1.

$$V_{Ed,z} \leq \frac{V_{c,Rd,z}}{2}$$

$$0.71 \text{ kN} \leq 134.27 \text{ kN}$$



Donde:

$V_{Ed,z}$: Esfuerzo cortante solicitante de cálculo pésimo.

$$V_{Ed,z} : 0.71 \text{ kN}$$

$V_{c,Rd,z}$: Esfuerzo cortante resistente de cálculo.

$$V_{c,Rd,z} : 268.53 \text{ kN}$$

Resistencia a torsión (CTE DB SE-A, Artículo 6.2.7)

Se debe satisfacer:

$$\eta = \frac{M_{T,Ed}}{M_{T,Rd}} \leq 1$$

$$\eta : 0.001$$



El esfuerzo solicitante de cálculo pésimo se produce para la combinación de acciones 0.8·PP+1.5·V(90°)H2.

M_{T,Ed}: Momento torsor solicitante de cálculo pésimo.

M_{T,Ed} : 0.03 kN·m

El momento torsor resistente de cálculo **M_{T,Rd}** viene dado por:

$$M_{T,Rd} = \frac{1}{\sqrt{3}} \cdot W_T \cdot f_{yd}$$

M_{T,Rd} : 31.86 kN·m

Donde:

W_T: Módulo de resistencia a torsión.

W_T : 210.67 cm³

f_{yd}: Resistencia de cálculo del acero.

f_{yd} : 261.90 MPa

$$f_{yd} = f_y / \gamma_{M0}$$

Siendo:

f_y: Límite elástico. (CTE DB SE-A, Tabla 4.1)

f_y : 275.00 MPa

γ_{M0}: Coeficiente parcial de seguridad del material.

γ_{M0} : 1.05

Resistencia a cortante Z y momento torsor combinados (CTE DB SE-A, Artículo 6.2.8)

Se debe satisfacer:

$$\eta = \frac{V_{Ed}}{V_{pl,T,Rd}} \leq 1$$

η : 0.003 ✓

Los esfuerzos solicitantes de cálculo pésimos se producen para la combinación de acciones 0.8·PP+1.5·V(0°)H1.

V_{Ed}: Esfuerzo cortante solicitante de cálculo pésimo.

V_{Ed} : 0.71 kN

M_{T,Ed}: Momento torsor solicitante de cálculo pésimo.

M_{T,Ed} : 0.00 kN·m

El esfuerzo cortante resistente de cálculo reducido **V_{pl,T,Rd}** viene dado por:

$$V_{pl,T,Rd} = \sqrt{1 - \frac{\tau_{T,Ed}}{1.25 \cdot f_{yd} / \sqrt{3}}} \cdot V_{pl,Rd}$$

V_{pl,T,Rd} : 268.53 kN

Donde:

V_{pl,Rd}: Esfuerzo cortante resistente de cálculo.

V_{pl,Rd} : 268.55 kN

τ_{T,Ed}: Tensiones tangenciales por torsión.

τ_{T,Ed} : 0.01 MPa

$$\tau_{T,Ed} = \frac{M_{T,Ed}}{W_t}$$

Siendo:

W_T: Módulo de resistencia a torsión.

W_T : 210.67 cm³

f_{yd}: Resistencia de cálculo del acero.

f_{yd} : 261.90 MPa

$$f_{yd} = f_y / \gamma_{M0}$$

Siendo:

f_y: Límite elástico. (CTE DB SE-A, Tabla 4.1)

f_y : 275.00 MPa

γ_{M0}: Coeficiente parcial de seguridad del material.

γ_{M0} : 1.05

Resistencia a cortante Y y momento torsor combinados (CTE DB SE-A, Artículo 6.2.8)

Se debe satisfacer:

$$\eta = \frac{V_{Ed}}{V_{pl,T,Rd}} \leq 1$$

η : **0.001** ✓

Los esfuerzos solicitantes de cálculo pésimos se producen para la combinación de acciones $0.8 \cdot PP + 1.5 \cdot V(270^\circ)H2 + 0.75 \cdot N(R)2$.

V_{Ed} : Esfuerzo cortante solicitante de cálculo pésimo.

V_{Ed} : 0.23 kN

$M_{T,Ed}$: Momento torsor solicitante de cálculo pésimo.

$M_{T,Ed}$: 0.03 kN·m

El esfuerzo cortante resistente de cálculo reducido $V_{pl,T,Rd}$ viene dado por:

$$V_{pl,T,Rd} = \sqrt{1 - \frac{\tau_{T,Ed}}{1.25 \cdot f_{yd} / \sqrt{3}}} \cdot V_{pl,Rd}$$

$V_{pl,T,Rd}$: 198.43 kN

Donde:

$V_{pl,Rd}$: Esfuerzo cortante resistente de cálculo.

$V_{pl,Rd}$: 198.61 kN

$\tau_{T,Ed}$: Tensiones tangenciales por torsión.

$\tau_{T,Ed}$: 0.14 MPa

$$\tau_{T,Ed} = \frac{M_{T,Ed}}{W_t}$$

Siendo:

W_T : Módulo de resistencia a torsión.

W_T : 210.67 cm³

f_{yd} : Resistencia de cálculo del acero.

f_{yd} : 261.90 MPa

$$f_{yd} = f_y / \gamma_{M0}$$

Siendo:

f_y : Límite elástico. (CTE DB SE-A, Tabla 4.1)

f_y : 275.00 MPa

γ_{M0} : Coeficiente parcial de seguridad del material.

γ_{M0} : 1.05

A1.2.2.3. Montante pilar.

Perfil: #180x140x8 Material: Acero (S275)						
	Nudos		Longitud (m)	Características mecánicas		
	Inicial	Final		Área (cm ²)	$I_y^{(1)}$ (cm ⁴)	$I_z^{(1)}$ (cm ⁴)
	N1099	N853	7.204	46.39	2063.23	1399.16
	Notas: ⁽¹⁾ Inercia respecto al eje indicado ⁽²⁾ Momento de inercia a torsión uniforme					
			Pandeo		Pandeo lateral	
			Plano XY	Plano XZ	Ala sup.	Ala inf.
	β	0.75	0.75	0.00	0.00	0.00
	L_K	5.403	5.403	0.000	0.000	0.000
	C_m	1.000	1.000	1.000	1.000	1.000
	C_1	-	-	1.000	1.000	1.000
Notación: β : Coeficiente de pandeo L_K : Longitud de pandeo (m) C_m : Coeficiente de momentos C_1 : Factor de modificación para el momento crítico						

Limitación de esbeltez (CTE DB SE-A, Artículos 6.3.1 y 6.3.2.1 - Tabla 6.3)

La esbeltez reducida $\bar{\lambda}$ de las barras comprimidas debe ser inferior al valor 2.0.

$$\bar{\lambda} = \sqrt{\frac{A \cdot f_y}{N_{cr}}}$$

$\bar{\lambda} : \underline{1.13}$ ✓

Donde:

Clase: Clase de la sección, según la capacidad de deformación y de desarrollo de la resistencia plástica de los elementos planos comprimidos de una sección.

Clase : 1

A: Área de la sección bruta para las secciones de clase 1, 2 y 3.

A : 46.39 cm²

f_y: Límite elástico. (CTE DB SE-A, Tabla 4.1)

f_y : 275.00 MPa

N_{cr}: Axil crítico de pandeo elástico.

N_{cr} : 993.38 kN

El axil crítico de pandeo elástico **N_{cr}** es el menor de los valores obtenidos en a), b) y c):

a) Axil crítico elástico de pandeo por flexión respecto al eje Y.

N_{cr,y} : 1464.86 kN

$$N_{cr,y} = \frac{\pi^2 \cdot E \cdot I_y}{L_{ky}^2}$$

b) Axil crítico elástico de pandeo por flexión respecto al eje Z.

N_{cr,z} : 993.38 kN

$$N_{cr,z} = \frac{\pi^2 \cdot E \cdot I_z}{L_{kz}^2}$$

c) Axil crítico elástico de pandeo por torsión.

N_{cr,T} : ∞

$$N_{cr,T} = \frac{1}{i_0^2} \cdot \left[G \cdot I_t + \frac{\pi^2 \cdot E \cdot I_w}{L_{kt}^2} \right]$$

Donde:

I_y: Momento de inercia de la sección bruta, respecto al eje Y.

I_y : 2063.23 cm⁴

I_z: Momento de inercia de la sección bruta, respecto al eje Z.

I_z : 1399.16 cm⁴

I_t: Momento de inercia a torsión uniforme.

I_t : 2792.08 cm⁴

I_w: Constante de alabeo de la sección.

I_w : 0.00 cm⁶

E: Módulo de elasticidad.

E : 210000 MPa

G: Módulo de elasticidad transversal.

G : 81000 MPa

L_{ky}: Longitud efectiva de pandeo por flexión, respecto al eje Y.

L_{ky} : 5.403 m

L_{kz}: Longitud efectiva de pandeo por flexión, respecto al eje Z.

L_{kz} : 5.403 m

L_{kt}: Longitud efectiva de pandeo por torsión.

L_{kt} : 0.000 m

i₀: Radio de giro polar de la sección bruta, respecto al centro de torsión.

i₀ : 8.64 cm

$$i_0 = \left(i_y^2 + i_z^2 + y_0^2 + z_0^2 \right)^{0.5}$$

Siendo:

i_y , i_z: Radios de giro de la sección bruta, respecto a los ejes principales de inercia Y y Z.

i_y : 6.67 cm

i_z : 5.49 cm

y₀ : 0.00 mm

y_0, z_0 : Coordenadas del centro de torsión en la dirección de los ejes principales Y y Z, respectivamente, relativas al centro de gravedad de la sección.

z_0 : 0.00 mm

Abolladura del alma inducida por el ala comprimida (Criterio de CYPE Ingenieros, basado en: Eurocódigo 3 EN 1993-1-5: 2006, Artículo 8)

Se debe satisfacer:

$$\frac{h_w}{t_w} \leq k \frac{E}{f_{yf}} \sqrt{\frac{A_w}{A_{fc,ef}}}$$

$20.50 \leq 350.66$ ✓

Donde:

h_w : Altura del alma.

h_w : 164.00 mm

t_w : Espesor del alma.

t_w : 8.00 mm

A_w : Área del alma.

A_w : 26.24 cm²

$A_{fc,ef}$: Área reducida del ala comprimida.

$A_{fc,ef}$: 11.20 cm²

k : Coeficiente que depende de la clase de la sección.

k : 0.30

E : Módulo de elasticidad.

E : 210000 MPa

f_{yf} : Límite elástico del acero del ala comprimida.

f_{yf} : 275.00 MPa

Resistencia a tracción (CTE DB SE-A, Artículo 6.2.3)

Se debe satisfacer:

$$\eta = \frac{N_{t,Ed}}{N_{t,Rd}} \leq 1$$

η : 0.322 ✓

El esfuerzo solicitante de cálculo pésimo se produce en el nudo N853, para la combinación de acciones 0.8·PP+1.5·V(0°)H1.

$N_{t,Ed}$: Axil de tracción solicitante de cálculo pésimo.

$N_{t,Ed}$: 391.11 kN

La resistencia de cálculo a tracción **$N_{t,Rd}$** viene dada por:

$$N_{t,Rd} = A \cdot f_{yd}$$

$N_{t,Rd}$: 1215.00 kN

Donde:

A : Área bruta de la sección transversal de la barra.

A : 46.39 cm²

f_{yd} : Resistencia de cálculo del acero.

f_{yd} : 261.90 MPa

Siendo:

f_y : Límite elástico. (CTE DB SE-A, Tabla 4.1)

f_y : 275.00 MPa

γ_{MO} : Coeficiente parcial de seguridad del material.

γ_{MO} : 1.05

Resistencia a compresión (CTE DB SE-A, Artículo 6.2.5)

Se debe satisfacer:

η : 0.270 ✓

$$\eta = \frac{N_{c,Ed}}{N_{c,Rd}} \leq 1$$

$$\eta = \frac{N_{c,Ed}}{N_{b,Rd}} \leq 1$$

$\eta :$ 0.579 ✓

El esfuerzo solicitante de cálculo pésimo se produce en el nudo N1099, para la combinación de acciones 1.35·PP+1.5·Q.

N_{c,Ed}: Axil de compresión solicitante de cálculo pésimo.

N_{c,Ed} : 328.49 kN

La resistencia de cálculo a compresión **N_{c,Rd}** viene dada por:

$$N_{c,Rd} = A \cdot f_{yd}$$

N_{c,Rd} : 1215.00 kN

Donde:

Clase: Clase de la sección, según la capacidad de deformación y de desarrollo de la resistencia plástica de los elementos planos comprimidos de una sección.

Clase : 1

A: Área de la sección bruta para las secciones de clase 1, 2 y 3.

A : 46.39 cm²

f_{yd}: Resistencia de cálculo del acero.

f_{yd} : 261.90 MPa

$$f_{yd} = f_y / \gamma_{M0}$$

Siendo:

f_y: Límite elástico. (CTE DB SE-A, Tabla 4.1)

f_y : 275.00 MPa

γ_{M0}: Coeficiente parcial de seguridad del material.

γ_{M0} : 1.05

Resistencia a pandeo: (CTE DB SE-A, Artículo 6.3.2)

La resistencia de cálculo a pandeo **N_{b,Rd}** en una barra comprimida viene dada por:

$$N_{b,Rd} = \chi \cdot A \cdot f_{yd}$$

N_{b,Rd} : 567.23 kN

Donde:

A: Área de la sección bruta para las secciones de clase 1, 2 y 3.

A : 46.39 cm²

f_{yd}: Resistencia de cálculo del acero.

f_{yd} : 261.90 MPa

$$f_{yd} = f_y / \gamma_{M1}$$

Siendo:

f_y: Límite elástico. (CTE DB SE-A, Tabla 4.1)

f_y : 275.00 MPa

γ_{M1}: Coeficiente parcial de seguridad del material.

γ_{M1} : 1.05

χ: Coeficiente de reducción por pandeo.

$$\chi = \frac{1}{\Phi + \sqrt{\Phi^2 - (\bar{\lambda})^2}} \leq 1$$

χ_y : 0.58

χ_z : 0.47

Siendo:

$$\Phi = 0.5 \cdot \left[1 + \alpha \cdot (\bar{\lambda} - 0.2) + (\bar{\lambda})^2 \right]$$

φ_y : 1.12

φ_z : 1.37

α: Coeficiente de imperfección elástica.

α_y : 0.49

α_z : 0.49

λ̄: Esbeltez reducida.

$$\bar{\lambda} = \sqrt{\frac{A \cdot f_y}{N_{cr}}}$$

N_{cr}: Axil crítico elástico de pandeo, obtenido como el menor de los siguientes valores:

N_{cr,y}: Axil crítico elástico de pandeo por flexión respecto al eje Y.

N_{cr,z}: Axil crítico elástico de pandeo por flexión respecto al eje Z.

N_{cr,T}: Axil crítico elástico de pandeo por torsión.

$$\bar{\lambda}_y : 0.93$$

$$\bar{\lambda}_z : 1.13$$

$$N_{cr} : 993.38 \text{ kN}$$

$$N_{cr,y} : 1464.86 \text{ kN}$$

$$N_{cr,z} : 993.38 \text{ kN}$$

$$N_{cr,T} : \infty$$

Resistencia a flexión eje Y (CTE DB SE-A, Artículo 6.2.6)

Se debe satisfacer:

$$\eta = \frac{M_{Ed}}{M_{c,Rd}} \leq 1$$

$$\eta : 0.042 \checkmark$$

Para flexión positiva:

M_{Ed}⁺: Momento flector solicitante de cálculo pésimo.

$$M_{Ed}^+ : 0.00 \text{ kN}\cdot\text{m}$$

Para flexión negativa:

El esfuerzo solicitante de cálculo pésimo se produce en el nudo N1099, para la combinación de acciones 1.35·PP+1.5·V(0°)H3.

M_{Ed}⁻: Momento flector solicitante de cálculo pésimo.

$$M_{Ed}^- : 3.06 \text{ kN}\cdot\text{m}$$

El momento flector resistente de cálculo **M_{c,Rd}** viene dado por:

$$M_{c,Rd} = W_{pl,y} \cdot f_{yd}$$

$$M_{c,Rd} : 73.33 \text{ kN}\cdot\text{m}$$

Donde:

Clase: Clase de la sección, según la capacidad de deformación y de desarrollo de la resistencia plástica de los elementos planos de una sección a flexión simple.

$$\text{Clase} : 1$$

W_{pl,y}: Módulo resistente plástico correspondiente a la fibra con mayor tensión, para las secciones de clase 1 y 2.

$$W_{pl,y} : 279.97 \text{ cm}^3$$

f_{yd}: Resistencia de cálculo del acero.

$$f_{yd} : 261.90 \text{ MPa}$$

$$f_{yd} = f_y / \gamma_{M0}$$

Siendo:

f_y: Límite elástico. (CTE DB SE-A, Tabla 4.1)

$$f_y : 275.00 \text{ MPa}$$

γ_{M0}: Coeficiente parcial de seguridad del material.

$$\gamma_{M0} : 1.05$$

Resistencia a pandeo lateral: (CTE DB SE-A, Artículo 6.3.3.2)

No procede, dado que las longitudes de pandeo lateral son nulas.

Resistencia a flexión eje Z (CTE DB SE-A, Artículo 6.2.6)

Se debe satisfacer:

$$\eta = \frac{M_{Ed}}{M_{c,Rd}} \leq 1$$

$$\eta : 0.011 \checkmark$$

Para flexión positiva:

El esfuerzo solicitante de cálculo pésimo se produce en el nudo N1099, para la combinación de acciones 0.8·PP+1.5·V(270°)H2.

M_{Ed}^+ : Momento flector solicitante de cálculo pésimo.

M_{Ed}^+ : 0.69 kN·m

Para flexión negativa:

El esfuerzo solicitante de cálculo pésimo se produce en el nudo N1099, para la combinación de acciones $1.35 \cdot PP + 1.5 \cdot V(90^\circ)H1 + 0.75 \cdot N(EI)$.

M_{Ed}^- : Momento flector solicitante de cálculo pésimo.

M_{Ed}^- : 0.51 kN·m

El momento flector resistente de cálculo $M_{c,Rd}$ viene dado por:

$$M_{c,Rd} = W_{pl,z} \cdot f_{yd}$$

$M_{c,Rd}$: 61.76 kN·m

Donde:

Clase: Clase de la sección, según la capacidad de deformación y de desarrollo de la resistencia plástica de los elementos planos de una sección a flexión simple.

Clase: 1

$W_{pl,z}$: Módulo resistente plástico correspondiente a la fibra con mayor tensión, para las secciones de clase 1 y 2.

$W_{pl,z}$: 235.83 cm³

f_{yd} : Resistencia de cálculo del acero.

f_{yd} : 261.90 MPa

$$f_{yd} = f_y / \gamma_{M0}$$

Siendo:

f_y : Límite elástico. (CTE DB SE-A, Tabla 4.1)

f_y : 275.00 MPa

γ_{M0} : Coeficiente parcial de seguridad del material.

γ_{M0} : 1.05

Resistencia a corte Z (CTE DB SE-A, Artículo 6.2.4)

Se debe satisfacer:

$$\eta = \frac{V_{Ed}}{V_{c,Rd}} \leq 1$$

η : 0.004 ✓

El esfuerzo solicitante de cálculo pésimo se produce en el nudo N1099, para la combinación de acciones $1.35 \cdot PP + 1.5 \cdot V(0^\circ)H3$.

V_{Ed} : Esfuerzo cortante solicitante de cálculo pésimo.

V_{Ed} : 1.57 kN

El esfuerzo cortante resistente de cálculo $V_{c,Rd}$ viene dado por:

$$V_{c,Rd} = A_v \cdot \frac{f_{yd}}{\sqrt{3}}$$

$V_{c,Rd}$: 396.78 kN

Donde:

A_v : Área transversal a cortante.

A_v : 26.24 cm²

$$A_v = 2 \cdot d \cdot t_w$$

Siendo:

d : Altura del alma.

d : 164.00 mm

t_w : Espesor del alma.

t_w : 8.00 mm

f_{yd} : Resistencia de cálculo del acero.

f_{yd} : 261.90 MPa

$$f_{yd} = f_y / \gamma_{M0}$$

Siendo:

f_y : Límite elástico. (CTE DB SE-A, Tabla 4.1)

f_y : 275.00 MPa

γ_{M0} : Coeficiente parcial de seguridad del material.

γ_{M0} : 1.05

Abolladura por cortante del alma: (CTE DB SE-A, Artículo 6.3.3.4)

Aunque no se han dispuesto rigidizadores transversales, no es necesario comprobar la resistencia a la abolladura del alma, puesto que se cumple:

$$\frac{d}{t_w} < 70 \cdot \varepsilon$$

$$20.50 < 64.71$$



Donde:

λ_w : Esbeltez del alma.

$$\lambda_w : 20.50$$

$$\lambda_w = \frac{d}{t_w}$$

$\lambda_{m\acute{a}x}$: Esbeltez máxima.

$$\lambda_{m\acute{a}x} : 64.71$$

ε : Factor de reducción.

$$\varepsilon : 0.92$$

$$\varepsilon = \sqrt{\frac{f_{ref}}{f_y}}$$

Siendo:

f_{ref} : Límite elástico de referencia.

$$f_{ref} : 235.00 \text{ MPa}$$

f_y : Límite elástico. (CTE DB SE-A, Tabla 4.1)

$$f_y : 275.00 \text{ MPa}$$

Resistencia a corte Y (CTE DB SE-A, Artículo 6.2.4)

Se debe satisfacer:

$$\eta = \frac{V_{Ed}}{V_{c,Rd}} \leq 1$$

$$\eta < 0.001$$



El esfuerzo solicitante de cálculo pésimo se produce para la combinación de acciones $0.8 \cdot PP + 1.5 \cdot V(270^\circ)H2$.

V_{Ed} : Esfuerzo cortante solicitante de cálculo pésimo.

$$V_{Ed} : 0.14 \text{ kN}$$

El esfuerzo cortante resistente de cálculo $V_{c,Rd}$ viene dado por:

$$V_{c,Rd} = A_v \cdot \frac{f_{yd}}{\sqrt{3}}$$

$$V_{c,Rd} : 304.70 \text{ kN}$$

Donde:

A_v : Área transversal a cortante.

$$A_v : 20.15 \text{ cm}^2$$

$$A_v = A - 2 \cdot d \cdot t_w$$

Siendo:

A : Área de la sección bruta.

$$A : 46.39 \text{ cm}^2$$

d : Altura del alma.

$$d : 164.00 \text{ mm}$$

t_w : Espesor del alma.

$$t_w : 8.00 \text{ mm}$$

f_{yd} : Resistencia de cálculo del acero.

$$f_{yd} : 261.90 \text{ MPa}$$

$$f_{yd} = f_y / \gamma_{M0}$$

Siendo:

f_y : Límite elástico. (CTE DB SE-A, Tabla 4.1)

$$f_y : 275.00 \text{ MPa}$$

γ_{M0} : Coeficiente parcial de seguridad del material.

γ_{M0} : 1.05

Abolladura por cortante del alma: (CTE DB SE-A, Artículo 6.3.3.4)

Aunque no se han dispuesto rigidizadores transversales, no es necesario comprobar la resistencia a la abolladura del alma, puesto que se cumple:

$$\frac{b}{t_f} < 70 \cdot \varepsilon$$

17.50 < 64.71 ✓

Donde:

λ_w : Esbeltez del alma.

λ_w : 17.50

$$\lambda_w = \frac{b}{t_f}$$

$\lambda_{m\acute{a}x}$: Esbeltez máxima.

$\lambda_{m\acute{a}x}$: 64.71

ε : Factor de reducción.

ε : 0.92

$$\varepsilon = \sqrt{\frac{f_{ref}}{f_y}}$$

Siendo:

f_{ref} : Límite elástico de referencia.

f_{ref} : 235.00 MPa

f_y : Límite elástico. (CTE DB SE-A, Tabla 4.1)

f_y : 275.00 MPa

Resistencia a momento flector Y y fuerza cortante Z combinados (CTE DB SE-A, Artículo 6.2.8)

No es necesario reducir la resistencia de cálculo a flexión, ya que el esfuerzo cortante solicitante de cálculo pésimo V_{Ed} no es superior al 50% de la resistencia de cálculo a cortante $V_{c,Rd}$.

$$V_{Ed} \leq \frac{V_{c,Rd}}{2}$$

1.57 kN ≤ 198.39 kN ✓

Los esfuerzos solicitantes de cálculo pésimos se producen para la combinación de acciones 1.35·PP+1.5·V(0°)H3.

V_{Ed} : Esfuerzo cortante solicitante de cálculo pésimo.

V_{Ed} : 1.57 kN

$V_{c,Rd}$: Esfuerzo cortante resistente de cálculo.

$V_{c,Rd}$: 396.78 kN

Resistencia a momento flector Z y fuerza cortante Y combinados (CTE DB SE-A, Artículo 6.2.8)

No es necesario reducir la resistencia de cálculo a flexión, ya que el esfuerzo cortante solicitante de cálculo pésimo V_{Ed} no es superior al 50% de la resistencia de cálculo a cortante $V_{c,Rd}$.

$$V_{Ed} \leq \frac{V_{c,Rd}}{2}$$

0.14 kN ≤ 152.35 kN ✓

Los esfuerzos solicitantes de cálculo pésimos se producen para la combinación de acciones $0.8 \cdot PP + 1.5 \cdot V(270^\circ)H2$.

V_{Ed}: Esfuerzo cortante solicitante de cálculo pésimo.

V_{Ed}: 0.14 kN

V_{c,Rd}: Esfuerzo cortante resistente de cálculo.

V_{c,Rd}: 304.70 kN

Resistencia a flexión y axil combinados (CTE DB SE-A, Artículo 6.2.8)

Se debe satisfacer:

$$\eta = \frac{N_{c,Ed}}{N_{pl,Rd}} + \frac{M_{y,Ed}}{M_{el,Rd,y}} + \frac{M_{z,Ed}}{M_{el,Rd,z}} \leq 1$$

η: 0.286 ✓

$$\eta = \frac{N_{c,Ed}}{\chi_y \cdot A \cdot f_{yd}} + k_y \cdot \frac{c_{m,y} \cdot M_{y,Ed}}{\chi_{LT} \cdot W_{el,y} \cdot f_{yd}} + \alpha_z \cdot k_z \cdot \frac{c_{m,z} \cdot M_{z,Ed}}{W_{el,z} \cdot f_{yd}} \leq 1$$

η: 0.487 ✓

$$\eta = \frac{N_{c,Ed}}{\chi_z \cdot A \cdot f_{yd}} + \alpha_y \cdot k_y \cdot \frac{c_{m,y} \cdot M_{y,Ed}}{W_{el,y} \cdot f_{yd}} + k_z \cdot \frac{c_{m,z} \cdot M_{z,Ed}}{W_{el,z} \cdot f_{yd}} \leq 1$$

η: 0.592 ✓

Los esfuerzos solicitantes de cálculo pésimos se producen en el nudo N1099, para la combinación de acciones $1.35 \cdot PP + 1.5 \cdot Q$.

Donde:

N_{c,Ed}: Axil de compresión solicitante de cálculo pésimo.

N_{c,Ed}: 328.49 kN

M_{y,Ed}, M_{z,Ed}: Momentos flectores solicitantes de cálculo pésimos, según los ejes Y y Z, respectivamente.

M_{y,Ed}: 1.07 kN·m

M_{z,Ed}: 0.05 kN·m

Clase: Clase de la sección, según la capacidad de deformación y de desarrollo de la resistencia plástica de sus elementos planos, para axil y flexión simple.

Clase: 1

N_{pl,Rd}: Resistencia a compresión de la sección bruta.

N_{pl,Rd}: 1215.00 kN

M_{pl,Rd,y}, M_{pl,Rd,z}: Resistencia a flexión de la sección bruta en condiciones plásticas, respecto a los ejes Y y Z, respectivamente.

M_{pl,Rd,y}: 73.33 kN·m

M_{pl,Rd,z}: 61.76 kN·m

Resistencia a pandeo: (CTE DB SE-A, Artículo 6.3.4.2)

A: Área de la sección bruta.

A: 46.39 cm²

W_{pl,y}, W_{pl,z}: Módulos resistentes plásticos correspondientes a la fibra comprimida, alrededor de los ejes Y y Z, respectivamente.

W_{pl,y}: 279.97 cm³

W_{pl,z}: 235.83 cm³

f_{yd}: Resistencia de cálculo del acero.

f_{yd}: 261.90 MPa

$$f_{yd} = f_y / \gamma_{M1}$$

Siendo:

f_y: Límite elástico. (CTE DB SE-A, Tabla 4.1)

f_y: 275.00 MPa

γ_{M1}: Coeficiente parcial de seguridad del material.

γ_{M1}: 1.05

k_y, k_z: Coeficientes de interacción.

$$k_y = 1 + 0.6 \cdot \bar{\lambda}_y \cdot \frac{N_{c,Ed}}{\chi_y \cdot N_{c,Rd}}$$

k_y: 1.34

$$k_z = 1 + 0.6 \cdot \bar{\lambda}_z \cdot \frac{N_{c,Ed}}{\chi_z \cdot N_{c,Rd}}$$

k_z: 1.46

C_{m,y}, C_{m,z}: Factores de momento flector uniforme equivalente.

C_{m,y}: 1.00

$$C_{m,z} : \underline{1.00}$$

χ_y, χ_z : Coeficientes de reducción por pandeo, alrededor de los ejes Y y Z, respectivamente.

$$\chi_y : \underline{0.58}$$

$$\chi_z : \underline{0.47}$$

$\bar{\lambda}_y, \bar{\lambda}_z$: Esbelteces reducidas con valores no mayores que 1.00, en relación a los ejes Y y Z, respectivamente.

$$\bar{\lambda}_y : \underline{0.93}$$

$$\bar{\lambda}_z : \underline{1.13}$$

α_y, α_z : Factores dependientes de la clase de la sección.

$$\alpha_y : \underline{0.60}$$

$$\alpha_z : \underline{0.60}$$

Resistencia a flexión, axil y cortante combinados (CTE DB SE-A, Artículo 6.2.8)

No es necesario reducir las resistencias de cálculo a flexión y a axil, ya que se puede ignorar el efecto de abolladura por esfuerzo cortante y, además, el esfuerzo cortante solicitante de cálculo pésimo V_{Ed} es menor o igual que el 50% del esfuerzo cortante resistente de cálculo $V_{c,Rd}$.

Los esfuerzos solicitantes de cálculo pésimos se producen para la combinación de acciones 1.35·PP+1.5·V(0°)H3.

$$V_{Ed,z} \leq \frac{V_{c,Rd,z}}{2}$$

$$1.57 \text{ kN} \leq 198.25 \text{ kN} \quad \checkmark$$

Donde:

$V_{Ed,z}$: Esfuerzo cortante solicitante de cálculo pésimo.

$$V_{Ed,z} : \underline{1.57} \text{ kN}$$

$V_{c,Rd,z}$: Esfuerzo cortante resistente de cálculo.

$$V_{c,Rd,z} : \underline{396.49} \text{ kN}$$

Resistencia a torsión (CTE DB SE-A, Artículo 6.2.7)

Se debe satisfacer:

$$\eta = \frac{M_{T,Ed}}{M_{T,Rd}} \leq 1$$

$$\eta : \underline{0.002} \quad \checkmark$$

El esfuerzo solicitante de cálculo pésimo se produce para la combinación de acciones 0.8·PP+1.5·V(270°)H2.

$M_{T,Ed}$: Momento torsor solicitante de cálculo pésimo.

$$M_{T,Ed} : \underline{0.10} \text{ kN}\cdot\text{m}$$

El momento torsor resistente de cálculo $M_{T,Rd}$ viene dado por:

$$M_{T,Rd} = \frac{1}{\sqrt{3}} \cdot W_T \cdot f_{yd}$$

$$M_{T,Rd} : \underline{54.93} \text{ kN}\cdot\text{m}$$

Donde:

W_T : Módulo de resistencia a torsión.

$$W_T : \underline{363.26} \text{ cm}^3$$

f_{yd} : Resistencia de cálculo del acero.

$$f_{yd} : \underline{261.90} \text{ MPa}$$

$$f_{yd} = f_y / \gamma_{M0}$$

Siendo:

f_y : Límite elástico. (CTE DB SE-A, Tabla 4.1)

$$f_y : \underline{275.00} \text{ MPa}$$

γ_{M0} : Coeficiente parcial de seguridad del material.

$$\gamma_{M0} : \underline{1.05}$$

Resistencia a cortante Z y momento torsor combinados (CTE DB SE-A, Artículo 6.2.8)

Se debe satisfacer:

$$\eta = \frac{V_{Ed}}{V_{pl,T,Rd}} \leq 1$$

$$\eta : \underline{0.004} \quad \checkmark$$

Los esfuerzos solicitantes de cálculo p_{simos} se producen en el nudo N1099, para la combinación de acciones 1.35·PP+1.5·V(0°)H3.

V_{Ed}: Esfuerzo cortante solicitante de cálculo p_{simos}.

$$V_{Ed} : \underline{1.57} \text{ kN}$$

M_{T,Ed}: Momento torsor solicitante de cálculo p_{simos}.

$$M_{T,Ed} : \underline{0.04} \text{ kN}\cdot\text{m}$$

El esfuerzo cortante resistente de cálculo reducido **V_{pl,T,Rd}** viene dado por:

$$V_{pl,T,Rd} = \sqrt{1 - \frac{\tau_{T,Ed}}{1.25 \cdot f_{yd} / \sqrt{3}}} \cdot V_{pl,Rd}$$

$$V_{pl,T,Rd} : \underline{396.49} \text{ kN}$$

Donde:

V_{pl,Rd}: Esfuerzo cortante resistente de cálculo.

$$V_{pl,Rd} : \underline{396.78} \text{ kN}$$

τ_{T,Ed}: Tensiones tangenciales por torsión.

$$\tau_{T,Ed} : \underline{0.11} \text{ MPa}$$

$$\tau_{T,Ed} = \frac{M_{T,Ed}}{W_t}$$

Siendo:

W_T: Módulo de resistencia a torsión.

$$W_T : \underline{363.26} \text{ cm}^3$$

f_{yd}: Resistencia de cálculo del acero.

$$f_{yd} : \underline{261.90} \text{ MPa}$$

$$f_{yd} = f_y / \gamma_{M0}$$

Siendo:

f_y: Límite elástico. (CTE DB SE-A, Tabla 4.1)

$$f_y : \underline{275.00} \text{ MPa}$$

γ_{M0}: Coeficiente parcial de seguridad del material.

$$\gamma_{M0} : \underline{1.05}$$

Resistencia a cortante Y y momento torsor combinados (CTE DB SE-A, Artículo 6.2.8)

Se debe satisfacer:

$$\eta = \frac{V_{Ed}}{V_{pl,T,Rd}} \leq 1$$

$$\eta < \underline{0.001} \quad \checkmark$$

Los esfuerzos solicitantes de cálculo p_{simos} se producen para la combinación de acciones 0.8·PP+1.5·V(270°)H2.

V_{Ed}: Esfuerzo cortante solicitante de cálculo p_{simos}.

$$V_{Ed} : \underline{0.14} \text{ kN}$$

M_{T,Ed}: Momento torsor solicitante de cálculo p_{simos}.

$$M_{T,Ed} : \underline{0.10} \text{ kN}\cdot\text{m}$$

El esfuerzo cortante resistente de cálculo reducido **V_{pl,T,Rd}** viene dado por:

$$V_{pl,T,Rd} = \sqrt{1 - \frac{\tau_{T,Ed}}{1.25 \cdot f_{yd} / \sqrt{3}}} \cdot V_{pl,Rd}$$

$$V_{pl,T,Rd} : \underline{304.13} \text{ kN}$$

Donde:

V_{pl,Rd}: Esfuerzo cortante resistente de cálculo.

$$V_{pl,Rd} : \underline{304.70} \text{ kN}$$

τ_{T,Ed}: Tensiones tangenciales por torsión.

$$\tau_{T,Ed} : \underline{0.28} \text{ MPa}$$

$$\tau_{T,Ed} = \frac{M_{T,Ed}}{W_t}$$

Siendo:

W_T : Módulo de resistencia a torsión.

W_T : 363.26 cm³

f_{yd} : Resistencia de cálculo del acero.

f_{yd} : 261.90 MPa

$$f_{yd} = f_y / \gamma_{M0}$$

Siendo:

f_y : Límite elástico. (CTE DB SE-A, Tabla 4.1)

f_y : 275.00 MPa

γ_{M0} : Coeficiente parcial de seguridad del material.

γ_{M0} : 1.05

A1.2.2.4. Jácena superior

Perfil: #180x140x8 Material: Acero (S275)							
	Nudos		Longitud (m)	Características mecánicas			
	Inicial	Final		Área (cm²)	I _y ⁽¹⁾ (cm⁴)	I _z ⁽¹⁾ (cm⁴)	I _t ⁽²⁾ (cm⁴)
	N490	N480	5.722	46.39	2063.23	1399.16	2792.08
	Notas:						
	⁽¹⁾ Inercia respecto al eje indicado						
	⁽²⁾ Momento de inercia a torsión uniforme						
		Pandeo		Pandeo lateral			
		Plano XY	Plano XZ	Ala sup.	Ala inf.		
	β	0.00	1.00	0.00	0.00		
	L _K	0.000	5.720	0.000	0.000		
C _m	1.000	1.000	1.000	1.000			
C ₁	-		1.000				
Notación:							
β: Coeficiente de pandeo							
L _K : Longitud de pandeo (m)							
C _m : Coeficiente de momentos							
C ₁ : Factor de modificación para el momento crítico							

Limitación de esbeltez (CTE DB SE-A, Artículos 6.3.1 y 6.3.2.1 - Tabla 6.3)

La esbeltez reducida $\bar{\lambda}$ de las barras comprimidas debe ser inferior al valor 2.0.

$$\bar{\lambda} = \sqrt{\frac{A \cdot f_y}{N_{cr}}}$$

$\bar{\lambda}$: 0.99 ✓

Donde:

Clase: Clase de la sección, según la capacidad de deformación y de desarrollo de la resistencia plástica de los elementos planos comprimidos de una sección.

Clase: 1

A: Área de la sección bruta para las secciones de clase 1, 2 y 3.

A: 46.39 cm²

f_y : Límite elástico. (CTE DB SE-A, Tabla 4.1)

f_y : 275.00 MPa

N_{cr} : Axil crítico de pandeo elástico.

N_{cr} : 1307.00 kN

El axil crítico de pandeo elástico **N_{cr}** es el menor de los valores obtenidos en a), b) y c):

a) Axil crítico elástico de pandeo por flexión respecto al eje Y.

$$N_{cr,Y} : \underline{1307.00} \text{ kN}$$

$$N_{cr,Y} = \frac{\pi^2 \cdot E \cdot I_y}{L_{ky}^2}$$

b) Axil crítico elástico de pandeo por flexión respecto al eje Z.

$$N_{cr,Z} : \underline{\infty}$$

$$N_{cr,Z} = \frac{\pi^2 \cdot E \cdot I_z}{L_{kz}^2}$$

c) Axil crítico elástico de pandeo por torsión.

$$N_{cr,T} : \underline{\infty}$$

$$N_{cr,T} = \frac{1}{i_0^2} \cdot \left[G \cdot I_t + \frac{\pi^2 \cdot E \cdot I_w}{L_{kt}^2} \right]$$

Donde:

I_y : Momento de inercia de la sección bruta, respecto al eje Y.

$$I_y : \underline{2063.23} \text{ cm}^4$$

I_z : Momento de inercia de la sección bruta, respecto al eje Z.

$$I_z : \underline{1399.16} \text{ cm}^4$$

I_t : Momento de inercia a torsión uniforme.

$$I_t : \underline{2792.08} \text{ cm}^4$$

I_w : Constante de alabeo de la sección.

$$I_w : \underline{0.00} \text{ cm}^6$$

E : Módulo de elasticidad.

$$E : \underline{210000} \text{ MPa}$$

G : Módulo de elasticidad transversal.

$$G : \underline{81000} \text{ MPa}$$

L_{ky} : Longitud efectiva de pandeo por flexión, respecto al eje Y.

$$L_{ky} : \underline{5.720} \text{ m}$$

L_{kz} : Longitud efectiva de pandeo por flexión, respecto al eje Z.

$$L_{kz} : \underline{0.000} \text{ m}$$

L_{kt} : Longitud efectiva de pandeo por torsión.

$$L_{kt} : \underline{0.000} \text{ m}$$

i_0 : Radio de giro polar de la sección bruta, respecto al centro de torsión.

$$i_0 : \underline{8.64} \text{ cm}$$

$$i_0 = \left(i_y^2 + i_z^2 + y_0^2 + z_0^2 \right)^{0.5}$$

Siendo:

i_y, i_z : Radios de giro de la sección bruta, respecto a los ejes principales de inercia Y y Z.

$$i_y : \underline{6.67} \text{ cm}$$

$$i_z : \underline{5.49} \text{ cm}$$

y_0, z_0 : Coordenadas del centro de torsión en la dirección de los ejes principales Y y Z, respectivamente, relativas al centro de gravedad de la sección.

$$y_0 : \underline{0.00} \text{ mm}$$

$$z_0 : \underline{0.00} \text{ mm}$$

Abolladura del alma inducida por el ala comprimida (Criterio de CYPE Ingenieros, basado en: Eurocódigo 3 EN 1993-1-5: 2006, Artículo 8)

Se debe satisfacer:

$$\frac{h_w}{t_w} \leq k \frac{E}{f_{yf}} \sqrt{\frac{A_w}{A_{fc,ef}}}$$

$$20.50 \leq 350.66 \checkmark$$

Donde:

h_w : Altura del alma.

$$h_w : \underline{164.00} \text{ mm}$$

t_w : Espesor del alma.

$$t_w : \underline{8.00} \text{ mm}$$

A_w : Área del alma.

$$A_w : \underline{26.24} \text{ cm}^2$$

A_{fc,ef}: Área reducida del ala comprimida.

k: Coeficiente que depende de la clase de la sección.

E: Módulo de elasticidad.

f_{yt}: Límite elástico del acero del ala comprimida.

A_{fc,ef}: 11.20 cm²

k: 0.30

E: 210000 MPa

f_{yt}: 275.00 MPa

Resistencia a tracción (CTE DB SE-A, Artículo 6.2.3)

Se debe satisfacer:

$$\eta = \frac{N_{t,Ed}}{N_{t,Rd}} \leq 1$$

η: 0.080 ✓

El esfuerzo solicitante de cálculo pésimo se produce en el nudo N480, para la combinación de acciones 1.35·PP+1.5·V(180°)H3+0.75·N(R)1.

N_{t,Ed}: Axil de tracción solicitante de cálculo pésimo.

N_{t,Ed}: 97.08 kN

La resistencia de cálculo a tracción **N_{t,Rd}** viene dada por:

$$N_{t,Rd} = A \cdot f_{yd}$$

N_{t,Rd}: 1215.00 kN

Donde:

A: Área bruta de la sección transversal de la barra.

A: 46.39 cm²

f_{yd}: Resistencia de cálculo del acero.

f_{yd}: 261.90 MPa

$$f_{yd} = f_y / \gamma_{M0}$$

Siendo:

f_y: Límite elástico. (CTE DB SE-A, Tabla 4.1)

f_y: 275.00 MPa

γ_{M0}: Coeficiente parcial de seguridad del material.

γ_{M0}: 1.05

Resistencia a compresión (CTE DB SE-A, Artículo 6.2.5)

Se debe satisfacer:

$$\eta = \frac{N_{c,Ed}}{N_{c,Rd}} \leq 1$$

$$\eta = \frac{N_{c,Ed}}{N_{c,Rd}} \leq 1$$

η: 0.088 ✓

η: 0.160 ✓

El esfuerzo solicitante de cálculo pésimo se produce en el nudo N490, para la combinación de acciones 0.8·PP+1.5·V(0°)H4+0.75·N(R)2.

N_{c,Ed}: Axil de compresión solicitante de cálculo pésimo.

N_{c,Ed}: 106.38 kN

La resistencia de cálculo a compresión **N_{c,Rd}** viene dada por:

N_{c,Rd}: 1215.00 kN

$$N_{c,Rd} = A \cdot f_{yd}$$

Donde:

Clase: 1

Clase: Clase de la sección, según la capacidad de deformación y de desarrollo de la resistencia plástica de los elementos planos comprimidos de una sección.

A: Área de la sección bruta para las secciones de clase 1, 2 y 3.

f_{yd}: Resistencia de cálculo del acero.

$$f_{yd} = f_y / \gamma_{M0}$$

Siendo:

f_y: Límite elástico. (CTE DB SE-A, Tabla 4.1)

γ_{M0}: Coeficiente parcial de seguridad del material.

$$A : 46.39 \text{ cm}^2$$

$$f_{yd} : 261.90 \text{ MPa}$$

$$f_y : 275.00 \text{ MPa}$$

$$\gamma_{M0} : 1.05$$

Resistencia a pandeo: (CTE DB SE-A, Artículo 6.3.2)

La resistencia de cálculo a pandeo **N_{b,Rd}** en una barra comprimida viene dada por:

$$N_{b,Rd} = \chi \cdot A \cdot f_{yd}$$

$$N_{b,Rd} : 664.54 \text{ kN}$$

Donde:

A: Área de la sección bruta para las secciones de clase 1, 2 y 3.

f_{yd}: Resistencia de cálculo del acero.

$$f_{yd} = f_y / \gamma_{M1}$$

Siendo:

f_y: Límite elástico. (CTE DB SE-A, Tabla 4.1)

γ_{M1}: Coeficiente parcial de seguridad del material.

$$A : 46.39 \text{ cm}^2$$

$$f_{yd} : 261.90 \text{ MPa}$$

$$f_y : 275.00 \text{ MPa}$$

$$\gamma_{M1} : 1.05$$

χ: Coeficiente de reducción por pandeo.

$$\chi = \frac{1}{\Phi + \sqrt{\Phi^2 - (\bar{\lambda})^2}} \leq 1$$

$$\chi_y : 0.55$$

Siendo:

$$\Phi = 0.5 \cdot \left[1 + \alpha \cdot (\bar{\lambda} - 0.2) + (\bar{\lambda})^2 \right]$$

$$\Phi_y : 1.18$$

α: Coeficiente de imperfección elástica.

λ̄: Esbeltez reducida.

$$\alpha_y : 0.49$$

$$\bar{\lambda} = \sqrt{\frac{A \cdot f_y}{N_{cr}}}$$

$$\bar{\lambda}_y : 0.99$$

N_{cr}: Axil crítico elástico de pandeo, obtenido como el menor de los siguientes valores:

N_{cr,y}: Axil crítico elástico de pandeo por flexión respecto al eje Y.

N_{cr,z}: Axil crítico elástico de pandeo por flexión respecto al eje Z.

N_{cr,T}: Axil crítico elástico de pandeo por torsión.

$$N_{cr} : 1307.00 \text{ kN}$$

$$N_{cr,y} : 1307.00 \text{ kN}$$

$$N_{cr,z} : \infty$$

$$N_{cr,T} : \infty$$

Resistencia a flexión eje Y (CTE DB SE-A, Artículo 6.2.6)

Se debe satisfacer:

$$\eta = \frac{M_{Ed}}{M_{c,Rd}} \leq 1$$

$$\eta : \underline{0.316} \quad \checkmark$$

Para flexión positiva:

El esfuerzo solicitante de cálculo pésimo se produce en el nudo N490, para la combinación de acciones 0.8·PP+1.5·V(270°)H1.

M_{Ed}^+ : Momento flector solicitante de cálculo pésimo.

$$M_{Ed}^+ : \underline{23.17} \text{ kN}\cdot\text{m}$$

Para flexión negativa:

El esfuerzo solicitante de cálculo pésimo se produce en el nudo N490, para la combinación de acciones 1.35·PP+1.5·V(0°)H4+0.75·N(EI).

M_{Ed}^- : Momento flector solicitante de cálculo pésimo.

$$M_{Ed}^- : \underline{17.83} \text{ kN}\cdot\text{m}$$

El momento flector resistente de cálculo $M_{c,Rd}$ viene dado por:

$$M_{c,Rd} = W_{pl,y} \cdot f_{yd}$$

$$M_{c,Rd} : \underline{73.33} \text{ kN}\cdot\text{m}$$

Donde:

Clase: Clase de la sección, según la capacidad de deformación y de desarrollo de la resistencia plástica de los elementos planos de una sección a flexión simple.

$$\text{Clase} : \underline{1}$$

$W_{pl,y}$: Módulo resistente plástico correspondiente a la fibra con mayor tensión, para las secciones de clase 1 y 2.

$$W_{pl,y} : \underline{279.97} \text{ cm}^3$$

f_{yd} : Resistencia de cálculo del acero.

$$f_{yd} : \underline{261.90} \text{ MPa}$$

$$f_{yd} = f_y / \gamma_{M0}$$

Siendo:

f_y : Límite elástico. (CTE DB SE-A, Tabla 4.1)

$$f_y : \underline{275.00} \text{ MPa}$$

γ_{M0} : Coeficiente parcial de seguridad del material.

$$\gamma_{M0} : \underline{1.05}$$

Resistencia a pandeo lateral: (CTE DB SE-A, Artículo 6.3.3.2)

No procede, dado que las longitudes de pandeo lateral son nulas.

Resistencia a flexión eje Z (CTE DB SE-A, Artículo 6.2.6)

Se debe satisfacer:

$$\eta = \frac{M_{Ed}}{M_{c,Rd}} \leq 1$$

$$\eta : \underline{0.003} \quad \checkmark$$

Para flexión positiva:

El esfuerzo solicitante de cálculo pésimo se produce en el nudo N490, para la combinación de acciones 0.8·PP+1.5·V(270°)H1.

M_{Ed}^+ : Momento flector solicitante de cálculo pésimo.

$$M_{Ed}^+ : \underline{0.12} \text{ kN}\cdot\text{m}$$

Para flexión negativa:

El esfuerzo solicitante de cálculo pésimo se produce en el nudo N490, para la combinación de acciones 1.35·PP+1.5·V(90°)H2.

M_{Ed}^- : Momento flector solicitante de cálculo pésimo.

$$M_{Ed}^- : \underline{0.17} \text{ kN}\cdot\text{m}$$

El momento flector resistente de cálculo $M_{c,Rd}$ viene dado por:

$$M_{c,Rd} = W_{pl,z} \cdot f_{yd}$$

$$M_{c,Rd} : 61.76 \text{ kN}\cdot\text{m}$$

Donde:

Clase: Clase de la sección, según la capacidad de deformación y de desarrollo de la resistencia plástica de los elementos planos de una sección a flexión simple.

$$\text{Clase} : 1$$

$W_{pl,z}$: Módulo resistente plástico correspondiente a la fibra con mayor tensión, para las secciones de clase 1 y 2.

$$W_{pl,z} : 235.83 \text{ cm}^3$$

f_{yd} : Resistencia de cálculo del acero.

$$f_{yd} : 261.90 \text{ MPa}$$

$$f_{yd} = f_y / \gamma_{M0}$$

Siendo:

f_y : Límite elástico. (CTE DB SE-A, Tabla 4.1)

$$f_y : 275.00 \text{ MPa}$$

γ_{M0} : Coeficiente parcial de seguridad del material.

$$\gamma_{M0} : 1.05$$

Resistencia a corte Z (CTE DB SE-A, Artículo 6.2.4)

Se debe satisfacer:

$$\eta = \frac{V_{Ed}}{V_{c,Rd}} \leq 1$$

$$\eta : 0.055 \checkmark$$

El esfuerzo solicitante de cálculo pésimo se produce en el nudo N490, para la combinación de acciones 0.8·PP+1.5·V(270°)H1.

V_{Ed} : Esfuerzo cortante solicitante de cálculo pésimo.

$$V_{Ed} : 22.01 \text{ kN}$$

El esfuerzo cortante resistente de cálculo **$V_{c,Rd}$** viene dado por:

$$V_{c,Rd} = A_v \cdot \frac{f_{yd}}{\sqrt{3}}$$

$$V_{c,Rd} : 396.78 \text{ kN}$$

Donde:

A_v : Área transversal a cortante.

$$A_v : 26.24 \text{ cm}^2$$

$$A_v = 2 \cdot d \cdot t_w$$

Siendo:

d : Altura del alma.

$$d : 164.00 \text{ mm}$$

t_w : Espesor del alma.

$$t_w : 8.00 \text{ mm}$$

f_{yd} : Resistencia de cálculo del acero.

$$f_{yd} : 261.90 \text{ MPa}$$

$$f_{yd} = f_y / \gamma_{M0}$$

Siendo:

f_y : Límite elástico. (CTE DB SE-A, Tabla 4.1)

$$f_y : 275.00 \text{ MPa}$$

γ_{M0} : Coeficiente parcial de seguridad del material.

$$\gamma_{M0} : 1.05$$

Abolladura por cortante del alma: (CTE DB SE-A, Artículo 6.3.3.4)

Aunque no se han dispuesto rigidizadores transversales, no es necesario comprobar la resistencia a la abolladura del alma, puesto que se cumple:

$$\frac{d}{t_w} < 70 \cdot \varepsilon$$

$$20.50 < 64.71 \quad \checkmark$$

Donde:

λ_w : Esbeltez del alma.

$$\lambda_w : 20.50$$

$$\lambda_w = \frac{d}{t_w}$$

$\lambda_{m\acute{a}x}$: Esbeltez máxima.

$$\lambda_{m\acute{a}x} : 64.71$$

ε : Factor de reducción.

$$\varepsilon : 0.92$$

$$\varepsilon = \sqrt{\frac{f_{ref}}{f_y}}$$

Siendo:

f_{ref} : Límite elástico de referencia.

$$f_{ref} : 235.00 \text{ MPa}$$

f_y : Límite elástico. (CTE DB SE-A, Tabla 4.1)

$$f_y : 275.00 \text{ MPa}$$

Resistencia a corte Y (CTE DB SE-A, Artículo 6.2.4)

Se debe satisfacer:

$$\eta = \frac{V_{Ed}}{V_{c,Rd}} \leq 1$$

$$\eta < 0.001 \quad \checkmark$$

El esfuerzo solicitante de cálculo pésimo se produce para la combinación de acciones 0.8·PP+1.5·V(90°)H2.

V_{Ed} : Esfuerzo cortante solicitante de cálculo pésimo.

$$V_{Ed} : 0.03 \text{ kN}$$

El esfuerzo cortante resistente de cálculo $V_{c,Rd}$ viene dado por:

$$V_{c,Rd} = A_v \cdot \frac{f_{yd}}{\sqrt{3}}$$

$$V_{c,Rd} : 304.70 \text{ kN}$$

Donde:

A_v : Área transversal a cortante.

$$A_v : 20.15 \text{ cm}^2$$

$$A_v = A - 2 \cdot d \cdot t_w$$

Siendo:

A : Área de la sección bruta.

$$A : 46.39 \text{ cm}^2$$

d : Altura del alma.

$$d : 164.00 \text{ mm}$$

t_w : Espesor del alma.

$$t_w : 8.00 \text{ mm}$$

f_{yd} : Resistencia de cálculo del acero.

$$f_{yd} : 261.90 \text{ MPa}$$

$$f_{yd} = f_y / \gamma_{M0}$$

Siendo:

f_y : Límite elástico. (CTE DB SE-A, Tabla 4.1)

$$f_y : 275.00 \text{ MPa}$$

γ_{M0} : Coeficiente parcial de seguridad del material.

$$\gamma_{M0} : 1.05$$

Abolladura por cortante del alma: (CTE DB SE-A, Artículo 6.3.3.4)

Aunque no se han dispuesto rigidizadores transversales, no es necesario comprobar la resistencia a la abolladura del alma, puesto que se cumple:

$$\frac{b}{t_f} < 70 \cdot \varepsilon \quad 17.50 < 64.71 \quad \checkmark$$

Donde:

λ_w : Esbeltez del alma.

$$\lambda_w : 17.50$$

$$\lambda_w = \frac{b}{t_f}$$

$\lambda_{m\acute{a}x}$: Esbeltez máxima.

$$\lambda_{m\acute{a}x} : 64.71$$

ε : Factor de reducción.

$$\varepsilon : 0.92$$

$$\varepsilon = \sqrt{\frac{f_{ref}}{f_y}}$$

Siendo:

f_{ref} : Límite elástico de referencia.

$$f_{ref} : 235.00 \text{ MPa}$$

f_y : Límite elástico. (CTE DB SE-A, Tabla 4.1)

$$f_y : 275.00 \text{ MPa}$$

Resistencia a momento flector Y y fuerza cortante Z combinados (CTE DB SE-A, Artículo 6.2.8)

No es necesario reducir la resistencia de cálculo a flexión, ya que el esfuerzo cortante solicitante de cálculo pésimo V_{Ed} no es superior al 50% de la resistencia de cálculo a cortante $V_{c,Rd}$.

$$V_{Ed} \leq \frac{V_{c,Rd}}{2} \quad 22.01 \text{ kN} \leq 198.39 \text{ kN} \quad \checkmark$$

Los esfuerzos solicitantes de cálculo pésimos se producen para la combinación de acciones $0.8 \cdot PP + 1.5 \cdot V(270^\circ)H1$.

V_{Ed} : Esfuerzo cortante solicitante de cálculo pésimo.

$$V_{Ed} : 22.01 \text{ kN}$$

$V_{c,Rd}$: Esfuerzo cortante resistente de cálculo.

$$V_{c,Rd} : 396.78 \text{ kN}$$

Resistencia a momento flector Z y fuerza cortante Y combinados (CTE DB SE-A, Artículo 6.2.8)

No es necesario reducir la resistencia de cálculo a flexión, ya que el esfuerzo cortante solicitante de cálculo pésimo V_{Ed} no es superior al 50% de la resistencia de cálculo a cortante $V_{c,Rd}$.

$$V_{Ed} \leq \frac{V_{c,Rd}}{2} \quad 0.03 \text{ kN} \leq 152.35 \text{ kN} \quad \checkmark$$

Los esfuerzos solicitantes de cálculo pésimos se producen para la combinación de acciones $0.8 \cdot PP + 1.5 \cdot V(90^\circ)H2$.

V_{Ed} : Esfuerzo cortante solicitante de cálculo pésimo.

$$V_{Ed} : 0.03 \text{ kN}$$

$V_{c,Rd}$: Esfuerzo cortante resistente de cálculo.

$V_{c,Rd}$: 304.70 kN

Resistencia a flexión y axil combinados (CTE DB SE-A, Artículo 6.2.8)

Se debe satisfacer:

$$\eta = \frac{N_{c,Ed}}{N_{pl,Rd}} + \frac{M_{y,Ed}}{M_{el,Rd,y}} + \frac{M_{z,Ed}}{M_{el,Rd,z}} \leq 1$$

$$\eta = \frac{N_{c,Ed}}{\chi_y \cdot A \cdot f_{yd}} + k_y \cdot \frac{C_{m,y} \cdot M_{y,Ed}}{\chi_{LT} \cdot W_{el,y} \cdot f_{yd}} + \alpha_z \cdot k_z \cdot \frac{C_{m,z} \cdot M_{z,Ed}}{W_{el,z} \cdot f_{yd}} \leq 1$$

$$\eta = \frac{N_{c,Ed}}{\chi_z \cdot A \cdot f_{yd}} + \alpha_y \cdot k_y \cdot \frac{C_{m,y} \cdot M_{y,Ed}}{W_{el,y} \cdot f_{yd}} + k_z \cdot \frac{C_{m,z} \cdot M_{z,Ed}}{W_{el,z} \cdot f_{yd}} \leq 1$$

η : 0.326 ✓

η : 0.424 ✓

η : 0.246 ✓

Los esfuerzos solicitantes de cálculo p^{és}imos se producen en el nudo N490, para la combinaci3n de acciones 1.35·PP+1.5·V(0°)H4+0.75·N(R)2.

Donde:

$N_{c,Ed}$: Axil de compresi3n solicitante de c3lculo p^{és}imo.

$N_{c,Ed}$: 101.09 kN

$M_{y,Ed}$, $M_{z,Ed}$: Momentos flectores solicitantes de c3lculo p^{és}imos, seg^un los ejes Y y Z, respectivamente.

$M_{y,Ed}$: 17.77 kN·m

$M_{z,Ed}$: 0.01 kN·m

Clase: Clase de la secci3n, seg^un la capacidad de deformaci3n y de desarrollo de la resistencia pl3stica de sus elementos planos, para axil y flexi3n simple.

Clase : 1

$N_{pl,Rd}$: Resistencia a compresi3n de la secci3n bruta.

$N_{pl,Rd}$: 1215.00 kN

$M_{pl,Rd,y}$, $M_{pl,Rd,z}$: Resistencia a flexi3n de la secci3n bruta en condiciones pl3sticas, respecto a los ejes Y y Z, respectivamente.

$M_{pl,Rd,y}$: 73.33 kN·m

$M_{pl,Rd,z}$: 61.76 kN·m

Resistencia a pandeo: (CTE DB SE-A, Art3culo 6.3.4.2)

A: 3rea de la secci3n bruta.

A : 46.39 cm²

$W_{pl,y}$, $W_{pl,z}$: M3dulos resistentes pl3sticos correspondientes a la fibra comprimida, alrededor de los ejes Y y Z, respectivamente.

$W_{pl,y}$: 279.97 cm³

$W_{pl,z}$: 235.83 cm³

f_{yd} : Resistencia de c3lculo del acero.

f_{yd} : 261.90 MPa

$$f_{yd} = f_y / \gamma_{M1}$$

Siendo:

f_y : L3mite el3stico. (CTE DB SE-A, Tabla 4.1)

f_y : 275.00 MPa

γ_{M1} : Coeficiente parcial de seguridad del material.

γ_{M1} : 1.05

k_y , k_z : Coeficientes de interacci3n.

$$k_z = 1 + 0.6 \cdot \bar{\lambda}_z \cdot \frac{N_{c,Ed}}{\chi_z \cdot N_{c,Rd}}$$

k_y : 1.12

$$k_y = 1 + 0.6 \cdot \bar{\lambda}_y \cdot \frac{N_{c,Ed}}{\chi_y \cdot N_{c,Rd}}$$

k_z : 1.00

$C_{m,y}$, $C_{m,z}$: Factores de momento flector uniforme equivalente.

$C_{m,y}$: 1.00

$$C_{m,z} : \underline{1.00}$$

χ_y, χ_z : Coeficientes de reducción por pandeo, alrededor de los ejes Y y Z, respectivamente.

$$\chi_y : \underline{0.55}$$

$$\chi_z : \underline{1.00}$$

$\bar{\lambda}_y, \bar{\lambda}_z$: Esbelteces reducidas con valores no mayores que 1.00, en relación a los ejes Y y Z, respectivamente.

$$\bar{\lambda}_y : \underline{0.99}$$

$$\bar{\lambda}_z : \underline{0.00}$$

α_y, α_z : Factores dependientes de la clase de la sección.

$$\alpha_y : \underline{0.60}$$

$$\alpha_z : \underline{0.60}$$

Resistencia a flexión, axil y cortante combinados (CTE DB SE-A, Artículo 6.2.8)

No es necesario reducir las resistencias de cálculo a flexión y a axil, ya que se puede ignorar el efecto de abolladura por esfuerzo cortante y, además, el esfuerzo cortante solicitante de cálculo pésimo V_{Ed} es menor o igual que el 50% del esfuerzo cortante resistente de cálculo $V_{c,Rd}$.

Los esfuerzos solicitantes de cálculo pésimos se producen para la combinación de acciones 0.8·PP+1.5·V(270°)H1.

$$V_{Ed,z} \leq \frac{V_{c,Rd,z}}{2}$$

$$22.01 \text{ kN} \leq 198.10 \text{ kN} \quad \checkmark$$

Donde:

$V_{Ed,z}$: Esfuerzo cortante solicitante de cálculo pésimo.

$$V_{Ed,z} : \underline{22.01} \text{ kN}$$

$V_{c,Rd,z}$: Esfuerzo cortante resistente de cálculo.

$$V_{c,Rd,z} : \underline{396.20} \text{ kN}$$

Resistencia a torsión (CTE DB SE-A, Artículo 6.2.7)

Se debe satisfacer:

$$\eta = \frac{M_{T,Ed}}{M_{T,Rd}} \leq 1$$

$$\eta : \underline{0.001} \quad \checkmark$$

El esfuerzo solicitante de cálculo pésimo se produce para la combinación de acciones 0.8·PP+1.5·V(270°)H1.

$M_{T,Ed}$: Momento torsor solicitante de cálculo pésimo.

$$M_{T,Ed} : \underline{0.08} \text{ kN}\cdot\text{m}$$

El momento torsor resistente de cálculo $M_{T,Rd}$ viene dado por:

$$M_{T,Rd} = \frac{1}{\sqrt{3}} \cdot W_T \cdot f_{yd}$$

$$M_{T,Rd} : \underline{54.93} \text{ kN}\cdot\text{m}$$

Donde:

W_T : Módulo de resistencia a torsión.

$$W_T : \underline{363.26} \text{ cm}^3$$

f_{yd} : Resistencia de cálculo del acero.

$$f_{yd} : \underline{261.90} \text{ MPa}$$

$$f_{yd} = f_y / \gamma_{M0}$$

Siendo:

f_y : Límite elástico. (CTE DB SE-A, Tabla 4.1)

$$f_y : \underline{275.00} \text{ MPa}$$

γ_{M0} : Coeficiente parcial de seguridad del material.

$$\gamma_{M0} : \underline{1.05}$$

Resistencia a cortante Z y momento torsor combinados (CTE DB SE-A, Artículo 6.2.8)

Se debe satisfacer:

$$\eta = \frac{V_{Ed}}{V_{pl,T,Rd}} \leq 1$$

$\eta : 0.056$ ✓

Los esfuerzos solicitantes de cálculo p^{és}imos se producen en el nudo N490, para la combinaci3n de acciones 0.8·PP+1.5·V(270°)H1.

V_{Ed}: Esfuerzo cortante solicitante de c^{ál}culo p^{és}imo.

V_{Ed} : 22.01 kN

M_{T,Ed}: Momento torsor solicitante de c^{ál}culo p^{és}imo.

M_{T,Ed} : 0.08 kN·m

El esfuerzo cortante resistente de c^{ál}culo reducido **V_{pl,T,Rd}** viene dado por:

$$V_{pl,T,Rd} = \sqrt{1 - \frac{\tau_{T,Ed}}{1.25 \cdot f_{yd} / \sqrt{3}}} \cdot V_{pl,Rd}$$

V_{pl,T,Rd} : 396.20 kN

Donde:

V_{pl,Rd}: Esfuerzo cortante resistente de c^{ál}culo.

V_{pl,Rd} : 396.78 kN

τ_{T,Ed}: Tensiones tangenciales por torsi3n.

τ_{T,Ed} : 0.22 MPa

$$\tau_{T,Ed} = \frac{M_{T,Ed}}{W_t}$$

Siendo:

W_T: M3dulo de resistencia a torsi3n.

W_T : 363.26 cm³

f_{yd}: Resistencia de c^{ál}culo del acero.

f_{yd} : 261.90 MPa

$$f_{yd} = f_y / \gamma_{M0}$$

Siendo:

f_y: L^ímite el^{ás}tico. (CTE DB SE-A, Tabla 4.1)

f_y : 275.00 MPa

γ_{M0}: Coeficiente parcial de seguridad del material.

γ_{M0} : 1.05

Resistencia a cortante Y y momento torsor combinados (CTE DB SE-A, Art^ículo 6.2.8)

Se debe satisfacer:

$$\eta = \frac{V_{Ed}}{V_{pl,T,Rd}} \leq 1$$

$\eta < 0.001$ ✓

Los esfuerzos solicitantes de c^{ál}culo p^{és}imos se producen para la combinaci3n de acciones 0.8·PP+1.5·V(90°)H2.

V_{Ed}: Esfuerzo cortante solicitante de c^{ál}culo p^{és}imo.

V_{Ed} : 0.03 kN

M_{T,Ed}: Momento torsor solicitante de c^{ál}culo p^{és}imo.

M_{T,Ed} : 0.04 kN·m

El esfuerzo cortante resistente de c^{ál}culo reducido **V_{pl,T,Rd}** viene dado por:

$$V_{pl,T,Rd} = \sqrt{1 - \frac{\tau_{T,Ed}}{1.25 \cdot f_{yd} / \sqrt{3}}} \cdot V_{pl,Rd}$$

V_{pl,T,Rd} : 304.46 kN

Donde:

V_{pl,Rd}: Esfuerzo cortante resistente de c^{ál}culo.

V_{pl,Rd} : 304.70 kN

τ_{T,Ed}: Tensiones tangenciales por torsi3n.

τ_{T,Ed} : 0.12 MPa

$$\tau_{T,Ed} = \frac{M_{T,Ed}}{W_t}$$

Siendo:

W_T : Módulo de resistencia a torsión.

W_T : 363.26 cm³

f_{yd} : Resistencia de cálculo del acero.

f_{yd} : 261.90 MPa

$$f_{yd} = f_y / \gamma_{M0}$$

Siendo:

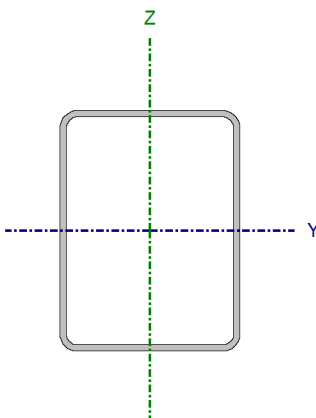
f_y : Límite elástico. (CTE DB SE-A, Tabla 4.1)

f_y : 275.00 MPa

γ_{M0} : Coeficiente parcial de seguridad del material.

γ_{M0} : 1.05

A1.2.2.5. Jácena inferior.

Perfil: #200x150x6 Material: Acero (S275)								
		Nudos		Longitud (m)	Características mecánicas			
		Inicial	Final		Área (cm ²)	I _y ⁽¹⁾ (cm ⁴)	I _z ⁽¹⁾ (cm ⁴)	I _t ⁽²⁾ (cm ⁴)
		N489	N479	5.780	39.29	2231.73	1435.98	2835.86
		Notas: ⁽¹⁾ Inercia respecto al eje indicado ⁽²⁾ Momento de inercia a torsión uniforme						
		Pandeo		Pandeo lateral				
		Plano XY	Plano XZ	Ala sup.	Ala inf.			
β		1.00	1.00	0.00	0.00			
L _K		5.780	5.780	0.000	0.000			
C _m		1.000	1.000	1.000	1.000			
C ₁		-		1.000				
Notación: β: Coeficiente de pandeo L _K : Longitud de pandeo (m) C _m : Coeficiente de momentos C ₁ : Factor de modificación para el momento crítico								

Limitación de esbeltez (CTE DB SE-A, Artículos 6.3.1 y 6.3.2.1 - Tabla 6.3)

La esbeltez reducida $\bar{\lambda}$ de las barras comprimidas debe ser inferior al valor 2.0.

$$\bar{\lambda} = \sqrt{\frac{A_{ef} \cdot f_y}{N_{cr}}}$$

$\bar{\lambda}$: 1.10 ✓

Donde:

Clase: Clase de la sección, según la capacidad de deformación y de desarrollo de la resistencia plástica de los elementos planos comprimidos de una sección.

Clase: 2

A: Área de la sección bruta para las secciones de clase 1, 2 y 3.

A: 39.29 cm²

f_y : Límite elástico. (CTE DB SE-A, Tabla 4.1)

f_y : 275.00 MPa

N_{cr} : Axil crítico de pandeo elástico.

N_{cr} : 890.87 kN

El axil crítico de pandeo elástico N_{cr} es el menor de los valores obtenidos en a), b) y c):

- a) Axil crítico elástico de pandeo por flexión respecto al eje Y.

$$N_{cr,z} = \frac{\pi^2 \cdot E \cdot I_z}{L_{kz}^2}$$

b)

$$N_{cr,y} : 1384.54 \text{ kN}$$

- b) Axil crítico elástico de pandeo por flexión respecto al eje Z.

$$N_{cr,z} = \frac{\pi^2 \cdot E \cdot I_z}{L_{kz}^2}$$

$$N_{cr,z} : 890.87 \text{ kN}$$

- c) Axil crítico elástico de pandeo por torsión.

$$N_{cr,T} : \infty$$

$$N_{cr,T} = \frac{1}{i_0^2} \cdot \left[G \cdot I_t + \frac{\pi^2 \cdot E \cdot I_w}{L_{kt}^2} \right]$$

Donde:

I_y : Momento de inercia de la sección bruta, respecto al eje Y.

$$I_y : 2231.73 \text{ cm}^4$$

I_z : Momento de inercia de la sección bruta, respecto al eje Z.

$$I_z : 1435.98 \text{ cm}^4$$

I_t : Momento de inercia a torsión uniforme.

$$I_t : 2835.86 \text{ cm}^4$$

I_w : Constante de alabeo de la sección.

$$I_w : 0.00 \text{ cm}^6$$

E : Módulo de elasticidad.

$$E : 210000 \text{ MPa}$$

G : Módulo de elasticidad transversal.

$$G : 81000 \text{ MPa}$$

L_{ky} : Longitud efectiva de pandeo por flexión, respecto al eje Y.

$$L_{ky} : 5.780 \text{ m}$$

L_{kz} : Longitud efectiva de pandeo por flexión, respecto al eje Z.

$$L_{kz} : 5.780 \text{ m}$$

L_{kt} : Longitud efectiva de pandeo por torsión.

$$L_{kt} : 0.000 \text{ m}$$

i_0 : Radio de giro polar de la sección bruta, respecto al centro de torsión.

$$i_0 : 9.66 \text{ cm}$$

$$i_0 = (i_y^2 + i_z^2 + y_0^2 + z_0^2)^{0.5}$$

Siendo:

i_y, i_z : Radios de giro de la sección bruta, respecto a los ejes principales de inercia Y y Z.

$$i_y : 7.54 \text{ cm}$$

$$i_z : 6.05 \text{ cm}$$

y_0, z_0 : Coordenadas del centro de torsión en la dirección de los ejes principales Y y Z, respectivamente, relativas al centro de gravedad de la sección.

$$y_0 : 0.00 \text{ mm}$$

$$z_0 : 0.00 \text{ mm}$$

Abolladura del alma inducida por el ala comprimida (Criterio de CYPE Ingenieros, basado en: Eurocódigo 3 EN 1993-1-5: 2006, Artículo 8)

Se debe satisfacer:

$$\frac{h_w}{t_w} \leq k \frac{E}{f_{yf}} \sqrt{\frac{A_w}{A_{fc,ef}}}$$

$$31.33 \leq 362.71 \checkmark$$

Donde:

h_w : Altura del alma.

$$h_w : 188.00 \text{ mm}$$

t_w : Espesor del alma.

A_w : Área del alma.

$A_{fc,ef}$: Área reducida del ala comprimida.

k : Coeficiente que depende de la clase de la sección.

E : Módulo de elasticidad.

f_{yf} : Límite elástico del acero del ala comprimida.

Siendo:

$$f_{yf} = f_y$$

$$t_w : \underline{6.00} \text{ mm}$$

$$A_w : \underline{22.56} \text{ cm}^2$$

$$A_{fc,ef} : \underline{9.00} \text{ cm}^2$$

$$k : \underline{0.30}$$

$$E : \underline{210000} \text{ MPa}$$

$$f_{yf} : \underline{275.00} \text{ MPa}$$

Resistencia a tracción (CTE DB SE-A, Artículo 6.2.3)

Se debe satisfacer:

$$\eta = \frac{N_{t,Ed}}{N_{t,Rd}} \leq 1$$

$$\eta : \underline{0.472} \checkmark$$

El esfuerzo solicitante de cálculo pésimo se produce en el nudo N479, para la combinación de acciones 0.8·PP+1.5·V(270°)H1.

$N_{t,Ed}$: Axil de tracción solicitante de cálculo pésimo.

$$N_{t,Ed} : \underline{486.09} \text{ kN}$$

La resistencia de cálculo a tracción $N_{t,Rd}$ viene dada por:

$$N_{t,Rd} = A \cdot f_{yd}$$

$$N_{t,Rd} : \underline{1029.15} \text{ kN}$$

Donde:

A : Área bruta de la sección transversal de la barra.

$$A : \underline{39.29} \text{ cm}^2$$

f_{yd} : Resistencia de cálculo del acero.

$$f_{yd} : \underline{261.90} \text{ MPa}$$

$$f_{yd} = f_y / \gamma_{M0}$$

Siendo:

f_y : Límite elástico. (CTE DB SE-A, Tabla 4.1)

$$f_y : \underline{275.00} \text{ MPa}$$

γ_{M0} : Coeficiente parcial de seguridad del material.

$$\gamma_{M0} : \underline{1.05}$$

Resistencia a compresión (CTE DB SE-A, Artículo 6.2.5)

Se debe satisfacer:

$$\eta = \frac{N_{c,Ed}}{N_{c,Rd}} \leq 1$$

$$\eta : \underline{0.399} \checkmark$$

$$\eta = \frac{N_{c,Ed}}{N_{b,Rd}} \leq 1$$

$$\eta : \underline{0.825} \checkmark$$

El esfuerzo solicitante de cálculo pésimo se produce en el nudo N489, para la combinación de acciones 1.35·PP+1.5·V(180°)H4+0.75·N(EI).

$N_{c,Ed}$: Axil de compresión solicitante de cálculo pésimo.

$$N_{c,Ed} : \underline{410.60} \text{ kN}$$

La resistencia de cálculo a compresión $N_{c,Rd}$ viene dada por:

$$N_{c,Rd} = A_{ef} \cdot f_{yd}$$

$$N_{c,Rd} : \underline{1029.15} \text{ kN}$$

Donde:

Clase: Clase de la sección, según la capacidad de deformación y de desarrollo de la resistencia plástica de los elementos planos comprimidos de una sección.

Clase : 2

A: Área de la sección bruta para las secciones de clase 1, 2 y 3.

A : 39.29 cm²

f_{yd}: Resistencia de cálculo del acero.

f_{yd} : 261.90 MPa

$$f_{yd} = f_y / \gamma_{M0}$$

Siendo:

f_y: Límite elástico. (CTE DB SE-A, Tabla 4.1)

f_y : 275.00 MPa

γ_{M0}: Coeficiente parcial de seguridad del material.

γ_{M0} : 1.05

Resistencia a pandeo: (CTE DB SE-A, Artículo 6.3.2)

La resistencia de cálculo a pandeo **N_{b,Rd}** en una barra comprimida viene dada por:

$$N_{b,Rd} = \chi \cdot A_{ef} \cdot f_{yd}$$

N_{b,Rd} : 497.62 kN

Donde:

A: Área de la sección bruta para las secciones de clase 1, 2 y 3.

A : 39.29 cm²

f_{yd}: Resistencia de cálculo del acero.

f_{yd} : 261.90 MPa

$$f_{yd} = f_y / \gamma_{M1}$$

Siendo:

f_y: Límite elástico. (CTE DB SE-A, Tabla 4.1)

f_y : 275.00 MPa

γ_{M1}: Coeficiente parcial de seguridad del material.

γ_{M1} : 1.05

χ: Coeficiente de reducción por pandeo.

$$\chi = \frac{1}{\Phi + \sqrt{\Phi^2 - (\bar{\lambda})^2}} \leq 1$$

χ_y : 0.61

χ_z : 0.48

Siendo:

$$\Phi = 0.5 \cdot \left[1 + \alpha \cdot (\bar{\lambda} - 0.2) + (\bar{\lambda})^2 \right]$$

φ_y : 1.06

φ_z : 1.33

α: Coeficiente de imperfección elástica.

α_y : 0.49

α_z : 0.49

λ̄: Esbeltez reducida.

$$\bar{\lambda} = \sqrt{\frac{A_{ef} \cdot f_y}{N_{cr}}}$$

λ̄_y : 0.88

λ̄_z : 1.10

N_{cr}: Axil crítico elástico de pandeo, obtenido como el menor de los siguientes valores:

N_{cr} : 890.87 kN

N_{cr,y}: Axil crítico elástico de pandeo por flexión respecto al eje Y.

N_{cr,y} : 1384.54 kN

N_{cr,z}: Axil crítico elástico de pandeo por flexión respecto al eje Z.

N_{cr,z} : 890.87 kN

N_{cr,T}: Axil crítico elástico de pandeo por torsión.

N_{cr,T} : ∞

Resistencia a flexión eje Y (CTE DB SE-A, Artículo 6.2.6)

Se debe satisfacer:

$$\eta = \frac{M_{Ed}}{M_{c,Rd}} \leq 1$$

$$\eta : \underline{0.065} \quad \checkmark$$

Para flexión positiva:

El esfuerzo solicitante de cálculo pésimo se produce en el nudo N489, para la combinación de acciones 0.8·PP+1.5·V(270°)H1.

M_{Ed}⁺: Momento flector solicitante de cálculo pésimo.

$$\mathbf{M_{Ed}^+} : \underline{2.57} \text{ kN}\cdot\text{m}$$

Para flexión negativa:

El esfuerzo solicitante de cálculo pésimo se produce en el nudo N489, para la combinación de acciones 1.35·PP+1.5·Q.

M_{Ed}⁻: Momento flector solicitante de cálculo pésimo.

$$\mathbf{M_{Ed}^-} : \underline{4.57} \text{ kN}\cdot\text{m}$$

El momento flector resistente de cálculo **M_{c,Rd}** viene dado por:

$$\mathbf{M_{c,Rd}} = W_{pl,y} \cdot f_{yd}$$

$$\mathbf{M_{c,Rd}} : \underline{70.18} \text{ kN}\cdot\text{m}$$

Donde:

Clase: Clase de la sección, según la capacidad de deformación y de desarrollo de la resistencia plástica de los elementos planos de una sección a flexión simple.

$$\mathbf{Clase} : \underline{1}$$

W_{pl,y}: Módulo resistente plástico correspondiente a la fibra con mayor tensión, para las secciones de clase 1 y 2.

$$\mathbf{W_{pl,y}} : \underline{267.98} \text{ cm}^3$$

f_{yd}: Resistencia de cálculo del acero.

$$\mathbf{f_{yd}} : \underline{261.90} \text{ MPa}$$

$$\mathbf{f_{yd}} = f_y / \gamma_{M0}$$

Siendo:

f_y: Límite elástico. (CTE DB SE-A, Tabla 4.1)

$$\mathbf{f_y} : \underline{275.00} \text{ MPa}$$

γ_{M0}: Coeficiente parcial de seguridad del material.

$$\mathbf{\gamma_{M0}} : \underline{1.05}$$

Resistencia a pandeo lateral: (CTE DB SE-A, Artículo 6.3.3.2)

No procede, dado que las longitudes de pandeo lateral son nulas.

Resistencia a flexión eje Z (CTE DB SE-A, Artículo 6.2.6)

Se debe satisfacer:

$$\eta = \frac{M_{Ed}}{M_{c,Rd}} \leq 1$$

$$\eta : \underline{0.028} \quad \checkmark$$

Para flexión positiva:

El esfuerzo solicitante de cálculo pésimo se produce en el nudo N479, para la combinación de acciones 0.8·PP+1.5·V(90°)H2+0.75·N(R)1.

M_{Ed}⁺: Momento flector solicitante de cálculo pésimo.

$$\mathbf{M_{Ed}^+} : \underline{1.60} \text{ kN}\cdot\text{m}$$

Para flexión negativa:

El esfuerzo solicitante de cálculo pésimo se produce en el nudo N479, para la combinación de acciones 1.35·PP+1.5·V(270°)H1+0.75·N(R)2.

M_{Ed}⁻: Momento flector solicitante de cálculo pésimo.

$$\mathbf{M_{Ed}^-} : \underline{1.32} \text{ kN}\cdot\text{m}$$

El momento flector resistente de cálculo **M_{c,Rd}** viene dado por:

$$\mathbf{M_{c,Rd}} = W_{pl,z} \cdot f_{yd}$$

$$\mathbf{M_{c,Rd}} : \underline{57.73} \text{ kN}\cdot\text{m}$$

Donde:

Clase: Clase de la sección, según la capacidad de deformación y de desarrollo de la resistencia plástica de los elementos planos de una sección a flexión simple.

Clase : 2

W_{pl,z}: Módulo resistente plástico correspondiente a la fibra con mayor tensión, para las secciones de clase 1 y 2.

W_{pl,z} : 220.44 cm³

f_{yd}: Resistencia de cálculo del acero.

f_{yd} : 261.90 MPa

$$f_{yd} = f_y / \gamma_{M0}$$

Siendo:

f_y: Límite elástico. (CTE DB SE-A, Tabla 4.1)

f_y : 275.00 MPa

γ_{M0}: Coeficiente parcial de seguridad del material.

γ_{M0} : 1.05

Resistencia a corte Z (CTE DB SE-A, Artículo 6.2.4)

Se debe satisfacer:

$$\eta = \frac{V_{Ed}}{V_{c,Rd}} \leq 1$$

η : 0.006 ✓

El esfuerzo solicitante de cálculo pésimo se produce en el nudo N489, para la combinación de acciones 1.35·PP+1.5·Q.

V_{Ed}: Esfuerzo cortante solicitante de cálculo pésimo.

V_{Ed} : 2.07 kN

El esfuerzo cortante resistente de cálculo **V_{c,Rd}** viene dado por:

$$V_{c,Rd} = A_v \cdot \frac{f_{yd}}{\sqrt{3}}$$

V_{c,Rd} : 341.13 kN

Donde:

A_v: Área transversal a cortante.

A_v : 22.56 cm²

$$A_v = h \cdot t_w$$

Siendo:

d: Altura del alma.

d : 188.00 mm

t_w: Espesor del alma.

t_w : 6.00 mm

f_{yd}: Resistencia de cálculo del acero.

f_{yd} : 261.90 MPa

$$f_{yd} = f_y / \gamma_{M0}$$

Siendo:

f_y: Límite elástico. (CTE DB SE-A, Tabla 4.1)

f_y : 275.00 MPa

γ_{M0}: Coeficiente parcial de seguridad del material.

γ_{M0} : 1.05

Abolladura por cortante del alma: (CTE DB SE-A, Artículo 6.3.3.4)

Aunque no se han dispuesto rigidizadores transversales, no es necesario comprobar la resistencia a la abolladura del alma, puesto que se cumple:

$$\frac{d}{t_w} < 70 \cdot \epsilon$$

31.33 < 64.71 ✓

Donde:

λ_w : Esbeltez del alma.

λ_w : 31.33

$$\lambda_w = \frac{d}{t_w}$$

$$\varepsilon = \sqrt{\frac{f_{ref}}{f_y}}$$

$\lambda_{m\acute{a}x}$: Esbeltez máxima.

$\lambda_{m\acute{a}x}$: 64.71

ε : Factor de reducción.

ε : 0.92

$$\varepsilon = \sqrt{\frac{f_{ref}}{f_y}}$$

Siendo:

f_{ref} : Límite elástico de referencia.

f_{ref} : 235.00 MPa

f_y : Límite elástico. (CTE DB SE-A, Tabla 4.1)

f_y : 275.00 MPa

Resistencia a corte Y (CTE DB SE-A, Artículo 6.2.4)

Se debe satisfacer:

$$\eta = \frac{V_{Ed}}{V_{c,Rd}} \leq 1$$

η : 0.002 ✓

El esfuerzo solicitante de cálculo pésimo se produce para la combinación de acciones 0.8·PP+1.5·V(90°)H2.

V_{Ed} : Esfuerzo cortante solicitante de cálculo pésimo.

V_{Ed} : 0.53 kN

El esfuerzo cortante resistente de cálculo $V_{c,Rd}$ viene dado por:

$$V_{c,Rd} = A_v \cdot \frac{f_{yd}}{\sqrt{3}}$$

$V_{c,Rd}$: 253.05 kN

Donde:

A_v : Área transversal a cortante.

A_v : 16.73 cm²

$$A_v = A - d \cdot t_w$$

Siendo:

A : Área de la sección bruta.

A : 39.29 cm²

d : Altura del alma.

d : 188.00 mm

t_w : Espesor del alma.

t_w : 6.00 mm

f_{yd} : Resistencia de cálculo del acero.

f_{yd} : 261.90 MPa

$$f_{yd} = f_y / \gamma_{M0}$$

Siendo:

f_y : Límite elástico. (CTE DB SE-A, Tabla 4.1)

f_y : 275.00 MPa

γ_{M0} : Coeficiente parcial de seguridad del material.

γ_{M0} : 1.05

Abolladura por cortante del alma: (CTE DB SE-A, Artículo 6.3.3.4)

Aunque no se han dispuesto rigidizadores transversales, no es necesario comprobar la resistencia a la abolladura del alma, puesto que se cumple:

$$25.00 < 64.71 \quad \checkmark$$

Donde:

λ_w : Esbeltez del alma.

$$\lambda_w : 25.00$$

$\lambda_{m\acute{a}x}$: Esbeltez máxima.

$$\lambda_{m\acute{a}x} : 64.71$$

ϵ : Factor de reducción.

$$\epsilon : 0.92$$

Siendo:

f_{ref} : Límite elástico de referencia.

$$f_{ref} : 235.00 \text{ MPa}$$

f_y : Límite elástico. (CTE DB SE-A, Tabla 4.1)

$$f_y : 275.00 \text{ MPa}$$

Resistencia a momento flector Y y fuerza cortante Z combinados (CTE DB SE-A, Artículo 6.2.8)

No es necesario reducir la resistencia de cálculo a flexión, ya que el esfuerzo cortante solicitante de cálculo pésimo V_{Ed} no es superior al 50% de la resistencia de cálculo a cortante $V_{c,Rd}$.

$$V_{Ed} \leq \frac{V_{c,Rd}}{2}$$

$$2.07 \text{ kN} \leq 170.57 \text{ kN} \quad \checkmark$$

Los esfuerzos solicitantes de cálculo pésimos se producen para la combinación de acciones 1.35·PP+1.5·Q.

V_{Ed} : Esfuerzo cortante solicitante de cálculo pésimo.

$$V_{Ed} : 2.07 \text{ kN}$$

$V_{c,Rd}$: Esfuerzo cortante resistente de cálculo.

$$V_{c,Rd} : 341.13 \text{ kN}$$

Resistencia a momento flector Z y fuerza cortante Y combinados (CTE DB SE-A, Artículo 6.2.8)

No es necesario reducir la resistencia de cálculo a flexión, ya que el esfuerzo cortante solicitante de cálculo pésimo V_{Ed} no es superior al 50% de la resistencia de cálculo a cortante $V_{c,Rd}$.

$$V_{Ed} \leq \frac{V_{c,Rd}}{2}$$

$$0.53 \text{ kN} \leq 126.52 \text{ kN} \quad \checkmark$$

Los esfuerzos solicitantes de cálculo pésimos se producen para la combinación de acciones 0.8·PP+1.5·V(90°)H2.

V_{Ed} : Esfuerzo cortante solicitante de cálculo pésimo.

$$V_{Ed} : 0.53 \text{ kN}$$

$V_{c,Rd}$: Esfuerzo cortante resistente de cálculo.

$$V_{c,Rd} : 253.05 \text{ kN}$$

Resistencia a flexión y axil combinados (CTE DB SE-A, Artículo 6.2.8)

Se debe satisfacer:

$$\eta = \frac{N_{c,Ed}}{N_{pl,Rd}} + \frac{M_{y,Ed}}{M_{el,Rd,y}} + \frac{M_{z,Ed}}{M_{el,Rd,z}} \leq 1$$

$$\eta = \frac{N_{c,Ed}}{\chi_y \cdot A \cdot f_{yd}} + k_y \cdot \frac{c_{m,y} \cdot M_{y,Ed}}{\chi_{LT} \cdot W_{el,y} \cdot f_{yd}} + \alpha_z \cdot k_z \cdot \frac{c_{m,z} \cdot M_{z,Ed}}{W_{el,z} \cdot f_{yd}} \leq 1$$

$$\eta = \frac{N_{c,Ed}}{\chi_z \cdot A \cdot f_{yd}} + \alpha_y \cdot k_y \cdot \frac{c_{m,y} \cdot M_{y,Ed}}{W_{el,y} \cdot f_{yd}} + k_z \cdot \frac{c_{m,z} \cdot M_{z,Ed}}{W_{el,z} \cdot f_{yd}} \leq 1$$

$$\begin{aligned} \eta &: \underline{0.460} \quad \checkmark \\ \eta &: \underline{0.742} \quad \checkmark \\ \eta &: \underline{0.880} \quad \checkmark \end{aligned}$$

Los esfuerzos solicitantes de cálculo p^{és}imos se producen en el nudo N489, para la combinaci3n de acciones 1.35·PP+1.5·V(180°)H4+0.75·N(EI).

Donde:

N_{c,Ed}: Axil de compresi3n solicitante de c3lculo p^{és}imo.

$$N_{c,Ed} : \underline{410.60} \text{ kN}$$

M_{y,Ed}, M_{z,Ed}: Momentos flectores solicitantes de c3lculo p^{és}imos, seg^un los ejes Y y Z, respectivamente.

$$M_{y,Ed} : \underline{4.16} \text{ kN}\cdot\text{m}$$

$$M_{z,Ed} : \underline{0.13} \text{ kN}\cdot\text{m}$$

Clase: Clase de la secci3n, seg^un la capacidad de deformaci3n y de desarrollo de la resistencia pl3stica de sus elementos planos, para axil y flexi3n simple.

$$\text{Clase} : \underline{2}$$

N_{pl,Rd}: Resistencia a compresi3n de la secci3n bruta.

$$N_{pl,Rd} : \underline{1029.15} \text{ kN}$$

M_{pl,Rd,y}, M_{pl,Rd,z}: Resistencia a flexi3n de la secci3n bruta en condiciones pl3sticas, respecto a los ejes Y y Z, respectivamente.

$$M_{pl,Rd,y} : \underline{70.18} \text{ kN}\cdot\text{m}$$

$$M_{pl,Rd,z} : \underline{57.73} \text{ kN}\cdot\text{m}$$

Resistencia a pandeo: (CTE DB SE-A, Art3culo 6.3.4.2)

A: 3rea de la secci3n bruta.

$$A : \underline{39.29} \text{ cm}^2$$

W_{pl,y}, W_{pl,z}: M3dulos resistentes pl3sticos correspondientes a la fibra comprimida, alrededor de los ejes Y y Z, respectivamente.

$$W_{pl,y} : \underline{267.98} \text{ cm}^3$$

$$W_{pl,z} : \underline{220.44} \text{ cm}^3$$

f_{yd}: Resistencia de c3lculo del acero.

$$f_{yd} : \underline{261.90} \text{ MPa}$$

$$f_{yd} = f_y / \gamma_{M1}$$

Siendo:

f_y: L3mite el3stico. (CTE DB SE-A, Tabla 4.1)

$$f_y : \underline{275.00} \text{ MPa}$$

γ_{M1}: Coeficiente parcial de seguridad del material.

$$\gamma_{M1} : \underline{1.05}$$

k_y, k_z: Coeficientes de interacci3n.

$$k_y = 1 + 0.6 \cdot \bar{\lambda}_y \cdot \frac{N_{c,Ed}}{\chi_y \cdot N_{c,Rd}}$$

$$k_y : \underline{1.45}$$

$$k_z = 1 + 0.6 \cdot \bar{\lambda}_z \cdot \frac{N_{c,Ed}}{\chi_z \cdot N_{c,Rd}}$$

$$k_z : \underline{1.66}$$

C_{m,y}, C_{m,z}: Factores de momento flector uniforme equivalente.

$$C_{m,y} : \underline{1.00}$$

$$C_{m,z} : \underline{1.00}$$

$$V_{Ed,z} \leq \frac{V_{c,Rd,z}}{2}$$

χ_y, χ_z : Coeficientes de reducción por pandeo, alrededor de los ejes Y y Z, respectivamente.

$$\chi_y : 0.61$$

$$\chi_z : 0.48$$

$\bar{\lambda}_y, \bar{\lambda}_z$: Esbelteces reducidas con valores no mayores que 1.00, en relación a los ejes Y y Z, respectivamente.

$$\bar{\lambda}_y : 0.88$$

$$\bar{\lambda}_z : 1.10$$

α_y, α_z : Factores dependientes de la clase de la sección.

$$\alpha_y : 0.60$$

$$\alpha_z : 0.60$$

Resistencia a flexión, axil y cortante combinados (CTE DB SE-A, Artículo 6.2.8)

No es necesario reducir las resistencias de cálculo a flexión y a axil, ya que se puede ignorar el efecto de abolladura por esfuerzo cortante y, además, el esfuerzo cortante solicitante de cálculo pésimo V_{Ed} es menor o igual que el 50% del esfuerzo cortante resistente de cálculo $V_{c,Rd}$.

Los esfuerzos solicitantes de cálculo pésimos se producen para la combinación de acciones $1.35 \cdot PP + 1.5 \cdot Q$.

$$V_{Ed,z} \leq \frac{V_{c,Rd,z}}{2}$$

$$2.07 \text{ kN} \leq 170.49 \text{ kN} \quad \checkmark$$

Donde:

$V_{Ed,z}$: Esfuerzo cortante solicitante de cálculo pésimo.

$$V_{Ed,z} : 2.07 \text{ kN}$$

$V_{c,Rd,z}$: Esfuerzo cortante resistente de cálculo.

$$V_{c,Rd,z} : 340.98 \text{ kN}$$

Resistencia a torsión (CTE DB SE-A, Artículo 6.2.7)

Se debe satisfacer:

$$\eta = \frac{M_{T,Ed}}{M_{T,Rd}} \leq 1$$

$$\eta : 0.003 \quad \checkmark$$

El esfuerzo solicitante de cálculo pésimo se produce para la combinación de acciones $0.8 \cdot PP + 1.5 \cdot V(270^\circ)H1$.

$M_{T,Ed}$: Momento torsor solicitante de cálculo pésimo.

$$M_{T,Ed} : 0.17 \text{ kN} \cdot \text{m}$$

El momento torsor resistente de cálculo $M_{T,Rd}$ viene dado por:

$$M_{T,Rd} = \frac{1}{\sqrt{3}} \cdot W_T \cdot f_{yd}$$

$$M_{T,Rd} : 50.69 \text{ kN} \cdot \text{m}$$

Donde:

W_T : Módulo de resistencia a torsión.

$$W_T : 335.23 \text{ cm}^3$$

f_{yd} : Resistencia de cálculo del acero.

$$f_{yd} : 261.90 \text{ MPa}$$

$$f_{yd} = f_y / \gamma_{M0}$$

Siendo:

f_y : Límite elástico. (CTE DB SE-A, Tabla 4.1)

$$f_y : 275.00 \text{ MPa}$$

γ_{M0} : Coeficiente parcial de seguridad del material.

$$\gamma_{M0} : 1.05$$

Resistencia a cortante Z y momento torsor combinados (CTE DB SE-A, Artículo 6.2.8)

Se debe satisfacer:

$$\eta = \frac{V_{Ed}}{V_{pl,T,Rd}} \leq 1$$

$$\eta : \underline{0.006} \quad \checkmark$$

Los esfuerzos solicitantes de cálculo pésimos se producen en el nudo N489, para la combinación de acciones 1.35·PP+1.5·Q.

V_{Ed}: Esfuerzo cortante solicitante de cálculo pésimo.

$$V_{Ed} : \underline{2.07} \text{ kN}$$

M_{T,Ed}: Momento torsor solicitante de cálculo pésimo.

$$M_{T,Ed} : \underline{0.02} \text{ kN}\cdot\text{m}$$

El esfuerzo cortante resistente de cálculo reducido **V_{pl,T,Rd}** viene dado por:

$$V_{pl,T,Rd} = \sqrt{1 - \frac{\tau_{T,Ed}}{1.25 \cdot f_{yd} / \sqrt{3}}} \cdot V_{pl,Rd}$$

$$V_{pl,T,Rd} : \underline{340.98} \text{ kN}$$

Donde:

V_{pl,Rd}: Esfuerzo cortante resistente de cálculo.

$$V_{pl,Rd} : \underline{341.13} \text{ kN}$$

τ_{T,Ed}: Tensiones tangenciales por torsión.

$$\tau_{T,Ed} : \underline{0.07} \text{ MPa}$$

$$\tau_{T,Ed} = \frac{M_{T,Ed}}{W_t}$$

Siendo:

W_T: Módulo de resistencia a torsión.

$$W_T : \underline{335.23} \text{ cm}^3$$

f_{yd}: Resistencia de cálculo del acero.

$$f_{yd} : \underline{261.90} \text{ MPa}$$

$$f_{yd} = f_y / \gamma_{M0}$$

Siendo:

f_y: Límite elástico. (CTE DB SE-A, Tabla 4.1)

$$f_y : \underline{275.00} \text{ MPa}$$

γ_{M0}: Coeficiente parcial de seguridad del material.

$$\gamma_{M0} : \underline{1.05}$$

Resistencia a cortante Y y momento torsor combinados (CTE DB SE-A, Artículo 6.2.8)

Se debe satisfacer:

$$\eta = \frac{V_{Ed}}{V_{pl,T,Rd}} \leq 1$$

$$\eta : \underline{0.002} \quad \checkmark$$

Los esfuerzos solicitantes de cálculo pésimos se producen para la combinación de acciones 0.8·PP+1.5·V(90°)H2+0.75·N(EI).

V_{Ed}: Esfuerzo cortante solicitante de cálculo pésimo.

$$V_{Ed} : \underline{0.53} \text{ kN}$$

M_{T,Ed}: Momento torsor solicitante de cálculo pésimo.

$$M_{T,Ed} : \underline{0.14} \text{ kN}\cdot\text{m}$$

El esfuerzo cortante resistente de cálculo reducido **V_{pl,T,Rd}** viene dado por:

$$V_{pl,T,Rd} = \sqrt{1 - \frac{\tau_{T,Ed}}{1.25 \cdot f_{yd} / \sqrt{3}}} \cdot V_{pl,Rd}$$

$$V_{pl,T,Rd} : \underline{252.36} \text{ kN}$$

Donde:

V_{pl,Rd}: Esfuerzo cortante resistente de cálculo.

$$V_{pl,Rd} : \underline{253.05} \text{ kN}$$

a) Axil crítico elástico de pandeo por flexión respecto al eje Y.

$$N_{cr,y} : 1701.02 \text{ kN}$$

$$N_{cr,y} = \frac{\pi^2 \cdot E \cdot I_y}{L_{ky}^2}$$

b) Axil crítico elástico de pandeo por flexión respecto al eje Z.

$$N_{cr,z} : 1094.51 \text{ kN}$$

$$N_{cr,z} = \frac{\pi^2 \cdot E \cdot I_z}{L_{kz}^2}$$

c) Axil crítico elástico de pandeo por torsión.

$$N_{cr,T} : \infty$$

$$N_{cr,T} = \frac{1}{i_0^2} \cdot \left[G \cdot I_t + \frac{\pi^2 \cdot E \cdot I_w}{L_{kt}^2} \right]$$

Donde:

I_y : Momento de inercia de la sección bruta, respecto al eje Y.

$$I_y : 942.96 \text{ cm}^4$$

I_z : Momento de inercia de la sección bruta, respecto al eje Z.

$$I_z : 606.74 \text{ cm}^4$$

I_t : Momento de inercia a torsión uniforme.

$$I_t : 1205.93 \text{ cm}^4$$

I_w : Constante de alabeo de la sección.

$$I_w : 0.00 \text{ cm}^6$$

E : Módulo de elasticidad.

$$E : 210000 \text{ MPa}$$

G : Módulo de elasticidad transversal.

$$G : 81000 \text{ MPa}$$

L_{ky} : Longitud efectiva de pandeo por flexión, respecto al eje Y.

$$L_{ky} : 3.390 \text{ m}$$

L_{kz} : Longitud efectiva de pandeo por flexión, respecto al eje Z.

$$L_{kz} : 3.390 \text{ m}$$

L_{kt} : Longitud efectiva de pandeo por torsión.

$$L_{kt} : 0.000 \text{ m}$$

i_0 : Radio de giro polar de la sección bruta, respecto al centro de torsión.

$$i_0 : 7.71 \text{ cm}$$

$$i_0 = \left(i_y^2 + i_z^2 + y_0^2 + z_0^2 \right)^{0.5}$$

Siendo:

i_y, i_z : Radios de giro de la sección bruta, respecto a los ejes principales de inercia Y y Z.

$$i_y : 6.01 \text{ cm}$$

$$i_z : 4.82 \text{ cm}$$

y_0, z_0 : Coordenadas del centro de torsión en la dirección de los ejes principales Y y Z, respectivamente, relativas al centro de gravedad de la sección.

$$y_0 : 0.00 \text{ mm}$$

$$z_0 : 0.00 \text{ mm}$$

Abolladura del alma inducida por el ala comprimida (Criterio de CYPE Ingenieros, basado en: Eurocódigo 3 EN 1993-1-5: 2006, Artículo 8)

Se debe satisfacer:

$$\frac{h_w}{t_w} \leq k \frac{E}{f_{yf}} \sqrt{\frac{A_w}{A_{fc,ef}}}$$

$$30.00 \leq 362.22 \checkmark$$

Donde:

h_w : Altura del alma.

$$h_w : 150.00 \text{ mm}$$

t_w : Espesor del alma.

$$t_w : 5.00 \text{ mm}$$

A_w : Área del alma.

$$A_w : 15.00 \text{ cm}^2$$

$A_{fc,ef}$: Área reducida del ala comprimida.

$$A_{fc,ef} : 6.00 \text{ cm}^2$$

k: Coeficiente que depende de la clase de la sección.

k : 0.30

E: Módulo de elasticidad.

E : 210000 MPa

f_{yf}: Límite elástico del acero del ala comprimida.

f_{yf} : 275.00 MPa

Siendo:

$$f_{yf} = f_y$$

Resistencia a tracción (CTE DB SE-A, Artículo 6.2.3)

Se debe satisfacer:

$$\eta = \frac{N_{t,Ed}}{N_{t,Rd}} \leq 1$$

η : 0.530 ✓

El esfuerzo solicitante de cálculo pésimo se produce en el nudo N489, para la combinación de acciones 0.8·PP+1.5·V(270°)H1.

N_{t,Ed}: Axil de tracción solicitante de cálculo pésimo.

N_{t,Ed} : 361.82 kN

La resistencia de cálculo a tracción **N_{t,Rd}** viene dada por:

$$N_{t,Rd} = A \cdot f_{yd}$$

N_{t,Rd} : 682.98 kN

Donde:

A: Área bruta de la sección transversal de la barra.

A : 26.08 cm²

f_{yd}: Resistencia de cálculo del acero.

f_{yd} : 261.90 MPa

$$f_{yd} = f_y / \gamma_{M0}$$

Siendo:

f_y: Límite elástico. (CTE DB SE-A, Tabla 4.1)

f_y : 275.00 MPa

γ_{M0}: Coeficiente parcial de seguridad del material.

γ_{M0} : 1.05

Resistencia a compresión (CTE DB SE-A, Artículo 6.2.5)

Se debe satisfacer:

$$\eta = \frac{N_{c,Ed}}{N_{c,Rd}} \leq 1$$

η : 0.475 ✓

$$\eta = \frac{N_{c,Ed}}{N_{b,Rd}} \leq 1$$

η : 0.724 ✓

El esfuerzo solicitante de cálculo pésimo se produce en el nudo N1000, para la combinación de acciones 1.35·PP+1.5·Q.

N_{c,Ed}: Axil de compresión solicitante de cálculo pésimo.

N_{c,Ed} : 324.62 kN

La resistencia de cálculo a compresión **N_{c,Rd}** viene dada por:

$$N_{c,Rd} = A \cdot f_{yd}$$

N_{c,Rd} : 682.98 kN

Donde:

Clase: Clase de la sección, según la capacidad de deformación y de desarrollo de la resistencia plástica de los elementos planos comprimidos de una sección.

Clase : 1

A: Área de la sección bruta para las secciones de clase 1, 2 y 3.

$$A : 26.08 \text{ cm}^2$$

f_{yd}: Resistencia de cálculo del acero.

$$f_{yd} : 261.90 \text{ MPa}$$

$$f_{yd} = f_y / \gamma_{M0}$$

Siendo:

f_y: Límite elástico. (CTE DB SE-A, Tabla 4.1)

$$f_y : 275.00 \text{ MPa}$$

γ_{M0}: Coeficiente parcial de seguridad del material.

$$\gamma_{M0} : 1.05$$

Resistencia a pandeo: (CTE DB SE-A, Artículo 6.3.2)

La resistencia de cálculo a pandeo **N_{b,Rd}** en una barra comprimida viene dada por:

$$N_{b,Rd} = \chi \cdot A \cdot f_{yd}$$

$$N_{b,Rd} : 448.19 \text{ kN}$$

Donde:

A: Área de la sección bruta para las secciones de clase 1, 2 y 3.

$$A : 26.08 \text{ cm}^2$$

f_{yd}: Resistencia de cálculo del acero.

$$f_{yd} : 261.90 \text{ MPa}$$

$$f_{yd} = f_y / \gamma_{M1}$$

Siendo:

f_y: Límite elástico. (CTE DB SE-A, Tabla 4.1)

$$f_y : 275.00 \text{ MPa}$$

γ_{M1}: Coeficiente parcial de seguridad del material.

$$\gamma_{M1} : 1.05$$

χ: Coeficiente de reducción por pandeo.

$$\chi = \frac{1}{\Phi + \sqrt{\Phi^2 - (\bar{\lambda})^2}} \leq 1$$

$$\chi_y : 0.76$$

$$\chi_z : 0.66$$

Siendo:

$$\Phi = 0.5 \cdot \left[1 + \alpha \cdot (\bar{\lambda} - 0.2) + (\bar{\lambda})^2 \right]$$

$$\phi_y : 0.82$$

$$\phi_z : 0.98$$

α: Coeficiente de imperfección elástica.

$$\alpha_y : 0.49$$

$$\alpha_z : 0.49$$

λ̄: Esbeltez reducida.

$$\bar{\lambda} = \sqrt{\frac{A \cdot f_y}{N_{cr}}}$$

$$\bar{\lambda}_y : 0.65$$

$$\bar{\lambda}_z : 0.81$$

N_{cr}: Axil crítico elástico de pandeo, obtenido como el menor de los siguientes valores:

$$N_{cr} : 1094.51 \text{ kN}$$

N_{cr,y}: Axil crítico elástico de pandeo por flexión respecto al eje Y.

$$N_{cr,y} : 1701.02 \text{ kN}$$

N_{cr,z}: Axil crítico elástico de pandeo por flexión respecto al eje Z.

$$N_{cr,z} : 1094.51 \text{ kN}$$

N_{cr,T}: Axil crítico elástico de pandeo por torsión.

$$N_{cr,T} : \infty$$

Resistencia a flexión eje Y (CTE DB SE-A, Artículo 6.2.6)

Se debe satisfacer:

$$\eta = \frac{M_{Ed}}{M_{c,Rd}} \leq 1$$

$$\eta : \underline{0.028} \quad \checkmark$$

Para flexión positiva:

El esfuerzo solicitante de cálculo pésimo se produce en el nudo N489, para la combinación de acciones 0.8·PP+1.5·V(0°)H1.

M_{Ed}⁺: Momento flector solicitante de cálculo pésimo.

$$\mathbf{M_{Ed}^{+} : \underline{0.82} \text{ kN}\cdot\text{m}}$$

Para flexión negativa:

El esfuerzo solicitante de cálculo pésimo se produce en el nudo N489, para la combinación de acciones 1.35·PP+1.5·V(180°)H4+0.75·N(EI).

M_{Ed}⁻: Momento flector solicitante de cálculo pésimo.

$$\mathbf{M_{Ed}^{-} : \underline{1.05} \text{ kN}\cdot\text{m}}$$

El momento flector resistente de cálculo **M_{c,Rd}** viene dado por:

$$\mathbf{M_{c,Rd} = W_{pl,y} \cdot f_{yd}}$$

$$\mathbf{M_{c,Rd} : \underline{37.15} \text{ kN}\cdot\text{m}}$$

Donde:

Clase: Clase de la sección, según la capacidad de deformación y de desarrollo de la resistencia plástica de los elementos planos de una sección a flexión simple.

$$\mathbf{Clase : \underline{1}}$$

W_{pl,y}: Módulo resistente plástico correspondiente a la fibra con mayor tensión, para las secciones de clase 1 y 2.

$$\mathbf{W_{pl,y} : \underline{141.86} \text{ cm}^3}$$

f_{yd}: Resistencia de cálculo del acero.

$$\mathbf{f_{yd} : \underline{261.90} \text{ MPa}}$$

$$\mathbf{f_{yd} = f_y / \gamma_{M0}}$$

Siendo:

f_y: Límite elástico. (CTE DB SE-A, Tabla 4.1)

$$\mathbf{f_y : \underline{275.00} \text{ MPa}}$$

γ_{M0}: Coeficiente parcial de seguridad del material.

$$\mathbf{\gamma_{M0} : \underline{1.05}}$$

Resistencia a pandeo lateral: (CTE DB SE-A, Artículo 6.3.3.2)

No procede, dado que las longitudes de pandeo lateral son nulas.

Resistencia a flexión eje Z (CTE DB SE-A, Artículo 6.2.6)

Se debe satisfacer:

$$\eta = \frac{M_{Ed}}{M_{c,Rd}} \leq 1$$

$$\eta : \underline{0.027} \quad \checkmark$$

Para flexión positiva:

El esfuerzo solicitante de cálculo pésimo se produce en el nudo N489, para la combinación de acciones 1.35·PP+1.5·V(90°)H2+0.75·N(EI).

M_{Ed}⁺: Momento flector solicitante de cálculo pésimo.

$$\mathbf{M_{Ed}^{+} : \underline{0.81} \text{ kN}\cdot\text{m}}$$

Para flexión negativa:

El esfuerzo solicitante de cálculo pésimo se produce en el nudo N489, para la combinación de acciones 0.8·PP+1.5·V(270°)H1.

M_{Ed}⁻: Momento flector solicitante de cálculo pésimo.

$$\mathbf{M_{Ed}^{-} : \underline{0.75} \text{ kN}\cdot\text{m}}$$

El momento flector resistente de cálculo **M_{c,Rd}** viene dado por:

$$\mathbf{M_{c,Rd} = W_{pl,z} \cdot f_{yd}}$$

$$\mathbf{M_{c,Rd} : \underline{30.57} \text{ kN}\cdot\text{m}}$$

Donde:

$$\mathbf{Clase : \underline{1}}$$

Clase: Clase de la sección, según la capacidad de deformación y de desarrollo de la resistencia plástica de los elementos planos de una sección a flexión simple.

$W_{pl,z}$: Módulo resistente plástico correspondiente a la fibra con mayor tensión, para las secciones de clase 1 y 2.

$W_{pl,z}$: 116.71 cm³

f_{yd} : Resistencia de cálculo del acero.

f_{yd} : 261.90 MPa

$f_{yd} = f_y / \gamma_{M0}$

Siendo:

f_y : Límite elástico. (CTE DB SE-A, Tabla 4.1)

f_y : 275.00 MPa

γ_{M0} : Coeficiente parcial de seguridad del material.

γ_{M0} : 1.05

Resistencia a corte Z (CTE DB SE-A, Artículo 6.2.4)

Se debe satisfacer:

$\eta = \frac{V_{Ed}}{V_{c,Rd}} \leq 1$

η : 0.003 ✓

El esfuerzo solicitante de cálculo pésimo se produce en el nudo N1000, para la combinación de acciones 1.35·PP+1.5·V(0°)H1.

V_{Ed} : Esfuerzo cortante solicitante de cálculo pésimo.

V_{Ed} : 0.60 kN

El esfuerzo cortante resistente de cálculo **$V_{c,Rd}$** viene dado por:

$V_{c,Rd} = A_v \cdot \frac{f_{yd}}{\sqrt{3}}$

$V_{c,Rd}$: 226.82 kN

Donde:

A_v : Área transversal a cortante.

A_v : 15.00 cm²

$A_v = 2 \cdot d \cdot t_w$

Siendo:

d : Altura del alma.

d : 150.00 mm

t_w : Espesor del alma.

t_w : 5.00 mm

f_{yd} : Resistencia de cálculo del acero.

f_{yd} : 261.90 MPa

$f_{yd} = f_y / \gamma_{M0}$

Siendo:

f_y : Límite elástico. (CTE DB SE-A, Tabla 4.1)

f_y : 275.00 MPa

γ_{M0} : Coeficiente parcial de seguridad del material.

γ_{M0} : 1.05

Abolladura por cortante del alma: (CTE DB SE-A, Artículo 6.3.3.4)

Aunque no se han dispuesto rigidizadores transversales, no es necesario comprobar la resistencia a la abolladura del alma, puesto que se cumple:

$\frac{d}{t_w} < 70 \cdot \epsilon$

30.00 < 64.71 ✓

Donde:

λ_w : Esbeltez del alma.

λ_w : 30.00

$$\lambda_w = \frac{d}{t_w}$$

$\lambda_{m\acute{a}x}$: Esbeltez máxima.

$\lambda_{m\acute{a}x}$: 64.71

ε : Factor de reducción.

ε : 0.92

$$\varepsilon = \sqrt{\frac{f_{ref}}{f_y}}$$

Siendo:

f_{ref} : Límite elástico de referencia.

f_{ref} : 235.00 MPa

f_y : Límite elástico. (CTE DB SE-A, Tabla 4.1)

f_y : 275.00 MPa

Resistencia a corte Y (CTE DB SE-A, Artículo 6.2.4)

Se debe satisfacer:

$$\eta = \frac{V_{Ed}}{V_{c,Rd}} \leq 1$$

η : 0.001 ✓

El esfuerzo solicitante de cálculo pésimo se produce para la combinación de acciones $0.8 \cdot PP + 1.5 \cdot V(90^\circ)H2 + 0.75 \cdot N(EI)$.

V_{Ed} : Esfuerzo cortante solicitante de cálculo pésimo.

V_{Ed} : 0.24 kN

El esfuerzo cortante resistente de cálculo $V_{c,Rd}$ viene dado por:

$$V_{c,Rd} = A_v \cdot \frac{f_{yd}}{\sqrt{3}}$$

$V_{c,Rd}$: 167.50 kN

Donde:

A_v : Área transversal a cortante.

A_v : 11.08 cm²

$$A_v = A - 2 \cdot d \cdot t_w$$

Siendo:

A : Área de la sección bruta.

A : 26.08 cm²

d : Altura del alma.

d : 150.00 mm

t_w : Espesor del alma.

t_w : 5.00 mm

f_{yd} : Resistencia de cálculo del acero.

f_{yd} : 261.90 MPa

$$f_{yd} = f_y / \gamma_{M0}$$

Siendo:

f_y : Límite elástico. (CTE DB SE-A, Tabla 4.1)

f_y : 275.00 MPa

γ_{M0} : Coeficiente parcial de seguridad del material.

γ_{M0} : 1.05

Abolladura por cortante del alma: (CTE DB SE-A, Artículo 6.3.3.4)

Aunque no se han dispuesto rigidizadores transversales, no es necesario comprobar la resistencia a la abolladura del alma, puesto que se cumple:

$$\frac{b}{t_f} < 70 \cdot \varepsilon$$

$$24.00 < 64.71$$



Donde:

λ_w : Esbeltez del alma.

$$\lambda_w : 24.00$$

$$\lambda_w = \frac{b}{t_f}$$

$\lambda_{m\acute{a}x}$: Esbeltez máxima.

$$\lambda_{m\acute{a}x} : 64.71$$

ε : Factor de reducción.

$$\varepsilon : 0.92$$

$$\varepsilon = \sqrt{\frac{f_{ref}}{f_y}}$$

Siendo:

f_{ref} : Límite elástico de referencia.

$$f_{ref} : 235.00 \text{ MPa}$$

f_y : Límite elástico. (CTE DB SE-A, Tabla 4.1)

$$f_y : 275.00 \text{ MPa}$$

Resistencia a momento flector Y y fuerza cortante Z combinados (CTE DB SE-A, Artículo 6.2.8)

No es necesario reducir la resistencia de cálculo a flexión, ya que el esfuerzo cortante solicitante de cálculo pésimo V_{Ed} no es superior al 50% de la resistencia de cálculo a cortante $V_{c,Rd}$.

$$V_{Ed} \leq \frac{V_{c,Rd}}{2}$$

$$0.60 \text{ kN} \leq 113.41 \text{ kN}$$



Los esfuerzos solicitantes de cálculo pésimos se producen para la combinación de acciones 1.35·PP+1.5·V(0°)H1.

V_{Ed} : Esfuerzo cortante solicitante de cálculo pésimo.

$$V_{Ed} : 0.60 \text{ kN}$$

$V_{c,Rd}$: Esfuerzo cortante resistente de cálculo.

$$V_{c,Rd} : 226.82 \text{ kN}$$

Resistencia a momento flector Z y fuerza cortante Y combinados (CTE DB SE-A, Artículo 6.2.8)

No es necesario reducir la resistencia de cálculo a flexión, ya que el esfuerzo cortante solicitante de cálculo pésimo V_{Ed} no es superior al 50% de la resistencia de cálculo a cortante $V_{c,Rd}$.

$$V_{Ed} \leq \frac{V_{c,Rd}}{2}$$

$$0.24 \text{ kN} \leq 83.75 \text{ kN}$$



Los esfuerzos solicitantes de cálculo pésimos se producen para la combinación de acciones 0.8·PP+1.5·V(90°)H2+0.75·N(EI).

V_{Ed} : Esfuerzo cortante solicitante de cálculo pésimo.

$$V_{Ed} : 0.24 \text{ kN}$$

$V_{c,Rd}$: Esfuerzo cortante resistente de cálculo.

$$V_{c,Rd} : 167.50 \text{ kN}$$

Resistencia a flexión y axil combinados (CTE DB SE-A, Artículo 6.2.8)

Se debe satisfacer:

$$\eta = \frac{N_{c,Ed}}{N_{pl,Rd}} + \frac{M_{y,Ed}}{M_{el,Rd,y}} + \frac{M_{z,Ed}}{M_{el,Rd,z}} \leq 1$$

$$\eta : \underline{0.502} \quad \checkmark$$

$$\eta : \underline{0.662} \quad \checkmark$$

$$\eta = \frac{N_{c,Ed}}{\chi_y \cdot A \cdot f_{yd}} + k_y \cdot \frac{C_{m,y} \cdot M_{y,Ed}}{\chi_{LT} \cdot W_{el,y} \cdot f_{yd}} + \alpha_z \cdot k_z \cdot \frac{C_{m,z} \cdot M_{z,Ed}}{W_{el,z} \cdot f_{yd}} \leq 1$$

$$\eta = \frac{N_{c,Ed}}{\chi_z \cdot A \cdot f_{yd}} + \alpha_y \cdot k_y \cdot \frac{C_{m,y} \cdot M_{y,Ed}}{W_{el,y} \cdot f_{yd}} + k_z \cdot \frac{C_{m,z} \cdot M_{z,Ed}}{W_{el,z} \cdot f_{yd}} \leq 1$$

$$\eta : \underline{0.744} \quad \checkmark$$

Los esfuerzos solicitantes de cálculo pésimos se producen en el nudo N489, para la combinación de acciones 1.35·PP+1.5·Q.

Donde:

N_{c,Ed}: Axil de compresión solicitante de cálculo pésimo.

$$N_{c,Ed} : \underline{323.75} \text{ kN}$$

M_{y,Ed}, M_{z,Ed}: Momentos flectores solicitantes de cálculo pésimos, según los ejes Y y Z, respectivamente.

$$M_{y,Ed} : \underline{1.00} \text{ kN}\cdot\text{m}$$

$$M_{z,Ed} : \underline{0.02} \text{ kN}\cdot\text{m}$$

Clase: Clase de la sección, según la capacidad de deformación y de desarrollo de la resistencia plástica de sus elementos planos, para axil y flexión simple.

$$\text{Clase} : \underline{1}$$

N_{pl,Rd}: Resistencia a compresión de la sección bruta.

$$N_{pl,Rd} : \underline{682.98} \text{ kN}$$

M_{pl,Rd,y}, M_{pl,Rd,z}: Resistencia a flexión de la sección bruta en condiciones plásticas, respecto a los ejes Y y Z, respectivamente.

$$M_{pl,Rd,y} : \underline{37.15} \text{ kN}\cdot\text{m}$$

$$M_{pl,Rd,z} : \underline{30.57} \text{ kN}\cdot\text{m}$$

Resistencia a pandeo: (CTE DB SE-A, Artículo 6.3.4.2)

A: Área de la sección bruta.

$$A : \underline{26.08} \text{ cm}^2$$

W_{pl,y}, W_{pl,z}: Módulos resistentes plásticos correspondientes a la fibra comprimida, alrededor de los ejes Y y Z, respectivamente.

$$W_{pl,y} : \underline{141.86} \text{ cm}^3$$

$$W_{pl,z} : \underline{116.71} \text{ cm}^3$$

f_{yd}: Resistencia de cálculo del acero.

$$f_{yd} : \underline{261.90} \text{ MPa}$$

$$f_{yd} = f_y / \gamma_{M1}$$

Siendo:

f_y: Límite elástico. (CTE DB SE-A, Tabla 4.1)

$$f_y : \underline{275.00} \text{ MPa}$$

γ_{M1}: Coeficiente parcial de seguridad del material.

$$\gamma_{M1} : \underline{1.05}$$

k_y, k_z: Coeficientes de interacción.

$$k_y = 1 + 0.6 \cdot \bar{\lambda}_y \cdot \frac{N_{c,Ed}}{\chi_y \cdot N_{c,Rd}}$$

$$k_y : \underline{1.28}$$

$$k_z = 1 + 0.6 \cdot \bar{\lambda}_z \cdot \frac{N_{c,Ed}}{\chi_z \cdot N_{c,Rd}}$$

$$k_z : \underline{1.44}$$

C_{m,y}, C_{m,z}: Factores de momento flector uniforme equivalente.

$$C_{m,y} : \underline{1.00}$$

$$C_{m,z} : \underline{1.00}$$

χ_y, χ_z: Coeficientes de reducción por pandeo, alrededor de los ejes Y y Z, respectivamente.

$$\chi_y : \underline{0.76}$$

$$\chi_z : \underline{0.66}$$

λ̄_y, λ̄_z: Esbelteces reducidas con valores no mayores que 1.00, en relación a los ejes Y y Z, respectivamente.

$$\bar{\lambda}_y : \underline{0.65}$$

$$\bar{\lambda}_z : \underline{0.81}$$

α_y, α_z : Factores dependientes de la clase de la sección.

$$\alpha_y : 0.60$$

$$\alpha_z : 0.60$$

Resistencia a flexión, axil y cortante combinados (CTE DB SE-A, Artículo 6.2.8)

No es necesario reducir las resistencias de cálculo a flexión y a axil, ya que se puede ignorar el efecto de abolladura por esfuerzo cortante y, además, el esfuerzo cortante solicitante de cálculo pésimo V_{Ed} es menor o igual que el 50% del esfuerzo cortante resistente de cálculo $V_{c,Rd}$.

Los esfuerzos solicitantes de cálculo pésimos se producen para la combinación de acciones 1.35·PP+1.5·V(0°)H1.

$$V_{Ed,z} \leq \frac{V_{c,Rd,z}}{2}$$

$$0.60 \text{ kN} \leq 113.40 \text{ kN} \quad \checkmark$$

Donde:

$V_{Ed,z}$: Esfuerzo cortante solicitante de cálculo pésimo.

$$V_{Ed,z} : 0.60 \text{ kN}$$

$V_{c,Rd,z}$: Esfuerzo cortante resistente de cálculo.

$$V_{c,Rd,z} : 226.81 \text{ kN}$$

Resistencia a torsión (CTE DB SE-A, Artículo 6.2.7)

Se debe satisfacer:

$$\eta = \frac{M_{T,Ed}}{M_{T,Rd}} \leq 1$$

$$\eta : 0.004 \quad \checkmark$$

El esfuerzo solicitante de cálculo pésimo se produce para la combinación de acciones 0.8·PP+1.5·V(270°)H1.

$M_{T,Ed}$: Momento torsor solicitante de cálculo pésimo.

$$M_{T,Ed} : 0.10 \text{ kN}\cdot\text{m}$$

El momento torsor resistente de cálculo $M_{T,Rd}$ viene dado por:

$$M_{T,Rd} = \frac{1}{\sqrt{3}} \cdot W_T \cdot f_{yd}$$

$$M_{T,Rd} : 26.95 \text{ kN}\cdot\text{m}$$

Donde:

W_T : Módulo de resistencia a torsión.

$$W_T : 178.25 \text{ cm}^3$$

f_{yd} : Resistencia de cálculo del acero.

$$f_{yd} : 261.90 \text{ MPa}$$

$$f_{yd} = f_y / \gamma_{M0}$$

Siendo:

f_y : Límite elástico. (CTE DB SE-A, Tabla 4.1)

$$f_y : 275.00 \text{ MPa}$$

γ_{M0} : Coeficiente parcial de seguridad del material.

$$\gamma_{M0} : 1.05$$

Resistencia a cortante Z y momento torsor combinados (CTE DB SE-A, Artículo 6.2.8)

Se debe satisfacer:

$$\eta = \frac{V_{Ed}}{V_{pl,T,Rd}} \leq 1$$

$$\eta : 0.003 \quad \checkmark$$

Los esfuerzos solicitantes de cálculo pésimos se producen en el nudo N1000, para la combinación de acciones 1.35·PP+1.5·V(0°)H1.

V_{Ed}: Esfuerzo cortante solicitante de cálculo pésimo.

V_{Ed} : 0.60 kN

M_{T,Ed}: Momento torsor solicitante de cálculo pésimo.

M_{T,Ed} : 0.00 kN·m

El esfuerzo cortante resistente de cálculo reducido **V_{pl,T,Rd}** viene dado por:

$$V_{pl,T,Rd} = \sqrt{1 - \frac{\tau_{T,Ed}}{1.25 \cdot f_{yd} / \sqrt{3}}} \cdot V_{pl,Rd}$$

V_{pl,T,Rd} : 226.81 kN

Donde:

V_{pl,Rd}: Esfuerzo cortante resistente de cálculo.

V_{pl,Rd} : 226.82 kN

τ_{T,Ed}: Tensiones tangenciales por torsión.

τ_{T,Ed} : 0.01 MPa

$$\tau_{T,Ed} = \frac{M_{T,Ed}}{W_t}$$

Siendo:

W_T: Módulo de resistencia a torsión.

W_T : 178.25 cm³

f_{yd}: Resistencia de cálculo del acero.

f_{yd} : 261.90 MPa

$$f_{yd} = f_y / \gamma_{M0}$$

Siendo:

f_y: Límite elástico. (CTE DB SE-A, Tabla 4.1)

f_y : 275.00 MPa

γ_{M0}: Coeficiente parcial de seguridad del material.

γ_{M0} : 1.05

Resistencia a cortante Y y momento torsor combinados (CTE DB SE-A, Artículo 6.2.8)

Se debe satisfacer:

$$\eta = \frac{V_{Ed}}{V_{pl,T,Rd}} \leq 1$$

η : 0.001 ✓

Los esfuerzos solicitantes de cálculo pésimos se producen para la combinación de acciones 1.35·PP+1.5·V(90°)H2+0.75·N(EI).

V_{Ed}: Esfuerzo cortante solicitante de cálculo pésimo.

V_{Ed} : 0.24 kN

M_{T,Ed}: Momento torsor solicitante de cálculo pésimo.

M_{T,Ed} : 0.10 kN·m

El esfuerzo cortante resistente de cálculo reducido **V_{pl,T,Rd}** viene dado por:

$$V_{pl,T,Rd} = \sqrt{1 - \frac{\tau_{T,Ed}}{1.25 \cdot f_{yd} / \sqrt{3}}} \cdot V_{pl,Rd}$$

V_{pl,T,Rd} : 166.88 kN

Donde:

V_{pl,Rd}: Esfuerzo cortante resistente de cálculo.

V_{pl,Rd} : 167.50 kN

τ_{T,Ed}: Tensiones tangenciales por torsión.

τ_{T,Ed} : 0.56 MPa

$$\tau_{T,Ed} = \frac{M_{T,Ed}}{W_t}$$

Siendo:

W_T: Módulo de resistencia a torsión.

W_T : 178.25 cm³

f_{yd}: Resistencia de cálculo del acero.

f_{yd} : 261.90 MPa

$$f_{yd} = f_y / \gamma_{M0}$$

Siendo:

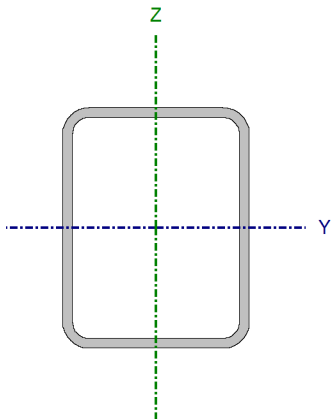
f_y : Límite elástico. (CTE DB SE-A, Tabla 4.1)
 γ_{M0} : Coeficiente parcial de seguridad del material.

f_y : 275.00 MPa
 γ_{M0} : 1.05

A1.2.3. Pórtico frontal

A continuación se van a representar los elementos característicos del pórtico frontal, para más información se puede consultar el plano número 03.

A1.2.3.1. Pilar exterior

Perfil: #180x140x8 Material: Acero (S275)								
		Nudos		Longitud (m)	Características mecánicas			
		Inicial	Final		Área (cm ²)	I _y ⁽¹⁾ (cm ⁴)	I _z ⁽¹⁾ (cm ⁴)	I _t ⁽²⁾ (cm ⁴)
		N789	N788	5.100	46.39	2063.23	1399.16	2792.08
		Notas:						
		(1) Inercia respecto al eje indicado						
(2) Momento de inercia a torsión uniforme								
		Pandeo		Pandeo lateral				
		Plano XY	Plano XZ	Ala sup.	Ala inf.			
β		1.00	1.00	0.00	0.00			
L _K		5.100	5.100	0.000	0.000			
C _m		1.000	1.000	1.000	1.000			
C ₁		-		1.000				
Notación:								
β: Coeficiente de pandeo								
L _K : Longitud de pandeo (m)								
C _m : Coeficiente de momentos								
C ₁ : Factor de modificación para el momento crítico								

Limitación de esbeltez (CTE DB SE-A, Artículos 6.3.1 y 6.3.2.1 - Tabla 6.3)

La esbeltez reducida $\bar{\lambda}$ de las barras comprimidas debe ser inferior al valor 2.0.

$$\bar{\lambda} = \sqrt{\frac{A \cdot f_y}{N_{cr}}}$$

$\bar{\lambda}$: 1.07 ✓

Donde:

Clase: Clase de la sección, según la capacidad de deformación y de desarrollo de la resistencia plástica de los elementos planos comprimidos de una sección. **Clase:** 1

A: Área de la sección bruta para las secciones de clase 1, 2 y 3. **A:** 46.39 cm²
 f_y : Límite elástico. (CTE DB SE-A, Tabla 4.1) **f_y :** 275.00 MPa
 N_{cr} : Axil crítico de pandeo elástico. **N_{cr} :** 1114.93 kN

El axil crítico de pandeo elástico N_{cr} es el menor de los valores obtenidos en a), b) y c):

a) Axil crítico elástico de pandeo por flexión respecto al eje Y.

$N_{cr,y}$: 1644.10 kN

$$N_{cr,y} = \frac{\pi^2 \cdot E \cdot I_y}{L_{ky}^2}$$

b) Axil crítico elástico de pandeo por flexión respecto al eje Z.

$$N_{cr,z} : 1114.93 \text{ kN}$$

$$N_{cr,z} = \frac{\pi^2 \cdot E \cdot I_z}{L_{kz}^2}$$

c) Axil crítico elástico de pandeo por torsión.

$$N_{cr,T} : \infty$$

$$N_{cr,T} = \frac{1}{i_0^2} \cdot \left[G \cdot I_t + \frac{\pi^2 \cdot E \cdot I_w}{L_{kt}^2} \right]$$

Donde:

I_y : Momento de inercia de la sección bruta, respecto al eje Y.

$$I_y : 2063.23 \text{ cm}^4$$

I_z : Momento de inercia de la sección bruta, respecto al eje Z.

$$I_z : 1399.16 \text{ cm}^4$$

I_t : Momento de inercia a torsión uniforme.

$$I_t : 2792.08 \text{ cm}^4$$

I_w : Constante de alabeo de la sección.

$$I_w : 0.00 \text{ cm}^6$$

E : Módulo de elasticidad.

$$E : 210000 \text{ MPa}$$

G : Módulo de elasticidad transversal.

$$G : 81000 \text{ MPa}$$

L_{ky} : Longitud efectiva de pandeo por flexión, respecto al eje Y.

$$L_{ky} : 5.100 \text{ m}$$

L_{kz} : Longitud efectiva de pandeo por flexión, respecto al eje Z.

$$L_{kz} : 5.100 \text{ m}$$

L_{kt} : Longitud efectiva de pandeo por torsión.

$$L_{kt} : 0.000 \text{ m}$$

i_0 : Radio de giro polar de la sección bruta, respecto al centro de torsión.

$$i_0 : 8.64 \text{ cm}$$

$$i_0 = \left(i_y^2 + i_z^2 + y_0^2 + z_0^2 \right)^{0.5}$$

Siendo:

i_y, i_z : Radios de giro de la sección bruta, respecto a los ejes principales de inercia Y y Z.

$$i_y : 6.67 \text{ cm}$$

$$i_z : 5.49 \text{ cm}$$

y_0, z_0 : Coordenadas del centro de torsión en la dirección de los ejes principales Y y Z, respectivamente, relativas al centro de gravedad de la sección.

$$y_0 : 0.00 \text{ mm}$$

$$z_0 : 0.00 \text{ mm}$$

Abolladura del alma inducida por el ala comprimida (Criterio de CYPE Ingenieros, basado en: Eurocódigo 3 EN 1993-1-5: 2006, Artículo 8)

Se debe satisfacer:

$$\frac{h_w}{t_w} \leq k \frac{E}{f_{yf}} \sqrt{\frac{A_w}{A_{fc,ef}}}$$

$$20.50 \leq 350.66 \checkmark$$

Donde:

h_w : Altura del alma.

$$h_w : 164.00 \text{ mm}$$

t_w : Espesor del alma.

A_w : Área del alma.

$A_{fc,ef}$: Área reducida del ala comprimida.

k : Coeficiente que depende de la clase de la sección.

E : Módulo de elasticidad.

f_{yf} : Límite elástico del acero del ala comprimida.

Siendo:

$$f_{yf} = f_y$$

$$t_w : \underline{8.00} \text{ mm}$$

$$A_w : \underline{26.24} \text{ cm}^2$$

$$A_{fc,ef} : \underline{11.20} \text{ cm}^2$$

$$k : \underline{0.30}$$

$$E : \underline{210000} \text{ MPa}$$

$$f_{yf} : \underline{275.00} \text{ MPa}$$

Resistencia a tracción (CTE DB SE-A, Artículo 6.2.3)

Se debe satisfacer:

$$\eta = \frac{N_{t,Ed}}{N_{t,Rd}} \leq 1$$

$$\eta : \underline{0.098} \checkmark$$

El esfuerzo solicitante de cálculo pésimo se produce en el nudo N788, para la combinación de acciones 1.35·PP+1.5·V(270°)H2+0.75·N(R)2.

$N_{t,Ed}$: Axil de tracción solicitante de cálculo pésimo.

$$N_{t,Ed} : \underline{118.47} \text{ kN}$$

La resistencia de cálculo a tracción $N_{t,Rd}$ viene dada por:

$$N_{t,Rd} = A \cdot f_{yd}$$

$$N_{t,Rd} : \underline{1215.00} \text{ kN}$$

Donde:

A : Área bruta de la sección transversal de la barra.

$$A : \underline{46.39} \text{ cm}^2$$

f_{yd} : Resistencia de cálculo del acero.

$$f_{yd} : \underline{261.90} \text{ MPa}$$

$$f_{yd} = f_y / \gamma_{M0}$$

Siendo:

f_y : Límite elástico. (CTE DB SE-A, Tabla 4.1)

$$f_y : \underline{275.00} \text{ MPa}$$

γ_{M0} : Coeficiente parcial de seguridad del material.

$$\gamma_{M0} : \underline{1.05}$$

Resistencia a compresión (CTE DB SE-A, Artículo 6.2.5)

Se debe satisfacer:

$$\eta = \frac{N_{c,Ed}}{N_{c,Rd}} \leq 1$$

$$\eta : \underline{0.134} \checkmark$$

$$\eta = \frac{N_{c,Ed}}{N_{b,Rd}} \leq 1$$

$$\eta : \underline{0.267} \checkmark$$

El esfuerzo solicitante de cálculo pésimo se produce en el nudo N789, para la combinación de acciones 1.35·PP+1.5·V(90°)H1+0.75·N(R)1.

N_{c,Ed}: Axil de compresión solicitante de cálculo pésimo.

N_{c,Ed} : 162.47 kN

La resistencia de cálculo a compresión **N_{c,Rd}** viene dada por:

$$N_{c,Rd} = A \cdot f_{yd}$$

N_{c,Rd} : 1215.00 kN

Donde:

Clase: Clase de la sección, según la capacidad de deformación y de desarrollo de la resistencia plástica de los elementos planos comprimidos de una sección.

Clase : 1

A: Área de la sección bruta para las secciones de clase 1, 2 y 3.

A : 46.39 cm²

f_{yd}: Resistencia de cálculo del acero.

f_{yd} : 261.90 MPa

$$f_{yd} = f_y / \gamma_{M0}$$

Siendo:

f_y: Límite elástico. (CTE DB SE-A, Tabla 4.1)

f_y : 275.00 MPa

γ_{M0}: Coeficiente parcial de seguridad del material.

γ_{M0} : 1.05

Resistencia a pandeo: (CTE DB SE-A, Artículo 6.3.2)

La resistencia de cálculo a pandeo **N_{b,Rd}** en una barra comprimida viene dada por:

$$N_{b,Rd} = \chi \cdot A \cdot f_{yd}$$

N_{b,Rd} : 608.24 kN

Donde:

A: Área de la sección bruta para las secciones de clase 1, 2 y 3.

A : 46.39 cm²

f_{yd}: Resistencia de cálculo del acero.

f_{yd} : 261.90 MPa

Siendo:

f_y: Límite elástico. (CTE DB SE-A, Tabla 4.1)

f_y : 275.00 MPa

γ_{M1}: Coeficiente parcial de seguridad del material.

γ_{M1} : 1.05

χ: Coeficiente de reducción por pandeo.

$$\chi = \frac{1}{\Phi + \sqrt{\Phi^2 - (\bar{\lambda})^2}} \leq 1$$

χ_y : 0.61

χ_z : 0.50

Siendo:

$$\Phi = 0.5 \cdot \left[1 + \alpha \cdot (\bar{\lambda} - 0.2) + (\bar{\lambda})^2 \right]$$

φ_y : 1.05

φ_z : 1.29

α: Coeficiente de imperfección elástica.

α_y : 0.49

α_z : 0.49

λ̄: Esbeltez reducida.

λ̄_y : 0.88

$$\bar{\lambda} = \sqrt{\frac{A \cdot f_y}{N_{cr}}}$$

$$\bar{\lambda}_z : 1.07$$

N_{cr}: Axil crítico elástico de pandeo, obtenido como el menor de los siguientes valores:

$$N_{cr} : 1114.93 \text{ kN}$$

N_{cr,y}: Axil crítico elástico de pandeo por flexión respecto al eje Y.

$$N_{cr,y} : 1644.10 \text{ kN}$$

N_{cr,z}: Axil crítico elástico de pandeo por flexión respecto al eje Z.

$$N_{cr,z} : 1114.93 \text{ kN}$$

N_{cr,T}: Axil crítico elástico de pandeo por torsión.

$$N_{cr,T} : \infty$$

Resistencia a flexión eje Y (CTE DB SE-A, Artículo 6.2.6)

Se debe satisfacer:

$$\eta = \frac{M_{Ed}}{M_{c,Rd}} \leq 1$$

$$\eta : 0.217 \checkmark$$

Para flexión positiva:

El esfuerzo solicitante de cálculo pésimo se produce en el nudo N789, para la combinación de acciones 0.8·PP+1.5·V(0°)H4+0.75·N(R)2.

M_{Ed}⁺: Momento flector solicitante de cálculo pésimo.

$$M_{Ed}^+ : 9.30 \text{ kN}\cdot\text{m}$$

Para flexión negativa:

El esfuerzo solicitante de cálculo pésimo se produce en el nudo N789, para la combinación de acciones 1.35·PP+1.5·V(270°)H1+0.75·N(R)1.

M_{Ed}⁻: Momento flector solicitante de cálculo pésimo.

$$M_{Ed}^- : 15.90 \text{ kN}\cdot\text{m}$$

El momento flector resistente de cálculo **M_{c,Rd}** viene dado por:

$$M_{c,Rd} = W_{pl,y} \cdot f_{yd}$$

$$M_{c,Rd} : 73.33 \text{ kN}\cdot\text{m}$$

Donde:

Clase: Clase de la sección, según la capacidad de deformación y de desarrollo de la resistencia plástica de los elementos planos de una sección a flexión simple.

$$\text{Clase} : 1$$

W_{pl,y}: Módulo resistente plástico correspondiente a la fibra con mayor tensión, para las secciones de clase 1 y 2.

$$W_{pl,y} : 279.97 \text{ cm}^3$$

f_{yd}: Resistencia de cálculo del acero.

$$f_{yd} : 261.90 \text{ MPa}$$

$$f_{yd} = f_y / \gamma_{M0}$$

Siendo:

f_y: Límite elástico. (CTE DB SE-A, Tabla 4.1)

$$f_y : 275.00 \text{ MPa}$$

γ_{M0}: Coeficiente parcial de seguridad del material.

$$\gamma_{M0} : 1.05$$

Resistencia a pandeo lateral: (CTE DB SE-A, Artículo 6.3.3.2)

No procede, dado que las longitudes de pandeo lateral son nulas.

Resistencia a flexión eje Z (CTE DB SE-A, Artículo 6.2.6)

Se debe satisfacer:

$$\eta = \frac{M_{Ed}}{M_{c,Rd}} \leq 1$$

$\eta : 0.079$ ✓

Para flexión positiva:

El esfuerzo solicitante de cálculo pésimo se produce en el nudo N789, para la combinación de acciones $1.35 \cdot PP + 1.5 \cdot V(0^\circ)H3 + 0.75 \cdot N(EI)$.

M_{Ed}^+ : Momento flector solicitante de cálculo pésimo.

$M_{Ed}^+ : 4.88 \text{ kN} \cdot \text{m}$

Para flexión negativa:

El esfuerzo solicitante de cálculo pésimo se produce en el nudo N789, para la combinación de acciones $0.8 \cdot PP + 1.5 \cdot V(270^\circ)H2$.

M_{Ed}^- : Momento flector solicitante de cálculo pésimo.

$M_{Ed}^- : 3.25 \text{ kN} \cdot \text{m}$

El momento flector resistente de cálculo $M_{c,Rd}$ viene dado por:

$$M_{c,Rd} = W_{pl,z} \cdot f_{yd}$$

$M_{c,Rd} : 61.76 \text{ kN} \cdot \text{m}$

Donde:

Clase: Clase de la sección, según la capacidad de deformación y de desarrollo de la resistencia plástica de los elementos planos de una sección a flexión simple.

Clase : 1

$W_{pl,z}$: Módulo resistente plástico correspondiente a la fibra con mayor tensión, para las secciones de clase 1 y 2.

$W_{pl,z} : 235.83 \text{ cm}^3$

f_{yd} : Resistencia de cálculo del acero.

$f_{yd} : 261.90 \text{ MPa}$

$$f_{yd} = f_y / \gamma_{M0}$$

Siendo:

f_y : Límite elástico. (CTE DB SE-A, Tabla 4.1)

$f_y : 275.00 \text{ MPa}$

γ_{M0} : Coeficiente parcial de seguridad del material.

$\gamma_{M0} : 1.05$

Resistencia a corte Z (CTE DB SE-A, Artículo 6.2.4)

Se debe satisfacer:

$$\eta = \frac{V_{Ed}}{V_{c,Rd}} \leq 1$$

$\eta : 0.043$ ✓

El esfuerzo solicitante de cálculo pésimo se produce en el nudo N789, para la combinación de acciones $1.35 \cdot PP + 1.5 \cdot V(270^\circ)H1 + 0.75 \cdot N(EI)$.

V_{Ed} : Esfuerzo cortante solicitante de cálculo pésimo.

$V_{Ed} : 17.16 \text{ kN}$

El esfuerzo cortante resistente de cálculo $V_{c,Rd}$ viene dado por:

$$V_{c,Rd} = A_v \cdot \frac{f_{yd}}{\sqrt{3}}$$

$V_{c,Rd} : 396.78 \text{ kN}$

Donde:

A_v : Área transversal a cortante.

$A_v : 26.24 \text{ cm}^2$

$$A_v = 2 \cdot d \cdot t_w$$

Siendo:

d: Altura del alma.

d: 164.00 mm

t_w: Espesor del alma.

t_w: 8.00 mm

f_{yd}: Resistencia de cálculo del acero.

f_{yd}: 261.90 MPa

$$f_{yd} = f_y / \gamma_{M0}$$

Siendo:

f_y: Límite elástico. (CTE DB SE-A, Tabla 4.1)

f_y: 275.00 MPa

γ_{M0}: Coeficiente parcial de seguridad del material.

γ_{M0}: 1.05

Abolladura por cortante del alma: (CTE DB SE-A, Artículo 6.3.3.4)

Aunque no se han dispuesto rigidizadores transversales, no es necesario comprobar la resistencia a la abolladura del alma, puesto que se cumple:

$$\frac{d}{t_w} < 70 \cdot \varepsilon$$

$$20.50 < 64.71$$



Donde:

λ_w: Esbeltez del alma.

λ_w: 20.50

$$\lambda_w = \frac{d}{t_w}$$

λ_{máx}: Esbeltez máxima.

λ_{máx}: 64.71

ε: Factor de reducción.

ε: 0.92

$$\varepsilon = \sqrt{\frac{f_{ref}}{f_y}}$$

Siendo:

f_{ref}: Límite elástico de referencia.

f_{ref}: 235.00 MPa

f_y: Límite elástico. (CTE DB SE-A, Tabla 4.1)

f_y: 275.00 MPa

Resistencia a corte Y (CTE DB SE-A, Artículo 6.2.4)

Se debe satisfacer:

$$\eta = \frac{V_{Ed}}{V_{c,Rd}} \leq 1$$

$$\eta : \underline{0.014} \quad \checkmark$$

El esfuerzo solicitante de cálculo pésimo se produce en el nudo N789, para la combinación de acciones 1.35·PP+1.5·V(0°)H3+0.75·N(EI).

V_{Ed}: Esfuerzo cortante solicitante de cálculo pésimo.

V_{Ed}: 4.34 kN

El esfuerzo cortante resistente de cálculo **V_{c,Rd}** viene dado por:

V_{c,Rd}: 304.70 kN

$$V_{c,Rd} = A_v \cdot \frac{f_{yd}}{\sqrt{3}}$$

Donde:

A_v: Área transversal a cortante.

A_v: 20.15 cm²

$$A_v = A - 2 \cdot d \cdot t_w$$

Siendo:

A: Área de la sección bruta.

A: 46.39 cm²

d: Altura del alma.

d: 164.00 mm

t_w: Espesor del alma.

t_w: 8.00 mm

f_{yd}: Resistencia de cálculo del acero.

f_{yd}: 261.90 MPa

$$f_{yd} = f_y / \gamma_{M0}$$

Siendo:

f_y: Límite elástico. (CTE DB SE-A, Tabla 4.1)

f_y: 275.00 MPa

γ_{M0}: Coeficiente parcial de seguridad del material.

γ_{M0}: 1.05

Abolladura por cortante del alma: (CTE DB SE-A, Artículo 6.3.3.4)

Aunque no se han dispuesto rigidizadores transversales, no es necesario comprobar la resistencia a la abolladura del alma, puesto que se cumple:

$$\frac{b}{t_f} < 70 \cdot \varepsilon$$

$$17.50 < 64.71$$



Donde:

λ_w: Esbeltez del alma.

λ_w: 17.50

$$\lambda_w = \frac{b}{t_f}$$

λ_{máx}: Esbeltez máxima.

λ_{máx}: 64.71

ε: Factor de reducción.

ε: 0.92

$$\varepsilon = \sqrt{\frac{f_{ref}}{f_y}}$$

Siendo:

f_{ref}: Límite elástico de referencia.

f_{ref}: 235.00 MPa

f_y: Límite elástico. (CTE DB SE-A, Tabla 4.1)

f_y: 275.00 MPa

Resistencia a momento flector Y y fuerza cortante Z combinados (CTE DB SE-A, Artículo 6.2.8)

No es necesario reducir la resistencia de cálculo a flexión, ya que el esfuerzo cortante solicitante de cálculo pésimo **V_{Ed}** no es superior al 50% de la resistencia de cálculo a cortante **V_{c,Rd}**.

$$V_{Ed} \leq \frac{V_{c,Rd}}{2}$$

$$17.16 \text{ kN} \leq 198.39 \text{ kN}$$



Los esfuerzos solicitantes de cálculo p_{es}imos se producen para la combinaci3n de acciones

$$1.35 \cdot PP + 1.5 \cdot V(270^\circ)H1 + 0.75 \cdot N(EI).$$

V_{Ed} : Esfuerzo cortante solicitante de c_{al}culo p_{es}imo.

$$V_{Ed} : 17.16 \text{ kN}$$

$V_{c,Rd}$: Esfuerzo cortante resistente de c_{al}culo.

$$V_{c,Rd} : 396.78 \text{ kN}$$

Resistencia a momento flector Z y fuerza cortante Y combinados (CTE DB SE-A, Art_{iculo} 6.2.8)

No es necesario reducir la resistencia de c_{al}culo a flexi3n, ya que el esfuerzo cortante solicitante de c_{al}culo p_{es}imo V_{Ed} no es superior al 50% de la resistencia de c_{al}culo a cortante $V_{c,Rd}$.

$$V_{Ed} \leq \frac{V_{c,Rd}}{2}$$

$$4.34 \text{ kN} \leq 152.35 \text{ kN}$$



Los esfuerzos solicitantes de c_{al}culo p_{es}imos se producen para la combinaci3n de acciones $1.35 \cdot PP + 1.5 \cdot V(0^\circ)H3 + 0.75 \cdot N(EI)$.

V_{Ed} : Esfuerzo cortante solicitante de c_{al}culo p_{es}imo.

$$V_{Ed} : 4.34 \text{ kN}$$

$V_{c,Rd}$: Esfuerzo cortante resistente de c_{al}culo.

$$V_{c,Rd} : 304.70 \text{ kN}$$

Resistencia a flexi3n y axil combinados (CTE DB SE-A, Art_{iculo} 6.2.8)

Se debe satisfacer:

$$\eta = \frac{N_{c,Ed}}{N_{pl,Rd}} + \frac{M_{y,Ed}}{M_{pl,Rd,y}} + \frac{M_{z,Ed}}{M_{pl,Rd,z}} \leq 1$$

$$\eta : 0.235$$



$$\eta = \frac{N_{c,Ed}}{\chi_y \cdot A \cdot f_{yd}} + k_y \cdot \frac{c_{m,y} \cdot M_{y,Ed}}{\chi_{LT} \cdot W_{pl,y} \cdot f_{yd}} + \alpha_z \cdot k_z \cdot \frac{c_{m,z} \cdot M_{z,Ed}}{W_{pl,z} \cdot f_{yd}} \leq 1$$

$$\eta : 0.326$$



$$\eta = \frac{N_{c,Ed}}{\chi_z \cdot A \cdot f_{yd}} + \alpha_y \cdot k_y \cdot \frac{c_{m,y} \cdot M_{y,Ed}}{W_{pl,y} \cdot f_{yd}} + k_z \cdot \frac{c_{m,z} \cdot M_{z,Ed}}{W_{pl,z} \cdot f_{yd}} \leq 1$$

$$\eta : 0.349$$



Los esfuerzos solicitantes de c_{al}culo p_{es}imos se producen en el nudo N789, para la combinaci3n de acciones

$$1.35 \cdot PP + 1.5 \cdot V(90^\circ)H1 + 0.75 \cdot N(R)1.$$

Donde:

$N_{c,Ed}$: Axil de compresi3n solicitante de c_{al}culo p_{es}imo.

$$N_{c,Ed} : 162.47 \text{ kN}$$

$M_{y,Ed}$, $M_{z,Ed}$: Momentos flectores solicitantes de cálculo p \acute{e} simos, seg \acute{u} n los ejes Y y Z, respectivamente.

$$M_{y,Ed}^- : 5.84 \text{ kN}\cdot\text{m}$$

$$M_{z,Ed}^+ : 1.35 \text{ kN}\cdot\text{m}$$

Clase: Clase de la secci \acute{o} n, seg \acute{u} n la capacidad de deformaci \acute{o} n y de desarrollo de la resistencia pl \acute{a} stica de sus elementos planos, para axil y flexi \acute{o} n simple.

$$\text{Clase} : 1$$

$N_{pl,Rd}$: Resistencia a compresi \acute{o} n de la secci \acute{o} n bruta.

$$N_{pl,Rd} : 1215.00 \text{ kN}$$

$M_{pl,Rd,y}$, $M_{pl,Rd,z}$: Resistencia a flexi \acute{o} n de la secci \acute{o} n bruta en condiciones pl \acute{a} sticas, respecto a los ejes Y y Z, respectivamente.

$$M_{pl,Rd,y} : 73.33 \text{ kN}\cdot\text{m}$$

$$M_{pl,Rd,z} : 61.76 \text{ kN}\cdot\text{m}$$

Resistencia a pandeo: (CTE DB SE-A, Art \acute{u} culo 6.3.4.2)

A: \acute{A} rea de la secci \acute{o} n bruta.

$$A : 46.39 \text{ cm}^2$$

$W_{pl,y}$, $W_{pl,z}$: M \acute{o} dulos resistentes pl \acute{a} sticos correspondientes a la fibra comprimida, alrededor de los ejes Y y Z, respectivamente.

$$W_{pl,y} : 279.97 \text{ cm}^3$$

$$W_{pl,z} : 235.83 \text{ cm}^3$$

f_{yd} : Resistencia de c \acute{a} lculo del acero.

$$f_{yd} : 261.90 \text{ MPa}$$

$$f_{yd} = f_y / \gamma_{M1}$$

Siendo:

f_y : L $\acute{i$ mite el \acute{a} stico. (CTE DB SE-A, Tabla 4.1)

$$f_y : 275.00 \text{ MPa}$$

γ_{M1} : Coeficiente parcial de seguridad del material.

$$\gamma_{M1} : 1.05$$

k_y , k_z : Coeficientes de interacci \acute{o} n.

$$k_y = 1 + (\bar{\lambda}_y - 0.2) \cdot \frac{N_{c,Ed}}{\chi_y \cdot N_{c,Rd}}$$

$$k_y : 1.15$$

$$k_z = 1 + (\bar{\lambda}_z - 0.2) \cdot \frac{N_{c,Ed}}{\chi_z \cdot N_{c,Rd}}$$

$$k_z : 1.21$$

$C_{m,y}$, $C_{m,z}$: Factores de momento flector uniforme equivalente.

$$C_{m,y} : 1.00$$

$$C_{m,z} : 1.00$$

χ_y , χ_z : Coeficientes de reducci \acute{o} n por pandeo, alrededor de los ejes Y y Z, respectivamente.

$$\chi_y : 0.61$$

$$\chi_z : 0.50$$

$\bar{\lambda}_y$, $\bar{\lambda}_z$: Esbelteces reducidas con valores no mayores que 1.00, en relaci \acute{o} n a los ejes Y y Z, respectivamente.

$$\bar{\lambda}_y : 0.88$$

$$\bar{\lambda}_z : 1.07$$

α_y , α_z : Factores dependientes de la clase de la secci \acute{o} n.

$$\alpha_y : 0.60$$

$$\alpha_z : 0.60$$

Resistencia a flexi \acute{o} n, axil y cortante combinados (CTE DB SE-A, Art \acute{u} culo 6.2.8)

No es necesario reducir las resistencias de c \acute{a} lculo a flexi \acute{o} n y a axil, ya que se puede ignorar el efecto de abolladura por esfuerzo cortante y, adem \acute{a} s, el esfuerzo cortante solicitante de c \acute{a} lculo p \acute{e} simo V_{Ed} es menor o igual que el 50% del esfuerzo cortante resistente de c \acute{a} lculo $V_{c,Rd}$.

Los esfuerzos solicitantes de c \acute{a} lculo p \acute{e} simos se producen para la combinaci \acute{o} n de acciones $1.35 \cdot PP + 1.5 \cdot V(270^\circ)H1 + 0.75 \cdot N(EI)$.

$$V_{Ed,z} \leq \frac{V_{c,Rd,z}}{2}$$

$$17.16 \text{ kN} \leq 197.66 \text{ kN} \quad \checkmark$$

Donde:

$V_{Ed,z}$: Esfuerzo cortante solicitante de cálculo pésimo.

$$V_{Ed,z} : 17.16 \text{ kN}$$

$V_{c,Rd,z}$: Esfuerzo cortante resistente de cálculo.

$$V_{c,Rd,z} : 395.33 \text{ kN}$$

Resistencia a torsión (CTE DB SE-A, Artículo 6.2.7)

Se debe satisfacer:

$$\eta = \frac{M_{T,Ed}}{M_{T,Rd}} \leq 1$$

$$\eta : 0.009 \quad \checkmark$$

El esfuerzo solicitante de cálculo pésimo se produce para la combinación de acciones $1.35 \cdot PP + 1.5 \cdot V(270^\circ)H2 + 0.75 \cdot N(EI)$.

$M_{T,Ed}$: Momento torsor solicitante de cálculo pésimo.

$$M_{T,Ed} : 0.51 \text{ kN} \cdot \text{m}$$

El momento torsor resistente de cálculo $M_{T,Rd}$ viene dado por:

$$M_{T,Rd} = \frac{1}{\sqrt{3}} \cdot W_T \cdot f_{yd}$$

$$M_{T,Rd} : 54.93 \text{ kN} \cdot \text{m}$$

Donde:

W_T : Módulo de resistencia a torsión.

$$W_T : 363.26 \text{ cm}^3$$

f_{yd} : Resistencia de cálculo del acero.

$$f_{yd} : 261.90 \text{ MPa}$$

$$f_{yd} = f_y / \gamma_{M0}$$

Siendo:

f_y : Límite elástico. (CTE DB SE-A, Tabla 4.1)

$$f_y : 275.00 \text{ MPa}$$

γ_{M0} : Coeficiente parcial de seguridad del material.

$$\gamma_{M0} : 1.05$$

Resistencia a cortante Z y momento torsor combinados (CTE DB SE-A, Artículo 6.2.8)

Se debe satisfacer:

$$\eta = \frac{V_{Ed}}{V_{pl,T,Rd}} \leq 1$$

$$\eta : 0.043 \quad \checkmark$$

Los esfuerzos solicitantes de cálculo pésimos se producen en el nudo N789, para la combinación de acciones $1.35 \cdot PP + 1.5 \cdot V(270^\circ)H1 + 0.75 \cdot N(EI)$.

V_{Ed} : Esfuerzo cortante solicitante de cálculo pésimo.

$$V_{Ed} : 17.16 \text{ kN}$$

$M_{T,Ed}$: Momento torsor solicitante de cálculo pésimo.

$$M_{T,Ed} : 0.20 \text{ kN} \cdot \text{m}$$

El esfuerzo cortante resistente de cálculo reducido $V_{pl,T,Rd}$ viene dado por:

$$V_{pl,T,Rd} : 395.33 \text{ kN}$$

$$V_{pl,T,Rd} = \left[1 - \frac{\tau_{T,Ed}}{f_{yd}/\sqrt{3}} \right] \cdot V_{pl,Rd}$$

Donde:

$V_{pl,Rd}$: Esfuerzo cortante resistente de cálculo.

$V_{pl,Rd}$: 396.78 kN

$\tau_{T,Ed}$: Tensiones tangenciales por torsión.

$\tau_{T,Ed}$: 0.55 MPa

$$\tau_{T,Ed} = \frac{M_{T,Ed}}{W_t}$$

Siendo:

W_T : Módulo de resistencia a torsión.

W_T : 363.26 cm³

f_{yd} : Resistencia de cálculo del acero.

f_{yd} : 261.90 MPa

$$f_{yd} = f_y/\gamma_{M0}$$

Siendo:

f_y : Límite elástico. (CTE DB SE-A, Tabla 4.1)

f_y : 275.00 MPa

γ_{M0} : Coeficiente parcial de seguridad del material.

γ_{M0} : 1.05

Resistencia a cortante Y y momento torsor combinados (CTE DB SE-A, Artículo 6.2.8)

Se debe satisfacer:

$$\eta = \frac{V_{Ed}}{V_{pl,T,Rd}} \leq 1$$

η : 0.014 ✓

Los esfuerzos solicitantes de cálculo pésimos se producen en el nudo N789, para la combinación de acciones 1.35·PP+1.5·V(0°)H3+0.75·N(EI).

V_{Ed} : Esfuerzo cortante solicitante de cálculo pésimo.

V_{Ed} : 4.34 kN

$M_{T,Ed}$: Momento torsor solicitante de cálculo pésimo.

$M_{T,Ed}$: 0.42 kN·m

El esfuerzo cortante resistente de cálculo reducido $V_{pl,T,Rd}$ viene dado por:

$$V_{pl,T,Rd} = \left[1 - \frac{\tau_{T,Ed}}{f_{yd}/\sqrt{3}} \right] \cdot V_{pl,Rd}$$

$V_{pl,T,Rd}$: 302.40 kN

Donde:

$V_{pl,Rd}$: Esfuerzo cortante resistente de cálculo.

$V_{pl,Rd}$: 304.70 kN

$\tau_{T,Ed}$: Tensiones tangenciales por torsión.

$\tau_{T,Ed}$: 1.14 MPa

$$\tau_{T,Ed} = \frac{M_{T,Ed}}{W_t}$$

Siendo:

W_T : Módulo de resistencia a torsión.

W_T : 363.26 cm³

f_{yd} : Resistencia de cálculo del acero.

f_{yd} : 261.90 MPa

$$f_{yd} = f_y/\gamma_{M0}$$

$$N_{cr,z} = \frac{\pi^2 \cdot E \cdot I_z}{L_{kz}^2}$$

c) Axil crítico elástico de pandeo por torsión.

$$N_{cr,T} : \infty$$

$$N_{cr,T} = \frac{1}{i_0^2} \cdot \left[G \cdot I_t + \frac{\pi^2 \cdot E \cdot I_w}{L_{kt}^2} \right]$$

Donde:

I_y: Momento de inercia de la sección bruta, respecto al eje Y.

$$I_y : 67120.00 \text{ cm}^4$$

I_z: Momento de inercia de la sección bruta, respecto al eje Z.

$$I_z : 2668.00 \text{ cm}^4$$

I_t: Momento de inercia a torsión uniforme.

$$I_t : 123.00 \text{ cm}^4$$

I_w: Constante de alabeo de la sección.

$$I_w : 1884000.00 \text{ cm}^6$$

E: Módulo de elasticidad.

$$E : 210000 \text{ MPa}$$

G: Módulo de elasticidad transversal.

$$G : 81000 \text{ MPa}$$

L_{ky}: Longitud efectiva de pandeo por flexión, respecto al eje Y.

$$L_{ky} : 5.100 \text{ m}$$

L_{kz}: Longitud efectiva de pandeo por flexión, respecto al eje Z.

$$L_{kz} : 5.100 \text{ m}$$

L_{kt}: Longitud efectiva de pandeo por torsión.

$$L_{kt} : 0.000 \text{ m}$$

i₀: Radio de giro polar de la sección bruta, respecto al centro de torsión.

$$i_0 : 22.82 \text{ cm}$$

$$i_0 = \left(i_y^2 + i_z^2 + y_0^2 + z_0^2 \right)^{0.5}$$

Siendo:

i_y, i_z: Radios de giro de la sección bruta, respecto a los ejes principales de inercia Y y Z.

$$i_y : 22.38 \text{ cm}$$

$$i_z : 4.46 \text{ cm}$$

y₀, z₀: Coordenadas del centro de torsión en la dirección de los ejes principales Y y Z, respectivamente, relativas al centro de gravedad de la sección.

$$y_0 : 0.00 \text{ mm}$$

$$z_0 : 0.00 \text{ mm}$$

Abolladura del alma inducida por el ala comprimida (Criterio de CYPE Ingenieros, basado en: Eurocódigo 3 EN 1993-1-5: 2006, Artículo 8)

Se debe satisfacer:

$$\frac{h_w}{t_w} \leq k \frac{E}{f_{yf}} \sqrt{\frac{A_w}{A_{fc,ef}}}$$

$$46.45 \leq 299.25 \checkmark$$

Donde:

h_w: Altura del alma.

$$h_w : 515.60 \text{ mm}$$

t_w: Espesor del alma.

$$t_w : 11.10 \text{ mm}$$

A_w: Área del alma.

$$A_w : 57.23 \text{ cm}^2$$

A_{fc,ef}: Área reducida del ala comprimida.

$$A_{fc,ef} : 36.12 \text{ cm}^2$$

k: Coeficiente que depende de la clase de la sección.

$$k : 0.30$$

E: Módulo de elasticidad.

$$E : 210000 \text{ MPa}$$

f_{yf}: Límite elástico del acero del ala comprimida.

$$f_{yf} : 265.00 \text{ MPa}$$

Siendo:

$$f_{yf} = f_y$$

Resistencia a tracción (CTE DB SE-A, Artículo 6.2.3)

Se debe satisfacer:

$$\eta = \frac{N_{t,Ed}}{N_{t,Rd}} \leq 1$$

$$\eta : \underline{0.168} \quad \checkmark$$

El esfuerzo solicitante de cálculo pésimo se produce en el nudo N882, para la combinación de acciones 0.8·PP+1.5·V(270°)H1.

N_{t,Ed}: Axil de tracción solicitante de cálculo pésimo.

$$\mathbf{N_{t,Ed}} : \underline{569.30} \text{ kN}$$

La resistencia de cálculo a tracción **N_{t,Rd}** viene dada por:

$$\mathbf{N_{t,Rd}} = A \cdot f_{yd}$$

$$\mathbf{N_{t,Rd}} : \underline{3381.90} \text{ kN}$$

Donde:

A: Área bruta de la sección transversal de la barra.

$$\mathbf{A} : \underline{134.00} \text{ cm}^2$$

f_{yd}: Resistencia de cálculo del acero.

$$\mathbf{f_{yd}} : \underline{252.38} \text{ MPa}$$

$$f_{yd} = f_y / \gamma_{M0}$$

Siendo:

f_y: Límite elástico. (CTE DB SE-A, Tabla 4.1)

$$\mathbf{f_y} : \underline{265.00} \text{ MPa}$$

γ_{M0}: Coeficiente parcial de seguridad del material.

$$\mathbf{\gamma_{M0}} : \underline{1.05}$$

Resistencia a compresión (CTE DB SE-A, Artículo 6.2.5)

Se debe satisfacer:

$$\eta = \frac{N_{c,Ed}}{N_{c,Rd}} \leq 1$$

$$\eta : \underline{0.205} \quad \checkmark$$

$$\eta = \frac{N_{c,Ed}}{N_{b,Rd}} \leq 1$$

$$\eta : \underline{0.456} \quad \checkmark$$

El esfuerzo solicitante de cálculo pésimo se produce en el nudo N861, para la combinación de acciones 1.35·PP+1.5·V(90°)H2+0.75·N(R)2.

N_{c,Ed}: Axil de compresión solicitante de cálculo pésimo.

$$\mathbf{N_{c,Ed}} : \underline{652.04} \text{ kN}$$

La resistencia de cálculo a compresión **N_{c,Rd}** viene dada por:

$$N_{c,Rd} = A_{ef} \cdot f_{yd}$$

$$N_{c,Rd} : 3179.39 \text{ kN}$$

Donde:

Clase: Clase de la sección, según la capacidad de deformación y de desarrollo de la resistencia plástica de los elementos planos comprimidos de una sección.

$$\text{Clase} : 4$$

A_{ef}: Área de la sección eficaz para las secciones de clase 4.

$$A_{ef} : 125.98 \text{ cm}^2$$

f_{yd}: Resistencia de cálculo del acero.

$$f_{yd} : 252.38 \text{ MPa}$$

$$f_{yd} = f_y / \gamma_{M0}$$

Siendo:

f_y: Límite elástico. (CTE DB SE-A, Tabla 4.1)

$$f_y : 265.00 \text{ MPa}$$

γ_{M0}: Coeficiente parcial de seguridad del material.

$$\gamma_{M0} : 1.05$$

Resistencia a pandeo: (CTE DB SE-A, Artículo 6.3.2)

La resistencia de cálculo a pandeo **N_{b,Rd}** en una barra comprimida viene dada por:

$$N_{b,Rd} = \chi \cdot A_{ef} \cdot f_{yd}$$

$$N_{b,Rd} : 1431.23 \text{ kN}$$

Donde:

A_{ef}: Área de la sección eficaz para las secciones de clase 4.

$$A_{ef} : 125.98 \text{ cm}^2$$

f_{yd}: Resistencia de cálculo del acero.

$$f_{yd} : 252.38 \text{ MPa}$$

Siendo:

f_y: Límite elástico. (CTE DB SE-A, Tabla 4.1)

$$f_y : 265.00 \text{ MPa}$$

γ_{M1}: Coeficiente parcial de seguridad del material.

$$\gamma_{M1} : 1.05$$

χ: Coeficiente de reducción por pandeo.

$$\chi = \frac{1}{\Phi + \sqrt{\Phi^2 - (\bar{\lambda})^2}} \leq 1$$

$$\chi_y : 0.99$$

$$\chi_z : 0.45$$

Siendo:

$$\Phi = 0.5 \cdot \left[1 + \alpha \cdot (\bar{\lambda} - 0.2) + (\bar{\lambda})^2 \right]$$

$$\phi_y : 0.54$$

$$\phi_z : 1.46$$

α: Coeficiente de imperfección elástica.

$$\alpha_y : 0.21$$

$$\alpha_z : 0.34$$

λ̄: Esbeltez reducida.

$$\bar{\lambda} = \sqrt{\frac{A_{ef} \cdot f_y}{N_{cr}}}$$

$$\bar{\lambda}_y : 0.25$$

$$\bar{\lambda}_z : 1.25$$

N_{cr}: Axil crítico elástico de pandeo, obtenido como el menor de los siguientes valores:

$$N_{cr} : 2126.01 \text{ kN}$$

N_{cr,y}: Axil crítico elástico de pandeo por flexión respecto al eje Y.

$$N_{cr,y} : 53484.83 \text{ kN}$$

$N_{cr,z}$: Axil crítico elástico de pandeo por flexión respecto al eje Z.

$N_{cr,z}$: 2126.01 kN

$N_{cr,T}$: Axil crítico elástico de pandeo por torsión.

$N_{cr,T}$: ∞

Resistencia a flexión eje Y (CTE DB SE-A, Artículo 6.2.6)

Se debe satisfacer:

$$\eta = \frac{M_{Ed}}{M_{c,Rd}} \leq 1$$

η : 0.268 ✓

Para flexión positiva:

El esfuerzo solicitante de cálculo pésimo se produce en el nudo N882, para la combinación de acciones $1.35 \cdot PP + 1.5 \cdot V(270^\circ)H2 + 0.75 \cdot N(R)2$.

M_{Ed}^+ : Momento flector solicitante de cálculo pésimo.

M_{Ed}^+ : 188.56 kN·m

Para flexión negativa:

El esfuerzo solicitante de cálculo pésimo se produce en el nudo N882, para la combinación de acciones $0.8 \cdot PP + 1.5 \cdot V(0^\circ)H1 + 0.75 \cdot N(R)1$.

M_{Ed}^- : Momento flector solicitante de cálculo pésimo.

M_{Ed}^- : 165.01 kN·m

El momento flector resistente de cálculo $M_{c,Rd}$ viene dado por:

$$M_{c,Rd} = W_{pl,y} \cdot f_{yd}$$

$M_{c,Rd}$: 703.39 kN·m

Donde:

Clase: Clase de la sección, según la capacidad de deformación y de desarrollo de la resistencia plástica de los elementos planos de una sección a flexión simple.

Clase : 1

$W_{pl,y}$: Módulo resistente plástico correspondiente a la fibra con mayor tensión, para las secciones de clase 1 y 2.

$W_{pl,y}$: 2787.00 cm³

f_{yd} : Resistencia de cálculo del acero.

f_{yd} : 252.38 MPa

$$f_{yd} = f_y / \gamma_{M0}$$

Siendo:

f_y : Límite elástico. (CTE DB SE-A, Tabla 4.1)

f_y : 265.00 MPa

γ_{M0} : Coeficiente parcial de seguridad del material.

γ_{M0} : 1.05

Resistencia a pandeo lateral: (CTE DB SE-A, Artículo 6.3.3.2)

No procede, dado que las longitudes de pandeo lateral son nulas.

Resistencia a flexión eje Z (CTE DB SE-A, Artículo 6.2.6)

Se debe satisfacer:

$$\eta = \frac{M_{Ed}}{M_{c,Rd}} \leq 1$$

η : 0.041 ✓

Para flexión positiva:

El esfuerzo solicitante de cálculo pésimo se produce en el nudo N861, para la combinación de acciones 1.35·PP+1.5·V(0°)H1.

M_{Ed}^+ : Momento flector solicitante de cálculo pésimo.

$M_{Ed}^+ : 4.17 \text{ kN}\cdot\text{m}$

Para flexión negativa:

El esfuerzo solicitante de cálculo pésimo se produce en el nudo N861, para la combinación de acciones 0.8·PP+1.5·V(90°)H2+0.75·N(EI).

M_{Ed}^- : Momento flector solicitante de cálculo pésimo.

$M_{Ed}^- : 0.64 \text{ kN}\cdot\text{m}$

El momento flector resistente de cálculo $M_{c,Rd}$ viene dado por:

$$M_{c,Rd} = W_{pl,z} \cdot f_{yd}$$

$M_{c,Rd} : 101.20 \text{ kN}\cdot\text{m}$

Donde:

Clase: Clase de la sección, según la capacidad de deformación y de desarrollo de la resistencia plástica de los elementos planos de una sección a flexión simple.

Clase : 1

$W_{pl,z}$: Módulo resistente plástico correspondiente a la fibra con mayor tensión, para las secciones de clase 1 y 2.

$W_{pl,z} : 401.00 \text{ cm}^3$

f_{yd} : Resistencia de cálculo del acero.

$f_{yd} : 252.38 \text{ MPa}$

$$f_{yd} = f_y / \gamma_{M0}$$

Siendo:

f_y : Límite elástico. (CTE DB SE-A, Tabla 4.1)

$f_y : 265.00 \text{ MPa}$

γ_{M0} : Coeficiente parcial de seguridad del material.

$\gamma_{M0} : 1.05$

Resistencia a corte Z (CTE DB SE-A, Artículo 6.2.4)

Se debe satisfacer:

$$\eta = \frac{V_{Ed}}{V_{c,Rd}} \leq 1$$

$\eta : 0.204$ ✓

El esfuerzo solicitante de cálculo pésimo se produce en el nudo N882, para la combinación de acciones 1.35·PP+1.5·V(270°)H2.

V_{Ed} : Esfuerzo cortante solicitante de cálculo pésimo.

$V_{Ed} : 213.72 \text{ kN}$

El esfuerzo cortante resistente de cálculo $V_{c,Rd}$ viene dado por:

$$V_{c,Rd} = A_v \cdot \frac{f_{yd}}{\sqrt{3}}$$

$V_{c,Rd} : 1048.04 \text{ kN}$

Donde:

A_v : Área transversal a cortante.

$A_v : 71.93 \text{ cm}^2$

$$A_v = h \cdot t_w$$

Siendo:

h : Canto de la sección.

$h : 550.00 \text{ mm}$

t_w : Espesor del alma.

$t_w : 11.10 \text{ mm}$

f_{yd} : Resistencia de cálculo del acero.

$f_{yd} : 252.38 \text{ MPa}$

$$f_{yd} = f_y / \gamma_{M0}$$

Siendo:

f_y : Límite elástico. (CTE DB SE-A, Tabla 4.1)

f_y : 265.00 MPa

γ_{M0} : Coeficiente parcial de seguridad del material.

γ_{M0} : 1.05

Abolladura por cortante del alma: (CTE DB SE-A, Artículo 6.3.3.4)

Aunque no se han dispuesto rigidizadores transversales, no es necesario comprobar la resistencia a la abolladura del alma, puesto que se cumple:

$$\frac{d}{t_w} < 70 \cdot \varepsilon$$

$$42.13 < 65.92$$



Donde:

λ_w : Esbeltez del alma.

λ_w : 42.13

$$\lambda_w = \frac{d}{t_w}$$

$\lambda_{m\acute{a}x}$: Esbeltez máxima.

$\lambda_{m\acute{a}x}$: 65.92

ε : Factor de reducción.

ε : 0.94

$$\varepsilon = \sqrt{\frac{f_{ref}}{f_y}}$$

Siendo:

f_{ref} : Límite elástico de referencia.

f_{ref} : 235.00 MPa

f_y : Límite elástico. (CTE DB SE-A, Tabla 4.1)

f_y : 265.00 MPa

Resistencia a corte Y (CTE DB SE-A, Artículo 6.2.4)

Se debe satisfacer:

$$\eta = \frac{V_{Ed}}{V_{c,Rd}} \leq 1$$

$$\eta : \underline{0.001} \quad \checkmark$$

El esfuerzo solicitante de cálculo pésimo se produce para la combinación de acciones 1.35·PP+1.5·V(270°)H1.

V_{Ed} : Esfuerzo cortante solicitante de cálculo pésimo.

V_{Ed} : 1.60 kN

El esfuerzo cortante resistente de cálculo $V_{c,Rd}$ viene dado por:

$$V_{c,Rd} = A_v \cdot \frac{f_{yd}}{\sqrt{3}}$$

$V_{c,Rd}$: 1118.61 kN

Donde:

A_v : Área transversal a cortante.

A_v : 76.77 cm²

$$A_v = A - d \cdot t_w$$

Siendo:

A: Área de la sección bruta.

A : 134.00 cm²

d: Altura del alma.

d : 515.60 mm

t_w: Espesor del alma.

t_w : 11.10 mm

f_{yd}: Resistencia de cálculo del acero.

f_{yd} : 252.38 MPa

$$f_{yd} = f_y / \gamma_{M0}$$

Siendo:

f_y: Límite elástico. (CTE DB SE-A, Tabla 4.1)

f_y : 265.00 MPa

γ_{M0}: Coeficiente parcial de seguridad del material.

γ_{M0} : 1.05

Resistencia a momento flector Y y fuerza cortante Z combinados (CTE DB SE-A, Artículo 6.2.8)

No es necesario reducir la resistencia de cálculo a flexión, ya que el esfuerzo cortante solicitante de cálculo pésimo **V_{Ed}** no es superior al 50% de la resistencia de cálculo a cortante **V_{c,Rd}**.

$$V_{Ed} \leq \frac{V_{c,Rd}}{2}$$

$$200.19 \text{ kN} \leq 524.02 \text{ kN}$$



Los esfuerzos solicitantes de cálculo pésimos se producen para la combinación de acciones 0.8·PP+1.5·V(270°)H2+0.75·N(R)1.

V_{Ed}: Esfuerzo cortante solicitante de cálculo pésimo.

V_{Ed} : 200.19 kN

V_{c,Rd}: Esfuerzo cortante resistente de cálculo.

V_{c,Rd} : 1048.04 kN

Resistencia a momento flector Z y fuerza cortante Y combinados (CTE DB SE-A, Artículo 6.2.8)

No es necesario reducir la resistencia de cálculo a flexión, ya que el esfuerzo cortante solicitante de cálculo pésimo **V_{Ed}** no es superior al 50% de la resistencia de cálculo a cortante **V_{c,Rd}**.

$$V_{Ed} \leq \frac{V_{c,Rd}}{2}$$

$$1.60 \text{ kN} \leq 559.30 \text{ kN}$$



Los esfuerzos solicitantes de cálculo pésimos se producen para la combinación de acciones 1.35·PP+1.5·V(270°)H1.

V_{Ed}: Esfuerzo cortante solicitante de cálculo pésimo.

V_{Ed} : 1.60 kN

V_{c,Rd}: Esfuerzo cortante resistente de cálculo.

V_{c,Rd} : 1118.61 kN

Resistencia a flexión y axil combinados (CTE DB SE-A, Artículo 6.2.8)

Se debe satisfacer:

$$\eta = \frac{N_{c,Ed}}{N_{pl,Rd}} + \frac{M_{y,Ed}}{M_{el,Rd,y}} + \frac{M_{z,Ed}}{M_{el,Rd,z}} \leq 1$$

$\eta : 0.274$ ✓

$$\eta = \frac{N_{c,Ed}}{\chi_y \cdot A \cdot f_{yd}} + k_y \cdot \frac{C_{m,y} \cdot M_{y,Ed}}{\chi_{LT} \cdot W_{el,y} \cdot f_{yd}} + \alpha_z \cdot k_z \cdot \frac{C_{m,z} \cdot M_{z,Ed}}{W_{el,z} \cdot f_{yd}} \leq 1$$

$\eta : 0.285$ ✓

$$\eta = \frac{N_{c,Ed}}{\chi_z \cdot A \cdot f_{yd}} + \alpha_y \cdot k_y \cdot \frac{C_{m,y} \cdot M_{y,Ed}}{W_{el,y} \cdot f_{yd}} + k_z \cdot \frac{C_{m,z} \cdot M_{z,Ed}}{W_{el,z} \cdot f_{yd}} \leq 1$$

$\eta : 0.503$ ✓

Los esfuerzos solicitantes de cálculo pésimos se producen en el nudo N861, para la combinación de acciones 1.35·PP+1.5·V(0°)H4+0.75·N(R)2.

Donde:

N_{c,Ed}: Axil de compresión solicitante de cálculo pésimo.

N_{c,Ed} : 598.96 kN

M_{y,Ed}, M_{z,Ed}: Momentos flectores solicitantes de cálculo pésimos, según los ejes Y y Z, respectivamente.

M_{y,Ed} : 41.53 kN·m

M_{z,Ed} : 1.88 kN·m

Clase: Clase de la sección, según la capacidad de deformación y de desarrollo de la resistencia plástica de sus elementos planos, para axil y flexión simple.

Clase : 3

N_{pl,Rd}: Resistencia a compresión de la sección bruta.

N_{pl,Rd} : 3381.90 kN

M_{el,Rd,y}, M_{el,Rd,z}: Resistencia a flexión de la sección bruta en condiciones elásticas, respecto a los ejes Y y Z, respectivamente.

M_{el,Rd,y} : 615.99 kN·m

M_{el,Rd,z} : 64.13 kN·m

Resistencia a pandeo: (CTE DB SE-A, Artículo 6.3.4.2)

A: Área de la sección bruta.

A : 134.00 cm²

W_{el,y}, W_{el,z}: Módulos resistentes elásticos correspondientes a la fibra comprimida, alrededor de los ejes Y y Z, respectivamente.

W_{el,y} : 2440.73 cm³

W_{el,z} : 254.10 cm³

f_{yd}: Resistencia de cálculo del acero.

f_{yd} : 252.38 MPa

$$f_{yd} = f_y / \gamma_{M1}$$

Siendo:

f_y: Límite elástico. (CTE DB SE-A, Tabla 4.1)

f_y : 265.00 MPa

γ_{M1}: Coeficiente parcial de seguridad del material.

γ_{M1} : 1.05

k_y, k_z: Coeficientes de interacción.

$$k_y = 1 + 0.6 \cdot \bar{\lambda}_y \cdot \frac{N_{c,Ed}}{\chi_y \cdot N_{c,Rd}}$$

k_y : 1.03

$$k_z = 1 + 0.6 \cdot \bar{\lambda}_z \cdot \frac{N_{c,Ed}}{\chi_z \cdot N_{c,Rd}}$$

k_z : 1.25

$C_{m,y}, C_{m,z}$: Factores de momento flector uniforme equivalente.	$C_{m,y}$: <u>1.00</u>
	$C_{m,z}$: <u>1.00</u>
χ_y, χ_z : Coeficientes de reducción por pandeo, alrededor de los ejes Y y Z, respectivamente.	χ_y : <u>0.99</u>
	χ_z : <u>0.43</u>
$\bar{\lambda}_y, \bar{\lambda}_z$: Esbelteces reducidas con valores no mayores que 1.00, en relación a los ejes Y y Z, respectivamente.	$\bar{\lambda}_y$: <u>0.26</u>
	$\bar{\lambda}_z$: <u>1.29</u>
α_y, α_z : Factores dependientes de la clase de la sección.	α_y : <u>0.80</u>
	α_z : <u>1.00</u>

Resistencia a flexión, axil y cortante combinados (CTE DB SE-A, Artículo 6.2.8)

No es necesario reducir las resistencias de cálculo a flexión y a axil, ya que se puede ignorar el efecto de abolladura por esfuerzo cortante y, además, el esfuerzo cortante solicitante de cálculo pésimo V_{Ed} es menor o igual que el 50% del esfuerzo cortante resistente de cálculo $V_{c,Rd}$.

Los esfuerzos solicitantes de cálculo pésimos se producen para la combinación de acciones $0.8 \cdot PP + 1.5 \cdot V(270^\circ)H2 + 0.75 \cdot N(R)1$.

$$V_{Ed,z} \leq \frac{V_{c,Rd,z}}{2}$$

$$200.19 \text{ kN} \leq 523.95 \text{ kN}$$



Donde:

$V_{Ed,z}$: Esfuerzo cortante solicitante de cálculo pésimo.

$V_{c,Rd,z}$: Esfuerzo cortante resistente de cálculo.

$$V_{Ed,z} : \frac{200.19}{\text{kN}}$$

$$V_{c,Rd,z} : \frac{1047.90}{\text{kN}}$$

Resistencia a torsión (CTE DB SE-A, Artículo 6.2.7)

Se debe satisfacer:

$$\eta = \frac{M_{T,Ed}}{M_{T,Rd}} \leq 1$$

$$\eta : \underline{0.001} \quad \checkmark$$

El esfuerzo solicitante de cálculo pésimo se produce para la combinación de acciones $0.8 \cdot PP + 1.5 \cdot V(90^\circ)H2$.

$M_{T,Ed}$: Momento torsor solicitante de cálculo pésimo.

$$M_{T,Ed} : \underline{0.01} \text{ kN} \cdot \text{m}$$

El momento torsor resistente de cálculo $M_{T,Rd}$ viene dado por:

$$M_{T,Rd} = \frac{1}{\sqrt{3}} \cdot W_T \cdot f_{yd}$$

$$M_{T,Rd} : \underline{10.42} \text{ kN} \cdot \text{m}$$

Donde:

W_T : Módulo de resistencia a torsión.

$$W_T : \underline{71.51} \text{ cm}^3$$

f_{yd} : Resistencia de cálculo del acero.

$$f_{yd} : \underline{252.38} \text{ MPa}$$

$$f_{yd} = f_y / \gamma_{M0}$$

Siendo:

f_y : Límite elástico. (CTE DB SE-A, Tabla 4.1)

f_y : 265.00 MPa

γ_{M0} : Coeficiente parcial de seguridad del material.

γ_{M0} : 1.05

Resistencia a cortante Z y momento torsor combinados (CTE DB SE-A, Artículo 6.2.8)

Se debe satisfacer:

$$\eta = \frac{V_{Ed}}{V_{pl,T,Rd}} \leq 1$$

η : 0.204 ✓

Los esfuerzos solicitantes de cálculo pésimos se producen en el nudo N882, para la combinación de acciones 1.35·PP+1.5·V(270°)H2.

V_{Ed} : Esfuerzo cortante solicitante de cálculo pésimo.

V_{Ed} : 213.72 kN

$M_{T,Ed}$: Momento torsor solicitante de cálculo pésimo.

$M_{T,Ed}$: 0.00 kN·m

El esfuerzo cortante resistente de cálculo reducido $V_{pl,T,Rd}$ viene dado por:

$$V_{pl,T,Rd} = \sqrt{1 - \frac{\tau_{T,Ed}}{1.25 \cdot f_{yd} / \sqrt{3}}} \cdot V_{pl,Rd}$$

$V_{pl,T,Rd}$: 1047.90 kN

Donde:

$V_{pl,Rd}$: Esfuerzo cortante resistente de cálculo.

$V_{pl,Rd}$: 1048.04 kN

$\tau_{T,Ed}$: Tensiones tangenciales por torsión.

$\tau_{T,Ed}$: 0.05 MPa

$$\tau_{T,Ed} = \frac{M_{T,Ed}}{W_t}$$

Siendo:

W_T : Módulo de resistencia a torsión.

W_T : 71.51 cm³

f_{yd} : Resistencia de cálculo del acero.

f_{yd} : 252.38 MPa

$$f_{yd} = f_y / \gamma_{M0}$$

Siendo:

f_y : Límite elástico. (CTE DB SE-A, Tabla 4.1)

f_y : 265.00 MPa

γ_{M0} : Coeficiente parcial de seguridad del material.

γ_{M0} : 1.05

Resistencia a cortante Y y momento torsor combinados (CTE DB SE-A, Artículo 6.2.8)

Se debe satisfacer:

$$\eta = \frac{V_{Ed}}{V_{pl,T,Rd}} \leq 1$$

η : 0.001 ✓

Los esfuerzos solicitantes de cálculo pésimos se producen para la combinación de acciones 1.35·PP+1.5·V(270°)H1.

V_{Ed} : Esfuerzo cortante solicitante de cálculo pésimo.

V_{Ed} : 1.60 kN

$M_{T,Ed}$: Momento torsor solicitante de cálculo pésimo.

$M_{T,Ed}$: 0.01 kN·m

El esfuerzo cortante resistente de cálculo reducido $V_{pl,T,Rd}$ viene dado por:

$$V_{pl,T,Rd} = \sqrt{1 - \frac{\tau_{T,Ed}}{1.25 \cdot f_{yd} / \sqrt{3}}} \cdot V_{pl,Rd}$$

$V_{pl,T,Rd}$: 1118.16 kN

Donde:

$V_{pl,Rd}$: Esfuerzo cortante resistente de cálculo.

$V_{pl,Rd}$: 1118.61 kN

$\tau_{T,Ed}$: Tensiones tangenciales por torsión.

$\tau_{T,Ed}$: 0.15 MPa

$$\tau_{T,Ed} = \frac{M_{T,Ed}}{W_t}$$

Siendo:

W_T : Módulo de resistencia a torsión.

W_T : 71.51 cm³

f_{yd} : Resistencia de cálculo del acero.

f_{yd} : 252.38 MPa

$$f_{yd} = f_y / \gamma_{M0}$$

Siendo:

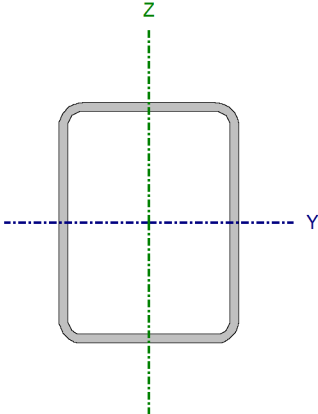
f_y : Límite elástico. (CTE DB SE-A, Tabla 4.1)

f_y : 265.00 MPa

γ_{M0} : Coeficiente parcial de seguridad del material.

γ_{M0} : 1.05

A1.2.3.3. Montante pilar.

Perfil: #200x150x8 Material: Acero (S275)							
	Nudos		Longitud (m)	Características mecánicas			
	Inicial	Final		Área (cm ²)	I _y ⁽¹⁾ (cm ⁴)	I _z ⁽¹⁾ (cm ⁴)	I _t ⁽²⁾ (cm ⁴)
	N789	N882	7.212	51.19	2818.09	1808.04	3660.25
	Notas:						
	⁽¹⁾ Inercia respecto al eje indicado						
	⁽²⁾ Momento de inercia a torsión uniforme						
		Pandeo		Pandeo lateral			
	Plano XY		Plano XZ	Ala sup.		Ala inf.	
β	0.75		0.75	0.00		0.00	
L _K	5.409		5.409	0.000		0.000	
C _m	1.000		1.000	1.000		1.000	
C ₁	-			1.000			
Notación:							
β: Coeficiente de pandeo							
L _K : Longitud de pandeo (m)							
C _m : Coeficiente de momentos							
C ₁ : Factor de modificación para el momento crítico							

Limitación de esbeltez (CTE DB SE-A, Artículos 6.3.1 y 6.3.2.1 - Tabla 6.3)

La esbeltez reducida $\bar{\lambda}$ de las barras comprimidas debe ser inferior al valor 2.0.

$$\bar{\lambda} = \sqrt{\frac{A \cdot f_y}{N_{cr}}}$$

$$\bar{\lambda} : \underline{1.05} \quad \checkmark$$

Donde:

Clase: Clase de la sección, según la capacidad de deformación y de desarrollo de la resistencia plástica de los elementos planos comprimidos de una sección.

$$\text{Clase} : \underline{1}$$

A: Área de la sección bruta para las secciones de clase 1, 2 y 3.

$$A : \underline{51.19} \text{ cm}^2$$

f_y: Límite elástico. (CTE DB SE-A, Tabla 4.1)

$$f_y : \underline{275.00} \text{ MPa}$$

N_{cr}: Axil crítico de pandeo elástico.

$$N_{cr} : \underline{1280.66} \text{ kN}$$

El axil crítico de pandeo elástico **N_{cr}** es el menor de los valores obtenidos en a), b) y c):

a) Axil crítico elástico de pandeo por flexión respecto al eje Y.

$$N_{cr,y} : \underline{1996.09} \text{ kN}$$

$$N_{cr,y} = \frac{\pi^2 \cdot E \cdot I_y}{L_{ky}^2}$$

b) Axil crítico elástico de pandeo por flexión respecto al eje Z.

$$N_{cr,z} : \underline{1280.66} \text{ kN}$$

$$N_{cr,z} = \frac{\pi^2 \cdot E \cdot I_z}{L_{kz}^2}$$

c) Axil crítico elástico de pandeo por torsión.

$$N_{cr,T} : \underline{\infty}$$

$$N_{cr,T} = \frac{1}{i_0^2} \cdot \left[G \cdot I_t + \frac{\pi^2 \cdot E \cdot I_w}{L_{kt}^2} \right]$$

Donde:

I_y: Momento de inercia de la sección bruta, respecto al eje Y.

$$I_y : \underline{2818.09} \text{ cm}^4$$

I_z: Momento de inercia de la sección bruta, respecto al eje Z.

$$I_z : \underline{1808.04} \text{ cm}^4$$

I_t: Momento de inercia a torsión uniforme.

$$I_t : \underline{3660.25} \text{ cm}^4$$

I_w: Constante de alabeo de la sección.

$$I_w : \underline{0.00} \text{ cm}^6$$

E: Módulo de elasticidad.

$$E : \underline{210000} \text{ MPa}$$

G: Módulo de elasticidad transversal.

$$G : \underline{81000} \text{ MPa}$$

L_{ky}: Longitud efectiva de pandeo por flexión, respecto al eje Y.

$$L_{ky} : \underline{5.409} \text{ m}$$

L_{kz}: Longitud efectiva de pandeo por flexión, respecto al eje Z.

$$L_{kz} : \underline{5.409} \text{ m}$$

L_{kt}: Longitud efectiva de pandeo por torsión.

$$L_{kt} : \underline{0.000} \text{ m}$$

i₀: Radio de giro polar de la sección bruta, respecto al centro de torsión.

$$i_0 : \underline{9.51} \text{ cm}$$

$$i_0 = \left(i_y^2 + i_z^2 + y_0^2 + z_0^2 \right)^{0.5}$$

Siendo:

i_y , i_z: Radios de giro de la sección bruta, respecto a los ejes principales de inercia Y y Z.

$$i_y : \underline{7.42} \text{ cm}$$

$$i_z : \underline{5.94} \text{ cm}$$

y₀ , z₀: Coordenadas del centro de torsión en la dirección de los ejes principales Y y Z, respectivamente, relativas al centro de gravedad de la sección.

y₀ : 0.00 mm

z₀ : 0.00 mm

Abolladura del alma inducida por el ala comprimida (Criterio de CYPE Ingenieros, basado en: Eurocódigo 3 EN 1993-1-5: 2006, Artículo 8)

Se debe satisfacer:

$$\frac{h_w}{t_w} \leq k \frac{E}{f_{yf}} \sqrt{\frac{A_w}{A_{fc,ef}}}$$

23.00 ≤ 358.83 ✓

Donde:

h_w: Altura del alma.

h_w : 184.00 mm

t_w: Espesor del alma.

t_w : 8.00 mm

A_w: Área del alma.

A_w : 29.44 cm²

A_{fc,ef}: Área reducida del ala comprimida.

A_{fc,ef} : 12.00 cm²

k: Coeficiente que depende de la clase de la sección.

k : 0.30

E: Módulo de elasticidad.

E : 210000 MPa

f_{yf}: Límite elástico del acero del ala comprimida.

f_{yf} : 275.00 MPa

Siendo:

$$f_{yf} = f_y$$

Resistencia a tracción (CTE DB SE-A, Artículo 6.2.3)

Se debe satisfacer:

$$\eta = \frac{N_{t,Ed}}{N_{t,Rd}} \leq 1$$

η : 0.277 ✓

El esfuerzo solicitante de cálculo pésimo se produce en el nudo N882, para la combinación de acciones 0.8·PP+1.5·V(270°)H1.

N_{t,Ed}: Axil de tracción solicitante de cálculo pésimo.

N_{t,Ed} : 370.91 kN

La resistencia de cálculo a tracción **N_{t,Rd}** viene dada por:

$$N_{t,Rd} = A \cdot f_{yd}$$

N_{t,Rd} : 1340.71 kN

Donde:

A: Área bruta de la sección transversal de la barra.

A : 51.19 cm²

f_{yd}: Resistencia de cálculo del acero.

f_{yd} : 261.90 MPa

$$f_{yd} = f_y / \gamma_{M0}$$

Siendo:

f_y: Límite elástico. (CTE DB SE-A, Tabla 4.1)

f_y : 275.00 MPa

γ_{M0}: Coeficiente parcial de seguridad del material.

γ_{M0} : 1.05

Resistencia a compresión (CTE DB SE-A, Artículo 6.2.5)

Se debe satisfacer:

$$\eta = \frac{N_{c,Ed}}{N_{c,Rd}} \leq 1$$

$$\eta : \underline{0.272} \quad \checkmark$$

$$\eta = \frac{N_{c,Ed}}{N_{b,Rd}} \leq 1$$

$$\eta : \underline{0.531} \quad \checkmark$$

El esfuerzo solicitante de cálculo pésimo se produce en el nudo N789, para la combinación de acciones 1.35·PP+1.5·V(90°)H2+0.75·N(EI).

N_{c,Ed}: Axil de compresión solicitante de cálculo pésimo.

$$\mathbf{N_{c,Ed}} : \underline{365.04} \text{ kN}$$

La resistencia de cálculo a compresión **N_{c,Rd}** viene dada por:

$$\mathbf{N_{c,Rd}} = A \cdot f_{yd}$$

$$\mathbf{N_{c,Rd}} : \underline{1340.71} \text{ kN}$$

Donde:

Clase: Clase de la sección, según la capacidad de deformación y de desarrollo de la resistencia plástica de los elementos planos comprimidos de una sección.

$$\mathbf{Clase} : \underline{1}$$

A: Área de la sección bruta para las secciones de clase 1, 2 y 3.

$$\mathbf{A} : \underline{51.19} \text{ cm}^2$$

f_{yd}: Resistencia de cálculo del acero.

$$\mathbf{f_{yd}} : \underline{261.90} \text{ MPa}$$

$$f_{yd} = f_y / \gamma_{M0}$$

Siendo:

f_y: Límite elástico. (CTE DB SE-A, Tabla 4.1)

$$\mathbf{f_y} : \underline{275.00} \text{ MPa}$$

γ_{M0}: Coeficiente parcial de seguridad del material.

$$\mathbf{\gamma_{M0}} : \underline{1.05}$$

Resistencia a pandeo (CTE DB SE-A, Artículo 6.3.2)

La resistencia de cálculo a pandeo **N_{b,Rd}** en una barra comprimida viene dada por:

$$\mathbf{N_{b,Rd}} = \chi \cdot A \cdot f_{yd}$$

$$\mathbf{N_{b,Rd}} : \underline{686.92} \text{ kN}$$

Donde:

A: Área de la sección bruta para las secciones de clase 1, 2 y 3.

$$\mathbf{A} : \underline{51.19} \text{ cm}^2$$

f_{yd}: Resistencia de cálculo del acero.

$$\mathbf{f_{yd}} : \underline{261.90} \text{ MPa}$$

$$f_{yd} = f_y / \gamma_{M1}$$

Siendo:

f_y: Límite elástico. (CTE DB SE-A, Tabla 4.1)

$$\mathbf{f_y} : \underline{275.00} \text{ MPa}$$

γ_{M1}: Coeficiente parcial de seguridad del material.

$$\mathbf{\gamma_{M1}} : \underline{1.05}$$

χ : Coeficiente de reducción por pandeo.

$$\chi = \frac{1}{\Phi + \sqrt{\Phi^2 - (\bar{\lambda})^2}} \leq 1$$

$$\chi_y : 0.64$$

$$\chi_z : 0.51$$

Siendo:

$$\Phi = 0.5 \cdot \left[1 + \alpha \cdot (\bar{\lambda} - 0.2) + (\bar{\lambda})^2 \right]$$

$$\phi_y : 1.01$$

$$\phi_z : 1.26$$

α : Coeficiente de imperfección elástica.

$$\alpha_y : 0.49$$

$$\alpha_z : 0.49$$

$\bar{\lambda}$: Esbeltez reducida.

$$\bar{\lambda} = \sqrt{\frac{A \cdot f_y}{N_{cr}}}$$

$$\bar{\lambda}_y : 0.84$$

$$\bar{\lambda}_z : 1.05$$

N_{cr} : Axil crítico elástico de pandeo, obtenido como el menor de los siguientes valores:

$$N_{cr} : 1280.66 \text{ kN}$$

$N_{cr,y}$: Axil crítico elástico de pandeo por flexión respecto al eje Y.

$$N_{cr,y} : 1996.09 \text{ kN}$$

$N_{cr,z}$: Axil crítico elástico de pandeo por flexión respecto al eje Z.

$$N_{cr,z} : 1280.66 \text{ kN}$$

$N_{cr,T}$: Axil crítico elástico de pandeo por torsión.

$$N_{cr,T} : \infty$$

Resistencia a flexión eje Y (CTE DB SE-A, Artículo 6.2.6)

Se debe satisfacer:

$$\eta = \frac{M_{Ed}}{M_{c,Rd}} \leq 1$$

$$\eta : 0.032 \checkmark$$

Para flexión positiva:

El esfuerzo solicitante de cálculo pésimo se produce en el nudo N789, para la combinación de acciones 0.8·PP+1.5·V(270°)H1.

M_{Ed}^+ : Momento flector solicitante de cálculo pésimo.

$$M_{Ed}^+ : 0.13 \text{ kN·m}$$

Para flexión negativa:

El esfuerzo solicitante de cálculo pésimo se produce en el nudo N789, para la combinación de acciones 1.35·PP+1.5·V(90°)H2+0.75·N(EI).

M_{Ed}^- : Momento flector solicitante de cálculo pésimo.

$$M_{Ed}^- : 2.84 \text{ kN·m}$$

El momento flector resistente de cálculo $M_{c,Rd}$ viene dado por:

$$M_{c,Rd} = W_{pl,y} \cdot f_{yd}$$

$$M_{c,Rd} : 89.92 \text{ kN·m}$$

Donde:

Clase: Clase de la sección, según la capacidad de deformación y de desarrollo de la resistencia plástica de los elementos planos de una sección a flexión simple.

$$\text{Clase} : 1$$

$W_{pl,y}$: Módulo resistente plástico correspondiente a la fibra con mayor tensión, para las secciones de clase 1 y 2.

$$W_{pl,y} : 343.32 \text{ cm}^3$$

f_{yd} : Resistencia de cálculo del acero.

f_{yd} : 261.90 MPa

$$f_{yd} = f_y / \gamma_{M0}$$

Siendo:

f_y : Límite elástico. (CTE DB SE-A, Tabla 4.1)

f_y : 275.00 MPa

γ_{M0} : Coeficiente parcial de seguridad del material.

γ_{M0} : 1.05

Resistencia a pandeo lateral: (CTE DB SE-A, Artículo 6.3.3.2)

No procede, dado que las longitudes de pandeo lateral son nulas.

Resistencia a flexión eje Z (CTE DB SE-A, Artículo 6.2.6)

Se debe satisfacer:

$$\eta = \frac{M_{Ed}}{M_{c,Rd}} \leq 1$$

η : 0.172 ✓

Para flexión positiva:

El esfuerzo solicitante de cálculo pésimo se produce en el nudo N882, para la combinación de acciones 1.35·PP+1.5·V(270°)H2+0.75·N(EI).

M_{Ed}^+ : Momento flector solicitante de cálculo pésimo.

M_{Ed}^+ : 11.03 kN·m

Para flexión negativa:

El esfuerzo solicitante de cálculo pésimo se produce en el nudo N882, para la combinación de acciones 0.8·PP+1.5·V(0°)H1.

M_{Ed}^- : Momento flector solicitante de cálculo pésimo.

M_{Ed}^- : 12.72 kN·m

El momento flector resistente de cálculo $M_{c,Rd}$ viene dado por:

$$M_{c,Rd} = W_{pl,z} \cdot f_{yd}$$

$M_{c,Rd}$: 73.89 kN·m

Donde:

Clase: Clase de la sección, según la capacidad de deformación y de desarrollo de la resistencia plástica de los elementos planos de una sección a flexión simple.

Clase : 1

$W_{pl,z}$: Módulo resistente plástico correspondiente a la fibra con mayor tensión, para las secciones de clase 1 y 2.

$W_{pl,z}$: 282.14 cm³

f_{yd} : Resistencia de cálculo del acero.

f_{yd} : 261.90 MPa

$$f_{yd} = f_y / \gamma_{M0}$$

Siendo:

f_y : Límite elástico. (CTE DB SE-A, Tabla 4.1)

f_y : 275.00 MPa

γ_{M0} : Coeficiente parcial de seguridad del material.

γ_{M0} : 1.05

Resistencia a corte Z (CTE DB SE-A, Artículo 6.2.4)

Se debe satisfacer:

$$\eta = \frac{V_{Ed}}{V_{c,Rd}} \leq 1$$

η : 0.005 ✓

El esfuerzo solicitante de cálculo pésimo se produce en el nudo N882, para la combinación de acciones 1.35·PP+1.5·V(270°)H2.

V_{Ed}: Esfuerzo cortante solicitante de cálculo pésimo.

V_{Ed} : 2.34 kN

El esfuerzo cortante resistente de cálculo **V_{c,Rd}** viene dado por:

$$V_{c,Rd} = A_v \cdot \frac{f_{yd}}{\sqrt{3}}$$

V_{c,Rd} : 445.16 kN

Donde:

A_v: Área transversal a cortante.

A_v : 29.44 cm²

$$A_v = 2 \cdot d \cdot t_w$$

Siendo:

d: Altura del alma.

d : 184.00 mm

t_w: Espesor del alma.

t_w : 8.00 mm

f_{yd}: Resistencia de cálculo del acero.

f_{yd} : 261.90 MPa

$$f_{yd} = f_y / \gamma_{M0}$$

Siendo:

f_y: Límite elástico. (CTE DB SE-A, Tabla 4.1)

f_y : 275.00 MPa

γ_{M0}: Coeficiente parcial de seguridad del material.

γ_{M0} : 1.05

Abolladura por cortante del alma: (CTE DB SE-A, Artículo 6.3.3.4)

Aunque no se han dispuesto rigidizadores transversales, no es necesario comprobar la resistencia a la abolladura del alma, puesto que se cumple:

$$\frac{d}{t_w} < 70 \cdot \varepsilon$$

23.00 < 64.71



Donde:

λ_w: Esbeltez del alma.

λ_w : 23.00

$$\lambda_w = \frac{d}{t_w}$$

λ_{máx}: Esbeltez máxima.

λ_{máx} : 64.71

ε: Factor de reducción.

ε : 0.92

$$\varepsilon = \sqrt{\frac{f_{ref}}{f_y}}$$

Siendo:

f_{ref}: Límite elástico de referencia.

f_{ref} : 235.00 MPa

f_y: Límite elástico. (CTE DB SE-A, Tabla 4.1)

f_y : 275.00 MPa

Resistencia a corte Y (CTE DB SE-A, Artículo 6.2.4)

Se debe satisfacer:

$$\eta = \frac{V_{Ed}}{V_{c,Rd}} \leq 1$$

η : 0.038 ✓

El esfuerzo solicitante de cálculo pésimo se produce en el nudo N882, para la combinación de acciones 0.8·PP+1.5·V(0°)H1.

V_{Ed} : Esfuerzo cortante solicitante de cálculo pésimo.

V_{Ed} : 12.41 kN

El esfuerzo cortante resistente de cálculo $V_{c,Rd}$ viene dado por:

$$V_{c,Rd} = A_v \cdot \frac{f_{yd}}{\sqrt{3}}$$

$V_{c,Rd}$: 328.90 kN

Donde:

A_v : Área transversal a cortante.

A_v : 21.75 cm²

$$A_v = A - 2 \cdot d \cdot t_w$$

Siendo:

A : Área de la sección bruta.

A : 51.19 cm²

d : Altura del alma.

d : 184.00 mm

t_w : Espesor del alma.

t_w : 8.00 mm

f_{yd} : Resistencia de cálculo del acero.

f_{yd} : 261.90 MPa

$$f_{yd} = f_y / \gamma_{M0}$$

Siendo:

f_y : Límite elástico. (CTE DB SE-A, Tabla 4.1)

f_y : 275.00 MPa

γ_{M0} : Coeficiente parcial de seguridad del material.

γ_{M0} : 1.05

Abolladura por cortante del alma: (CTE DB SE-A, Artículo 6.3.3.4)

Aunque no se han dispuesto rigidizadores transversales, no es necesario comprobar la resistencia a la abolladura del alma, puesto que se cumple:

$$\frac{b}{t_f} < 70 \cdot \varepsilon$$

18.75 < 64.71 ✓

Donde:

λ_w : Esbeltez del alma.

λ_w : 18.75

$$\lambda_w = \frac{b}{t_f}$$

$\lambda_{m\acute{a}x}$: Esbeltez máxima.

$\lambda_{m\acute{a}x}$: 64.71

ε : Factor de reducción.

ε : 0.92

$$\varepsilon = \sqrt{\frac{f_{ref}}{f_y}}$$

Siendo:

f_{ref} : Límite elástico de referencia.

f_{ref} : 235.00 MPa

f_y : Límite elástico. (CTE DB SE-A, Tabla 4.1)

f_y : 275.00 MPa

Resistencia a momento flector Y y fuerza cortante Z combinados (CTE DB SE-A, Artículo 6.2.8)

No es necesario reducir la resistencia de cálculo a flexión, ya que el esfuerzo cortante solicitante de cálculo pésimo V_{Ed} no es superior al 50% de la resistencia de cálculo a cortante $V_{c,Rd}$.

$$V_{Ed} \leq \frac{V_{c,Rd}}{2}$$

$$2.30 \text{ kN} \leq 222.58 \text{ kN}$$



Los esfuerzos solicitantes de cálculo pésimos se producen para la combinación de acciones $1.35 \cdot PP + 1.5 \cdot V(90^\circ)H1 + 0.75 \cdot N(R)1$.

V_{Ed} : Esfuerzo cortante solicitante de cálculo pésimo.

V_{Ed} : 2.30 kN

$V_{c,Rd}$: Esfuerzo cortante resistente de cálculo.

$V_{c,Rd}$: 445.16 kN

Resistencia a momento flector Z y fuerza cortante Y combinados (CTE DB SE-A, Artículo 6.2.8)

No es necesario reducir la resistencia de cálculo a flexión, ya que el esfuerzo cortante solicitante de cálculo pésimo V_{Ed} no es superior al 50% de la resistencia de cálculo a cortante $V_{c,Rd}$.

$$V_{Ed} \leq \frac{V_{c,Rd}}{2}$$

$$11.44 \text{ kN} \leq 164.45 \text{ kN}$$



Los esfuerzos solicitantes de cálculo pésimos se producen para la combinación de acciones $1.35 \cdot PP + 1.5 \cdot V(0^\circ)H3 + 0.75 \cdot N(EI)$.

V_{Ed} : Esfuerzo cortante solicitante de cálculo pésimo.

V_{Ed} : 11.44 kN

$V_{c,Rd}$: Esfuerzo cortante resistente de cálculo.

$V_{c,Rd}$: 328.90 kN

Resistencia a flexión y axil combinados (CTE DB SE-A, Artículo 6.2.8)

Se debe satisfacer:

$$\eta = \frac{N_{c,Ed}}{N_{pl,Rd}} + \frac{M_{y,Ed}}{M_{pl,Rd,y}} + \frac{M_{z,Ed}}{M_{pl,Rd,z}} \leq 1$$

$$\eta : 0.318$$



$$\eta : 0.472$$



$$\eta = \frac{N_{c,Ed}}{\chi_y \cdot A \cdot f_{yd}} + k_y \cdot \frac{C_{m,y} \cdot M_{y,Ed}}{\chi_{LT} \cdot W_{pl,y} \cdot f_{yd}} + \alpha_z \cdot k_z \cdot \frac{C_{m,z} \cdot M_{z,Ed}}{W_{pl,z} \cdot f_{yd}} \leq 1$$

$$\eta = \frac{N_{c,Ed}}{\chi_z \cdot A \cdot f_{yd}} + \alpha_y \cdot k_y \cdot \frac{C_{m,y} \cdot M_{y,Ed}}{W_{pl,y} \cdot f_{yd}} + k_z \cdot \frac{C_{m,z} \cdot M_{z,Ed}}{W_{pl,z} \cdot f_{yd}} \leq 1$$

$$\eta : \underline{0.584} \quad \checkmark$$

Los esfuerzos solicitantes de cálculo pésimos se producen en un punto situado a una distancia de 3.606 m del nudo N789, para la combinación de acciones 1.35·PP+1.5·V(90°)H2+0.75·N(EI).

Donde:

N_{c,Ed}: Axil de compresión solicitante de cálculo pésimo.

$$N_{c,Ed} : \underline{362.97} \text{ kN}$$

M_{y,Ed}, M_{z,Ed}: Momentos flectores solicitantes de cálculo pésimos, según los ejes Y y Z, respectivamente.

$$M_{y,Ed}^+ : \underline{1.57} \text{ kN}\cdot\text{m}$$

$$M_{z,Ed}^- : \underline{2.19} \text{ kN}\cdot\text{m}$$

Clase: Clase de la sección, según la capacidad de deformación y de desarrollo de la resistencia plástica de sus elementos planos, para axil y flexión simple.

$$Clase : \underline{1}$$

N_{pl,Rd}: Resistencia a compresión de la sección bruta.

$$N_{pl,Rd} : \underline{1340.71} \text{ kN}$$

M_{pl,Rd,y}, M_{pl,Rd,z}: Resistencia a flexión de la sección bruta en condiciones plásticas, respecto a los ejes Y y Z, respectivamente.

$$M_{pl,Rd,y} : \underline{89.92} \text{ kN}\cdot\text{m}$$

$$M_{pl,Rd,z} : \underline{73.89} \text{ kN}\cdot\text{m}$$

Resistencia a pandeo: (CTE DB SE-A, Artículo 6.3.4.2)

A: Área de la sección bruta.

$$A : \underline{51.19} \text{ cm}^2$$

W_{pl,y}, W_{pl,z}: Módulos resistentes plásticos correspondientes a la fibra comprimida, alrededor de los ejes Y y Z, respectivamente.

$$W_{pl,y} : \underline{343.32} \text{ cm}^3$$

$$W_{pl,z} : \underline{282.14} \text{ cm}^3$$

f_{yd}: Resistencia de cálculo del acero.

$$f_{yd} : \underline{261.90} \text{ MPa}$$

$$f_{yd} = f_y / \gamma_{M1}$$

Siendo:

f_y: Límite elástico. (CTE DB SE-A, Tabla 4.1)

$$f_y : \underline{275.00} \text{ MPa}$$

γ_{M1}: Coeficiente parcial de seguridad del material.

$$\gamma_{M1} : \underline{1.05}$$

k_y, k_z: Coeficientes de interacción.

$$k_y = 1 + (\bar{\lambda}_y - 0.2) \cdot \frac{N_{c,Ed}}{\chi_y \cdot N_{c,Rd}}$$

$$k_y : \underline{1.27}$$

$$k_z = 1 + (\bar{\lambda}_z - 0.2) \cdot \frac{N_{c,Ed}}{\chi_z \cdot N_{c,Rd}}$$

$$k_z : \underline{1.42}$$

C_{m,y}, C_{m,z}: Factores de momento flector uniforme equivalente.

$$C_{m,y} : \underline{1.00}$$

$$C_{m,z} : \underline{1.00}$$

χ_y, χ_z: Coeficientes de reducción por pandeo, alrededor de los ejes Y y Z, respectivamente.

$$\chi_y : \underline{0.64}$$

$$\chi_z : \underline{0.51}$$

$$\bar{\lambda}_y : \underline{0.84}$$

$\bar{\lambda}_y, \bar{\lambda}_z$: Esbelteces reducidas con valores no mayores que 1.00, en relación a los ejes Y y Z, respectivamente.
 α_y, α_z : Factores dependientes de la clase de la sección.

$$\begin{array}{l} \bar{\lambda}_z : 1.05 \\ \alpha_y : 0.60 \\ \alpha_z : 0.60 \end{array}$$

Resistencia a flexión, axil y cortante combinados (CTE DB SE-A, Artículo 6.2.8)

No es necesario reducir las resistencias de cálculo a flexión y a axil, ya que se puede ignorar el efecto de abolladura por esfuerzo cortante y, además, el esfuerzo cortante solicitante de cálculo pésimo V_{Ed} es menor o igual que el 50% del esfuerzo cortante resistente de cálculo $V_{c,Rd}$.

Los esfuerzos solicitantes de cálculo pésimos se producen para la combinación de acciones $1.35 \cdot PP + 1.5 \cdot V(0^\circ)H1 + 0.75 \cdot N(R)1$.

$$V_{Ed,y} \leq \frac{V_{c,Rd,y}}{2}$$

$$11.43 \text{ kN} \leq 160.09 \text{ kN}$$



Donde:

$V_{Ed,y}$: Esfuerzo cortante solicitante de cálculo pésimo.
 $V_{c,Rd,y}$: Esfuerzo cortante resistente de cálculo.

$$\begin{array}{l} V_{Ed,y} : 11.43 \text{ kN} \\ V_{c,Rd,y} : 320.17 \text{ kN} \end{array}$$

Resistencia a torsión (CTE DB SE-A, Artículo 6.2.7)

Se debe satisfacer:

$$\eta = \frac{M_{T,Ed}}{M_{T,Rd}} \leq 1$$

$$\eta : 0.027$$



El esfuerzo solicitante de cálculo pésimo se produce para la combinación de acciones $1.35 \cdot PP + 1.5 \cdot V(0^\circ)H1$.

$M_{T,Ed}$: Momento torsor solicitante de cálculo pésimo.

$$M_{T,Ed} : 1.75 \text{ kN} \cdot \text{m}$$

El momento torsor resistente de cálculo $M_{T,Rd}$ viene dado por:

$$M_{T,Rd} = \frac{1}{\sqrt{3}} \cdot W_T \cdot f_{yd}$$

$$M_{T,Rd} : 65.96 \text{ kN} \cdot \text{m}$$

Donde:

W_T : Módulo de resistencia a torsión.
 f_{yd} : Resistencia de cálculo del acero.

$$\begin{array}{l} W_T : 436.22 \text{ cm}^3 \\ f_{yd} : 261.90 \text{ MPa} \end{array}$$

$$f_{yd} = f_y / \gamma_{M0}$$

Siendo:

f_y : Límite elástico. (CTE DB SE-A, Tabla 4.1)
 γ_{M0} : Coeficiente parcial de seguridad del material.

$$\begin{array}{l} f_y : 275.00 \text{ MPa} \\ \gamma_{M0} : 1.05 \end{array}$$

Resistencia a cortante Z y momento torsor combinados (CTE DB SE-A, Artículo 6.2.8)

Se debe satisfacer:

$$\eta = \frac{V_{Ed}}{V_{pl,T,Rd}} \leq 1$$

$\eta : \underline{0.005}$ ✓

Los esfuerzos solicitantes de cálculo p^{és}imos se producen en el nudo N882, para la combinaci3n de acciones 1.35·PP+1.5·V(270°)H2.

V_{Ed}: Esfuerzo cortante solicitante de c^{ál}culo p^{és}imo.

V_{Ed} : 2.34 kN

M_{T,Ed}: Momento torsor solicitante de c^{ál}culo p^{és}imo.

M_{T,Ed} : 1.37 kN·m

El esfuerzo cortante resistente de c^{ál}culo reducido **V_{pl,T,Rd}** viene dado por:

$$V_{pl,T,Rd} = \left[1 - \frac{\tau_{T,Ed}}{f_{yd}/\sqrt{3}} \right] \cdot V_{pl,Rd}$$

V_{pl,T,Rd} : 435.92 kN

Donde:

V_{pl,Rd}: Esfuerzo cortante resistente de c^{ál}culo.

V_{pl,Rd} : 445.16 kN

τ_{T,Ed}: Tensiones tangenciales por torsi3n.

τ_{T,Ed} : 3.14 MPa

$$\tau_{T,Ed} = \frac{M_{T,Ed}}{W_t}$$

Siendo:

W_T: M3dulo de resistencia a torsi3n.

W_T : 436.22 cm³

f_{yd}: Resistencia de c^{ál}culo del acero.

f_{yd} : 261.90 MPa

$$f_{yd} = f_y / \gamma_{M0}$$

Siendo:

f_y: L^ímite el^{ás}tico. (CTE DB SE-A, Tabla 4.1)

f_y : 275.00 MPa

γ_{M0}: Coeficiente parcial de seguridad del material.

γ_{M0} : 1.05

Resistencia a cortante Y y momento torsor combinados (CTE DB SE-A, Art^ículo 6.2.8)

Se debe satisfacer:

$$\eta = \frac{V_{Ed}}{V_{pl,T,Rd}} \leq 1$$

$\eta : \underline{0.039}$ ✓

Los esfuerzos solicitantes de c^{ál}culo p^{és}imos se producen en el nudo N882, para la combinaci3n de acciones 0.8·PP+1.5·V(0°)H1.

V_{Ed}: Esfuerzo cortante solicitante de c^{ál}culo p^{és}imo.

V_{Ed} : 12.41 kN

M_{T,Ed}: Momento torsor solicitante de c^{ál}culo p^{és}imo.

M_{T,Ed} : 1.74 kN·m

El esfuerzo cortante resistente de c^{ál}culo reducido **V_{pl,T,Rd}** viene dado por:

$$V_{pl,T,Rd} = \left[1 - \frac{\tau_{T,Ed}}{f_{yd}/\sqrt{3}} \right] \cdot V_{pl,Rd}$$

V_{pl,T,Rd} : 320.22 kN

Donde:

$V_{pl,Rd}$: Esfuerzo cortante resistente de cálculo.

$V_{pl,Rd}$: 328.90 kN

$\tau_{T,Ed}$: Tensiones tangenciales por torsión.

$\tau_{T,Ed}$: 3.99 MPa

$$\tau_{T,Ed} = \frac{M_{T,Ed}}{W_t}$$

Siendo:

W_T : Módulo de resistencia a torsión.

W_T : 436.22 cm³

f_{yd} : Resistencia de cálculo del acero.

f_{yd} : 261.90 MPa

$$f_{yd} = f_y / \gamma_{M0}$$

Siendo:

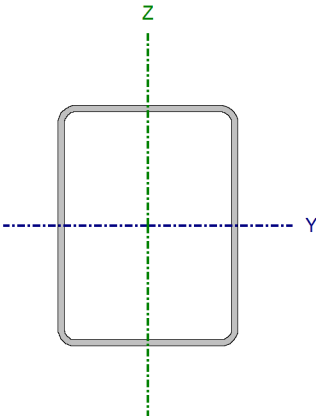
f_y : Límite elástico. (CTE DB SE-A, Tabla 4.1)

f_y : 275.00 MPa

γ_{M0} : Coeficiente parcial de seguridad del material.

γ_{M0} : 1.05

A1.2.3.4. Jácena superior.

Perfil: #200x150x6								
Material: Acero (S275)								
		Nudos		Longitud (m)	Características mecánicas			
		Inicial	Final		Área (cm²)	I _y ⁽¹⁾ (cm⁴)	I _z ⁽¹⁾ (cm⁴)	I _t ⁽²⁾ (cm⁴)
		N802	N792	5.722	39.29	2231.73	1435.98	2835.86
		Notas:						
		⁽¹⁾ Inercia respecto al eje indicado ⁽²⁾ Momento de inercia a torsión uniforme						
		Pandeo		Pandeo lateral				
		Plano XY	Plano XZ	Ala sup.	Ala inf.			
β		0.00	1.35	0.00	0.00			
L _K		0.000	7.720	0.000	0.000			
C _m		1.000	1.000	1.000	1.000			
C ₁		-		1.000				
Notación:								
β: Coeficiente de pandeo								
L _K : Longitud de pandeo (m)								
C _m : Coeficiente de momentos								
C ₁ : Factor de modificación para el momento crítico								

Limitación de esbeltez (CTE DB SE-A, Artículos 6.3.1 y 6.3.2.1 - Tabla 6.3)

La esbeltez reducida $\bar{\lambda}$ de las barras comprimidas debe ser inferior al valor 2.0.

$$\bar{\lambda} = \sqrt{\frac{A \cdot f_y}{N_{cr}}}$$

$\bar{\lambda}$: 1.18 ✓

Donde:

Clase: Clase de la sección, según la capacidad de deformación y de desarrollo de la resistencia plástica de los elementos planos comprimidos de una sección.

Clase : 2

A: Área de la sección bruta para las secciones de clase 1, 2 y 3.

A : 39.29 cm²

f_y : Límite elástico. (CTE DB SE-A, Tabla 4.1)

f_y : 275.00 MPa

N_{cr} : Axil crítico de pandeo elástico.

N_{cr} : 776.11 kN

El axil crítico de pandeo elástico N_{cr} es el menor de los valores obtenidos en a), b) y c):

a) Axil crítico elástico de pandeo por flexión respecto al eje Y.

$$N_{cr,Y} : \underline{776.11} \text{ kN}$$

$$N_{cr,Y} = \frac{\pi^2 \cdot E \cdot I_y}{L_{ky}^2}$$

b) Axil crítico elástico de pandeo por flexión respecto al eje Z.

$$N_{cr,Z} : \underline{\infty}$$

$$N_{cr,Z} = \frac{\pi^2 \cdot E \cdot I_z}{L_{kz}^2}$$

c) Axil crítico elástico de pandeo por torsión.

$$N_{cr,T} : \underline{\infty}$$

$$N_{cr,T} = \frac{1}{i_0^2} \cdot \left[G \cdot I_t + \frac{\pi^2 \cdot E \cdot I_w}{L_{kt}^2} \right]$$

Donde:

I_y : Momento de inercia de la sección bruta, respecto al eje Y.

$$I_y : \underline{2231.73} \text{ cm}^4$$

I_z : Momento de inercia de la sección bruta, respecto al eje Z.

$$I_z : \underline{1435.98} \text{ cm}^4$$

I_t : Momento de inercia a torsión uniforme.

$$I_t : \underline{2835.86} \text{ cm}^4$$

I_w : Constante de alabeo de la sección.

$$I_w : \underline{0.00} \text{ cm}^6$$

E : Módulo de elasticidad.

$$E : \underline{210000} \text{ MPa}$$

G : Módulo de elasticidad transversal.

$$G : \underline{81000} \text{ MPa}$$

L_{ky} : Longitud efectiva de pandeo por flexión, respecto al eje Y.

$$L_{ky} : \underline{7.720} \text{ m}$$

L_{kz} : Longitud efectiva de pandeo por flexión, respecto al eje Z.

$$L_{kz} : \underline{0.000} \text{ m}$$

L_{kt} : Longitud efectiva de pandeo por torsión.

$$L_{kt} : \underline{0.000} \text{ m}$$

i_0 : Radio de giro polar de la sección bruta, respecto al centro de torsión.

$$i_0 : \underline{9.66} \text{ cm}$$

$$i_0 = \left(i_y^2 + i_z^2 + y_0^2 + z_0^2 \right)^{0.5}$$

Siendo:

i_y, i_z : Radios de giro de la sección bruta, respecto a los ejes principales de inercia Y y Z.

$$i_y : \underline{7.54} \text{ cm}$$

$$i_z : \underline{6.05} \text{ cm}$$

y_0, z_0 : Coordenadas del centro de torsión en la dirección de los ejes principales Y y Z, respectivamente, relativas al centro de gravedad de la sección.

$$y_0 : \underline{0.00} \text{ mm}$$

$$z_0 : \underline{0.00} \text{ mm}$$

Abolladura del alma inducida por el ala comprimida (Criterio de CYPE Ingenieros, basado en: Eurocódigo 3 EN 1993-1-5: 2006, Artículo 8)

Se debe satisfacer:

$$\frac{h_w}{t_w} \leq k \frac{E}{f_{yf}} \sqrt{\frac{A_w}{A_{fc,ef}}}$$

$$31.33 \leq 362.71 \checkmark$$

Donde:

h_w : Altura del alma.

t_w : Espesor del alma.

A_w : Área del alma.

$A_{fc,ef}$: Área reducida del ala comprimida.

k : Coeficiente que depende de la clase de la sección.

E : Módulo de elasticidad.

f_{yf} : Límite elástico del acero del ala comprimida.

Siendo:

$$f_{yf} = f_y$$

$$h_w : \underline{188.00} \text{ mm}$$

$$t_w : \underline{6.00} \text{ mm}$$

$$A_w : \underline{22.56} \text{ cm}^2$$

$$A_{fc,ef} : \underline{9.00} \text{ cm}^2$$

$$k : \underline{0.30}$$

$$E : \underline{210000} \text{ MPa}$$

$$f_{yf} : \underline{275.00} \text{ MPa}$$

Resistencia a tracción (CTE DB SE-A, Artículo 6.2.3)

Se debe satisfacer:

$$\eta = \frac{N_{t,Ed}}{N_{t,Rd}} \leq 1$$

$$\eta : \underline{0.143} \checkmark$$

El esfuerzo solicitante de cálculo pésimo se produce en el nudo N792, para la combinación de acciones 1.35·PP+1.5·V(90°)H2+0.75·N(EI).

$N_{t,Ed}$: Axil de tracción solicitante de cálculo pésimo.

$$N_{t,Ed} : \underline{147.18} \text{ kN}$$

La resistencia de cálculo a tracción $N_{t,Rd}$ viene dada por:

$$N_{t,Rd} = A \cdot f_{yd}$$

$$N_{t,Rd} : \underline{1029.15} \text{ kN}$$

Donde:

A : Área bruta de la sección transversal de la barra.

$$A : \underline{39.29} \text{ cm}^2$$

f_{yd} : Resistencia de cálculo del acero.

$$f_{yd} : \underline{261.90} \text{ MPa}$$

$$f_{yd} = f_y / \gamma_{M0}$$

Siendo:

f_y : Límite elástico. (CTE DB SE-A, Tabla 4.1)

$$f_y : \underline{275.00} \text{ MPa}$$

γ_{M0} : Coeficiente parcial de seguridad del material.

$$\gamma_{M0} : \underline{1.05}$$

Resistencia a compresión (CTE DB SE-A, Artículo 6.2.5)

Se debe satisfacer:

$$\eta = \frac{N_{c,Ed}}{N_{c,Rd}} \leq 1$$

$$\eta : \underline{0.144} \checkmark$$

$$\eta = \frac{N_{c,Ed}}{N_{b,Rd}} \leq 1$$

$$\eta : \underline{0.325} \checkmark$$

El esfuerzo solicitante de cálculo pésimo se produce en el nudo N802, para la combinación de acciones 0.8·PP+1.5·V(270°)H1.

N_{c,Ed}: Axil de compresión solicitante de cálculo pésimo.

N_{c,Ed} : 148.20 kN

La resistencia de cálculo a compresión **N_{c,Rd}** viene dada por:

$$N_{c,Rd} = A \cdot f_{yd}$$

N_{c,Rd} : 1029.15 kN

Donde:

Clase: Clase de la sección, según la capacidad de deformación y de desarrollo de la resistencia plástica de los elementos planos comprimidos de una sección.

Clase : 2

A: Área de la sección bruta para las secciones de clase 1, 2 y 3.

A : 39.29 cm²

f_{yd}: Resistencia de cálculo del acero.

f_{yd} : 261.90 MPa

$$f_{yd} = f_y / \gamma_{M0}$$

Siendo:

f_y: Límite elástico. (CTE DB SE-A, Tabla 4.1)

f_y : 275.00 MPa

γ_{M0}: Coeficiente parcial de seguridad del material.

γ_{M0} : 1.05

Resistencia a pandeo: (CTE DB SE-A, Artículo 6.3.2)

La resistencia de cálculo a pandeo **N_{b,Rd}** en una barra comprimida viene dada por:

$$N_{b,Rd} = \chi \cdot A \cdot f_{yd}$$

N_{b,Rd} : 456.37 kN

Donde:

A: Área de la sección bruta para las secciones de clase 1, 2 y 3.

A : 39.29 cm²

f_{yd}: Resistencia de cálculo del acero.

f_{yd} : 261.90 MPa

$$f_{yd} = f_y / \gamma_{M1}$$

Siendo:

f_y: Límite elástico. (CTE DB SE-A, Tabla 4.1)

f_y : 275.00 MPa

γ_{M1}: Coeficiente parcial de seguridad del material.

γ_{M1} : 1.05

χ: Coeficiente de reducción por pandeo.

$$\chi = \frac{1}{\Phi + \sqrt{\Phi^2 - (\bar{\lambda})^2}} \leq 1$$

χ_y : 0.44

Siendo:

$$\Phi = 0.5 \cdot \left[1 + \alpha \cdot (\bar{\lambda} - 0.2) + (\bar{\lambda})^2 \right]$$

φ_y : 1.44

α: Coeficiente de imperfección elástica.

α_y : 0.49

λ̄: Esbeltez reducida.

$$\bar{\lambda} = \sqrt{\frac{A \cdot f_y}{N_{cr}}}$$

$$\bar{\lambda}_y : 1.18$$

N_{cr}: Axil crítico elástico de pandeo, obtenido como el menor de los siguientes valores:

$$N_{cr} : 776.11 \text{ kN}$$

N_{cr,y}: Axil crítico elástico de pandeo por flexión respecto al eje Y.

$$N_{cr,y} : 776.11 \text{ kN}$$

N_{cr,z}: Axil crítico elástico de pandeo por flexión respecto al eje Z.

$$N_{cr,z} : \infty$$

N_{cr,T}: Axil crítico elástico de pandeo por torsión.

$$N_{cr,T} : \infty$$

Resistencia a flexión eje Y (CTE DB SE-A, Artículo 6.2.6)

Se debe satisfacer:

$$\eta = \frac{M_{Ed}}{M_{c,Rd}} \leq 1$$

$$\eta : 0.312 \checkmark$$

Para flexión positiva:

El esfuerzo solicitante de cálculo pésimo se produce en el nudo N802, para la combinación de acciones 0.8·PP+1.5·V(270°)H1.

M_{Ed}⁺: Momento flector solicitante de cálculo pésimo.

$$M_{Ed}^+ : 21.92 \text{ kN}\cdot\text{m}$$

Para flexión negativa:

El esfuerzo solicitante de cálculo pésimo se produce en el nudo N802, para la combinación de acciones 1.35·PP+1.5·V(0°)H4+0.75·N(EI).

M_{Ed}⁻: Momento flector solicitante de cálculo pésimo.

$$M_{Ed}^- : 9.28 \text{ kN}\cdot\text{m}$$

El momento flector resistente de cálculo **M_{c,Rd}** viene dado por:

$$M_{c,Rd} = W_{pl,y} \cdot f_{yd}$$

$$M_{c,Rd} : 70.18 \text{ kN}\cdot\text{m}$$

Donde:

Clase: Clase de la sección, según la capacidad de deformación y de desarrollo de la resistencia plástica de los elementos planos de una sección a flexión simple.

$$\text{Clase} : 1$$

W_{pl,y}: Módulo resistente plástico correspondiente a la fibra con mayor tensión, para las secciones de clase 1 y 2.

$$W_{pl,y} : 267.98 \text{ cm}^3$$

f_{yd}: Resistencia de cálculo del acero.

$$f_{yd} : 261.90 \text{ MPa}$$

$$f_{yd} = f_y / \gamma_{M0}$$

Siendo:

f_y: Límite elástico. (CTE DB SE-A, Tabla 4.1)

$$f_y : 275.00 \text{ MPa}$$

γ_{M0}: Coeficiente parcial de seguridad del material.

$$\gamma_{M0} : 1.05$$

Resistencia a pandeo lateral: (CTE DB SE-A, Artículo 6.3.3.2)

No procede, dado que las longitudes de pandeo lateral son nulas.

Resistencia a flexión eje Z (CTE DB SE-A, Artículo 6.2.6)

Se debe satisfacer:

$$\eta = \frac{M_{Ed}}{M_{c,Rd}} \leq 1$$

$\eta : \underline{0.061}$ ✓

Para flexión positiva:

El esfuerzo solicitante de cálculo pésimo se produce en el nudo N792, para la combinación de acciones $1.35 \cdot PP + 1.5 \cdot V(270^\circ)H2 + 0.75 \cdot N(EI)$.

M_{Ed}^+ : Momento flector solicitante de cálculo pésimo.

$M_{Ed}^+ : \underline{3.54} \text{ kN}\cdot\text{m}$

Para flexión negativa:

El esfuerzo solicitante de cálculo pésimo se produce en el nudo N792, para la combinación de acciones $0.8 \cdot PP + 1.5 \cdot V(0^\circ)H1$.

M_{Ed}^- : Momento flector solicitante de cálculo pésimo.

$M_{Ed}^- : \underline{3.19} \text{ kN}\cdot\text{m}$

El momento flector resistente de cálculo $M_{c,Rd}$ viene dado por:

$$M_{c,Rd} = W_{pl,z} \cdot f_{yd}$$

$M_{c,Rd} : \underline{57.73} \text{ kN}\cdot\text{m}$

Donde:

Clase: Clase de la sección, según la capacidad de deformación y de desarrollo de la resistencia plástica de los elementos planos de una sección a flexión simple.

Clase : 2

$W_{pl,z}$: Módulo resistente plástico correspondiente a la fibra con mayor tensión, para las secciones de clase 1 y 2.

$W_{pl,z} : \underline{220.44} \text{ cm}^3$

f_{yd} : Resistencia de cálculo del acero.

$f_{yd} : \underline{261.90} \text{ MPa}$

$$f_{yd} = f_y / \gamma_{M0}$$

Siendo:

f_y : Límite elástico. (CTE DB SE-A, Tabla 4.1)

$f_y : \underline{275.00} \text{ MPa}$

γ_{M0} : Coeficiente parcial de seguridad del material.

$\gamma_{M0} : \underline{1.05}$

Resistencia a corte Z (CTE DB SE-A, Artículo 6.2.4)

Se debe satisfacer:

$$\eta = \frac{V_{Ed}}{V_{c,Rd}} \leq 1$$

$\eta : \underline{0.061}$ ✓

El esfuerzo solicitante de cálculo pésimo se produce en el nudo N802, para la combinación de acciones $0.8 \cdot PP + 1.5 \cdot V(270^\circ)H1$.

V_{Ed} : Esfuerzo cortante solicitante de cálculo pésimo.

$V_{Ed} : \underline{20.79} \text{ kN}$

El esfuerzo cortante resistente de cálculo $V_{c,Rd}$ viene dado por:

$$V_{c,Rd} = A_v \cdot \frac{f_{yd}}{\sqrt{3}}$$

$V_{c,Rd} : \underline{341.13} \text{ kN}$

Donde:

A_v : Área transversal a cortante.

$A_v : \underline{22.56} \text{ cm}^2$

$$A_v = 2 \cdot d \cdot t_w$$

Siendo:

d: Altura del alma.

d : 188.00 mm

t_w: Espesor del alma.

t_w : 6.00 mm

f_{yd}: Resistencia de cálculo del acero.

f_{yd} : 261.90 MPa

$$f_{yd} = f_y / \gamma_{M0}$$

Siendo:

f_y: Límite elástico. (CTE DB SE-A, Tabla 4.1)

f_y : 275.00 MPa

γ_{M0}: Coeficiente parcial de seguridad del material.

γ_{M0} : 1.05

Abolladura por cortante del alma: (CTE DB SE-A, Artículo 6.3.3.4)

Aunque no se han dispuesto rigidizadores transversales, no es necesario comprobar la resistencia a la abolladura del alma, puesto que se cumple:

$$\frac{d}{t_w} < 70 \cdot \varepsilon$$

31.33 < 64.71



Donde:

λ_w: Esbeltez del alma.

λ_w : 31.33

$$\lambda_w = \frac{d}{t_w}$$

λ_{máx}: Esbeltez máxima.

λ_{máx} : 64.71

ε: Factor de reducción.

ε : 0.92

$$\varepsilon = \sqrt{\frac{f_{ref}}{f_y}}$$

Siendo:

f_{ref}: Límite elástico de referencia.

f_{ref} : 235.00 MPa

f_y: Límite elástico. (CTE DB SE-A, Tabla 4.1)

f_y : 275.00 MPa

Resistencia a corte Y (CTE DB SE-A, Artículo 6.2.4)

Se debe satisfacer:

$$\eta = \frac{V_{Ed}}{V_{c,Rd}} \leq 1$$

η : 0.006 ✓

El esfuerzo solicitante de cálculo pésimo se produce en el nudo N792, para la combinación de acciones 1.35·PP+1.5·V(270°)H2+0.75·N(EI).

V_{Ed}: Esfuerzo cortante solicitante de cálculo pésimo.

V_{Ed} : 1.57 kN

El esfuerzo cortante resistente de cálculo **V_{c,Rd}** viene dado por:

V_{c,Rd} : 253.05 kN

$$V_{c,Rd} = A_v \cdot \frac{f_{yd}}{\sqrt{3}}$$

Donde:

A_v: Área transversal a cortante.

A_v: 16.73 cm²

$$A_v = A - 2 \cdot d \cdot t_w$$

Siendo:

A: Área de la sección bruta.

A: 39.29 cm²

d: Altura del alma.

d: 188.00 mm

t_w: Espesor del alma.

t_w: 6.00 mm

f_{yd}: Resistencia de cálculo del acero.

f_{yd}: 261.90 MPa

$$f_{yd} = f_y / \gamma_{M0}$$

Siendo:

f_y: Límite elástico. (CTE DB SE-A, Tabla 4.1)

f_y: 275.00 MPa

γ_{M0}: Coeficiente parcial de seguridad del material.

γ_{M0}: 1.05

Abolladura por cortante del alma: (CTE DB SE-A, Artículo 6.3.3.4)

Aunque no se han dispuesto rigidizadores transversales, no es necesario comprobar la resistencia a la abolladura del alma, puesto que se cumple:

$$\frac{b}{t_f} < 70 \cdot \varepsilon$$

$$25.00 < 64.71$$



Donde:

λ_w: Esbeltez del alma.

λ_w: 25.00

$$\lambda_w = \frac{b}{t_f}$$

λ_{máx}: Esbeltez máxima.

λ_{máx}: 64.71

ε: Factor de reducción.

ε: 0.92

$$\varepsilon = \sqrt{\frac{f_{ref}}{f_y}}$$

Siendo:

f_{ref}: Límite elástico de referencia.

f_{ref}: 235.00 MPa

f_y: Límite elástico. (CTE DB SE-A, Tabla 4.1)

f_y: 275.00 MPa

Resistencia a momento flector Y y fuerza cortante Z combinados (CTE DB SE-A, Artículo 6.2.8)

No es necesario reducir la resistencia de cálculo a flexión, ya que el esfuerzo cortante solicitante de cálculo pésimo **V_{Ed}** no es superior al 50% de la resistencia de cálculo a cortante **V_{c,Rd}**.

$$V_{Ed} \leq \frac{V_{c,Rd}}{2}$$

$$20.79 \text{ kN} \leq 170.57 \text{ kN}$$



Los esfuerzos solicitantes de cálculo p^{ésimos} se producen para la combinación de acciones 0.8·PP+1.5·V(270°)H1.

V_{Ed} : Esfuerzo cortante solicitante de cálculo p^{ésimo}.

$$V_{Ed} : 20.79 \text{ kN}$$

$V_{c,Rd}$: Esfuerzo cortante resistente de cálculo.

$$V_{c,Rd} : 341.13 \text{ kN}$$

Resistencia a momento flector Z y fuerza cortante Y combinados (CTE DB SE-A, Artículo 6.2.8)

No es necesario reducir la resistencia de cálculo a flexión, ya que el esfuerzo cortante solicitante de cálculo p^{ésimo} V_{Ed} no es superior al 50% de la resistencia de cálculo a cortante $V_{c,Rd}$.

$$V_{Ed} \leq \frac{V_{c,Rd}}{2}$$

$$0.18 \text{ kN} \leq 126.52 \text{ kN}$$



Los esfuerzos solicitantes de cálculo p^{ésimos} se producen para la combinación de acciones 1.35·PP+1.5·V(0°)H4+0.75·N(EI).

V_{Ed} : Esfuerzo cortante solicitante de cálculo p^{ésimo}.

$$V_{Ed} : 0.18 \text{ kN}$$

$V_{c,Rd}$: Esfuerzo cortante resistente de cálculo.

$$V_{c,Rd} : 253.05 \text{ kN}$$

Resistencia a flexión y axil combinados (CTE DB SE-A, Artículo 6.2.8)

Se debe satisfacer:

$$\eta = \frac{N_{c,Ed}}{N_{pl,Rd}} + \frac{M_{y,Ed}}{M_{pl,Rd,y}} + \frac{M_{z,Ed}}{M_{pl,Rd,z}} \leq 1$$

$$\eta : 0.463$$



$$\eta = \frac{N_{c,Ed}}{\chi_y \cdot A \cdot f_{yd}} + k_y \cdot \frac{c_{m,y} \cdot M_{y,Ed}}{\chi_{LT} \cdot W_{pl,y} \cdot f_{yd}} + \alpha_z \cdot k_z \cdot \frac{c_{m,z} \cdot M_{z,Ed}}{W_{pl,z} \cdot f_{yd}} \leq 1$$

$$\eta : 0.722$$



$$\eta = \frac{N_{c,Ed}}{\chi_z \cdot A \cdot f_{yd}} + \alpha_y \cdot k_y \cdot \frac{c_{m,y} \cdot M_{y,Ed}}{W_{pl,y} \cdot f_{yd}} + k_z \cdot \frac{c_{m,z} \cdot M_{z,Ed}}{W_{pl,z} \cdot f_{yd}} \leq 1$$

$$\eta : 0.387$$



Los esfuerzos solicitantes de cálculo p^{ésimos} se producen en el nudo N802, para la combinación de acciones 0.8·PP+1.5·V(270°)H1.

Donde:

$N_{c,Ed}$: Axil de compresión solicitante de cálculo p^{ésimo}.

$$N_{c,Ed} : 148.20 \text{ kN}$$

$$M_{y,Ed}^+ : 21.92 \text{ kN}\cdot\text{m}$$

$M_{y,Ed}$, $M_{z,Ed}$: Momentos flectores solicitantes de cálculo p \acute{e} simos, seg \acute{u} n los ejes Y y Z, respectivamente.

$$M_{z,Ed} : \frac{0.41}{1} \text{ kN}\cdot\text{m}$$

Clase: Clase de la secci \acute{o} n, seg \acute{u} n la capacidad de deformaci \acute{o} n y de desarrollo de la resistencia pl \acute{a} stica de sus elementos planos, para axil y flexi \acute{o} n simple.

$$\text{Clase} : \frac{1}{1}$$

$N_{pl,Rd}$: Resistencia a compresi \acute{o} n de la secci \acute{o} n bruta.

$$N_{pl,Rd} : \frac{1029.15}{1} \text{ kN}$$

$M_{pl,Rd,y}$, $M_{pl,Rd,z}$: Resistencia a flexi \acute{o} n de la secci \acute{o} n bruta en condiciones pl \acute{a} sticas, respecto a los ejes Y y Z, respectivamente.

$$M_{pl,Rd,y} : \frac{70.18}{1} \text{ kN}\cdot\text{m}$$

$$M_{pl,Rd,z} : \frac{57.73}{1} \text{ kN}\cdot\text{m}$$

Resistencia a pandeo: (CTE DB SE-A, Art \acute{u} culo 6.3.4.2)

A: \acute{A} rea de la secci \acute{o} n bruta.

$$A : \frac{39.29}{1} \text{ cm}^2$$

$W_{pl,y}$, $W_{pl,z}$: M \acute{o} dulos resistentes pl \acute{a} sticos correspondientes a la fibra comprimida, alrededor de los ejes Y y Z, respectivamente.

$$W_{pl,y} : \frac{267.98}{1} \text{ cm}^3$$

$$W_{pl,z} : \frac{220.44}{1} \text{ cm}^3$$

f_{yd} : Resistencia de c \acute{a} lculo del acero.

$$f_{yd} : \frac{261.90}{1} \text{ MPa}$$

$$f_{yd} = f_y / \gamma_{M1}$$

Siendo:

f_y : L \acute{i} mite el \acute{a} stico. (CTE DB SE-A, Tabla 4.1)

$$f_y : \frac{275.00}{1} \text{ MPa}$$

γ_{M1} : Coeficiente parcial de seguridad del material.

$$\gamma_{M1} : \frac{1.05}{1}$$

k_y , k_z : Coeficientes de interacci \acute{o} n.

$$k_y = 1 + (\bar{\lambda}_y - 0.2) \cdot \frac{N_{c,Ed}}{\chi_y \cdot N_{c,Rd}}$$

$$k_y : \frac{1.26}{1}$$

$$k_z = 1 + (\bar{\lambda}_z - 0.2) \cdot \frac{N_{c,Ed}}{\chi_z \cdot N_{c,Rd}}$$

$$k_z : \frac{1.00}{1}$$

$C_{m,y}$, $C_{m,z}$: Factores de momento flector uniforme equivalente.

$$C_{m,y} : \frac{1.00}{1}$$

$$C_{m,z} : \frac{1.00}{1}$$

χ_y , χ_z : Coeficientes de reducci \acute{o} n por pandeo, alrededor de los ejes Y y Z, respectivamente.

$$\chi_y : \frac{0.44}{1}$$

$$\chi_z : \frac{1.00}{1}$$

$\bar{\lambda}_y$, $\bar{\lambda}_z$: Esbelteces reducidas con valores no mayores que 1.00, en relaci \acute{o} n a los ejes Y y Z, respectivamente.

$$\bar{\lambda}_y : \frac{1.18}{1}$$

$$\bar{\lambda}_z : \frac{0.00}{1}$$

α_y , α_z : Factores dependientes de la clase de la secci \acute{o} n.

$$\alpha_y : \frac{0.60}{1}$$

$$\alpha_z : \frac{0.60}{1}$$

Resistencia a flexi \acute{o} n, axil y cortante combinados (CTE DB SE-A, Art \acute{u} culo 6.2.8)

No es necesario reducir las resistencias de c \acute{a} lculo a flexi \acute{o} n y a axil, ya que se puede ignorar el efecto de abolladura por esfuerzo cortante y, adem \acute{a} s, el esfuerzo cortante solicitante de c \acute{a} lculo p \acute{e} simo V_{Ed} es menor o igual que el 50% del esfuerzo cortante resistente de c \acute{a} lculo $V_{c,Rd}$.

Los esfuerzos solicitantes de c \acute{a} lculo p \acute{e} simos se producen para la combinaci \acute{o} n de acciones 0.8·PP+1.5·V(270°)H1.

$$V_{Ed,z} \leq \frac{V_{c,Rd,z}}{2}$$

$$20.79 \text{ kN} \leq 169.44 \text{ kN}$$



Donde:

$V_{Ed,z}$: Esfuerzo cortante solicitante de cálculo pésimo.

$$V_{Ed,z} : 20.79 \text{ kN}$$

$V_{c,Rd,z}$: Esfuerzo cortante resistente de cálculo.

$$V_{c,Rd,z} : 338.89 \text{ kN}$$

Resistencia a torsión (CTE DB SE-A, Artículo 6.2.7)

Se debe satisfacer:

$$\eta = \frac{M_{T,Ed}}{M_{T,Rd}} \leq 1$$

$$\eta : 0.017$$



El esfuerzo solicitante de cálculo pésimo se produce para la combinación de acciones $1.35 \cdot PP + 1.5 \cdot V(0^\circ)H3 + 0.75 \cdot N(EI)$.

$M_{T,Ed}$: Momento torsor solicitante de cálculo pésimo.

$$M_{T,Ed} : 0.86 \text{ kN}\cdot\text{m}$$

El momento torsor resistente de cálculo $M_{T,Rd}$ viene dado por:

$$M_{T,Rd} = \frac{1}{\sqrt{3}} \cdot W_T \cdot f_{yd}$$

$$M_{T,Rd} : 50.69 \text{ kN}\cdot\text{m}$$

Donde:

W_T : Módulo de resistencia a torsión.

$$W_T : 335.23 \text{ cm}^3$$

f_{yd} : Resistencia de cálculo del acero.

$$f_{yd} : 261.90 \text{ MPa}$$

$$f_{yd} = f_y / \gamma_{M0}$$

Siendo:

f_y : Límite elástico. (CTE DB SE-A, Tabla 4.1)

$$f_y : 275.00 \text{ MPa}$$

γ_{M0} : Coeficiente parcial de seguridad del material.

$$\gamma_{M0} : 1.05$$

Resistencia a cortante Z y momento torsor combinados (CTE DB SE-A, Artículo 6.2.8)

Se debe satisfacer:

$$\eta = \frac{V_{Ed}}{V_{pl,T,Rd}} \leq 1$$

$$\eta : 0.061$$



Los esfuerzos solicitantes de cálculo pésimos se producen en el nudo N802, para la combinación de acciones $0.8 \cdot PP + 1.5 \cdot V(270^\circ)H1$.

V_{Ed} : Esfuerzo cortante solicitante de cálculo pésimo.

$$V_{Ed} : 20.79 \text{ kN}$$

$M_{T,Ed}$: Momento torsor solicitante de cálculo pésimo.

$$M_{T,Ed} : 0.33 \text{ kN}\cdot\text{m}$$

El esfuerzo cortante resistente de cálculo reducido $V_{pl,T,Rd}$ viene dado por:

$$V_{pl,T,Rd} : 338.89 \text{ kN}$$

$$V_{pl,T,Rd} = \left[1 - \frac{\tau_{T,Ed}}{f_{yd}/\sqrt{3}} \right] \cdot V_{pl,Rd}$$

Donde:

$V_{pl,Rd}$: Esfuerzo cortante resistente de cálculo.

$V_{pl,Rd}$: 341.13 kN

$\tau_{T,Ed}$: Tensiones tangenciales por torsión.

$\tau_{T,Ed}$: 0.99 MPa

$$\tau_{T,Ed} = \frac{M_{T,Ed}}{W_t}$$

Siendo:

W_T : Módulo de resistencia a torsión.

W_T : 335.23 cm³

f_{yd} : Resistencia de cálculo del acero.

f_{yd} : 261.90 MPa

$$f_{yd} = f_y/\gamma_{M0}$$

Siendo:

f_y : Límite elástico. (CTE DB SE-A, Tabla 4.1)

f_y : 275.00 MPa

γ_{M0} : Coeficiente parcial de seguridad del material.

γ_{M0} : 1.05

Resistencia a cortante Y y momento torsor combinados (CTE DB SE-A, Artículo 6.2.8)

Se debe satisfacer:

$$\eta = \frac{V_{Ed}}{V_{pl,T,Rd}} \leq 1$$

η : 0.006 ✓

Los esfuerzos solicitantes de cálculo pésimos se producen en el nudo N792, para la combinación de acciones 1.35·PP+1.5·V(270°)H2+0.75·N(EI).

V_{Ed} : Esfuerzo cortante solicitante de cálculo pésimo.

V_{Ed} : 1.57 kN

$M_{T,Ed}$: Momento torsor solicitante de cálculo pésimo.

$M_{T,Ed}$: 0.45 kN·m

El esfuerzo cortante resistente de cálculo reducido $V_{pl,T,Rd}$ viene dado por:

$$V_{pl,T,Rd} = \left[1 - \frac{\tau_{T,Ed}}{f_{yd}/\sqrt{3}} \right] \cdot V_{pl,Rd}$$

$V_{pl,T,Rd}$: 250.80 kN

Donde:

$V_{pl,Rd}$: Esfuerzo cortante resistente de cálculo.

$V_{pl,Rd}$: 253.05 kN

$\tau_{T,Ed}$: Tensiones tangenciales por torsión.

$\tau_{T,Ed}$: 1.35 MPa

$$\tau_{T,Ed} = \frac{M_{T,Ed}}{W_t}$$

Siendo:

W_T : Módulo de resistencia a torsión.

W_T : 335.23 cm³

f_{yd} : Resistencia de cálculo del acero.

f_{yd} : 261.90 MPa

$$f_{yd} = f_y/\gamma_{M0}$$

Siendo:

$$N_{cr,z} = \frac{\pi^2 \cdot E \cdot I_z}{L_{kz}^2}$$

c) Axil crítico elástico de pandeo por torsión.

$$N_{cr,T} : \infty$$

$$N_{cr,T} = \frac{1}{i_0^2} \cdot \left[G \cdot I_t + \frac{\pi^2 \cdot E \cdot I_w}{L_{kt}^2} \right]$$

Donde:

I_y: Momento de inercia de la sección bruta, respecto al eje Y.

$$I_y : 2818.09 \text{ cm}^4$$

I_z: Momento de inercia de la sección bruta, respecto al eje Z.

$$I_z : 1808.04 \text{ cm}^4$$

I_t: Momento de inercia a torsión uniforme.

$$I_t : 3660.25 \text{ cm}^4$$

I_w: Constante de alabeo de la sección.

$$I_w : 0.00 \text{ cm}^6$$

E: Módulo de elasticidad.

$$E : 210000 \text{ MPa}$$

G: Módulo de elasticidad transversal.

$$G : 81000 \text{ MPa}$$

L_{ky}: Longitud efectiva de pandeo por flexión, respecto al eje Y.

$$L_{ky} : 5.780 \text{ m}$$

L_{kz}: Longitud efectiva de pandeo por flexión, respecto al eje Z.

$$L_{kz} : 0.000 \text{ m}$$

L_{kt}: Longitud efectiva de pandeo por torsión.

$$L_{kt} : 0.000 \text{ m}$$

i₀: Radio de giro polar de la sección bruta, respecto al centro de torsión.

$$i_0 : 9.51 \text{ cm}$$

$$i_0 = \left(i_y^2 + i_z^2 + y_0^2 + z_0^2 \right)^{0.5}$$

Siendo:

i_y , i_z: Radios de giro de la sección bruta, respecto a los ejes principales de inercia Y y Z.

$$i_y : 7.42 \text{ cm}$$

$$i_z : 5.94 \text{ cm}$$

y₀ , z₀: Coordenadas del centro de torsión en la dirección de los ejes principales Y y Z, respectivamente, relativas al centro de gravedad de la sección.

$$y_0 : 0.00 \text{ mm}$$

$$z_0 : 0.00 \text{ mm}$$

Abolladura del alma inducida por el ala comprimida (Criterio de CYPE Ingenieros, basado en: Eurocódigo 3 EN 1993-1-5: 2006, Artículo 8)

Se debe satisfacer:

$$\frac{h_w}{t_w} \leq k \frac{E}{f_{yf}} \sqrt{\frac{A_w}{A_{fc,ef}}}$$

$$23.00 \leq 358.83 \checkmark$$

Donde:

h_w: Altura del alma.

$$h_w : 184.00 \text{ mm}$$

t_w: Espesor del alma.

$$t_w : 8.00 \text{ mm}$$

A_w: Área del alma.

$$A_w : 29.44 \text{ cm}^2$$

A_{fc,ef}: Área reducida del ala comprimida.

$$A_{fc,ef} : 12.00 \text{ cm}^2$$

k: Coeficiente que depende de la clase de la sección.

$$k : 0.30$$

E: Módulo de elasticidad.

$$E : 210000 \text{ MPa}$$

f_{yf}: Límite elástico del acero del ala comprimida.

$$f_{yf} : 275.00 \text{ MPa}$$

Siendo:

$$f_{yf} = f_y$$

Resistencia a tracción (CTE DB SE-A, Artículo 6.2.3)

Se debe satisfacer:

$$\eta = \frac{N_{t,Ed}}{N_{t,Rd}} \leq 1$$

$$\eta : \underline{0.392} \quad \checkmark$$

El esfuerzo solicitante de cálculo pésimo se produce en el nudo N791, para la combinación de acciones 0.8·PP+1.5·V(270°)H1.

N_{t,Ed}: Axil de tracción solicitante de cálculo pésimo.

$$\mathbf{N_{t,Ed}} : \underline{525.15} \text{ kN}$$

La resistencia de cálculo a tracción **N_{t,Rd}** viene dada por:

$$\mathbf{N_{t,Rd}} = A \cdot f_{yd}$$

$$\mathbf{N_{t,Rd}} : \underline{1340.71} \text{ kN}$$

Donde:

A: Área bruta de la sección transversal de la barra.

$$\mathbf{A} : \underline{51.19} \text{ cm}^2$$

f_{yd}: Resistencia de cálculo del acero.

$$\mathbf{f_{yd}} : \underline{261.90} \text{ MPa}$$

$$f_{yd} = f_y / \gamma_{M0}$$

Siendo:

f_y: Límite elástico. (CTE DB SE-A, Tabla 4.1)

$$\mathbf{f_y} : \underline{275.00} \text{ MPa}$$

γ_{M0}: Coeficiente parcial de seguridad del material.

$$\mathbf{\gamma_{M0}} : \underline{1.05}$$

Resistencia a compresión (CTE DB SE-A, Artículo 6.2.5)

Se debe satisfacer:

$$\eta = \frac{N_{c,Ed}}{N_{c,Rd}} \leq 1$$

$$\eta : \underline{0.402} \quad \checkmark$$

$$\eta = \frac{N_{c,Ed}}{N_{b,Rd}} \leq 1$$

$$\eta : \underline{0.669} \quad \checkmark$$

El esfuerzo solicitante de cálculo pésimo se produce en el nudo N801, para la combinación de acciones 1.35·PP+0.9·V(180°)H4+1.5·N(EI).

N_{c,Ed}: Axil de compresión solicitante de cálculo pésimo.

$$\mathbf{N_{c,Ed}} : \underline{539.37} \text{ kN}$$

La resistencia de cálculo a compresión **N_{c,Rd}** viene dada por:

$$\mathbf{N_{c,Rd}} : \underline{1340.71} \text{ kN}$$

$$N_{c,Rd} = A \cdot f_{yd}$$

Donde:

Clase: Clase de la sección, según la capacidad de deformación y de desarrollo de la resistencia plástica de los elementos planos comprimidos de una sección.

Clase : 1

A: Área de la sección bruta para las secciones de clase 1, 2 y 3.

A : 51.19 cm²

f_{yd}: Resistencia de cálculo del acero.

f_{yd} : 261.90 MPa

$$f_{yd} = f_y / \gamma_{M0}$$

Siendo:

f_y: Límite elástico. (CTE DB SE-A, Tabla 4.1)

f_y : 275.00 MPa

γ_{M0}: Coeficiente parcial de seguridad del material.

γ_{M0} : 1.05

Resistencia a pandeo: (CTE DB SE-A, Artículo 6.3.2)

La resistencia de cálculo a pandeo **N_{b,Rd}** en una barra comprimida viene dada por:

$$N_{b,Rd} = \chi \cdot A \cdot f_{yd}$$

N_{b,Rd} : 806.40 kN

Donde:

A: Área de la sección bruta para las secciones de clase 1, 2 y 3.

A : 51.19 cm²

f_{yd}: Resistencia de cálculo del acero.

f_{yd} : 261.90 MPa

$$f_{yd} = f_y / \gamma_{M1}$$

Siendo:

f_y: Límite elástico. (CTE DB SE-A, Tabla 4.1)

f_y : 275.00 MPa

γ_{M1}: Coeficiente parcial de seguridad del material.

γ_{M1} : 1.05

χ: Coeficiente de reducción por pandeo.

$$\chi = \frac{1}{\Phi + \sqrt{\Phi^2 - (\bar{\lambda})^2}} \leq 1$$

χ_y : 0.60

Siendo:

$$\Phi = 0.5 \cdot \left[1 + \alpha \cdot (\bar{\lambda} - 0.2) + (\bar{\lambda})^2 \right]$$

Φ_y : 1.07

α: Coeficiente de imperfección elástica.

α_y : 0.49

λ̄: Esbeltez reducida.

$$\bar{\lambda} = \sqrt{\frac{A \cdot f_y}{N_{cr}}}$$

λ̄_y : 0.90

N_{cr}: Axil crítico elástico de pandeo, obtenido como el menor de los siguientes valores:

N_{cr} : 1748.31 kN

N_{cr,y}: Axil crítico elástico de pandeo por flexión respecto al eje Y.

N_{cr,y} : 1748.31 kN

$N_{cr,z}$: Axil crítico elástico de pandeo por flexión respecto al eje Z.
 $N_{cr,T}$: Axil crítico elástico de pandeo por torsión.

$N_{cr,z}$: ∞
 $N_{cr,T}$: ∞

Resistencia a flexión eje Y (CTE DB SE-A, Artículo 6.2.6)

Se debe satisfacer:

$$\eta = \frac{M_{Ed}}{M_{c,Rd}} \leq 1$$

η : **0.099** ✓

Para flexión positiva:

El esfuerzo solicitante de cálculo pésimo se produce en el nudo N801, para la combinación de acciones 0.8·PP+1.5·V(0°)H1.

M_{Ed}^+ : Momento flector solicitante de cálculo pésimo.

M_{Ed}^+ : 0.10 kN·m

Para flexión negativa:

El esfuerzo solicitante de cálculo pésimo se produce en el nudo N801, para la combinación de acciones 1.35·PP+1.5·V(90°)H2+0.75·N(EI).

M_{Ed}^- : Momento flector solicitante de cálculo pésimo.

M_{Ed}^- : 8.88 kN·m

El momento flector resistente de cálculo $M_{c,Rd}$ viene dado por:

$$M_{c,Rd} = W_{pl,y} \cdot f_{yd}$$

$M_{c,Rd}$: 89.92 kN·m

Donde:

Clase: Clase de la sección, según la capacidad de deformación y de desarrollo de la resistencia plástica de los elementos planos de una sección a flexión simple.

Clase : 1

$W_{pl,y}$: Módulo resistente plástico correspondiente a la fibra con mayor tensión, para las secciones de clase 1 y 2.

$W_{pl,y}$: 343.32 cm³

f_{yd} : Resistencia de cálculo del acero.

f_{yd} : 261.90 MPa

$$f_{yd} = f_y / \gamma_{M0}$$

Siendo:

f_y : Límite elástico. (CTE DB SE-A, Tabla 4.1)

f_y : 275.00 MPa

γ_{M0} : Coeficiente parcial de seguridad del material.

γ_{M0} : 1.05

Resistencia a pandeo lateral: (CTE DB SE-A, Artículo 6.3.3.2)

No procede, dado que las longitudes de pandeo lateral son nulas.

Resistencia a flexión eje Z (CTE DB SE-A, Artículo 6.2.6)

Se debe satisfacer:

$$\eta = \frac{M_{Ed}}{M_{c,Rd}} \leq 1$$

η : **0.480** ✓

Para flexión positiva:

El esfuerzo solicitante de cálculo pésimo se produce en el nudo N801, para la combinación de acciones $1.35 \cdot PP + 1.5 \cdot V(270^\circ)H2 + 0.75 \cdot N(EI)$.

M_{Ed}^+ : Momento flector solicitante de cálculo pésimo.

M_{Ed}^+ : 35.50 kN·m

Para flexión negativa:

El esfuerzo solicitante de cálculo pésimo se produce en el nudo N801, para la combinación de acciones $0.8 \cdot PP + 1.5 \cdot V(0^\circ)H1$.

M_{Ed}^- : Momento flector solicitante de cálculo pésimo.

M_{Ed}^- : 31.95 kN·m

El momento flector resistente de cálculo $M_{c,Rd}$ viene dado por:

$$M_{c,Rd} = W_{pl,z} \cdot f_{yd}$$

$M_{c,Rd}$: 73.89 kN·m

Donde:

Clase: Clase de la sección, según la capacidad de deformación y de desarrollo de la resistencia plástica de los elementos planos de una sección a flexión simple.

Clase: 1

$W_{pl,z}$: Módulo resistente plástico correspondiente a la fibra con mayor tensión, para las secciones de clase 1 y 2.

$W_{pl,z}$: 282.14 cm³

f_{yd} : Resistencia de cálculo del acero.

f_{yd} : 261.90 MPa

$$f_{yd} = f_y / \gamma_{M0}$$

Siendo:

f_y : Límite elástico. (CTE DB SE-A, Tabla 4.1)

f_y : 275.00 MPa

γ_{M0} : Coeficiente parcial de seguridad del material.

γ_{M0} : 1.05

Resistencia a corte Z (CTE DB SE-A, Artículo 6.2.4)

Se debe satisfacer:

$$\eta = \frac{V_{Ed}}{V_{c,Rd}} \leq 1$$

η : 0.014 ✓

El esfuerzo solicitante de cálculo pésimo se produce en el nudo N801, para la combinación de acciones $1.35 \cdot PP + 1.5 \cdot V(270^\circ)H2 + 0.75 \cdot N(EI)$.

V_{Ed} : Esfuerzo cortante solicitante de cálculo pésimo.

V_{Ed} : 6.01 kN

El esfuerzo cortante resistente de cálculo $V_{c,Rd}$ viene dado por:

$$V_{c,Rd} = A_v \cdot \frac{f_{yd}}{\sqrt{3}}$$

$V_{c,Rd}$: 445.16 kN

Donde:

A_v : Área transversal a cortante.

A_v : 29.44 cm²

$$A_v = 2 \cdot d \cdot t_w$$

Siendo:

d : Altura del alma.

d : 184.00 mm

t_w : Espesor del alma.

t_w : 8.00 mm

f_{yd} : Resistencia de cálculo del acero.

f_{yd} : 261.90 MPa

$$f_{yd} = f_y / \gamma_{M0}$$

Siendo:

f_y : Límite elástico. (CTE DB SE-A, Tabla 4.1)

f_y : 275.00 MPa

γ_{M0} : Coeficiente parcial de seguridad del material.

γ_{M0} : 1.05

Abolladura por cortante del alma: (CTE DB SE-A, Artículo 6.3.3.4)

Aunque no se han dispuesto rigidizadores transversales, no es necesario comprobar la resistencia a la abolladura del alma, puesto que se cumple:

$$\frac{d}{t_w} < 70 \cdot \varepsilon$$

$$23.00 < 64.71$$



Donde:

λ_w : Esbeltez del alma.

λ_w : 23.00

$$\lambda_w = \frac{d}{t_w}$$

$\lambda_{m\acute{a}x}$: Esbeltez máxima.

$\lambda_{m\acute{a}x}$: 64.71

ε : Factor de reducción.

ε : 0.92

$$\varepsilon = \sqrt{\frac{f_{ref}}{f_y}}$$

Siendo:

f_{ref} : Límite elástico de referencia.

f_{ref} : 235.00 MPa

f_y : Límite elástico. (CTE DB SE-A, Tabla 4.1)

f_y : 275.00 MPa

Resistencia a corte Y (CTE DB SE-A, Artículo 6.2.4)

Se debe satisfacer:

$$\eta = \frac{V_{Ed}}{V_{c,Rd}} \leq 1$$

$$\eta : \underline{0.102} \quad \checkmark$$

El esfuerzo solicitante de cálculo pésimo se produce en el nudo N801, para la combinación de acciones 1.35·PP+1.5·V(270°)H2+0.75·N(EI).

V_{Ed} : Esfuerzo cortante solicitante de cálculo pésimo.

V_{Ed} : 33.66 kN

El esfuerzo cortante resistente de cálculo $V_{c,Rd}$ viene dado por:

$$V_{c,Rd} = A_v \cdot \frac{f_{yd}}{\sqrt{3}}$$

$V_{c,Rd}$: 328.90 kN

Donde:

A_v : Área transversal a cortante.

A_v : 21.75 cm²

$$A_v = A - 2 \cdot d \cdot t_w$$

Siendo:

A: Área de la sección bruta.

$$A : 51.19 \text{ cm}^2$$

d: Altura del alma.

$$d : 184.00 \text{ mm}$$

t_w: Espesor del alma.

$$t_w : 8.00 \text{ mm}$$

f_{yd}: Resistencia de cálculo del acero.

$$f_{yd} : 261.90 \text{ MPa}$$

$$f_{yd} = f_y / \gamma_{M0}$$

Siendo:

f_y: Límite elástico. (CTE DB SE-A, Tabla 4.1)

$$f_y : 275.00 \text{ MPa}$$

γ_{M0}: Coeficiente parcial de seguridad del material.

$$\gamma_{M0} : 1.05$$

Abolladura por cortante del alma: (CTE DB SE-A, Artículo 6.3.3.4)

Aunque no se han dispuesto rigidizadores transversales, no es necesario comprobar la resistencia a la abolladura del alma, puesto que se cumple:

$$\frac{b}{t_r} < 70 \cdot \varepsilon$$

$$18.75 < 64.71$$



Donde:

λ_w: Esbeltez del alma.

$$\lambda_w : 18.75$$

$$\lambda_w = \frac{b}{t_r}$$

λ_{máx}: Esbeltez máxima.

$$\lambda_{máx} : 64.71$$

ε: Factor de reducción.

$$\varepsilon : 0.92$$

$$\varepsilon = \sqrt{\frac{f_{ref}}{f_y}}$$

Siendo:

f_{ref}: Límite elástico de referencia.

$$f_{ref} : 235.00 \text{ MPa}$$

f_y: Límite elástico. (CTE DB SE-A, Tabla 4.1)

$$f_y : 275.00 \text{ MPa}$$

Resistencia a momento flector Y y fuerza cortante Z combinados (CTE DB SE-A, Artículo 6.2.8)

No es necesario reducir la resistencia de cálculo a flexión, ya que el esfuerzo cortante solicitante de cálculo pésimo **V_{Ed}** no es superior al 50% de la resistencia de cálculo a cortante **V_{c,Rd}**.

$$V_{Ed} \leq \frac{V_{c,Rd}}{2}$$

$$6.01 \text{ kN} \leq 222.58 \text{ kN}$$



Los esfuerzos solicitantes de cálculo pésimos se producen para la combinación de acciones 1.35·PP+1.5·V(270°)H2+0.75·N(EI).

V_{Ed}: Esfuerzo cortante solicitante de cálculo pésimo.

V_{Ed} : 6.01 kN

V_{c,Rd}: Esfuerzo cortante resistente de cálculo.

V_{c,Rd} : 445.16 kN

Resistencia a momento flector Z y fuerza cortante Y combinados (CTE DB SE-A, Artículo 6.2.8)

No es necesario reducir la resistencia de cálculo a flexión, ya que el esfuerzo cortante solicitante de cálculo pésimo **V_{Ed}** no es superior al 50% de la resistencia de cálculo a cortante **V_{c,Rd}**.

$$V_{Ed} \leq \frac{V_{c,Rd}}{2}$$

33.66 kN ≤ 164.45 kN ✓

Los esfuerzos solicitantes de cálculo pésimos se producen para la combinación de acciones
1.35·PP+1.5·V(270°)H2+0.75·N(EI).

V_{Ed}: Esfuerzo cortante solicitante de cálculo pésimo.

V_{Ed} : 33.66 kN

V_{c,Rd}: Esfuerzo cortante resistente de cálculo.

V_{c,Rd} : 328.90 kN

Resistencia a flexión y axil combinados (CTE DB SE-A, Artículo 6.2.8)

Se debe satisfacer:

$$\eta = \frac{N_{c,Ed}}{N_{pl,Rd}} + \frac{M_{y,Ed}}{M_{pl,Rd,y}} + \frac{M_{z,Ed}}{M_{pl,Rd,z}} \leq 1$$

η : 0.532 ✓

$$\eta = \frac{N_{c,Ed}}{\chi_y \cdot A \cdot f_{yd}} + k_y \cdot \frac{C_{m,y} \cdot M_{y,Ed}}{\chi_{LT} \cdot W_{pl,y} \cdot f_{yd}} + \alpha_z \cdot k_z \cdot \frac{C_{m,z} \cdot M_{z,Ed}}{W_{pl,z} \cdot f_{yd}} \leq 1$$

η : 0.825 ✓

$$\eta = \frac{N_{c,Ed}}{\chi_z \cdot A \cdot f_{yd}} + \alpha_y \cdot k_y \cdot \frac{C_{m,y} \cdot M_{y,Ed}}{W_{pl,y} \cdot f_{yd}} + k_z \cdot \frac{C_{m,z} \cdot M_{z,Ed}}{W_{pl,z} \cdot f_{yd}} \leq 1$$

η : 0.521 ✓

Los esfuerzos solicitantes de cálculo pésimos se producen en el nudo N801, para la combinación de acciones
1.35·PP+1.5·V(180°)H4+0.75·N(EI).

Donde:

N_{c,Ed}: Axil de compresión solicitante de cálculo pésimo.

N_{c,Ed} : 538.85 kN

M_{y,Ed}, M_{z,Ed}: Momentos flectores solicitantes de cálculo pésimos, según los ejes Y y Z, respectivamente.

M_{y,Ed} : 8.13 kN·m

M_{z,Ed} : 2.93 kN·m

Clase: Clase de la sección, según la capacidad de deformación y de desarrollo de la resistencia plástica de sus elementos planos, para axil y flexión simple.

Clase : 1

N_{pl,Rd}: Resistencia a compresión de la sección bruta.

N_{pl,Rd} : 1340.71 kN

$M_{pl,Rd,y}$, $M_{pl,Rd,z}$: Resistencia a flexión de la sección bruta en condiciones plásticas, respecto a los ejes Y y Z, respectivamente.

$$M_{pl,Rd,y} : \underline{89.92} \text{ kN}\cdot\text{m}$$

$$M_{pl,Rd,z} : \underline{73.89} \text{ kN}\cdot\text{m}$$

Resistencia a pandeo: (CTE DB SE-A, Artículo 6.3.4.2)

A : Área de la sección bruta.

$$A : \underline{51.19} \text{ cm}^2$$

$W_{pl,y}$, $W_{pl,z}$: Módulos resistentes plásticos correspondientes a la fibra comprimida, alrededor de los ejes Y y Z, respectivamente.

$$W_{pl,y} : \underline{343.32} \text{ cm}^3$$

$$W_{pl,z} : \underline{282.14} \text{ cm}^3$$

f_{yd} : Resistencia de cálculo del acero.

$$f_{yd} : \underline{261.90} \text{ MPa}$$

$$f_{yd} = f_y / \gamma_{M1}$$

Siendo:

f_y : Límite elástico. (CTE DB SE-A, Tabla 4.1)

$$f_y : \underline{275.00} \text{ MPa}$$

γ_{M1} : Coeficiente parcial de seguridad del material.

$$\gamma_{M1} : \underline{1.05}$$

k_y , k_z : Coeficientes de interacción.

$$k_y = 1 + (\bar{\lambda}_y - 0.2) \cdot \frac{N_{c,Ed}}{\chi_y \cdot N_{c,Rd}}$$

$$k_y : \underline{1.47}$$

$$k_z = 1 + (\bar{\lambda}_z - 0.2) \cdot \frac{N_{c,Ed}}{\chi_z \cdot N_{c,Rd}}$$

$$k_z : \underline{1.00}$$

$C_{m,y}$, $C_{m,z}$: Factores de momento flector uniforme equivalente.

$$C_{m,y} : \underline{1.00}$$

$$C_{m,z} : \underline{1.00}$$

χ_y , χ_z : Coeficientes de reducción por pandeo, alrededor de los ejes Y y Z, respectivamente.

$$\chi_y : \underline{0.60}$$

$$\chi_z : \underline{1.00}$$

$\bar{\lambda}_y$, $\bar{\lambda}_z$: Esbelteces reducidas con valores no mayores que 1.00, en relación a los ejes Y y Z, respectivamente.

$$\bar{\lambda}_y : \underline{0.90}$$

$$\bar{\lambda}_z : \underline{0.00}$$

α_y , α_z : Factores dependientes de la clase de la sección.

$$\alpha_y : \underline{0.60}$$

$$\alpha_z : \underline{0.60}$$

Resistencia a flexión, axil y cortante combinados (CTE DB SE-A, Artículo 6.2.8)

No es necesario reducir las resistencias de cálculo a flexión y a axil, ya que se puede ignorar el efecto de abolladura por esfuerzo cortante y, además, el esfuerzo cortante solicitante de cálculo pésimo V_{Ed} es menor o igual que el 50% del esfuerzo cortante resistente de cálculo $V_{c,Rd}$.

Los esfuerzos solicitantes de cálculo pésimos se producen para la combinación de acciones

$$1.35 \cdot PP + 1.5 \cdot V(270^\circ)H2 + 0.75 \cdot N(EI).$$

$$V_{Ed,y} \leq \frac{V_{c,Rd,y}}{2}$$

$$33.66 \text{ kN} \leq 164.32 \text{ kN}$$



Donde:

$V_{Ed,y}$: Esfuerzo cortante solicitante de cálculo pésimo.

$$V_{Ed,y} : \underline{33.66} \text{ kN}$$

$V_{c,Rd,y}$: Esfuerzo cortante resistente de cálculo.

$$V_{c,Rd,y} : \underline{328.64} \text{ kN}$$

Resistencia a torsión (CTE DB SE-A, Artículo 6.2.7)

Se debe satisfacer:

$$\eta = \frac{M_{T,Ed}}{M_{T,Rd}} \leq 1$$

$$\eta : \underline{0.005} \quad \checkmark$$

El esfuerzo solicitante de cálculo pésimo se produce para la combinación de acciones $0.8 \cdot PP + 1.5 \cdot V(0^\circ)H4 + 0.75 \cdot N(R)2$.

$M_{T,Ed}$: Momento torsor solicitante de cálculo pésimo.

$$M_{T,Ed} : \underline{0.32} \text{ kN}\cdot\text{m}$$

El momento torsor resistente de cálculo $M_{T,Rd}$ viene dado por:

$$M_{T,Rd} = \frac{1}{\sqrt{3}} \cdot W_T \cdot f_{yd}$$

$$M_{T,Rd} : \underline{65.96} \text{ kN}\cdot\text{m}$$

Donde:

W_T : Módulo de resistencia a torsión.

$$W_T : \underline{436.22} \text{ cm}^3$$

f_{yd} : Resistencia de cálculo del acero.

$$f_{yd} : \underline{261.90} \text{ MPa}$$

$$f_{yd} = f_y / \gamma_{M0}$$

Siendo:

f_y : Límite elástico. (CTE DB SE-A, Tabla 4.1)

$$f_y : \underline{275.00} \text{ MPa}$$

γ_{M0} : Coeficiente parcial de seguridad del material.

$$\gamma_{M0} : \underline{1.05}$$

Resistencia a cortante Z y momento torsor combinados (CTE DB SE-A, Artículo 6.2.8)

Se debe satisfacer:

$$\eta = \frac{V_{Ed}}{V_{pl,T,Rd}} \leq 1$$

$$\eta : \underline{0.014} \quad \checkmark$$

Los esfuerzos solicitantes de cálculo pésimos se producen en el nudo N801, para la combinación de acciones $1.35 \cdot PP + 1.5 \cdot V(270^\circ)H2 + 0.75 \cdot N(EI)$.

V_{Ed} : Esfuerzo cortante solicitante de cálculo pésimo.

$$V_{Ed} : \underline{6.01} \text{ kN}$$

$M_{T,Ed}$: Momento torsor solicitante de cálculo pésimo.

$$M_{T,Ed} : \underline{0.05} \text{ kN}\cdot\text{m}$$

El esfuerzo cortante resistente de cálculo reducido $V_{pl,T,Rd}$ viene dado por:

$$V_{pl,T,Rd} = \left[1 - \frac{\tau_{T,Ed}}{f_{yd}/\sqrt{3}} \right] \cdot V_{pl,Rd}$$

$$V_{pl,T,Rd} : \underline{444.81} \text{ kN}$$

Donde:

$V_{pl,Rd}$: Esfuerzo cortante resistente de cálculo.

$$V_{pl,Rd} : \underline{445.16} \text{ kN}$$

$\tau_{T,Ed}$: Tensiones tangenciales por torsión.

$$\tau_{T,Ed} : \underline{0.12} \text{ MPa}$$

$$\tau_{T,Ed} = \frac{M_{T,Ed}}{W_t}$$

Siendo:

W_T : Módulo de resistencia a torsión.

W_T : 436.22 cm³

f_{yd} : Resistencia de cálculo del acero.

f_{yd} : 261.90 MPa

$$f_{yd} = f_y / \gamma_{M0}$$

Siendo:

f_y : Límite elástico. (CTE DB SE-A, Tabla 4.1)

f_y : 275.00 MPa

γ_{M0} : Coeficiente parcial de seguridad del material.

γ_{M0} : 1.05

Resistencia a cortante Y y momento torsor combinados (CTE DB SE-A, Artículo 6.2.8)

Se debe satisfacer:

$$\eta = \frac{V_{Ed}}{V_{pl,T,Rd}} \leq 1$$

η : 0.102 ✓

Los esfuerzos solicitantes de cálculo pésimos se producen en el nudo N801, para la combinación de acciones 1.35·PP+1.5·V(270°)H2+0.75·N(EI).

V_{Ed} : Esfuerzo cortante solicitante de cálculo pésimo.

V_{Ed} : 33.66 kN

$M_{T,Ed}$: Momento torsor solicitante de cálculo pésimo.

$M_{T,Ed}$: 0.05 kN·m

El esfuerzo cortante resistente de cálculo reducido $V_{pl,T,Rd}$ viene dado por:

$$V_{pl,T,Rd} = \left[1 - \frac{\tau_{T,Ed}}{f_{yd}/\sqrt{3}} \right] \cdot V_{pl,Rd}$$

$V_{pl,T,Rd}$: 328.64 kN

Donde:

$V_{pl,Rd}$: Esfuerzo cortante resistente de cálculo.

$V_{pl,Rd}$: 328.90 kN

$\tau_{T,Ed}$: Tensiones tangenciales por torsión.

$\tau_{T,Ed}$: 0.12 MPa

$$\tau_{T,Ed} = \frac{M_{T,Ed}}{W_t}$$

Siendo:

W_T : Módulo de resistencia a torsión.

W_T : 436.22 cm³

f_{yd} : Resistencia de cálculo del acero.

f_{yd} : 261.90 MPa

$$f_{yd} = f_y / \gamma_{M0}$$

Siendo:

f_y : Límite elástico. (CTE DB SE-A, Tabla 4.1)

f_y : 275.00 MPa

γ_{M0} : Coeficiente parcial de seguridad del material.

γ_{M0} : 1.05

$$N_{cr,T} = \frac{1}{i_0^2} \cdot \left[G \cdot I_t + \frac{\pi^2 \cdot E \cdot I_w}{L_{kt}^2} \right]$$

Donde:

I_y : Momento de inercia de la sección bruta, respecto al eje Y.	I_y : <u>1363.78</u> cm ⁴
I_z : Momento de inercia de la sección bruta, respecto al eje Z.	I_z : <u>872.48</u> cm ⁴
I_t : Momento de inercia a torsión uniforme.	I_t : <u>1809.65</u> cm ⁴
I_w : Constante de alabeo de la sección.	I_w : <u>0.00</u> cm ⁶
E : Módulo de elasticidad.	E : <u>210000</u> MPa
G : Módulo de elasticidad transversal.	G : <u>81000</u> MPa
L_{ky} : Longitud efectiva de pandeo por flexión, respecto al eje Y.	L_{ky} : <u>3.390</u> m
L_{kz} : Longitud efectiva de pandeo por flexión, respecto al eje Z.	L_{kz} : <u>3.390</u> m
L_{kt} : Longitud efectiva de pandeo por torsión.	L_{kt} : <u>0.000</u> m
i₀ : Radio de giro polar de la sección bruta, respecto al centro de torsión.	i₀ : <u>7.48</u> cm

$$i_0 = (i_y^2 + i_z^2 + y_0^2 + z_0^2)^{0.5}$$

Siendo:

i_y , i_z : Radios de giro de la sección bruta, respecto a los ejes principales de inercia Y y Z.	i_y : <u>5.84</u> cm
	i_z : <u>4.67</u> cm
y₀ , z₀ : Coordenadas del centro de torsión en la dirección de los ejes principales Y y Z, respectivamente, relativas al centro de gravedad de la sección.	y₀ : <u>0.00</u> mm
	z₀ : <u>0.00</u> mm

Abolladura del alma inducida por el ala comprimida (Criterio de CYPE Ingenieros, basado en: Eurocódigo 3 EN 1993-1-5: 2006, Artículo 8)

Se debe satisfacer:

$$\frac{h_w}{t_w} \leq k \frac{E}{f_{yf}} \sqrt{\frac{A_w}{A_{fc,ef}}}$$

$$18.00 \leq 354.91 \quad \checkmark$$

Donde:

h_w : Altura del alma.	h_w : <u>144.00</u> mm
t_w : Espesor del alma.	t_w : <u>8.00</u> mm
A_w : Área del alma.	A_w : <u>23.04</u> cm ²
A_{fc,ef} : Área reducida del ala comprimida.	A_{fc,ef} : <u>9.60</u> cm ²
k : Coeficiente que depende de la clase de la sección.	k : <u>0.30</u>
E : Módulo de elasticidad.	E : <u>210000</u> MPa
f_{yf} : Límite elástico del acero del ala comprimida.	f_{yf} : <u>275.00</u> MPa

Siendo:

$$f_{yf} = f_y$$

Resistencia a tracción (CTE DB SE-A, Artículo 6.2.3)

Se debe satisfacer:

$$\eta = \frac{N_{t,Ed}}{N_{t,Rd}} \leq 1$$

$$\eta : \underline{0.426} \quad \checkmark$$

El esfuerzo solicitante de cálculo pésimo se produce en el nudo N801, para la combinación de acciones 0.8·PP+1.5·V(270°)H1.

N_{t,Ed}: Axil de tracción solicitante de cálculo pésimo.

$$\mathbf{N_{t,Ed}} : \underline{446.53} \text{ kN}$$

La resistencia de cálculo a tracción **N_{t,Rd}** viene dada por:

$$\mathbf{N_{t,Rd}} = A \cdot f_{yd}$$

$$\mathbf{N_{t,Rd}} : \underline{1047.38} \text{ kN}$$

Donde:

A: Área bruta de la sección transversal de la barra.

$$\mathbf{A} : \underline{39.99} \text{ cm}^2$$

f_{yd}: Resistencia de cálculo del acero.

$$\mathbf{f_{yd}} : \underline{261.90} \text{ MPa}$$

$$f_{yd} = f_y / \gamma_{M0}$$

Siendo:

f_y: Límite elástico. (CTE DB SE-A, Tabla 4.1)

$$\mathbf{f_y} : \underline{275.00} \text{ MPa}$$

γ_{M0}: Coeficiente parcial de seguridad del material.

$$\mathbf{\gamma_{M0}} : \underline{1.05}$$

Resistencia a compresión (CTE DB SE-A, Artículo 6.2.5)

Se debe satisfacer:

$$\eta = \frac{N_{c,Ed}}{N_{c,Rd}} \leq 1$$

$$\eta : \underline{0.420} \quad \checkmark$$

$$\eta = \frac{N_{c,Ed}}{N_{b,Rd}} \leq 1$$

$$\eta : \underline{0.656} \quad \checkmark$$

El esfuerzo solicitante de cálculo pésimo se produce en el nudo N1008, para la combinación de acciones 1.35·PP+1.5·V(90°)H2+0.75·N(EI).

N_{c,Ed}: Axil de compresión solicitante de cálculo pésimo.

$$\mathbf{N_{c,Ed}} : \underline{439.47} \text{ kN}$$

La resistencia de cálculo a compresión **N_{c,Rd}** viene dada por:

$$\mathbf{N_{c,Rd}} = A \cdot f_{yd}$$

$$\mathbf{N_{c,Rd}} : \underline{1047.38} \text{ kN}$$

Donde:

$$\mathbf{Clase} : \underline{1}$$

Clase: Clase de la sección, según la capacidad de deformación y de desarrollo de la resistencia plástica de los elementos planos comprimidos de una sección.

A: Área de la sección bruta para las secciones de clase 1, 2 y 3.

f_{yd}: Resistencia de cálculo del acero.

$$f_{yd} = f_y / \gamma_{M0}$$

Siendo:

f_y: Límite elástico. (CTE DB SE-A, Tabla 4.1)

γ_{M0}: Coeficiente parcial de seguridad del material.

$$A : 39.99 \text{ cm}^2$$

$$f_{yd} : 261.90 \text{ MPa}$$

$$f_y : 275.00 \text{ MPa}$$

$$\gamma_{M0} : 1.05$$

Resistencia a pandeo: (CTE DB SE-A, Artículo 6.3.2)

La resistencia de cálculo a pandeo **N_{b,Rd}** en una barra comprimida viene dada por:

$$N_{b,Rd} = \chi \cdot A \cdot f_{yd}$$

$$N_{b,Rd} : 669.93 \text{ kN}$$

Donde:

A: Área de la sección bruta para las secciones de clase 1, 2 y 3.

f_{yd}: Resistencia de cálculo del acero.

$$f_{yd} = f_y / \gamma_{M1}$$

Siendo:

f_y: Límite elástico. (CTE DB SE-A, Tabla 4.1)

γ_{M1}: Coeficiente parcial de seguridad del material.

$$A : 39.99 \text{ cm}^2$$

$$f_{yd} : 261.90 \text{ MPa}$$

$$f_y : 275.00 \text{ MPa}$$

$$\gamma_{M1} : 1.05$$

χ: Coeficiente de reducción por pandeo.

$$\chi = \frac{1}{\Phi + \sqrt{\Phi^2 - (\bar{\lambda})^2}} \leq 1$$

$$\chi_y : 0.74$$

$$\chi_z : 0.64$$

Siendo:

$$\Phi = 0.5 \cdot \left[1 + \alpha \cdot (\bar{\lambda} - 0.2) + (\bar{\lambda})^2 \right]$$

$$\phi_y : 0.84$$

$$\phi_z : 1.01$$

α: Coeficiente de imperfección elástica.

$$\alpha_y : 0.49$$

$$\alpha_z : 0.49$$

λ̄: Esbeltez reducida.

$$\bar{\lambda} = \sqrt{\frac{A \cdot f_y}{N_{cr}}}$$

$$\bar{\lambda}_y : 0.67$$

$$\bar{\lambda}_z : 0.84$$

N_{cr}: Axil crítico elástico de pandeo, obtenido como el menor de los siguientes valores:

$$N_{cr} : 1573.87 \text{ kN}$$

N_{cr,y}: Axil crítico elástico de pandeo por flexión respecto al eje Y.

$$N_{cr,y} : 2460.15 \text{ kN}$$

N_{cr,z}: Axil crítico elástico de pandeo por flexión respecto al eje Z.

$$N_{cr,z} : 1573.87 \text{ kN}$$

N_{cr,T}: Axil crítico elástico de pandeo por torsión.

$$N_{cr,T} : \infty$$

Resistencia a flexión eje Y (CTE DB SE-A, Artículo 6.2.6)

Se debe satisfacer:

$$\eta = \frac{M_{Ed}}{M_{c,Rd}} \leq 1$$

$$\eta : \underline{0.029} \quad \checkmark$$

Para flexión positiva:

El esfuerzo solicitante de cálculo pésimo se produce en el nudo N801, para la combinación de acciones 0.8·PP+1.5·V(270°)H1.

M_{Ed}⁺: Momento flector solicitante de cálculo pésimo.

$$\mathbf{M_{Ed}^+ : \underline{1.57} \text{ kN}\cdot\text{m}}$$

Para flexión negativa:

El esfuerzo solicitante de cálculo pésimo se produce en el nudo N801, para la combinación de acciones 1.35·PP+0.9·V(180°)H4+1.5·N(EI).

M_{Ed}⁻: Momento flector solicitante de cálculo pésimo.

$$\mathbf{M_{Ed}^- : \underline{1.59} \text{ kN}\cdot\text{m}}$$

El momento flector resistente de cálculo **M_{c,Rd}** viene dado por:

$$\mathbf{M_{c,Rd} = W_{pl,y} \cdot f_{yd}}$$

$$\mathbf{M_{c,Rd} : \underline{55.23} \text{ kN}\cdot\text{m}}$$

Donde:

Clase: Clase de la sección, según la capacidad de deformación y de desarrollo de la resistencia plástica de los elementos planos de una sección a flexión simple.

$$\mathbf{Clase : \underline{1}}$$

W_{pl,y}: Módulo resistente plástico correspondiente a la fibra con mayor tensión, para las secciones de clase 1 y 2.

$$\mathbf{W_{pl,y} : \underline{210.86} \text{ cm}^3}$$

f_{yd}: Resistencia de cálculo del acero.

$$\mathbf{f_{yd} : \underline{261.90} \text{ MPa}}$$

$$\mathbf{f_{yd} = f_y / \gamma_{M0}}$$

Siendo:

f_y: Límite elástico. (CTE DB SE-A, Tabla 4.1)

$$\mathbf{f_y : \underline{275.00} \text{ MPa}}$$

γ_{M0}: Coeficiente parcial de seguridad del material.

$$\mathbf{\gamma_{M0} : \underline{1.05}}$$

Resistencia a pandeo lateral: (CTE DB SE-A, Artículo 6.3.3.2)

No procede, dado que las longitudes de pandeo lateral son nulas.

Resistencia a flexión eje Z (CTE DB SE-A, Artículo 6.2.6)

Se debe satisfacer:

$$\eta = \frac{M_{Ed}}{M_{c,Rd}} \leq 1$$

$$\eta : \underline{0.044} \quad \checkmark$$

Para flexión positiva:

El esfuerzo solicitante de cálculo pésimo se produce en el nudo N801, para la combinación de acciones 1.35·PP+1.5·V(270°)H2+0.75·N(EI).

M_{Ed}⁺: Momento flector solicitante de cálculo pésimo.

$$\mathbf{M_{Ed}^+ : \underline{1.91} \text{ kN}\cdot\text{m}}$$

Para flexión negativa:

El esfuerzo solicitante de cálculo pésimo se produce en el nudo N801, para la combinación de acciones 0.8·PP+1.5·V(0°)H1.

M_{Ed} : Momento flector solicitante de cálculo pésimo.

M_{Ed} : 1.98 kN·m

El momento flector resistente de cálculo $M_{c,Rd}$ viene dado por:

$$M_{c,Rd} = W_{pl,z} \cdot f_{yd}$$

$M_{c,Rd}$: 45.34 kN·m

Donde:

Clase: Clase de la sección, según la capacidad de deformación y de desarrollo de la resistencia plástica de los elementos planos de una sección a flexión simple.

Clase: 1

$W_{pl,z}$: Módulo resistente plástico correspondiente a la fibra con mayor tensión, para las secciones de clase 1 y 2.

$W_{pl,z}$: 173.12 cm³

f_{yd} : Resistencia de cálculo del acero.

f_{yd} : 261.90 MPa

$$f_{yd} = f_y / \gamma_{M0}$$

Siendo:

f_y : Límite elástico. (CTE DB SE-A, Tabla 4.1)

f_y : 275.00 MPa

γ_{M0} : Coeficiente parcial de seguridad del material.

γ_{M0} : 1.05

Resistencia a corte Z (CTE DB SE-A, Artículo 6.2.4)

Se debe satisfacer:

$$\eta = \frac{V_{Ed}}{V_{c,Rd}} \leq 1$$

η : 0.003 ✓

El esfuerzo solicitante de cálculo pésimo se produce en el nudo N1008, para la combinación de acciones 1.35·PP+1.5·V(270°)H1.

V_{Ed} : Esfuerzo cortante solicitante de cálculo pésimo.

V_{Ed} : 1.04 kN

El esfuerzo cortante resistente de cálculo $V_{c,Rd}$ viene dado por:

$$V_{c,Rd} = A_v \cdot \frac{f_{yd}}{\sqrt{3}}$$

$V_{c,Rd}$: 348.39 kN

Donde:

A_v : Área transversal a cortante.

A_v : 23.04 cm²

$$A_v = 2 \cdot d \cdot t_w$$

Siendo:

d : Altura del alma.

d : 144.00 mm

t_w : Espesor del alma.

t_w : 8.00 mm

f_{yd} : Resistencia de cálculo del acero.

f_{yd} : 261.90 MPa

$$f_{yd} = f_y / \gamma_{M0}$$

Siendo:

f_y : Límite elástico. (CTE DB SE-A, Tabla 4.1)

f_y : 275.00 MPa

γ_{M0} : Coeficiente parcial de seguridad del material.

γ_{M0} : 1.05

Abolladura por cortante del alma: (CTE DB SE-A, Artículo 6.3.3.4)

Aunque no se han dispuesto rigidizadores transversales, no es necesario comprobar la resistencia a la abolladura del alma, puesto que se cumple:

$$\frac{d}{t_w} < 70 \cdot \varepsilon$$

$$18.00 < 64.71$$



Donde:

λ_w : Esbeltez del alma.

$$\lambda_w : 18.00$$

$$\lambda_w = \frac{d}{t_w}$$

$\lambda_{m\acute{a}x}$: Esbeltez máxima.

$$\lambda_{m\acute{a}x} : 64.71$$

ε : Factor de reducción.

$$\varepsilon : 0.92$$

$$\varepsilon = \sqrt{\frac{f_{ref}}{f_y}}$$

Siendo:

f_{ref} : Límite elástico de referencia.

$$f_{ref} : 235.00 \text{ MPa}$$

f_y : Límite elástico. (CTE DB SE-A, Tabla 4.1)

$$f_y : 275.00 \text{ MPa}$$

Resistencia a corte Y (CTE DB SE-A, Artículo 6.2.4)

Se debe satisfacer:

$$\eta = \frac{V_{Ed}}{V_{c,Rd}} \leq 1$$

$$\eta : 0.002$$



El esfuerzo solicitante de cálculo pésimo se produce para la combinación de acciones 0.8·PP+1.5·V(180°)H1.

V_{Ed} : Esfuerzo cortante solicitante de cálculo pésimo.

$$V_{Ed} : 0.45 \text{ kN}$$

El esfuerzo cortante resistente de cálculo $V_{c,Rd}$ viene dado por:

$$V_{c,Rd} = A_v \cdot \frac{f_{yd}}{\sqrt{3}}$$

$$V_{c,Rd} : 256.32 \text{ kN}$$

Donde:

A_v : Área transversal a cortante.

$$A_v : 16.95 \text{ cm}^2$$

$$A_v = A - 2 \cdot d \cdot t_w$$

Siendo:

A : Área de la sección bruta.

$$A : 39.99 \text{ cm}^2$$

d : Altura del alma.

$$d : 144.00 \text{ mm}$$

t_w : Espesor del alma.

$$t_w : 8.00 \text{ mm}$$

f_{yd} : Resistencia de cálculo del acero.

$$f_{yd} : 261.90 \text{ MPa}$$

$$f_{yd} = f_y / \gamma_{M0}$$

Siendo:

f_y : Límite elástico. (CTE DB SE-A, Tabla 4.1)

f_y : 275.00 MPa

γ_{M0} : Coeficiente parcial de seguridad del material.

γ_{M0} : 1.05

Abolladura por cortante del alma: (CTE DB SE-A, Artículo 6.3.3.4)

Aunque no se han dispuesto rigidizadores transversales, no es necesario comprobar la resistencia a la abolladura del alma, puesto que se cumple:

$$\frac{b}{t_f} < 70 \cdot \varepsilon$$

$$15.00 < 64.71$$



Donde:

λ_w : Esbeltez del alma.

λ_w : 15.00

$$\lambda_w = \frac{b}{t_f}$$

$\lambda_{m\acute{a}x}$: Esbeltez máxima.

$\lambda_{m\acute{a}x}$: 64.71

ε : Factor de reducción.

ε : 0.92

$$\varepsilon = \sqrt{\frac{f_{ref}}{f_y}}$$

Siendo:

f_{ref} : Límite elástico de referencia.

f_{ref} : 235.00 MPa

f_y : Límite elástico. (CTE DB SE-A, Tabla 4.1)

f_y : 275.00 MPa

Resistencia a momento flector Y y fuerza cortante Z combinados (CTE DB SE-A, Artículo 6.2.8)

No es necesario reducir la resistencia de cálculo a flexión, ya que el esfuerzo cortante solicitante de cálculo pésimo V_{Ed} no es superior al 50% de la resistencia de cálculo a cortante $V_{c,Rd}$.

$$V_{Ed} \leq \frac{V_{c,Rd}}{2}$$

$$1.04 \text{ kN} \leq 174.19 \text{ kN}$$



Los esfuerzos solicitantes de cálculo pésimos se producen para la combinación de acciones 1.35·PP+1.5·V(270°)H1.

V_{Ed} : Esfuerzo cortante solicitante de cálculo pésimo.

V_{Ed} : 1.04 kN

$V_{c,Rd}$: Esfuerzo cortante resistente de cálculo.

$V_{c,Rd}$: 348.39 kN

Resistencia a momento flector Z y fuerza cortante Y combinados (CTE DB SE-A, Artículo 6.2.8)

No es necesario reducir la resistencia de cálculo a flexión, ya que el esfuerzo cortante solicitante de cálculo pésimo V_{Ed} no es superior al 50% de la resistencia de cálculo a cortante $V_{c,Rd}$.

$$V_{Ed} \leq \frac{V_{c,Rd}}{2}$$

$$0.45 \text{ kN} \leq 128.16 \text{ kN}$$



Los esfuerzos solicitantes de cálculo pésimos se producen para la combinación de acciones 0.8·PP+1.5·V(180°)H1.

V_{Ed} : Esfuerzo cortante solicitante de cálculo pésimo.

$$V_{Ed} : 0.45 \text{ kN}$$

$V_{c,Rd}$: Esfuerzo cortante resistente de cálculo.

$$V_{c,Rd} : 256.32 \text{ kN}$$

Resistencia a flexión y axil combinados (CTE DB SE-A, Artículo 6.2.8)

Se debe satisfacer:

$$\eta = \frac{N_{c,Ed}}{N_{pl,Rd}} + \frac{M_{y,Ed}}{M_{pl,Rd,y}} + \frac{M_{z,Ed}}{M_{pl,Rd,z}} \leq 1$$

$$\eta : 0.473$$



$$\eta = \frac{N_{c,Ed}}{\chi_y \cdot A \cdot f_{yd}} + k_y \cdot \frac{C_{m,y} \cdot M_{y,Ed}}{\chi_{LT} \cdot W_{pl,y} \cdot f_{yd}} + \alpha_z \cdot k_z \cdot \frac{C_{m,z} \cdot M_{z,Ed}}{W_{pl,z} \cdot f_{yd}} \leq 1$$

$$\eta : 0.619$$



$$\eta = \frac{N_{c,Ed}}{\chi_z \cdot A \cdot f_{yd}} + \alpha_y \cdot k_y \cdot \frac{C_{m,y} \cdot M_{y,Ed}}{W_{pl,y} \cdot f_{yd}} + k_z \cdot \frac{C_{m,z} \cdot M_{z,Ed}}{W_{pl,z} \cdot f_{yd}} \leq 1$$

$$\eta : 0.717$$



Los esfuerzos solicitantes de cálculo pésimos se producen en el nudo N801, para la combinación de acciones 1.35·PP+1.5·V(90°)H2+0.75·N(EI).

Donde:

$N_{c,Ed}$: Axil de compresión solicitante de cálculo pésimo.

$$N_{c,Ed} : 438.14 \text{ kN}$$

$M_{y,Ed}$, $M_{z,Ed}$: Momentos flectores solicitantes de cálculo pésimos, según los ejes Y y Z, respectivamente.

$$M_{y,Ed} : 1.28 \text{ kN}\cdot\text{m}$$

$$M_{z,Ed} : 1.45 \text{ kN}\cdot\text{m}$$

Clase: Clase de la sección, según la capacidad de deformación y de desarrollo de la resistencia plástica de sus elementos planos, para axil y flexión simple.

$$\text{Clase} : 1$$

$N_{pl,Rd}$: Resistencia a compresión de la sección bruta.

$$N_{pl,Rd} : 1047.38 \text{ kN}$$

$M_{pl,Rd,y}$, $M_{pl,Rd,z}$: Resistencia a flexión de la sección bruta en condiciones plásticas, respecto a los ejes Y y Z, respectivamente.

$$M_{pl,Rd,y} : 55.23 \text{ kN}\cdot\text{m}$$

$$M_{pl,Rd,z} : 45.34 \text{ kN}\cdot\text{m}$$

Resistencia a pandeo: (CTE DB SE-A, Artículo 6.3.4.2)

A: Área de la sección bruta.

$$A : 39.99 \text{ cm}^2$$

$W_{pl,y}$, $W_{pl,z}$: Módulos resistentes plásticos correspondientes a la fibra comprimida, alrededor de los ejes Y y Z, respectivamente.

$$W_{pl,y} : 210.86 \text{ cm}^3$$

$$W_{pl,z} : 173.12 \text{ cm}^3$$

f_{yd} : Resistencia de cálculo del acero.

$$f_{yd} : 261.90 \text{ MPa}$$

$$f_{yd} = f_y / \gamma_{M1}$$

Siendo:

f_y : Límite elástico. (CTE DB SE-A, Tabla 4.1)

γ_{M1} : Coeficiente parcial de seguridad del material.

$$f_y : \underline{275.00} \text{ MPa}$$

$$\gamma_{M1} : \underline{1.05}$$

k_y, k_z : Coeficientes de interacción.

$$k_y = 1 + (\bar{\lambda}_y - 0.2) \cdot \frac{N_{c,Ed}}{\chi_y \cdot N_{c,Rd}}$$

$$k_y : \underline{1.26}$$

$$k_z = 1 + (\bar{\lambda}_z - 0.2) \cdot \frac{N_{c,Ed}}{\chi_z \cdot N_{c,Rd}}$$

$$k_z : \underline{1.42}$$

$C_{m,y}, C_{m,z}$: Factores de momento flector uniforme equivalente.

$$C_{m,y} : \underline{1.00}$$

$$C_{m,z} : \underline{1.00}$$

χ_y, χ_z : Coeficientes de reducción por pandeo, alrededor de los ejes Y y Z, respectivamente.

$$\chi_y : \underline{0.74}$$

$$\chi_z : \underline{0.64}$$

$\bar{\lambda}_y, \bar{\lambda}_z$: Esbelteces reducidas con valores no mayores que 1.00, en relación a los ejes Y y Z, respectivamente.

$$\bar{\lambda}_y : \underline{0.67}$$

$$\bar{\lambda}_z : \underline{0.84}$$

α_y, α_z : Factores dependientes de la clase de la sección.

$$\alpha_y : \underline{0.60}$$

$$\alpha_z : \underline{0.60}$$

Resistencia a flexión, axil y cortante combinados (CTE DB SE-A, Artículo 6.2.8)

No es necesario reducir las resistencias de cálculo a flexión y a axil, ya que se puede ignorar el efecto de abolladura por esfuerzo cortante y, además, el esfuerzo cortante solicitante de cálculo pésimo V_{Ed} es menor o igual que el 50% del esfuerzo cortante resistente de cálculo $V_{c,Rd}$.

Los esfuerzos solicitantes de cálculo pésimos se producen para la combinación de acciones 1.35·PP+1.5·V(270°)H1.

$$V_{Ed,z} \leq \frac{V_{c,Rd,z}}{2}$$

$$1.04 \text{ kN} \leq 173.91 \text{ kN}$$



Donde:

$V_{Ed,z}$: Esfuerzo cortante solicitante de cálculo pésimo.

$$V_{Ed,z} : \underline{1.04} \text{ kN}$$

$V_{c,Rd,z}$: Esfuerzo cortante resistente de cálculo.

$$V_{c,Rd,z} : \underline{347.83} \text{ kN}$$

Resistencia a torsión (CTE DB SE-A, Artículo 6.2.7)

Se debe satisfacer:

$$\eta = \frac{M_{T,Ed}}{M_{T,Rd}} \leq 1$$

$$\eta : \underline{0.028}$$



El esfuerzo solicitante de cálculo pésimo se produce para la combinación de acciones $0.8 \cdot PP + 1.5 \cdot V(0^\circ)H1$.

$M_{T,Ed}$: Momento torsor solicitante de cálculo pésimo.

$$M_{T,Ed} : 1.16 \text{ kN}\cdot\text{m}$$

El momento torsor resistente de cálculo $M_{T,Rd}$ viene dado por:

$$M_{T,Rd} = \frac{1}{\sqrt{3}} \cdot W_T \cdot f_{yd}$$

$$M_{T,Rd} : 41.19 \text{ kN}\cdot\text{m}$$

Donde:

W_T : Módulo de resistencia a torsión.

$$W_T : 272.38 \text{ cm}^3$$

f_{yd} : Resistencia de cálculo del acero.

$$f_{yd} : 261.90 \text{ MPa}$$

$$f_{yd} = f_y / \gamma_{M0}$$

Siendo:

f_y : Límite elástico. (CTE DB SE-A, Tabla 4.1)

$$f_y : 275.00 \text{ MPa}$$

γ_{M0} : Coeficiente parcial de seguridad del material.

$$\gamma_{M0} : 1.05$$

Resistencia a cortante Z y momento torsor combinados (CTE DB SE-A, Artículo 6.2.8)

Se debe satisfacer:

$$\eta = \frac{V_{Ed}}{V_{pl,T,Rd}} \leq 1$$

$$\eta : 0.003 \checkmark$$

Los esfuerzos solicitantes de cálculo pésimos se producen en el nudo N1008, para la combinación de acciones $1.35 \cdot PP + 1.5 \cdot V(270^\circ)H1$.

V_{Ed} : Esfuerzo cortante solicitante de cálculo pésimo.

$$V_{Ed} : 1.04 \text{ kN}$$

$M_{T,Ed}$: Momento torsor solicitante de cálculo pésimo.

$$M_{T,Ed} : 0.07 \text{ kN}\cdot\text{m}$$

El esfuerzo cortante resistente de cálculo reducido $V_{pl,T,Rd}$ viene dado por:

$$V_{pl,T,Rd} = \left[1 - \frac{\tau_{T,Ed}}{f_{yd}/\sqrt{3}} \right] \cdot V_{pl,Rd}$$

$$V_{pl,T,Rd} : 347.83 \text{ kN}$$

Donde:

$V_{pl,Rd}$: Esfuerzo cortante resistente de cálculo.

$$V_{pl,Rd} : 348.39 \text{ kN}$$

$\tau_{T,Ed}$: Tensiones tangenciales por torsión.

$$\tau_{T,Ed} : 0.24 \text{ MPa}$$

$$\tau_{T,Ed} = \frac{M_{T,Ed}}{W_t}$$

Siendo:

W_T : Módulo de resistencia a torsión.

$$W_T : 272.38 \text{ cm}^3$$

f_{yd} : Resistencia de cálculo del acero.

$$f_{yd} : 261.90 \text{ MPa}$$

$$f_{yd} = f_y / \gamma_{M0}$$

Siendo:

f_y : Límite elástico. (CTE DB SE-A, Tabla 4.1)

$$f_y : 275.00 \text{ MPa}$$

γ_{M0} : Coeficiente parcial de seguridad del material.

γ_{M0} : 1.05

Resistencia a cortante Y y momento torsor combinados (CTE DB SE-A, Artículo 6.2.8)

Se debe satisfacer:

$$\eta = \frac{V_{Ed}}{V_{pl,T,Rd}} \leq 1$$

η : 0.002 ✓

Los esfuerzos solicitantes de cálculo pésimos se producen para la combinación de acciones 0.8·PP+1.5·V(180°)H1.

V_{Ed} : Esfuerzo cortante solicitante de cálculo pésimo.

V_{Ed} : 0.45 kN

$M_{T,Ed}$: Momento torsor solicitante de cálculo pésimo.

$M_{T,Ed}$: 0.74 kN·m

El esfuerzo cortante resistente de cálculo reducido $V_{pl,T,Rd}$ viene dado por:

$$V_{pl,T,Rd} = \left[1 - \frac{\tau_{T,Ed}}{f_{yd}/\sqrt{3}} \right] \cdot V_{pl,Rd}$$

$V_{pl,T,Rd}$: 251.69 kN

Donde:

$V_{pl,Rd}$: Esfuerzo cortante resistente de cálculo.

$V_{pl,Rd}$: 256.32 kN

$\tau_{T,Ed}$: Tensiones tangenciales por torsión.

$\tau_{T,Ed}$: 2.73 MPa

$$\tau_{T,Ed} = \frac{M_{T,Ed}}{W_t}$$

Siendo:

W_T : Módulo de resistencia a torsión.

W_T : 272.38 cm³

f_{yd} : Resistencia de cálculo del acero.

f_{yd} : 261.90 MPa

$$f_{yd} = f_y / \gamma_{M0}$$

Siendo:

f_y : Límite elástico. (CTE DB SE-A, Tabla 4.1)

f_y : 275.00 MPa

γ_{M0} : Coeficiente parcial de seguridad del material.

γ_{M0} : 1.05

A1.2.4. Pórticos 2 y 20

A continuación se van a representar los elementos característicos de los pórticos 2 y 20 , para mas información se puede consultar el plano número 04.

A1.2.4.1. Pilares

$$N_{cr,T} = \frac{1}{i_0^2} \cdot \left[G \cdot I_t + \frac{\pi^2 \cdot E \cdot I_w}{L_{kt}^2} \right]$$

Donde:

I_y : Momento de inercia de la sección bruta, respecto al eje Y.	I_y : <u>2063.23</u> cm ⁴
I_z : Momento de inercia de la sección bruta, respecto al eje Z.	I_z : <u>1399.16</u> cm ⁴
I_t : Momento de inercia a torsión uniforme.	I_t : <u>2792.08</u> cm ⁴
I_w : Constante de alabeo de la sección.	I_w : <u>0.00</u> cm ⁶
E : Módulo de elasticidad.	E : <u>210000</u> MPa
G : Módulo de elasticidad transversal.	G : <u>81000</u> MPa
L_{ky} : Longitud efectiva de pandeo por flexión, respecto al eje Y.	L_{ky} : <u>5.403</u> m
L_{kz} : Longitud efectiva de pandeo por flexión, respecto al eje Z.	L_{kz} : <u>5.403</u> m
L_{kt} : Longitud efectiva de pandeo por torsión.	L_{kt} : <u>0.000</u> m
i₀ : Radio de giro polar de la sección bruta, respecto al centro de torsión.	i₀ : <u>8.64</u> cm

$$i_0 = (i_y^2 + i_z^2 + y_0^2 + z_0^2)^{0.5}$$

Siendo:

i_y , i_z : Radios de giro de la sección bruta, respecto a los ejes principales de inercia Y y Z.	i_y : <u>6.67</u> cm
	i_z : <u>5.49</u> cm
y₀ , z₀ : Coordenadas del centro de torsión en la dirección de los ejes principales Y y Z, respectivamente, relativas al centro de gravedad de la sección.	y₀ : <u>0.00</u> mm
	z₀ : <u>0.00</u> mm

Abolladura del alma inducida por el ala comprimida (Criterio de CYPE Ingenieros, basado en: Eurocódigo 3 EN 1993-1-5: 2006, Artículo 8)

Se debe satisfacer:

$$\frac{h_w}{t_w} \leq k \frac{E}{f_{yf}} \sqrt{\frac{A_w}{A_{fc,ef}}}$$

$$20.50 \leq 350.66 \checkmark$$

Donde:

h_w : Altura del alma.	h_w : <u>164.00</u> mm
t_w : Espesor del alma.	t_w : <u>8.00</u> mm
A_w : Área del alma.	A_w : <u>26.24</u> cm ²
A_{fc,ef} : Área reducida del ala comprimida.	A_{fc,ef} : <u>11.20</u> cm ²
k : Coeficiente que depende de la clase de la sección.	k : <u>0.30</u>
E : Módulo de elasticidad.	E : <u>210000</u> MPa
f_{yf} : Límite elástico del acero del ala comprimida.	f_{yf} : <u>275.00</u> MPa

Siendo:

$$f_{yf} = f_y$$

Resistencia a tracción (CTE DB SE-A, Artículo 6.2.3)

Se debe satisfacer:

$$\eta = \frac{N_{t,Ed}}{N_{t,Rd}} \leq 1$$

$$\eta : \underline{0.188} \quad \checkmark$$

El esfuerzo solicitante de cálculo pésimo se produce en el nudo N860, para la combinación de acciones 0.8·PP+1.5·V(0°)H1.

N_{t,Ed}: Axil de tracción solicitante de cálculo pésimo.

$$\mathbf{N_{t,Ed}} : \underline{228.18} \text{ kN}$$

La resistencia de cálculo a tracción **N_{t,Rd}** viene dada por:

$$\mathbf{N_{t,Rd}} = A \cdot f_{yd}$$

$$\mathbf{N_{t,Rd}} : \underline{1215.00} \text{ kN}$$

Donde:

A: Área bruta de la sección transversal de la barra.

$$\mathbf{A} : \underline{46.39} \text{ cm}^2$$

f_{yd}: Resistencia de cálculo del acero.

$$\mathbf{f_{yd}} : \underline{261.90} \text{ MPa}$$

$$\mathbf{f_{yd}} = f_y / \gamma_{M0}$$

Siendo:

f_y: Límite elástico. (CTE DB SE-A, Tabla 4.1)

$$\mathbf{f_y} : \underline{275.00} \text{ MPa}$$

γ_{M0}: Coeficiente parcial de seguridad del material.

$$\mathbf{\gamma_{M0}} : \underline{1.05}$$

Resistencia a compresión (CTE DB SE-A, Artículo 6.2.5)

Se debe satisfacer:

$$\eta = \frac{N_{c,Ed}}{N_{c,Rd}} \leq 1$$

$$\eta : \underline{0.235} \quad \checkmark$$

$$\eta = \frac{N_{c,Ed}}{N_{b,Rd}} \leq 1$$

$$\eta : \underline{0.504} \quad \checkmark$$

El esfuerzo solicitante de cálculo pésimo se produce en el nudo N1088, para la combinación de acciones 1.35·PP+1.5·V(270°)H2+0.75·N(EI).

N_{c,Ed}: Axil de compresión solicitante de cálculo pésimo.

$$\mathbf{N_{c,Ed}} : \underline{285.89} \text{ kN}$$

La resistencia de cálculo a compresión **N_{c,Rd}** viene dada por:

$$\mathbf{N_{c,Rd}} = A \cdot f_{yd}$$

$$\mathbf{N_{c,Rd}} : \underline{1215.00} \text{ kN}$$

Donde:

Clase: Clase de la sección, según la capacidad de deformación y de desarrollo de la resistencia plástica de los elementos planos comprimidos de una sección.

$$\mathbf{Clase} : \underline{1}$$

A: Área de la sección bruta para las secciones de clase 1, 2 y 3.

$$A : 46.39 \text{ cm}^2$$

f_{yd}: Resistencia de cálculo del acero.

$$f_{yd} : 261.90 \text{ MPa}$$

$$f_{yd} = f_y / \gamma_{M0}$$

Siendo:

f_y: Límite elástico. (CTE DB SE-A, Tabla 4.1)

$$f_y : 275.00 \text{ MPa}$$

γ_{M0}: Coeficiente parcial de seguridad del material.

$$\gamma_{M0} : 1.05$$

Resistencia a pandeo: (CTE DB SE-A, Artículo 6.3.2)

La resistencia de cálculo a pandeo **N_{b,Rd}** en una barra comprimida viene dada por:

$$N_{b,Rd} = \chi \cdot A \cdot f_{yd}$$

$$N_{b,Rd} : 567.23 \text{ kN}$$

Donde:

A: Área de la sección bruta para las secciones de clase 1, 2 y 3.

$$A : 46.39 \text{ cm}^2$$

f_{yd}: Resistencia de cálculo del acero.

$$f_{yd} : 261.90 \text{ MPa}$$

$$f_{yd} = f_y / \gamma_{M1}$$

Siendo:

f_y: Límite elástico. (CTE DB SE-A, Tabla 4.1)

$$f_y : 275.00 \text{ MPa}$$

γ_{M1}: Coeficiente parcial de seguridad del material.

$$\gamma_{M1} : 1.05$$

χ: Coeficiente de reducción por pandeo.

$$\chi = \frac{1}{\Phi + \sqrt{\Phi^2 - (\bar{\lambda})^2}} \leq 1$$

$$\chi_y : 0.58$$

$$\chi_z : 0.47$$

Siendo:

$$\Phi = 0.5 \cdot \left[1 + \alpha \cdot (\bar{\lambda} - 0.2) + (\bar{\lambda})^2 \right]$$

$$\phi_y : 1.12$$

$$\phi_z : 1.37$$

α: Coeficiente de imperfección elástica.

$$\alpha_y : 0.49$$

$$\alpha_z : 0.49$$

λ̄: Esbeltez reducida.

$$\bar{\lambda} = \sqrt{\frac{A \cdot f_y}{N_{cr}}}$$

$$\bar{\lambda}_y : 0.93$$

$$\bar{\lambda}_z : 1.13$$

N_{cr}: Axil crítico elástico de pandeo, obtenido como el menor de los siguientes valores:

$$N_{cr} : 993.38 \text{ kN}$$

N_{cr,y}: Axil crítico elástico de pandeo por flexión respecto al eje Y.

$$N_{cr,y} : 1464.86 \text{ kN}$$

N_{cr,z}: Axil crítico elástico de pandeo por flexión respecto al eje Z.

$$N_{cr,z} : 993.38 \text{ kN}$$

N_{cr,T}: Axil crítico elástico de pandeo por torsión.

$$N_{cr,T} : \infty$$

Resistencia a flexión eje Y (CTE DB SE-A, Artículo 6.2.6)

Se debe satisfacer:

$$\eta = \frac{M_{Ed}}{M_{c,Rd}} \leq 1$$

η : 0.031 ✓

Para flexión positiva:

M_{Ed}^+ : Momento flector solicitante de cálculo pésimo.

M_{Ed}^+ : 0.00 kN·m

Para flexión negativa:

El esfuerzo solicitante de cálculo pésimo se produce en el nudo N1088, para la combinación de acciones 1.35·PP+1.5·V(270°)H2.

M_{Ed}^- : Momento flector solicitante de cálculo pésimo.

M_{Ed}^- : 2.31 kN·m

El momento flector resistente de cálculo $M_{c,Rd}$ viene dado por:

$$M_{c,Rd} = W_{pl,y} \cdot f_{yd}$$

$M_{c,Rd}$: 73.33 kN·m

Donde:

Clase: Clase de la sección, según la capacidad de deformación y de desarrollo de la resistencia plástica de los elementos planos de una sección a flexión simple.

Clase : 1

$W_{pl,y}$: Módulo resistente plástico correspondiente a la fibra con mayor tensión, para las secciones de clase 1 y 2.

$W_{pl,y}$: 279.97 cm³

f_{yd} : Resistencia de cálculo del acero.

f_{yd} : 261.90 MPa

$$f_{yd} = f_y / \gamma_{M0}$$

Siendo:

f_y : Límite elástico. (CTE DB SE-A, Tabla 4.1)

f_y : 275.00 MPa

γ_{M0} : Coeficiente parcial de seguridad del material.

γ_{M0} : 1.05

Resistencia a pandeo lateral: (CTE DB SE-A, Artículo 6.3.3.2)

No procede, dado que las longitudes de pandeo lateral son nulas.

Resistencia a flexión eje Z (CTE DB SE-A, Artículo 6.2.6)

Se debe satisfacer:

$$\eta = \frac{M_{Ed}}{M_{c,Rd}} \leq 1$$

η : 0.019 ✓

Para flexión positiva:

El esfuerzo solicitante de cálculo pésimo se produce en el nudo N1088, para la combinación de acciones 1.35·PP+1.5·V(270°)H2.

M_{Ed}^+ : Momento flector solicitante de cálculo pésimo.

M_{Ed}^+ : 1.14 kN·m

Para flexión negativa:

El esfuerzo solicitante de cálculo pésimo se produce en el nudo N1088, para la combinación de acciones 0.8·PP+1.5·V(0°)H3+0.75·N(EI).

M_{Ed}^- : Momento flector solicitante de cálculo pésimo.

M_{Ed}^- : 0.49 kN·m

El momento flector resistente de cálculo $M_{c,Rd}$ viene dado por:

$$M_{c,Rd} = W_{pl,z} \cdot f_{yd}$$

$$M_{c,Rd} : 61.76 \text{ kN}\cdot\text{m}$$

Donde:

Clase: Clase de la sección, según la capacidad de deformación y de desarrollo de la resistencia plástica de los elementos planos de una sección a flexión simple.

$$\text{Clase} : 1$$

$W_{pl,z}$: Módulo resistente plástico correspondiente a la fibra con mayor tensión, para las secciones de clase 1 y 2.

$$W_{pl,z} : 235.83 \text{ cm}^3$$

f_{yd} : Resistencia de cálculo del acero.

$$f_{yd} : 261.90 \text{ MPa}$$

$$f_{yd} = f_y / \gamma_{M0}$$

Siendo:

f_y : Límite elástico. (CTE DB SE-A, Tabla 4.1)

$$f_y : 275.00 \text{ MPa}$$

γ_{M0} : Coeficiente parcial de seguridad del material.

$$\gamma_{M0} : 1.05$$

Resistencia a corte Z (CTE DB SE-A, Artículo 6.2.4)

Se debe satisfacer:

$$\eta = \frac{V_{Ed}}{V_{c,Rd}} \leq 1$$

$$\eta : 0.004 \checkmark$$

El esfuerzo solicitante de cálculo pésimo se produce en el nudo N1088, para la combinación de acciones $1.35 \cdot PP + 1.5 \cdot V(270^\circ)H2 + 0.75 \cdot N(EI)$.

V_{Ed} : Esfuerzo cortante solicitante de cálculo pésimo.

$$V_{Ed} : 1.50 \text{ kN}$$

El esfuerzo cortante resistente de cálculo **$V_{c,Rd}$** viene dado por:

$$V_{c,Rd} = A_v \cdot \frac{f_{yd}}{\sqrt{3}}$$

$$V_{c,Rd} : 396.78 \text{ kN}$$

Donde:

A_v : Área transversal a cortante.

$$A_v : 26.24 \text{ cm}^2$$

$$A_v = 2 \cdot d \cdot t_w$$

Siendo:

d : Altura del alma.

$$d : 164.00 \text{ mm}$$

t_w : Espesor del alma.

$$t_w : 8.00 \text{ mm}$$

f_{yd} : Resistencia de cálculo del acero.

$$f_{yd} : 261.90 \text{ MPa}$$

$$f_{yd} = f_y / \gamma_{M0}$$

Siendo:

f_y : Límite elástico. (CTE DB SE-A, Tabla 4.1)

$$f_y : 275.00 \text{ MPa}$$

γ_{M0} : Coeficiente parcial de seguridad del material.

$$\gamma_{M0} : 1.05$$

Abolladura por cortante del alma: (CTE DB SE-A, Artículo 6.3.3.4)

Aunque no se han dispuesto rigidizadores transversales, no es necesario comprobar la resistencia a la abolladura del alma, puesto que se cumple:

$$\frac{d}{t_w} < 70 \cdot \varepsilon$$

$$20.50 < 64.71$$



Donde:

λ_w : Esbeltez del alma.

$$\lambda_w : 20.50$$

$$\lambda_w = \frac{d}{t_w}$$

$\lambda_{m\acute{a}x}$: Esbeltez máxima.

$$\lambda_{m\acute{a}x} : 64.71$$

ε : Factor de reducción.

$$\varepsilon : 0.92$$

$$\varepsilon = \sqrt{\frac{f_{ref}}{f_y}}$$

Siendo:

f_{ref} : Límite elástico de referencia.

$$f_{ref} : 235.00 \text{ MPa}$$

f_y : Límite elástico. (CTE DB SE-A, Tabla 4.1)

$$f_y : 275.00 \text{ MPa}$$

Resistencia a corte Y (CTE DB SE-A, Artículo 6.2.4)

Se debe satisfacer:

$$\eta = \frac{V_{Ed}}{V_{c,Rd}} \leq 1$$

$$\eta : 0.001$$



El esfuerzo solicitante de cálculo pésimo se produce para la combinación de acciones 1.35·PP+1.5·V(270°)H2.

V_{Ed} : Esfuerzo cortante solicitante de cálculo pésimo.

$$V_{Ed} : 0.20 \text{ kN}$$

El esfuerzo cortante resistente de cálculo $V_{c,Rd}$ viene dado por:

$$V_{c,Rd} = A_v \cdot \frac{f_{yd}}{\sqrt{3}}$$

$$V_{c,Rd} : 304.70 \text{ kN}$$

Donde:

A_v : Área transversal a cortante.

$$A_v : 20.15 \text{ cm}^2$$

$$A_v = A - 2 \cdot d \cdot t_w$$

Siendo:

A : Área de la sección bruta.

$$A : 46.39 \text{ cm}^2$$

d : Altura del alma.

$$d : 164.00 \text{ mm}$$

t_w : Espesor del alma.

$$t_w : 8.00 \text{ mm}$$

f_{yd} : Resistencia de cálculo del acero.

$$f_{yd} : 261.90 \text{ MPa}$$

$$f_{yd} = f_y / \gamma_{M0}$$

Siendo:

f_y : Límite elástico. (CTE DB SE-A, Tabla 4.1)

f_y : 275.00 MPa

γ_{M0} : Coeficiente parcial de seguridad del material.

γ_{M0} : 1.05

Abolladura por cortante del alma: (CTE DB SE-A, Artículo 6.3.3.4)

Aunque no se han dispuesto rigidizadores transversales, no es necesario comprobar la resistencia a la abolladura del alma, puesto que se cumple:

$$\frac{b}{t_f} < 70 \cdot \varepsilon$$

$$17.50 < 64.71$$



Donde:

λ_w : Esbeltez del alma.

λ_w : 17.50

$$\lambda_w = \frac{b}{t_f}$$

$\lambda_{m\acute{a}x}$: Esbeltez máxima.

$\lambda_{m\acute{a}x}$: 64.71

ε : Factor de reducción.

ε : 0.92

$$\varepsilon = \sqrt{\frac{f_{ref}}{f_y}}$$

Siendo:

f_{ref} : Límite elástico de referencia.

f_{ref} : 235.00 MPa

f_y : Límite elástico. (CTE DB SE-A, Tabla 4.1)

f_y : 275.00 MPa

Resistencia a momento flector Y y fuerza cortante Z combinados (CTE DB SE-A, Artículo 6.2.8)

No es necesario reducir la resistencia de cálculo a flexión, ya que el esfuerzo cortante solicitante de cálculo pésimo V_{Ed} no es superior al 50% de la resistencia de cálculo a cortante $V_{c,Rd}$.

$$V_{Ed} \leq \frac{V_{c,Rd}}{2}$$

$$1.50 \text{ kN} \leq 198.39 \text{ kN}$$



Los esfuerzos solicitantes de cálculo pésimos se producen para la combinación de acciones 1.35·PP+1.5·V(270°)H2+0.75·N(EI).

V_{Ed} : Esfuerzo cortante solicitante de cálculo pésimo.

V_{Ed} : 1.50 kN

$V_{c,Rd}$: Esfuerzo cortante resistente de cálculo.

$V_{c,Rd}$: 396.78 kN

Resistencia a momento flector Z y fuerza cortante Y combinados (CTE DB SE-A, Artículo 6.2.8)

No es necesario reducir la resistencia de cálculo a flexión, ya que el esfuerzo cortante solicitante de cálculo pésimo V_{Ed} no es superior al 50% de la resistencia de cálculo a cortante $V_{c,Rd}$.

$$V_{Ed} \leq \frac{V_{c,Rd}}{2}$$

$$0.20 \text{ kN} \leq 152.35 \text{ kN}$$



Los esfuerzos solicitantes de cálculo p^{ésimos} se producen para la combinación de acciones 1.35·PP+1.5·V(270°)H2.

V_{Ed}: Esfuerzo cortante solicitante de cálculo p^{ésimo}.

$$V_{Ed} : 0.20 \text{ kN}$$

V_{c,Rd}: Esfuerzo cortante resistente de cálculo.

$$V_{c,Rd} : 304.70 \text{ kN}$$

Resistencia a flexión y axil combinados (CTE DB SE-A, Artículo 6.2.8)

Se debe satisfacer:

$$\eta = \frac{N_{c,Ed}}{N_{pl,Rd}} + \frac{M_{y,Ed}}{M_{pl,Rd,y}} + \frac{M_{z,Ed}}{M_{pl,Rd,z}} \leq 1$$

$$\eta : 0.285$$



$$\eta = \frac{N_{c,Ed}}{\gamma_y \cdot A \cdot f_{yd}} + k_y \cdot \frac{c_{m,y} \cdot M_{y,Ed}}{\chi_{LT} \cdot W_{pl,y} \cdot f_{yd}} + \alpha_z \cdot k_z \cdot \frac{c_{m,z} \cdot M_{z,Ed}}{W_{pl,z} \cdot f_{yd}} \leq 1$$

$$\eta : 0.462$$



$$\eta = \frac{N_{c,Ed}}{\chi_z \cdot A \cdot f_{yd}} + \alpha_y \cdot k_y \cdot \frac{c_{m,y} \cdot M_{y,Ed}}{W_{pl,y} \cdot f_{yd}} + k_z \cdot \frac{c_{m,z} \cdot M_{z,Ed}}{W_{pl,z} \cdot f_{yd}} \leq 1$$

$$\eta : 0.554$$



Los esfuerzos solicitantes de cálculo p^{ésimos} se producen en el nudo N1088, para la combinación de acciones 1.35·PP+1.5·V(270°)H2+0.75·N(EI).

Donde:

N_{c,Ed}: Axil de compresión solicitante de cálculo p^{ésimo}.

$$N_{c,Ed} : 285.89 \text{ kN}$$

M_{y,Ed}, **M_{z,Ed}**: Momentos flectores solicitantes de cálculo p^{ésimos}, según los ejes Y y Z, respectivamente.

$$M_{y,Ed} : 2.27 \text{ kN} \cdot \text{m}$$

$$M_{z,Ed} : 1.13 \text{ kN} \cdot \text{m}$$

Clase: Clase de la sección, según la capacidad de deformación y de desarrollo de la resistencia plástica de sus elementos planos, para axil y flexión simple.

$$\text{Clase} : 1$$

N_{pl,Rd}: Resistencia a compresión de la sección bruta.

$$N_{pl,Rd} : 1215.00 \text{ kN}$$

M_{pl,Rd,y}, **M_{pl,Rd,z}**: Resistencia a flexión de la sección bruta en condiciones plásticas, respecto a los ejes Y y Z, respectivamente.

$$M_{pl,Rd,y} : 73.33 \text{ kN} \cdot \text{m}$$

$$M_{pl,Rd,z} : 61.76 \text{ kN} \cdot \text{m}$$

Resistencia a pandeo: (CTE DB SE-A, Artículo 6.3.4.2)

A: Área de la sección bruta.

$$A : 46.39 \text{ cm}^2$$

W_{pl,y}, **W_{pl,z}**: Módulos resistentes plásticos correspondientes a la fibra comprimida, alrededor de los ejes Y y Z, respectivamente.

$$W_{pl,y} : 279.97 \text{ cm}^3$$

$$W_{pl,z} : 235.83 \text{ cm}^3$$

f_{yd}: Resistencia de cálculo del acero.

$$f_{yd} : 261.90 \text{ MPa}$$

$$f_{yd} = f_y / \gamma_{M1}$$

Siendo:

f_y : Límite elástico. (CTE DB SE-A, Tabla 4.1)

f_y : 275.00 MPa

γ_{M1} : Coeficiente parcial de seguridad del material.

γ_{M1} : 1.05

k_y, k_z : Coeficientes de interacción.

$$k_y = 1 + (\bar{\lambda}_y - 0.2) \cdot \frac{N_{c,Ed}}{\chi_y \cdot N_{c,Rd}}$$

k_y : 1.30

$$k_z = 1 + (\bar{\lambda}_z - 0.2) \cdot \frac{N_{c,Ed}}{\chi_z \cdot N_{c,Rd}}$$

k_z : 1.40

$C_{m,y}, C_{m,z}$: Factores de momento flector uniforme equivalente.

$C_{m,y}$: 1.00

$C_{m,z}$: 1.00

χ_y, χ_z : Coeficientes de reducción por pandeo, alrededor de los ejes Y y Z, respectivamente.

χ_y : 0.58

χ_z : 0.47

$\bar{\lambda}_y, \bar{\lambda}_z$: Esbelteces reducidas con valores no mayores que 1.00, en relación a los ejes Y y Z, respectivamente.

$\bar{\lambda}_y$: 0.93

$\bar{\lambda}_z$: 1.13

α_y, α_z : Factores dependientes de la clase de la sección.

α_y : 0.60

α_z : 0.60

Resistencia a flexión, axil y cortante combinados (CTE DB SE-A, Artículo 6.2.8)

No es necesario reducir las resistencias de cálculo a flexión y a axil, ya que se puede ignorar el efecto de abolladura por esfuerzo cortante y, además, el esfuerzo cortante solicitante de cálculo pésimo V_{Ed} es menor o igual que el 50% del esfuerzo cortante resistente de cálculo $V_{c,Rd}$.

Los esfuerzos solicitantes de cálculo pésimos se producen para la combinación de acciones $1.35 \cdot PP + 1.5 \cdot V(270^\circ)H2 + 0.75 \cdot N(EI)$.

$$V_{Ed,z} \leq \frac{V_{c,Rd,z}}{2}$$

1.50 kN ≤ 198.36 kN



Donde:

$V_{Ed,z}$: Esfuerzo cortante solicitante de cálculo pésimo.

$V_{Ed,z}$: 1.50 kN

$V_{c,Rd,z}$: Esfuerzo cortante resistente de cálculo.

$V_{c,Rd,z}$: 396.73 kN

Resistencia a torsión (CTE DB SE-A, Artículo 6.2.7)

Se debe satisfacer:

$$\eta = \frac{M_{T,Ed}}{M_{T,Rd}} \leq 1$$

η : 0.002



El esfuerzo solicitante de cálculo pésimo se produce para la combinación de acciones $1.35 \cdot PP + 1.5 \cdot V(90^\circ)H1 + 0.75 \cdot N(EI)$.

$M_{T,Ed}$: Momento torsor solicitante de cálculo pésimo.

$M_{T,Ed}$: 0.12 kN·m

El momento torsor resistente de cálculo $M_{T,Rd}$ viene dado por:

$$M_{T,Rd} = \frac{1}{\sqrt{3}} \cdot W_T \cdot f_{yd}$$

$$M_{T,Rd} : 54.93 \text{ kN}\cdot\text{m}$$

Donde:

W_T : Módulo de resistencia a torsión.

$$W_T : 363.26 \text{ cm}^3$$

f_{yd} : Resistencia de cálculo del acero.

$$f_{yd} : 261.90 \text{ MPa}$$

$$f_{yd} = f_y / \gamma_{M0}$$

Siendo:

f_y : Límite elástico. (CTE DB SE-A, Tabla 4.1)

$$f_y : 275.00 \text{ MPa}$$

γ_{M0} : Coeficiente parcial de seguridad del material.

$$\gamma_{M0} : 1.05$$

Resistencia a cortante Z y momento torsor combinados (CTE DB SE-A, Artículo 6.2.8)

Se debe satisfacer:

$$\eta = \frac{V_{Ed}}{V_{pl,T,Rd}} \leq 1$$

$$\eta : 0.004 \checkmark$$

Los esfuerzos solicitantes de cálculo pésimos se producen en el nudo N1088, para la combinación de acciones $1.35 \cdot PP + 1.5 \cdot V(270^\circ)H2 + 0.75 \cdot N(EI)$.

V_{Ed} : Esfuerzo cortante solicitante de cálculo pésimo.

$$V_{Ed} : 1.50 \text{ kN}$$

$M_{T,Ed}$: Momento torsor solicitante de cálculo pésimo.

$$M_{T,Ed} : 0.01 \text{ kN}\cdot\text{m}$$

El esfuerzo cortante resistente de cálculo reducido $V_{pl,T,Rd}$ viene dado por:

$$V_{pl,T,Rd} = \left[1 - \frac{\tau_{T,Ed}}{f_{yd}/\sqrt{3}} \right] \cdot V_{pl,Rd}$$

$$V_{pl,T,Rd} : 396.73 \text{ kN}$$

Donde:

$V_{pl,Rd}$: Esfuerzo cortante resistente de cálculo.

$$V_{pl,Rd} : 396.78 \text{ kN}$$

$\tau_{T,Ed}$: Tensiones tangenciales por torsión.

$$\tau_{T,Ed} : 0.02 \text{ MPa}$$

$$\tau_{T,Ed} = \frac{M_{T,Ed}}{W_t}$$

Siendo:

W_T : Módulo de resistencia a torsión.

$$W_T : 363.26 \text{ cm}^3$$

f_{yd} : Resistencia de cálculo del acero.

$$f_{yd} : 261.90 \text{ MPa}$$

$$f_{yd} = f_y / \gamma_{M0}$$

Siendo:

f_y : Límite elástico. (CTE DB SE-A, Tabla 4.1)

$$f_y : 275.00 \text{ MPa}$$

γ_{M0} : Coeficiente parcial de seguridad del material.

$$\gamma_{M0} : 1.05$$

Resistencia a cortante Y y momento torsor combinados (CTE DB SE-A, Artículo 6.2.8)

Se debe satisfacer:

Limitación de esbeltez (CTE DB SE-A, Artículos 6.3.1 y 6.3.2.1 - Tabla 6.3)

La esbeltez reducida $\bar{\lambda}$ de las barras comprimidas debe ser inferior al valor 2.0.

$$\bar{\lambda} = \sqrt{\frac{A \cdot f_y}{N_{cr}}}$$

$\bar{\lambda}$: **0.89** ✓

Donde:

Clase: Clase de la sección, según la capacidad de deformación y de desarrollo de la resistencia plástica de los elementos planos comprimidos de una sección.

Clase : 1

A: Área de la sección bruta para las secciones de clase 1, 2 y 3.

A : 51.19 cm²

f_y: Límite elástico. (CTE DB SE-A, Tabla 4.1)

f_y : 275.00 MPa

N_{cr}: Axil crítico de pandeo elástico.

N_{cr} : 1785.18 kN

El axil crítico de pandeo elástico **N_{cr}** es el menor de los valores obtenidos en a), b) y c):

a) Axil crítico elástico de pandeo por flexión respecto al eje Y.

N_{cr,y} : 1785.18 kN

$$N_{cr,y} = \frac{\pi^2 \cdot E \cdot I_y}{L_{ky}^2}$$

b) Axil crítico elástico de pandeo por flexión respecto al eje Z.

N_{cr,z} : ∞

$$N_{cr,z} = \frac{\pi^2 \cdot E \cdot I_z}{L_{kz}^2}$$

c) Axil crítico elástico de pandeo por torsión.

N_{cr,T} : ∞

$$N_{cr,T} = \frac{1}{i_0^2} \cdot \left[G \cdot I_t + \frac{\pi^2 \cdot E \cdot I_w}{L_{kt}^2} \right]$$

Donde:

I_y: Momento de inercia de la sección bruta, respecto al eje Y.

I_y : 2818.09 cm⁴

I_z: Momento de inercia de la sección bruta, respecto al eje Z.

I_z : 1808.04 cm⁴

I_t: Momento de inercia a torsión uniforme.

I_t : 3660.25 cm⁴

I_w: Constante de alabeo de la sección.

I_w : 0.00 cm⁶

E: Módulo de elasticidad.

E : 210000 MPa

G: Módulo de elasticidad transversal.

G : 81000 MPa

L_{ky}: Longitud efectiva de pandeo por flexión, respecto al eje Y.

L_{ky} : 5.720 m

L_{kz}: Longitud efectiva de pandeo por flexión, respecto al eje Z.

L_{kz} : 0.000 m

L_{kt}: Longitud efectiva de pandeo por torsión.

L_{kt} : 0.000 m

i₀: Radio de giro polar de la sección bruta, respecto al centro de torsión.

i₀ : 9.51 cm

$$i_0 = (i_y^2 + i_z^2 + y_0^2 + z_0^2)^{0.5}$$

Siendo:

i_y, i_z : Radios de giro de la sección
bruta, respecto a los ejes principales de
inercia Y y Z.

$$i_y : 7.42 \text{ cm}$$

$$i_z : 5.94 \text{ cm}$$

y_0, z_0 : Coordenadas del centro de
torsión en la dirección de los ejes
principales Y y Z, respectivamente,
relativas al centro de gravedad de la
sección.

$$y_0 : 0.00 \text{ mm}$$

$$z_0 : 0.00 \text{ mm}$$

Abolladura del alma inducida por el ala comprimida (Criterio de CYPE Ingenieros,
basado en: Eurocódigo 3 EN 1993-1-5: 2006, Artículo 8)

Se debe satisfacer:

$$\frac{h_w}{t_w} \leq k \frac{E}{f_{yf}} \sqrt{\frac{A_w}{A_{fc,ef}}}$$

$$23.00 \leq 358.83 \checkmark$$

Donde:

h_w : Altura del alma.

$$h_w : 184.00 \text{ mm}$$

t_w : Espesor del alma.

$$t_w : 8.00 \text{ mm}$$

A_w : Área del alma.

$$A_w : 29.44 \text{ cm}^2$$

$A_{fc,ef}$: Área reducida del ala comprimida.

$$A_{fc,ef} : 12.00 \text{ cm}^2$$

k : Coeficiente que depende de la clase de la sección.

$$k : 0.30$$

E : Módulo de elasticidad.

$$E : 210000 \text{ MPa}$$

f_{yf} : Límite elástico del acero del ala comprimida.

$$f_{yf} : 275.00 \text{ MPa}$$

Siendo:

$$f_{yf} = f_y$$

Resistencia a tracción (CTE DB SE-A, Artículo 6.2.3)

Se debe satisfacer:

$$\eta = \frac{N_{t,Ed}}{N_{t,Rd}} \leq 1$$

$$\eta : 0.063 \checkmark$$

El esfuerzo solicitante de cálculo pésimo se produce en el nudo N753,
para la combinación de acciones 1.35·PP+1.5·V(180°)H4+0.75·N(R)1.

$N_{t,Ed}$: Axil de tracción solicitante de cálculo pésimo.

$$N_{t,Ed} : 85.04 \text{ kN}$$

La resistencia de cálculo a tracción $N_{t,Rd}$ viene dada por:

$$N_{t,Rd} = A \cdot f_{yd}$$

$$N_{t,Rd} : 1340.71 \text{ kN}$$

Donde:

A : Área bruta de la sección transversal de la barra.

$$A : 51.19 \text{ cm}^2$$

f_{yd} : Resistencia de cálculo del acero.

$$f_{yd} : 261.90 \text{ MPa}$$

$$f_{yd} = f_y / \gamma_{M0}$$

Siendo:

f_y : Límite elástico. (CTE DB SE-A, Tabla 4.1)

f_y : 275.00 MPa

γ_{M0} : Coeficiente parcial de seguridad del material.

γ_{M0} : 1.05

Resistencia a compresión (CTE DB SE-A, Artículo 6.2.5)

Se debe satisfacer:

$$\eta = \frac{N_{c,Ed}}{N_{c,Rd}} \leq 1$$

η : 0.076 ✓

$$\eta = \frac{N_{c,Ed}}{N_{b,Rd}} \leq 1$$

η : 0.126 ✓

El esfuerzo solicitante de cálculo pésimo se produce en el nudo N763, para la combinación de acciones 0.8·PP+1.5·V(0°)H3.

$N_{c,Ed}$: Axil de compresión solicitante de cálculo pésimo.

$N_{c,Ed}$: 102.28 kN

La resistencia de cálculo a compresión $N_{c,Rd}$ viene dada por:

$$N_{c,Rd} = A \cdot f_{yd}$$

$N_{c,Rd}$: 1340.71 kN

Donde:

Clase: Clase de la sección, según la capacidad de deformación y de desarrollo de la resistencia plástica de los elementos planos comprimidos de una sección.

Clase: 1

A: Área de la sección bruta para las secciones de clase 1, 2 y 3.

A: 51.19 cm²

f_{yd} : Resistencia de cálculo del acero.

f_{yd} : 261.90 MPa

$$f_{yd} = f_y / \gamma_{M0}$$

Siendo:

f_y : Límite elástico. (CTE DB SE-A, Tabla 4.1)

f_y : 275.00 MPa

γ_{M0} : Coeficiente parcial de seguridad del material.

γ_{M0} : 1.05

Resistencia a pandeo (CTE DB SE-A, Artículo 6.3.2)

La resistencia de cálculo a pandeo $N_{b,Rd}$ en una barra comprimida viene dada por:

$$N_{b,Rd} = \chi \cdot A \cdot f_{yd}$$

$N_{b,Rd}$: 814.10 kN

Donde:

A: Área de la sección bruta para las secciones de clase 1, 2 y 3.

A: 51.19 cm²

f_{yd} : Resistencia de cálculo del acero.

f_{yd} : 261.90 MPa

$$f_{yd} = f_y / \gamma_{M1}$$

Siendo:

f_y : Límite elástico. (CTE DB SE-A, Tabla 4.1)

f_y : 275.00 MPa

γ_{M1} : Coeficiente parcial de seguridad del material.

γ_{M1} : 1.05

χ : Coeficiente de reducción por pandeo.

$$\chi = \frac{1}{\Phi + \sqrt{\Phi^2 - (\bar{\lambda})^2}} \leq 1$$

χ_y : 0.61

Siendo:

$$\Phi = 0.5 \cdot \left[1 + \alpha \cdot (\bar{\lambda} - 0.2) + (\bar{\lambda})^2 \right]$$

ϕ_y : 1.06

α : Coeficiente de imperfección elástica.

α_y : 0.49

$\bar{\lambda}$: Esbeltez reducida.

$$\bar{\lambda} = \sqrt{\frac{A \cdot f_y}{N_{cr}}}$$

$\bar{\lambda}_y$: 0.89

N_{cr} : Axil crítico elástico de pandeo, obtenido como el menor de los siguientes valores:

N_{cr} : 1785.18 kN

$N_{cr,y}$: Axil crítico elástico de pandeo por flexión respecto al eje Y.

$N_{cr,y}$: 1785.18 kN

$N_{cr,z}$: Axil crítico elástico de pandeo por flexión respecto al eje Z.

$N_{cr,z}$: ∞

$N_{cr,T}$: Axil crítico elástico de pandeo por torsión.

$N_{cr,T}$: ∞

Resistencia a flexión eje Y (CTE DB SE-A, Artículo 6.2.6)

Se debe satisfacer:

$$\eta = \frac{M_{Ed}}{M_{c,Rd}} \leq 1$$

η : 0.368 ✓

Para flexión positiva:

El esfuerzo solicitante de cálculo pésimo se produce en el nudo N763, para la combinación de acciones 0.8·PP+1.5·V(270°)H1.

M_{Ed}^+ : Momento flector solicitante de cálculo pésimo.

M_{Ed}^+ : 33.06 kN·m

Para flexión negativa:

El esfuerzo solicitante de cálculo pésimo se produce en el nudo N763, para la combinación de acciones 1.35·PP+1.5·V(0°)H4+0.75·N(EI).

M_{Ed}^- : Momento flector solicitante de cálculo pésimo.

M_{Ed}^- : 18.54 kN·m

El momento flector resistente de cálculo $M_{c,Rd}$ viene dado por:

$$M_{c,Rd} = W_{pl,y} \cdot f_{yd}$$

$M_{c,Rd}$: 89.92 kN·m

Donde:

Clase: 1

Clase: Clase de la sección, según la capacidad de deformación y de desarrollo de la resistencia plástica de los elementos planos de una sección a flexión simple.

$W_{pl,y}$: Módulo resistente plástico correspondiente a la fibra con mayor tensión, para las secciones de clase 1 y 2.

$$W_{pl,y} : 343.32 \text{ cm}^3$$

f_{yd} : Resistencia de cálculo del acero.

$$f_{yd} : 261.90 \text{ MPa}$$

$$f_{yd} = f_y / \gamma_{M0}$$

Siendo:

f_y : Límite elástico. (CTE DB SE-A, Tabla 4.1)

$$f_y : 275.00 \text{ MPa}$$

γ_{M0} : Coeficiente parcial de seguridad del material.

$$\gamma_{M0} : 1.05$$

Resistencia a pandeo lateral: (CTE DB SE-A, Artículo 6.3.3.2)

No procede, dado que las longitudes de pandeo lateral son nulas.

Resistencia a flexión eje Z (CTE DB SE-A, Artículo 6.2.6)

Se debe satisfacer:

$$\eta = \frac{M_{Ed}}{M_{c,Rd}} \leq 1$$

$$\eta : 0.010 \checkmark$$

Para flexión positiva:

El esfuerzo solicitante de cálculo pésimo se produce en el nudo N753, para la combinación de acciones $1.35 \cdot PP + 1.5 \cdot V(0^\circ)H4 + 0.75 \cdot N(EI)$.

M_{Ed}^+ : Momento flector solicitante de cálculo pésimo.

$$M_{Ed}^+ : 0.34 \text{ kN}\cdot\text{m}$$

Para flexión negativa:

El esfuerzo solicitante de cálculo pésimo se produce en el nudo N753, para la combinación de acciones $0.8 \cdot PP + 1.5 \cdot V(270^\circ)H1$.

M_{Ed}^- : Momento flector solicitante de cálculo pésimo.

$$M_{Ed}^- : 0.76 \text{ kN}\cdot\text{m}$$

El momento flector resistente de cálculo **$M_{c,Rd}$** viene dado por:

$$M_{c,Rd} = W_{pl,z} \cdot f_{yd}$$

$$M_{c,Rd} : 73.89 \text{ kN}\cdot\text{m}$$

Donde:

Clase: Clase de la sección, según la capacidad de deformación y de desarrollo de la resistencia plástica de los elementos planos de una sección a flexión simple.

$$\text{Clase} : 1$$

$W_{pl,z}$: Módulo resistente plástico correspondiente a la fibra con mayor tensión, para las secciones de clase 1 y 2.

$$W_{pl,z} : 282.14 \text{ cm}^3$$

f_{yd} : Resistencia de cálculo del acero.

$$f_{yd} : 261.90 \text{ MPa}$$

$$f_{yd} = f_y / \gamma_{M0}$$

Siendo:

f_y : Límite elástico. (CTE DB SE-A, Tabla 4.1)

$$f_y : 275.00 \text{ MPa}$$

γ_{M0} : Coeficiente parcial de seguridad del material.

$$\gamma_{M0} : 1.05$$

Resistencia a corte Z (CTE DB SE-A, Artículo 6.2.4)

Se debe satisfacer:

$$\eta = \frac{V_{Ed}}{V_{c,Rd}} \leq 1$$

$\eta : \underline{0.073}$ ✓

El esfuerzo solicitante de cálculo pésimo se produce en el nudo N763, para la combinación de acciones 0.8·PP+1.5·V(270°)H1.

V_{Ed} : Esfuerzo cortante solicitante de cálculo pésimo.

$V_{Ed} : \underline{32.70}$ kN

El esfuerzo cortante resistente de cálculo $V_{c,Rd}$ viene dado por:

$$V_{c,Rd} = A_v \cdot \frac{f_{yd}}{\sqrt{3}}$$

$V_{c,Rd} : \underline{445.16}$ kN

Donde:

A_v : Área transversal a cortante.

$A_v : \underline{29.44}$ cm²

$$A_v = 2 \cdot d \cdot t_w$$

Siendo:

d : Altura del alma.

$d : \underline{184.00}$ mm

t_w : Espesor del alma.

$t_w : \underline{8.00}$ mm

f_{yd} : Resistencia de cálculo del acero.

$f_{yd} : \underline{261.90}$ MPa

$$f_{yd} = f_y / \gamma_{M0}$$

Siendo:

f_y : Límite elástico. (CTE DB SE-A, Tabla 4.1)

$f_y : \underline{275.00}$ MPa

γ_{M0} : Coeficiente parcial de seguridad del material.

$\gamma_{M0} : \underline{1.05}$

Abolladura por cortante del alma: (CTE DB SE-A, Artículo 6.3.3.4)

Aunque no se han dispuesto rigidizadores transversales, no es necesario comprobar la resistencia a la abolladura del alma, puesto que se cumple:

$$\frac{d}{t_w} < 70 \cdot \varepsilon$$

$23.00 < \underline{64.71}$ ✓

Donde:

λ_w : Esbeltez del alma.

$\lambda_w : \underline{23.00}$

$$\lambda_w = \frac{d}{t_w}$$

$\lambda_{m\acute{a}x}$: Esbeltez máxima.

$\lambda_{m\acute{a}x} : \underline{64.71}$

ε : Factor de reducción.

$\varepsilon : \underline{0.92}$

$$\varepsilon = \sqrt{\frac{f_{ref}}{f_y}}$$

Siendo:

f_{ref} : Límite elástico de referencia.

f_{ref} : 235.00 MPa

f_y : Límite elástico. (CTE DB SE-A, Tabla 4.1)

f_y : 275.00 MPa

Resistencia a corte Y (CTE DB SE-A, Artículo 6.2.4)

Se debe satisfacer:

$$\eta = \frac{V_{Ed}}{V_{c,Rd}} \leq 1$$

$\eta < \underline{0.001}$ ✓

El esfuerzo solicitante de cálculo pésimo se produce para la combinación de acciones 1.35·PP+1.5·V(270°)H1.

V_{Ed} : Esfuerzo cortante solicitante de cálculo pésimo.

V_{Ed} : 0.16 kN

El esfuerzo cortante resistente de cálculo $V_{c,Rd}$ viene dado por:

$$V_{c,Rd} = A_v \cdot \frac{f_{yd}}{\sqrt{3}}$$

$V_{c,Rd}$: 328.90 kN

Donde:

A_v : Área transversal a cortante.

A_v : 21.75 cm²

$$A_v = A - 2 \cdot d \cdot t_w$$

Siendo:

A : Área de la sección bruta.

A : 51.19 cm²

d : Altura del alma.

d : 184.00 mm

t_w : Espesor del alma.

t_w : 8.00 mm

f_{yd} : Resistencia de cálculo del acero.

f_{yd} : 261.90 MPa

$$f_{yd} = f_y / \gamma_{M0}$$

Siendo:

f_y : Límite elástico. (CTE DB SE-A, Tabla 4.1)

f_y : 275.00 MPa

γ_{M0} : Coeficiente parcial de seguridad del material.

γ_{M0} : 1.05

Abolladura por cortante del alma: (CTE DB SE-A, Artículo 6.3.3.4)

Aunque no se han dispuesto rigidizadores transversales, no es necesario comprobar la resistencia a la abolladura del alma, puesto que se cumple:

$$\frac{b}{t_f} < 70 \cdot \varepsilon$$

18.75 < 64.71 ✓

Donde:

λ_w : Esbeltez del alma.

λ_w : 18.75

$$\lambda_w = \frac{b}{t_f}$$

$\lambda_{\text{máx}}$: Esbeltez máxima.

$\lambda_{\text{máx}}$: 64.71

ε : Factor de reducción.

ε : 0.92

$$\varepsilon = \sqrt{\frac{f_{\text{ref}}}{f_y}}$$

Siendo:

f_{ref} : Límite elástico de referencia.

f_{ref} : 235.00 MPa

f_y : Límite elástico. (CTE DB SE-A, Tabla 4.1)

f_y : 275.00 MPa

Resistencia a momento flector Y y fuerza cortante Z combinados (CTE DB SE-A, Artículo 6.2.8)

No es necesario reducir la resistencia de cálculo a flexión, ya que el esfuerzo cortante solicitante de cálculo pésimo V_{Ed} no es superior al 50% de la resistencia de cálculo a cortante $V_{\text{c,Rd}}$.

$$V_{\text{Ed}} \leq \frac{V_{\text{c,Rd}}}{2}$$

32.70 kN ≤ 222.58 kN



Los esfuerzos solicitantes de cálculo pésimos se producen para la combinación de acciones 0.8·PP+1.5·V(270°)H1.

V_{Ed} : Esfuerzo cortante solicitante de cálculo pésimo.

V_{Ed} : 32.70 kN

$V_{\text{c,Rd}}$: Esfuerzo cortante resistente de cálculo.

$V_{\text{c,Rd}}$: 445.16 kN

Resistencia a momento flector Z y fuerza cortante Y combinados (CTE DB SE-A, Artículo 6.2.8)

No es necesario reducir la resistencia de cálculo a flexión, ya que el esfuerzo cortante solicitante de cálculo pésimo V_{Ed} no es superior al 50% de la resistencia de cálculo a cortante $V_{\text{c,Rd}}$.

$$V_{\text{Ed}} \leq \frac{V_{\text{c,Rd}}}{2}$$

0.16 kN ≤ 164.45 kN



Los esfuerzos solicitantes de cálculo pésimos se producen para la combinación de acciones 1.35·PP+1.5·V(270°)H1.

V_{Ed} : Esfuerzo cortante solicitante de cálculo pésimo.

V_{Ed} : 0.16 kN

$V_{\text{c,Rd}}$: Esfuerzo cortante resistente de cálculo.

$V_{\text{c,Rd}}$: 328.90 kN

Resistencia a flexión y axil combinados (CTE DB SE-A, Artículo 6.2.8)

Se debe satisfacer:

$$\eta = \frac{N_{\text{c,Ed}}}{N_{\text{pl,Rd}}} + \frac{M_{\text{y,Ed}}}{M_{\text{pl,Rd,y}}} + \frac{M_{\text{z,Ed}}}{M_{\text{pl,Rd,z}}} \leq 1$$

η : 0.396

$$\eta = \frac{N_{c,Ed}}{\chi_y \cdot A \cdot f_{yd}} + k_y \cdot \frac{C_{m,y} \cdot M_{y,Ed}}{\chi_{LT} \cdot W_{pl,y} \cdot f_{yd}} + \alpha_z \cdot k_z \cdot \frac{C_{m,z} \cdot M_{z,Ed}}{W_{pl,z} \cdot f_{yd}} \leq 1$$

η : 0.422 ✓

$$\eta = \frac{N_{c,Ed}}{\chi_z \cdot A \cdot f_{yd}} + \alpha_y \cdot k_y \cdot \frac{C_{m,y} \cdot M_{y,Ed}}{W_{pl,y} \cdot f_{yd}} + k_z \cdot \frac{C_{m,z} \cdot M_{z,Ed}}{W_{pl,z} \cdot f_{yd}} \leq 1$$

η : 0.255 ✓

Los esfuerzos solicitantes de cálculo pésimos se producen en el nudo N763, para la combinación de acciones 0.8·PP+1.5·V(270°)H1.

Donde:

N_{c,Ed}: Axil de compresión solicitante de cálculo pésimo.

N_{c,Ed} : 34.72 kN

M_{y,Ed}, M_{z,Ed}: Momentos flectores solicitantes de cálculo pésimos, según los ejes Y y Z, respectivamente.

M_{y,Ed}⁺ : 33.06 kN·m

M_{z,Ed}⁺ : 0.15 kN·m

Clase: Clase de la sección, según la capacidad de deformación y de desarrollo de la resistencia plástica de sus elementos planos, para axil y flexión simple.

Clase : 1

N_{pl,Rd}: Resistencia a compresión de la sección bruta.

N_{pl,Rd} : 1340.71 kN

M_{pl,Rd,y}, M_{pl,Rd,z}: Resistencia a flexión de la sección bruta en condiciones plásticas, respecto a los ejes Y y Z, respectivamente.

M_{pl,Rd,y} : 89.92 kN·m

M_{pl,Rd,z} : 73.89 kN·m

Resistencia a pandeo: (CTE DB SE-A, Artículo 6.3.4.2)

A: Área de la sección bruta.

A : 51.19 cm²

W_{pl,y}, W_{pl,z}: Módulos resistentes plásticos correspondientes a la fibra comprimida, alrededor de los ejes Y y Z, respectivamente.

W_{pl,y} : 343.32 cm³

W_{pl,z} : 282.14 cm³

f_{vd}: Resistencia de cálculo del acero.

f_{vd} : 261.90 MPa

$$f_{yd} = f_y / \gamma_{M1}$$

Siendo:

f_y: Límite elástico. (CTE DB SE-A, Tabla 4.1)

f_y : 275.00 MPa

γ_{M1}: Coeficiente parcial de seguridad del material.

γ_{M1} : 1.05

k_y, k_z: Coeficientes de interacción.

$$k_y = 1 + (\bar{\lambda}_y - 0.2) \cdot \frac{N_{c,Ed}}{\chi_y \cdot N_{c,Rd}}$$

k_y : 1.03

$$k_z = 1 + (\bar{\lambda}_z - 0.2) \cdot \frac{N_{c,Ed}}{\chi_z \cdot N_{c,Rd}}$$

k_z : 1.00

C_{m,y}, C_{m,z}: Factores de momento flector uniforme equivalente.

C_{m,y} : 1.00

C_{m,z} : 1.00

χ_y, χ_z: Coeficientes de reducción por pandeo, alrededor de los ejes Y y Z, respectivamente.

χ_y : 0.61

χ_z : 1.00

$\bar{\lambda}_y, \bar{\lambda}_z$: Esbelteces reducidas con valores no mayores que 1.00, en relación a los ejes Y y Z, respectivamente.

α_y, α_z : Factores dependientes de la clase de la sección.

$$\begin{array}{l} \bar{\lambda}_y : 0.89 \\ \bar{\lambda}_z : 0.00 \\ \alpha_y : 0.60 \\ \alpha_z : 0.60 \end{array}$$

Resistencia a flexión, axil y cortante combinados (CTE DB SE-A, Artículo 6.2.8)

No es necesario reducir las resistencias de cálculo a flexión y a axil, ya que se puede ignorar el efecto de abolladura por esfuerzo cortante y, además, el esfuerzo cortante solicitante de cálculo pésimo V_{Ed} es menor o igual que el 50% del esfuerzo cortante resistente de cálculo $V_{c,Rd}$.

Los esfuerzos solicitantes de cálculo pésimos se producen para la combinación de acciones 0.8·PP+1.5·V(270°)H1.

$$V_{Ed,z} \leq \frac{V_{c,Rd,z}}{2}$$

$$32.70 \text{ kN} \leq 221.67 \text{ kN}$$



Donde:

$V_{Ed,z}$: Esfuerzo cortante solicitante de cálculo pésimo.

$$V_{Ed,z} : 32.70 \text{ kN}$$

$V_{c,Rd,z}$: Esfuerzo cortante resistente de cálculo.

$$V_{c,Rd,z} : 443.35 \text{ kN}$$

Resistencia a torsión (CTE DB SE-A, Artículo 6.2.7)

Se debe satisfacer:

$$\eta = \frac{M_{T,Ed}}{M_{T,Rd}} \leq 1$$

$$\eta : 0.004$$



El esfuerzo solicitante de cálculo pésimo se produce para la combinación de acciones 1.35·PP+1.5·V(0°)H3+0.75·N(EI).

$M_{T,Ed}$: Momento torsor solicitante de cálculo pésimo.

$$M_{T,Ed} : 0.27 \text{ kN}\cdot\text{m}$$

El momento torsor resistente de cálculo $M_{T,Rd}$ viene dado por:

$$M_{T,Rd} = \frac{1}{\sqrt{3}} \cdot W_T \cdot f_{yd}$$

$$M_{T,Rd} : 65.96 \text{ kN}\cdot\text{m}$$

Donde:

W_T : Módulo de resistencia a torsión.

$$W_T : 436.22 \text{ cm}^3$$

f_{yd} : Resistencia de cálculo del acero.

$$f_{yd} : 261.90 \text{ MPa}$$

$$f_{yd} = f_y / \gamma_{M0}$$

Siendo:

f_y : Límite elástico. (CTE DB SE-A, Tabla 4.1)

$$f_y : 275.00 \text{ MPa}$$

γ_{M0} : Coeficiente parcial de seguridad del material.

$$\gamma_{M0} : 1.05$$

Resistencia a cortante Z y momento torsor combinados (CTE DB SE-A, Artículo 6.2.8)

Se debe satisfacer:

$$\eta = \frac{V_{Ed}}{V_{pl,T,Rd}} \leq 1$$

$\eta : \underline{0.074}$ ✓

Los esfuerzos solicitantes de cálculo p^{ésimos} se producen en el nudo N763, para la combinación de acciones 0.8·PP+1.5·V(270°)H1.

V_{Ed}: Esfuerzo cortante solicitante de cálculo p^{ésimo}.

V_{Ed} : 32.70 kN

M_{T,Ed}: Momento torsor solicitante de cálculo p^{ésimo}.

M_{T,Ed} : 0.27 kN·m

El esfuerzo cortante resistente de cálculo reducido **V_{pl,T,Rd}** viene dado por:

$$V_{pl,T,Rd} = \left[1 - \frac{\tau_{T,Ed}}{f_{yd}/\sqrt{3}} \right] \cdot V_{pl,Rd}$$

V_{pl,T,Rd} : 443.35 kN

Donde:

V_{pl,Rd}: Esfuerzo cortante resistente de cálculo.

V_{pl,Rd} : 445.16 kN

τ_{T,Ed}: Tensiones tangenciales por torsión.

τ_{T,Ed} : 0.62 MPa

$$\tau_{T,Ed} = \frac{M_{T,Ed}}{W_t}$$

Siendo:

W_T: Módulo de resistencia a torsión.

W_T : 436.22 cm³

f_{yd}: Resistencia de cálculo del acero.

f_{yd} : 261.90 MPa

$$f_{yd} = f_y / \gamma_{M0}$$

Siendo:

f_y: Límite elástico. (CTE DB SE-A, Tabla 4.1)

f_y : 275.00 MPa

γ_{M0}: Coeficiente parcial de seguridad del material.

γ_{M0} : 1.05

Resistencia a cortante Y y momento torsor combinados (CTE DB SE-A, Artículo 6.2.8)

Se debe satisfacer:

$$\eta = \frac{V_{Ed}}{V_{pl,T,Rd}} \leq 1$$

$\eta : \underline{0.001}$ ✓

Los esfuerzos solicitantes de cálculo p^{ésimos} se producen para la combinación de acciones 1.35·PP+1.5·V(270°)H1.

V_{Ed}: Esfuerzo cortante solicitante de cálculo p^{ésimo}.

V_{Ed} : 0.16 kN

M_{T,Ed}: Momento torsor solicitante de cálculo p^{ésimo}.

M_{T,Ed} : 0.21 kN·m

El esfuerzo cortante resistente de cálculo reducido **V_{pl,T,Rd}** viene dado por:

$$V_{pl,T,Rd} = \left[1 - \frac{\tau_{T,Ed}}{f_{yd}/\sqrt{3}} \right] \cdot V_{pl,Rd}$$

V_{pl,T,Rd} : 327.83 kN

Donde:

El axil crítico de pandeo elástico N_{cr} es el menor de los valores obtenidos en a), b) y c):

a) Axil crítico elástico de pandeo por flexión respecto al eje Y.

$$N_{cr,y} : 1748.31 \text{ kN}$$

$$N_{cr,y} = \frac{\pi^2 \cdot E \cdot I_y}{L_{ky}^2}$$

b) Axil crítico elástico de pandeo por flexión respecto al eje Z.

$$N_{cr,z} : 1121.68 \text{ kN}$$

$$N_{cr,z} = \frac{\pi^2 \cdot E \cdot I_z}{L_{kz}^2}$$

c) Axil crítico elástico de pandeo por torsión.

$$N_{cr,T} : \infty$$

$$N_{cr,T} = \frac{1}{i_0^2} \cdot \left[G \cdot I_t + \frac{\pi^2 \cdot E \cdot I_w}{L_{kt}^2} \right]$$

Donde:

I_y : Momento de inercia de la sección bruta, respecto al eje Y.

$$I_y : 2818.09 \text{ cm}^4$$

I_z : Momento de inercia de la sección bruta, respecto al eje Z.

$$I_z : 1808.04 \text{ cm}^4$$

I_t : Momento de inercia a torsión uniforme.

$$I_t : 3660.25 \text{ cm}^4$$

I_w : Constante de alabeo de la sección.

$$I_w : 0.00 \text{ cm}^6$$

E : Módulo de elasticidad.

$$E : 210000 \text{ MPa}$$

G : Módulo de elasticidad transversal.

$$G : 81000 \text{ MPa}$$

L_{ky} : Longitud efectiva de pandeo por flexión, respecto al eje Y.

$$L_{ky} : 5.780 \text{ m}$$

L_{kz} : Longitud efectiva de pandeo por flexión, respecto al eje Z.

$$L_{kz} : 5.780 \text{ m}$$

L_{kt} : Longitud efectiva de pandeo por torsión.

$$L_{kt} : 0.000 \text{ m}$$

i_0 : Radio de giro polar de la sección bruta, respecto al centro de torsión.

$$i_0 : 9.51 \text{ cm}$$

$$i_0 = (i_y^2 + i_z^2 + y_0^2 + z_0^2)^{0.5}$$

Siendo:

i_y, i_z : Radios de giro de la sección bruta, respecto a los ejes principales de inercia Y y Z.

$$i_y : 7.42 \text{ cm}$$

$$i_z : 5.94 \text{ cm}$$

y_0, z_0 : Coordenadas del centro de torsión en la dirección de los ejes principales Y y Z, respectivamente, relativas al centro de gravedad de la sección.

$$y_0 : 0.00 \text{ mm}$$

$$z_0 : 0.00 \text{ mm}$$

Abolladura del alma inducida por el ala comprimida (Criterio de CYPE Ingenieros, basado en: Eurocódigo 3 EN 1993-1-5: 2006, Artículo 8)

Se debe satisfacer:

$$23.00 \leq 358.83 \checkmark$$

$$\frac{h_w}{t_w} \leq k \frac{E}{f_{yf}} \sqrt{\frac{A_w}{A_{fc,ef}}}$$

Donde:

h_w : Altura del alma.

t_w : Espesor del alma.

A_w : Área del alma.

$A_{fc,ef}$: Área reducida del ala comprimida.

k : Coeficiente que depende de la clase de la sección.

E : Módulo de elasticidad.

f_{yf} : Límite elástico del acero del ala comprimida.

Siendo:

$$f_{yf} = f_y$$

$$\begin{aligned} h_w &: 184.00 \text{ mm} \\ t_w &: 8.00 \text{ mm} \\ A_w &: 29.44 \text{ cm}^2 \\ A_{fc,ef} &: 12.00 \text{ cm}^2 \\ k &: 0.30 \\ E &: 210000 \text{ MPa} \\ f_{yf} &: 275.00 \text{ MPa} \end{aligned}$$

Resistencia a tracción (CTE DB SE-A, Artículo 6.2.3)

Se debe satisfacer:

$$\eta = \frac{N_{t,Ed}}{N_{t,Rd}} \leq 1$$

$$\eta : 0.345 \quad \checkmark$$

El esfuerzo solicitante de cálculo pésimo se produce en el nudo N752, para la combinación de acciones 0.8·PP+1.5·V(270°)H1.

$N_{t,Ed}$: Axil de tracción solicitante de cálculo pésimo.

$$N_{t,Ed} : 462.59 \text{ kN}$$

La resistencia de cálculo a tracción **$N_{t,Rd}$** viene dada por:

$$N_{t,Rd} = A \cdot f_{yd}$$

$$N_{t,Rd} : 1340.71 \text{ kN}$$

Donde:

A : Área bruta de la sección transversal de la barra.

$$A : 51.19 \text{ cm}^2$$

f_{yd} : Resistencia de cálculo del acero.

$$f_{yd} : 261.90 \text{ MPa}$$

$$f_{yd} = f_y / \gamma_{M0}$$

Siendo:

f_y : Límite elástico. (CTE DB SE-A, Tabla 4.1)

$$f_y : 275.00 \text{ MPa}$$

γ_{M0} : Coeficiente parcial de seguridad del material.

$$\gamma_{M0} : 1.05$$

Resistencia a compresión (CTE DB SE-A, Artículo 6.2.5)

Se debe satisfacer:

$$\eta = \frac{N_{c,Ed}}{N_{c,Rd}} \leq 1$$

$$\eta : 0.345 \quad \checkmark$$

$$\eta = \frac{N_{c,Ed}}{N_{b,Rd}} \leq 1$$

$\eta :$ 0.728 ✓

El esfuerzo solicitante de cálculo pésimo se produce en el nudo N762, para la combinación de acciones $1.35 \cdot PP + 1.5 \cdot V(180^\circ)H4 + 0.75 \cdot N(EI)$.

$N_{c,Ed}$: Axil de compresión solicitante de cálculo pésimo.

$N_{c,Ed}$: 462.26 kN

La resistencia de cálculo a compresión **$N_{c,Rd}$** viene dada por:

$$N_{c,Rd} = A \cdot f_{yd}$$

$N_{c,Rd}$: 1340.71 kN

Donde:

Clase: Clase de la sección, según la capacidad de deformación y de desarrollo de la resistencia plástica de los elementos planos comprimidos de una sección.

Clase : 1

A: Área de la sección bruta para las secciones de clase 1, 2 y 3.

A : 51.19 cm²

f_{yd} : Resistencia de cálculo del acero.

f_{yd} : 261.90 MPa

$$f_{yd} = f_y / \gamma_{M0}$$

Siendo:

f_y : Límite elástico. (CTE DB SE-A, Tabla 4.1)

f_y : 275.00 MPa

γ_{M0} : Coeficiente parcial de seguridad del material.

γ_{M0} : 1.05

Resistencia a pandeo: (CTE DB SE-A, Artículo 6.3.2)

La resistencia de cálculo a pandeo **$N_{b,Rd}$** en una barra comprimida viene dada por:

$$N_{b,Rd} = \chi \cdot A \cdot f_{yd}$$

$N_{b,Rd}$: 634.92 kN

Donde:

A: Área de la sección bruta para las secciones de clase 1, 2 y 3.

A : 51.19 cm²

f_{yd} : Resistencia de cálculo del acero.

f_{yd} : 261.90 MPa

$$f_{yd} = f_y / \gamma_{M1}$$

Siendo:

f_y : Límite elástico. (CTE DB SE-A, Tabla 4.1)

f_y : 275.00 MPa

γ_{M1} : Coeficiente parcial de seguridad del material.

γ_{M1} : 1.05

χ : Coeficiente de reducción por pandeo.

$$\chi = \frac{1}{\Phi + \sqrt{\Phi^2 - (\bar{\lambda})^2}} \leq 1$$

χ_y : 0.60

χ_z : 0.47

Siendo:

ϕ_y : 1.07

$$\Phi = 0.5 \cdot \left[1 + \alpha \cdot (\bar{\lambda} - 0.2) + (\bar{\lambda})^2 \right]$$

$$\phi_z : 1.35$$

α : Coeficiente de imperfección elástica.

$$\alpha_y : 0.49$$

$$\alpha_z : 0.49$$

$\bar{\lambda}$: Esbeltez reducida.

$$\bar{\lambda} = \sqrt{\frac{A \cdot f_y}{N_{cr}}}$$

$$\bar{\lambda}_y : 0.90$$

$$\bar{\lambda}_z : 1.12$$

N_{cr} : Axil crítico elástico de pandeo, obtenido como el menor de los siguientes valores:

$$N_{cr} : 1121.68 \text{ kN}$$

$N_{cr,y}$: Axil crítico elástico de pandeo por flexión respecto al eje Y.

$$N_{cr,y} : 1748.31 \text{ kN}$$

$N_{cr,z}$: Axil crítico elástico de pandeo por flexión respecto al eje Z.

$$N_{cr,z} : 1121.68 \text{ kN}$$

$N_{cr,T}$: Axil crítico elástico de pandeo por torsión.

$$N_{cr,T} : \infty$$

Resistencia a flexión eje Y (CTE DB SE-A, Artículo 6.2.6)

Se debe satisfacer:

$$\eta = \frac{M_{Ed}}{M_{c,Rd}} \leq 1$$

$$\eta : 0.063 \checkmark$$

Para flexión positiva:

El esfuerzo solicitante de cálculo pésimo se produce en el nudo N762, para la combinación de acciones 0.8·PP+1.5·V(270°)H1.

M_{Ed}^+ : Momento flector solicitante de cálculo pésimo.

$$M_{Ed}^+ : 1.63 \text{ kN}\cdot\text{m}$$

Para flexión negativa:

El esfuerzo solicitante de cálculo pésimo se produce en el nudo N762, para la combinación de acciones 1.35·PP+1.5·Q.

M_{Ed}^- : Momento flector solicitante de cálculo pésimo.

$$M_{Ed}^- : 5.63 \text{ kN}\cdot\text{m}$$

El momento flector resistente de cálculo $M_{c,Rd}$ viene dado por:

$$M_{c,Rd} = W_{pl,y} \cdot f_{yd}$$

$$M_{c,Rd} : 89.92 \text{ kN}\cdot\text{m}$$

Donde:

Clase: Clase de la sección, según la capacidad de deformación y de desarrollo de la resistencia plástica de los elementos planos de una sección a flexión simple.

$$\text{Clase} : 1$$

$W_{pl,y}$: Módulo resistente plástico correspondiente a la fibra con mayor tensión, para las secciones de clase 1 y 2.

$$W_{pl,y} : 343.32 \text{ cm}^3$$

f_{yd} : Resistencia de cálculo del acero.

$$f_{yd} : 261.90 \text{ MPa}$$

$$f_{yd} = f_y / \gamma_{M0}$$

Siendo:

f_y : Límite elástico. (CTE DB SE-A, Tabla 4.1)

$$f_y : 275.00 \text{ MPa}$$

γ_{M0} : Coeficiente parcial de seguridad del material.

$$\gamma_{M0} : 1.05$$

Resistencia a pandeo lateral: (CTE DB SE-A, Artículo 6.3.3.2)

No procede, dado que las longitudes de pandeo lateral son nulas.

Resistencia a flexión eje Z (CTE DB SE-A, Artículo 6.2.6)

Se debe satisfacer:

$$\eta = \frac{M_{Ed}}{M_{c,Rd}} \leq 1$$

η : **0.018** ✓

Para flexión positiva:

El esfuerzo solicitante de cálculo pésimo se produce en el nudo N762, para la combinación de acciones 1.35·PP+1.5·V(0°)H3+0.75·N(EI).

M_{Ed}^+ : Momento flector solicitante de cálculo pésimo.

M_{Ed}^+ : 1.29 kN·m

Para flexión negativa:

El esfuerzo solicitante de cálculo pésimo se produce en el nudo N762, para la combinación de acciones 0.8·PP+1.5·V(270°)H2.

M_{Ed}^- : Momento flector solicitante de cálculo pésimo.

M_{Ed}^- : 0.44 kN·m

El momento flector resistente de cálculo $M_{c,Rd}$ viene dado por:

$$M_{c,Rd} = W_{pl,z} \cdot f_{yd}$$

$M_{c,Rd}$: 73.89 kN·m

Donde:

Clase: Clase de la sección, según la capacidad de deformación y de desarrollo de la resistencia plástica de los elementos planos de una sección a flexión simple.

Clase : 1

$W_{pl,z}$: Módulo resistente plástico correspondiente a la fibra con mayor tensión, para las secciones de clase 1 y 2.

$W_{pl,z}$: 282.14 cm³

f_{yd} : Resistencia de cálculo del acero.

f_{yd} : 261.90 MPa

$$f_{yd} = f_y / \gamma_{M0}$$

Siendo:

f_y : Límite elástico. (CTE DB SE-A, Tabla 4.1)

f_y : 275.00 MPa

γ_{M0} : Coeficiente parcial de seguridad del material.

γ_{M0} : 1.05

Resistencia a corte Z (CTE DB SE-A, Artículo 6.2.4)

Se debe satisfacer:

$$\eta = \frac{V_{Ed}}{V_{c,Rd}} \leq 1$$

η : **0.006** ✓

El esfuerzo solicitante de cálculo pésimo se produce en el nudo N762, para la combinación de acciones 1.35·PP+1.5·Q.

V_{Ed} : Esfuerzo cortante solicitante de cálculo pésimo.

V_{Ed} : 2.64 kN

El esfuerzo cortante resistente de cálculo $V_{c,Rd}$ viene dado por:

$$V_{c,Rd} = A_v \cdot \frac{f_{yd}}{\sqrt{3}}$$

$$V_{c,Rd} : \underline{445.16 \text{ kN}}$$

Donde:

A_v : Área transversal a cortante.

$$A_v : \underline{29.44 \text{ cm}^2}$$

$$A_v = 2 \cdot d \cdot t_w$$

Siendo:

d : Altura del alma.

$$d : \underline{184.00 \text{ mm}}$$

t_w : Espesor del alma.

$$t_w : \underline{8.00 \text{ mm}}$$

f_{yd} : Resistencia de cálculo del acero.

$$f_{yd} : \underline{261.90 \text{ MPa}}$$

$$f_{yd} = f_y / \gamma_{M0}$$

Siendo:

f_y : Límite elástico. (CTE DB SE-A, Tabla 4.1)

$$f_y : \underline{275.00 \text{ MPa}}$$

γ_{M0} : Coeficiente parcial de seguridad del material.

$$\gamma_{M0} : \underline{1.05}$$

Abolladura por cortante del alma: (CTE DB SE-A, Artículo 6.3.3.4)

Aunque no se han dispuesto rigidizadores transversales, no es necesario comprobar la resistencia a la abolladura del alma, puesto que se cumple:

$$\frac{d}{t_w} < 70 \cdot \varepsilon$$

$$23.00 < 64.71$$



Donde:

λ_w : Esbeltez del alma.

$$\lambda_w : \underline{23.00}$$

$$\lambda_w = \frac{d}{t_w}$$

$\lambda_{m\acute{a}x}$: Esbeltez máxima.

$$\lambda_{m\acute{a}x} : \underline{64.71}$$

ε : Factor de reducción.

$$\varepsilon : \underline{0.92}$$

$$\varepsilon = \sqrt{\frac{f_{ref}}{f_y}}$$

Siendo:

f_{ref} : Límite elástico de referencia.

$$f_{ref} : \underline{235.00 \text{ MPa}}$$

f_y : Límite elástico. (CTE DB SE-A, Tabla 4.1)

$$f_y : \underline{275.00 \text{ MPa}}$$

Resistencia a corte Y (CTE DB SE-A, Artículo 6.2.4)

Se debe satisfacer:

$$\eta = \frac{V_{Ed}}{V_{c,Rd}} \leq 1$$

$$\eta : \underline{0.001}$$



El esfuerzo solicitante de cálculo pésimo se produce para la combinación de acciones $1.35 \cdot PP + 1.5 \cdot V(0^\circ)H3 + 0.75 \cdot N(EI)$.

V_{Ed} : Esfuerzo cortante solicitante de cálculo pésimo.

V_{Ed} : 0.44 kN

El esfuerzo cortante resistente de cálculo $V_{c,Rd}$ viene dado por:

$$V_{c,Rd} = A_v \cdot \frac{f_{yd}}{\sqrt{3}}$$

$V_{c,Rd}$: 328.90 kN

Donde:

A_v : Área transversal a cortante.

A_v : 21.75 cm²

$$A_v = A - 2 \cdot d \cdot t_w$$

Siendo:

A : Área de la sección bruta.

A : 51.19 cm²

d : Altura del alma.

d : 184.00 mm

t_w : Espesor del alma.

t_w : 8.00 mm

f_{yd} : Resistencia de cálculo del acero.

f_{yd} : 261.90 MPa

$$f_{yd} = f_y / \gamma_{M0}$$

Siendo:

f_y : Límite elástico. (CTE DB SE-A, Tabla 4.1)

f_y : 275.00 MPa

γ_{M0} : Coeficiente parcial de seguridad del material.

γ_{M0} : 1.05

Abolladura por cortante del alma: (CTE DB SE-A, Artículo 6.3.3.4)

Aunque no se han dispuesto rigidizadores transversales, no es necesario comprobar la resistencia a la abolladura del alma, puesto que se cumple:

$$\frac{b}{t_f} < 70 \cdot \varepsilon$$

18.75 < 64.71



Donde:

λ_w : Esbeltez del alma.

λ_w : 18.75

$$\lambda_w = \frac{b}{t_f}$$

$\lambda_{m\acute{a}x}$: Esbeltez máxima.

$\lambda_{m\acute{a}x}$: 64.71

ε : Factor de reducción.

ε : 0.92

$$\varepsilon = \sqrt{\frac{f_{ref}}{f_y}}$$

Siendo:

f_{ref} : Límite elástico de referencia.

f_{ref} : 235.00 MPa

f_y : Límite elástico. (CTE DB SE-A, Tabla 4.1)

f_y : 275.00 MPa

Resistencia a momento flector Y y fuerza cortante Z combinados (CTE DB SE-A, Artículo 6.2.8)

No es necesario reducir la resistencia de cálculo a flexión, ya que el esfuerzo cortante solicitante de cálculo pésimo V_{Ed} no es superior al 50% de la resistencia de cálculo a cortante $V_{c,Rd}$.

$$V_{Ed} \leq \frac{V_{c,Rd}}{2}$$

$$2.64 \text{ kN} \leq 222.58 \text{ kN}$$



Los esfuerzos solicitantes de cálculo pésimos se producen para la combinación de acciones 1.35·PP+1.5·Q.

V_{Ed} : Esfuerzo cortante solicitante de cálculo pésimo.

$$V_{Ed} : 2.64 \text{ kN}$$

$V_{c,Rd}$: Esfuerzo cortante resistente de cálculo.

$$V_{c,Rd} : 445.16 \text{ kN}$$

Resistencia a momento flector Z y fuerza cortante Y combinados (CTE DB SE-A, Artículo 6.2.8)

No es necesario reducir la resistencia de cálculo a flexión, ya que el esfuerzo cortante solicitante de cálculo pésimo V_{Ed} no es superior al 50% de la resistencia de cálculo a cortante $V_{c,Rd}$.

$$V_{Ed} \leq \frac{V_{c,Rd}}{2}$$

$$0.44 \text{ kN} \leq 164.45 \text{ kN}$$



Los esfuerzos solicitantes de cálculo pésimos se producen para la combinación de acciones 1.35·PP+1.5·V(0°)H3+0.75·N(EI).

V_{Ed} : Esfuerzo cortante solicitante de cálculo pésimo.

$$V_{Ed} : 0.44 \text{ kN}$$

$V_{c,Rd}$: Esfuerzo cortante resistente de cálculo.

$$V_{c,Rd} : 328.90 \text{ kN}$$

Resistencia a flexión y axil combinados (CTE DB SE-A, Artículo 6.2.8)

Se debe satisfacer:

$$\eta = \frac{N_{c,Ed}}{N_{pl,Rd}} + \frac{M_{y,Ed}}{M_{pl,Rd,y}} + \frac{M_{z,Ed}}{M_{pl,Rd,z}} \leq 1$$

$$\eta : 0.415$$



$$\eta = \frac{N_{c,Ed}}{\chi_y \cdot A \cdot f_{yd}} + k_y \cdot \frac{C_{m,y} \cdot M_{y,Ed}}{\chi_{LT} \cdot W_{pl,y} \cdot f_{yd}} + \alpha_z \cdot k_z \cdot \frac{C_{m,z} \cdot M_{z,Ed}}{W_{pl,z} \cdot f_{yd}} \leq 1$$

$$\eta : 0.666$$



$$\eta = \frac{N_{c,Ed}}{\chi_z \cdot A \cdot f_{yd}} + \alpha_y \cdot k_y \cdot \frac{C_{m,y} \cdot M_{y,Ed}}{W_{pl,y} \cdot f_{yd}} + k_z \cdot \frac{C_{m,z} \cdot M_{z,Ed}}{W_{pl,z} \cdot f_{yd}} \leq 1$$

$$\eta : 0.796$$



Los esfuerzos solicitantes de cálculo pésimos se producen en el nudo N762, para la combinación de acciones $1.35 \cdot PP + 1.5 \cdot V(180^\circ)H4 + 0.75 \cdot N(EI)$.

Donde:

$N_{c,Ed}$: Axil de compresión solicitante de cálculo pésimo.	$N_{c,Ed}$: $\frac{462.26}{kN}$
$M_{y,Ed}$, $M_{z,Ed}$: Momentos flectores solicitantes de cálculo pésimos, según los ejes Y y Z, respectivamente.	$M_{y,Ed}$: $\frac{5.28}{kN \cdot m}$
	$M_{z,Ed}$: $\frac{0.86}{kN \cdot m}$
	Clase : $\frac{1}{}$

Clase: Clase de la sección, según la capacidad de deformación y de desarrollo de la resistencia plástica de sus elementos planos, para axil y flexión simple.

$N_{pl,Rd}$: Resistencia a compresión de la sección bruta.

$$N_{pl,Rd} : \frac{1340.71}{kN}$$

$M_{pl,Rd,y}$, $M_{pl,Rd,z}$: Resistencia a flexión de la sección bruta en condiciones plásticas, respecto a los ejes Y y Z, respectivamente.

$$M_{pl,Rd,y} : \frac{89.92}{kN \cdot m}$$

$$M_{pl,Rd,z} : \frac{73.89}{kN \cdot m}$$

Resistencia a pandeo: (CTE DB SE-A, Artículo 6.3.4.2)

A: Área de la sección bruta.

$$A : \frac{51.19}{cm^2}$$

$W_{pl,y}$, $W_{pl,z}$: Módulos resistentes plásticos correspondientes a la fibra comprimida, alrededor de los ejes Y y Z, respectivamente.

$$W_{pl,y} : \frac{343.32}{cm^3}$$

$$W_{pl,z} : \frac{282.14}{cm^3}$$

f_{yd} : Resistencia de cálculo del acero.

$$f_{yd} : \frac{261.90}{MPa}$$

$$f_{yd} = f_y / \gamma_{M1}$$

Siendo:

f_y : Límite elástico. (CTE DB SE-A, Tabla 4.1)

$$f_y : \frac{275.00}{MPa}$$

γ_{M1} : Coeficiente parcial de seguridad del material.

$$\gamma_{M1} : \frac{1.05}{}$$

k_y , k_z : Coeficientes de interacción.

$$k_y = 1 + (\bar{\lambda}_y - 0.2) \cdot \frac{N_{c,Ed}}{\chi_y \cdot N_{c,Rd}}$$

$$k_y : \frac{1.40}{}$$

$$k_z = 1 + (\bar{\lambda}_z - 0.2) \cdot \frac{N_{c,Ed}}{\chi_z \cdot N_{c,Rd}}$$

$$k_z : \frac{1.58}{}$$

$C_{m,y}$, $C_{m,z}$: Factores de momento flector uniforme equivalente.

$$C_{m,y} : \frac{1.00}{}$$

$$C_{m,z} : \frac{1.00}{}$$

χ_y , χ_z : Coeficientes de reducción por pandeo, alrededor de los ejes Y y Z, respectivamente.

$$\chi_y : \frac{0.60}{}$$

$$\chi_z : \frac{0.47}{}$$

$\bar{\lambda}_y$, $\bar{\lambda}_z$: Esbelteces reducidas con valores no mayores que 1.00, en relación a los ejes Y y Z, respectivamente.

$$\bar{\lambda}_y : \frac{0.90}{}$$

$$\bar{\lambda}_z : \frac{1.12}{}$$

α_y , α_z : Factores dependientes de la clase de la sección.

$$\alpha_y : \frac{0.60}{}$$

$$\alpha_z : \frac{0.60}{}$$

Resistencia a flexión, axil y cortante combinados (CTE DB SE-A, Artículo 6.2.8)

No es necesario reducir las resistencias de cálculo a flexión y a axil, ya que se puede ignorar el efecto de abolladura por esfuerzo cortante y, además, el esfuerzo cortante solicitante de cálculo pésimo V_{Ed} es menor o igual que el 50% del esfuerzo cortante resistente de cálculo $V_{c,Rd}$.

Los esfuerzos solicitantes de cálculo p_{ésimo} se producen para la combinación de acciones 1.35·PP+1.5·Q.

$$V_{Ed,z} \leq \frac{V_{c,Rd,z}}{2}$$

$$2.64 \text{ kN} \leq 222.18 \text{ kN}$$



Donde:

$V_{Ed,z}$: Esfuerzo cortante solicitante de cálculo p_{ésimo}.

$$V_{Ed,z} : \frac{2.64}{\text{kN}}$$

$V_{c,Rd,z}$: Esfuerzo cortante resistente de cálculo.

$$V_{c,Rd,z} : \frac{444.37}{\text{kN}}$$

Resistencia a torsión (CTE DB SE-A, Artículo 6.2.7)

Se debe satisfacer:

$$\eta = \frac{M_{T,Ed}}{M_{T,Rd}} \leq 1$$

$$\eta : \underline{0.003}$$



El esfuerzo solicitante de cálculo p_{ésimo} se produce para la combinación de acciones 1.35·PP+1.5·V(90°)H2.

$M_{T,Ed}$: Momento torsor solicitante de cálculo p_{ésimo}.

$$M_{T,Ed} : \underline{0.23} \text{ kN}\cdot\text{m}$$

El momento torsor resistente de cálculo $M_{T,Rd}$ viene dado por:

$$M_{T,Rd} = \frac{1}{\sqrt{3}} \cdot W_T \cdot f_{yd}$$

$$M_{T,Rd} : \underline{65.96} \text{ kN}\cdot\text{m}$$

Donde:

W_T : Módulo de resistencia a torsión.

$$W_T : \underline{436.22} \text{ cm}^3$$

f_{yd} : Resistencia de cálculo del acero.

$$f_{yd} : \underline{261.90} \text{ MPa}$$

$$f_{yd} = f_y / \gamma_{M0}$$

Siendo:

f_y : Límite elástico. (CTE DB SE-A, Tabla 4.1)

$$f_y : \underline{275.00} \text{ MPa}$$

γ_{M0} : Coeficiente parcial de seguridad del material.

$$\gamma_{M0} : \underline{1.05}$$

Resistencia a cortante Z y momento torsor combinados (CTE DB SE-A, Artículo 6.2.8)

Se debe satisfacer:

$$\eta = \frac{V_{Ed}}{V_{pl,T,Rd}} \leq 1$$

$$\eta : \underline{0.006}$$



Los esfuerzos solicitantes de cálculo p_{ésimo} se producen en el nudo N762, para la combinación de acciones 1.35·PP+1.5·Q.

V_{Ed} : Esfuerzo cortante solicitante de cálculo p_{ésimo}.

$$V_{Ed} : \underline{2.64} \text{ kN}$$

$M_{T,Ed}$: Momento torsor solicitante de cálculo p_{ésimo}.

$$M_{T,Ed} : \underline{0.12} \text{ kN}\cdot\text{m}$$

El esfuerzo cortante resistente de cálculo reducido $V_{pl,T,Rd}$ viene dado por:

$$V_{pl,T,Rd} = \left[1 - \frac{\tau_{T,Ed}}{f_{yd}/\sqrt{3}} \right] \cdot V_{pl,Rd}$$

$$V_{pl,T,Rd} : 444.37 \text{ kN}$$

Donde:

$V_{pl,Rd}$: Esfuerzo cortante resistente de cálculo.

$$V_{pl,Rd} : 445.16 \text{ kN}$$

$\tau_{T,Ed}$: Tensiones tangenciales por torsión.

$$\tau_{T,Ed} : 0.27 \text{ MPa}$$

$$\tau_{T,Ed} = \frac{M_{T,Ed}}{W_t}$$

Siendo:

W_T : Módulo de resistencia a torsión.

$$W_T : 436.22 \text{ cm}^3$$

f_{yd} : Resistencia de cálculo del acero.

$$f_{yd} : 261.90 \text{ MPa}$$

$$f_{yd} = f_y / \gamma_{M0}$$

Siendo:

f_y : Límite elástico. (CTE DB SE-A, Tabla 4.1)

$$f_y : 275.00 \text{ MPa}$$

γ_{M0} : Coeficiente parcial de seguridad del material.

$$\gamma_{M0} : 1.05$$

Resistencia a cortante Y y momento torsor combinados (CTE DB SE-A, Artículo 6.2.8)

Se debe satisfacer:

$$\eta = \frac{V_{Ed}}{V_{pl,T,Rd}} \leq 1$$

$$\eta : 0.001 \checkmark$$

Los esfuerzos solicitantes de cálculo pésimos se producen para la combinación de acciones $1.35 \cdot PP + 1.5 \cdot V(0^\circ)H3 + 0.75 \cdot N(EI)$.

V_{Ed} : Esfuerzo cortante solicitante de cálculo pésimo.

$$V_{Ed} : 0.44 \text{ kN}$$

$M_{T,Ed}$: Momento torsor solicitante de cálculo pésimo.

$$M_{T,Ed} : 0.05 \text{ kN} \cdot \text{m}$$

El esfuerzo cortante resistente de cálculo reducido $V_{pl,T,Rd}$ viene dado por:

$$V_{pl,T,Rd} = \left[1 - \frac{\tau_{T,Ed}}{f_{yd}/\sqrt{3}} \right] \cdot V_{pl,Rd}$$

$$V_{pl,T,Rd} : 328.66 \text{ kN}$$

Donde:

$V_{pl,Rd}$: Esfuerzo cortante resistente de cálculo.

$$V_{pl,Rd} : 328.90 \text{ kN}$$

$\tau_{T,Ed}$: Tensiones tangenciales por torsión.

$$\tau_{T,Ed} : 0.11 \text{ MPa}$$

$$\tau_{T,Ed} = \frac{M_{T,Ed}}{W_t}$$

Siendo:

W_T : Módulo de resistencia a torsión.

$$W_T : 436.22 \text{ cm}^3$$

f_{yd} : Resistencia de cálculo del acero.

$$f_{yd} : 261.90 \text{ MPa}$$

$$f_{yd} = f_y / \gamma_{M0}$$

$$N_{cr,z} = \frac{\pi^2 \cdot E \cdot I_z}{L_{kz}^2}$$

c) Axil crítico elástico de pandeo por torsión.

$$N_{cr,T} : \infty$$

$$N_{cr,T} = \frac{1}{i_0^2} \cdot \left[G \cdot I_t + \frac{\pi^2 \cdot E \cdot I_w}{L_{kt}^2} \right]$$

Donde:

I_y: Momento de inercia de la sección bruta, respecto al eje Y.

$$I_y : 2063.23 \text{ cm}^4$$

I_z: Momento de inercia de la sección bruta, respecto al eje Z.

$$I_z : 1399.16 \text{ cm}^4$$

I_t: Momento de inercia a torsión uniforme.

$$I_t : 2792.08 \text{ cm}^4$$

I_w: Constante de alabeo de la sección.

$$I_w : 0.00 \text{ cm}^6$$

E: Módulo de elasticidad.

$$E : 210000 \text{ MPa}$$

G: Módulo de elasticidad transversal.

$$G : 81000 \text{ MPa}$$

L_{ky}: Longitud efectiva de pandeo por flexión, respecto al eje Y.

$$L_{ky} : 3.562 \text{ m}$$

L_{kz}: Longitud efectiva de pandeo por flexión, respecto al eje Z.

$$L_{kz} : 3.562 \text{ m}$$

L_{kt}: Longitud efectiva de pandeo por torsión.

$$L_{kt} : 0.000 \text{ m}$$

i₀: Radio de giro polar de la sección bruta, respecto al centro de torsión.

$$i_0 : 8.64 \text{ cm}$$

$$i_0 = \left(i_y^2 + i_z^2 + y_0^2 + z_0^2 \right)^{0.5}$$

Siendo:

i_y, i_z: Radios de giro de la sección bruta, respecto a los ejes principales de inercia Y y Z.

$$i_y : 6.67 \text{ cm}$$

$$i_z : 5.49 \text{ cm}$$

y₀, z₀: Coordenadas del centro de torsión en la dirección de los ejes principales Y y Z, respectivamente, relativas al centro de gravedad de la sección.

$$y_0 : 0.00 \text{ mm}$$

$$z_0 : 0.00 \text{ mm}$$

Abolladura del alma inducida por el ala comprimida (Criterio de CYPE Ingenieros, basado en: Eurocódigo 3 EN 1993-1-5: 2006, Artículo 8)

Se debe satisfacer:

$$\frac{h_w}{t_w} \leq k \frac{E}{f_{yf}} \sqrt{\frac{A_w}{A_{fc,ef}}}$$

$$20.50 \leq 350.66 \checkmark$$

Donde:

h_w: Altura del alma.

$$h_w : 164.00 \text{ mm}$$

t_w: Espesor del alma.

$$t_w : 8.00 \text{ mm}$$

A_w: Área del alma.

$$A_w : 26.24 \text{ cm}^2$$

A_{fc,ef}: Área reducida del ala comprimida.

$$A_{fc,ef} : 11.20 \text{ cm}^2$$

k: Coeficiente que depende de la clase de la sección.

$$k : 0.30$$

E: Módulo de elasticidad.

$$E : 210000 \text{ MPa}$$

f_{yf}: Límite elástico del acero del ala comprimida.

$$f_{yf} : 275.00 \text{ MPa}$$

Siendo:

$$f_{yf} = f_y$$

Resistencia a tracción (CTE DB SE-A, Artículo 6.2.3)

Se debe satisfacer:

$$\eta = \frac{N_{t,Ed}}{N_{t,Rd}} \leq 1$$

$$\eta : \underline{0.201} \quad \checkmark$$

El esfuerzo solicitante de cálculo pésimo se produce en el nudo N750, para la combinación de acciones 0.8·PP+1.5·V(0°)H3.

N_{t,Ed}: Axil de tracción solicitante de cálculo pésimo.

$$\mathbf{N_{t,Ed}} : \underline{244.52} \text{ kN}$$

La resistencia de cálculo a tracción **N_{t,Rd}** viene dada por:

$$\mathbf{N_{t,Rd}} = A \cdot f_{yd}$$

$$\mathbf{N_{t,Rd}} : \underline{1215.00} \text{ kN}$$

Donde:

A: Área bruta de la sección transversal de la barra.

$$\mathbf{A} : \underline{46.39} \text{ cm}^2$$

f_{yd}: Resistencia de cálculo del acero.

$$\mathbf{f_{yd}} : \underline{261.90} \text{ MPa}$$

$$f_{yd} = f_y / \gamma_{M0}$$

Siendo:

f_y: Límite elástico. (CTE DB SE-A, Tabla 4.1)

$$\mathbf{f_y} : \underline{275.00} \text{ MPa}$$

γ_{M0}: Coeficiente parcial de seguridad del material.

$$\mathbf{\gamma_{M0}} : \underline{1.05}$$

Resistencia a compresión (CTE DB SE-A, Artículo 6.2.5)

Se debe satisfacer:

$$\eta = \frac{N_{c,Ed}}{N_{c,Rd}} \leq 1$$

$$\eta : \underline{0.266} \quad \checkmark$$

$$\eta = \frac{N_{c,Ed}}{N_{b,Rd}} \leq 1$$

$$\eta : \underline{0.383} \quad \checkmark$$

El esfuerzo solicitante de cálculo pésimo se produce en el nudo N1088, para la combinación de acciones 1.35·PP+1.5·V(270°)H2+0.75·N(R)1.

N_{c,Ed}: Axil de compresión solicitante de cálculo pésimo.

$$\mathbf{N_{c,Ed}} : \underline{323.61} \text{ kN}$$

La resistencia de cálculo a compresión **N_{c,Rd}** viene dada por:

$$N_{c,Rd} = A \cdot f_{yd}$$

$$N_{c,Rd} : 1215.00 \text{ kN}$$

Donde:

Clase: Clase de la sección, según la capacidad de deformación y de desarrollo de la resistencia plástica de los elementos planos comprimidos de una sección.

$$\text{Clase} : 1$$

A: Área de la sección bruta para las secciones de clase 1, 2 y 3.

$$A : 46.39 \text{ cm}^2$$

f_{yd}: Resistencia de cálculo del acero.

$$f_{yd} : 261.90 \text{ MPa}$$

$$f_{yd} = f_y / \gamma_{M0}$$

Siendo:

f_y: Límite elástico. (CTE DB SE-A, Tabla 4.1)

$$f_y : 275.00 \text{ MPa}$$

γ_{M0}: Coeficiente parcial de seguridad del material.

$$\gamma_{M0} : 1.05$$

Resistencia a pandeo: (CTE DB SE-A, Artículo 6.3.2)

La resistencia de cálculo a pandeo **N_{b,Rd}** en una barra comprimida viene dada por:

$$N_{b,Rd} = \chi \cdot A \cdot f_{yd}$$

$$N_{b,Rd} : 844.91 \text{ kN}$$

Donde:

A: Área de la sección bruta para las secciones de clase 1, 2 y 3.

$$A : 46.39 \text{ cm}^2$$

f_{yd}: Resistencia de cálculo del acero.

$$f_{yd} : 261.90 \text{ MPa}$$

$$f_{yd} = f_y / \gamma_{M1}$$

Siendo:

f_y: Límite elástico. (CTE DB SE-A, Tabla 4.1)

$$f_y : 275.00 \text{ MPa}$$

γ_{M1}: Coeficiente parcial de seguridad del material.

$$\gamma_{M1} : 1.05$$

χ: Coeficiente de reducción por pandeo.

$$\chi = \frac{1}{\Phi + \sqrt{\Phi^2 - (\bar{\lambda})^2}} \leq 1$$

$$\chi_y : 0.78$$

$$\chi_z : 0.70$$

Siendo:

$$\Phi = 0.5 \cdot \left[1 + \alpha \cdot (\bar{\lambda} - 0.2) + (\bar{\lambda})^2 \right]$$

$$\phi_y : 0.79$$

$$\phi_z : 0.91$$

α: Coeficiente de imperfección elástica.

$$\alpha_y : 0.49$$

$$\alpha_z : 0.49$$

λ̄: Esbeltez reducida.

$$\bar{\lambda} = \sqrt{\frac{A \cdot f_y}{N_{cr}}}$$

$$\bar{\lambda}_y : 0.62$$

$$\bar{\lambda}_z : 0.75$$

N_{cr}: Axil crítico elástico de pandeo, obtenido como el menor de los siguientes valores:

$$N_{cr} : 2286.10 \text{ kN}$$

N_{cr,y}: Axil crítico elástico de pandeo por flexión respecto al eje Y.

$$N_{cr,y} : 3371.13 \text{ kN}$$

$N_{cr,z}$: Axil crítico elástico de pandeo por flexión respecto al eje Z.

$N_{cr,z}$: 2286.10 kN

$N_{cr,T}$: Axil crítico elástico de pandeo por torsión.

$N_{cr,T}$: ∞

Resistencia a flexión eje Y (CTE DB SE-A, Artículo 6.2.6)

Se debe satisfacer:

$$\eta = \frac{M_{Ed}}{M_{c,Rd}} \leq 1$$

η : 0.383 ✓

Para flexión positiva:

El esfuerzo solicitante de cálculo pésimo se produce en el nudo N1088, para la combinación de acciones 0.8·PP+1.5·V(0°)H2.

M_{Ed}^+ : Momento flector solicitante de cálculo pésimo.

M_{Ed}^+ : 19.53 kN·m

Para flexión negativa:

El esfuerzo solicitante de cálculo pésimo se produce en el nudo N1088, para la combinación de acciones 1.35·PP+1.5·V(270°)H1+0.75·N(EI).

M_{Ed}^- : Momento flector solicitante de cálculo pésimo.

M_{Ed}^- : 28.11 kN·m

El momento flector resistente de cálculo $M_{c,Rd}$ viene dado por:

$$M_{c,Rd} = W_{pl,y} \cdot f_{yd}$$

$M_{c,Rd}$: 73.33 kN·m

Donde:

Clase: Clase de la sección, según la capacidad de deformación y de desarrollo de la resistencia plástica de los elementos planos de una sección a flexión simple.

Clase : 1

$W_{pl,y}$: Módulo resistente plástico correspondiente a la fibra con mayor tensión, para las secciones de clase 1 y 2.

$W_{pl,y}$: 279.97 cm³

f_{yd} : Resistencia de cálculo del acero.

f_{yd} : 261.90 MPa

$$f_{yd} = f_y / \gamma_{M0}$$

Siendo:

f_y : Límite elástico. (CTE DB SE-A, Tabla 4.1)

f_y : 275.00 MPa

γ_{M0} : Coeficiente parcial de seguridad del material.

γ_{M0} : 1.05

Resistencia a pandeo lateral: (CTE DB SE-A, Artículo 6.3.3.2)

No procede, dado que las longitudes de pandeo lateral son nulas.

Resistencia a flexión eje Z (CTE DB SE-A, Artículo 6.2.6)

Se debe satisfacer:

$$\eta = \frac{M_{Ed}}{M_{c,Rd}} \leq 1$$

η : 0.030 ✓

Para flexión positiva:

El esfuerzo solicitante de cálculo pésimo se produce en el nudo N1088, para la combinación de acciones $0.8 \cdot PP + 1.5 \cdot V(0^\circ)H3 + 0.75 \cdot N(R)2$.

M_{Ed}^+ : Momento flector solicitante de cálculo pésimo.

$M_{Ed}^+ : 1.37 \text{ kN}\cdot\text{m}$

Para flexión negativa:

El esfuerzo solicitante de cálculo pésimo se produce en el nudo N1088, para la combinación de acciones $1.35 \cdot PP + 1.5 \cdot V(270^\circ)H2$.

M_{Ed}^- : Momento flector solicitante de cálculo pésimo.

$M_{Ed}^- : 1.83 \text{ kN}\cdot\text{m}$

El momento flector resistente de cálculo $M_{c,Rd}$ viene dado por:

$$M_{c,Rd} = W_{pl,z} \cdot f_{yd}$$

$M_{c,Rd} : 61.76 \text{ kN}\cdot\text{m}$

Donde:

Clase: Clase de la sección, según la capacidad de deformación y de desarrollo de la resistencia plástica de los elementos planos de una sección a flexión simple.

Clase : 1

$W_{pl,z}$: Módulo resistente plástico correspondiente a la fibra con mayor tensión, para las secciones de clase 1 y 2.

$W_{pl,z} : 235.83 \text{ cm}^3$

f_{yd} : Resistencia de cálculo del acero.

$f_{yd} : 261.90 \text{ MPa}$

$$f_{yd} = f_y / \gamma_{M0}$$

Siendo:

f_y : Límite elástico. (CTE DB SE-A, Tabla 4.1)

$f_y : 275.00 \text{ MPa}$

γ_{M0} : Coeficiente parcial de seguridad del material.

$\gamma_{M0} : 1.05$

Resistencia a corte Z (CTE DB SE-A, Artículo 6.2.4)

Se debe satisfacer:

$$\eta = \frac{V_{Ed}}{V_{c,Rd}} \leq 1$$

$\eta : 0.084 \checkmark$

El esfuerzo solicitante de cálculo pésimo se produce en el nudo N1088, para la combinación de acciones $1.35 \cdot PP + 1.5 \cdot V(270^\circ)H1 + 0.75 \cdot N(EI)$.

V_{Ed} : Esfuerzo cortante solicitante de cálculo pésimo.

$V_{Ed} : 33.16 \text{ kN}$

El esfuerzo cortante resistente de cálculo $V_{c,Rd}$ viene dado por:

$$V_{c,Rd} = A_v \cdot \frac{f_{yd}}{\sqrt{3}}$$

$V_{c,Rd} : 396.78 \text{ kN}$

Donde:

A_v : Área transversal a cortante.

$A_v : 26.24 \text{ cm}^2$

$$A_v = 2 \cdot d \cdot t_w$$

Siendo:

d : Altura del alma.

$d : 164.00 \text{ mm}$

t_w : Espesor del alma.

$t_w : 8.00 \text{ mm}$

f_{yd} : Resistencia de cálculo del acero.

$f_{yd} : 261.90 \text{ MPa}$

$$f_{yd} = f_y / \gamma_{M0}$$

Siendo:

f_y : Límite elástico. (CTE DB SE-A, Tabla 4.1)

f_y : 275.00 MPa

γ_{M0} : Coeficiente parcial de seguridad del material.

γ_{M0} : 1.05

Abolladura por cortante del alma: (CTE DB SE-A, Artículo 6.3.3.4)

Aunque no se han dispuesto rigidizadores transversales, no es necesario comprobar la resistencia a la abolladura del alma, puesto que se cumple:

$$\frac{d}{t_w} < 70 \cdot \varepsilon$$

$$20.50 < 64.71$$



Donde:

λ_w : Esbeltez del alma.

λ_w : 20.50

$$\lambda_w = \frac{d}{t_w}$$

$\lambda_{m\acute{a}x}$: Esbeltez máxima.

$\lambda_{m\acute{a}x}$: 64.71

ε : Factor de reducción.

ε : 0.92

$$\varepsilon = \sqrt{\frac{f_{ref}}{f_y}}$$

Siendo:

f_{ref} : Límite elástico de referencia.

f_{ref} : 235.00 MPa

f_y : Límite elástico. (CTE DB SE-A, Tabla 4.1)

f_y : 275.00 MPa

Resistencia a corte Y (CTE DB SE-A, Artículo 6.2.4)

Se debe satisfacer:

$$\eta = \frac{V_{Ed}}{V_{c,Rd}} \leq 1$$

$$\eta : \underline{0.002} \quad \checkmark$$

El esfuerzo solicitante de cálculo pésimo se produce para la combinación de acciones 1.35·PP+1.5·V(270°)H2+0.75·N(R)1.

V_{Ed} : Esfuerzo cortante solicitante de cálculo pésimo.

V_{Ed} : 0.60 kN

El esfuerzo cortante resistente de cálculo $V_{c,Rd}$ viene dado por:

$$V_{c,Rd} = A_v \cdot \frac{f_{yd}}{\sqrt{3}}$$

$V_{c,Rd}$: 304.70 kN

Donde:

A_v : Área transversal a cortante.

A_v : 20.15 cm²

$$A_v = A - 2 \cdot d \cdot t_w$$

Siendo:

A: Área de la sección bruta.

$$A : 46.39 \text{ cm}^2$$

d: Altura del alma.

$$d : 164.00 \text{ mm}$$

t_w: Espesor del alma.

$$t_w : 8.00 \text{ mm}$$

f_{yd}: Resistencia de cálculo del acero.

$$f_{yd} : 261.90 \text{ MPa}$$

$$f_{yd} = f_y / \gamma_{M0}$$

Siendo:

f_y: Límite elástico. (CTE DB SE-A, Tabla 4.1)

$$f_y : 275.00 \text{ MPa}$$

γ_{M0}: Coeficiente parcial de seguridad del material.

$$\gamma_{M0} : 1.05$$

Abolladura por cortante del alma: (CTE DB SE-A, Artículo 6.3.3.4)

Aunque no se han dispuesto rigidizadores transversales, no es necesario comprobar la resistencia a la abolladura del alma, puesto que se cumple:

$$\frac{b}{t_f} < 70 \cdot \varepsilon$$

$$17.50 < 64.71$$



Donde:

λ_w: Esbeltez del alma.

$$\lambda_w : 17.50$$

$$\lambda_w = \frac{b}{t_f}$$

λ_{máx}: Esbeltez máxima.

$$\lambda_{máx} : 64.71$$

ε: Factor de reducción.

$$\varepsilon : 0.92$$

$$\varepsilon = \sqrt{\frac{f_{ref}}{f_y}}$$

Siendo:

f_{ref}: Límite elástico de referencia.

$$f_{ref} : 235.00 \text{ MPa}$$

f_y: Límite elástico. (CTE DB SE-A, Tabla 4.1)

$$f_y : 275.00 \text{ MPa}$$

Resistencia a momento flector Y y fuerza cortante Z combinados (CTE DB SE-A, Artículo 6.2.8)

No es necesario reducir la resistencia de cálculo a flexión, ya que el esfuerzo cortante solicitante de cálculo pésimo **V_{Ed}** no es superior al 50% de la resistencia de cálculo a cortante **V_{c,Rd}**.

$$V_{Ed} \leq \frac{V_{c,Rd}}{2}$$

$$33.16 \text{ kN} \leq 198.39 \text{ kN}$$



Los esfuerzos solicitantes de cálculo p_{simos} se producen para la combinación de acciones
1.35·PP+1.5·V(270°)H1+0.75·N(EI).

V_{Ed}: Esfuerzo cortante solicitante de cálculo p_{simos}. **V_{Ed}** : 33.16 kN

V_{c,Rd}: Esfuerzo cortante resistente de cálculo. **V_{c,Rd}** : 396.78 kN

Resistencia a momento flector Z y fuerza cortante Y combinados (CTE DB SE-A, Artículo 6.2.8)

No es necesario reducir la resistencia de cálculo a flexión, ya que el esfuerzo cortante solicitante de cálculo p_{simos} **V_{Ed}** no es superior al 50% de la resistencia de cálculo a cortante **V_{c,Rd}**.

$$V_{Ed} \leq \frac{V_{c,Rd}}{2}$$

0.60 kN ≤ 152.35 kN ✓

Los esfuerzos solicitantes de cálculo p_{simos} se producen para la combinación de acciones 1.35·PP+1.5·V(270°)H2+0.75·N(R)1.

V_{Ed}: Esfuerzo cortante solicitante de cálculo p_{simos}. **V_{Ed}** : 0.60 kN

V_{c,Rd}: Esfuerzo cortante resistente de cálculo. **V_{c,Rd}** : 304.70 kN

Resistencia a flexión y axil combinados (CTE DB SE-A, Artículo 6.2.8)

Se debe satisfacer:

$$\eta = \frac{N_{c,Ed}}{N_{pl,Rd}} + \frac{M_{y,Ed}}{M_{pl,Rd,y}} + \frac{M_{z,Ed}}{M_{pl,Rd,z}} \leq 1$$

η : 0.464 ✓

$$\eta = \frac{N_{c,Ed}}{\chi_y \cdot A \cdot f_{yd}} + k_y \cdot \frac{c_{m,y} \cdot M_{y,Ed}}{\chi_{LT} \cdot W_{pl,y} \cdot f_{yd}} + \alpha_z \cdot k_z \cdot \frac{c_{m,z} \cdot M_{z,Ed}}{W_{pl,z} \cdot f_{yd}} \leq 1$$

η : 0.557 ✓

$$\eta = \frac{N_{c,Ed}}{\chi_z \cdot A \cdot f_{yd}} + \alpha_y \cdot k_y \cdot \frac{c_{m,y} \cdot M_{y,Ed}}{W_{pl,y} \cdot f_{yd}} + k_z \cdot \frac{c_{m,z} \cdot M_{z,Ed}}{W_{pl,z} \cdot f_{yd}} \leq 1$$

η : 0.534 ✓

Los esfuerzos solicitantes de cálculo p_{simos} se producen en el nudo N1088, para la combinación de acciones
1.35·PP+1.5·V(270°)H2+0.75·N(EI).

Donde:

N_{c,Ed}: Axil de compresión solicitante de cálculo p_{simos}. **N_{c,Ed}** : 323.47 kN
M_{y,Ed}, M_{z,Ed}: Momentos flectores solicitantes de cálculo p_{simos}, según los ejes Y y Z, respectivamente. **M_{y,Ed}** : 12.38 kN·m
M_{z,Ed} : 1.80 kN·m
Clase: Clase de la sección, según la capacidad de deformación y de desarrollo de la resistencia plástica de sus elementos planos, para axil y flexión simple. **Clase** : 1

$N_{pl,Rd}$: Resistencia a compresión de la sección bruta.

$$N_{pl,Rd} : 1215.00 \text{ kN}$$

$M_{pl,Rd,y}$, $M_{pl,Rd,z}$: Resistencia a flexión de la sección bruta en condiciones plásticas, respecto a los ejes Y y Z, respectivamente.

$$M_{pl,Rd,y} : 73.33 \text{ kN}\cdot\text{m}$$

$$M_{pl,Rd,z} : 61.76 \text{ kN}\cdot\text{m}$$

Resistencia a pandeo: (CTE DB SE-A, Artículo 6.3.4.2)

A : Área de la sección bruta.

$$A : 46.39 \text{ cm}^2$$

$W_{pl,y}$, $W_{pl,z}$: Módulos resistentes plásticos correspondientes a la fibra comprimida, alrededor de los ejes Y y Z, respectivamente.

$$W_{pl,y} : 279.97 \text{ cm}^3$$

$$W_{pl,z} : 235.83 \text{ cm}^3$$

f_{yd} : Resistencia de cálculo del acero.

$$f_{yd} : 261.90 \text{ MPa}$$

$$f_{yd} = f_y / \gamma_{M1}$$

Siendo:

f_y : Límite elástico. (CTE DB SE-A, Tabla 4.1)

$$f_y : 275.00 \text{ MPa}$$

γ_{M1} : Coeficiente parcial de seguridad del material.

$$\gamma_{M1} : 1.05$$

k_y , k_z : Coeficientes de interacción.

$$k_y = 1 + (\bar{\lambda}_y - 0.2) \cdot \frac{N_{c,Ed}}{\chi_y \cdot N_{c,Rd}}$$

$$k_y : 1.14$$

$$k_z = 1 + (\bar{\lambda}_z - 0.2) \cdot \frac{N_{c,Ed}}{\chi_z \cdot N_{c,Rd}}$$

$$k_z : 1.21$$

$C_{m,y}$, $C_{m,z}$: Factores de momento flector uniforme equivalente.

$$C_{m,y} : 1.00$$

$$C_{m,z} : 1.00$$

χ_y , χ_z : Coeficientes de reducción por pandeo, alrededor de los ejes Y y Z, respectivamente.

$$\chi_y : 0.78$$

$$\chi_z : 0.70$$

$\bar{\lambda}_y$, $\bar{\lambda}_z$: Esbelteces reducidas con valores no mayores que 1.00, en relación a los ejes Y y Z, respectivamente.

$$\bar{\lambda}_y : 0.62$$

$$\bar{\lambda}_z : 0.75$$

α_y , α_z : Factores dependientes de la clase de la sección.

$$\alpha_y : 0.60$$

$$\alpha_z : 0.60$$

Resistencia a flexión, axil y cortante combinados (CTE DB SE-A, Artículo 6.2.8)

No es necesario reducir las resistencias de cálculo a flexión y a axil, ya que se puede ignorar el efecto de abolladura por esfuerzo cortante y, además, el esfuerzo cortante solicitante de cálculo pésimo V_{Ed} es menor o igual que el 50% del esfuerzo cortante resistente de cálculo $V_{c,Rd}$.

Los esfuerzos solicitantes de cálculo pésimos se producen para la combinación de acciones
1.35·PP+1.5·V(270°)H1+0.75·N(EI).

$$V_{Ed,z} \leq \frac{V_{c,Rd,z}}{2}$$

$$33.16 \text{ kN} \leq 197.61 \text{ kN}$$



Donde:

$V_{Ed,z}$: Esfuerzo cortante solicitante de cálculo pésimo.

$$V_{Ed,z} : 33.16 \text{ kN}$$

$V_{c,Rd,z}$: Esfuerzo cortante resistente de cálculo.

$V_{c,Rd,z}$: 395.21 kN

Resistencia a torsión (CTE DB SE-A, Artículo 6.2.7)

Se debe satisfacer:

$$\eta = \frac{M_{T,Ed}}{M_{T,Rd}} \leq 1$$

η : 0.004 ✓

El esfuerzo solicitante de cálculo pésimo se produce para la combinación de acciones $1.35 \cdot PP + 1.5 \cdot V(270^\circ)H2 + 0.75 \cdot N(EI)$.

$M_{T,Ed}$: Momento torsor solicitante de cálculo pésimo.

$M_{T,Ed}$: 0.23 kN·m

El momento torsor resistente de cálculo $M_{T,Rd}$ viene dado por:

$$M_{T,Rd} = \frac{1}{\sqrt{3}} \cdot W_T \cdot f_{yd}$$

$M_{T,Rd}$: 54.93 kN·m

Donde:

W_T : Módulo de resistencia a torsión.

W_T : 363.26 cm³

f_{yd} : Resistencia de cálculo del acero.

f_{yd} : 261.90 MPa

$$f_{yd} = f_y / \gamma_{M0}$$

Siendo:

f_y : Límite elástico. (CTE DB SE-A, Tabla 4.1)

f_y : 275.00 MPa

γ_{M0} : Coeficiente parcial de seguridad del material.

γ_{M0} : 1.05

Resistencia a cortante Z y momento torsor combinados (CTE DB SE-A, Artículo 6.2.8)

Se debe satisfacer:

$$\eta = \frac{V_{Ed}}{V_{pl,T,Rd}} \leq 1$$

η : 0.084 ✓

Los esfuerzos solicitantes de cálculo pésimos se producen en el nudo N1088, para la combinación de acciones $1.35 \cdot PP + 1.5 \cdot V(270^\circ)H1 + 0.75 \cdot N(EI)$.

V_{Ed} : Esfuerzo cortante solicitante de cálculo pésimo.

V_{Ed} : 33.16 kN

$M_{T,Ed}$: Momento torsor solicitante de cálculo pésimo.

$M_{T,Ed}$: 0.22 kN·m

El esfuerzo cortante resistente de cálculo reducido $V_{pl,T,Rd}$ viene dado por:

$$V_{pl,T,Rd} = \left[1 - \frac{\tau_{T,Ed}}{f_{yd} / \sqrt{3}} \right] \cdot V_{pl,Rd}$$

$V_{pl,T,Rd}$: 395.21 kN

Donde:

$V_{pl,Rd}$: Esfuerzo cortante resistente de cálculo.

$V_{pl,Rd}$: 396.78 kN

$\tau_{T,Ed}$: Tensiones tangenciales por torsión.

$\tau_{T,Ed}$: 0.60 MPa

$$\tau_{T,Ed} = \frac{M_{T,Ed}}{W_t}$$

Siendo:

W_T : Módulo de resistencia a torsión.

W_T : 363.26 cm³

f_{yd} : Resistencia de cálculo del acero.

f_{yd} : 261.90 MPa

$$f_{yd} = f_y / \gamma_{M0}$$

Siendo:

f_y : Límite elástico. (CTE DB SE-A, Tabla 4.1)

f_y : 275.00 MPa

γ_{M0} : Coeficiente parcial de seguridad del material.

γ_{M0} : 1.05

Resistencia a cortante Y y momento torsor combinados (CTE DB SE-A, Artículo 6.2.8)

Se debe satisfacer:

$$\eta = \frac{V_{Ed}}{V_{pl,T,Rd}} \leq 1$$

η : 0.002 ✓

Los esfuerzos solicitantes de cálculo pésimos se producen para la combinación de acciones 1.35·PP+1.5·V(270°)H2+0.75·N(R)1.

V_{Ed} : Esfuerzo cortante solicitante de cálculo pésimo.

V_{Ed} : 0.60 kN

$M_{T,Ed}$: Momento torsor solicitante de cálculo pésimo.

$M_{T,Ed}$: 0.23 kN·m

El esfuerzo cortante resistente de cálculo reducido $V_{pl,T,Rd}$ viene dado por:

$$V_{pl,T,Rd} = \left[1 - \frac{\tau_{T,Ed}}{f_{yd}/\sqrt{3}} \right] \cdot V_{pl,Rd}$$

$V_{pl,T,Rd}$: 303.44 kN

Donde:

$V_{pl,Rd}$: Esfuerzo cortante resistente de cálculo.

$V_{pl,Rd}$: 304.70 kN

$\tau_{T,Ed}$: Tensiones tangenciales por torsión.

$\tau_{T,Ed}$: 0.63 MPa

$$\tau_{T,Ed} = \frac{M_{T,Ed}}{W_t}$$

Siendo:

W_T : Módulo de resistencia a torsión.

W_T : 363.26 cm³

f_{yd} : Resistencia de cálculo del acero.

f_{yd} : 261.90 MPa

$$f_{yd} = f_y / \gamma_{M0}$$

Siendo:

f_y : Límite elástico. (CTE DB SE-A, Tabla 4.1)

f_y : 275.00 MPa

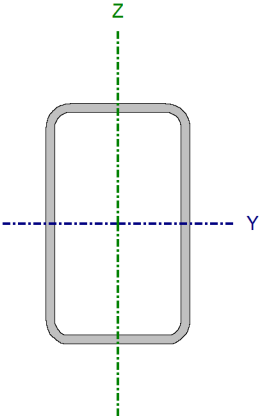
γ_{M0} : Coeficiente parcial de seguridad del material.

γ_{M0} : 1.05

A1.2.5. Pórtico trasero

A continuación se van a representar los elementos característicos del pórtico trasero, para más información se puede consultar el plano número 06.

A1.2.5.1. Pilares

Perfil: #200x120x8									
Material: Acero (S275)									
			Nudos		Longitud (m)	Características mecánicas			
			Inicial	Final		Área (cm²)	I _y ⁽¹⁾ (cm⁴)	I _z ⁽¹⁾ (cm⁴)	I _t ⁽²⁾ (cm⁴)
			N1086	N9	5.088	46.39	2375.72	1073.18	2502.51
			Notas:						
			(1) Inercia respecto al eje indicado						
(2) Momento de inercia a torsión uniforme									
		Pandeo		Pandeo lateral					
		Plano XY	Plano XZ	Ala sup.	Ala inf.				
β	0.70	0.70	0.00	0.00					
L _K	3.562	3.562	0.000	0.000					
C _m	1.000	1.000	1.000	1.000					
C ₁	-			1.000					
Notación:									
β: Coeficiente de pandeo									
L _K : Longitud de pandeo (m)									
C _m : Coeficiente de momentos									
C ₁ : Factor de modificación para el momento crítico									

Limitación de esbeltez (CTE DB SE-A, Artículos 6.3.1 y 6.3.2.1 - Tabla 6.3)

La esbeltez reducida $\bar{\lambda}$ de las barras comprimidas debe ser inferior al valor 2.0.

$$\bar{\lambda} = \sqrt{\frac{A \cdot f_y}{N_{cr}}}$$

$\bar{\lambda}$: **0.85** ✓

Donde:

Clase: Clase de la sección, según la capacidad de deformación y de desarrollo de la resistencia plástica de los elementos planos comprimidos de una sección.

Clase : 1

A: Área de la sección bruta para las secciones de clase 1, 2 y 3.

A : 46.39 cm²

f_y: Límite elástico. (CTE DB SE-A, Tabla 4.1)

f_y : 275.00 MPa

N_{cr}: Axil crítico de pandeo elástico.

N_{cr} : 1753.48 kN

El axil crítico de pandeo elástico **N_{cr}** es el menor de los valores obtenidos en a), b) y c):

a) Axil crítico elástico de pandeo por flexión respecto al eje Y.

N_{cr,y} : 3881.70 kN

$$N_{cr,y} = \frac{\pi^2 \cdot E \cdot I_y}{L_{ky}^2}$$

b) Axil crítico elástico de pandeo por flexión respecto al eje Z.

N_{cr,z} : 1753.48 kN

$$N_{cr,z} = \frac{\pi^2 \cdot E \cdot I_z}{L_{kz}^2}$$

c) Axil crítico elástico de pandeo por torsión.

$$N_{cr,T} : \infty$$

$$N_{cr,T} = \frac{1}{i_0^2} \cdot \left[G \cdot I_t + \frac{\pi^2 \cdot E \cdot I_w}{L_{kt}^2} \right]$$

Donde:

I_y: Momento de inercia de la sección bruta, respecto al eje Y.

$$I_y : 2375.72 \text{ cm}^4$$

I_z: Momento de inercia de la sección bruta, respecto al eje Z.

$$I_z : 1073.18 \text{ cm}^4$$

I_t: Momento de inercia a torsión uniforme.

$$I_t : 2502.51 \text{ cm}^4$$

I_w: Constante de alabeo de la sección.

$$I_w : 0.00 \text{ cm}^6$$

E: Módulo de elasticidad.

$$E : 210000 \text{ MPa}$$

G: Módulo de elasticidad transversal.

$$G : 81000 \text{ MPa}$$

L_{ky}: Longitud efectiva de pandeo por flexión, respecto al eje Y.

$$L_{ky} : 3.562 \text{ m}$$

L_{kz}: Longitud efectiva de pandeo por flexión, respecto al eje Z.

$$L_{kz} : 3.562 \text{ m}$$

L_{kt}: Longitud efectiva de pandeo por torsión.

$$L_{kt} : 0.000 \text{ m}$$

i₀: Radio de giro polar de la sección bruta, respecto al centro de torsión.

$$i_0 : 8.62 \text{ cm}$$

$$i_0 = \left(i_y^2 + i_z^2 + y_0^2 + z_0^2 \right)^{0.5}$$

Siendo:

i_y , i_z: Radios de giro de la sección bruta, respecto a los ejes principales de inercia Y y Z.

$$i_y : 7.16 \text{ cm}$$

$$i_z : 4.81 \text{ cm}$$

y₀ , z₀: Coordenadas del centro de torsión en la dirección de los ejes principales Y y Z, respectivamente, relativas al centro de gravedad de la sección.

$$y_0 : 0.00 \text{ mm}$$

$$z_0 : 0.00 \text{ mm}$$

Abolladura del alma inducida por el ala comprimida (Criterio de CYPE Ingenieros, basado en: Eurocódigo 3 EN 1993-1-5: 2006, Artículo 8)

Se debe satisfacer:

$$\frac{h_w}{t_w} \leq k \frac{E}{f_{yf}} \sqrt{\frac{A_w}{A_{fc,ef}}}$$

$$23.00 \leq 401.18 \checkmark$$

Donde:

h_w: Altura del alma.

$$h_w : 184.00 \text{ mm}$$

t_w: Espesor del alma.

$$t_w : 8.00 \text{ mm}$$

A_w: Área del alma.

$$A_w : 29.44 \text{ cm}^2$$

A_{fc,ef}: Área reducida del ala comprimida.

$$A_{fc,ef} : 9.60 \text{ cm}^2$$

k: Coeficiente que depende de la clase de la sección.

$$k : 0.30$$

E: Módulo de elasticidad.

$$E : 210000 \text{ MPa}$$

f_{yf}: Límite elástico del acero del ala comprimida.

$$f_{yf} : 275.00 \text{ MPa}$$

Siendo:

$$f_{yf} = f_y$$

Resistencia a tracción (CTE DB SE-A, Artículo 6.2.3)

Se debe satisfacer:

$$\eta = \frac{N_{t,Ed}}{N_{t,Rd}} \leq 1$$

$$\eta : \underline{0.261} \quad \checkmark$$

El esfuerzo solicitante de cálculo pésimo se produce en el nudo N9, para la combinación de acciones 0.8·PP+1.5·V(90°)H2+0.75·N(R)2.

N_{t,Ed}: Axil de tracción solicitante de cálculo pésimo.

$$\mathbf{N_{t,Ed}} : \underline{317.26} \text{ kN}$$

La resistencia de cálculo a tracción **N_{t,Rd}** viene dada por:

$$\mathbf{N_{t,Rd}} = A \cdot f_{yd}$$

$$\mathbf{N_{t,Rd}} : \underline{1215.00} \text{ kN}$$

Donde:

A: Área bruta de la sección transversal de la barra.

$$\mathbf{A} : \underline{46.39} \text{ cm}^2$$

f_{yd}: Resistencia de cálculo del acero.

$$\mathbf{f_{yd}} : \underline{261.90} \text{ MPa}$$

$$f_{yd} = f_y / \gamma_{M0}$$

Siendo:

f_y: Límite elástico. (CTE DB SE-A, Tabla 4.1)

$$\mathbf{f_y} : \underline{275.00} \text{ MPa}$$

γ_{M0}: Coeficiente parcial de seguridad del material.

$$\mathbf{\gamma_{M0}} : \underline{1.05}$$

Resistencia a compresión (CTE DB SE-A, Artículo 6.2.5)

Se debe satisfacer:

$$\eta = \frac{N_{c,Ed}}{N_{c,Rd}} \leq 1$$

$$\eta : \underline{0.267} \quad \checkmark$$

$$\eta = \frac{N_{c,Ed}}{N_{c,Rd}} \leq 1$$

$$\eta : \underline{0.424} \quad \checkmark$$

El esfuerzo solicitante de cálculo pésimo se produce en el nudo N1086, para la combinación de acciones 1.35·PP+1.5·V(270°)H1+0.75·N(R)1.

N_{c,Ed}: Axil de compresión solicitante de cálculo pésimo.

$$\mathbf{N_{c,Ed}} : \underline{324.40} \text{ kN}$$

La resistencia de cálculo a compresión **N_{c,Rd}** viene dada por:

$$N_{c,Rd} = A \cdot f_{yd}$$

$$N_{c,Rd} : 1215.00 \text{ kN}$$

Donde:

Clase: Clase de la sección, según la capacidad de deformación y de desarrollo de la resistencia plástica de los elementos planos comprimidos de una sección.

$$\text{Clase} : 1$$

A: Área de la sección bruta para las secciones de clase 1, 2 y 3.

$$A : 46.39 \text{ cm}^2$$

f_{yd}: Resistencia de cálculo del acero.

$$f_{yd} : 261.90 \text{ MPa}$$

$$f_{yd} = f_y / \gamma_{M0}$$

Siendo:

f_y: Límite elástico. (CTE DB SE-A, Tabla 4.1)

$$f_y : 275.00 \text{ MPa}$$

γ_{M0}: Coeficiente parcial de seguridad del material.

$$\gamma_{M0} : 1.05$$

Resistencia a pandeo: (CTE DB SE-A, Artículo 6.3.2)

La resistencia de cálculo a pandeo **N_{b,Rd}** en una barra comprimida viene dada por:

$$N_{b,Rd} = \chi \cdot A \cdot f_{yd}$$

$$N_{b,Rd} : 764.20 \text{ kN}$$

Donde:

A: Área de la sección bruta para las secciones de clase 1, 2 y 3.

$$A : 46.39 \text{ cm}^2$$

f_{yd}: Resistencia de cálculo del acero.

$$f_{yd} : 261.90 \text{ MPa}$$

$$f_{yd} = f_y / \gamma_{M1}$$

Siendo:

f_y: Límite elástico. (CTE DB SE-A, Tabla 4.1)

$$f_y : 275.00 \text{ MPa}$$

γ_{M1}: Coeficiente parcial de seguridad del material.

$$\gamma_{M1} : 1.05$$

χ: Coeficiente de reducción por pandeo.

$$\chi = \frac{1}{\Phi + \sqrt{\Phi^2 - (\bar{\lambda})^2}} \leq 1$$

$$\chi_y : 0.80$$

$$\chi_z : 0.63$$

Siendo:

$$\Phi = 0.5 \cdot \left[1 + \alpha \cdot (\bar{\lambda} - 0.2) + (\bar{\lambda})^2 \right]$$

$$\phi_y : 0.76$$

$$\phi_z : 1.02$$

α: Coeficiente de imperfección elástica.

$$\alpha_y : 0.49$$

$$\alpha_z : 0.49$$

λ̄: Esbeltez reducida.

$$\bar{\lambda} = \sqrt{\frac{A \cdot f_y}{N_{cr}}}$$

$$\bar{\lambda}_y : 0.57$$

$$\bar{\lambda}_z : 0.85$$

N_{cr}: Axil crítico elástico de pandeo, obtenido como el menor de los siguientes valores:

$$N_{cr} : 1753.48 \text{ kN}$$

N_{cr,y}: Axil crítico elástico de pandeo por flexión respecto al eje Y.

$$N_{cr,y} : 3881.70 \text{ kN}$$

$N_{cr,z}$: Axil crítico elástico de pandeo por flexión respecto al eje Z.
 $N_{cr,T}$: Axil crítico elástico de pandeo por torsión.

$N_{cr,z}$: 1753.48 kN

$N_{cr,T}$: ∞

Resistencia a flexión eje Y (CTE DB SE-A, Artículo 6.2.6)

Se debe satisfacer:

$$\eta = \frac{M_{Ed}}{M_{c,Rd}} \leq 1$$

η : 0.142 ✓

Para flexión positiva:

El esfuerzo solicitante de cálculo pésimo se produce en el nudo N1086, para la combinación de acciones 0.8·PP+1.5·V(0°)H4+0.75·N(R)2.

M_{Ed}^+ : Momento flector solicitante de cálculo pésimo.

M_{Ed}^+ : 11.02 kN·m

Para flexión negativa:

El esfuerzo solicitante de cálculo pésimo se produce en el nudo N1086, para la combinación de acciones 1.35·PP+1.5·V(90°)H1+0.75·N(R)1.

M_{Ed}^- : Momento flector solicitante de cálculo pésimo.

M_{Ed}^- : 10.24 kN·m

El momento flector resistente de cálculo $M_{c,Rd}$ viene dado por:

$$M_{c,Rd} = W_{pl,y} \cdot f_{yd}$$

$M_{c,Rd}$: 77.85 kN·m

Donde:

Clase: Clase de la sección, según la capacidad de deformación y de desarrollo de la resistencia plástica de los elementos planos de una sección a flexión simple.

Clase : 1

$W_{pl,y}$: Módulo resistente plástico correspondiente a la fibra con mayor tensión, para las secciones de clase 1 y 2.

$W_{pl,y}$: 297.24 cm³

f_{yd} : Resistencia de cálculo del acero.

f_{yd} : 261.90 MPa

$$f_{yd} = f_y / \gamma_{M0}$$

Siendo:

f_y : Límite elástico. (CTE DB SE-A, Tabla 4.1)

f_y : 275.00 MPa

γ_{M0} : Coeficiente parcial de seguridad del material.

γ_{M0} : 1.05

Resistencia a pandeo lateral: (CTE DB SE-A, Artículo 6.3.3.2)

No procede, dado que las longitudes de pandeo lateral son nulas.

Resistencia a flexión eje Z (CTE DB SE-A, Artículo 6.2.6)

Se debe satisfacer:

$$\eta = \frac{M_{Ed}}{M_{c,Rd}} \leq 1$$

η : 0.179 ✓

Para flexión positiva:

El esfuerzo solicitante de cálculo pésimo se produce en el nudo N9, para la combinación de acciones 1.35·PP+1.5·V(90°)H2.

M_{Ed}^+ : Momento flector solicitante de cálculo pésimo.

M_{Ed}^+ : 8.98 kN·m

Para flexión negativa:

El esfuerzo solicitante de cálculo pésimo se produce en el nudo N9, para la combinación de acciones 0.8·PP+1.5·V(0°)H3+0.75·N(EI).

M_{Ed}^- : Momento flector solicitante de cálculo pésimo.

M_{Ed}^- : 9.82 kN·m

El momento flector resistente de cálculo $M_{c,Rd}$ viene dado por:

$$M_{c,Rd} = W_{pl,z} \cdot f_{yd}$$

$M_{c,Rd}$: 54.73 kN·m

Donde:

Clase: Clase de la sección, según la capacidad de deformación y de desarrollo de la resistencia plástica de los elementos planos de una sección a flexión simple.

Clase: 1

$W_{pl,z}$: Módulo resistente plástico correspondiente a la fibra con mayor tensión, para las secciones de clase 1 y 2.

$W_{pl,z}$: 208.96 cm³

f_{yd} : Resistencia de cálculo del acero.

f_{yd} : 261.90 MPa

$$f_{yd} = f_y / \gamma_{M0}$$

Siendo:

f_y : Límite elástico. (CTE DB SE-A, Tabla 4.1)

f_y : 275.00 MPa

γ_{M0} : Coeficiente parcial de seguridad del material.

γ_{M0} : 1.05

Resistencia a corte Z (CTE DB SE-A, Artículo 6.2.4)

Se debe satisfacer:

$$\eta = \frac{V_{Ed}}{V_{c,Rd}} \leq 1$$

η : 0.027 ✓

El esfuerzo solicitante de cálculo pésimo se produce en el nudo N1086, para la combinación de acciones 1.35·PP+1.5·V(90°)H1+0.75·N(R)1.

V_{Ed} : Esfuerzo cortante solicitante de cálculo pésimo.

V_{Ed} : 12.02 kN

El esfuerzo cortante resistente de cálculo $V_{c,Rd}$ viene dado por:

$$V_{c,Rd} = A_v \cdot \frac{f_{yd}}{\sqrt{3}}$$

$V_{c,Rd}$: 445.16 kN

Donde:

A_v : Área transversal a cortante.

A_v : 29.44 cm²

$$A_v = 2 \cdot d \cdot t_w$$

Siendo:

d : Altura del alma.

d : 184.00 mm

t_w : Espesor del alma.

t_w : 8.00 mm

f_{yd} : Resistencia de cálculo del acero.

f_{yd} : 261.90 MPa

$$f_{yd} = f_y / \gamma_{M0}$$

Siendo:

f_y : Límite elástico. (CTE DB SE-A, Tabla 4.1)

f_y : 275.00 MPa

γ_{M0} : Coeficiente parcial de seguridad del material.

γ_{M0} : 1.05

Abolladura por cortante del alma: (CTE DB SE-A, Artículo 6.3.3.4)

Aunque no se han dispuesto rigidizadores transversales, no es necesario comprobar la resistencia a la abolladura del alma, puesto que se cumple:

$$\frac{d}{t_w} < 70 \cdot \varepsilon$$

$$23.00 < 64.71$$



Donde:

λ_w : Esbeltez del alma.

λ_w : 23.00

$$\lambda_w = \frac{d}{t_w}$$

$\lambda_{m\acute{a}x}$: Esbeltez máxima.

$\lambda_{m\acute{a}x}$: 64.71

ε : Factor de reducción.

ε : 0.92

$$\varepsilon = \sqrt{\frac{f_{ref}}{f_y}}$$

Siendo:

f_{ref} : Límite elástico de referencia.

f_{ref} : 235.00 MPa

f_y : Límite elástico. (CTE DB SE-A, Tabla 4.1)

f_y : 275.00 MPa

Resistencia a corte Y (CTE DB SE-A, Artículo 6.2.4)

Se debe satisfacer:

$$\eta = \frac{V_{Ed}}{V_{c,Rd}} \leq 1$$

$$\eta : \underline{0.045} \quad \checkmark$$

El esfuerzo solicitante de cálculo pésimo se produce en el nudo N9, para la combinación de acciones 0.8·PP+1.5·V(0°)H3+0.75·N(EI).

V_{Ed} : Esfuerzo cortante solicitante de cálculo pésimo.

V_{Ed} : 11.61 kN

El esfuerzo cortante resistente de cálculo $V_{c,Rd}$ viene dado por:

$$V_{c,Rd} = A_v \cdot \frac{f_{yd}}{\sqrt{3}}$$

$V_{c,Rd}$: 256.32 kN

Donde:

A_v : Área transversal a cortante.

A_v : 16.95 cm²

$$A_v = A - 2 \cdot d \cdot t_w$$

Siendo:

A : Área de la sección bruta.	A : <u>46.39</u> cm ²
d : Altura del alma.	d : <u>184.00</u> mm
t_w : Espesor del alma.	t_w : <u>8.00</u> mm

f_{yd}: Resistencia de cálculo del acero. **f_{yd}** : 261.90 MPa

$$f_{yd} = f_y / \gamma_{M0}$$

Siendo:

f_y : Límite elástico. (CTE DB SE-A, Tabla 4.1)	f_y : <u>275.00</u> MPa
γ_{M0} : Coeficiente parcial de seguridad del material.	γ_{M0} : <u>1.05</u>

Abolladura por cortante del alma: (CTE DB SE-A, Artículo 6.3.3.4)

Aunque no se han dispuesto rigidizadores transversales, no es necesario comprobar la resistencia a la abolladura del alma, puesto que se cumple:

$$\frac{b}{t_f} < 70 \cdot \varepsilon$$

$$15.00 < 64.71$$



Donde:

λ_w: Esbeltez del alma.

$$\lambda_w : \underline{15.00}$$

$$\lambda_w = \frac{b}{t_f}$$

λ_{máx}: Esbeltez máxima.

$$\lambda_{máx} : \underline{64.71}$$

ε: Factor de reducción.

$$\varepsilon : \underline{0.92}$$

$$\varepsilon = \sqrt{\frac{f_{ref}}{f_y}}$$

Siendo:

f_{ref} : Límite elástico de referencia.	f_{ref} : <u>235.00</u> MPa
f_y : Límite elástico. (CTE DB SE-A, Tabla 4.1)	f_y : <u>275.00</u> MPa

Resistencia a momento flector Y y fuerza cortante Z combinados (CTE DB SE-A, Artículo 6.2.8)

No es necesario reducir la resistencia de cálculo a flexión, ya que el esfuerzo cortante solicitante de cálculo pésimo **V_{Ed}** no es superior al 50% de la resistencia de cálculo a cortante **V_{c,Rd}**.

$$V_{Ed} \leq \frac{V_{c,Rd}}{2}$$

$$12.02 \text{ kN} \leq 222.58 \text{ kN}$$



Los esfuerzos solicitantes de cálculo pésimos se producen para la combinación de acciones
1.35·PP+1.5·V(90°)H1+0.75·N(R)1.

V_{Ed}: Esfuerzo cortante solicitante de cálculo pésimo.

V_{Ed} : 12.02 kN

V_{c,Rd}: Esfuerzo cortante resistente de cálculo.

V_{c,Rd} : 445.16 kN

Resistencia a momento flector Z y fuerza cortante Y combinados (CTE DB SE-A, Artículo 6.2.8)

No es necesario reducir la resistencia de cálculo a flexión, ya que el esfuerzo cortante solicitante de cálculo pésimo **V_{Ed}** no es superior al 50% de la resistencia de cálculo a cortante **V_{c,Rd}**.

$$V_{Ed} \leq \frac{V_{c,Rd}}{2}$$

4.29 kN ≤ 128.16 kN ✓

Los esfuerzos solicitantes de cálculo pésimos se producen para la combinación de acciones 1.35·PP+1.5·V(0°)H1.

V_{Ed}: Esfuerzo cortante solicitante de cálculo pésimo.

V_{Ed} : 4.29 kN

V_{c,Rd}: Esfuerzo cortante resistente de cálculo.

V_{c,Rd} : 256.32 kN

Resistencia a flexión y axil combinados (CTE DB SE-A, Artículo 6.2.8)

Se debe satisfacer:

$$\eta = \frac{N_{c,Ed}}{N_{pl,Rd}} + \frac{M_{y,Ed}}{M_{pl,Rd,y}} + \frac{M_{z,Ed}}{M_{pl,Rd,z}} \leq 1$$

η : 0.428 ✓

$$\eta = \frac{N_{c,Ed}}{\chi_y \cdot A \cdot f_{yd}} + k_y \cdot \frac{c_{m,y} \cdot M_{y,Ed}}{\chi_{LT} \cdot W_{pl,y} \cdot f_{yd}} + \alpha_z \cdot k_z \cdot \frac{c_{m,z} \cdot M_{z,Ed}}{W_{pl,z} \cdot f_{yd}} \leq 1$$

η : 0.483 ✓

$$\eta = \frac{N_{c,Ed}}{\chi_z \cdot A \cdot f_{yd}} + \alpha_y \cdot k_y \cdot \frac{c_{m,y} \cdot M_{y,Ed}}{W_{pl,y} \cdot f_{yd}} + k_z \cdot \frac{c_{m,z} \cdot M_{z,Ed}}{W_{pl,z} \cdot f_{yd}} \leq 1$$

η : 0.577 ✓

Los esfuerzos solicitantes de cálculo pésimos se producen en el nudo N9, para la combinación de acciones 1.35·PP+1.5·V(270°)H1+0.75·N(R)1.

Donde:

N_{c,Ed}: Axil de compresión solicitante de cálculo pésimo.

N_{c,Ed} : 317.97 kN

M_{y,Ed}, M_{z,Ed}: Momentos flectores solicitantes de cálculo pésimos, según los ejes Y y Z, respectivamente.

M_{y,Ed} : 6.47 kN·m

M_{z,Ed} : 4.53 kN·m

Clase: Clase de la sección, según la capacidad de deformación y de desarrollo de la resistencia plástica de sus elementos planos, para axil y flexión simple.

Clase : 1

N_{pl,Rd}: Resistencia a compresión de la sección bruta.

N_{pl,Rd} : 1215.00 kN

M_{pl,Rd,y} : 77.85 kN·m

$M_{pl,Rd,y}$, $M_{pl,Rd,z}$: Resistencia a flexión de la sección bruta en condiciones plásticas, respecto a los ejes Y y Z, respectivamente.

$$M_{pl,Rd,z} : 54.73 \text{ kN}\cdot\text{m}$$

Resistencia a pandeo: (CTE DB SE-A, Artículo 6.3.4.2)

A : Área de la sección bruta.

$$A : 46.39 \text{ cm}^2$$

$W_{pl,y}$, $W_{pl,z}$: Módulos resistentes plásticos correspondientes a la fibra comprimida, alrededor de los ejes Y y Z, respectivamente.

$$W_{pl,y} : 297.24 \text{ cm}^3$$

$$W_{pl,z} : 208.96 \text{ cm}^3$$

f_{yd} : Resistencia de cálculo del acero.

$$f_{yd} : 261.90 \text{ MPa}$$

$$f_{yd} = f_y / \gamma_{M1}$$

Siendo:

f_y : Límite elástico. (CTE DB SE-A, Tabla 4.1)

$$f_y : 275.00 \text{ MPa}$$

γ_{M1} : Coeficiente parcial de seguridad del material.

$$\gamma_{M1} : 1.05$$

k_y , k_z : Coeficientes de interacción.

$$k_y = 1 + (\bar{\lambda}_y - 0.2) \cdot \frac{N_{c,Ed}}{\chi_y \cdot N_{c,Rd}}$$

$$k_y : 1.12$$

$$k_z = 1 + (\bar{\lambda}_z - 0.2) \cdot \frac{N_{c,Ed}}{\chi_z \cdot N_{c,Rd}}$$

$$k_z : 1.27$$

$C_{m,y}$, $C_{m,z}$: Factores de momento flector uniforme equivalente.

$$C_{m,y} : 1.00$$

$$C_{m,z} : 1.00$$

χ_y , χ_z : Coeficientes de reducción por pandeo, alrededor de los ejes Y y Z, respectivamente.

$$\chi_y : 0.80$$

$$\chi_z : 0.63$$

$\bar{\lambda}_y$, $\bar{\lambda}_z$: Esbelteces reducidas con valores no mayores que 1.00, en relación a los ejes Y y Z, respectivamente.

$$\bar{\lambda}_y : 0.57$$

$$\bar{\lambda}_z : 0.85$$

α_y , α_z : Factores dependientes de la clase de la sección.

$$\alpha_y : 0.60$$

$$\alpha_z : 0.60$$

Resistencia a flexión, axil y cortante combinados (CTE DB SE-A, Artículo 6.2.8)

No es necesario reducir las resistencias de cálculo a flexión y a axil, ya que se puede ignorar el efecto de abolladura por esfuerzo cortante y, además, el esfuerzo cortante solicitante de cálculo pésimo V_{Ed} es menor o igual que el 50% del esfuerzo cortante resistente de cálculo $V_{c,Rd}$.

Los esfuerzos solicitantes de cálculo pésimos se producen para la combinación de acciones
1.35·PP+1.5·V(90°)H1+0.75·N(R)1.

$$V_{Ed,z} \leq \frac{V_{c,Rd,z}}{2}$$

$$12.02 \text{ kN} \leq 220.67 \text{ kN}$$



Donde:

$V_{Ed,z}$: Esfuerzo cortante solicitante de cálculo pésimo.

$$V_{Ed,z} : 12.02 \text{ kN}$$

$V_{c,Rd,z}$: Esfuerzo cortante resistente de cálculo.

$$V_{c,Rd,z} : 441.33 \text{ kN}$$

Resistencia a torsión (CTE DB SE-A, Artículo 6.2.7)

Se debe satisfacer:

$$\eta = \frac{M_{T,Ed}}{M_{T,Rd}} \leq 1$$

$$\eta : \underline{0.016} \quad \checkmark$$

El esfuerzo solicitante de cálculo pésimo se produce para la combinación de acciones $1.35 \cdot PP + 1.5 \cdot V(0^\circ)H3 + 0.75 \cdot N(EI)$.

$M_{T,Ed}$: Momento torsor solicitante de cálculo pésimo.

$$M_{T,Ed} : \underline{0.85} \text{ kN}\cdot\text{m}$$

El momento torsor resistente de cálculo $M_{T,Rd}$ viene dado por:

$$M_{T,Rd} = \frac{1}{\sqrt{3}} \cdot W_T \cdot f_{yd}$$

$$M_{T,Rd} : \underline{52.03} \text{ kN}\cdot\text{m}$$

Donde:

W_T : Módulo de resistencia a torsión.

$$W_T : \underline{344.06} \text{ cm}^3$$

f_{yd} : Resistencia de cálculo del acero.

$$f_{yd} : \underline{261.90} \text{ MPa}$$

$$f_{yd} = f_y / \gamma_{M0}$$

Siendo:

f_y : Límite elástico. (CTE DB SE-A, Tabla 4.1)

$$f_y : \underline{275.00} \text{ MPa}$$

γ_{M0} : Coeficiente parcial de seguridad del material.

$$\gamma_{M0} : \underline{1.05}$$

Resistencia a cortante Z y momento torsor combinados (CTE DB SE-A, Artículo 6.2.8)

Se debe satisfacer:

$$\eta = \frac{V_{Ed}}{V_{pl,T,Rd}} \leq 1$$

$$\eta : \underline{0.027} \quad \checkmark$$

Los esfuerzos solicitantes de cálculo pésimos se producen en el nudo N1086, para la combinación de acciones $1.35 \cdot PP + 1.5 \cdot V(90^\circ)H1 + 0.75 \cdot N(R)1$.

V_{Ed} : Esfuerzo cortante solicitante de cálculo pésimo.

$$V_{Ed} : \underline{12.02} \text{ kN}$$

$M_{T,Ed}$: Momento torsor solicitante de cálculo pésimo.

$$M_{T,Ed} : \underline{0.45} \text{ kN}\cdot\text{m}$$

El esfuerzo cortante resistente de cálculo reducido $V_{pl,T,Rd}$ viene dado por:

$$V_{pl,T,Rd} = \left[1 - \frac{\tau_{T,Ed}}{f_{yd}/\sqrt{3}} \right] \cdot V_{pl,Rd}$$

$$V_{pl,T,Rd} : \underline{441.33} \text{ kN}$$

Donde:

$V_{pl,Rd}$: Esfuerzo cortante resistente de cálculo.

$$V_{pl,Rd} : \underline{445.16} \text{ kN}$$

$\tau_{T,Ed}$: Tensiones tangenciales por torsión.

$$\tau_{T,Ed} : \underline{1.30} \text{ MPa}$$

$$\tau_{T,Ed} = \frac{M_{T,Ed}}{W_t}$$

Siendo:

W_T : Módulo de resistencia a torsión.

W_T : 344.06 cm³

f_{yd} : Resistencia de cálculo del acero.

f_{yd} : 261.90 MPa

$$f_{yd} = f_y / \gamma_{M0}$$

Siendo:

f_y : Límite elástico. (CTE DB SE-A, Tabla 4.1)

f_y : 275.00 MPa

γ_{M0} : Coeficiente parcial de seguridad del material.

γ_{M0} : 1.05

Resistencia a cortante Y y momento torsor combinados (CTE DB SE-A, Artículo 6.2.8)

Se debe satisfacer:

$$\eta = \frac{V_{Ed}}{V_{pl,T,Rd}} \leq 1$$

η : 0.046 ✓

Los esfuerzos solicitantes de cálculo pésimos se producen en el nudo N9, para la combinación de acciones 0.8·PP+1.5·V(0°)H3+0.75·N(EI).

V_{Ed} : Esfuerzo cortante solicitante de cálculo pésimo.

V_{Ed} : 11.61 kN

$M_{T,Ed}$: Momento torsor solicitante de cálculo pésimo.

$M_{T,Ed}$: 0.84 kN·m

El esfuerzo cortante resistente de cálculo reducido $V_{pl,T,Rd}$ viene dado por:

$$V_{pl,T,Rd} = \left[1 - \frac{\tau_{T,Ed}}{f_{yd}/\sqrt{3}} \right] \cdot V_{pl,Rd}$$

$V_{pl,T,Rd}$: 252.20 kN

Donde:

$V_{pl,Rd}$: Esfuerzo cortante resistente de cálculo.

$V_{pl,Rd}$: 256.32 kN

$\tau_{T,Ed}$: Tensiones tangenciales por torsión.

$\tau_{T,Ed}$: 2.43 MPa

$$\tau_{T,Ed} = \frac{M_{T,Ed}}{W_t}$$

Siendo:

W_T : Módulo de resistencia a torsión.

W_T : 344.06 cm³

f_{yd} : Resistencia de cálculo del acero.

f_{yd} : 261.90 MPa

$$f_{yd} = f_y / \gamma_{M0}$$

Siendo:

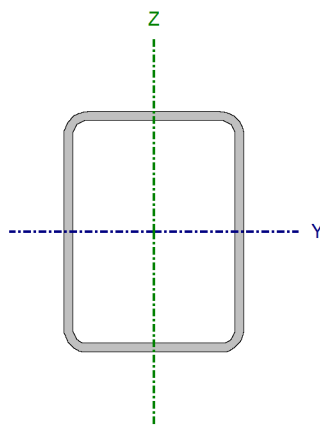
f_y : Límite elástico. (CTE DB SE-A, Tabla 4.1)

f_y : 275.00 MPa

γ_{M0} : Coeficiente parcial de seguridad del material.

γ_{M0} : 1.05

A1.2.5.2. Montante pórtico trasero.

Perfil: #200x150x8 Material: Acero (S275)							
	Nudos		Longitud (m)	Características mecánicas			
	Inicial	Final		Área (cm ²)	I _y ⁽¹⁾ (cm ⁴)	I _z ⁽¹⁾ (cm ⁴)	I _t ⁽²⁾ (cm ⁴)
	N9	N862	7.212	51.19	2818.09	1808.04	3660.25
	Notas:						
	⁽¹⁾ Inercia respecto al eje indicado						
	⁽²⁾ Momento de inercia a torsión uniforme						
		Pandeo		Pandeo lateral			
		Plano XY	Plano XZ	Ala sup.	Ala inf.		
	β	0.75	0.75	0.00	0.00		
	L _K	5.409	5.409	0.000	0.000		
C _m	1.000	1.000	1.000	1.000			
C ₁	-		1.000				
Notación:							
β: Coeficiente de pandeo							
L _K : Longitud de pandeo (m)							
C _m : Coeficiente de momentos							
C ₁ : Factor de modificación para el momento crítico							

Limitación de esbeltez (CTE DB SE-A, Artículos 6.3.1 y 6.3.2.1 - Tabla 6.3)

La esbeltez reducida $\bar{\lambda}$ de las barras comprimidas debe ser inferior al valor 2.0.

$\bar{\lambda}$: **1.05** ✓

$$\bar{\lambda} = \sqrt{\frac{A \cdot f_y}{N_{cr}}}$$

Donde:

Clase: Clase de la sección, según la capacidad de deformación y de desarrollo de la resistencia plástica de los elementos planos comprimidos de una sección.

Clase : 1

A: Área de la sección bruta para las secciones de clase 1, 2 y 3.

A : 51.19 cm²

f_y: Límite elástico. (CTE DB SE-A, Tabla 4.1)

f_y : 275.00 MPa

N_{cr}: Axil crítico de pandeo elástico.

N_{cr} : 1280.66 kN

El axil crítico de pandeo elástico **N_{cr}** es el menor de los valores obtenidos en a), b) y c):

a) Axil crítico elástico de pandeo por flexión respecto al eje Y.

N_{cr,y} : 1996.09 kN

$$N_{cr,y} = \frac{\pi^2 \cdot E \cdot I_y}{L_{ky}^2}$$

b) Axil crítico elástico de pandeo por flexión respecto al eje Z.

N_{cr,z} : 1280.66 kN

$$N_{cr,z} = \frac{\pi^2 \cdot E \cdot I_z}{L_{kz}^2}$$

c) Axil crítico elástico de pandeo por torsión.

$$N_{cr,T} : \infty$$

$$N_{cr,T} = \frac{1}{i_0^2} \cdot \left[G \cdot I_t + \frac{\pi^2 \cdot E \cdot I_w}{L_{kt}^2} \right]$$

Donde:

I_y : Momento de inercia de la sección bruta, respecto al eje Y.

$$I_y : 2818.09 \text{ cm}^4$$

I_z : Momento de inercia de la sección bruta, respecto al eje Z.

$$I_z : 1808.04 \text{ cm}^4$$

I_t : Momento de inercia a torsión uniforme.

$$I_t : 3660.25 \text{ cm}^4$$

I_w : Constante de alabeo de la sección.

$$I_w : 0.00 \text{ cm}^6$$

E : Módulo de elasticidad.

$$E : 210000 \text{ MPa}$$

G : Módulo de elasticidad transversal.

$$G : 81000 \text{ MPa}$$

L_{ky} : Longitud efectiva de pandeo por flexión, respecto al eje Y.

$$L_{ky} : 5.409 \text{ m}$$

L_{kz} : Longitud efectiva de pandeo por flexión, respecto al eje Z.

$$L_{kz} : 5.409 \text{ m}$$

L_{kt} : Longitud efectiva de pandeo por torsión.

$$L_{kt} : 0.000 \text{ m}$$

i_0 : Radio de giro polar de la sección bruta, respecto al centro de torsión.

$$i_0 : 9.51 \text{ cm}$$

$$i_0 = (i_y^2 + i_z^2 + y_0^2 + z_0^2)^{0.5}$$

Siendo:

i_y, i_z : Radios de giro de la sección bruta, respecto a los ejes principales de inercia Y y Z.

$$i_y : 7.42 \text{ cm}$$

$$i_z : 5.94 \text{ cm}$$

y_0, z_0 : Coordenadas del centro de torsión en la dirección de los ejes principales Y y Z, respectivamente, relativas al centro de gravedad de la sección.

$$y_0 : 0.00 \text{ mm}$$

$$z_0 : 0.00 \text{ mm}$$

Abolladura del alma inducida por el ala comprimida (Criterio de CYPE Ingenieros, basado en: Eurocódigo 3 EN 1993-1-5: 2006, Artículo 8)

Se debe satisfacer:

$$\frac{h_w}{t_w} \leq k \frac{E}{f_{yf}} \sqrt{\frac{A_w}{A_{fc,ef}}}$$

$$23.00 \leq 358.83 \checkmark$$

Donde:

h_w : Altura del alma.

$$h_w : 184.00 \text{ mm}$$

t_w : Espesor del alma.

$$t_w : 8.00 \text{ mm}$$

A_w : Área del alma.

$$A_w : 29.44 \text{ cm}^2$$

$A_{fc,ef}$: Área reducida del ala comprimida.

$$A_{fc,ef} : 12.00 \text{ cm}^2$$

k : Coeficiente que depende de la clase de la sección.

$$k : 0.30$$

E : Módulo de elasticidad.

$$E : 210000 \text{ MPa}$$

f_{yf} : Límite elástico del acero del ala comprimida.

$$f_{yf} : 275.00 \text{ MPa}$$

Siendo:

$$f_{yf} = f_y$$

Resistencia a tracción (CTE DB SE-A, Artículo 6.2.3)

Se debe satisfacer:

$$\eta = \frac{N_{t,Ed}}{N_{t,Rd}} \leq 1$$

$$\eta : \underline{0.156} \quad \checkmark$$

El esfuerzo solicitante de cálculo pésimo se produce en el nudo N862, para la combinación de acciones 0.8·PP+1.5·V(90°)H2.

N_{t,Ed}: Axil de tracción solicitante de cálculo pésimo.

$$\mathbf{N_{t,Ed}} : \underline{208.77} \text{ kN}$$

La resistencia de cálculo a tracción **N_{t,Rd}** viene dada por:

$$\mathbf{N_{t,Rd}} = A \cdot f_{yd}$$

$$\mathbf{N_{t,Rd}} : \underline{1340.71} \text{ kN}$$

Donde:

A: Área bruta de la sección transversal de la barra.

$$\mathbf{A} : \underline{51.19} \text{ cm}^2$$

f_{yd}: Resistencia de cálculo del acero.

$$\mathbf{f_{yd}} : \underline{261.90} \text{ MPa}$$

$$\mathbf{f_{yd}} = f_y / \gamma_{M0}$$

Siendo:

f_y: Límite elástico. (CTE DB SE-A, Tabla 4.1)

$$\mathbf{f_y} : \underline{275.00} \text{ MPa}$$

γ_{M0}: Coeficiente parcial de seguridad del material.

$$\mathbf{\gamma_{M0}} : \underline{1.05}$$

Resistencia a compresión (CTE DB SE-A, Artículo 6.2.5)

Se debe satisfacer:

$$\eta = \frac{N_{c,Ed}}{N_{c,Rd}} \leq 1$$

$$\eta : \underline{0.141} \quad \checkmark$$

$$\eta = \frac{N_{c,Ed}}{N_{b,Rd}} \leq 1$$

$$\eta : \underline{0.275} \quad \checkmark$$

El esfuerzo solicitante de cálculo pésimo se produce en el nudo N9, para la combinación de acciones 1.35·PP+1.5·V(180°)H3+0.75·N(R)1.

N_{c,Ed}: Axil de compresión solicitante de cálculo pésimo.

$$\mathbf{N_{c,Ed}} : \underline{188.84} \text{ kN}$$

La resistencia de cálculo a compresión **N_{c,Rd}** viene dada por:

$$\mathbf{N_{c,Rd}} = A \cdot f_{yd}$$

$$\mathbf{N_{c,Rd}} : \underline{1340.71} \text{ kN}$$

Donde:

Clase: Clase de la sección, según la capacidad de deformación y de desarrollo de la resistencia plástica de los elementos planos comprimidos de una sección.

Clase : 1

A: Área de la sección bruta para las secciones de clase 1, 2 y 3.

A : 51.19 cm²

f_{yd}: Resistencia de cálculo del acero.

f_{yd} : 261.90 MPa

$$f_{yd} = f_y / \gamma_{M0}$$

Siendo:

f_y: Límite elástico. (CTE DB SE-A, Tabla 4.1)

f_y : 275.00 MPa

γ_{M0}: Coeficiente parcial de seguridad del material.

γ_{M0} : 1.05

Resistencia a pandeo: (CTE DB SE-A, Artículo 6.3.2)

La resistencia de cálculo a pandeo **N_{b,Rd}** en una barra comprimida viene dada por:

$$N_{b,Rd} = \chi \cdot A \cdot f_{yd}$$

N_{b,Rd} : 686.92 kN

Donde:

A: Área de la sección bruta para las secciones de clase 1, 2 y 3.

A : 51.19 cm²

f_{yd}: Resistencia de cálculo del acero.

f_{yd} : 261.90 MPa

$$f_{yd} = f_y / \gamma_{M1}$$

Siendo:

f_y: Límite elástico. (CTE DB SE-A, Tabla 4.1)

f_y : 275.00 MPa

γ_{M1}: Coeficiente parcial de seguridad del material.

γ_{M1} : 1.05

χ: Coeficiente de reducción por pandeo.

$$\chi = \frac{1}{\Phi + \sqrt{\Phi^2 - (\bar{\lambda})^2}} \leq 1$$

χ_y : 0.64

χ_z : 0.51

Siendo:

$$\Phi = 0.5 \cdot \left[1 + \alpha \cdot (\bar{\lambda} - 0.2) + (\bar{\lambda})^2 \right]$$

φ_y : 1.01

φ_z : 1.26

α: Coeficiente de imperfección elástica.

α_y : 0.49

α_z : 0.49

λ̄: Esbeltez reducida.

$$\bar{\lambda} = \sqrt{\frac{A \cdot f_y}{N_{cr}}}$$

λ̄_y : 0.84

λ̄_z : 1.05

N_{cr}: Axil crítico elástico de pandeo, obtenido como el menor de los siguientes valores:

N_{cr} : 1280.66 kN

N_{cr,y}: Axil crítico elástico de pandeo por flexión respecto al eje Y.

N_{cr,y} : 1996.09 kN

N_{cr,z}: Axil crítico elástico de pandeo por flexión respecto al eje Z.

N_{cr,z} : 1280.66 kN

$N_{cr,T}$: Axil crítico elástico de pandeo por torsión.

$N_{cr,T}$: ∞

Resistencia a flexión eje Y (CTE DB SE-A, Artículo 6.2.6)

Se debe satisfacer:

$$\eta = \frac{M_{Ed}}{M_{c,Rd}} \leq 1$$

η : **0.038** ✓

Para flexión positiva:

M_{Ed}^+ : Momento flector solicitante de cálculo pésimo.

M_{Ed}^+ : 0.00 kN·m

Para flexión negativa:

El esfuerzo solicitante de cálculo pésimo se produce en el nudo N862, para la combinación de acciones 1.35·PP+1.5·V(90°)H2.

M_{Ed}^- : Momento flector solicitante de cálculo pésimo.

M_{Ed}^- : 3.46 kN·m

El momento flector resistente de cálculo $M_{c,Rd}$ viene dado por:

$$M_{c,Rd} = W_{pl,y} \cdot f_{yd}$$

$M_{c,Rd}$: 89.92 kN·m

Donde:

Clase: Clase de la sección, según la capacidad de deformación y de desarrollo de la resistencia plástica de los elementos planos de una sección a flexión simple.

Clase : 1

$W_{pl,y}$: Módulo resistente plástico correspondiente a la fibra con mayor tensión, para las secciones de clase 1 y 2.

$W_{pl,y}$: 343.32 cm³

f_{yd} : Resistencia de cálculo del acero.

f_{yd} : 261.90 MPa

$$f_{yd} = f_y / \gamma_{M0}$$

Siendo:

f_y : Límite elástico. (CTE DB SE-A, Tabla 4.1)

f_y : 275.00 MPa

γ_{M0} : Coeficiente parcial de seguridad del material.

γ_{M0} : 1.05

Resistencia a pandeo lateral: (CTE DB SE-A, Artículo 6.3.3.2)

No procede, dado que las longitudes de pandeo lateral son nulas.

Resistencia a flexión eje Z (CTE DB SE-A, Artículo 6.2.6)

Se debe satisfacer:

$$\eta = \frac{M_{Ed}}{M_{c,Rd}} \leq 1$$

η : **0.296** ✓

Para flexión positiva:

El esfuerzo solicitante de cálculo pésimo se produce en el nudo N862, para la combinación de acciones 0.8·PP+1.5·V(0°)H1.

M_{Ed}^+ : Momento flector solicitante de cálculo pésimo.

M_{Ed}^+ : 21.87 kN·m

Para flexión negativa:

El esfuerzo solicitante de cálculo pésimo se produce en el nudo N862, para la combinación de acciones $1.35 \cdot PP + 1.5 \cdot V(90^\circ)H2 + 0.75 \cdot N(EI)$.

M_{Ed} : Momento flector solicitante de cálculo pésimo.

M_{Ed} : 19.88 kN·m

El momento flector resistente de cálculo $M_{c,Rd}$ viene dado por:

$$M_{c,Rd} = W_{pl,z} \cdot f_{yd}$$

$M_{c,Rd}$: 73.89 kN·m

Donde:

Clase: Clase de la sección, según la capacidad de deformación y de desarrollo de la resistencia plástica de los elementos planos de una sección a flexión simple.

Clase: 1

$W_{pl,z}$: Módulo resistente plástico correspondiente a la fibra con mayor tensión, para las secciones de clase 1 y 2.

$W_{pl,z}$: 282.14 cm³

f_{yd} : Resistencia de cálculo del acero.

f_{yd} : 261.90 MPa

$$f_{yd} = f_y / \gamma_{M0}$$

Siendo:

f_y : Límite elástico. (CTE DB SE-A, Tabla 4.1)

f_y : 275.00 MPa

γ_{M0} : Coeficiente parcial de seguridad del material.

γ_{M0} : 1.05

Resistencia a corte Z (CTE DB SE-A, Artículo 6.2.4)

Se debe satisfacer:

$$\eta = \frac{V_{Ed}}{V_{c,Rd}} \leq 1$$

η : 0.006 ✓

El esfuerzo solicitante de cálculo pésimo se produce en el nudo N862, para la combinación de acciones $1.35 \cdot PP + 1.5 \cdot V(90^\circ)H2$.

V_{Ed} : Esfuerzo cortante solicitante de cálculo pésimo.

V_{Ed} : 2.57 kN

El esfuerzo cortante resistente de cálculo $V_{c,Rd}$ viene dado por:

$$V_{c,Rd} = A_v \cdot \frac{f_{yd}}{\sqrt{3}}$$

$V_{c,Rd}$: 445.16 kN

Donde:

A_v : Área transversal a cortante.

A_v : 29.44 cm²

$$A_v = 2 \cdot d \cdot t_w$$

Siendo:

d : Altura del alma.

d : 184.00 mm

t_w : Espesor del alma.

t_w : 8.00 mm

f_{yd} : Resistencia de cálculo del acero.

f_{yd} : 261.90 MPa

$$f_{yd} = f_y / \gamma_{M0}$$

Siendo:

f_y : Límite elástico. (CTE DB SE-A, Tabla 4.1)

f_y : 275.00 MPa

γ_{M0} : Coeficiente parcial de seguridad del material.

γ_{M0} : 1.05

Abolladura por cortante del alma: (CTE DB SE-A, Artículo 6.3.3.4)

Aunque no se han dispuesto rigidizadores transversales, no es necesario comprobar la resistencia a la abolladura del alma, puesto que se cumple:

$$\frac{d}{t_w} < 70 \cdot \varepsilon$$

$$23.00 < 64.71$$



Donde:

λ_w : Esbeltez del alma.

$$\lambda_w : 23.00$$

$$\lambda_w = \frac{d}{t_w}$$

$\lambda_{m\acute{a}x}$: Esbeltez máxima.

$$\lambda_{m\acute{a}x} : 64.71$$

ε : Factor de reducción.

$$\varepsilon : 0.92$$

$$\varepsilon = \sqrt{\frac{f_{ref}}{f_y}}$$

Siendo:

f_{ref} : Límite elástico de referencia.

$$f_{ref} : 235.00 \text{ MPa}$$

f_y : Límite elástico. (CTE DB SE-A, Tabla 4.1)

$$f_y : 275.00 \text{ MPa}$$

Resistencia a corte Y (CTE DB SE-A, Artículo 6.2.4)

Se debe satisfacer:

$$\eta = \frac{V_{Ed}}{V_{c,Rd}} \leq 1$$

$$\eta : 0.051$$



El esfuerzo solicitante de cálculo pésimo se produce en el nudo N862, para la combinación de acciones 0.8·PP+1.5·V(0°)H1.

V_{Ed} : Esfuerzo cortante solicitante de cálculo pésimo.

$$V_{Ed} : 16.84 \text{ kN}$$

El esfuerzo cortante resistente de cálculo $V_{c,Rd}$ viene dado por:

$$V_{c,Rd} = A_v \cdot \frac{f_{yd}}{\sqrt{3}}$$

$$V_{c,Rd} : 328.90 \text{ kN}$$

Donde:

A_v : Área transversal a cortante.

$$A_v : 21.75 \text{ cm}^2$$

$$A_v = A - 2 \cdot d \cdot t_w$$

Siendo:

A : Área de la sección bruta.

$$A : 51.19 \text{ cm}^2$$

d : Altura del alma.

$$d : 184.00 \text{ mm}$$

t_w : Espesor del alma.

$$t_w : 8.00 \text{ mm}$$

f_{yd} : Resistencia de cálculo del acero.

f_{yd} : 261.90 MPa

$$\begin{aligned} f_{yd} &= f_y / \gamma_{M0} \\ \frac{b}{t_f} &< 70 \cdot \varepsilon \end{aligned}$$

Siendo:

f_y : Límite elástico. (CTE DB SE-A, Tabla 4.1)

f_y : 275.00 MPa

γ_{M0} : Coeficiente parcial de seguridad del material.

γ_{M0} : 1.05

Abolladura por cortante del alma: (CTE DB SE-A, Artículo 6.3.3.4)

Aunque no se han dispuesto rigidizadores transversales, no es necesario comprobar la resistencia a la abolladura del alma, puesto que se cumple:

$$\frac{b}{t_f} < 70 \cdot \varepsilon$$

18.75 < 64.71



Donde:

λ_w : Esbeltez del alma.

λ_w : 18.75

$$\lambda_w = \frac{b}{t_f}$$

$\lambda_{m\acute{a}x}$: Esbeltez máxima.

$\lambda_{m\acute{a}x}$: 64.71

ε : Factor de reducción.

ε : 0.92

$$\varepsilon = \sqrt{\frac{f_{ref}}{f_y}}$$

Siendo:

f_{ref} : Límite elástico de referencia.

f_{ref} : 235.00 MPa

f_y : Límite elástico. (CTE DB SE-A, Tabla 4.1)

f_y : 275.00 MPa

Resistencia a momento flector Y y fuerza cortante Z combinados (CTE DB SE-A, Artículo 6.2.8)

No es necesario reducir la resistencia de cálculo a flexión, ya que el esfuerzo cortante solicitante de cálculo pésimo V_{Ed} no es superior al 50% de la resistencia de cálculo a cortante $V_{c,Rd}$.

$$V_{Ed} \leq \frac{V_{c,Rd}}{2}$$

2.53 kN ≤ 222.58 kN



Los esfuerzos solicitantes de cálculo pésimos se producen para la combinación de acciones 1.35·PP+1.5·V(270°)H1+0.75·N(EI).

V_{Ed} : Esfuerzo cortante solicitante de cálculo pésimo.

V_{Ed} : 2.53 kN

$V_{c,Rd}$: Esfuerzo cortante resistente de cálculo.

$V_{c,Rd}$: 445.16 kN

Resistencia a momento flector Z y fuerza cortante Y combinados (CTE DB SE-A, Artículo 6.2.8)

No es necesario reducir la resistencia de cálculo a flexión, ya que el esfuerzo cortante solicitante de cálculo pésimo V_{Ed} no es superior al 50% de la resistencia de cálculo a cortante $V_{c,Rd}$.

$$V_{Ed} \leq \frac{V_{c,Rd}}{2}$$

$$15.09 \text{ kN} \leq 164.45 \text{ kN}$$



Los esfuerzos solicitantes de cálculo pésimos se producen para la combinación de acciones $1.35 \cdot PP + 1.5 \cdot V(0^\circ)H3 + 0.75 \cdot N(EI)$.

V_{Ed} : Esfuerzo cortante solicitante de cálculo pésimo.

$$V_{Ed} : 15.09 \text{ kN}$$

$V_{c,Rd}$: Esfuerzo cortante resistente de cálculo.

$$V_{c,Rd} : 328.90 \text{ kN}$$

Resistencia a flexión y axil combinados (CTE DB SE-A, Artículo 6.2.8)

Se debe satisfacer:

$$\eta = \frac{N_{c,Ed}}{N_{pl,Rd}} + \frac{M_{y,Ed}}{M_{pl,Rd,y}} + \frac{M_{z,Ed}}{M_{pl,Rd,z}} \leq 1$$

$$\eta : 0.321$$



$$\eta = \frac{N_{c,Ed}}{N_{pl,Rd}} + \frac{M_{y,Ed}}{M_{pl,Rd,y}} + \frac{M_{z,Ed}}{M_{pl,Rd,z}} \leq 1$$

$$\eta : 0.358$$



$$\eta = \frac{N_{c,Ed}}{\gamma_z \cdot A \cdot f_{yd}} + \alpha_y \cdot k_y \cdot \frac{c_{m,y} \cdot M_{y,Ed}}{W_{pl,y} \cdot f_{yd}} + k_z \cdot \frac{c_{m,z} \cdot M_{z,Ed}}{W_{pl,z} \cdot f_{yd}} \leq 1$$

$$\eta : 0.481$$



Los esfuerzos solicitantes de cálculo pésimos se producen en el nudo N862, para la combinación de acciones $1.35 \cdot PP + 1.5 \cdot V(180^\circ)H3 + 0.75 \cdot N(R)1$.

Donde:

$N_{c,Ed}$: Axil de compresión solicitante de cálculo pésimo.

$$N_{c,Ed} : 184.22 \text{ kN}$$

$M_{y,Ed}$, $M_{z,Ed}$: Momentos flectores solicitantes de cálculo pésimos, según los ejes Y y Z, respectivamente.

$$M_{y,Ed} : 1.86 \text{ kN} \cdot \text{m}$$

$$M_{z,Ed} : 12.07 \text{ kN} \cdot \text{m}$$

Clase: Clase de la sección, según la capacidad de deformación y de desarrollo de la resistencia plástica de sus elementos planos, para axil y flexión simple.

$$\text{Clase} : 1$$

$N_{pl,Rd}$: Resistencia a compresión de la sección bruta.

$$N_{pl,Rd} : 1340.71 \text{ kN}$$

$M_{pl,Rd,y}$, $M_{pl,Rd,z}$: Resistencia a flexión de la sección bruta en condiciones plásticas, respecto a los ejes Y y Z, respectivamente.

$$M_{pl,Rd,y} : 89.92 \text{ kN} \cdot \text{m}$$

$$M_{pl,Rd,z} : 73.89 \text{ kN} \cdot \text{m}$$

Resistencia a pandeo: (CTE DB SE-A, Artículo 6.3.4.2)

A : Área de la sección bruta.

$$A : 51.19 \text{ cm}^2$$

$$W_{pl,y} : 343.32 \text{ cm}^3$$

$W_{pl,y}$, $W_{pl,z}$: Módulos resistentes plásticos correspondientes a la fibra comprimida, alrededor de los ejes Y y Z, respectivamente.

$$W_{pl,z} : \underline{282.14} \text{ cm}^3$$

$$f_{yd} : \underline{261.90} \text{ MPa}$$

f_{yd} : Resistencia de cálculo del acero.

$$f_{yd} = f_y / \gamma_{M1}$$

Siendo:

f_y : Límite elástico. (CTE DB SE-A, Tabla 4.1)

$$f_y : \underline{275.00} \text{ MPa}$$

γ_{M1} : Coeficiente parcial de seguridad del material.

$$\gamma_{M1} : \underline{1.05}$$

k_y , k_z : Coeficientes de interacción.

$$k_y = 1 + (\bar{\lambda}_y - 0.2) \cdot \frac{N_{c,Ed}}{\chi_y \cdot N_{c,Rd}}$$

$$k_y : \underline{1.14}$$

$$k_z = 1 + (\bar{\lambda}_z - 0.2) \cdot \frac{N_{c,Ed}}{\chi_z \cdot N_{c,Rd}}$$

$$k_z : \underline{1.21}$$

$C_{m,y}$, $C_{m,z}$: Factores de momento flector uniforme equivalente.

$$C_{m,y} : \underline{1.00}$$

$$C_{m,z} : \underline{1.00}$$

χ_y , χ_z : Coeficientes de reducción por pandeo, alrededor de los ejes Y y Z, respectivamente.

$$\chi_y : \underline{0.64}$$

$$\chi_z : \underline{0.51}$$

$\bar{\lambda}_y$, $\bar{\lambda}_z$: Esbelteces reducidas con valores no mayores que 1.00, en relación a los ejes Y y Z, respectivamente.

$$\bar{\lambda}_y : \underline{0.84}$$

$$\bar{\lambda}_z : \underline{1.05}$$

α_y , α_z : Factores dependientes de la clase de la sección.

$$\alpha_y : \underline{0.60}$$

$$\alpha_z : \underline{0.60}$$

Resistencia a flexión, axil y cortante combinados (CTE DB SE-A, Artículo 6.2.8)

No es necesario reducir las resistencias de cálculo a flexión y a axil, ya que se puede ignorar el efecto de abolladura por esfuerzo cortante y, además, el esfuerzo cortante solicitante de cálculo pésimo V_{Ed} es menor o igual que el 50% del esfuerzo cortante resistente de cálculo $V_{c,Rd}$.

Los esfuerzos solicitantes de cálculo pésimos se producen para la combinación de acciones $1.35 \cdot PP + 1.5 \cdot V(0^\circ)H3 + 0.75 \cdot N(EI)$.

$$V_{Ed,y} \leq \frac{V_{c,Rd,y}}{2}$$

$$15.09 \text{ kN} \leq 164.19 \text{ kN}$$



Donde:

$V_{Ed,y}$: Esfuerzo cortante solicitante de cálculo pésimo.

$$V_{Ed,y} : \underline{15.09} \text{ kN}$$

$V_{c,Rd,y}$: Esfuerzo cortante resistente de cálculo.

$$V_{c,Rd,y} : \underline{328.38} \text{ kN}$$

Resistencia a torsión (CTE DB SE-A, Artículo 6.2.7)

Se debe satisfacer:

$$\eta = \frac{M_{T,Ed}}{M_{T,Rd}} \leq 1$$

$\eta : 0.002$ ✓

El esfuerzo solicitante de cálculo pésimo se produce para la combinación de acciones $1.35 \cdot PP + 1.5 \cdot V(0^\circ)H4 + 0.75 \cdot N(EI)$.

$M_{T,Ed}$: Momento torsor solicitante de cálculo pésimo.

$M_{T,Ed} : 0.15 \text{ kN}\cdot\text{m}$

El momento torsor resistente de cálculo $M_{T,Rd}$ viene dado por:

$$M_{T,Rd} = \frac{1}{\sqrt{3}} \cdot W_T \cdot f_{yd}$$

$M_{T,Rd} : 65.96 \text{ kN}\cdot\text{m}$

Donde:

W_T : Módulo de resistencia a torsión.

$W_T : 436.22 \text{ cm}^3$

f_{yd} : Resistencia de cálculo del acero.

$f_{yd} : 261.90 \text{ MPa}$

$$f_{yd} = f_y / \gamma_{M0}$$

Siendo:

f_y : Límite elástico. (CTE DB SE-A, Tabla 4.1)

$f_y : 275.00 \text{ MPa}$

γ_{M0} : Coeficiente parcial de seguridad del material.

$\gamma_{M0} : 1.05$

Resistencia a cortante Z y momento torsor combinados (CTE DB SE-A, Artículo 6.2.8)

Se debe satisfacer:

$$\eta = \frac{V_{Ed}}{V_{pl,T,Rd}} \leq 1$$

$\eta : 0.006$ ✓

Los esfuerzos solicitantes de cálculo pésimos se producen en el nudo N862, para la combinación de acciones $1.35 \cdot PP + 1.5 \cdot V(90^\circ)H2$.

V_{Ed} : Esfuerzo cortante solicitante de cálculo pésimo.

$V_{Ed} : 2.57 \text{ kN}$

$M_{T,Ed}$: Momento torsor solicitante de cálculo pésimo.

$M_{T,Ed} : 0.04 \text{ kN}\cdot\text{m}$

El esfuerzo cortante resistente de cálculo reducido $V_{pl,T,Rd}$ viene dado por:

$$V_{pl,T,Rd} = \left[1 - \frac{\tau_{T,Ed}}{f_{yd}/\sqrt{3}} \right] \cdot V_{pl,Rd}$$

$V_{pl,T,Rd} : 444.86 \text{ kN}$

Donde:

$V_{pl,Rd}$: Esfuerzo cortante resistente de cálculo.

$V_{pl,Rd} : 445.16 \text{ kN}$

$\tau_{T,Ed}$: Tensiones tangenciales por torsión.

$\tau_{T,Ed} : 0.10 \text{ MPa}$

$$\tau_{T,Ed} = \frac{M_{T,Ed}}{W_t}$$

Siendo:

W_T : Módulo de resistencia a torsión.

$W_T : 436.22 \text{ cm}^3$

f_{yd} : Resistencia de cálculo del acero.

$f_{yd} : 261.90 \text{ MPa}$

$$f_{yd} = f_y / \gamma_{M0}$$

Siendo:

f_y : Límite elástico. (CTE DB SE-A, Tabla 4.1)

f_y : 275.00 MPa

γ_{M0} : Coeficiente parcial de seguridad del material.

γ_{M0} : 1.05

Resistencia a cortante Y y momento torsor combinados (CTE DB SE-A, Artículo 6.2.8)

Se debe satisfacer:

$$\eta = \frac{V_{Ed}}{V_{pl,T,Rd}} \leq 1$$

η : 0.051 ✓

Los esfuerzos solicitantes de cálculo pésimos se producen en el nudo N862, para la combinación de acciones 0.8·PP+1.5·V(0°)H1.

V_{Ed} : Esfuerzo cortante solicitante de cálculo pésimo.

V_{Ed} : 16.84 kN

$M_{T,Ed}$: Momento torsor solicitante de cálculo pésimo.

$M_{T,Ed}$: 0.07 kN·m

El esfuerzo cortante resistente de cálculo reducido $V_{pl,T,Rd}$ viene dado por:

$$V_{pl,T,Rd} = \left[1 - \frac{\tau_{T,Ed}}{f_{yd} / \sqrt{3}} \right] \cdot V_{pl,Rd}$$

$V_{pl,T,Rd}$: 328.56 kN

Donde:

$V_{pl,Rd}$: Esfuerzo cortante resistente de cálculo.

$V_{pl,Rd}$: 328.90 kN

$\tau_{T,Ed}$: Tensiones tangenciales por torsión.

$\tau_{T,Ed}$: 0.15 MPa

$$\tau_{T,Ed} = \frac{M_{T,Ed}}{W_t}$$

Siendo:

W_T : Módulo de resistencia a torsión.

W_T : 436.22 cm³

f_{yd} : Resistencia de cálculo del acero.

f_{yd} : 261.90 MPa

$$f_{yd} = f_y / \gamma_{M0}$$

Siendo:

f_y : Límite elástico. (CTE DB SE-A, Tabla 4.1)

f_y : 275.00 MPa

γ_{M0} : Coeficiente parcial de seguridad del material.

γ_{M0} : 1.05

$$N_{cr,T} = \frac{1}{i_0^2} \cdot \left[G \cdot I_t + \frac{\pi^2 \cdot E \cdot I_w}{L_{kt}^2} \right]$$

Donde:

I_y : Momento de inercia de la sección bruta, respecto al eje Y.	I_y : <u>1363.78</u> cm4
I_z : Momento de inercia de la sección bruta, respecto al eje Z.	I_z : <u>872.48</u> cm4
I_t : Momento de inercia a torsión uniforme.	I_t : <u>1809.65</u> cm4
I_w : Constante de alabeo de la sección.	I_w : <u>0.00</u> cm6
E : Módulo de elasticidad.	E : <u>210000</u> MPa
G : Módulo de elasticidad transversal.	G : <u>81000</u> MPa
L_{ky} : Longitud efectiva de pandeo por flexión, respecto al eje Y.	L_{ky} : <u>5.720</u> m
L_{kz} : Longitud efectiva de pandeo por flexión, respecto al eje Z.	L_{kz} : <u>0.000</u> m
L_{kt} : Longitud efectiva de pandeo por torsión.	L_{kt} : <u>0.000</u> m
i₀ : Radio de giro polar de la sección bruta, respecto al centro de torsión.	i₀ : <u>7.48</u> cm

$$i_0 = (i_y^2 + i_z^2 + y_0^2 + z_0^2)^{0.5}$$

Siendo:

i_y , i_z : Radios de giro de la sección bruta, respecto a los ejes principales de inercia Y y Z.	i_y : <u>5.84</u> cm
	i_z : <u>4.67</u> cm
y₀ , z₀ : Coordenadas del centro de torsión en la dirección de los ejes principales Y y Z, respectivamente, relativas al centro de gravedad de la sección.	y₀ : <u>0.00</u> mm
	z₀ : <u>0.00</u> mm

Abolladura del alma inducida por el ala comprimida (Criterio de CYPE Ingenieros, basado en: Eurocódigo 3 EN 1993-1-5: 2006, Artículo 8)

Se debe satisfacer:

$$\frac{h_w}{t_w} \leq k \frac{E}{f_{yf}} \sqrt{\frac{A_w}{A_{fc,ef}}}$$

$$18.00 \leq 354.91 \quad \checkmark$$

Donde:

h_w : Altura del alma.	h_w : <u>144.00</u> mm
t_w : Espesor del alma.	t_w : <u>8.00</u> mm
A_w : Área del alma.	A_w : <u>23.04</u> cm ²
A_{fc,ef} : Área reducida del ala comprimida.	A_{fc,ef} : <u>9.60</u> cm ²
k : Coeficiente que depende de la clase de la sección.	k : <u>0.30</u>
E : Módulo de elasticidad.	E : <u>210000</u> MPa
f_{yf} : Límite elástico del acero del ala comprimida.	f_{yf} : <u>275.00</u> MPa

Siendo:

$$f_{yf} = f_y$$

Resistencia a tracción (CTE DB SE-A, Artículo 6.2.3)

Se debe satisfacer:

$$\eta = \frac{N_{t,Ed}}{N_{t,Rd}} \leq 1$$

$$\eta : \underline{0.133} \quad \checkmark$$

El esfuerzo solicitante de cálculo pésimo se produce en el nudo N12,
para la combinación de acciones 1.35·PP+1.5·V(270°)H1+0.75·N(R)2.

N_{t,Ed}: Axil de tracción solicitante de cálculo pésimo.

$$\mathbf{N_{t,Ed}} : \underline{139.48} \text{ kN}$$

La resistencia de cálculo a tracción **N_{t,Rd}** viene dada por:

$$\mathbf{N_{t,Rd}} = A \cdot f_{yd}$$

$$\mathbf{N_{t,Rd}} : \underline{1047.38} \text{ kN}$$

Donde:

A: Área bruta de la sección transversal de la barra.

$$\mathbf{A} : \underline{39.99} \text{ cm}^2$$

f_{yd}: Resistencia de cálculo del acero.

$$\mathbf{f_{yd}} : \underline{261.90} \text{ MPa}$$

$$f_{yd} = f_y / \gamma_{M0}$$

Siendo:

f_y: Límite elástico. (CTE DB SE-A, Tabla 4.1)

$$\mathbf{f_y} : \underline{275.00} \text{ MPa}$$

γ_{M0}: Coeficiente parcial de seguridad del material.

$$\mathbf{\gamma_{M0}} : \underline{1.05}$$

Resistencia a compresión (CTE DB SE-A, Artículo 6.2.5)

Se debe satisfacer:

$$\eta = \frac{N_{c,Ed}}{N_{c,Rd}} \leq 1$$

$$\eta : \underline{0.146} \quad \checkmark$$

$$\eta = \frac{N_{c,Ed}}{N_{b,Rd}} \leq 1$$

$$\eta : \underline{0.310} \quad \checkmark$$

El esfuerzo solicitante de cálculo pésimo se produce en el nudo N22,
para la combinación de acciones 0.8·PP+1.5·V(90°)H2.

N_{c,Ed}: Axil de compresión solicitante de cálculo pésimo.

$$\mathbf{N_{c,Ed}} : \underline{152.41} \text{ kN}$$

La resistencia de cálculo a compresión **N_{c,Rd}** viene dada por:

$$\mathbf{N_{c,Rd}} = A \cdot f_{yd}$$

$$\mathbf{N_{c,Rd}} : \underline{1047.38} \text{ kN}$$

Donde:

Clase: Clase de la sección, según la capacidad de deformación y de desarrollo de la resistencia plástica de los elementos planos comprimidos de una sección.

$$\mathbf{Clase} : \underline{1}$$

A: Área de la sección bruta para las secciones de clase 1, 2 y 3.

$$A : \underline{39.99 \text{ cm}^2}$$

f_{yd}: Resistencia de cálculo del acero.

$$f_{yd} : \underline{261.90 \text{ MPa}}$$

$$f_{yd} = f_y / \gamma_{M0}$$

Siendo:

f_y: Límite elástico. (CTE DB SE-A, Tabla 4.1)

$$f_y : \underline{275.00 \text{ MPa}}$$

γ_{M0}: Coeficiente parcial de seguridad del material.

$$\gamma_{M0} : \underline{1.05}$$

Resistencia a pandeo: (CTE DB SE-A, Artículo 6.3.2)

La resistencia de cálculo a pandeo **N_{b,Rd}** en una barra comprimida viene dada por:

$$N_{b,Rd} = \chi \cdot A \cdot f_{yd}$$

$$N_{b,Rd} : \underline{491.67 \text{ kN}}$$

Donde:

A: Área de la sección bruta para las secciones de clase 1, 2 y 3.

$$A : \underline{39.99 \text{ cm}^2}$$

f_{yd}: Resistencia de cálculo del acero.

$$f_{yd} : \underline{261.90 \text{ MPa}}$$

$$f_{yd} = f_y / \gamma_{M1}$$

Siendo:

f_y: Límite elástico. (CTE DB SE-A, Tabla 4.1)

$$f_y : \underline{275.00 \text{ MPa}}$$

γ_{M1}: Coeficiente parcial de seguridad del material.

$$\gamma_{M1} : \underline{1.05}$$

χ: Coeficiente de reducción por pandeo.

$$\chi = \frac{1}{\Phi + \sqrt{\Phi^2 - (\bar{\lambda})^2}} \leq 1$$

$$\chi_y : \underline{0.47}$$

Siendo:

$$\Phi = 0.5 \cdot \left[1 + \alpha \cdot (\bar{\lambda} - 0.2) + (\bar{\lambda})^2 \right]$$

$$\phi_y : \underline{1.36}$$

α: Coeficiente de imperfección elástica.

$$\alpha_y : \underline{0.49}$$

λ̄: Esbeltez reducida.

$$\bar{\lambda} = \sqrt{\frac{A \cdot f_y}{N_{cr}}}$$

$$\bar{\lambda}_y : \underline{1.13}$$

N_{cr}: Axil crítico elástico de pandeo, obtenido como el menor de los siguientes valores:

$$N_{cr} : \underline{863.92 \text{ kN}}$$

N_{cr,y}: Axil crítico elástico de pandeo por flexión respecto al eje Y.

$$N_{cr,y} : \underline{863.92 \text{ kN}}$$

N_{cr,z}: Axil crítico elástico de pandeo por flexión respecto al eje Z.

$$N_{cr,z} : \underline{\infty}$$

N_{cr,T}: Axil crítico elástico de pandeo por torsión.

$$N_{cr,T} : \underline{\infty}$$

Resistencia a flexión eje Y (CTE DB SE-A, Artículo 6.2.6)

Se debe satisfacer:

$$\eta = \frac{M_{Ed}}{M_{c,Rd}} \leq 1$$

$\eta : 0.252$ ✓

Para flexión positiva:

El esfuerzo solicitante de cálculo pésimo se produce en el nudo N22, para la combinación de acciones 0.8·PP+1.5·V(90°)H1.

M_{Ed}^+ : Momento flector solicitante de cálculo pésimo.

$M_{Ed}^+ : 13.91 \text{ kN}\cdot\text{m}$

Para flexión negativa:

El esfuerzo solicitante de cálculo pésimo se produce en el nudo N22, para la combinación de acciones 1.35·PP+1.5·V(0°)H4+0.75·N(R)2.

M_{Ed}^- : Momento flector solicitante de cálculo pésimo.

$M_{Ed}^- : 7.07 \text{ kN}\cdot\text{m}$

El momento flector resistente de cálculo $M_{c,Rd}$ viene dado por:

$$M_{c,Rd} = W_{pl,y} \cdot f_{yd}$$

$M_{c,Rd} : 55.23 \text{ kN}\cdot\text{m}$

Donde:

Clase: Clase de la sección, según la capacidad de deformación y de desarrollo de la resistencia plástica de los elementos planos de una sección a flexión simple.

Clase : 1

$W_{pl,y}$: Módulo resistente plástico correspondiente a la fibra con mayor tensión, para las secciones de clase 1 y 2.

$W_{pl,y} : 210.86 \text{ cm}^3$

f_{yd} : Resistencia de cálculo del acero.

$f_{yd} : 261.90 \text{ MPa}$

$$f_{yd} = f_y / \gamma_{M0}$$

Siendo:

f_y : Límite elástico. (CTE DB SE-A, Tabla 4.1)

$f_y : 275.00 \text{ MPa}$

γ_{M0} : Coeficiente parcial de seguridad del material.

$\gamma_{M0} : 1.05$

Resistencia a pandeo lateral: (CTE DB SE-A, Artículo 6.3.3.2)

No procede, dado que las longitudes de pandeo lateral son nulas.

Resistencia a flexión eje Z (CTE DB SE-A, Artículo 6.2.6)

Se debe satisfacer:

$$\eta = \frac{M_{Ed}}{M_{c,Rd}} \leq 1$$

$\eta : 0.044$ ✓

Para flexión positiva:

El esfuerzo solicitante de cálculo pésimo se produce en el nudo N12, para la combinación de acciones 0.8·PP+1.5·V(0°)H1+0.75·N(R)1.

M_{Ed}^+ : Momento flector solicitante de cálculo pésimo.

$M_{Ed}^+ : 1.56 \text{ kN}\cdot\text{m}$

Para flexión negativa:

El esfuerzo solicitante de cálculo pésimo se produce en el nudo N12, para la combinación de acciones 1.35·PP+1.5·V(90°)H2.

M_{Ed}^- : Momento flector solicitante de cálculo pésimo.

$M_{Ed}^- : 2.01 \text{ kN}\cdot\text{m}$

El momento flector resistente de cálculo $M_{c,Rd}$ viene dado por:

$$M_{c,Rd} = W_{pl,z} \cdot f_{yd}$$

$$M_{c,Rd} : 45.34 \text{ kN}\cdot\text{m}$$

Donde:

Clase: Clase de la sección, según la capacidad de deformación y de desarrollo de la resistencia plástica de los elementos planos de una sección a flexión simple.

$$\text{Clase} : 1$$

$W_{pl,z}$: Módulo resistente plástico correspondiente a la fibra con mayor tensión, para las secciones de clase 1 y 2.

$$W_{pl,z} : 173.12 \text{ cm}^3$$

f_{yd} : Resistencia de cálculo del acero.

$$f_{yd} : 261.90 \text{ MPa}$$

$$f_{yd} = f_y / \gamma_{M0}$$

Siendo:

f_y : Límite elástico. (CTE DB SE-A, Tabla 4.1)

$$f_y : 275.00 \text{ MPa}$$

γ_{M0} : Coeficiente parcial de seguridad del material.

$$\gamma_{M0} : 1.05$$

Resistencia a corte Z (CTE DB SE-A, Artículo 6.2.4)

Se debe satisfacer:

$$\eta = \frac{V_{Ed}}{V_{c,Rd}} \leq 1$$

$$\eta : 0.042 \checkmark$$

El esfuerzo solicitante de cálculo pésimo se produce en el nudo N22, para la combinación de acciones 0.8·PP+1.5·V(90°)H1.

V_{Ed} : Esfuerzo cortante solicitante de cálculo pésimo.

$$V_{Ed} : 14.80 \text{ kN}$$

El esfuerzo cortante resistente de cálculo **$V_{c,Rd}$** viene dado por:

$$V_{c,Rd} = A_v \cdot \frac{f_{yd}}{\sqrt{3}}$$

$$V_{c,Rd} : 348.39 \text{ kN}$$

Donde:

A_v : Área transversal a cortante.

$$A_v : 23.04 \text{ cm}^2$$

$$A_v = 2 \cdot d \cdot t_w$$

Siendo:

d : Altura del alma.

$$d : 144.00 \text{ mm}$$

t_w : Espesor del alma.

$$t_w : 8.00 \text{ mm}$$

f_{yd} : Resistencia de cálculo del acero.

$$f_{yd} : 261.90 \text{ MPa}$$

$$f_{yd} = f_y / \gamma_{M0}$$

Siendo:

f_y : Límite elástico. (CTE DB SE-A, Tabla 4.1)

$$f_y : 275.00 \text{ MPa}$$

γ_{M0} : Coeficiente parcial de seguridad del material.

$$\gamma_{M0} : 1.05$$

Abolladura por cortante del alma: (CTE DB SE-A, Artículo 6.3.3.4)

Aunque no se han dispuesto rigidizadores transversales, no es necesario comprobar la resistencia a la abolladura del alma, puesto que se cumple:

$$\frac{d}{t_w} < 70 \cdot \varepsilon$$

$$18.00 < 64.71$$



Donde:

λ_w : Esbeltez del alma.

$$\lambda_w : 18.00$$

$$\lambda_w = \frac{d}{t_w}$$

$\lambda_{m\acute{a}x}$: Esbeltez máxima.

$$\lambda_{m\acute{a}x} : 64.71$$

ε : Factor de reducción.

$$\varepsilon : 0.92$$

$$\varepsilon = \sqrt{\frac{f_{ref}}{f_y}}$$

Siendo:

f_{ref} : Límite elástico de referencia.

$$f_{ref} : 235.00 \text{ MPa}$$

f_y : Límite elástico. (CTE DB SE-A, Tabla 4.1)

$$f_y : 275.00 \text{ MPa}$$

Resistencia a corte Y (CTE DB SE-A, Artículo 6.2.4)

Se debe satisfacer:

$$\eta = \frac{V_{Ed}}{V_{c,Rd}} \leq 1$$

$$\eta : 0.004$$



El esfuerzo solicitante de cálculo pésimo se produce en el nudo N12, para la combinación de acciones 1.35·PP+1.5·V(90°)H2.

V_{Ed} : Esfuerzo cortante solicitante de cálculo pésimo.

$$V_{Ed} : 0.99 \text{ kN}$$

El esfuerzo cortante resistente de cálculo $V_{c,Rd}$ viene dado por:

$$V_{c,Rd} = A_v \cdot \frac{f_{yd}}{\sqrt{3}}$$

$$V_{c,Rd} : 256.32 \text{ kN}$$

Donde:

A_v : Área transversal a cortante.

$$A_v : 16.95 \text{ cm}^2$$

$$A_v = A - 2 \cdot d \cdot t_w$$

Siendo:

A : Área de la sección bruta.

$$A : 39.99 \text{ cm}^2$$

d : Altura del alma.

$$d : 144.00 \text{ mm}$$

t_w : Espesor del alma.

$$t_w : 8.00 \text{ mm}$$

f_{yd} : Resistencia de cálculo del acero.

$$f_{yd} : 261.90 \text{ MPa}$$

$$f_{yd} = f_y / \gamma_{M0}$$

Siendo:

f_y : Límite elástico. (CTE DB SE-A, Tabla 4.1)

f_y : 275.00 MPa

γ_{M0} : Coeficiente parcial de seguridad del material.

γ_{M0} : 1.05

Abolladura por cortante del alma: (CTE DB SE-A, Artículo 6.3.3.4)

Aunque no se han dispuesto rigidizadores transversales, no es necesario comprobar la resistencia a la abolladura del alma, puesto que se cumple:

$$\frac{b}{t_f} < 70 \cdot \varepsilon$$

$$15.00 < 64.71$$



Donde:

λ_w : Esbeltez del alma.

λ_w : 15.00

$$\lambda_w = \frac{b}{t_f}$$

$\lambda_{m\acute{a}x}$: Esbeltez máxima.

$\lambda_{m\acute{a}x}$: 64.71

ε : Factor de reducción.

ε : 0.92

$$\varepsilon = \sqrt{\frac{f_{ref}}{f_y}}$$

Siendo:

f_{ref} : Límite elástico de referencia.

f_{ref} : 235.00 MPa

f_y : Límite elástico. (CTE DB SE-A, Tabla 4.1)

f_y : 275.00 MPa

Resistencia a momento flector Y y fuerza cortante Z combinados (CTE DB SE-A, Artículo 6.2.8)

No es necesario reducir la resistencia de cálculo a flexión, ya que el esfuerzo cortante solicitante de cálculo pésimo V_{Ed} no es superior al 50% de la resistencia de cálculo a cortante $V_{c,Rd}$.

$$V_{Ed} \leq \frac{V_{c,Rd}}{2}$$

$$14.80 \text{ kN} \leq 174.19 \text{ kN}$$



Los esfuerzos solicitantes de cálculo pésimos se producen para la combinación de acciones 0.8·PP+1.5·V(90°)H1.

V_{Ed} : Esfuerzo cortante solicitante de cálculo pésimo.

V_{Ed} : 14.80 kN

$V_{c,Rd}$: Esfuerzo cortante resistente de cálculo.

$V_{c,Rd}$: 348.39 kN

Resistencia a momento flector Z y fuerza cortante Y combinados (CTE DB SE-A, Artículo 6.2.8)

No es necesario reducir la resistencia de cálculo a flexión, ya que el esfuerzo cortante solicitante de cálculo pésimo V_{Ed} no es superior al 50% de la resistencia de cálculo a cortante $V_{c,Rd}$.

$$V_{Ed} \leq \frac{V_{c,Rd}}{2}$$

$$0.58 \text{ kN} \leq 128.16 \text{ kN}$$



Los esfuerzos solicitantes de cálculo pésimos se producen para la combinación de acciones 1.35·PP+1.5·V(0°)H3.

V_{Ed} : Esfuerzo cortante solicitante de cálculo pésimo.

$$V_{Ed} : 0.58 \text{ kN}$$

$V_{c,Rd}$: Esfuerzo cortante resistente de cálculo.

$$V_{c,Rd} : 256.32 \text{ kN}$$

Resistencia a flexión y axil combinados (CTE DB SE-A, Artículo 6.2.8)

Se debe satisfacer:

$$\eta = \frac{N_{c,Ed}}{N_{pl,Rd}} + \frac{M_{y,Ed}}{M_{pl,Rd,y}} + \frac{M_{z,Ed}}{M_{pl,Rd,z}} \leq 1$$

$$\eta : 0.297$$



$$\eta = \frac{N_{c,Ed}}{\chi_y \cdot A \cdot f_{yd}} + k_y \cdot \frac{C_{m,y} \cdot M_{y,Ed}}{\chi_{LT} \cdot W_{pl,y} \cdot f_{yd}} + \alpha_z \cdot k_z \cdot \frac{C_{m,z} \cdot M_{z,Ed}}{W_{pl,z} \cdot f_{yd}} \leq 1$$

$$\eta : 0.487$$



$$\eta = \frac{N_{c,Ed}}{\chi_z \cdot A \cdot f_{yd}} + \alpha_y \cdot k_y \cdot \frac{C_{m,y} \cdot M_{y,Ed}}{W_{pl,y} \cdot f_{yd}} + k_z \cdot \frac{C_{m,z} \cdot M_{z,Ed}}{W_{pl,z} \cdot f_{yd}} \leq 1$$

$$\eta : 0.263$$



Los esfuerzos solicitantes de cálculo pésimos se producen en el nudo N22, para la combinación de acciones 0.8·PP+1.5·V(90°)H2.

Donde:

$N_{c,Ed}$: Axil de compresión solicitante de cálculo pésimo.

$$N_{c,Ed} : 152.41 \text{ kN}$$

$M_{y,Ed}$, $M_{z,Ed}$: Momentos flectores solicitantes de cálculo pésimos, según los ejes Y y Z, respectivamente.

$$M_{y,Ed}^+ : 7.38 \text{ kN}\cdot\text{m}$$

$$M_{z,Ed}^+ : 0.81 \text{ kN}\cdot\text{m}$$

Clase: Clase de la sección, según la capacidad de deformación y de desarrollo de la resistencia plástica de sus elementos planos, para axil y flexión simple.

$$\text{Clase} : 1$$

$N_{pl,Rd}$: Resistencia a compresión de la sección bruta.

$$N_{pl,Rd} : 1047.38 \text{ kN}$$

$M_{pl,Rd,y}$, $M_{pl,Rd,z}$: Resistencia a flexión de la sección bruta en condiciones plásticas, respecto a los ejes Y y Z, respectivamente.

$$M_{pl,Rd,y} : 55.23 \text{ kN}\cdot\text{m}$$

$$M_{pl,Rd,z} : 45.34 \text{ kN}\cdot\text{m}$$

Resistencia a pandeo: (CTE DB SE-A, Artículo 6.3.4.2)

A : Área de la sección bruta.

$$A : 39.99 \text{ cm}^2$$

$W_{pl,y}$, $W_{pl,z}$: Módulos resistentes plásticos correspondientes a la fibra comprimida, alrededor de los ejes Y y Z, respectivamente.

$$W_{pl,y} : 210.86 \text{ cm}^3$$

$$W_{pl,z} : 173.12 \text{ cm}^3$$

f_{yd} : Resistencia de cálculo del acero.

$$f_{yd} : 261.90 \text{ MPa}$$

$$f_{yd} = f_y / \gamma_{M1}$$

Siendo:

f_y : Límite elástico. (CTE DB SE-A, Tabla 4.1)

γ_{M1} : Coeficiente parcial de seguridad del material.

$$f_y : \underline{275.00 \text{ MPa}}$$

$$\gamma_{M1} : \underline{1.05}$$

k_y, k_z : Coeficientes de interacción.

$$k_y = 1 + (\bar{\lambda}_y - 0.2) \cdot \frac{N_{c,Ed}}{\chi_y \cdot N_{c,Rd}}$$

$$k_y : \underline{1.25}$$

$$k_z = 1 + (\bar{\lambda}_z - 0.2) \cdot \frac{N_{c,Ed}}{\chi_z \cdot N_{c,Rd}}$$

$$k_z : \underline{1.00}$$

$C_{m,y}, C_{m,z}$: Factores de momento flector uniforme equivalente.

$$C_{m,y} : \underline{1.00}$$

$$C_{m,z} : \underline{1.00}$$

χ_y, χ_z : Coeficientes de reducción por pandeo, alrededor de los ejes Y y Z, respectivamente.

$$\chi_y : \underline{0.47}$$

$$\chi_z : \underline{1.00}$$

$\bar{\lambda}_y, \bar{\lambda}_z$: Esbelteces reducidas con valores no mayores que 1.00, en relación a los ejes Y y Z, respectivamente.

$$\bar{\lambda}_y : \underline{1.13}$$

$$\bar{\lambda}_z : \underline{0.00}$$

α_y, α_z : Factores dependientes de la clase de la sección.

$$\alpha_y : \underline{0.60}$$

$$\alpha_z : \underline{0.60}$$

Resistencia a flexión, axil y cortante combinados (CTE DB SE-A, Artículo 6.2.8)

No es necesario reducir las resistencias de cálculo a flexión y a axil, ya que se puede ignorar el efecto de abolladura por esfuerzo cortante y, además, el esfuerzo cortante solicitante de cálculo pésimo V_{Ed} es menor o igual que el 50% del esfuerzo cortante resistente de cálculo $V_{c,Rd}$.

Los esfuerzos solicitantes de cálculo pésimos se producen para la combinación de acciones 0.8·PP+1.5·V(90°)H1.

$$V_{Ed,z} \leq \frac{V_{c,Rd,z}}{2}$$

$$14.80 \text{ kN} \leq 173.99 \text{ kN}$$



Donde:

$V_{Ed,z}$: Esfuerzo cortante solicitante de cálculo pésimo.

$$V_{Ed,z} : \underline{14.80 \text{ kN}}$$

$V_{c,Rd,z}$: Esfuerzo cortante resistente de cálculo.

$$V_{c,Rd,z} : \underline{347.99 \text{ kN}}$$

Resistencia a torsión (CTE DB SE-A, Artículo 6.2.7)

Se debe satisfacer:

$$\eta = \frac{M_{T,Ed}}{M_{T,Rd}} \leq 1$$

$$\eta : \underline{0.011}$$



El esfuerzo solicitante de cálculo pésimo se produce para la combinación de acciones 0.8·PP+1.5·V(0°)H1.

M_{T,Ed}: Momento torsor solicitante de cálculo pésimo.

$$\mathbf{M_{T,Ed}} : \underline{0.44} \text{ kN}\cdot\text{m}$$

El momento torsor resistente de cálculo **M_{T,Rd}** viene dado por:

$$\mathbf{M_{T,Rd}} = \frac{1}{\sqrt{3}} \cdot W_T \cdot f_{yd}$$

$$\mathbf{M_{T,Rd}} : \underline{41.19} \text{ kN}\cdot\text{m}$$

Donde:

W_T: Módulo de resistencia a torsión.

$$\mathbf{W_T} : \underline{272.38} \text{ cm}^3$$

f_{yd}: Resistencia de cálculo del acero.

$$\mathbf{f_{yd}} : \underline{261.90} \text{ MPa}$$

$$\mathbf{f_{yd}} = f_y / \gamma_{M0}$$

Siendo:

f_y: Límite elástico. (CTE DB SE-A, Tabla 4.1)

$$\mathbf{f_y} : \underline{275.00} \text{ MPa}$$

γ_{M0}: Coeficiente parcial de seguridad del material.

$$\mathbf{\gamma_{M0}} : \underline{1.05}$$

Resistencia a cortante Z y momento torsor combinados (CTE DB SE-A, Artículo 6.2.8)

Se debe satisfacer:

$$\eta = \frac{V_{Ed}}{V_{pl,T,Rd}} \leq 1$$

$$\eta : \underline{0.043} \checkmark$$

Los esfuerzos solicitantes de cálculo pésimos se producen en el nudo N22, para la combinación de acciones 0.8·PP+1.5·V(90°)H1.

V_{Ed}: Esfuerzo cortante solicitante de cálculo pésimo.

$$\mathbf{V_{Ed}} : \underline{14.80} \text{ kN}$$

M_{T,Ed}: Momento torsor solicitante de cálculo pésimo.

$$\mathbf{M_{T,Ed}} : \underline{0.05} \text{ kN}\cdot\text{m}$$

El esfuerzo cortante resistente de cálculo reducido **V_{pl,T,Rd}** viene dado por:

$$\mathbf{V_{pl,T,Rd}} = \left[1 - \frac{\tau_{T,Ed}}{f_{yd}/\sqrt{3}} \right] \cdot V_{pl,Rd}$$

$$\mathbf{V_{pl,T,Rd}} : \underline{347.99} \text{ kN}$$

Donde:

V_{pl,Rd}: Esfuerzo cortante resistente de cálculo.

$$\mathbf{V_{pl,Rd}} : \underline{348.39} \text{ kN}$$

τ_{T,Ed}: Tensiones tangenciales por torsión.

$$\mathbf{\tau_{T,Ed}} : \underline{0.17} \text{ MPa}$$

$$\mathbf{\tau_{T,Ed}} = \frac{M_{T,Ed}}{W_t}$$

Siendo:

W_T: Módulo de resistencia a torsión.

$$\mathbf{W_T} : \underline{272.38} \text{ cm}^3$$

f_{yd}: Resistencia de cálculo del acero.

$$\mathbf{f_{yd}} : \underline{261.90} \text{ MPa}$$

$$\mathbf{f_{yd}} = f_y / \gamma_{M0}$$

Siendo:

f_y : Límite elástico. (CTE DB SE-A, Tabla 4.1)

f_y : 275.00 MPa

γ_{M0} : Coeficiente parcial de seguridad del material.

γ_{M0} : 1.05

Resistencia a cortante Y y momento torsor combinados (CTE DB SE-A, Artículo 6.2.8)

Se debe satisfacer:

$$\eta = \frac{V_{Ed}}{V_{pl,T,Rd}} \leq 1$$

η : 0.004 ✓

Los esfuerzos solicitantes de cálculo pésimos se producen en el nudo N12, para la combinación de acciones 1.35·PP+1.5·V(90°)H2.

V_{Ed} : Esfuerzo cortante solicitante de cálculo pésimo.

V_{Ed} : 0.99 kN

$M_{T,Ed}$: Momento torsor solicitante de cálculo pésimo.

$M_{T,Ed}$: 0.32 kN·m

El esfuerzo cortante resistente de cálculo reducido $V_{pl,T,Rd}$ viene dado por:

$$V_{pl,T,Rd} = \left[1 - \frac{\tau_{T,Ed}}{f_{yd}/\sqrt{3}} \right] \cdot V_{pl,Rd}$$

$V_{pl,T,Rd}$: 254.34 kN

Donde:

$V_{pl,Rd}$: Esfuerzo cortante resistente de cálculo.

$V_{pl,Rd}$: 256.32 kN

$\tau_{T,Ed}$: Tensiones tangenciales por torsión.

$\tau_{T,Ed}$: 1.16 MPa

$$\tau_{T,Ed} = \frac{M_{T,Ed}}{W_t}$$

Siendo:

W_T : Módulo de resistencia a torsión.

W_T : 272.38 cm³

f_{yd} : Resistencia de cálculo del acero.

f_{yd} : 261.90 MPa

$$f_{yd} = f_y / \gamma_{M0}$$

Siendo:

f_y : Límite elástico. (CTE DB SE-A, Tabla 4.1)

f_y : 275.00 MPa

γ_{M0} : Coeficiente parcial de seguridad del material.

γ_{M0} : 1.05

$$N_{cr,T} = \frac{1}{i_0^2} \cdot \left[G \cdot I_t + \frac{\pi^2 \cdot E \cdot I_w}{L_{kt}^2} \right]$$

Donde:

I_y : Momento de inercia de la sección bruta, respecto al eje Y.	I_y : <u>1643.44</u> cm ⁴
I_z : Momento de inercia de la sección bruta, respecto al eje Z.	I_z : <u>1117.53</u> cm ⁴
I_t : Momento de inercia a torsión uniforme.	I_t : <u>2170.99</u> cm ⁴
I_w : Constante de alabeo de la sección.	I_w : <u>0.00</u> cm ⁶
E : Módulo de elasticidad.	E : <u>210000</u> MPa
G : Módulo de elasticidad transversal.	G : <u>81000</u> MPa
L_{ky} : Longitud efectiva de pandeo por flexión, respecto al eje Y.	L_{ky} : <u>5.780</u> m
L_{kz} : Longitud efectiva de pandeo por flexión, respecto al eje Z.	L_{kz} : <u>5.780</u> m
L_{kt} : Longitud efectiva de pandeo por torsión.	L_{kt} : <u>0.000</u> m
i₀ : Radio de giro polar de la sección bruta, respecto al centro de torsión.	i₀ : <u>8.79</u> cm

$$i_0 = (i_y^2 + i_z^2 + y_0^2 + z_0^2)^{0.5}$$

Siendo:

i_y , i_z : Radios de giro de la sección bruta, respecto a los ejes principales de inercia Y y Z.	i_y : <u>6.79</u> cm
	i_z : <u>5.60</u> cm
y₀ , z₀ : Coordenadas del centro de torsión en la dirección de los ejes principales Y y Z, respectivamente, relativas al centro de gravedad de la sección.	y₀ : <u>0.00</u> mm
	z₀ : <u>0.00</u> mm

Abolladura del alma inducida por el ala comprimida (Criterio de CYPE Ingenieros, basado en: Eurocódigo 3 EN 1993-1-5: 2006, Artículo 8)

Se debe satisfacer:

$$\frac{h_w}{t_w} \leq k \frac{E}{f_{yf}} \sqrt{\frac{A_w}{A_{fc,ef}}}$$

$$28.00 \leq 354.91 \quad \checkmark$$

Donde:

h_w : Altura del alma.	h_w : <u>168.00</u> mm
t_w : Espesor del alma.	t_w : <u>6.00</u> mm
A_w : Área del alma.	A_w : <u>20.16</u> cm ²
A_{fc,ef} : Área reducida del ala comprimida.	A_{fc,ef} : <u>8.40</u> cm ²
k : Coeficiente que depende de la clase de la sección.	k : <u>0.30</u>
E : Módulo de elasticidad.	E : <u>210000</u> MPa
f_{yf} : Límite elástico del acero del ala comprimida.	f_{yf} : <u>275.00</u> MPa

Siendo:

$$f_{yf} = f_y$$

Resistencia a tracción (CTE DB SE-A, Artículo 6.2.3)

Se debe satisfacer:

$$\eta = \frac{N_{t,Ed}}{N_{t,Rd}} \leq 1$$

$$\eta : \underline{0.056} \quad \checkmark$$

El esfuerzo solicitante de cálculo pésimo se produce en el nudo N11, para la combinación de acciones $0.8 \cdot PP + 1.5 \cdot V(0^\circ)H3 + 0.75 \cdot N(R)2$.

N_{t,Ed}: Axil de tracción solicitante de cálculo pésimo.

$$\mathbf{N_{t,Ed}} : \underline{52.44} \text{ kN}$$

La resistencia de cálculo a tracción **N_{t,Rd}** viene dada por:

$$\mathbf{N_{t,Rd}} = A \cdot f_{yd}$$

$$\mathbf{N_{t,Rd}} : \underline{934.87} \text{ kN}$$

Donde:

A: Área bruta de la sección transversal de la barra.

$$\mathbf{A} : \underline{35.69} \text{ cm}^2$$

f_{yd}: Resistencia de cálculo del acero.

$$\mathbf{f_{yd}} : \underline{261.90} \text{ MPa}$$

$$f_{yd} = f_y / \gamma_{M0}$$

Siendo:

f_y: Límite elástico. (CTE DB SE-A, Tabla 4.1)

$$\mathbf{f_y} : \underline{275.00} \text{ MPa}$$

γ_{M0}: Coeficiente parcial de seguridad del material.

$$\mathbf{\gamma_{M0}} : \underline{1.05}$$

Resistencia a compresión (CTE DB SE-A, Artículo 6.2.5)

Se debe satisfacer:

$$\eta = \frac{N_{c,Ed}}{N_{c,Rd}} \leq 1$$

$$\eta : \underline{0.070} \quad \checkmark$$

$$\eta = \frac{N_{c,Ed}}{N_{b,Rd}} \leq 1$$

$$\eta : \underline{0.161} \quad \checkmark$$

El esfuerzo solicitante de cálculo pésimo se produce en el nudo N21, para la combinación de acciones $1.35 \cdot PP + 1.5 \cdot V(180^\circ)H4 + 0.75 \cdot N(R)1$.

N_{c,Ed}: Axil de compresión solicitante de cálculo pésimo.

$$\mathbf{N_{c,Ed}} : \underline{65.87} \text{ kN}$$

La resistencia de cálculo a compresión **N_{c,Rd}** viene dada por:

$$\mathbf{N_{c,Rd}} = A \cdot f_{yd}$$

$$\mathbf{N_{c,Rd}} : \underline{934.87} \text{ kN}$$

Donde:

$$\mathbf{Clase} : \underline{1}$$

Clase: Clase de la sección, según la capacidad de deformación y de desarrollo de la resistencia plástica de los elementos planos comprimidos de una sección.

A: Área de la sección bruta para las secciones de clase 1, 2 y 3.

f_{yd}: Resistencia de cálculo del acero.

$$f_{yd} = f_y / \gamma_{M0}$$

Siendo:

f_y: Límite elástico. (CTE DB SE-A, Tabla 4.1)

γ_{M0}: Coeficiente parcial de seguridad del material.

$$A : 35.69 \text{ cm}^2$$

$$f_{yd} : 261.90 \text{ MPa}$$

$$f_y : 275.00 \text{ MPa}$$

$$\gamma_{M0} : 1.05$$

Resistencia a pandeo: (CTE DB SE-A, Artículo 6.3.2)

La resistencia de cálculo a pandeo **N_{b,Rd}** en una barra comprimida viene dada por:

$$N_{b,Rd} = \chi \cdot A \cdot f_{yd}$$

$$N_{b,Rd} : 410.05 \text{ kN}$$

Donde:

A: Área de la sección bruta para las secciones de clase 1, 2 y 3.

f_{yd}: Resistencia de cálculo del acero.

$$f_{yd} = f_y / \gamma_{M1}$$

Siendo:

f_y: Límite elástico. (CTE DB SE-A, Tabla 4.1)

γ_{M1}: Coeficiente parcial de seguridad del material.

$$A : 35.69 \text{ cm}^2$$

$$f_{yd} : 261.90 \text{ MPa}$$

$$f_y : 275.00 \text{ MPa}$$

$$\gamma_{M1} : 1.05$$

χ: Coeficiente de reducción por pandeo.

$$\chi = \frac{1}{\Phi + \sqrt{\Phi^2 - (\bar{\lambda})^2}} \leq 1$$

$$\chi_y : 0.55$$

$$\chi_z : 0.44$$

Siendo:

$$\Phi = 0.5 \cdot \left[1 + \alpha \cdot (\bar{\lambda} - 0.2) + (\bar{\lambda})^2 \right]$$

$$\phi_y : 1.17$$

$$\phi_z : 1.45$$

α: Coeficiente de imperfección elástica.

$$\alpha_y : 0.49$$

$$\alpha_z : 0.49$$

λ̄: Esbeltez reducida.

$$\bar{\lambda} = \sqrt{\frac{A \cdot f_y}{N_{cr}}}$$

$$\bar{\lambda}_y : 0.98$$

$$\bar{\lambda}_z : 1.19$$

N_{cr}: Axil crítico elástico de pandeo, obtenido como el menor de los siguientes valores:

$$N_{cr} : 693.30 \text{ kN}$$

N_{cr,y}: Axil crítico elástico de pandeo por flexión respecto al eje Y.

$$N_{cr,y} : 1019.57 \text{ kN}$$

N_{cr,z}: Axil crítico elástico de pandeo por flexión respecto al eje Z.

$$N_{cr,z} : 693.30 \text{ kN}$$

$N_{cr,T}$: Axil crítico elástico de pandeo por torsión.

$N_{cr,T}$: ∞

Resistencia a flexión eje Y (CTE DB SE-A, Artículo 6.2.6)

Se debe satisfacer:

$$\eta = \frac{M_{Ed}}{M_{c,Rd}} \leq 1$$

η : **0.126** ✓

Para flexión positiva:

El esfuerzo solicitante de cálculo pésimo se produce en el nudo N21, para la combinación de acciones 0.8·PP+1.5·V(90°)H2.

M_{Ed}^+ : Momento flector solicitante de cálculo pésimo.

M_{Ed}^+ : 5.66 kN·m

Para flexión negativa:

El esfuerzo solicitante de cálculo pésimo se produce en el nudo N21, para la combinación de acciones 1.35·PP+1.5·V(270°)H1+0.75·N(EI).

M_{Ed}^- : Momento flector solicitante de cálculo pésimo.

M_{Ed}^- : 7.26 kN·m

El momento flector resistente de cálculo $M_{c,Rd}$ viene dado por:

$$M_{c,Rd} = W_{pl,y} \cdot f_{yd}$$

$M_{c,Rd}$: 57.47 kN·m

Donde:

Clase: Clase de la sección, según la capacidad de deformación y de desarrollo de la resistencia plástica de los elementos planos de una sección a flexión simple.

Clase : 1

$W_{pl,y}$: Módulo resistente plástico correspondiente a la fibra con mayor tensión, para las secciones de clase 1 y 2.

$W_{pl,y}$: 219.44 cm³

f_{yd} : Resistencia de cálculo del acero.

f_{yd} : 261.90 MPa

$$f_{yd} = f_y / \gamma_{M0}$$

Siendo:

f_y : Límite elástico. (CTE DB SE-A, Tabla 4.1)

f_y : 275.00 MPa

γ_{M0} : Coeficiente parcial de seguridad del material.

γ_{M0} : 1.05

Resistencia a pandeo lateral: (CTE DB SE-A, Artículo 6.3.3.2)

No procede, dado que las longitudes de pandeo lateral son nulas.

Resistencia a flexión eje Z (CTE DB SE-A, Artículo 6.2.6)

Se debe satisfacer:

$$\eta = \frac{M_{Ed}}{M_{c,Rd}} \leq 1$$

η : **0.154** ✓

Para flexión positiva:

El esfuerzo solicitante de cálculo pésimo se produce en el nudo N21, para la combinación de acciones 0.8·PP+1.5·V(0°)H1.

M_{Ed}^+ : Momento flector solicitante de cálculo pésimo.

M_{Ed}^+ : 7.47 kN·m

Para flexión negativa:

El esfuerzo solicitante de cálculo pésimo se produce en el nudo N21, para la combinación de acciones $1.35 \cdot PP + 1.5 \cdot V(90^\circ)H2 + 0.75 \cdot N(R)2$.

M_{Ed} : Momento flector solicitante de cálculo pésimo.

M_{Ed} : 7.22 kN·m

El momento flector resistente de cálculo $M_{c,Rd}$ viene dado por:

$$M_{c,Rd} = W_{pl,z} \cdot f_{yd}$$

$M_{c,Rd}$: 48.46 kN·m

Donde:

Clase: Clase de la sección, según la capacidad de deformación y de desarrollo de la resistencia plástica de los elementos planos de una sección a flexión simple.

Clase: 1

$W_{pl,z}$: Módulo resistente plástico correspondiente a la fibra con mayor tensión, para las secciones de clase 1 y 2.

$W_{pl,z}$: 185.01 cm³

f_{yd} : Resistencia de cálculo del acero.

f_{yd} : 261.90 MPa

$$f_{yd} = f_y / \gamma_{M0}$$

Siendo:

f_y : Límite elástico. (CTE DB SE-A, Tabla 4.1)

f_y : 275.00 MPa

γ_{M0} : Coeficiente parcial de seguridad del material.

γ_{M0} : 1.05

Resistencia a corte Z (CTE DB SE-A, Artículo 6.2.4)

Se debe satisfacer:

$$\eta = \frac{V_{Ed}}{V_{c,Rd}} \leq 1$$

η : 0.010 ✓

El esfuerzo solicitante de cálculo pésimo se produce en el nudo N11, para la combinación de acciones $1.35 \cdot PP + 1.5 \cdot V(90^\circ)H2$.

V_{Ed} : Esfuerzo cortante solicitante de cálculo pésimo.

V_{Ed} : 3.19 kN

El esfuerzo cortante resistente de cálculo $V_{c,Rd}$ viene dado por:

$$V_{c,Rd} = A_v \cdot \frac{f_{yd}}{\sqrt{3}}$$

$V_{c,Rd}$: 304.84 kN

Donde:

A_v : Área transversal a cortante.

A_v : 20.16 cm²

$$A_v = 2 \cdot d \cdot t_w$$

Siendo:

d : Altura del alma.

d : 168.00 mm

t_w : Espesor del alma.

t_w : 6.00 mm

f_{yd} : Resistencia de cálculo del acero.

f_{yd} : 261.90 MPa

$$f_{yd} = f_y / \gamma_{M0}$$

Siendo:

f_y : Límite elástico. (CTE DB SE-A, Tabla 4.1)

f_y : 275.00 MPa

γ_{M0} : Coeficiente parcial de seguridad del material.

γ_{M0} : 1.05

Abolladura por cortante del alma: (CTE DB SE-A, Artículo 6.3.3.4)

Aunque no se han dispuesto rigidizadores transversales, no es necesario comprobar la resistencia a la abolladura del alma, puesto que se cumple:

$$\frac{d}{t_w} < 70 \cdot \varepsilon$$

$$28.00 < 64.71$$



Donde:

λ_w : Esbeltez del alma.

λ_w : 28.00

$$\lambda_w = \frac{d}{t_w}$$

$\lambda_{m\acute{a}x}$: Esbeltez máxima.

$\lambda_{m\acute{a}x}$: 64.71

ε : Factor de reducción.

ε : 0.92

$$\varepsilon = \sqrt{\frac{f_{ref}}{f_y}}$$

Siendo:

f_{ref} : Límite elástico de referencia.

f_{ref} : 235.00 MPa

f_y : Límite elástico. (CTE DB SE-A, Tabla 4.1)

f_y : 275.00 MPa

Resistencia a corte Y (CTE DB SE-A, Artículo 6.2.4)

Se debe satisfacer:

$$\eta = \frac{V_{Ed}}{V_{c,Rd}} \leq 1$$

$$\eta : \underline{0.019}$$



El esfuerzo solicitante de cálculo pésimo se produce en el nudo N21, para la combinación de acciones $0.8 \cdot PP + 1.5 \cdot V(90^\circ)H2 + 0.75 \cdot N(R)2$.

V_{Ed} : Esfuerzo cortante solicitante de cálculo pésimo.

V_{Ed} : 4.43 kN

El esfuerzo cortante resistente de cálculo $V_{c,Rd}$ viene dado por:

$$V_{c,Rd} = A_v \cdot \frac{f_{yd}}{\sqrt{3}}$$

$V_{c,Rd}$: 234.90 kN

Donde:

A_v : Área transversal a cortante.

A_v : 15.53 cm²

$$A_v = A - 2 \cdot d \cdot t_w$$

Siendo:

A : Área de la sección bruta.

A : 35.69 cm²

d : Altura del alma.

d : 168.00 mm

t_w : Espesor del alma.

t_w : 6.00 mm

f_{yd} : Resistencia de cálculo del acero.

f_{yd} : 261.90 MPa

$$f_{yd} = f_y / \gamma_{M0}$$

Siendo:

f_y : Límite elástico. (CTE DB SE-A, Tabla 4.1)

f_y : 275.00 MPa

γ_{M0} : Coeficiente parcial de seguridad del material.

γ_{M0} : 1.05

Abolladura por cortante del alma: (CTE DB SE-A, Artículo 6.3.3.4)

Aunque no se han dispuesto rigidizadores transversales, no es necesario comprobar la resistencia a la abolladura del alma, puesto que se cumple:

$$\frac{b}{t_f} < 70 \cdot \varepsilon$$

$$23.33 < 64.71$$



Donde:

λ_w : Esbeltez del alma.

λ_w : 23.33

$$\lambda_w = \frac{b}{t_f}$$

$\lambda_{m\acute{a}x}$: Esbeltez máxima.

$\lambda_{m\acute{a}x}$: 64.71

ε : Factor de reducción.

ε : 0.92

$$\varepsilon = \sqrt{\frac{f_{ref}}{f_y}}$$

Siendo:

f_{ref} : Límite elástico de referencia.

f_{ref} : 235.00 MPa

f_y : Límite elástico. (CTE DB SE-A, Tabla 4.1)

f_y : 275.00 MPa

Resistencia a momento flector Y y fuerza cortante Z combinados (CTE DB SE-A, Artículo 6.2.8)

No es necesario reducir la resistencia de cálculo a flexión, ya que el esfuerzo cortante solicitante de cálculo pésimo V_{Ed} no es superior al 50% de la resistencia de cálculo a cortante $V_{c,Rd}$.

$$V_{Ed} \leq \frac{V_{c,Rd}}{2}$$

$$3.17 \text{ kN} \leq 152.42 \text{ kN}$$



Los esfuerzos solicitantes de cálculo pésimos se producen para la combinación de acciones 1.35·PP+1.5·V(270°)H1+0.75·N(EI).

V_{Ed} : Esfuerzo cortante solicitante de cálculo pésimo.

V_{Ed} : 3.17 kN

$V_{c,Rd}$: Esfuerzo cortante resistente de cálculo.

$V_{c,Rd}$: 304.84 kN

Resistencia a momento flector Z y fuerza cortante Y combinados (CTE DB SE-A, Artículo 6.2.8)

No es necesario reducir la resistencia de cálculo a flexión, ya que el esfuerzo cortante solicitante de cálculo pésimo V_{Ed} no es superior al 50% de la resistencia de cálculo a cortante $V_{c,Rd}$.

$$V_{Ed} \leq \frac{V_{c,Rd}}{2}$$

$$4.43 \text{ kN} \leq 117.45 \text{ kN}$$



Los esfuerzos solicitantes de cálculo pésimos se producen para la combinación de acciones $0.8 \cdot PP + 1.5 \cdot V(90^\circ)H2 + 0.75 \cdot N(R)2$.

V_{Ed} : Esfuerzo cortante solicitante de cálculo pésimo.

$$V_{Ed} : 4.43 \text{ kN}$$

$V_{c,Rd}$: Esfuerzo cortante resistente de cálculo.

$$V_{c,Rd} : 234.90 \text{ kN}$$

Resistencia a flexión y axil combinados (CTE DB SE-A, Artículo 6.2.8)

Se debe satisfacer:

$$\eta = \frac{N_{c,Ed}}{N_{pl,Rd}} + \frac{M_{y,Ed}}{M_{pl,Rd,y}} + \frac{M_{z,Ed}}{M_{pl,Rd,z}} \leq 1$$

$$\eta : 0.243$$



$$\eta = \frac{N_{c,Ed}}{\chi_y \cdot A \cdot f_{yd}} + k_y \cdot \frac{c_{m,y} \cdot M_{y,Ed}}{\chi_{LT} \cdot W_{pl,y} \cdot f_{yd}} + \alpha_z \cdot k_z \cdot \frac{c_{m,z} \cdot M_{z,Ed}}{W_{pl,z} \cdot f_{yd}} \leq 1$$

$$\eta : 0.261$$



$$\eta = \frac{N_{c,Ed}}{\chi_z \cdot A \cdot f_{yd}} + \alpha_y \cdot k_y \cdot \frac{c_{m,y} \cdot M_{y,Ed}}{W_{pl,y} \cdot f_{yd}} + k_z \cdot \frac{c_{m,z} \cdot M_{z,Ed}}{W_{pl,z} \cdot f_{yd}} \leq 1$$

$$\eta : 0.296$$



Los esfuerzos solicitantes de cálculo pésimos se producen en el nudo N21, para la combinación de acciones $1.35 \cdot PP + 1.5 \cdot V(180^\circ)H3 + 0.75 \cdot N(R)1$.

Donde:

$N_{c,Ed}$: Axil de compresión solicitante de cálculo pésimo.

$$N_{c,Ed} : 52.43 \text{ kN}$$

$M_{y,Ed}$, $M_{z,Ed}$: Momentos flectores solicitantes de cálculo pésimos, según los ejes Y y Z, respectivamente.

$$M_{y,Ed} : 4.89 \text{ kN} \cdot \text{m}$$

$$M_{z,Ed} : 4.96 \text{ kN} \cdot \text{m}$$

Clase: Clase de la sección, según la capacidad de deformación y de desarrollo de la resistencia plástica de sus elementos planos, para axil y flexión simple.

$$\text{Clase} : 1$$

$N_{pl,Rd}$: Resistencia a compresión de la sección bruta.

$$N_{pl,Rd} : 934.87 \text{ kN}$$

$M_{pl,Rd,y}$, $M_{pl,Rd,z}$: Resistencia a flexión de la sección bruta en condiciones plásticas, respecto a los ejes Y y Z, respectivamente.

$$M_{pl,Rd,y} : 57.47 \text{ kN} \cdot \text{m}$$

$$M_{pl,Rd,z} : 48.46 \text{ kN} \cdot \text{m}$$

Resistencia a pandeo: (CTE DB SE-A, Artículo 6.3.4.2)

A : Área de la sección bruta.

$$A : 35.69 \text{ cm}^2$$

$W_{pl,y}$, $W_{pl,z}$: Módulos resistentes plásticos correspondientes a la fibra comprimida, alrededor de los ejes Y y Z, respectivamente.

$$W_{pl,y} : 219.44 \text{ cm}^3$$

$$W_{pl,z} : 185.01 \text{ cm}^3$$

f_{yd} : Resistencia de cálculo del acero.

$$f_{yd} : \underline{261.90 \text{ MPa}}$$

$$f_{yd} = f_y / \gamma_{M1}$$

Siendo:

f_y : Límite elástico. (CTE DB SE-A, Tabla 4.1)

$$f_y : \underline{275.00 \text{ MPa}}$$

γ_{M1} : Coeficiente parcial de seguridad del material.

$$\gamma_{M1} : \underline{1.05}$$

k_y, k_z : Coeficientes de interacción.

$$k_y = 1 + (\bar{\lambda}_y - 0.2) \cdot \frac{N_{c,Ed}}{\chi_y \cdot N_{c,Rd}}$$

$$k_y : \underline{1.08}$$

$$k_z = 1 + (\bar{\lambda}_z - 0.2) \cdot \frac{N_{c,Ed}}{\chi_z \cdot N_{c,Rd}}$$

$$k_z : \underline{1.10}$$

$C_{m,y}, C_{m,z}$: Factores de momento flector uniforme equivalente.

$$C_{m,y} : \underline{1.00}$$

$$C_{m,z} : \underline{1.00}$$

χ_y, χ_z : Coeficientes de reducción por pandeo, alrededor de los ejes Y y Z, respectivamente.

$$\chi_y : \underline{0.55}$$

$$\chi_z : \underline{0.44}$$

$\bar{\lambda}_y, \bar{\lambda}_z$: Esbelteces reducidas con valores no mayores que 1.00, en relación a los ejes Y y Z, respectivamente.

$$\bar{\lambda}_y : \underline{0.98}$$

$$\bar{\lambda}_z : \underline{1.19}$$

α_y, α_z : Factores dependientes de la clase de la sección.

$$\alpha_y : \underline{0.60}$$

$$\alpha_z : \underline{0.60}$$

Resistencia a flexión, axil y cortante combinados (CTE DB SE-A, Artículo 6.2.8)

No es necesario reducir las resistencias de cálculo a flexión y a axil, ya que se puede ignorar el efecto de abolladura por esfuerzo cortante y, además, el esfuerzo cortante solicitante de cálculo pésimo V_{Ed} es menor o igual que el 50% del esfuerzo cortante resistente de cálculo $V_{c,Rd}$.

Los esfuerzos solicitantes de cálculo pésimos se producen para la combinación de acciones $0.8 \cdot PP + 1.5 \cdot V(90^\circ)H2 + 0.75 \cdot N(R)2$.

$$V_{Ed,y} \leq \frac{V_{c,Rd,y}}{2}$$

$$4.43 \text{ kN} \leq 116.78 \text{ kN}$$



Donde:

$V_{Ed,y}$: Esfuerzo cortante solicitante de cálculo pésimo.

$$V_{Ed,y} : \underline{4.43 \text{ kN}}$$

$V_{c,Rd,y}$: Esfuerzo cortante resistente de cálculo.

$$V_{c,Rd,y} : \underline{233.55 \text{ kN}}$$

Resistencia a torsión (CTE DB SE-A, Artículo 6.2.7)

Se debe satisfacer:

$$\eta = \frac{M_{T,Ed}}{M_{T,Rd}} \leq 1$$

$$\eta : \underline{0.008}$$



El esfuerzo solicitante de cálculo pésimo se produce para la combinación de acciones $1.35 \cdot PP + 1.5 \cdot V(0^\circ)H3 + 0.75 \cdot N(EI)$.

$M_{T,Ed}$: Momento torsor solicitante de cálculo pésimo.

$$M_{T,Ed} : 0.32 \text{ kN}\cdot\text{m}$$

El momento torsor resistente de cálculo $M_{T,Rd}$ viene dado por:

$$M_{T,Rd} = \frac{1}{\sqrt{3}} \cdot W_T \cdot f_{yd}$$

$$M_{T,Rd} : 42.31 \text{ kN}\cdot\text{m}$$

Donde:

W_T : Módulo de resistencia a torsión.

$$W_T : 279.79 \text{ cm}^3$$

f_{yd} : Resistencia de cálculo del acero.

$$f_{yd} : 261.90 \text{ MPa}$$

$$f_{yd} = f_y / \gamma_{M0}$$

Siendo:

f_y : Límite elástico. (CTE DB SE-A, Tabla 4.1)

$$f_y : 275.00 \text{ MPa}$$

γ_{M0} : Coeficiente parcial de seguridad del material.

$$\gamma_{M0} : 1.05$$

Resistencia a cortante Z y momento torsor combinados (CTE DB SE-A, Artículo 6.2.8)

Se debe satisfacer:

$$\eta = \frac{V_{Ed}}{V_{pl,T,Rd}} \leq 1$$

$$\eta : 0.011 \checkmark$$

Los esfuerzos solicitantes de cálculo pésimos se producen en el nudo N11, para la combinación de acciones $1.35 \cdot PP + 1.5 \cdot V(90^\circ)H2$.

V_{Ed} : Esfuerzo cortante solicitante de cálculo pésimo.

$$V_{Ed} : 3.19 \text{ kN}$$

$M_{T,Ed}$: Momento torsor solicitante de cálculo pésimo.

$$M_{T,Ed} : 0.24 \text{ kN}\cdot\text{m}$$

El esfuerzo cortante resistente de cálculo reducido $V_{pl,T,Rd}$ viene dado por:

$$V_{pl,T,Rd} = \left[1 - \frac{\tau_{T,Ed}}{f_{yd}/\sqrt{3}} \right] \cdot V_{pl,Rd}$$

$$V_{pl,T,Rd} : 303.12 \text{ kN}$$

Donde:

$V_{pl,Rd}$: Esfuerzo cortante resistente de cálculo.

$$V_{pl,Rd} : 304.84 \text{ kN}$$

$\tau_{T,Ed}$: Tensiones tangenciales por torsión.

$$\tau_{T,Ed} : 0.85 \text{ MPa}$$

$$\tau_{T,Ed} = \frac{M_{T,Ed}}{W_t}$$

Siendo:

W_T : Módulo de resistencia a torsión.

$$W_T : 279.79 \text{ cm}^3$$

f_{yd} : Resistencia de cálculo del acero.

$$f_{yd} : 261.90 \text{ MPa}$$

$$f_{yd} = f_y / \gamma_{M0}$$

Siendo:

f_y : Límite elástico. (CTE DB SE-A, Tabla 4.1)

$$f_y : 275.00 \text{ MPa}$$

γ_{M0} : Coeficiente parcial de seguridad del material.

γ_{M0} : 1.05

Resistencia a cortante Y y momento torsor combinados (CTE DB SE-A, Artículo 6.2.8)

Se debe satisfacer:

$$\eta = \frac{V_{Ed}}{V_{pl,T,Rd}} \leq 1$$

η : 0.019 ✓

Los esfuerzos solicitantes de cálculo pésimos se producen en el nudo N21, para la combinación de acciones 0.8·PP+1.5·V(90°)H2+0.75·N(R)2.

V_{Ed} : Esfuerzo cortante solicitante de cálculo pésimo.

V_{Ed} : 4.43 kN

$M_{T,Ed}$: Momento torsor solicitante de cálculo pésimo.

$M_{T,Ed}$: 0.24 kN·m

El esfuerzo cortante resistente de cálculo reducido $V_{pl,T,Rd}$ viene dado por:

$$V_{pl,T,Rd} = \left[1 - \frac{\tau_{T,Ed}}{f_{yd}/\sqrt{3}} \right] \cdot V_{pl,Rd}$$

$V_{pl,T,Rd}$: 233.55 kN

Donde:

$V_{pl,Rd}$: Esfuerzo cortante resistente de cálculo.

$V_{pl,Rd}$: 234.90 kN

$\tau_{T,Ed}$: Tensiones tangenciales por torsión.

$\tau_{T,Ed}$: 0.87 MPa

$$\tau_{T,Ed} = \frac{M_{T,Ed}}{W_t}$$

Siendo:

W_T : Módulo de resistencia a torsión.

W_T : 279.79 cm³

f_{yd} : Resistencia de cálculo del acero.

f_{yd} : 261.90 MPa

$$f_{yd} = f_y / \gamma_{M0}$$

Siendo:

f_y : Límite elástico. (CTE DB SE-A, Tabla 4.1)

f_y : 275.00 MPa

γ_{M0} : Coeficiente parcial de seguridad del material.

γ_{M0} : 1.05

$$N_{cr,T} = \frac{1}{i_0^2} \cdot \left[G \cdot I_t + \frac{\pi^2 \cdot E \cdot I_w}{L_{kt}^2} \right]$$

Donde:

I_y : Momento de inercia de la sección bruta, respecto al eje Y.	I_y : <u>2063.23</u> cm4
I_z : Momento de inercia de la sección bruta, respecto al eje Z.	I_z : <u>1399.16</u> cm4
I_t : Momento de inercia a torsión uniforme.	I_t : <u>2792.08</u> cm4
I_w : Constante de alabeo de la sección.	I_w : <u>0.00</u> cm6
E : Módulo de elasticidad.	E : <u>210000</u> MPa
G : Módulo de elasticidad transversal.	G : <u>81000</u> MPa
L_{ky} : Longitud efectiva de pandeo por flexión, respecto al eje Y.	L_{ky} : <u>5.563</u> m
L_{kz} : Longitud efectiva de pandeo por flexión, respecto al eje Z.	L_{kz} : <u>5.563</u> m
L_{kt} : Longitud efectiva de pandeo por torsión.	L_{kt} : <u>0.000</u> m
i₀ : Radio de giro polar de la sección bruta, respecto al centro de torsión.	i₀ : <u>8.64</u> cm

$$i_0 = (i_y^2 + i_z^2 + y_0^2 + z_0^2)^{0.5}$$

Siendo:

i_y , i_z : Radios de giro de la sección bruta, respecto a los ejes principales de inercia Y y Z.	i_y : <u>6.67</u> cm
	i_z : <u>5.49</u> cm
y₀ , z₀ : Coordenadas del centro de torsión en la dirección de los ejes principales Y y Z, respectivamente, relativas al centro de gravedad de la sección.	y₀ : <u>0.00</u> mm
	z₀ : <u>0.00</u> mm

Abolladura del alma inducida por el ala comprimida (Criterio de CYPE Ingenieros, basado en: Eurocódigo 3 EN 1993-1-5: 2006, Artículo 8)

Se debe satisfacer:

$$\frac{h_w}{t_w} \leq k \frac{E}{f_{yf}} \sqrt{\frac{A_w}{A_{fc,ef}}}$$

$$20.50 \leq 350.66 \quad \checkmark$$

Donde:

h_w : Altura del alma.	h_w : <u>164.00</u> mm
t_w : Espesor del alma.	t_w : <u>8.00</u> mm
A_w : Área del alma.	A_w : <u>26.24</u> cm ²
A_{fc,ef} : Área reducida del ala comprimida.	A_{fc,ef} : <u>11.20</u> cm ²
k : Coeficiente que depende de la clase de la sección.	k : <u>0.30</u>
E : Módulo de elasticidad.	E : <u>210000</u> MPa
f_{yf} : Límite elástico del acero del ala comprimida.	f_{yf} : <u>275.00</u> MPa

Siendo:

$$f_{yf} = f_y$$

Resistencia a tracción (CTE DB SE-A, Artículo 6.2.3)

Se debe satisfacer:

$$\eta = \frac{N_{t,Ed}}{N_{t,Rd}} \leq 1$$

$$\eta : \underline{0.072} \quad \checkmark$$

El esfuerzo solicitante de cálculo pésimo se produce en el nudo N22, para la combinación de acciones 0.8·PP+1.5·V(270°)H1.

N_{t,Ed}: Axil de tracción solicitante de cálculo pésimo.

$$\mathbf{N_{t,Ed}} : \underline{87.71} \text{ kN}$$

La resistencia de cálculo a tracción **N_{t,Rd}** viene dada por:

$$\mathbf{N_{t,Rd}} = A \cdot f_{yd}$$

$$\mathbf{N_{t,Rd}} : \underline{1215.00} \text{ kN}$$

Donde:

A: Área bruta de la sección transversal de la barra.

$$\mathbf{A} : \underline{46.39} \text{ cm}^2$$

f_{yd}: Resistencia de cálculo del acero.

$$\mathbf{f_{yd}} : \underline{261.90} \text{ MPa}$$

$$f_{yd} = f_y / \gamma_{M0}$$

Siendo:

f_y: Límite elástico. (CTE DB SE-A, Tabla 4.1)

$$\mathbf{f_y} : \underline{275.00} \text{ MPa}$$

γ_{M0}: Coeficiente parcial de seguridad del material.

$$\mathbf{\gamma_{M0}} : \underline{1.05}$$

Resistencia a compresión (CTE DB SE-A, Artículo 6.2.5)

Se debe satisfacer:

$$\eta = \frac{N_{c,Ed}}{N_{c,Rd}} \leq 1$$

$$\eta : \underline{0.071} \quad \checkmark$$

$$\eta = \frac{N_{c,Ed}}{N_{b,Rd}} \leq 1$$

$$\eta : \underline{0.158} \quad \checkmark$$

El esfuerzo solicitante de cálculo pésimo se produce en el nudo N11, para la combinación de acciones 1.35·PP+1.5·V(0°)H4+0.75·N(EI).

N_{c,Ed}: Axil de compresión solicitante de cálculo pésimo.

$$\mathbf{N_{c,Ed}} : \underline{86.53} \text{ kN}$$

La resistencia de cálculo a compresión **N_{c,Rd}** viene dada por:

$$\mathbf{N_{c,Rd}} = A \cdot f_{yd}$$

$$\mathbf{N_{c,Rd}} : \underline{1215.00} \text{ kN}$$

Donde:

Clase: Clase de la sección, según la capacidad de deformación y de desarrollo de la resistencia plástica de los elementos planos comprimidos de una sección.

$$\mathbf{Clase} : \underline{1}$$

A: Área de la sección bruta para las secciones de clase 1, 2 y 3.

$$A : 46.39 \text{ cm}^2$$

f_{yd}: Resistencia de cálculo del acero.

$$f_{yd} : 261.90 \text{ MPa}$$

$$f_{yd} = f_y / \gamma_{M0}$$

Siendo:

f_y: Límite elástico. (CTE DB SE-A, Tabla 4.1)

$$f_y : 275.00 \text{ MPa}$$

γ_{M0}: Coeficiente parcial de seguridad del material.

$$\gamma_{M0} : 1.05$$

Resistencia a pandeo: (CTE DB SE-A, Artículo 6.3.2)

La resistencia de cálculo a pandeo **N_{b,Rd}** en una barra comprimida viene dada por:

$$N_{b,Rd} = \chi \cdot A \cdot f_{yd}$$

$$N_{b,Rd} : 546.68 \text{ kN}$$

Donde:

A: Área de la sección bruta para las secciones de clase 1, 2 y 3.

$$A : 46.39 \text{ cm}^2$$

f_{yd}: Resistencia de cálculo del acero.

$$f_{yd} : 261.90 \text{ MPa}$$

$$f_{yd} = f_y / \gamma_{M1}$$

Siendo:

f_y: Límite elástico. (CTE DB SE-A, Tabla 4.1)

$$f_y : 275.00 \text{ MPa}$$

γ_{M1}: Coeficiente parcial de seguridad del material.

$$\gamma_{M1} : 1.05$$

χ: Coeficiente de reducción por pandeo.

$$\chi = \frac{1}{\Phi + \sqrt{\Phi^2 - (\bar{\lambda})^2}} \leq 1$$

$$\chi_y : 0.56$$

$$\chi_z : 0.45$$

Siendo:

$$\Phi = 0.5 \cdot \left[1 + \alpha \cdot (\bar{\lambda} - 0.2) + (\bar{\lambda})^2 \right]$$

$$\Phi_y : 1.15$$

$$\Phi_z : 1.42$$

α: Coeficiente de imperfección elástica.

$$\alpha_y : 0.49$$

$$\alpha_z : 0.49$$

λ̄: Esbeltez reducida.

$$\bar{\lambda} = \sqrt{\frac{A \cdot f_y}{N_{cr}}}$$

$$\bar{\lambda}_y : 0.96$$

$$\bar{\lambda}_z : 1.17$$

N_{cr}: Axil crítico elástico de pandeo, obtenido como el menor de los siguientes valores:

$$N_{cr} : 937.15 \text{ kN}$$

N_{cr,y}: Axil crítico elástico de pandeo por flexión respecto al eje Y.

$$N_{cr,y} : 1381.94 \text{ kN}$$

N_{cr,z}: Axil crítico elástico de pandeo por flexión respecto al eje Z.

$$N_{cr,z} : 937.15 \text{ kN}$$

N_{cr,T}: Axil crítico elástico de pandeo por torsión.

$$N_{cr,T} : \infty$$

Resistencia a flexión eje Y (CTE DB SE-A, Artículo 6.2.6)

Se debe satisfacer:

$$\eta = \frac{M_{Ed}}{M_{c,Rd}} \leq 1$$

$$\eta : \underline{0.075} \quad \checkmark$$

Para flexión positiva:

M_{Ed}^+ : Momento flector solicitante de cálculo pésimo.

$$M_{Ed}^+ : \underline{0.00} \text{ kN}\cdot\text{m}$$

Para flexión negativa:

El esfuerzo solicitante de cálculo pésimo se produce en el nudo N11, para la combinación de acciones 1.35·PP+1.5·V(90°)H2.

M_{Ed}^- : Momento flector solicitante de cálculo pésimo.

$$M_{Ed}^- : \underline{5.50} \text{ kN}\cdot\text{m}$$

El momento flector resistente de cálculo $M_{c,Rd}$ viene dado por:

$$M_{c,Rd} = W_{pl,y} \cdot f_{yd}$$

$$M_{c,Rd} : \underline{73.33} \text{ kN}\cdot\text{m}$$

Donde:

Clase: Clase de la sección, según la capacidad de deformación y de desarrollo de la resistencia plástica de los elementos planos de una sección a flexión simple.

$$\text{Clase} : \underline{1}$$

$W_{pl,y}$: Módulo resistente plástico correspondiente a la fibra con mayor tensión, para las secciones de clase 1 y 2.

$$W_{pl,y} : \underline{279.97} \text{ cm}^3$$

f_{yd} : Resistencia de cálculo del acero.

$$f_{yd} : \underline{261.90} \text{ MPa}$$

$$f_{yd} = f_y / \gamma_{M0}$$

Siendo:

f_y : Límite elástico. (CTE DB SE-A, Tabla 4.1)

$$f_y : \underline{275.00} \text{ MPa}$$

γ_{M0} : Coeficiente parcial de seguridad del material.

$$\gamma_{M0} : \underline{1.05}$$

Resistencia a pandeo lateral: (CTE DB SE-A, Artículo 6.3.3.2)

No procede, dado que las longitudes de pandeo lateral son nulas.

Resistencia a flexión eje Z (CTE DB SE-A, Artículo 6.2.6)

Se debe satisfacer:

$$\eta = \frac{M_{Ed}}{M_{c,Rd}} \leq 1$$

$$\eta : \underline{0.358} \quad \checkmark$$

Para flexión positiva:

El esfuerzo solicitante de cálculo pésimo se produce en el nudo N11, para la combinación de acciones 0.8·PP+1.5·V(90°)H2+0.75·N(R)1.

M_{Ed}^+ : Momento flector solicitante de cálculo pésimo.

$$M_{Ed}^+ : \underline{22.11} \text{ kN}\cdot\text{m}$$

Para flexión negativa:

El esfuerzo solicitante de cálculo pésimo se produce en el nudo N11, para la combinación de acciones 1.35·PP+1.5·V(0°)H3+0.75·N(R)2.

M_{Ed}^- : Momento flector solicitante de cálculo pésimo.

$$M_{Ed}^- : \underline{21.15} \text{ kN}\cdot\text{m}$$

El momento flector resistente de cálculo $M_{c,Rd}$ viene dado por:

$$M_{c,Rd} = W_{pl,z} \cdot f_{yd}$$

$$M_{c,Rd} : 61.76 \text{ kN}\cdot\text{m}$$

Donde:

Clase: Clase de la sección, según la capacidad de deformación y de desarrollo de la resistencia plástica de los elementos planos de una sección a flexión simple.

$$\text{Clase} : 1$$

$W_{pl,z}$: Módulo resistente plástico correspondiente a la fibra con mayor tensión, para las secciones de clase 1 y 2.

$$W_{pl,z} : 235.83 \text{ cm}^3$$

f_{yd} : Resistencia de cálculo del acero.

$$f_{yd} : 261.90 \text{ MPa}$$

$$f_{yd} = f_y / \gamma_{M0}$$

Siendo:

f_y : Límite elástico. (CTE DB SE-A, Tabla 4.1)

$$f_y : 275.00 \text{ MPa}$$

γ_{M0} : Coeficiente parcial de seguridad del material.

$$\gamma_{M0} : 1.05$$

Resistencia a corte Z (CTE DB SE-A, Artículo 6.2.4)

Se debe satisfacer:

$$\eta = \frac{V_{Ed}}{V_{c,Rd}} \leq 1$$

$$\eta : 0.008 \checkmark$$

El esfuerzo solicitante de cálculo pésimo se produce en el nudo N11, para la combinación de acciones 1.35·PP+1.5·V(90°)H2+0.75·N(R)2.

V_{Ed} : Esfuerzo cortante solicitante de cálculo pésimo.

$$V_{Ed} : 3.06 \text{ kN}$$

El esfuerzo cortante resistente de cálculo **$V_{c,Rd}$** viene dado por:

$$V_{c,Rd} = A_v \cdot \frac{f_{yd}}{\sqrt{3}}$$

$$V_{c,Rd} : 396.78 \text{ kN}$$

Donde:

A_v : Área transversal a cortante.

$$A_v : 26.24 \text{ cm}^2$$

$$A_v = 2 \cdot d \cdot t_w$$

Siendo:

d : Altura del alma.

$$d : 164.00 \text{ mm}$$

t_w : Espesor del alma.

$$t_w : 8.00 \text{ mm}$$

f_{yd} : Resistencia de cálculo del acero.

$$f_{yd} : 261.90 \text{ MPa}$$

$$f_{yd} = f_y / \gamma_{M0}$$

Siendo:

f_y : Límite elástico. (CTE DB SE-A, Tabla 4.1)

$$f_y : 275.00 \text{ MPa}$$

γ_{M0} : Coeficiente parcial de seguridad del material.

$$\gamma_{M0} : 1.05$$

Abolladura por cortante del alma: (CTE DB SE-A, Artículo 6.3.3.4)

Aunque no se han dispuesto rigidizadores transversales, no es necesario comprobar la resistencia a la abolladura del alma, puesto que se cumple:

$$\frac{d}{t_w} < 70 \cdot \varepsilon$$

$$20.50 < 64.71$$



Donde:

λ_w : Esbeltez del alma.

$$\lambda_w : 20.50$$

$$\lambda_w = \frac{d}{t_w}$$

$\lambda_{m\acute{a}x}$: Esbeltez máxima.

$$\lambda_{m\acute{a}x} : 64.71$$

ε : Factor de reducción.

$$\varepsilon : 0.92$$

$$\varepsilon = \sqrt{\frac{f_{ref}}{f_y}}$$

Siendo:

f_{ref} : Límite elástico de referencia.

$$f_{ref} : 235.00 \text{ MPa}$$

f_y : Límite elástico. (CTE DB SE-A, Tabla 4.1)

$$f_y : 275.00 \text{ MPa}$$

Resistencia a corte Y (CTE DB SE-A, Artículo 6.2.4)

Se debe satisfacer:

$$\eta = \frac{V_{Ed}}{V_{c,Rd}} \leq 1$$

$$\eta : 0.052$$



El esfuerzo solicitante de cálculo pésimo se produce en el nudo N11, para la combinación de acciones $0.8 \cdot PP + 1.5 \cdot V(90^\circ)H2 + 0.75 \cdot N(R)1$.

V_{Ed} : Esfuerzo cortante solicitante de cálculo pésimo.

$$V_{Ed} : 15.75 \text{ kN}$$

El esfuerzo cortante resistente de cálculo $V_{c,Rd}$ viene dado por:

$$V_{c,Rd} = A_v \cdot \frac{f_{yd}}{\sqrt{3}}$$

$$V_{c,Rd} : 304.70 \text{ kN}$$

Donde:

A_v : Área transversal a cortante.

$$A_v : 20.15 \text{ cm}^2$$

$$A_v = A - 2 \cdot d \cdot t_w$$

Siendo:

A : Área de la sección bruta.

$$A : 46.39 \text{ cm}^2$$

d : Altura del alma.

$$d : 164.00 \text{ mm}$$

t_w : Espesor del alma.

$$t_w : 8.00 \text{ mm}$$

f_{yd} : Resistencia de cálculo del acero.

$$f_{yd} : 261.90 \text{ MPa}$$

$$f_{yd} = f_y / \gamma_{M0}$$

Siendo:

f_y : Límite elástico. (CTE DB SE-A, Tabla 4.1)

f_y : 275.00 MPa

γ_{M0} : Coeficiente parcial de seguridad del material.

γ_{M0} : 1.05

Abolladura por cortante del alma: (CTE DB SE-A, Artículo 6.3.3.4)

Aunque no se han dispuesto rigidizadores transversales, no es necesario comprobar la resistencia a la abolladura del alma, puesto que se cumple:

$$\frac{b}{t_r} < 70 \cdot \varepsilon$$

$$17.50 < 64.71$$



Donde:

λ_w : Esbeltez del alma.

λ_w : 17.50

$$\lambda_w = \frac{b}{t_r}$$

$\lambda_{m\acute{a}x}$: Esbeltez máxima.

$\lambda_{m\acute{a}x}$: 64.71

ε : Factor de reducción.

ε : 0.92

$$\varepsilon = \sqrt{\frac{f_{ref}}{f_y}}$$

Siendo:

f_{ref} : Límite elástico de referencia.

f_{ref} : 235.00 MPa

f_y : Límite elástico. (CTE DB SE-A, Tabla 4.1)

f_y : 275.00 MPa

Resistencia a momento flector Y y fuerza cortante Z combinados (CTE DB SE-A, Artículo 6.2.8)

No es necesario reducir la resistencia de cálculo a flexión, ya que el esfuerzo cortante solicitante de cálculo pésimo V_{Ed} no es superior al 50% de la resistencia de cálculo a cortante $V_{c,Rd}$.

$$V_{Ed} \leq \frac{V_{c,Rd}}{2}$$

$$3.06 \text{ kN} \leq 198.39 \text{ kN}$$



Los esfuerzos solicitantes de cálculo pésimos se producen para la combinación de acciones $1.35 \cdot PP + 1.5 \cdot V(90^\circ)H2 + 0.75 \cdot N(R)2$.

V_{Ed} : Esfuerzo cortante solicitante de cálculo pésimo.

V_{Ed} : 3.06 kN

$V_{c,Rd}$: Esfuerzo cortante resistente de cálculo.

$V_{c,Rd}$: 396.78 kN

Resistencia a momento flector Z y fuerza cortante Y combinados (CTE DB SE-A, Artículo 6.2.8)

No es necesario reducir la resistencia de cálculo a flexión, ya que el esfuerzo cortante solicitante de cálculo pésimo V_{Ed} no es superior al 50% de la resistencia de cálculo a cortante $V_{c,Rd}$.

$$V_{Ed} \leq \frac{V_{c,Rd}}{2}$$

$$15.75 \text{ kN} \leq 152.35 \text{ kN}$$



Los esfuerzos solicitantes de cálculo pésimos se producen para la combinación de acciones $0.8 \cdot PP + 1.5 \cdot V(90^\circ)H2 + 0.75 \cdot N(R)1$.

V_{Ed} : Esfuerzo cortante solicitante de cálculo pésimo.

$$V_{Ed} : 15.75 \text{ kN}$$

$V_{c,Rd}$: Esfuerzo cortante resistente de cálculo.

$$V_{c,Rd} : 304.70 \text{ kN}$$

Resistencia a flexión y axil combinados (CTE DB SE-A, Artículo 6.2.8)

Se debe satisfacer:

$$\eta = \frac{N_{c,Ed}}{N_{pl,Rd}} + \frac{M_{y,Ed}}{M_{pl,Rd,y}} + \frac{M_{z,Ed}}{M_{pl,Rd,z}} \leq 1$$

$$\eta : 0.480$$



$$\eta = \frac{N_{c,Ed}}{\chi_y \cdot A \cdot f_{yd}} + k_y \cdot \frac{C_{m,y} \cdot M_{y,Ed}}{\chi_{LT} \cdot W_{pl,y} \cdot f_{yd}} + \alpha_z \cdot k_z \cdot \frac{C_{m,z} \cdot M_{z,Ed}}{W_{pl,z} \cdot f_{yd}} \leq 1$$

$$\eta : 0.397$$



$$\eta = \frac{N_{c,Ed}}{\chi_z \cdot A \cdot f_{yd}} + \alpha_y \cdot k_y \cdot \frac{C_{m,y} \cdot M_{y,Ed}}{W_{pl,y} \cdot f_{yd}} + k_z \cdot \frac{C_{m,z} \cdot M_{z,Ed}}{W_{pl,z} \cdot f_{yd}} \leq 1$$

$$\eta : 0.542$$



Los esfuerzos solicitantes de cálculo pésimos se producen en el nudo N11, para la combinación de acciones $1.35 \cdot PP + 1.5 \cdot V(90^\circ)H2 + 0.75 \cdot N(EI)$.

Donde:

$N_{c,Ed}$: Axil de compresión solicitante de cálculo pésimo.

$$N_{c,Ed} : 58.53 \text{ kN}$$

$M_{y,Ed}$, $M_{z,Ed}$: Momentos flectores solicitantes de cálculo pésimos, según los ejes Y y Z, respectivamente.

$$M_{y,Ed} : 5.47 \text{ kN}\cdot\text{m}$$

$$M_{z,Ed} : 22.04 \text{ kN}\cdot\text{m}$$

Clase: Clase de la sección, según la capacidad de deformación y de desarrollo de la resistencia plástica de sus elementos planos, para axil y flexión simple.

$$\text{Clase} : 1$$

$N_{pl,Rd}$: Resistencia a compresión de la sección bruta.

$$N_{pl,Rd} : 1215.00 \text{ kN}$$

$M_{pl,Rd,y}$, $M_{pl,Rd,z}$: Resistencia a flexión de la sección bruta en condiciones plásticas, respecto a los ejes Y y Z, respectivamente.

$$M_{pl,Rd,y} : 73.33 \text{ kN}\cdot\text{m}$$

$$M_{pl,Rd,z} : 61.76 \text{ kN}\cdot\text{m}$$

Resistencia a pandeo: (CTE DB SE-A, Artículo 6.3.4.2)

A: Área de la sección bruta.

$$A : 46.39 \text{ cm}^2$$

$W_{pl,y}$, $W_{pl,z}$: Módulos resistentes plásticos correspondientes a la fibra comprimida, alrededor de los ejes Y y Z, respectivamente.

$$W_{pl,y} : 279.97 \text{ cm}^3$$

$$W_{pl,z} : 235.83 \text{ cm}^3$$

f_{yd} : Resistencia de cálculo del acero.

$$f_{yd} : 261.90 \text{ MPa}$$

$$f_{yd} = f_y / \gamma_{M1}$$

Siendo:

f_y : Límite elástico. (CTE DB SE-A, Tabla 4.1)

γ_{M1} : Coeficiente parcial de seguridad del material.

$$f_y : \underline{275.00 \text{ MPa}}$$

$$\gamma_{M1} : \underline{1.05}$$

k_y, k_z : Coeficientes de interacción.

$$k_y = 1 + (\bar{\lambda}_y - 0.2) \cdot \frac{N_{c,Ed}}{\chi_y \cdot N_{c,Rd}}$$

$$k_y : \underline{1.07}$$

$$k_z = 1 + (\bar{\lambda}_z - 0.2) \cdot \frac{N_{c,Ed}}{\chi_z \cdot N_{c,Rd}}$$

$$k_z : \underline{1.09}$$

$C_{m,y}, C_{m,z}$: Factores de momento flector uniforme equivalente.

$$C_{m,y} : \underline{1.00}$$

$$C_{m,z} : \underline{1.00}$$

χ_y, χ_z : Coeficientes de reducción por pandeo, alrededor de los ejes Y y Z, respectivamente.

$$\chi_y : \underline{0.56}$$

$$\chi_z : \underline{0.45}$$

$\bar{\lambda}_y, \bar{\lambda}_z$: Esbelteces reducidas con valores no mayores que 1.00, en relación a los ejes Y y Z, respectivamente.

$$\bar{\lambda}_y : \underline{0.96}$$

$$\bar{\lambda}_z : \underline{1.17}$$

α_y, α_z : Factores dependientes de la clase de la sección.

$$\alpha_y : \underline{0.60}$$

$$\alpha_z : \underline{0.60}$$

Resistencia a flexión, axil y cortante combinados (CTE DB SE-A, Artículo 6.2.8)

No es necesario reducir las resistencias de cálculo a flexión y a axil, ya que se puede ignorar el efecto de abolladura por esfuerzo cortante y, además, el esfuerzo cortante solicitante de cálculo pésimo V_{Ed} es menor o igual que el 50% del esfuerzo cortante resistente de cálculo $V_{c,Rd}$.

Los esfuerzos solicitantes de cálculo pésimos se producen para la combinación de acciones 0.8·PP+1.5·V(90°)H2+0.75·N(R)1.

$$V_{Ed,y} \leq \frac{V_{c,Rd,y}}{2}$$

$$15.75 \text{ kN} \leq 152.22 \text{ kN}$$



Donde:

$V_{Ed,y}$: Esfuerzo cortante solicitante de cálculo pésimo.

$$V_{Ed,y} : \underline{15.75 \text{ kN}}$$

$V_{c,Rd,y}$: Esfuerzo cortante resistente de cálculo.

$$V_{c,Rd,y} : \underline{304.43 \text{ kN}}$$

Resistencia a torsión (CTE DB SE-A, Artículo 6.2.7)

Se debe satisfacer:

$$\eta = \frac{M_{T,Ed}}{M_{T,Rd}} \leq 1$$

$$\eta : \underline{0.010}$$



El esfuerzo solicitante de cálculo pésimo se produce para la combinación de acciones $1.35 \cdot PP + 1.5 \cdot V(270^\circ)H2 + 0.75 \cdot N(EI)$.

$M_{T,Ed}$: Momento torsor solicitante de cálculo pésimo.

$M_{T,Ed}$: 0.53 kN·m

El momento torsor resistente de cálculo $M_{T,Rd}$ viene dado por:

$$M_{T,Rd} = \frac{1}{\sqrt{3}} \cdot W_T \cdot f_{yd}$$

$M_{T,Rd}$: 54.93 kN·m

Donde:

W_T : Módulo de resistencia a torsión.

W_T : 363.26 cm³

f_{yd} : Resistencia de cálculo del acero.

f_{yd} : 261.90 MPa

$$f_{yd} = f_y / \gamma_{M0}$$

Siendo:

f_y : Límite elástico. (CTE DB SE-A, Tabla 4.1)

f_y : 275.00 MPa

γ_{M0} : Coeficiente parcial de seguridad del material.

γ_{M0} : 1.05

Resistencia a cortante Z y momento torsor combinados (CTE DB SE-A, Artículo 6.2.8)

Se debe satisfacer:

$$\eta = \frac{V_{Ed}}{V_{pl,T,Rd}} \leq 1$$

η : 0.008 ✓

Los esfuerzos solicitantes de cálculo pésimos se producen en el nudo N11, para la combinación de acciones $1.35 \cdot PP + 1.5 \cdot V(90^\circ)H2 + 0.75 \cdot N(R)2$.

V_{Ed} : Esfuerzo cortante solicitante de cálculo pésimo.

V_{Ed} : 3.06 kN

$M_{T,Ed}$: Momento torsor solicitante de cálculo pésimo.

$M_{T,Ed}$: 0.12 kN·m

El esfuerzo cortante resistente de cálculo reducido $V_{pl,T,Rd}$ viene dado por:

$$V_{pl,T,Rd} = \left[1 - \frac{\tau_{T,Ed}}{f_{yd}/\sqrt{3}} \right] \cdot V_{pl,Rd}$$

$V_{pl,T,Rd}$: 395.90 kN

Donde:

$V_{pl,Rd}$: Esfuerzo cortante resistente de cálculo.

$V_{pl,Rd}$: 396.78 kN

$\tau_{T,Ed}$: Tensiones tangenciales por torsión.

$\tau_{T,Ed}$: 0.33 MPa

$$\tau_{T,Ed} = \frac{M_{T,Ed}}{W_t}$$

Siendo:

W_T : Módulo de resistencia a torsión.

W_T : 363.26 cm³

f_{yd} : Resistencia de cálculo del acero.

f_{yd} : 261.90 MPa

$$f_{yd} = f_y / \gamma_{M0}$$

Siendo:

f_y : Límite elástico. (CTE DB SE-A, Tabla 4.1)
 γ_{M0} : Coeficiente parcial de seguridad del material.

f_y : 275.00 MPa
 γ_{M0} : 1.05

Resistencia a cortante Y y momento torsor combinados (CTE DB SE-A, Artículo 6.2.8)

Se debe satisfacer:

$$\eta = \frac{V_{Ed}}{V_{pl,T,Rd}} \leq 1$$

η : 0.052 ✓

Los esfuerzos solicitantes de cálculo pésimos se producen en el nudo N11, para la combinación de acciones
0.8·PP+1.5·V(90°)H2+0.75·N(R)1.

V_{Ed} : Esfuerzo cortante solicitante de cálculo pésimo.

V_{Ed} : 15.75 kN

$M_{T,Ed}$: Momento torsor solicitante de cálculo pésimo.

$M_{T,Ed}$: 0.05 kN·m

El esfuerzo cortante resistente de cálculo reducido $V_{pl,T,Rd}$ viene dado por:

$$V_{pl,T,Rd} = \left[1 - \frac{\tau_{T,Ed}}{f_{yd}/\sqrt{3}} \right] \cdot V_{pl,Rd}$$

$V_{pl,T,Rd}$: 304.43 kN

Donde:

$V_{pl,Rd}$: Esfuerzo cortante resistente de cálculo.

$V_{pl,Rd}$: 304.70 kN

$\tau_{T,Ed}$: Tensiones tangenciales por torsión.

$\tau_{T,Ed}$: 0.13 MPa

$$\tau_{T,Ed} = \frac{M_{T,Ed}}{W_t}$$

Siendo:

W_T : Módulo de resistencia a torsión.

W_T : 363.26 cm³

f_{yd} : Resistencia de cálculo del acero.

f_{yd} : 261.90 MPa

$$f_{yd} = f_y / \gamma_{M0}$$

Siendo:

f_y : Límite elástico. (CTE DB SE-A, Tabla 4.1)

f_y : 275.00 MPa

γ_{M0} : Coeficiente parcial de seguridad del material.

γ_{M0} : 1.05

A1.2.5.6. Pilar interior vertical pórtico trasero.

Perfil: IPE 600 Material: Acero (S275)							
Nudos		Longitud (m)	Características mecánicas				
Inicial	Final		Área (cm ²)	I _y ⁽¹⁾ (cm ⁴)	I _z ⁽¹⁾ (cm ⁴)	I _t ⁽²⁾ (cm ⁴)	
N1014	N1033	5.100	156.00	92080.00	3387.00	165.00	
Notas: ⁽¹⁾ Inercia respecto al eje indicado ⁽²⁾ Momento de inercia a torsión uniforme							
			Pandeo		Pandeo lateral		
			Plano XY	Plano XZ	Ala sup.	Ala inf.	
β	0.70	0.70	0.00	0.00	0.00	0.00	
L _K	3.570	3.570	0.000	0.000	0.000	0.000	
C _m	1.000	1.000	1.000	1.000	1.000	1.000	
C ₁	-	-	-	-	1.000	1.000	
Notación: β: Coeficiente de pandeo L _K : Longitud de pandeo (m) C _m : Coeficiente de momentos C ₁ : Factor de modificación para el momento crítico							

Limitación de esbeltez (CTE DB SE-A, Artículos 6.3.1 y 6.3.2.1 - Tabla 6.3)

La esbeltez reducida $\bar{\lambda}$ de las barras comprimidas debe ser inferior al valor 2.0.

$$\bar{\lambda} = \sqrt{\frac{A_{ef} \cdot f_y}{N_{cr}}}$$

$\bar{\lambda}$: **0.84** ✓

Donde:

Clase: Clase de la sección, según la capacidad de deformación y de desarrollo de la resistencia plástica de los elementos planos comprimidos de una sección.

A_{ef}: Área de la sección eficaz para las secciones de clase 4.

f_y: Límite elástico. (CTE DB SE-A, Tabla 4.1)

N_{cr}: Axil crítico de pandeo elástico.

Clase : 4

A_{ef} : 146.23 cm²

f_y : 265.00 MPa

N_{cr} : 5508.05 kN

El axil crítico de pandeo elástico **N_{cr}** es el menor de los valores obtenidos en a), b) y c):

a) Axil crítico elástico de pandeo por flexión respecto al eje Y.

N_{cr,y} : 149743.48 kN

$$N_{cr,y} = \frac{\pi^2 \cdot E \cdot I_y}{L_{ky}^2}$$

b) Axil crítico elástico de pandeo por flexión respecto al eje Z.

N_{cr,z} : 5508.05 kN

$$N_{cr,z} = \frac{\pi^2 \cdot E \cdot I_z}{L_{kz}^2}$$

c) Axil crítico elástico de pandeo por torsión.

N_{cr,T} : ∞

$$N_{cr,T} = \frac{1}{i_0^2} \cdot \left[G \cdot I_t + \frac{\pi^2 \cdot E \cdot I_w}{L_{kt}^2} \right]$$

Donde:

I_y: Momento de inercia de la sección bruta, respecto al eje Y.

$$I_y : \underline{92080.00} \text{ cm}^4$$

I_z: Momento de inercia de la sección bruta, respecto al eje Z.

$$I_z : \underline{3387.00} \text{ cm}^4$$

I_t: Momento de inercia a torsión uniforme.

$$I_t : \underline{165.00} \text{ cm}^4$$

I_w: Constante de alabeo de la sección.

$$I_w : \underline{2846000.00} \text{ cm}^6$$

E: Módulo de elasticidad.

$$E : \underline{210000} \text{ MPa}$$

G: Módulo de elasticidad transversal.

$$G : \underline{81000} \text{ MPa}$$

L_{ky}: Longitud efectiva de pandeo por flexión, respecto al eje Y.

$$L_{ky} : \underline{3.570} \text{ m}$$

L_{kz}: Longitud efectiva de pandeo por flexión, respecto al eje Z.

$$L_{kz} : \underline{3.570} \text{ m}$$

L_{kt}: Longitud efectiva de pandeo por torsión.

$$L_{kt} : \underline{0.000} \text{ m}$$

i₀: Radio de giro polar de la sección bruta, respecto al centro de torsión.

$$i_0 : \underline{24.74} \text{ cm}$$

$$i_0 = (i_y^2 + i_z^2 + y_0^2 + z_0^2)^{0.5}$$

Siendo:

i_y , i_z: Radios de giro de la sección bruta, respecto a los ejes principales de inercia Y y Z.

$$i_y : \underline{24.30} \text{ cm}$$

$$i_z : \underline{4.66} \text{ cm}$$

y₀ , z₀: Coordenadas del centro de torsión en la dirección de los ejes principales Y y Z, respectivamente, relativas al centro de gravedad de la sección.

$$y_0 : \underline{0.00} \text{ mm}$$

$$z_0 : \underline{0.00} \text{ mm}$$

Abolladura del alma inducida por el ala comprimida (Criterio de CYPE Ingenieros, basado en: Eurocódigo 3 EN 1993-1-5: 2006, Artículo 8)

Se debe satisfacer:

$$\frac{h_w}{t_w} \leq k \frac{E}{f_{yf}} \sqrt{\frac{A_w}{A_{fc,ef}}}$$

$$46.83 \leq 301.97 \checkmark$$

Donde:

h_w: Altura del alma.

$$h_w : \underline{562.00} \text{ mm}$$

t_w: Espesor del alma.

$$t_w : \underline{12.00} \text{ mm}$$

A_w: Área del alma.

$$A_w : \underline{67.44} \text{ cm}^2$$

A_{fc,ef}: Área reducida del ala comprimida.

$$A_{fc,ef} : \underline{41.80} \text{ cm}^2$$

k: Coeficiente que depende de la clase de la sección.

$$k : \underline{0.30}$$

E: Módulo de elasticidad.

$$E : \underline{210000} \text{ MPa}$$

f_{yf}: Límite elástico del acero del ala comprimida.

$$f_{yf} : \underline{265.00} \text{ MPa}$$

Siendo:

$$f_{yf} = f_y$$

Resistencia a tracción (CTE DB SE-A, Artículo 6.2.3)

Se debe satisfacer:

$$\eta = \frac{N_{t,Ed}}{N_{t,Rd}} \leq 1$$

$$\eta : \underline{0.003} \quad \checkmark$$

El esfuerzo solicitante de cálculo pésimo se produce en el nudo N1033, para la combinación de acciones 0.8·PP+1.5·V(180°)H3.

N_{t,Ed}: Axil de tracción solicitante de cálculo pésimo.

$$\mathbf{N_{t,Ed}} : \underline{12.95} \text{ kN}$$

La resistencia de cálculo a tracción **N_{t,Rd}** viene dada por:

$$\mathbf{N_{t,Rd}} = A \cdot f_{yd}$$

$$\mathbf{N_{t,Rd}} : \underline{3937.14} \text{ kN}$$

Donde:

A: Área bruta de la sección transversal de la barra.

$$\mathbf{A} : \underline{156.00} \text{ cm}^2$$

f_{yd}: Resistencia de cálculo del acero.

$$\mathbf{f_{yd}} : \underline{252.38} \text{ MPa}$$

$$f_{yd} = f_y / \gamma_{M0}$$

Siendo:

f_y: Límite elástico. (CTE DB SE-A, Tabla 4.1)

$$\mathbf{f_y} : \underline{265.00} \text{ MPa}$$

γ_{M0}: Coeficiente parcial de seguridad del material.

$$\mathbf{\gamma_{M0}} : \underline{1.05}$$

Resistencia a compresión (CTE DB SE-A, Artículo 6.2.5)

Se debe satisfacer:

$$\eta = \frac{N_{c,Ed}}{N_{c,Rd}} \leq 1$$

$$\eta : \underline{0.034} \quad \checkmark$$

$$\eta = \frac{N_{c,Ed}}{N_{b,Rd}} \leq 1$$

$$\eta : \underline{0.048} \quad \checkmark$$

El esfuerzo solicitante de cálculo pésimo se produce en el nudo N1014, para la combinación de acciones 1.35·PP+1.5·V(0°)H4+0.75·N(R)2.

N_{c,Ed}: Axil de compresión solicitante de cálculo pésimo.

$$\mathbf{N_{c,Ed}} : \underline{125.22} \text{ kN}$$

La resistencia de cálculo a compresión **N_{c,Rd}** viene dada por:

$$\mathbf{N_{c,Rd}} = A_{ef} \cdot f_{yd}$$

$$\mathbf{N_{c,Rd}} : \underline{3690.57} \text{ kN}$$

Donde:

$$\mathbf{Clase} : \underline{4}$$

Clase: Clase de la sección, según la capacidad de deformación y de desarrollo de la resistencia plástica de los elementos planos comprimidos de una sección.

A_{ef}: Área de la sección eficaz para las secciones de clase 4.

f_{yd}: Resistencia de cálculo del acero.

$$f_{yd} = f_y / \gamma_{M0}$$

Siendo:

f_y: Límite elástico. (CTE DB SE-A, Tabla 4.1)

γ_{M0}: Coeficiente parcial de seguridad del material.

$$A_{ef} : \underline{146.23} \text{ cm}^2$$

$$f_{yd} : \underline{252.38} \text{ MPa}$$

$$f_y : \underline{265.00} \text{ MPa}$$

$$\gamma_{M0} : \underline{1.05}$$

Resistencia a pandeo: (CTE DB SE-A, Artículo 6.3.2)

La resistencia de cálculo a pandeo **N_{b,Rd}** en una barra comprimida viene dada por:

$$N_{b,Rd} = \chi \cdot A_{ef} \cdot f_{yd}$$

$$N_{b,Rd} : \underline{2584.31} \text{ kN}$$

Donde:

A_{ef}: Área de la sección eficaz para las secciones de clase 4.

f_{yd}: Resistencia de cálculo del acero.

$$f_{yd} = f_y / \gamma_{M1}$$

Siendo:

f_y: Límite elástico. (CTE DB SE-A, Tabla 4.1)

γ_{M1}: Coeficiente parcial de seguridad del material.

$$A_{ef} : \underline{146.23} \text{ cm}^2$$

$$f_{yd} : \underline{252.38} \text{ MPa}$$

$$f_y : \underline{265.00} \text{ MPa}$$

$$\gamma_{M1} : \underline{1.05}$$

χ: Coeficiente de reducción por pandeo.

$$\chi = \frac{1}{\Phi + \sqrt{\Phi^2 - (\bar{\lambda})^2}} \leq 1$$

$$\chi_y : \underline{1.00}$$

$$\chi_z : \underline{0.70}$$

Siendo:

$$\Phi = 0.5 \cdot \left[1 + \alpha \cdot (\bar{\lambda} - 0.2) + (\bar{\lambda})^2 \right]$$

$$\phi_y : \underline{0.51}$$

$$\phi_z : \underline{0.96}$$

α: Coeficiente de imperfección elástica.

$$\alpha_y : \underline{0.21}$$

$$\alpha_z : \underline{0.34}$$

λ̄: Esbeltez reducida.

$$\bar{\lambda} = \sqrt{\frac{A_{ef} \cdot f_y}{N_{cr}}}$$

$$\bar{\lambda}_y : \underline{0.16}$$

$$\bar{\lambda}_z : \underline{0.84}$$

N_{cr}: Axil crítico elástico de pandeo, obtenido como el menor de los siguientes valores:

$$N_{cr} : \underline{5508.05} \text{ kN}$$

N_{cr,y}: Axil crítico elástico de pandeo por flexión respecto al eje Y.

$$N_{cr,y} : \underline{149743.48} \text{ kN}$$

$N_{cr,z}$: Axil crítico elástico de pandeo por flexión respecto al eje Z.

$N_{cr,z}$: 5508.05 kN

$N_{cr,T}$: Axil crítico elástico de pandeo por torsión.

$N_{cr,T}$: ∞

Resistencia a flexión eje Y (CTE DB SE-A, Artículo 6.2.6)

Se debe satisfacer:

$$\eta = \frac{M_{Ed}}{M_{c,Rd}} \leq 1$$

η : 0.571 ✓

Para flexión positiva:

El esfuerzo solicitante de cálculo pésimo se produce en el nudo N1014, para la combinación de acciones 1.35·PP+1.5·V(0°)H3+0.75·N(EI).

M_{Ed}^+ : Momento flector solicitante de cálculo pésimo.

M_{Ed}^+ : 409.52 kN·m

Para flexión negativa:

El esfuerzo solicitante de cálculo pésimo se produce en el nudo N1014, para la combinación de acciones 0.8·PP+1.5·V(90°)H2.

M_{Ed}^- : Momento flector solicitante de cálculo pésimo.

M_{Ed}^- : 505.86 kN·m

El momento flector resistente de cálculo $M_{c,Rd}$ viene dado por:

$$M_{c,Rd} = W_{pl,y} \cdot f_{yd}$$

$M_{c,Rd}$: 886.36 kN·m

Donde:

Clase: Clase de la sección, según la capacidad de deformación y de desarrollo de la resistencia plástica de los elementos planos de una sección a flexión simple.

Clase : 1

$W_{pl,y}$: Módulo resistente plástico correspondiente a la fibra con mayor tensión, para las secciones de clase 1 y 2.

$W_{pl,y}$: 3512.00 cm³

f_{yd} : Resistencia de cálculo del acero.

f_{yd} : 252.38 MPa

$$f_{yd} = f_y / \gamma_{MO}$$

Siendo:

f_y : Límite elástico. (CTE DB SE-A, Tabla 4.1)

f_y : 265.00 MPa

γ_{MO} : Coeficiente parcial de seguridad del material.

γ_{MO} : 1.05

Resistencia a pandeo lateral: (CTE DB SE-A, Artículo 6.3.3.2)

No procede, dado que las longitudes de pandeo lateral son nulas.

Resistencia a flexión eje Z (CTE DB SE-A, Artículo 6.2.6)

Se debe satisfacer:

$$\eta = \frac{M_{Ed}}{M_{c,Rd}} \leq 1$$

η : 0.016 ✓

Para flexión positiva:

El esfuerzo solicitante de cálculo pésimo se produce en el nudo N1014, para la combinación de acciones $1.35 \cdot PP + 1.5 \cdot V(0^\circ)H4 + 0.75 \cdot N(R)2$.

M_{Ed}^+ : Momento flector solicitante de cálculo pésimo.

$$M_{Ed}^+ : 1.93 \text{ kN}\cdot\text{m}$$

Para flexión negativa:

El esfuerzo solicitante de cálculo pésimo se produce en el nudo N1014, para la combinación de acciones $0.8 \cdot PP + 1.5 \cdot V(180^\circ)H3 + 0.75 \cdot N(R)1$.

M_{Ed}^- : Momento flector solicitante de cálculo pésimo.

$$M_{Ed}^- : 1.78 \text{ kN}\cdot\text{m}$$

El momento flector resistente de cálculo $M_{c,Rd}$ viene dado por:

$$M_{c,Rd} = W_{pl,z} \cdot f_{yd}$$

$$M_{c,Rd} : 122.66 \text{ kN}\cdot\text{m}$$

Donde:

Clase: Clase de la sección, según la capacidad de deformación y de desarrollo de la resistencia plástica de los elementos planos de una sección a flexión simple.

$$\text{Clase} : 1$$

$W_{pl,z}$: Módulo resistente plástico correspondiente a la fibra con mayor tensión, para las secciones de clase 1 y 2.

$$W_{pl,z} : 486.00 \text{ cm}^3$$

f_{yd} : Resistencia de cálculo del acero.

$$f_{yd} : 252.38 \text{ MPa}$$

$$f_{yd} = f_y / \gamma_{M0}$$

Siendo:

f_y : Límite elástico. (CTE DB SE-A, Tabla 4.1)

$$f_y : 265.00 \text{ MPa}$$

γ_{M0} : Coeficiente parcial de seguridad del material.

$$\gamma_{M0} : 1.05$$

Resistencia a corte Z (CTE DB SE-A, Artículo 6.2.4)

Se debe satisfacer:

$$\eta = \frac{V_{Ed}}{V_{c,Rd}} \leq 1$$

$$\eta : 0.107 \checkmark$$

El esfuerzo solicitante de cálculo pésimo se produce en el nudo N1014, para la combinación de acciones $0.8 \cdot PP + 1.5 \cdot V(90^\circ)H2$.

V_{Ed} : Esfuerzo cortante solicitante de cálculo pésimo.

$$V_{Ed} : 130.08 \text{ kN}$$

El esfuerzo cortante resistente de cálculo $V_{c,Rd}$ viene dado por:

$$V_{c,Rd} = A_v \cdot \frac{f_{yd}}{\sqrt{3}}$$

$$V_{c,Rd} : 1221.07 \text{ kN}$$

Donde:

A_v : Área transversal a cortante.

$$A_v : 83.80 \text{ cm}^2$$

$$A_v = h \cdot t_w$$

Siendo:

h : Canto de la sección.

$$h : 600.00 \text{ mm}$$

t_w : Espesor del alma.

$$t_w : 12.00 \text{ mm}$$

f_{yd} : Resistencia de cálculo del acero.

$$f_{yd} : 252.38 \text{ MPa}$$

$$f_{yd} = f_y / \gamma_{M0}$$

Siendo:

f_y : Límite elástico. (CTE DB SE-A, Tabla 4.1)

f_y : 265.00 MPa

γ_{M0} : Coeficiente parcial de seguridad del material.

γ_{M0} : 1.05

Abolladura por cortante del alma: (CTE DB SE-A, Artículo 6.3.3.4)

Aunque no se han dispuesto rigidizadores transversales, no es necesario comprobar la resistencia a la abolladura del alma, puesto que se cumple:

$$\frac{d}{t_w} < 70 \cdot \varepsilon$$

$$42.83 < 65.92$$



Donde:

λ_w : Esbeltez del alma.

λ_w : 42.83

$$\lambda_w = \frac{d}{t_w}$$

$\lambda_{máx}$: Esbeltez máxima.

$\lambda_{máx}$: 65.92

ε : Factor de reducción.

ε : 0.94

$$\varepsilon = \sqrt{\frac{f_{ref}}{f_y}}$$

Siendo:

f_{ref} : Límite elástico de referencia.

f_{ref} : 235.00 MPa

f_y : Límite elástico. (CTE DB SE-A, Tabla 4.1)

f_y : 265.00 MPa

Resistencia a corte Y (CTE DB SE-A, Artículo 6.2.4)

Se debe satisfacer:

$$\eta = \frac{V_{Ed}}{V_{c,Rd}} \leq 1$$

$$\eta < 0.001$$



El esfuerzo solicitante de cálculo pésimo se produce para la combinación de acciones 1.35·PP+1.5·V(0°)H4+0.75·N(R)2.

V_{Ed} : Esfuerzo cortante solicitante de cálculo pésimo.

V_{Ed} : 0.55 kN

El esfuerzo cortante resistente de cálculo $V_{c,Rd}$ viene dado por:

$$V_{c,Rd} = A_v \cdot \frac{f_{yd}}{\sqrt{3}}$$

$V_{c,Rd}$: 1290.43 kN

Donde:

A_v : Área transversal a cortante.

A_v : 88.56 cm²

$$A_v = A - d \cdot t_w$$

Siendo:

A: Área de la sección bruta. **A :** 156.00 cm²
d: Altura del alma. **d :** 562.00 mm
t_w: Espesor del alma. **t_w :** 12.00 mm

f_{yd}: Resistencia de cálculo del acero. **f_{yd} :** 252.38 MPa
 $f_{yd} = f_y / \gamma_{M0}$

Siendo:

f_y: Límite elástico. (CTE DB SE-A, Tabla 4.1) **f_y :** 265.00 MPa
γ_{M0}: Coeficiente parcial de seguridad del material. **γ_{M0} :** 1.05

Resistencia a momento flector Y y fuerza cortante Z combinados (CTE DB SE-A, Artículo 6.2.8)

No es necesario reducir la resistencia de cálculo a flexión, ya que el esfuerzo cortante solicitante de cálculo pésimo **V_{Ed}** no es superior al 50% de la resistencia de cálculo a cortante **V_{c,Rd}**.

$$V_{Ed} \leq \frac{V_{c,Rd}}{2}$$

$$130.08 \text{ kN} \leq 610.53 \text{ kN}$$



Los esfuerzos solicitantes de cálculo pésimos se producen para la combinación de acciones 0.8·PP+1.5·V(90°)H2.

V_{Ed}: Esfuerzo cortante solicitante de cálculo pésimo. **V_{Ed} :** 130.08 kN

V_{c,Rd}: Esfuerzo cortante resistente de cálculo. **V_{c,Rd} :** 1221.07 kN

Resistencia a momento flector Z y fuerza cortante Y combinados (CTE DB SE-A, Artículo 6.2.8)

No es necesario reducir la resistencia de cálculo a flexión, ya que el esfuerzo cortante solicitante de cálculo pésimo **V_{Ed}** no es superior al 50% de la resistencia de cálculo a cortante **V_{c,Rd}**.

$$V_{Ed} \leq \frac{V_{c,Rd}}{2}$$

$$0.55 \text{ kN} \leq 645.21 \text{ kN}$$



Los esfuerzos solicitantes de cálculo pésimos se producen para la combinación de acciones 1.35·PP+1.5·V(0°)H4+0.75·N(R)2.

V_{Ed}: Esfuerzo cortante solicitante de cálculo pésimo. **V_{Ed} :** 0.55 kN

V_{c,Rd}: Esfuerzo cortante resistente de cálculo. **V_{c,Rd} :** 1290.43 kN

Resistencia a flexión y axil combinados (CTE DB SE-A, Artículo 6.2.8)

Se debe satisfacer:

$$\eta = \frac{N_{c,Ed}}{N_{pl,Rd}} + \frac{M_{y,Ed}}{M_{pl,Rd,y}} + \frac{M_{z,Ed}}{M_{pl,Rd,z}} \leq 1$$

$$\eta : \underline{0.589} \quad \checkmark$$

$$\eta = \frac{N_{c,Ed}}{\chi_y \cdot A \cdot f_{yd}} + k_y \cdot \frac{C_{m,y} \cdot M_{y,Ed}}{\chi_{LT} \cdot W_{pl,y} \cdot f_{yd}} + \alpha_z \cdot k_z \cdot \frac{C_{m,z} \cdot M_{z,Ed}}{W_{pl,z} \cdot f_{yd}} \leq 1$$

$$\eta : \underline{0.588} \quad \checkmark$$

$$\eta = \frac{N_{c,Ed}}{\chi_z \cdot A \cdot f_{yd}} + \alpha_y \cdot k_y \cdot \frac{C_{m,y} \cdot M_{y,Ed}}{W_{pl,y} \cdot f_{yd}} + k_z \cdot \frac{C_{m,z} \cdot M_{z,Ed}}{W_{pl,z} \cdot f_{yd}} \leq 1$$

$$\eta : \underline{0.371} \quad \checkmark$$

Los esfuerzos solicitantes de cálculo pésimos se producen en el nudo N1014, para la combinación de acciones 1.35·PP+1.5·V(90°)H2+0.75·N(R)1.

Donde:

N_{c,Ed}: Axil de compresión solicitante de cálculo pésimo.

$$N_{c,Ed} : \underline{75.14} \text{ kN}$$

M_{y,Ed}, M_{z,Ed}: Momentos flectores solicitantes de cálculo pésimos, según los ejes Y y Z, respectivamente.

$$M_{y,Ed} : \underline{503.26} \text{ kN}\cdot\text{m}$$

$$M_{z,Ed} : \underline{0.28} \text{ kN}\cdot\text{m}$$

Clase: Clase de la sección, según la capacidad de deformación y de desarrollo de la resistencia plástica de sus elementos planos, para axil y flexión simple.

$$\text{Clase} : \underline{1}$$

N_{pl,Rd}: Resistencia a compresión de la sección bruta.

$$N_{pl,Rd} : \underline{3937.14} \text{ kN}$$

M_{pl,Rd,y}, M_{pl,Rd,z}: Resistencia a flexión de la sección bruta en condiciones plásticas, respecto a los ejes Y y Z, respectivamente.

$$M_{pl,Rd,y} : \underline{886.36} \text{ kN}\cdot\text{m}$$

$$M_{pl,Rd,z} : \underline{122.66} \text{ kN}\cdot\text{m}$$

Resistencia a pandeo: (CTE DB SE-A, Artículo 6.3.4.2)

A: Área de la sección bruta.

$$A : \underline{156.00} \text{ cm}^2$$

W_{pl,y}, W_{pl,z}: Módulos resistentes plásticos correspondientes a la fibra comprimida, alrededor de los ejes Y y Z, respectivamente.

$$W_{pl,y} : \underline{3512.00} \text{ cm}^3$$

$$W_{pl,z} : \underline{486.00} \text{ cm}^3$$

f_{yd}: Resistencia de cálculo del acero.

$$f_{yd} : \underline{252.38} \text{ MPa}$$

$$f_{yd} = f_y / \gamma_{M1}$$

Siendo:

f_y: Límite elástico. (CTE DB SE-A, Tabla 4.1)

$$f_y : \underline{265.00} \text{ MPa}$$

γ_{M1}: Coeficiente parcial de seguridad del material.

$$\gamma_{M1} : \underline{1.05}$$

k_y, k_z: Coeficientes de interacción.

$$k_y = 1 + (\bar{\lambda}_y - 0.2) \cdot \frac{N_{c,Ed}}{\chi_y \cdot N_{c,Rd}}$$

$$k_y : \underline{1.00}$$

$$k_z = 1 + (2 \cdot \bar{\lambda}_z - 0.6) \cdot \frac{N_{c,Ed}}{\chi_z \cdot N_{c,Rd}}$$

$$k_z : \underline{1.03}$$

C_{m,y}, C_{m,z}: Factores de momento flector uniforme equivalente.

$$C_{m,y} : \underline{1.00}$$

$$C_{m,z} : \underline{1.00}$$

χ_y, χ_z : Coeficientes de reducción por pandeo, alrededor de los ejes Y y Z, respectivamente.

$$\chi_y : 1.00$$

$$\chi_z : 0.68$$

$\bar{\lambda}_y, \bar{\lambda}_z$: Esbelteces reducidas con valores no mayores que 1.00, en relación a los ejes Y y Z, respectivamente.

$$\bar{\lambda}_y : 0.17$$

$$\bar{\lambda}_z : 0.87$$

α_y, α_z : Factores dependientes de la clase de la sección.

$$\alpha_y : 0.60$$

$$\alpha_z : 0.60$$

Resistencia a flexión, axil y cortante combinados (CTE DB SE-A, Artículo 6.2.8)

No es necesario reducir las resistencias de cálculo a flexión y a axil, ya que se puede ignorar el efecto de abolladura por esfuerzo cortante y, además, el esfuerzo cortante solicitante de cálculo pésimo V_{Ed} es menor o igual que el 50% del esfuerzo cortante resistente de cálculo $V_{c,Rd}$.

Los esfuerzos solicitantes de cálculo pésimos se producen para la combinación de acciones $0.8 \cdot PP + 1.5 \cdot V(90^\circ)H2$.

$$V_{Ed,z} \leq \frac{V_{c,Rd,z}}{2}$$

$$130.08 \text{ kN} \leq 610.23 \text{ kN}$$



Donde:

$V_{Ed,z}$: Esfuerzo cortante solicitante de cálculo pésimo.

$$V_{Ed,z} : 130.08 \text{ kN}$$

$V_{c,Rd,z}$: Esfuerzo cortante resistente de cálculo.

$$V_{c,Rd,z} : 1220.46 \text{ kN}$$

Resistencia a torsión (CTE DB SE-A, Artículo 6.2.7)

Se debe satisfacer:

$$\eta = \frac{M_{T,Ed}}{M_{T,Rd}} \leq 1$$

$$\eta : 0.001$$



El esfuerzo solicitante de cálculo pésimo se produce para la combinación de acciones $0.8 \cdot PP + 1.5 \cdot V(90^\circ)H2$.

$M_{T,Ed}$: Momento torsor solicitante de cálculo pésimo.

$$M_{T,Ed} : 0.02 \text{ kN} \cdot \text{m}$$

El momento torsor resistente de cálculo $M_{T,Rd}$ viene dado por:

$$M_{T,Rd} = \frac{1}{\sqrt{3}} \cdot W_T \cdot f_{yd}$$

$$M_{T,Rd} : 12.65 \text{ kN} \cdot \text{m}$$

Donde:

W_T : Módulo de resistencia a torsión.

$$W_T : 86.84 \text{ cm}^3$$

f_{yd} : Resistencia de cálculo del acero.

$$f_{yd} : 252.38 \text{ MPa}$$

$$f_{yd} = f_y / \gamma_{M0}$$

Siendo:

f_y : Límite elástico. (CTE DB SE-A, Tabla 4.1)

$$f_y : 265.00 \text{ MPa}$$

γ_{M0} : Coeficiente parcial de seguridad del material.

$$\gamma_{M0} : 1.05$$

Resistencia a cortante Z y momento torsor combinados (CTE DB SE-A, Artículo 6.2.8)

Se debe satisfacer:

$$\eta = \frac{V_{Ed}}{V_{pl,T,Rd}} \leq 1$$

$$\eta : \underline{0.107} \quad \checkmark$$

Los esfuerzos solicitantes de cálculo pésimos se producen en el nudo N1014, para la combinación de acciones 0.8·PP+1.5·V(90°)H2.

V_{Ed}: Esfuerzo cortante solicitante de cálculo pésimo.

$$V_{Ed} : \underline{130.08} \text{ kN}$$

M_{T,Ed}: Momento torsor solicitante de cálculo pésimo.

$$M_{T,Ed} : \underline{0.02} \text{ kN·m}$$

El esfuerzo cortante resistente de cálculo reducido **V_{pl,T,Rd}** viene dado por:

$$V_{pl,T,Rd} = \sqrt{1 - \frac{\tau_{T,Ed}}{1.25 \cdot f_{yd} / \sqrt{3}}} \cdot V_{pl,Rd}$$

$$V_{pl,T,Rd} : \underline{1220.46} \text{ kN}$$

Donde:

V_{pl,Rd}: Esfuerzo cortante resistente de cálculo.

$$V_{pl,Rd} : \underline{1221.07} \text{ kN}$$

τ_{T,Ed}: Tensiones tangenciales por torsión.

$$\tau_{T,Ed} : \underline{0.18} \text{ MPa}$$

$$\tau_{T,Ed} = \frac{M_{T,Ed}}{W_t}$$

Siendo:

W_T: Módulo de resistencia a torsión.

$$W_T : \underline{86.84} \text{ cm}^3$$

f_{yd}: Resistencia de cálculo del acero.

$$f_{yd} : \underline{252.38} \text{ MPa}$$

$$f_{yd} = f_y / \gamma_{M0}$$

Siendo:

f_y: Límite elástico. (CTE DB SE-A, Tabla 4.1)

$$f_y : \underline{265.00} \text{ MPa}$$

γ_{M0}: Coeficiente parcial de seguridad del material.

$$\gamma_{M0} : \underline{1.05}$$

Resistencia a cortante Y y momento torsor combinados (CTE DB SE-A, Artículo 6.2.8)

Se debe satisfacer:

$$\eta = \frac{V_{Ed}}{V_{pl,T,Rd}} \leq 1$$

$$\eta < \underline{0.001} \quad \checkmark$$

Los esfuerzos solicitantes de cálculo pésimos se producen para la combinación de acciones 1.35·PP+1.5·V(0°)H3+0.75·N(R)2.

V_{Ed}: Esfuerzo cortante solicitante de cálculo pésimo.

$$V_{Ed} : \underline{0.54} \text{ kN}$$

M_{T,Ed}: Momento torsor solicitante de cálculo pésimo.

$$M_{T,Ed} : \underline{0.01} \text{ kN·m}$$

El esfuerzo cortante resistente de cálculo reducido **V_{pl,T,Rd}** viene dado por:

$$V_{pl,T,Rd} = \sqrt{1 - \frac{\tau_{T,Ed}}{1.25 \cdot f_{yd} / \sqrt{3}}} \cdot V_{pl,Rd}$$

$$V_{pl,T,Rd} : \underline{1290.12} \text{ kN}$$

Donde:

$V_{pl,Rd}$: Esfuerzo cortante resistente de cálculo.

$$V_{pl,Rd} : \underline{1290.43} \text{ kN}$$

$\tau_{T,Ed}$: Tensiones tangenciales por torsión.

$$\tau_{T,Ed} : \underline{0.09} \text{ MPa}$$

$$\tau_{T,Ed} = \frac{M_{T,Ed}}{W_t}$$

Siendo:

W_T : Módulo de resistencia a torsión.

$$W_T : \underline{86.84} \text{ cm}^3$$

f_{yd} : Resistencia de cálculo del acero.

$$f_{yd} : \underline{252.38} \text{ MPa}$$

$$f_{yd} = f_y / \gamma_{M0}$$

Siendo:

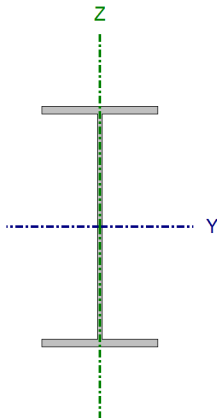
f_y : Límite elástico. (CTE DB SE-A, Tabla 4.1)

$$f_y : \underline{265.00} \text{ MPa}$$

γ_{M0} : Coeficiente parcial de seguridad del material.

$$\gamma_{M0} : \underline{1.05}$$

A1.2.5.7. Viga horizontal pórtico trasero.

Perfil: IPE 330 Material: Acero (S275)							
	Nudos		Longitud (m)	Características mecánicas			
	Inicial	Final		Área (cm²)	I _y ⁽¹⁾ (cm⁴)	I _z ⁽¹⁾ (cm⁴)	I _t ⁽²⁾ (cm⁴)
	N1033	N1054	5.700	62.60	11770.00	788.00	28.20
	Notas:						
	⁽¹⁾ Inercia respecto al eje indicado						
	⁽²⁾ Momento de inercia a torsión uniforme						
		Pandeo		Pandeo lateral			
		Plano XY	Plano XZ	Ala sup.	Ala inf.		
	β	1.00	1.00	0.00	0.00		
	L _K	5.700	5.700	0.000	0.000		
C _m	1.000	1.000	1.000	1.000			
C ₁	-		1.000				
Notación:							
β: Coeficiente de pandeo							
L _K : Longitud de pandeo (m)							
C _m : Coeficiente de momentos							
C ₁ : Factor de modificación para el momento crítico							

Limitación de esbeltez (CTE DB SE-A, Artículos 6.3.1 y 6.3.2.1 - Tabla 6.3)

La esbeltez reducida $\bar{\lambda}$ de las barras comprimidas debe ser inferior al valor 2.0.

$$\bar{\lambda} = \sqrt{\frac{A \cdot f_y}{N_{cr}}}$$

$$\bar{\lambda} : \underline{1.85} \quad \checkmark$$

Donde:

$$\text{Clase} : \underline{3}$$

Clase: Clase de la sección, según la capacidad de deformación y de desarrollo de la resistencia plástica de los elementos planos comprimidos de una sección.

A: Área de la sección bruta para las secciones de clase 1, 2 y 3.

f_y: Límite elástico. (CTE DB SE-A, Tabla 4.1)

N_{cr}: Axil crítico de pandeo elástico.

$$A : \underline{62.60} \text{ cm}^2$$

$$f_y : \underline{275.00} \text{ MPa}$$

$$N_{cr} : \underline{502.69} \text{ kN}$$

El axil crítico de pandeo elástico **N_{cr}** es el menor de los valores obtenidos en a), b) y c):

a) Axil crítico elástico de pandeo por flexión respecto al eje Y.

$$N_{cr,y} : \underline{7508.39} \text{ kN}$$

$$N_{cr,y} = \frac{\pi^2 \cdot E \cdot I_y}{L_{ky}^2}$$

b) Axil crítico elástico de pandeo por flexión respecto al eje Z.

$$N_{cr,z} : \underline{502.69} \text{ kN}$$

$$N_{cr,z} = \frac{\pi^2 \cdot E \cdot I_z}{L_{kz}^2}$$

c) Axil crítico elástico de pandeo por torsión.

$$N_{cr,T} : \underline{\infty}$$

$$N_{cr,T} = \frac{1}{i_0^2} \cdot \left[G \cdot I_t + \frac{\pi^2 \cdot E \cdot I_w}{L_{kt}^2} \right]$$

Donde:

I_y: Momento de inercia de la sección bruta, respecto al eje Y.

$$I_y : \underline{11770.00} \text{ cm}^4$$

I_z: Momento de inercia de la sección bruta, respecto al eje Z.

$$I_z : \underline{788.00} \text{ cm}^4$$

I_t: Momento de inercia a torsión uniforme.

$$I_t : \underline{28.20} \text{ cm}^4$$

I_w: Constante de alabeo de la sección.

$$I_w : \underline{199000.00} \text{ cm}^6$$

E: Módulo de elasticidad.

$$E : \underline{210000} \text{ MPa}$$

G: Módulo de elasticidad transversal.

$$G : \underline{81000} \text{ MPa}$$

L_{ky}: Longitud efectiva de pandeo por flexión, respecto al eje Y.

$$L_{ky} : \underline{5.700} \text{ m}$$

L_{kz}: Longitud efectiva de pandeo por flexión, respecto al eje Z.

$$L_{kz} : \underline{5.700} \text{ m}$$

L_{kt}: Longitud efectiva de pandeo por torsión.

$$L_{kt} : \underline{0.000} \text{ m}$$

i₀: Radio de giro polar de la sección bruta, respecto al centro de torsión.

$$i_0 : \underline{14.16} \text{ cm}$$

$$i_0 = \left(i_y^2 + i_z^2 + y_0^2 + z_0^2 \right)^{0.5}$$

Siendo:

i_y , i_z: Radios de giro de la sección bruta, respecto a los ejes principales de inercia Y y Z.

$$i_y : \underline{13.71} \text{ cm}$$

$$i_z : \underline{3.55} \text{ cm}$$

y₀ , z₀: Coordenadas del centro de torsión en la dirección de los ejes principales Y y Z, respectivamente, relativas al centro de gravedad de la sección.

$$y_0 : \underline{0.00} \text{ mm}$$

$$z_0 : \underline{0.00} \text{ mm}$$

Abolladura del alma inducida por el ala comprimida (Criterio de CYPE Ingenieros, basado en: Eurocódigo 3 EN 1993-1-5: 2006, Artículo 8)

Se debe satisfacer:

$$\frac{h_w}{t_w} \leq k \frac{E}{f_{yf}} \sqrt{\frac{A_w}{A_{fc,ef}}}$$

$$40.93 \leq 256.27 \quad \checkmark$$

Donde:

h_w : Altura del alma.

t_w : Espesor del alma.

A_w : Área del alma.

$A_{fc,ef}$: Área reducida del ala comprimida.

k : Coeficiente que depende de la clase de la sección.

E : Módulo de elasticidad.

f_{yf} : Límite elástico del acero del ala comprimida.

Siendo:

$$f_{yf} = f_y$$

$$h_w : 307.00 \text{ mm}$$

$$t_w : 7.50 \text{ mm}$$

$$A_w : 23.03 \text{ cm}^2$$

$$A_{fc,ef} : 18.40 \text{ cm}^2$$

$$k : 0.30$$

$$E : 210000 \text{ MPa}$$

$$f_{yf} : 275.00 \text{ MPa}$$

Resistencia a tracción (CTE DB SE-A, Artículo 6.2.3)

Se debe satisfacer:

$$\eta = \frac{N_{t,Ed}}{N_{t,Rd}} \leq 1$$

$$\eta : 0.005 \quad \checkmark$$

El esfuerzo solicitante de cálculo pésimo se produce para la combinación de acciones $1.35 \cdot PP + 1.5 \cdot V(0^\circ)H3 + 0.75 \cdot N(EI)$.

$N_{t,Ed}$: Axil de tracción solicitante de cálculo pésimo.

$$N_{t,Ed} : 7.69 \text{ kN}$$

La resistencia de cálculo a tracción $N_{t,Rd}$ viene dada por:

$$N_{t,Rd} = A \cdot f_{yd}$$

$$N_{t,Rd} : 1639.52 \text{ kN}$$

Donde:

A : Área bruta de la sección transversal de la barra.

$$A : 62.60 \text{ cm}^2$$

f_{yd} : Resistencia de cálculo del acero.

$$f_{yd} : 261.90 \text{ MPa}$$

$$f_{yd} = f_y / \gamma_{M0}$$

Siendo:

f_y : Límite elástico. (CTE DB SE-A, Tabla 4.1)

$$f_y : 275.00 \text{ MPa}$$

γ_{M0} : Coeficiente parcial de seguridad del material.

$$\gamma_{M0} : 1.05$$

Resistencia a compresión (CTE DB SE-A, Artículo 6.2.5)

Se debe satisfacer:

$$\eta = \frac{N_{c,Ed}}{N_{c,Rd}} \leq 1$$

$\eta :$ 0.004 ✓

$$\eta = \frac{N_{c,Ed}}{N_{b,Rd}} \leq 1$$

$\eta :$ 0.016 ✓

El esfuerzo solicitante de cálculo pésimo se produce para la combinación de acciones 0.8·PP+1.5·V(180°)H4.

N_{c,Ed}: Axil de compresión solicitante de cálculo pésimo.

N_{c,Ed} : 6.14 kN

La resistencia de cálculo a compresión **N_{c,Rd}** viene dada por:

$$N_{c,Rd} = A \cdot f_{yd}$$

N_{c,Rd} : 1639.52 kN

Donde:

Clase: Clase de la sección, según la capacidad de deformación y de desarrollo de la resistencia plástica de los elementos planos comprimidos de una sección.

Clase : 3

A: Área de la sección bruta para las secciones de clase 1, 2 y 3.

A : 62.60 cm²

f_{yd}: Resistencia de cálculo del acero.

f_{yd} : 261.90 MPa

$$f_{yd} = f_y / \gamma_{M0}$$

Siendo:

f_y: Límite elástico. (CTE DB SE-A, Tabla 4.1)

f_y : 275.00 MPa

γ_{M0}: Coeficiente parcial de seguridad del material.

γ_{M0} : 1.05

Resistencia a pandeo: (CTE DB SE-A, Artículo 6.3.2)

La resistencia de cálculo a pandeo **N_{b,Rd}** en una barra comprimida viene dada por:

$$N_{b,Rd} = \chi \cdot A \cdot f_{yd}$$

N_{b,Rd} : 393.81 kN

Donde:

A: Área de la sección bruta para las secciones de clase 1, 2 y 3.

A : 62.60 cm²

f_{yd}: Resistencia de cálculo del acero.

f_{yd} : 261.90 MPa

$$f_{yd} = f_y / \gamma_{M1}$$

Siendo:

f_y: Límite elástico. (CTE DB SE-A, Tabla 4.1)

f_y : 275.00 MPa

γ_{M1}: Coeficiente parcial de seguridad del material.

γ_{M1} : 1.05

χ: Coeficiente de reducción por pandeo.

χ_y : 0.93

$$\chi = \frac{1}{\Phi + \sqrt{\Phi^2 - (\bar{\lambda})^2}} \leq 1$$

Siendo:

$$\Phi = 0.5 \cdot \left[1 + \alpha \cdot (\bar{\lambda} - 0.2) + (\bar{\lambda})^2 \right]$$

α : Coeficiente de imperfección elástica.

$\bar{\lambda}$: Esbeltez reducida.

$$\bar{\lambda} = \sqrt{\frac{A \cdot f_y}{N_{cr}}}$$

N_{cr} : Axil crítico elástico de pandeo, obtenido como el menor de los siguientes valores:

$N_{cr,y}$: Axil crítico elástico de pandeo por flexión respecto al eje Y.

$N_{cr,z}$: Axil crítico elástico de pandeo por flexión respecto al eje Z.

$N_{cr,T}$: Axil crítico elástico de pandeo por torsión.

$$\chi_z : 0.24$$

$$\phi_y : 0.64$$

$$\phi_z : 2.49$$

$$\alpha_y : 0.21$$

$$\alpha_z : 0.34$$

$$\bar{\lambda}_y : 0.48$$

$$\bar{\lambda}_z : 1.85$$

$$N_{cr} : 502.69 \text{ kN}$$

$$N_{cr,y} : 7508.39 \text{ kN}$$

$$N_{cr,z} : 502.69 \text{ kN}$$

$$N_{cr,T} : \infty$$

Resistencia a flexión eje Y (CTE DB SE-A, Artículo 6.2.6)

Se debe satisfacer:

$$\eta = \frac{M_{Ed}}{M_{c,Rd}} \leq 1$$

$$\eta : 0.004 \checkmark$$

Para flexión positiva:

El esfuerzo solicitante de cálculo pésimo se produce en el nudo N1033, para la combinación de acciones $1.35 \cdot PP + 1.5 \cdot V(270^\circ)H1 + 0.75 \cdot N(EI)$.

M_{Ed}^+ : Momento flector solicitante de cálculo pésimo.

$$M_{Ed}^+ : 0.52 \text{ kN} \cdot \text{m}$$

Para flexión negativa:

El esfuerzo solicitante de cálculo pésimo se produce en el nudo N1033, para la combinación de acciones $0.8 \cdot PP + 1.5 \cdot V(0^\circ)H2$.

M_{Ed}^- : Momento flector solicitante de cálculo pésimo.

$$M_{Ed}^- : 0.89 \text{ kN} \cdot \text{m}$$

El momento flector resistente de cálculo $M_{c,Rd}$ viene dado por:

$$M_{c,Rd} = W_{pl,y} \cdot f_{yd}$$

$$M_{c,Rd} : 210.57 \text{ kN} \cdot \text{m}$$

Donde:

Clase: Clase de la sección, según la capacidad de deformación y de desarrollo de la resistencia plástica de los elementos planos de una sección a flexión simple.

$$\text{Clase} : 1$$

$W_{pl,y}$: Módulo resistente plástico correspondiente a la fibra con mayor tensión, para las secciones de clase 1 y 2.

$$W_{pl,y} : 804.00 \text{ cm}^3$$

f_{yd} : Resistencia de cálculo del acero.

$$f_{yd} : 261.90 \text{ MPa}$$

$$f_{yd} = f_y / \gamma_{M0}$$

Siendo:

f_y : Límite elástico. (CTE DB SE-A, Tabla 4.1)

f_y : 275.00 MPa

γ_{M0} : Coeficiente parcial de seguridad del material.

γ_{M0} : 1.05

Resistencia a pandeo lateral: (CTE DB SE-A, Artículo 6.3.3.2)

No procede, dado que las longitudes de pandeo lateral son nulas.

Resistencia a flexión eje Z (CTE DB SE-A, Artículo 6.2.6)

Se debe satisfacer:

$$\eta = \frac{M_{Ed}}{M_{c,Rd}} \leq 1$$

η : 0.065 ✓

Para flexión positiva:

M_{Ed}^+ : Momento flector solicitante de cálculo pésimo.

M_{Ed}^+ : 0.00 kN·m

Para flexión negativa:

El esfuerzo solicitante de cálculo pésimo se produce en el nudo N1033, para la combinación de acciones 1.35·PP+1.5·V(180°)H3+0.75·N(R)1.

M_{Ed}^- : Momento flector solicitante de cálculo pésimo.

M_{Ed}^- : 2.60 kN·m

El momento flector resistente de cálculo $M_{c,Rd}$ viene dado por:

$$M_{c,Rd} = W_{pl,z} \cdot f_{yd}$$

$M_{c,Rd}$: 40.33 kN·m

Donde:

Clase: Clase de la sección, según la capacidad de deformación y de desarrollo de la resistencia plástica de los elementos planos de una sección a flexión simple.

Clase: 1

$W_{pl,z}$: Módulo resistente plástico correspondiente a la fibra con mayor tensión, para las secciones de clase 1 y 2.

$W_{pl,z}$: 154.00 cm³

f_{yd} : Resistencia de cálculo del acero.

f_{yd} : 261.90 MPa

$$f_{yd} = f_y / \gamma_{M0}$$

Siendo:

f_y : Límite elástico. (CTE DB SE-A, Tabla 4.1)

f_y : 275.00 MPa

γ_{M0} : Coeficiente parcial de seguridad del material.

γ_{M0} : 1.05

Resistencia a corte Z (CTE DB SE-A, Artículo 6.2.4)

Se debe satisfacer:

$$\eta = \frac{V_{Ed}}{V_{c,Rd}} \leq 1$$

η : 0.001 ✓

El esfuerzo solicitante de cálculo pésimo se produce para la combinación de acciones 0.8·PP+1.5·V(90°)H2.

V_{Ed} : Esfuerzo cortante solicitante de cálculo pésimo.

V_{Ed} : 0.21 kN

El esfuerzo cortante resistente de cálculo $V_{c,Rd}$ viene dado por:

$$V_{c,Rd} = A_v \cdot \frac{f_{yd}}{\sqrt{3}}$$

$$V_{c,Rd} : \underline{465.77 \text{ kN}}$$

Donde:

A_v : Área transversal a cortante.

$$A_v : \underline{30.80 \text{ cm}^2}$$

$$A_v = h \cdot t_w$$

Siendo:

h : Canto de la sección.

$$h : \underline{330.00 \text{ mm}}$$

t_w : Espesor del alma.

$$t_w : \underline{7.50 \text{ mm}}$$

f_{yd} : Resistencia de cálculo del acero.

$$f_{yd} : \underline{261.90 \text{ MPa}}$$

$$f_{yd} = f_y / \gamma_{M0}$$

Siendo:

f_y : Límite elástico. (CTE DB SE-A, Tabla 4.1)

$$f_y : \underline{275.00 \text{ MPa}}$$

γ_{M0} : Coeficiente parcial de seguridad del material.

$$\gamma_{M0} : \underline{1.05}$$

Abolladura por cortante del alma: (CTE DB SE-A, Artículo 6.3.3.4)

Aunque no se han dispuesto rigidizadores transversales, no es necesario comprobar la resistencia a la abolladura del alma, puesto que se cumple:

$$\frac{d}{t_w} < 70 \cdot \varepsilon$$

$$36.13 < 64.71$$



Donde:

λ_w : Esbeltez del alma.

$$\lambda_w : \underline{36.13}$$

$$\lambda_w = \frac{d}{t_w}$$

$\lambda_{m\acute{a}x}$: Esbeltez máxima.

$$\lambda_{m\acute{a}x} : \underline{64.71}$$

ε : Factor de reducción.

$$\varepsilon : \underline{0.92}$$

$$\varepsilon = \sqrt{\frac{f_{ref}}{f_y}}$$

Siendo:

f_{ref} : Límite elástico de referencia.

$$f_{ref} : \underline{235.00 \text{ MPa}}$$

f_y : Límite elástico. (CTE DB SE-A, Tabla 4.1)

$$f_y : \underline{275.00 \text{ MPa}}$$

Resistencia a corte Y (CTE DB SE-A, Artículo 6.2.4)

Se debe satisfacer:

$$\eta = \frac{V_{Ed}}{V_{c,Rd}} \leq 1$$

$$\eta : \underline{0.004} \checkmark$$

El esfuerzo solicitante de cálculo pésimo se produce en el nudo N1033, para la combinación de acciones $1.35 \cdot PP + 1.5 \cdot V(180^\circ)H3 + 0.75 \cdot N(R)1$.

V_{Ed} : Esfuerzo cortante solicitante de cálculo pésimo.

V_{Ed} : 2.15 kN

El esfuerzo cortante resistente de cálculo $V_{c,Rd}$ viene dado por:

$$V_{c,Rd} = A_v \cdot \frac{f_{yd}}{\sqrt{3}}$$

$V_{c,Rd}$: 598.42 kN

Donde:

A_v : Área transversal a cortante.

A_v : 39.58 cm²

$$A_v = A - d \cdot t_w$$

Siendo:

A : Área de la sección bruta.

A : 62.60 cm²

d : Altura del alma.

d : 307.00 mm

t_w : Espesor del alma.

t_w : 7.50 mm

f_{yd} : Resistencia de cálculo del acero.

f_{yd} : 261.90 MPa

$$f_{yd} = f_y / \gamma_{M0}$$

Siendo:

f_y : Límite elástico. (CTE DB SE-A, Tabla 4.1)

f_y : 275.00 MPa

γ_{M0} : Coeficiente parcial de seguridad del material.

γ_{M0} : 1.05

Resistencia a momento flector Y y fuerza cortante Z combinados (CTE DB SE-A, Artículo 6.2.8)

No es necesario reducir la resistencia de cálculo a flexión, ya que el esfuerzo cortante solicitante de cálculo pésimo V_{Ed} no es superior al 50% de la resistencia de cálculo a cortante $V_{c,Rd}$.

$$V_{Ed} \leq \frac{V_{c,Rd}}{2}$$

0.21 kN ≤ 232.88 kN



Los esfuerzos solicitantes de cálculo pésimos se producen para la combinación de acciones 0.8·PP+1.5·V(90°)H2.

V_{Ed} : Esfuerzo cortante solicitante de cálculo pésimo.

V_{Ed} : 0.21 kN

$V_{c,Rd}$: Esfuerzo cortante resistente de cálculo.

$V_{c,Rd}$: 465.77 kN

Resistencia a momento flector Z y fuerza cortante Y combinados (CTE DB SE-A, Artículo 6.2.8)

No es necesario reducir la resistencia de cálculo a flexión, ya que el esfuerzo cortante solicitante de cálculo pésimo V_{Ed} no es superior al 50% de la resistencia de cálculo a cortante $V_{c,Rd}$.

$$V_{Ed} \leq \frac{V_{c,Rd}}{2}$$

2.15 kN ≤ 299.21 kN



Los esfuerzos solicitantes de cálculo pésimos se producen para la combinación de acciones 1.35·PP+1.5·V(180°)H3+0.75·N(R)1.

V_{Ed}: Esfuerzo cortante solicitante de cálculo pésimo.

V_{Ed} : 2.15 kN

V_{c,Rd}: Esfuerzo cortante resistente de cálculo.

V_{c,Rd} : 598.42 kN

Resistencia a flexión y axil combinados (CTE DB SE-A, Artículo 6.2.8)

Se debe satisfacer:

$$\eta = \frac{N_{c,Ed}}{N_{pl,Rd}} + \frac{M_{y,Ed}}{M_{el,Rd,y}} + \frac{M_{z,Ed}}{M_{el,Rd,z}} \leq 1$$

η : 0.099 ✓

$$\eta = \frac{N_{c,Ed}}{\chi_y \cdot A \cdot f_{yd}} + k_y \cdot \frac{C_{m,y} \cdot M_{y,Ed}}{\chi_{LT} \cdot W_{el,y} \cdot f_{yd}} + \alpha_z \cdot k_z \cdot \frac{C_{m,z} \cdot M_{z,Ed}}{W_{el,z} \cdot f_{yd}} \leq 1$$

η : 0.100 ✓

$$\eta = \frac{N_{c,Ed}}{\chi_z \cdot A \cdot f_{yd}} + \alpha_y \cdot k_y \cdot \frac{C_{m,y} \cdot M_{y,Ed}}{W_{el,y} \cdot f_{yd}} + k_z \cdot \frac{C_{m,z} \cdot M_{z,Ed}}{W_{el,z} \cdot f_{yd}} \leq 1$$

η : 0.111 ✓

Los esfuerzos solicitantes de cálculo pésimos se producen en el nudo N1033, para la combinación de acciones 1.35·PP+1.5·V(180°)H4.

Donde:

N_{c,Ed}: Axil de compresión solicitante de cálculo pésimo.

N_{c,Ed} : 5.60 kN

M_{y,Ed}, M_{z,Ed}: Momentos flectores solicitantes de cálculo pésimos, según los ejes Y y Z, respectivamente.

M_{y,Ed} : 0.07 kN·m

M_{z,Ed} : 2.46 kN·m

Clase: Clase de la sección, según la capacidad de deformación y de desarrollo de la resistencia plástica de sus elementos planos, para axil y flexión simple.

Clase : 3

N_{pl,Rd}: Resistencia a compresión de la sección bruta.

N_{pl,Rd} : 1639.52 kN

M_{el,Rd,y}, M_{el,Rd,z}: Resistencia a flexión de la sección bruta en condiciones elásticas, respecto a los ejes Y y Z, respectivamente.

M_{el,Rd,y} : 186.83 kN·m

M_{el,Rd,z} : 25.80 kN·m

Resistencia a pandeo: (CTE DB SE-A, Artículo 6.3.4.2)

A: Área de la sección bruta.

A : 62.60 cm²

W_{el,y}, W_{el,z}: Módulos resistentes elásticos correspondientes a la fibra comprimida, alrededor de los ejes Y y Z, respectivamente.

W_{el,y} : 713.33 cm³

W_{el,z} : 98.50 cm³

f_{yd}: Resistencia de cálculo del acero.

f_{yd} : 261.90 MPa

$$f_{yd} = f_y / \gamma_{M1}$$

Siendo:

f_y: Límite elástico. (CTE DB SE-A, Tabla 4.1)

f_y : 275.00 MPa

γ_{M1}: Coeficiente parcial de seguridad del material.

γ_{M1} : 1.05

k_y, k_z: Coeficientes de interacción.

$$k_y = 1 + 0.6 \cdot \bar{\lambda}_y \cdot \frac{N_{c,Ed}}{\chi_y \cdot N_{c,Rd}}$$

k_y : 1.00

$$k_z = 1 + 0.6 \cdot \bar{\lambda}_z \cdot \frac{N_{c,Ed}}{\chi_z \cdot N_{c,Rd}}$$

$$k_z : 1.01$$

$C_{m,y}$, $C_{m,z}$: Factores de momento flector uniforme equivalente.

$$C_{m,y} : 1.00$$

$$C_{m,z} : 1.00$$

χ_y , χ_z : Coeficientes de reducción por pandeo, alrededor de los ejes Y y Z, respectivamente.

$$\chi_y : 0.93$$

$$\chi_z : 0.24$$

$\bar{\lambda}_y$, $\bar{\lambda}_z$: Esbelteces reducidas con valores no mayores que 1.00, en relación a los ejes Y y Z, respectivamente.

$$\bar{\lambda}_y : 0.48$$

$$\bar{\lambda}_z : 1.85$$

α_y , α_z : Factores dependientes de la clase de la sección.

$$\alpha_y : 0.80$$

$$\alpha_z : 1.00$$

Resistencia a flexión, axil y cortante combinados (CTE DB SE-A, Artículo 6.2.8)

No es necesario reducir las resistencias de cálculo a flexión y a axil, ya que se puede ignorar el efecto de abolladura por esfuerzo cortante y, además, el esfuerzo cortante solicitante de cálculo pésimo V_{Ed} es menor o igual que el 50% del esfuerzo cortante resistente de cálculo $V_{c,Rd}$.

Los esfuerzos solicitantes de cálculo pésimos se producen para la combinación de acciones $1.35 \cdot PP + 1.5 \cdot V(180^\circ)H3 + 0.75 \cdot N(R)1$.

$$V_{Ed,y} \leq \frac{V_{c,Rd,y}}{2}$$

$$2.15 \text{ kN} \leq 299.13 \text{ kN}$$



Donde:

$V_{Ed,y}$: Esfuerzo cortante solicitante de cálculo pésimo.

$$V_{Ed,y} : 2.15 \text{ kN}$$

$V_{c,Rd,y}$: Esfuerzo cortante resistente de cálculo.

$$V_{c,Rd,y} : 598.26 \text{ kN}$$

Resistencia a torsión (CTE DB SE-A, Artículo 6.2.7)

Se debe satisfacer:

$$\eta = \frac{M_{T,Ed}}{M_{T,Rd}} \leq 1$$

$$\eta : 0.001$$



El esfuerzo solicitante de cálculo pésimo se produce para la combinación de acciones $0.8 \cdot PP + 1.5 \cdot V(90^\circ)H2$.

$M_{T,Ed}$: Momento torsor solicitante de cálculo pésimo.

$$M_{T,Ed} : 0.00 \text{ kN} \cdot \text{m}$$

El momento torsor resistente de cálculo $M_{T,Rd}$ viene dado por:

$$M_{T,Rd} = \frac{1}{\sqrt{3}} \cdot W_T \cdot f_{yd}$$

$$M_{T,Rd} : 3.71 \text{ kN} \cdot \text{m}$$

Donde:

W_T : Módulo de resistencia a torsión.

$$W_T : 24.52 \text{ cm}^3$$

f_{yd} : Resistencia de cálculo del acero.

f_{yd} : 261.90 MPa

$$f_{yd} = f_y / \gamma_{M0}$$

Siendo:

f_y : Límite elástico. (CTE DB SE-A, Tabla 4.1)

f_y : 275.00 MPa

γ_{M0} : Coeficiente parcial de seguridad del material.

γ_{M0} : 1.05

Resistencia a cortante Z y momento torsor combinados (CTE DB SE-A, Artículo 6.2.8)

Se debe satisfacer:

$$\eta = \frac{V_{Ed}}{V_{pl,T,Rd}} \leq 1$$

$\eta < \underline{0.001}$ ✓

Los esfuerzos solicitantes de cálculo pésimos se producen para la combinación de acciones 0.8·PP+1.5·V(90°)H2.

V_{Ed} : Esfuerzo cortante solicitante de cálculo pésimo.

V_{Ed} : 0.21 kN

$M_{T,Ed}$: Momento torsor solicitante de cálculo pésimo.

$M_{T,Ed}$: 0.00 kN·m

El esfuerzo cortante resistente de cálculo reducido $V_{pl,T,Rd}$ viene dado por:

$$V_{pl,T,Rd} = \sqrt{1 - \frac{\tau_{T,Ed}}{1.25 \cdot f_{yd} / \sqrt{3}} \cdot V_{pl,Rd}}$$

$V_{pl,T,Rd}$: 465.55 kN

Donde:

$V_{pl,Rd}$: Esfuerzo cortante resistente de cálculo.

$V_{pl,Rd}$: 465.77 kN

$\tau_{T,Ed}$: Tensiones tangenciales por torsión.

$\tau_{T,Ed}$: 0.17 MPa

$$\tau_{T,Ed} = \frac{M_{T,Ed}}{W_t}$$

Siendo:

W_T : Módulo de resistencia a torsión.

W_T : 24.52 cm³

f_{yd} : Resistencia de cálculo del acero.

f_{yd} : 261.90 MPa

$$f_{yd} = f_y / \gamma_{M0}$$

Siendo:

f_y : Límite elástico. (CTE DB SE-A, Tabla 4.1)

f_y : 275.00 MPa

γ_{M0} : Coeficiente parcial de seguridad del material.

γ_{M0} : 1.05

Resistencia a cortante Y y momento torsor combinados (CTE DB SE-A, Artículo 6.2.8)

Se debe satisfacer:

$$\eta = \frac{V_{Ed}}{V_{pl,T,Rd}} \leq 1$$

$\eta : \underline{0.004}$ ✓

Los esfuerzos solicitantes de cálculo p_{ésimos} se producen en el nudo N1033, para la combinación de acciones 1.35·PP+1.5·V(180°)H3+0.75·N(R)1.

V_{Ed}: Esfuerzo cortante solicitante de cálculo p_{ésimo}.

V_{Ed} : 2.15 kN

M_{T,Ed}: Momento torsor solicitante de cálculo p_{ésimo}.

M_{T,Ed} : 0.00 kN·m

El esfuerzo cortante resistente de cálculo reducido **V_{pl,T,Rd}** viene dado por:

$$V_{pl,T,Rd} = \sqrt{1 - \frac{\tau_{T,Ed}}{1.25 \cdot f_{yd} / \sqrt{3}}} \cdot V_{pl,Rd}$$

V_{pl,T,Rd} : 598.26 kN

Donde:

V_{pl,Rd}: Esfuerzo cortante resistente de cálculo.

V_{pl,Rd} : 598.42 kN

τ_{T,Ed}: Tensiones tangenciales por torsión.

τ_{T,Ed} : 0.10 MPa

$$\tau_{T,Ed} = \frac{M_{T,Ed}}{W_t}$$

Siendo:

W_T: Módulo de resistencia a torsión.

W_T : 24.52 cm³

f_{yd}: Resistencia de cálculo del acero.

f_{yd} : 261.90 MPa

$$f_{yd} = f_y / \gamma_{M0}$$

Siendo:

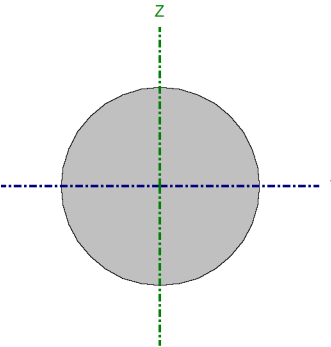
f_y: Límite elástico. (CTE DB SE-A, Tabla 4.1)

f_y : 275.00 MPa

γ_{M0}: Coeficiente parcial de seguridad del material.

γ_{M0} : 1.05

A1.2.5.8. Tirante pórtico trasero.

Perfil: R 14								
Material: Acero (S275)								
		Nudos		Longitud (m)	Características mecánicas			
		Inicial	Final		Área (cm²)	I _y ⁽¹⁾ (cm⁴)	I _z ⁽¹⁾ (cm⁴)	I _t ⁽²⁾ (cm⁴)
		N1012	N1054	7.649	1.54	0.19	0.19	0.38
		Notas:						
		(1) Inercia respecto al eje indicado						
(2) Momento de inercia a torsión uniforme								
	Pandeo			Pandeo lateral				
	Plano XY		Plano XZ	Ala sup.	Ala inf.			
β	0.00		0.00	0.00	0.00			
L _K	0.000		0.000	0.000	0.000			
C _m	1.000		1.000	1.000	1.000			
C ₁	-			1.000				
Notación:								
β: Coeficiente de pandeo								
L _K : Longitud de pandeo (m)								
C _m : Coeficiente de momentos								
C ₁ : Factor de modificación para el momento crítico								

Limitación de esbeltez (CTE DB SE-A, Artículos 6.3.1 y 6.3.2.1 - Tabla 6.3)

La esbeltez reducida $\bar{\lambda}$ de las barras de arriostramiento traccionadas no debe superar el valor 4.0.

$$\bar{\lambda} = \sqrt{\frac{A \cdot f_y}{N_{cr}}}$$

$$\bar{\lambda} < \underline{0.01} \quad \checkmark$$

Donde:

A: Área bruta de la sección transversal de la barra.

$$\mathbf{A} : \underline{1.54} \text{ cm}^2$$

f_y: Límite elástico. (CTE DB SE-A, Tabla 4.1)

$$\mathbf{f_y} : \underline{275.00} \text{ MPa}$$

N_{cr}: Axil crítico de pandeo elástico.

$$\mathbf{N_{cr}} : \underline{\infty}$$

Resistencia a tracción (CTE DB SE-A, Artículo 6.2.3)

Se debe satisfacer:

$$\eta = \frac{N_{t,Ed}}{N_{t,Rd}} \leq 1$$

$$\eta : \underline{0.144} \quad \checkmark$$

El esfuerzo solicitante de cálculo pésimo se produce para la combinación de acciones 1.35·PP+1.5·V(180°)H3+0.75·N(R)1.

N_{t,Ed}: Axil de tracción solicitante de cálculo pésimo.

$$\mathbf{N_{t,Ed}} : \underline{5.82} \text{ kN}$$

La resistencia de cálculo a tracción **N_{t,Rd}** viene dada por:

$$\mathbf{N_{t,Rd}} = A \cdot f_{yd}$$

$$\mathbf{N_{t,Rd}} : \underline{40.32} \text{ kN}$$

Donde:

A: Área bruta de la sección transversal de la barra.

$$\mathbf{A} : \underline{1.54} \text{ cm}^2$$

f_{yd}: Resistencia de cálculo del acero.

$$\mathbf{f_{yd}} : \underline{261.90} \text{ MPa}$$

$$\mathbf{f_{yd}} = f_y / \gamma_{M0}$$

Siendo:

f_y: Límite elástico. (CTE DB SE-A, Tabla 4.1)

$$\mathbf{f_y} : \underline{275.00} \text{ MPa}$$

γ_{M0}: Coeficiente parcial de seguridad del material.

$$\mathbf{\gamma_{M0}} : \underline{1.05}$$

Resistencia a compresión (CTE DB SE-A, Artículo 6.2.5)

La comprobación no procede, ya que no hay axil de compresión.

Resistencia a flexión eje Y (CTE DB SE-A, Artículo 6.2.6)

La comprobación no procede, ya que no hay momento flector.

Resistencia a flexión eje Z (CTE DB SE-A, Artículo 6.2.6)

La comprobación no procede, ya que no hay momento flector.

Resistencia a corte Z (CTE DB SE-A, Artículo 6.2.4)

La comprobación no procede, ya que no hay esfuerzo cortante.

Resistencia a corte Y (CTE DB SE-A, Artículo 6.2.4)

La comprobación no procede, ya que no hay esfuerzo cortante.

Resistencia a momento flector Y y fuerza cortante Z combinados (CTE DB SE-A, Artículo 6.2.8)

No hay interacción entre momento flector y esfuerzo cortante para ninguna combinación. Por lo tanto, la comprobación no procede.

Resistencia a momento flector Z y fuerza cortante Y combinados (CTE DB SE-A, Artículo 6.2.8)

No hay interacción entre momento flector y esfuerzo cortante para ninguna combinación. Por lo tanto, la comprobación no procede.

Resistencia a flexión y axil combinados (CTE DB SE-A, Artículo 6.2.8)

No hay interacción entre axil y momento flector ni entre momentos flectores en ambas direcciones para ninguna combinación. Por lo tanto, la comprobación no procede.

Resistencia a flexión, axil y cortante combinados (CTE DB SE-A, Artículo 6.2.8)

No hay interacción entre momento flector, axil y cortante para ninguna combinación. Por lo tanto, la comprobación no procede.

Resistencia a torsión (CTE DB SE-A, Artículo 6.2.7)

La comprobación no procede, ya que no hay momento torsor.

Resistencia a cortante Z y momento torsor combinados (CTE DB SE-A, Artículo 6.2.8)

No hay interacción entre momento torsor y esfuerzo cortante para ninguna combinación. Por lo tanto, la comprobación no procede.

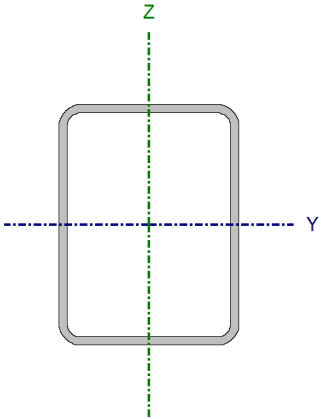
Resistencia a cortante Y y momento torsor combinados (CTE DB SE-A, Artículo 6.2.8)

No hay interacción entre momento torsor y esfuerzo cortante para ninguna combinación. Por lo tanto, la comprobación no procede.

A1.2.6. Viga de unión pórticos frontal y trasero con pórticos 2 y 20.

A continuación se van a representar la viga de unión entre los pórticos 2 y 20 diferenciándose esta de la que une estos superiormente e inferiormente.

A1.2.6.1. Viga de unión superior.

Perfil: #160x120x6 Material: Acero (S275)								
		Nudos		Longitud (m)	Características mecánicas			
		Inicial	Final		Área (cm ²)	I _y ⁽¹⁾ (cm ⁴)	I _z ⁽¹⁾ (cm ⁴)	I _t ⁽²⁾ (cm ⁴)
		N777	N816	5.000	30.89	1097.16	704.43	1417.32
		Notas: ⁽¹⁾ Inercia respecto al eje indicado ⁽²⁾ Momento de inercia a torsión uniforme						
		Pandeo		Pandeo lateral				
		Plano XY	Plano XZ	Ala sup.	Ala inf.			
β		0.75	0.75	0.00	0.00			
L _K		3.750	3.750	0.000	0.000			
C _m		1.000	1.000	1.000	1.000			
C ₁		-		1.000				
Notación: β: Coeficiente de pandeo L _K : Longitud de pandeo (m) C _m : Coeficiente de momentos C ₁ : Factor de modificación para el momento crítico								

Limitación de esbeltez (CTE DB SE-A, Artículos 6.3.1 y 6.3.2.1 - Tabla 6.3)

La esbeltez reducida $\bar{\lambda}$ de las barras comprimidas debe ser inferior al valor 2.0.

$$\bar{\lambda} = \sqrt{\frac{A \cdot f_y}{N_{cr}}}$$

$\bar{\lambda}$: **0.90** ✓

Donde:

Clase: Clase de la sección, según la capacidad de deformación y de desarrollo de la resistencia plástica de los elementos planos comprimidos de una sección.

Clase : 1

A: Área de la sección bruta para las secciones de clase 1, 2 y 3.

A : 30.89 cm²

f_y: Límite elástico. (CTE DB SE-A, Tabla 4.1)

f_y : 275.00 MPa

N_{cr}: Axil crítico de pandeo elástico.

N_{cr} : 1038.23 kN

El axil crítico de pandeo elástico **N_{cr}** es el menor de los valores obtenidos en a), b) y c):

a) Axil crítico elástico de pandeo por flexión respecto al eje Y.

N_{cr,y} : 1617.06 kN

$$N_{cr,y} = \frac{\pi^2 \cdot E \cdot I_y}{L_{ky}^2}$$

b) Axil crítico elástico de pandeo por flexión respecto al eje Z.

N_{cr,z} : 1038.23 kN

$$N_{cr,z} = \frac{\pi^2 \cdot E \cdot I_z}{L_{kz}^2}$$

c) Axil crítico elástico de pandeo por torsión.

N_{cr,T} : ∞

$$N_{cr,T} = \frac{1}{i_0^2} \cdot \left[G \cdot I_t + \frac{\pi^2 \cdot E \cdot I_w}{L_{kt}^2} \right]$$

Donde:

I_y : Momento de inercia de la sección bruta, respecto al eje Y.	I_y : <u>1097.16</u> cm ⁴
I_z : Momento de inercia de la sección bruta, respecto al eje Z.	I_z : <u>704.43</u> cm ⁴
I_t : Momento de inercia a torsión uniforme.	I_t : <u>1417.32</u> cm ⁴
I_w : Constante de alabeo de la sección.	I_w : <u>0.00</u> cm ⁶
E : Módulo de elasticidad.	E : <u>210000</u> MPa
G : Módulo de elasticidad transversal.	G : <u>81000</u> MPa
L_{ky} : Longitud efectiva de pandeo por flexión, respecto al eje Y.	L_{ky} : <u>3.750</u> m
L_{kz} : Longitud efectiva de pandeo por flexión, respecto al eje Z.	L_{kz} : <u>3.750</u> m
L_{kt} : Longitud efectiva de pandeo por torsión.	L_{kt} : <u>0.000</u> m
i₀ : Radio de giro polar de la sección bruta, respecto al centro de torsión.	i₀ : <u>7.64</u> cm

$$i_0 = (i_y^2 + i_z^2 + y_0^2 + z_0^2)^{0.5}$$

Siendo:

i_y , i_z : Radios de giro de la sección bruta, respecto a los ejes principales de inercia Y y Z.	i_y : <u>5.96</u> cm
	i_z : <u>4.78</u> cm
y₀ , z₀ : Coordenadas del centro de torsión en la dirección de los ejes principales Y y Z, respectivamente, relativas al centro de gravedad de la sección.	y₀ : <u>0.00</u> mm
	z₀ : <u>0.00</u> mm

Abolladura del alma inducida por el ala comprimida (Criterio de CYPE Ingenieros, basado en: Eurocódigo 3 EN 1993-1-5: 2006, Artículo 8)

Se debe satisfacer:

$$\frac{h_w}{t_w} \leq k \frac{E}{f_{yf}} \sqrt{\frac{A_w}{A_{fc,ef}}}$$

$$24.67 \leq 359.80 \quad \checkmark$$

Donde:

h_w : Altura del alma.	h_w : <u>148.00</u> mm
t_w : Espesor del alma.	t_w : <u>6.00</u> mm
A_w : Área del alma.	A_w : <u>17.76</u> cm ²
A_{fc,ef} : Área reducida del ala comprimida.	A_{fc,ef} : <u>7.20</u> cm ²
k : Coeficiente que depende de la clase de la sección.	k : <u>0.30</u>
E : Módulo de elasticidad.	E : <u>210000</u> MPa
f_{yf} : Límite elástico del acero del ala comprimida.	f_{yf} : <u>275.00</u> MPa

Siendo:

$$f_{yf} = f_y$$

Resistencia a tracción (CTE DB SE-A, Artículo 6.2.3)

Se debe satisfacer:

$$\eta = \frac{N_{t,Ed}}{N_{t,Rd}} \leq 1$$

$$\eta : \underline{0.122} \quad \checkmark$$

El esfuerzo solicitante de cálculo pésimo se produce para la combinación de acciones 1.35·PP+1.5·V(90°)H2+0.75·N(EI).

N_{t,Ed}: Axil de tracción solicitante de cálculo pésimo.

$$\mathbf{N_{t,Ed}} : \underline{98.48} \text{ kN}$$

La resistencia de cálculo a tracción **N_{t,Rd}** viene dada por:

$$\mathbf{N_{t,Rd}} = A \cdot f_{yd}$$

$$\mathbf{N_{t,Rd}} : \underline{809.15} \text{ kN}$$

Donde:

A: Área bruta de la sección transversal de la barra.

$$\mathbf{A} : \underline{30.89} \text{ cm}^2$$

f_{yd}: Resistencia de cálculo del acero.

$$\mathbf{f_{yd}} : \underline{261.90} \text{ MPa}$$

$$f_{yd} = f_y / \gamma_{M0}$$

Siendo:

f_y: Límite elástico. (CTE DB SE-A, Tabla 4.1)

$$\mathbf{f_y} : \underline{275.00} \text{ MPa}$$

γ_{M0}: Coeficiente parcial de seguridad del material.

$$\mathbf{\gamma_{M0}} : \underline{1.05}$$

Resistencia a compresión (CTE DB SE-A, Artículo 6.2.5)

Se debe satisfacer:

$$\eta = \frac{N_{c,Ed}}{N_{c,Rd}} \leq 1$$

$$\eta : \underline{0.084} \quad \checkmark$$

$$\eta = \frac{N_{c,Ed}}{N_{b,Rd}} \leq 1$$

$$\eta : \underline{0.141} \quad \checkmark$$

El esfuerzo solicitante de cálculo pésimo se produce para la combinación de acciones 0.8·PP+1.5·V(180°)H1.

N_{c,Ed}: Axil de compresión solicitante de cálculo pésimo.

$$\mathbf{N_{c,Ed}} : \underline{68.20} \text{ kN}$$

La resistencia de cálculo a compresión **N_{c,Rd}** viene dada por:

$$\mathbf{N_{c,Rd}} = A \cdot f_{yd}$$

$$\mathbf{N_{c,Rd}} : \underline{809.15} \text{ kN}$$

Donde:

Clase: Clase de la sección, según la capacidad de deformación y de desarrollo de la resistencia plástica de los elementos planos comprimidos de una sección.

$$\mathbf{Clase} : \underline{1}$$

A: Área de la sección bruta para las secciones de clase 1, 2 y 3.

$$A : \underline{30.89 \text{ cm}^2}$$

f_{yd}: Resistencia de cálculo del acero.

$$f_{yd} : \underline{261.90 \text{ MPa}}$$

$$f_{yd} = f_y / \gamma_{M0}$$

Siendo:

f_y: Límite elástico. (CTE DB SE-A, Tabla 4.1)

$$f_y : \underline{275.00 \text{ MPa}}$$

γ_{M0}: Coeficiente parcial de seguridad del material.

$$\gamma_{M0} : \underline{1.05}$$

Resistencia a pandeo: (CTE DB SE-A, Artículo 6.3.2)

La resistencia de cálculo a pandeo **N_{b,Rd}** en una barra comprimida viene dada por:

$$N_{b,Rd} = \chi \cdot A \cdot f_{yd}$$

$$N_{b,Rd} : \underline{483.06 \text{ kN}}$$

Donde:

A: Área de la sección bruta para las secciones de clase 1, 2 y 3.

$$A : \underline{30.89 \text{ cm}^2}$$

f_{yd}: Resistencia de cálculo del acero.

$$f_{yd} : \underline{261.90 \text{ MPa}}$$

$$f_{yd} = f_y / \gamma_{M1}$$

Siendo:

f_y: Límite elástico. (CTE DB SE-A, Tabla 4.1)

$$f_y : \underline{275.00 \text{ MPa}}$$

γ_{M1}: Coeficiente parcial de seguridad del material.

$$\gamma_{M1} : \underline{1.05}$$

χ: Coeficiente de reducción por pandeo.

$$\chi = \frac{1}{\Phi + \sqrt{\Phi^2 - (\bar{\lambda})^2}} \leq 1$$

$$\chi_y : \underline{0.71}$$

$$\chi_z : \underline{0.60}$$

Siendo:

$$\Phi = 0.5 \cdot \left[1 + \alpha \cdot (\bar{\lambda} - 0.2) + (\bar{\lambda})^2 \right]$$

$$\phi_y : \underline{0.89}$$

$$\phi_z : \underline{1.08}$$

α: Coeficiente de imperfección elástica.

$$\alpha_y : \underline{0.49}$$

$$\alpha_z : \underline{0.49}$$

λ̄: Esbeltez reducida.

$$\bar{\lambda} = \sqrt{\frac{A \cdot f_y}{N_{cr}}}$$

$$\bar{\lambda}_y : \underline{0.72}$$

$$\bar{\lambda}_z : \underline{0.90}$$

N_{cr}: Axil crítico elástico de pandeo, obtenido como el menor de los siguientes valores:

$$N_{cr} : \underline{1038.23 \text{ kN}}$$

N_{cr,y}: Axil crítico elástico de pandeo por flexión respecto al eje Y.

$$N_{cr,y} : \underline{1617.06 \text{ kN}}$$

N_{cr,z}: Axil crítico elástico de pandeo por flexión respecto al eje Z.

$$N_{cr,z} : \underline{1038.23 \text{ kN}}$$

N_{cr,T}: Axil crítico elástico de pandeo por torsión.

$$N_{cr,T} : \underline{\infty}$$

Resistencia a flexión eje Y (CTE DB SE-A, Artículo 6.2.6)

Se debe satisfacer:

$$\eta = \frac{M_{Ed}}{M_{c,Rd}} \leq 1$$

η : 0.085 ✓

Para flexión positiva:

El esfuerzo solicitante de cálculo pésimo se produce en el nudo N816, para la combinación de acciones 0.8·PP+1.5·V(180°)H1.

M_{Ed}^+ : Momento flector solicitante de cálculo pésimo.

M_{Ed}^+ : 2.69 kN·m

Para flexión negativa:

El esfuerzo solicitante de cálculo pésimo se produce en el nudo N816, para la combinación de acciones 1.35·PP+1.5·V(270°)H2+0.75·N(EI).

M_{Ed}^- : Momento flector solicitante de cálculo pésimo.

M_{Ed}^- : 3.73 kN·m

El momento flector resistente de cálculo $M_{c,Rd}$ viene dado por:

$$M_{c,Rd} = W_{pl,y} \cdot f_{yd}$$

$M_{c,Rd}$: 43.60 kN·m

Donde:

Clase: Clase de la sección, según la capacidad de deformación y de desarrollo de la resistencia plástica de los elementos planos de una sección a flexión simple.

Clase : 1

$W_{pl,y}$: Módulo resistente plástico correspondiente a la fibra con mayor tensión, para las secciones de clase 1 y 2.

$W_{pl,y}$: 166.47 cm³

f_{yd} : Resistencia de cálculo del acero.

f_{yd} : 261.90 MPa

$$f_{yd} = f_y / \gamma_{M0}$$

Siendo:

f_y : Límite elástico. (CTE DB SE-A, Tabla 4.1)

f_y : 275.00 MPa

γ_{M0} : Coeficiente parcial de seguridad del material.

γ_{M0} : 1.05

Resistencia a pandeo lateral: (CTE DB SE-A, Artículo 6.3.3.2)

No procede, dado que las longitudes de pandeo lateral son nulas.

Resistencia a flexión eje Z (CTE DB SE-A, Artículo 6.2.6)

Se debe satisfacer:

$$\eta = \frac{M_{Ed}}{M_{c,Rd}} \leq 1$$

η : 0.024 ✓

Para flexión positiva:

El esfuerzo solicitante de cálculo pésimo se produce en el nudo N816, para la combinación de acciones 0.8·PP+1.5·V(90°)H1.

M_{Ed}^+ : Momento flector solicitante de cálculo pésimo.

M_{Ed}^+ : 0.84 kN·m

Para flexión negativa:

El esfuerzo solicitante de cálculo pésimo se produce en el nudo N816, para la combinación de acciones 1.35·PP+1.5·V(270°)H2+0.75·N(EI).

M_{Ed}^- : Momento flector solicitante de cálculo pésimo.

M_{Ed}^- : 0.87 kN·m

El momento flector resistente de cálculo $M_{c,Rd}$ viene dado por:

$$M_{c,Rd} = W_{pl,z} \cdot f_{yd}$$

$$M_{c,Rd} : 35.84 \text{ kN}\cdot\text{m}$$

Donde:

Clase: Clase de la sección, según la capacidad de deformación y de desarrollo de la resistencia plástica de los elementos planos de una sección a flexión simple.

$$\text{Clase} : 1$$

$W_{pl,z}$: Módulo resistente plástico correspondiente a la fibra con mayor tensión, para las secciones de clase 1 y 2.

$$W_{pl,z} : 136.84 \text{ cm}^3$$

f_{yd} : Resistencia de cálculo del acero.

$$f_{yd} : 261.90 \text{ MPa}$$

$$f_{yd} = f_y / \gamma_{M0}$$

Siendo:

f_y : Límite elástico. (CTE DB SE-A, Tabla 4.1)

$$f_y : 275.00 \text{ MPa}$$

γ_{M0} : Coeficiente parcial de seguridad del material.

$$\gamma_{M0} : 1.05$$

Resistencia a corte Z (CTE DB SE-A, Artículo 6.2.4)

Se debe satisfacer:

$$f_{yd} = f_y / \gamma_{M0}$$

$$\eta : 0.006 \checkmark$$

El esfuerzo solicitante de cálculo pésimo se produce en el nudo N816, para la combinación de acciones 1.35·PP+1.5·V(270°)H2+0.75·N(EI).

V_{Ed} : Esfuerzo cortante solicitante de cálculo pésimo.

$$V_{Ed} : 1.56 \text{ kN}$$

El esfuerzo cortante resistente de cálculo **$V_{c,Rd}$** viene dado por:

$$V_{c,Rd} = A_v \cdot \frac{f_{yd}}{\sqrt{3}}$$

$$V_{c,Rd} : 268.55 \text{ kN}$$

Donde:

A_v : Área transversal a cortante.

$$A_v : 17.76 \text{ cm}^2$$

$$A_v = 2 \cdot d \cdot t_w$$

Siendo:

d : Altura del alma.

$$d : 148.00 \text{ mm}$$

t_w : Espesor del alma.

$$t_w : 6.00 \text{ mm}$$

f_{yd} : Resistencia de cálculo del acero.

$$f_{yd} : 261.90 \text{ MPa}$$

$$f_{yd} = f_y / \gamma_{M0}$$

Siendo:

f_y : Límite elástico. (CTE DB SE-A, Tabla 4.1)

$$f_y : 275.00 \text{ MPa}$$

γ_{M0} : Coeficiente parcial de seguridad del material.

$$\gamma_{M0} : 1.05$$

Abolladura por cortante del alma: (CTE DB SE-A, Artículo 6.3.3.4)

Aunque no se han dispuesto rigidizadores transversales, no es necesario comprobar la resistencia a la abolladura del alma, puesto que se cumple:

$$\frac{d}{t_w} < 70 \cdot \varepsilon$$

$$24.67 < 64.71$$



Donde:

λ_w : Esbeltez del alma.

$$\lambda_w : 24.67$$

$$\lambda_w = \frac{d}{t_w}$$

$\lambda_{m\acute{a}x}$: Esbeltez máxima.

$$\lambda_{m\acute{a}x} : 64.71$$

ε : Factor de reducción.

$$\varepsilon : 0.92$$

$$\varepsilon = \sqrt{\frac{f_{ref}}{f_y}}$$

Siendo:

f_{ref} : Límite elástico de referencia.

$$f_{ref} : 235.00 \text{ MPa}$$

f_y : Límite elástico. (CTE DB SE-A, Tabla 4.1)

$$f_y : 275.00 \text{ MPa}$$

Resistencia a corte Y (CTE DB SE-A, Artículo 6.2.4)

Se debe satisfacer:

$$\eta = \frac{V_{Ed}}{V_{c,Rd}} \leq 1$$

$$\eta : 0.002$$



El esfuerzo solicitante de cálculo pésimo se produce para la combinación de acciones 0.8·PP+1.5·V(90°)H1.

V_{Ed} : Esfuerzo cortante solicitante de cálculo pésimo.

$$V_{Ed} : 0.32 \text{ kN}$$

El esfuerzo cortante resistente de cálculo $V_{c,Rd}$ viene dado por:

$$V_{c,Rd} = A_v \cdot \frac{f_{yd}}{\sqrt{3}}$$

$$V_{c,Rd} : 198.61 \text{ kN}$$

Donde:

A_v : Área transversal a cortante.

$$A_v : 13.13 \text{ cm}^2$$

$$A_v = A - 2 \cdot d \cdot t_w$$

Siendo:

A : Área de la sección bruta.

$$A : 30.89 \text{ cm}^2$$

d : Altura del alma.

$$d : 148.00 \text{ mm}$$

t_w : Espesor del alma.

$$t_w : 6.00 \text{ mm}$$

f_{yd} : Resistencia de cálculo del acero.

$$f_{yd} : 261.90 \text{ MPa}$$

$$f_{yd} = f_y / \gamma_{M0}$$

Siendo:

f_y : Límite elástico. (CTE DB SE-A, Tabla 4.1)

f_y : 275.00 MPa

γ_{M0} : Coeficiente parcial de seguridad del material.

γ_{M0} : 1.05

Abolladura por cortante del alma: (CTE DB SE-A, Artículo 6.3.3.4)

Aunque no se han dispuesto rigidizadores transversales, no es necesario comprobar la resistencia a la abolladura del alma, puesto que se cumple:

$$\frac{b}{t_f} < 70 \cdot \varepsilon$$

$$20.00 < 64.71$$



Donde:

λ_w : Esbeltez del alma.

λ_w : 20.00

$$\lambda_w = \frac{b}{t_f}$$

$\lambda_{m\acute{a}x}$: Esbeltez máxima.

$\lambda_{m\acute{a}x}$: 64.71

ε : Factor de reducción.

ε : 0.92

$$\varepsilon = \sqrt{\frac{f_{ref}}{f_y}}$$

Siendo:

f_{ref} : Límite elástico de referencia.

f_{ref} : 235.00 MPa

f_y : Límite elástico. (CTE DB SE-A, Tabla 4.1)

f_y : 275.00 MPa

Resistencia a momento flector Y y fuerza cortante Z combinados (CTE DB SE-A, Artículo 6.2.8)

No es necesario reducir la resistencia de cálculo a flexión, ya que el esfuerzo cortante solicitante de cálculo pésimo V_{Ed} no es superior al 50% de la resistencia de cálculo a cortante $V_{c,Rd}$.

$$V_{Ed} \leq \frac{V_{c,Rd}}{2}$$

$$1.56 \text{ kN} \leq 134.28 \text{ kN}$$



Los esfuerzos solicitantes de cálculo pésimos se producen para la combinación de acciones 1.35·PP+1.5·V(90°)H1.

V_{Ed} : Esfuerzo cortante solicitante de cálculo pésimo.

V_{Ed} : 1.56 kN

$V_{c,Rd}$: Esfuerzo cortante resistente de cálculo.

$V_{c,Rd}$: 268.55 kN

Resistencia a momento flector Z y fuerza cortante Y combinados (CTE DB SE-A, Artículo 6.2.8)

No es necesario reducir la resistencia de cálculo a flexión, ya que el esfuerzo cortante solicitante de cálculo pésimo V_{Ed} no es superior al 50% de la resistencia de cálculo a cortante $V_{c,Rd}$.

$$V_{Ed} \leq \frac{V_{c,Rd}}{2}$$

$$0.32 \text{ kN} \leq 99.31 \text{ kN}$$



Los esfuerzos solicitantes de cálculo p_{ésimos} se producen para la combinación de acciones 0.8·PP+1.5·V(90°)H1.

V_{Ed}: Esfuerzo cortante solicitante de cálculo p_{ésimo}.

V_{Ed} : 0.32 kN

V_{c,Rd}: Esfuerzo cortante resistente de cálculo.

V_{c,Rd} : 198.61 kN

Resistencia a flexión y axil combinados (CTE DB SE-A, Artículo 6.2.8)

Se debe satisfacer:

$$\eta = \frac{N_{c,Ed}}{N_{pl,Rd}} + \frac{M_{y,Ed}}{M_{pl,Rd,y}} + \frac{M_{z,Ed}}{M_{pl,Rd,z}} \leq 1$$

η : 0.157 ✓

$$\eta = \frac{N_{c,Ed}}{\chi_y \cdot A \cdot f_{yd}} + k_y \cdot \frac{C_{m,y} \cdot M_{y,Ed}}{\chi_{LT} \cdot W_{pl,y} \cdot f_{yd}} + \alpha_z \cdot k_z \cdot \frac{C_{m,z} \cdot M_{z,Ed}}{W_{pl,z} \cdot f_{yd}} \leq 1$$

η : 0.191 ✓

$$\eta = \frac{N_{c,Ed}}{\chi_z \cdot A \cdot f_{yd}} + \alpha_y \cdot k_y \cdot \frac{C_{m,y} \cdot M_{y,Ed}}{W_{pl,y} \cdot f_{yd}} + k_z \cdot \frac{C_{m,z} \cdot M_{z,Ed}}{W_{pl,z} \cdot f_{yd}} \leq 1$$

η : 0.192 ✓

Los esfuerzos solicitantes de cálculo p_{ésimos} se producen en el nudo N816, para la combinación de acciones 0.8·PP+1.5·V(180°)H1.

Donde:

N_{c,Ed}: Axil de compresión solicitante de cálculo p_{ésimo}.

N_{c,Ed} : 68.20 kN

M_{y,Ed}, M_{z,Ed}: Momentos flectores solicitantes de cálculo p_{ésimos}, según los ejes Y y Z, respectivamente.

M_{y,Ed}⁺ : 2.69 kN·m

M_{z,Ed}⁺ : 0.38 kN·m

Clase: Clase de la sección, según la capacidad de deformación y de desarrollo de la resistencia plástica de sus elementos planos, para axil y flexión simple.

Clase : 1

N_{pl,Rd}: Resistencia a compresión de la sección bruta.

N_{pl,Rd} : 809.15 kN

M_{pl,Rd,y}, M_{pl,Rd,z}: Resistencia a flexión de la sección bruta en condiciones plásticas, respecto a los ejes Y y Z, respectivamente.

M_{pl,Rd,y} : 43.60 kN·m

M_{pl,Rd,z} : 35.84 kN·m

Resistencia a pandeo: (CTE DB SE-A, Artículo 6.3.4.2)

A: Área de la sección bruta.

A : 30.89 cm²

W_{pl,y}, W_{pl,z}: Módulos resistentes plásticos correspondientes a la fibra comprimida, alrededor de los ejes Y y Z, respectivamente.

W_{pl,y} : 166.47 cm³

W_{pl,z} : 136.84 cm³

f_{yd}: Resistencia de cálculo del acero.

f_{yd} : 261.90 MPa

$$f_{yd} = f_y / \gamma_{M1}$$

Siendo:

f_y: Límite elástico. (CTE DB SE-A, Tabla 4.1)

f_y : 275.00 MPa

γ_{M1}: Coeficiente parcial de seguridad del material.

γ_{M1} : 1.05

k_y, k_z: Coeficientes de interacción.

k_y : 1.06

$$k_y = 1 + (\bar{\lambda}_y - 0.2) \cdot \frac{N_{c,Ed}}{\chi_y \cdot N_{c,Rd}}$$

$$k_z = 1 + (\bar{\lambda}_z - 0.2) \cdot \frac{N_{c,Ed}}{\chi_z \cdot N_{c,Rd}}$$

$$k_z : 1.10$$

$C_{m,y}$, $C_{m,z}$: Factores de momento flector uniforme equivalente.

$$C_{m,y} : 1.00$$

$$C_{m,z} : 1.00$$

χ_y , χ_z : Coeficientes de reducción por pandeo, alrededor de los ejes Y y Z, respectivamente.

$$\chi_y : 0.71$$

$$\chi_z : 0.60$$

$\bar{\lambda}_y$, $\bar{\lambda}_z$: Esbelteces reducidas con valores no mayores que 1.00, en relación a los ejes Y y Z, respectivamente.

$$\bar{\lambda}_y : 0.72$$

$$\bar{\lambda}_z : 0.90$$

α_y , α_z : Factores dependientes de la clase de la sección.

$$\alpha_y : 0.60$$

$$\alpha_z : 0.60$$

Resistencia a flexión, axil y cortante combinados (CTE DB SE-A, Artículo 6.2.8)

No es necesario reducir las resistencias de cálculo a flexión y a axil, ya que se puede ignorar el efecto de abolladura por esfuerzo cortante y, además, el esfuerzo cortante solicitante de cálculo pésimo V_{Ed} es menor o igual que el 50% del esfuerzo cortante resistente de cálculo $V_{c,Rd}$.

Los esfuerzos solicitantes de cálculo pésimos se producen para la combinación de acciones 1.35·PP+1.5·V(90°)H1.

$$V_{Ed,z} \leq \frac{V_{c,Rd,z}}{2}$$

$$1.56 \text{ kN} \leq 134.11 \text{ kN}$$



Donde:

$V_{Ed,z}$: Esfuerzo cortante solicitante de cálculo pésimo.

$$V_{Ed,z} : 1.56 \text{ kN}$$

$V_{c,Rd,z}$: Esfuerzo cortante resistente de cálculo.

$$V_{c,Rd,z} : 268.21 \text{ kN}$$

Resistencia a torsión (CTE DB SE-A, Artículo 6.2.7)

Se debe satisfacer:

$$\eta = \frac{M_{T,Ed}}{M_{T,Rd}} \leq 1$$

$$\eta : 0.002$$



El esfuerzo solicitante de cálculo pésimo se produce para la combinación de acciones 0.8·PP+1.5·V(0°)H1+0.75·N(R)2.

$M_{T,Ed}$: Momento torsor solicitante de cálculo pésimo.

$$M_{T,Ed} : 0.07 \text{ kN}\cdot\text{m}$$

El momento torsor resistente de cálculo $M_{T,Rd}$ viene dado por:

$$M_{T,Rd} = \frac{1}{\sqrt{3}} \cdot W_T \cdot f_{yd}$$

$$M_{T,Rd} : 31.86 \text{ kN}\cdot\text{m}$$

Donde:

W_T : Módulo de resistencia a torsión.

$$W_T : 210.67 \text{ cm}^3$$

f_{yd} : Resistencia de cálculo del acero.

$$f_{yd} : 261.90 \text{ MPa}$$

$$f_{yd} = f_y / \gamma_{M0}$$

Siendo:

f_y : Límite elástico. (CTE DB SE-A, Tabla 4.1)

f_y : 275.00 MPa

γ_{M0} : Coeficiente parcial de seguridad del material.

γ_{M0} : 1.05

Resistencia a cortante Z y momento torsor combinados (CTE DB SE-A, Artículo 6.2.8)

Se debe satisfacer:

$$\eta = \frac{V_{Ed}}{V_{pl,T,Rd}} \leq 1$$

η : 0.006 ✓

Los esfuerzos solicitantes de cálculo pésimos se producen en el nudo N816, para la combinación de acciones 1.35·PP+1.5·V(270°)H2+0.75·N(EI).

V_{Ed} : Esfuerzo cortante solicitante de cálculo pésimo.

V_{Ed} : 1.56 kN

$M_{T,Ed}$: Momento torsor solicitante de cálculo pésimo.

$M_{T,Ed}$: 0.00 kN·m

El esfuerzo cortante resistente de cálculo reducido $V_{pl,T,Rd}$ viene dado por:

$$V_{pl,T,Rd} = \left[1 - \frac{\tau_{T,Ed}}{f_{yd} / \sqrt{3}} \right] \cdot V_{pl,Rd}$$

$V_{pl,T,Rd}$: 268.52 kN

Donde:

$V_{pl,Rd}$: Esfuerzo cortante resistente de cálculo.

$V_{pl,Rd}$: 268.55 kN

$\tau_{T,Ed}$: Tensiones tangenciales por torsión.

$\tau_{T,Ed}$: 0.02 MPa

$$\tau_{T,Ed} = \frac{M_{T,Ed}}{W_t}$$

Siendo:

W_T : Módulo de resistencia a torsión.

W_T : 210.67 cm³

f_{yd} : Resistencia de cálculo del acero.

f_{yd} : 261.90 MPa

$$f_{yd} = f_y / \gamma_{M0}$$

Siendo:

f_y : Límite elástico. (CTE DB SE-A, Tabla 4.1)

f_y : 275.00 MPa

γ_{M0} : Coeficiente parcial de seguridad del material.

γ_{M0} : 1.05

Resistencia a cortante Y y momento torsor combinados (CTE DB SE-A, Artículo 6.2.8)

Se debe satisfacer:

$$\eta = \frac{V_{Ed}}{V_{pl,T,Rd}} \leq 1$$

η : 0.002 ✓

Los esfuerzos solicitantes de cálculo pésimos se producen para la combinación de acciones 0.8·PP+1.5·V(90°)H1.

V_{Ed} : Esfuerzo cortante solicitante de cálculo pésimo.

V_{Ed} : 0.32 kN

$M_{T,Ed}$: Momento torsor solicitante de cálculo pésimo.

$M_{T,Ed}$: 0.03 kN·m

El esfuerzo cortante resistente de cálculo reducido $V_{pl,T,Rd}$ viene dado por:

$$V_{pl,T,Rd} = \left[1 - \frac{\tau_{T,Ed}}{f_{yd}/\sqrt{3}} \right] \cdot V_{pl,Rd}$$

$$V_{pl,T,Rd} : 198.44 \text{ kN}$$

Donde:

$V_{pl,Rd}$: Esfuerzo cortante resistente de cálculo.

$$V_{pl,Rd} : 198.61 \text{ kN}$$

$\tau_{T,Ed}$: Tensiones tangenciales por torsión.

$$\tau_{T,Ed} : 0.14 \text{ MPa}$$

$$\tau_{T,Ed} = \frac{M_{T,Ed}}{W_t}$$

Siendo:

W_T : Módulo de resistencia a torsión.

$$W_T : 210.67 \text{ cm}^3$$

f_{yd} : Resistencia de cálculo del acero.

$$f_{yd} : 261.90 \text{ MPa}$$

$$f_{yd} = f_y / \gamma_{M0}$$

Siendo:

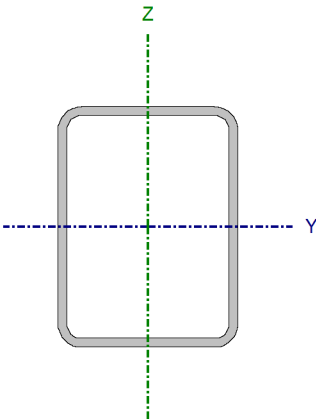
f_y : Límite elástico. (CTE DB SE-A, Tabla 4.1)

$$f_y : 275.00 \text{ MPa}$$

γ_{M0} : Coeficiente parcial de seguridad del material.

$$\gamma_{M0} : 1.05$$

A1.2.6.2. Viga de unión inferior.

Perfil: #200x150x8 Material: Acero (S275)								
		Nudos		Longitud (m)	Características mecánicas			
		Inicial	Final		Área (cm ²)	I _y ⁽¹⁾ (cm ⁴)	I _z ⁽¹⁾ (cm ⁴)	I _t ⁽²⁾ (cm ⁴)
		N839	N840	5.000	51.19	2818.09	1808.04	3660.25
		Notas: ⁽¹⁾ Inercia respecto al eje indicado ⁽²⁾ Momento de inercia a torsión uniforme						
	Pandeo		Pandeo lateral					
	Plano XY	Plano XZ	Ala sup.	Ala inf.				
β	0.75	0.75	0.00	0.00				
L _K	3.750	3.750	0.000	0.000				
C _m	1.000	1.000	1.000	1.000				
C ₁	-		1.000					
Notación: β: Coeficiente de pandeo L _K : Longitud de pandeo (m) C _m : Coeficiente de momentos C ₁ : Factor de modificación para el momento crítico								

Limitación de esbeltez (CTE DB SE-A, Artículos 6.3.1 y 6.3.2.1 - Tabla 6.3)

La esbeltez reducida $\bar{\lambda}$ de las barras comprimidas debe ser inferior al valor 2.0.

$$\bar{\lambda} = \sqrt{\frac{A \cdot f_y}{N_{cr}}}$$

$$\bar{\lambda} : 0.73 \checkmark$$

Donde:

Clase: Clase de la sección, según la capacidad de deformación y de desarrollo de la resistencia plástica de los elementos planos comprimidos de una sección. **Clase :** 1

A: Área de la sección bruta para las secciones de clase 1, 2 y 3. **A :** 51.19 cm²

f_y: Límite elástico. (CTE DB SE-A, Tabla 4.1) **f_y :** 275.00 MPa

N_{cr}: Axil crítico de pandeo elástico. **N_{cr} :** 2664.79 kN

El axil crítico de pandeo elástico **N_{cr}** es el menor de los valores obtenidos en a), b) y c):

a) Axil crítico elástico de pandeo por flexión respecto al eje Y.

N_{cr,y} : 4153.47 kN

$$N_{cr,y} = \frac{\pi^2 \cdot E \cdot I_y}{L_{ky}^2}$$

b) Axil crítico elástico de pandeo por flexión respecto al eje Z.

N_{cr,z} : 2664.79 kN

$$N_{cr,z} = \frac{\pi^2 \cdot E \cdot I_z}{L_{kz}^2}$$

c) Axil crítico elástico de pandeo por torsión.

N_{cr,T} : ∞

$$N_{cr,T} = \frac{1}{i_0^2} \cdot \left[G \cdot I_t + \frac{\pi^2 \cdot E \cdot I_w}{L_{kt}^2} \right]$$

Donde:

I_y: Momento de inercia de la sección bruta, respecto al eje Y. **I_y :** 2818.09 cm⁴

I_z: Momento de inercia de la sección bruta, respecto al eje Z. **I_z :** 1808.04 cm⁴

I_t: Momento de inercia a torsión uniforme. **I_t :** 3660.25 cm⁴

I_w: Constante de alabeo de la sección. **I_w :** 0.00 cm⁶

E: Módulo de elasticidad. **E :** 210000 MPa

G: Módulo de elasticidad transversal. **G :** 81000 MPa

L_{ky}: Longitud efectiva de pandeo por flexión, respecto al eje Y. **L_{ky} :** 3.750 m

L_{kz}: Longitud efectiva de pandeo por flexión, respecto al eje Z. **L_{kz} :** 3.750 m

L_{kt}: Longitud efectiva de pandeo por torsión. **L_{kt} :** 0.000 m

i₀: Radio de giro polar de la sección bruta, respecto al centro de torsión. **i₀ :** 9.51 cm

$$i_0 = \left(i_y^2 + i_z^2 + y_0^2 + z_0^2 \right)^{0.5}$$

Siendo:

i_y , i_z: Radios de giro de la sección bruta, respecto a los ejes principales de inercia Y y Z. **i_y :** 7.42 cm

i_z : 5.94 cm

y₀ , z₀: Coordenadas del centro de torsión en la dirección de los ejes principales Y y Z, respectivamente, relativas al centro de gravedad de la sección. **y₀ :** 0.00 mm

z₀ : 0.00 mm

Abolladura del alma inducida por el ala comprimida (Criterio de CYPE Ingenieros, basado en: Eurocódigo 3 EN 1993-1-5: 2006, Artículo 8)

Se debe satisfacer:

$$\frac{h_w}{t_w} \leq k \frac{E}{f_{yf}} \sqrt{\frac{A_w}{A_{fc,ef}}}$$

23.00 ≤ 358.83 ✓

Donde:

h_w : Altura del alma.

h_w : 184.00 mm

t_w : Espesor del alma.

t_w : 8.00 mm

A_w : Área del alma.

A_w : 29.44 cm²

$A_{fc,ef}$: Área reducida del ala comprimida.

$A_{fc,ef}$: 12.00 cm²

k : Coeficiente que depende de la clase de la sección.

k : 0.30

E : Módulo de elasticidad.

E : 210000 MPa

f_{yf} : Límite elástico del acero del ala comprimida.

f_{yf} : 275.00 MPa

Siendo:

$$f_{yf} = f_y$$

Resistencia a tracción (CTE DB SE-A, Artículo 6.2.3)

Se debe satisfacer:

$$\eta = \frac{N_{t,Ed}}{N_{t,Rd}} \leq 1$$

η : 0.040 ✓

El esfuerzo solicitante de cálculo pésimo se produce para la combinación de acciones 0.8·PP+1.5·V(0°)H3+0.75·N(EI).

$N_{t,Ed}$: Axil de tracción solicitante de cálculo pésimo.

$N_{t,Ed}$: 53.81 kN

La resistencia de cálculo a tracción **$N_{t,Rd}$** viene dada por:

$$N_{t,Rd} = A \cdot f_{yd}$$

$N_{t,Rd}$: 1340.71 kN

Donde:

A : Área bruta de la sección transversal de la barra.

A : 51.19 cm²

f_{yd} : Resistencia de cálculo del acero.

f_{yd} : 261.90 MPa

$$f_{yd} = f_y / \gamma_{M0}$$

Siendo:

f_y : Límite elástico. (CTE DB SE-A, Tabla 4.1)

f_y : 275.00 MPa

γ_{M0} : Coeficiente parcial de seguridad del material.

γ_{M0} : 1.05

Resistencia a compresión (CTE DB SE-A, Artículo 6.2.5)

Se debe satisfacer:

$$\eta = \frac{N_{c,Ed}}{N_{c,Rd}} \leq 1$$

η : 0.068 ✓

$$\eta = \frac{N_{c,Ed}}{N_{b,Rd}} \leq 1$$

$$\eta : \underline{0.096} \quad \checkmark$$

El esfuerzo solicitante de cálculo p simo se produce para la combinaci n de acciones 1.35 PP+1.5 V(90 )H2.

N_{c,Ed}: Axil de compresi n solicitante de c culo p simo.

$$N_{c,Ed} : \underline{91.09} \text{ kN}$$

La resistencia de c culo a compresi n **N_{c,Rd}** viene dada por:

$$N_{c,Rd} = A \cdot f_{yd}$$

$$N_{c,Rd} : \underline{1340.71} \text{ kN}$$

Donde:

Clase: Clase de la secci n, seg n la capacidad de deformaci n y de desarrollo de la resistencia pl stica de los elementos planos comprimidos de una secci n.

$$\text{Clase} : \underline{1}$$

A:  rea de la secci n bruta para las secciones de clase 1, 2 y 3.

$$A : \underline{51.19} \text{ cm}^2$$

f_{yd}: Resistencia de c culo del acero.

$$f_{yd} : \underline{261.90} \text{ MPa}$$

$$f_{yd} = f_y / \gamma_{M0}$$

Siendo:

f_y: L mite el stico. (CTE DB SE-A, Tabla 4.1)

$$f_y : \underline{275.00} \text{ MPa}$$

 _{M0}: Coeficiente parcial de seguridad del material.

$$\gamma_{M0} : \underline{1.05}$$

Resistencia a pandeo: (CTE DB SE-A, Art culo 6.3.2)

La resistencia de c culo a pandeo **N_{b,Rd}** en una barra comprimida viene dada por:

$$N_{b,Rd} = \chi \cdot A \cdot f_{yd}$$

$$N_{b,Rd} : \underline{949.25} \text{ kN}$$

Donde:

A:  rea de la secci n bruta para las secciones de clase 1, 2 y 3.

$$A : \underline{51.19} \text{ cm}^2$$

f_{yd}: Resistencia de c culo del acero.

$$f_{yd} : \underline{261.90} \text{ MPa}$$

$$f_{yd} = f_y / \gamma_{M1}$$

Siendo:

f_y: L mite el stico. (CTE DB SE-A, Tabla 4.1)

$$f_y : \underline{275.00} \text{ MPa}$$

 _{M1}: Coeficiente parcial de seguridad del material.

$$\gamma_{M1} : \underline{1.05}$$

 : Coeficiente de reducci n por pandeo.

$$\chi = \frac{1}{\Phi + \sqrt{\Phi^2 - (\bar{\lambda})^2}} \leq 1$$

$$\chi_y : \underline{0.80}$$

$$\chi_z : \underline{0.71}$$

Siendo:

$$\Phi = 0.5 \cdot \left[1 + \alpha \cdot (\bar{\lambda} - 0.2) + (\bar{\lambda})^2 \right]$$

$$\phi_y : \underline{0.76}$$

$$\phi_z : \underline{0.89}$$

α : Coeficiente de imperfección elástica.

$$\alpha_y : 0.49$$

$$\alpha_z : 0.49$$

$\bar{\lambda}$: Esbeltez reducida.

$$\bar{\lambda} = \sqrt{\frac{A \cdot f_y}{N_{cr}}}$$

$$\bar{\lambda}_y : 0.58$$

$$\bar{\lambda}_z : 0.73$$

N_{cr} : Axil crítico elástico de pandeo, obtenido como el menor de los siguientes valores:

$$N_{cr} : 2664.79 \text{ kN}$$

$N_{cr,y}$: Axil crítico elástico de pandeo por flexión respecto al eje Y.

$$N_{cr,y} : 4153.47 \text{ kN}$$

$N_{cr,z}$: Axil crítico elástico de pandeo por flexión respecto al eje Z.

$$N_{cr,z} : 2664.79 \text{ kN}$$

$N_{cr,T}$: Axil crítico elástico de pandeo por torsión.

$$N_{cr,T} : \infty$$

Resistencia a flexión eje Y (CTE DB SE-A, Artículo 6.2.6)

Se debe satisfacer:

$$\eta = \frac{M_{Ed}}{M_{c,Rd}} \leq 1$$

$$\eta : 0.054 \checkmark$$

Para flexión positiva:

El esfuerzo solicitante de cálculo pésimo se produce en el nudo N840, para la combinación de acciones 0.8·PP+1.5·V(270°)H2.

M_{Ed}^+ : Momento flector solicitante de cálculo pésimo.

$$M_{Ed}^+ : 3.94 \text{ kN}\cdot\text{m}$$

Para flexión negativa:

El esfuerzo solicitante de cálculo pésimo se produce en el nudo N840, para la combinación de acciones 1.35·PP+1.5·V(180°)H3+0.75·N(EI).

M_{Ed}^- : Momento flector solicitante de cálculo pésimo.

$$M_{Ed}^- : 4.83 \text{ kN}\cdot\text{m}$$

El momento flector resistente de cálculo $M_{c,Rd}$ viene dado por:

$$M_{c,Rd} = W_{pl,y} \cdot f_{yd}$$

$$M_{c,Rd} : 89.92 \text{ kN}\cdot\text{m}$$

Donde:

Clase: Clase de la sección, según la capacidad de deformación y de desarrollo de la resistencia plástica de los elementos planos de una sección a flexión simple.

$$\text{Clase} : 1$$

$W_{pl,y}$: Módulo resistente plástico correspondiente a la fibra con mayor tensión, para las secciones de clase 1 y 2.

$$W_{pl,y} : 343.32 \text{ cm}^3$$

f_{yd} : Resistencia de cálculo del acero.

$$f_{yd} : 261.90 \text{ MPa}$$

$$f_{yd} = f_y / \gamma_{M0}$$

Siendo:

f_y : Límite elástico. (CTE DB SE-A, Tabla 4.1)

$$f_y : 275.00 \text{ MPa}$$

γ_{M0} : Coeficiente parcial de seguridad del material.

$$\gamma_{M0} : 1.05$$

Resistencia a pandeo lateral: (CTE DB SE-A, Artículo 6.3.3.2)

No procede, dado que las longitudes de pandeo lateral son nulas.

Resistencia a flexión eje Z (CTE DB SE-A, Artículo 6.2.6)

Se debe satisfacer:

$$\eta = \frac{M_{Ed}}{M_{c,Rd}} \leq 1$$

η : 0.003 ✓

Para flexión positiva:

El esfuerzo solicitante de cálculo pésimo se produce en el nudo N840, para la combinación de acciones 0.8·PP+1.5·V(180°)H3+0.75·N(R)1.

M_{Ed}^+ : Momento flector solicitante de cálculo pésimo.

M_{Ed}^+ : 0.23 kN·m

Para flexión negativa:

El esfuerzo solicitante de cálculo pésimo se produce en el nudo N840, para la combinación de acciones 1.35·PP+1.5·V(0°)H4+0.75·N(R)2.

M_{Ed}^- : Momento flector solicitante de cálculo pésimo.

M_{Ed}^- : 0.21 kN·m

El momento flector resistente de cálculo $M_{c,Rd}$ viene dado por:

$$M_{c,Rd} = W_{pl,z} \cdot f_{yd}$$

$M_{c,Rd}$: 73.89 kN·m

Donde:

Clase: Clase de la sección, según la capacidad de deformación y de desarrollo de la resistencia plástica de los elementos planos de una sección a flexión simple.

Clase : 1

$W_{pl,z}$: Módulo resistente plástico correspondiente a la fibra con mayor tensión, para las secciones de clase 1 y 2.

$W_{pl,z}$: 282.14 cm³

f_{yd} : Resistencia de cálculo del acero.

f_{yd} : 261.90 MPa

$$f_{yd} = f_y / \gamma_{M0}$$

Siendo:

f_y : Límite elástico. (CTE DB SE-A, Tabla 4.1)

f_y : 275.00 MPa

γ_{M0} : Coeficiente parcial de seguridad del material.

γ_{M0} : 1.05

Resistencia a corte Z (CTE DB SE-A, Artículo 6.2.4)

Se debe satisfacer:

$$\eta = \frac{V_{Ed}}{V_{c,Rd}} \leq 1$$

η : 0.006 ✓

El esfuerzo solicitante de cálculo pésimo se produce en el nudo N840, para la combinación de acciones 1.35·PP+1.5·V(0°)H3+0.75·N(EI).

V_{Ed} : Esfuerzo cortante solicitante de cálculo pésimo.

V_{Ed} : 2.60 kN

El esfuerzo cortante resistente de cálculo $V_{c,Rd}$ viene dado por:

$$V_{c,Rd} = A_v \cdot \frac{f_{yd}}{\sqrt{3}}$$

$V_{c,Rd}$: 445.16 kN

Donde:

A_v : Área transversal a cortante.

A_v : 29.44 cm²

$$A_v = 2 \cdot d \cdot t_w$$

Siendo:

d: Altura del alma.

d : 184.00 mm

t_w: Espesor del alma.

t_w : 8.00 mm

f_{yd}: Resistencia de cálculo del acero.

f_{yd} : 261.90 MPa

$$f_{yd} = f_y / \gamma_{M0}$$

Siendo:

f_y: Límite elástico. (CTE DB SE-A, Tabla 4.1)

f_y : 275.00 MPa

γ_{M0}: Coeficiente parcial de seguridad del material.

γ_{M0} : 1.05

Abolladura por cortante del alma: (CTE DB SE-A, Artículo 6.3.3.4)

Aunque no se han dispuesto rigidizadores transversales, no es necesario comprobar la resistencia a la abolladura del alma, puesto que se cumple:

$$\frac{d}{t_w} < 70 \cdot \varepsilon$$

23.00 < 64.71



Donde:

λ_w: Esbeltez del alma.

λ_w : 23.00

$$\lambda_w = \frac{d}{t_w}$$

λ_{máx}: Esbeltez máxima.

λ_{máx} : 64.71

ε: Factor de reducción.

ε : 0.92

$$\varepsilon = \sqrt{\frac{f_{ref}}{f_y}}$$

Siendo:

f_{ref}: Límite elástico de referencia.

f_{ref} : 235.00 MPa

f_y: Límite elástico. (CTE DB SE-A, Tabla 4.1)

f_y : 275.00 MPa

Resistencia a corte V (CTE DB SE-A, Artículo 6.2.4)

Se debe satisfacer:

$$\eta = \frac{V_{Ed}}{V_{c,Rd}} \leq 1$$

η < 0.001



El esfuerzo solicitante de cálculo pésimo se produce para la combinación de acciones 0.8·PP+1.5·V(180°)H3+0.75·N(R)1.

V_{Ed}: Esfuerzo cortante solicitante de cálculo pésimo.

V_{Ed} : 0.07 kN

El esfuerzo cortante resistente de cálculo **V_{c,Rd}** viene dado por:

$$V_{c,Rd} = A_v \cdot \frac{f_{yd}}{\sqrt{3}}$$

V_{c,Rd} : 328.90 kN

Donde:

A_v : Área transversal a cortante.

$$A_v : 21.75 \text{ cm}^2$$

$$A_v = A - 2 \cdot d \cdot t_w$$

Siendo:

A : Área de la sección bruta.

$$A : 51.19 \text{ cm}^2$$

d : Altura del alma.

$$d : 184.00 \text{ mm}$$

t_w : Espesor del alma.

$$t_w : 8.00 \text{ mm}$$

f_{yd} : Resistencia de cálculo del acero.

$$f_{yd} : 261.90 \text{ MPa}$$

$$f_{yd} = f_y / \gamma_{M0}$$

Siendo:

f_y : Límite elástico. (CTE DB SE-A, Tabla 4.1)

$$f_y : 275.00 \text{ MPa}$$

γ_{M0} : Coeficiente parcial de seguridad del material.

$$\gamma_{M0} : 1.05$$

Abolladura por cortante del alma: (CTE DB SE-A, Artículo 6.3.3.4)

Aunque no se han dispuesto rigidizadores transversales, no es necesario comprobar la resistencia a la abolladura del alma, puesto que se cumple:

$$\frac{b}{t_f} < 70 \cdot \varepsilon$$

$$18.75 < 64.71$$



Donde:

λ_w : Esbeltez del alma.

$$\lambda_w : 18.75$$

$$\lambda_w = \frac{b}{t_f}$$

$\lambda_{m\acute{a}x}$: Esbeltez máxima.

$$\lambda_{m\acute{a}x} : 64.71$$

ε : Factor de reducción.

$$\varepsilon : 0.92$$

$$\varepsilon = \sqrt{\frac{f_{ref}}{f_y}}$$

Siendo:

f_{ref} : Límite elástico de referencia.

$$f_{ref} : 235.00 \text{ MPa}$$

f_y : Límite elástico. (CTE DB SE-A, Tabla 4.1)

$$f_y : 275.00 \text{ MPa}$$

Resistencia a momento flector Y y fuerza cortante Z combinados (CTE DB SE-A, Artículo 6.2.8)

No es necesario reducir la resistencia de cálculo a flexión, ya que el esfuerzo cortante solicitante de cálculo pésimo V_{Ed} no es superior al 50% de la resistencia de cálculo a cortante $V_{c,Rd}$.

$$V_{Ed} \leq \frac{V_{c,Rd}}{2}$$

$$2.28 \text{ kN} \leq 222.58 \text{ kN}$$



Los esfuerzos solicitantes de cálculo p_{simos} se producen para la combinación de acciones 1.35·PP+1.5·V(270°)H2.

V_{Ed}: Esfuerzo cortante solicitante de cálculo p_{simos}. **V_{Ed}** : 2.28 kN

V_{c,Rd}: Esfuerzo cortante resistente de cálculo. **V_{c,Rd}** : 445.16 kN

Resistencia a momento flector Z y fuerza cortante Y combinados (CTE DB SE-A, Artículo 6.2.8)

No es necesario reducir la resistencia de cálculo a flexión, ya que el esfuerzo cortante solicitante de cálculo p_{simos} **V_{Ed}** no es superior al 50% de la resistencia de cálculo a cortante **V_{c,Rd}**.

$$V_{Ed} \leq \frac{V_{c,Rd}}{2}$$

0.07 kN ≤ 164.45 kN ✓

Los esfuerzos solicitantes de cálculo p_{simos} se producen para la combinación de acciones 0.8·PP+1.5·V(180°)H3+0.75·N(R)1.

V_{Ed}: Esfuerzo cortante solicitante de cálculo p_{simos}. **V_{Ed}** : 0.07 kN

V_{c,Rd}: Esfuerzo cortante resistente de cálculo. **V_{c,Rd}** : 328.90 kN

Resistencia a flexión y axil combinados (CTE DB SE-A, Artículo 6.2.8)

Se debe satisfacer:

$$\eta = \frac{N_{c,Ed}}{N_{pl,Rd}} + \frac{M_{y,Ed}}{M_{pl,Rd,y}} + \frac{M_{z,Ed}}{M_{pl,Rd,z}} \leq 1$$

η : 0.088 ✓

$$\eta = \frac{N_{c,Ed}}{\chi_y \cdot A \cdot f_{yd}} + k_y \cdot \frac{c_{m,y} \cdot M_{y,Ed}}{\chi_{LT} \cdot W_{pl,y} \cdot f_{yd}} + \alpha_z \cdot k_z \cdot \frac{c_{m,z} \cdot M_{z,Ed}}{W_{pl,z} \cdot f_{yd}} \leq 1$$

η : 0.106 ✓

$$\eta = \frac{N_{c,Ed}}{\chi_z \cdot A \cdot f_{yd}} + \alpha_y \cdot k_y \cdot \frac{c_{m,y} \cdot M_{y,Ed}}{W_{pl,y} \cdot f_{yd}} + k_z \cdot \frac{c_{m,z} \cdot M_{z,Ed}}{W_{pl,z} \cdot f_{yd}} \leq 1$$

η : 0.108 ✓

Los esfuerzos solicitantes de cálculo p_{simos} se producen en un punto situado a una distancia de 3.438 m del nudo N839, para la combinación de acciones 1.35·PP+1.5·V(90°)H2.

Donde:

N_{c,Ed}: Axil de compresión solicitante de cálculo p_{simos}. **N_{c,Ed}** : 91.09 kN

M_{y,Ed}, **M_{z,Ed}**: Momentos flectores solicitantes de cálculo p_{simos}, según los ejes Y y Z, respectivamente. **M_{y,Ed}** : 1.81 kN·m

M_{z,Ed} : 0.00 kN·m

Clase: Clase de la sección, según la capacidad de deformación y de desarrollo de la resistencia plástica de sus elementos planos, para axil y flexión simple.

Clase : 1

N_{pl,Rd}: Resistencia a compresión de la sección bruta. **N_{pl,Rd}** : 1340.71 kN

$M_{pl,Rd,y}$, $M_{pl,Rd,z}$: Resistencia a flexión de la sección bruta en condiciones plásticas, respecto a los ejes Y y Z, respectivamente.

$$M_{pl,Rd,y} : \underline{89.92} \text{ kN}\cdot\text{m}$$

$$M_{pl,Rd,z} : \underline{73.89} \text{ kN}\cdot\text{m}$$

Resistencia a pandeo: (CTE DB SE-A, Artículo 6.3.4.2)

A : Área de la sección bruta.

$$A : \underline{51.19} \text{ cm}^2$$

$W_{pl,y}$, $W_{pl,z}$: Módulos resistentes plásticos correspondientes a la fibra comprimida, alrededor de los ejes Y y Z, respectivamente.

$$W_{pl,y} : \underline{343.32} \text{ cm}^3$$

$$W_{pl,z} : \underline{282.14} \text{ cm}^3$$

f_{yd} : Resistencia de cálculo del acero.

$$f_{yd} : \underline{261.90} \text{ MPa}$$

$$f_{yd} = f_y / \gamma_{M1}$$

Siendo:

f_y : Límite elástico. (CTE DB SE-A, Tabla 4.1)

$$f_y : \underline{275.00} \text{ MPa}$$

γ_{M1} : Coeficiente parcial de seguridad del material.

$$\gamma_{M1} : \underline{1.05}$$

k_y , k_z : Coeficientes de interacción.

$$k_y = 1 + (\bar{\lambda}_y - 0.2) \cdot \frac{N_{c,Ed}}{\chi_y \cdot N_{c,Rd}}$$

$$k_y : \underline{1.03}$$

$$k_z = 1 + (\bar{\lambda}_z - 0.2) \cdot \frac{N_{c,Ed}}{\chi_z \cdot N_{c,Rd}}$$

$$k_z : \underline{1.05}$$

$C_{m,y}$, $C_{m,z}$: Factores de momento flector uniforme equivalente.

$$C_{m,y} : \underline{1.00}$$

$$C_{m,z} : \underline{1.00}$$

χ_y , χ_z : Coeficientes de reducción por pandeo, alrededor de los ejes Y y Z, respectivamente.

$$\chi_y : \underline{0.80}$$

$$\chi_z : \underline{0.71}$$

$\bar{\lambda}_y$, $\bar{\lambda}_z$: Esbelteces reducidas con valores no mayores que 1.00, en relación a los ejes Y y Z, respectivamente.

$$\bar{\lambda}_y : \underline{0.58}$$

$$\bar{\lambda}_z : \underline{0.73}$$

α_y , α_z : Factores dependientes de la clase de la sección.

$$\alpha_y : \underline{0.60}$$

$$\alpha_z : \underline{0.60}$$

Resistencia a flexión, axil y cortante combinados (CTE DB SE-A, Artículo 6.2.8)

No es necesario reducir las resistencias de cálculo a flexión y a axil, ya que se puede ignorar el efecto de abolladura por esfuerzo cortante y, además, el esfuerzo cortante solicitante de cálculo pésimo V_{Ed} es menor o igual que el 50% del esfuerzo cortante resistente de cálculo $V_{c,Rd}$.

Los esfuerzos solicitantes de cálculo pésimos se producen para la combinación de acciones 1.35·PP+1.5·V(270°)H2.

$$V_{Ed,z} \leq \frac{V_{c,Rd,z}}{2}$$

$$2.28 \text{ kN} \leq 222.51 \text{ kN}$$



Donde:

$V_{Ed,z}$: Esfuerzo cortante solicitante de cálculo pésimo.

$$V_{Ed,z} : \underline{2.28} \text{ kN}$$

$V_{c,Rd,z}$: Esfuerzo cortante resistente de cálculo.

$$V_{c,Rd,z} : \underline{445.02} \text{ kN}$$

Resistencia a torsión (CTE DB SE-A, Artículo 6.2.7)

Se debe satisfacer:

$$\eta = \frac{M_{T,Ed}}{M_{T,Rd}} \leq 1$$

$$\eta : \underline{0.002} \quad \checkmark$$

El esfuerzo solicitante de cálculo pésimo se produce para la combinación de acciones 0.8·PP+1.5·V(180°)H3+0.75·N(R)1.

M_{T,Ed}: Momento torsor solicitante de cálculo pésimo.

$$\mathbf{M_{T,Ed}} : \underline{0.11} \text{ kN}\cdot\text{m}$$

El momento torsor resistente de cálculo **M_{T,Rd}** viene dado por:

$$\mathbf{M_{T,Rd}} = \frac{1}{\sqrt{3}} \cdot W_T \cdot f_{yd}$$

$$\mathbf{M_{T,Rd}} : \underline{65.96} \text{ kN}\cdot\text{m}$$

Donde:

W_T: Módulo de resistencia a torsión.

$$\mathbf{W_T} : \underline{436.22} \text{ cm}^3$$

f_{yd}: Resistencia de cálculo del acero.

$$\mathbf{f_{yd}} : \underline{261.90} \text{ MPa}$$

$$\mathbf{f_{yd}} = f_y / \gamma_{M0}$$

Siendo:

f_y: Límite elástico. (CTE DB SE-A, Tabla 4.1)

$$\mathbf{f_y} : \underline{275.00} \text{ MPa}$$

γ_{M0}: Coeficiente parcial de seguridad del material.

$$\mathbf{\gamma_{M0}} : \underline{1.05}$$

Resistencia a cortante Z y momento torsor combinados (CTE DB SE-A, Artículo 6.2.8)

Se debe satisfacer:

$$\eta = \frac{V_{Ed}}{V_{pl,T,Rd}} \leq 1$$

$$\eta : \underline{0.006} \quad \checkmark$$

Los esfuerzos solicitantes de cálculo pésimos se producen en el nudo N840, para la combinación de acciones 1.35·PP+1.5·V(180°)H3+0.75·N(EI).

V_{Ed}: Esfuerzo cortante solicitante de cálculo pésimo.

$$\mathbf{V_{Ed}} : \underline{2.60} \text{ kN}$$

M_{T,Ed}: Momento torsor solicitante de cálculo pésimo.

$$\mathbf{M_{T,Ed}} : \underline{0.10} \text{ kN}\cdot\text{m}$$

El esfuerzo cortante resistente de cálculo reducido **V_{pl,T,Rd}** viene dado por:

$$\mathbf{V_{pl,T,Rd}} = \left[1 - \frac{\tau_{T,Ed}}{f_{yd}/\sqrt{3}} \right] \cdot V_{pl,Rd}$$

$$\mathbf{V_{pl,T,Rd}} : \underline{444.49} \text{ kN}$$

Donde:

V_{pl,Rd}: Esfuerzo cortante resistente de cálculo.

$$\mathbf{V_{pl,Rd}} : \underline{445.16} \text{ kN}$$

τ_{T,Ed}: Tensiones tangenciales por torsión.

$$\mathbf{\tau_{T,Ed}} : \underline{0.23} \text{ MPa}$$

$$\tau_{T,Ed} = \frac{M_{T,Ed}}{W_t}$$

Siendo:

W_T : Módulo de resistencia a torsión.

W_T : 436.22 cm³

f_{yd} : Resistencia de cálculo del acero.

f_{yd} : 261.90 MPa

$$f_{yd} = f_y / \gamma_{M0}$$

Siendo:

f_y : Límite elástico. (CTE DB SE-A, Tabla 4.1)

f_y : 275.00 MPa

γ_{M0} : Coeficiente parcial de seguridad del material.

γ_{M0} : 1.05

Resistencia a cortante Y y momento torsor combinados (CTE DB SE-A, Artículo 6.2.8)

Se debe satisfacer:

$$\eta = \frac{V_{Ed}}{V_{pl,T,Rd}} \leq 1$$

$\eta < \underline{0.001}$ ✓

Los esfuerzos solicitantes de cálculo pésimos se producen para la combinación de acciones 0.8·PP+1.5·V(180°)H3+0.75·N(R)1.

V_{Ed} : Esfuerzo cortante solicitante de cálculo pésimo.

V_{Ed} : 0.07 kN

$M_{T,Ed}$: Momento torsor solicitante de cálculo pésimo.

$M_{T,Ed}$: 0.11 kN·m

El esfuerzo cortante resistente de cálculo reducido $V_{pl,T,Rd}$ viene dado por:

$$V_{pl,T,Rd} = \left[1 - \frac{\tau_{T,Ed}}{f_{yd}/\sqrt{3}} \right] \cdot V_{pl,Rd}$$

$V_{pl,T,Rd}$: 328.36 kN

Donde:

$V_{pl,Rd}$: Esfuerzo cortante resistente de cálculo.

$V_{pl,Rd}$: 328.90 kN

$\tau_{T,Ed}$: Tensiones tangenciales por torsión.

$\tau_{T,Ed}$: 0.25 MPa

$$\tau_{T,Ed} = \frac{M_{T,Ed}}{W_t}$$

Siendo:

W_T : Módulo de resistencia a torsión.

W_T : 436.22 cm³

f_{yd} : Resistencia de cálculo del acero.

f_{yd} : 261.90 MPa

$$f_{yd} = f_y / \gamma_{M0}$$

Siendo:

f_y : Límite elástico. (CTE DB SE-A, Tabla 4.1)

f_y : 275.00 MPa

γ_{M0} : Coeficiente parcial de seguridad del material.

γ_{M0} : 1.05

$$N_{cr,T} = \frac{1}{i_0^2} \cdot \left[G \cdot I_t + \frac{\pi^2 \cdot E \cdot I_w}{L_{kt}^2} \right]$$

Donde:

I_y : Momento de inercia de la sección bruta, respecto al eje Y.	I_y : <u>396.40</u> cm ⁴
I_z : Momento de inercia de la sección bruta, respecto al eje Z.	I_z : <u>396.40</u> cm ⁴
I_t : Momento de inercia a torsión uniforme.	I_t : <u>638.85</u> cm ⁴
I_w : Constante de alabeo de la sección.	I_w : <u>0.00</u> cm ⁶
E : Módulo de elasticidad.	E : <u>210000</u> MPa
G : Módulo de elasticidad transversal.	G : <u>81000</u> MPa
L_{ky} : Longitud efectiva de pandeo por flexión, respecto al eje Y.	L_{ky} : <u>5.000</u> m
L_{kz} : Longitud efectiva de pandeo por flexión, respecto al eje Z.	L_{kz} : <u>5.000</u> m
L_{kt} : Longitud efectiva de pandeo por torsión.	L_{kt} : <u>0.000</u> m
i₀ : Radio de giro polar de la sección bruta, respecto al centro de torsión.	i₀ : <u>6.64</u> cm

$$i_0 = (i_y^2 + i_z^2 + y_0^2 + z_0^2)^{0.5}$$

Siendo:

i_y , i_z : Radios de giro de la sección bruta, respecto a los ejes principales de inercia Y y Z.	i_y : <u>4.69</u> cm
	i_z : <u>4.69</u> cm
y₀ , z₀ : Coordenadas del centro de torsión en la dirección de los ejes principales Y y Z, respectivamente, relativas al centro de gravedad de la sección.	y₀ : <u>0.00</u> mm
	z₀ : <u>0.00</u> mm

Abolladura del alma inducida por el ala comprimida (Criterio de CYPE Ingenieros, basado en: Eurocódigo 3 EN 1993-1-5: 2006, Artículo 8)

Se debe satisfacer:

$$\frac{h_w}{t_w} \leq k \frac{E}{f_{yf}} \sqrt{\frac{A_w}{A_{fc,ef}}}$$

$$28.00 \leq 313.00 \quad \checkmark$$

Donde:

h_w : Altura del alma.	h_w : <u>112.00</u> mm
t_w : Espesor del alma.	t_w : <u>4.00</u> mm
A_w : Área del alma.	A_w : <u>8.96</u> cm ²
A_{fc,ef} : Área reducida del ala comprimida.	A_{fc,ef} : <u>4.80</u> cm ²
k : Coeficiente que depende de la clase de la sección.	k : <u>0.30</u>
E : Módulo de elasticidad.	E : <u>210000</u> MPa
f_{yf} : Límite elástico del acero del ala comprimida.	f_{yf} : <u>275.00</u> MPa

Siendo:

$$f_{yf} = f_y$$

Resistencia a tracción (CTE DB SE-A, Artículo 6.2.3)

Se debe satisfacer:

$$\eta = \frac{N_{t,Ed}}{N_{t,Rd}} \leq 1$$

$$\eta : \underline{0.003} \quad \checkmark$$

El esfuerzo solicitante de cálculo pésimo se produce para la combinación de acciones 1.35·PP+1.5·V(180°)H2+0.75·N(EI).

N_{t,Ed}: Axil de tracción solicitante de cálculo pésimo.

$$\mathbf{N_{t,Ed}} : \underline{1.46} \text{ kN}$$

La resistencia de cálculo a tracción **N_{t,Rd}** viene dada por:

$$\mathbf{N_{t,Rd}} = A \cdot f_{yd}$$

$$\mathbf{N_{t,Rd}} : \underline{471.37} \text{ kN}$$

Donde:

A: Área bruta de la sección transversal de la barra.

$$\mathbf{A} : \underline{18.00} \text{ cm}^2$$

f_{yd}: Resistencia de cálculo del acero.

$$\mathbf{f_{yd}} : \underline{261.90} \text{ MPa}$$

$$f_{yd} = f_y / \gamma_{M0}$$

Siendo:

f_y: Límite elástico. (CTE DB SE-A, Tabla 4.1)

$$\mathbf{f_y} : \underline{275.00} \text{ MPa}$$

γ_{M0}: Coeficiente parcial de seguridad del material.

$$\mathbf{\gamma_{M0}} : \underline{1.05}$$

Resistencia a compresión (CTE DB SE-A, Artículo 6.2.5)

Se debe satisfacer:

$$\eta = \frac{N_{c,Ed}}{N_{c,Rd}} \leq 1$$

$$\eta : \underline{0.060} \quad \checkmark$$

$$\eta = \frac{N_{c,Ed}}{N_{b,Rd}} \leq 1$$

$$\eta : \underline{0.143} \quad \checkmark$$

El esfuerzo solicitante de cálculo pésimo se produce para la combinación de acciones 1.35·PP+1.5·V(90°)H2.

N_{c,Ed}: Axil de compresión solicitante de cálculo pésimo.

$$\mathbf{N_{c,Ed}} : \underline{28.37} \text{ kN}$$

La resistencia de cálculo a compresión **N_{c,Rd}** viene dada por:

$$\mathbf{N_{c,Rd}} = A \cdot f_{yd}$$

$$\mathbf{N_{c,Rd}} : \underline{471.37} \text{ kN}$$

Donde:

Clase: Clase de la sección, según la capacidad de deformación y de desarrollo de la resistencia plástica de los elementos planos comprimidos de una sección.

$$\mathbf{Clase} : \underline{1}$$

A: Área de la sección bruta para las secciones de clase 1, 2 y 3.

$$A : 18.00 \text{ cm}^2$$

f_{yd}: Resistencia de cálculo del acero.

$$f_{yd} : 261.90 \text{ MPa}$$

$$f_{yd} = f_y / \gamma_{M0}$$

Siendo:

f_y: Límite elástico. (CTE DB SE-A, Tabla 4.1)

$$f_y : 275.00 \text{ MPa}$$

γ_{M0}: Coeficiente parcial de seguridad del material.

$$\gamma_{M0} : 1.05$$

Resistencia a pandeo: (CTE DB SE-A, Artículo 6.3.2)

La resistencia de cálculo a pandeo **N_{b,Rd}** en una barra comprimida viene dada por:

$$N_{b,Rd} = \chi \cdot A \cdot f_{yd}$$

$$N_{b,Rd} : 198.44 \text{ kN}$$

Donde:

A: Área de la sección bruta para las secciones de clase 1, 2 y 3.

$$A : 18.00 \text{ cm}^2$$

f_{yd}: Resistencia de cálculo del acero.

$$f_{yd} : 261.90 \text{ MPa}$$

$$f_{yd} = f_y / \gamma_{M1}$$

Siendo:

f_y: Límite elástico. (CTE DB SE-A, Tabla 4.1)

$$f_y : 275.00 \text{ MPa}$$

γ_{M1}: Coeficiente parcial de seguridad del material.

$$\gamma_{M1} : 1.05$$

χ: Coeficiente de reducción por pandeo.

$$\chi = \frac{1}{\Phi + \sqrt{\Phi^2 - (\bar{\lambda})^2}} \leq 1$$

$$\chi_y : 0.42$$

$$\chi_z : 0.42$$

Siendo:

$$\Phi = 0.5 \cdot \left[1 + \alpha \cdot (\bar{\lambda} - 0.2) + (\bar{\lambda})^2 \right]$$

$$\phi_y : 1.50$$

$$\phi_z : 1.50$$

α: Coeficiente de imperfección elástica.

$$\alpha_y : 0.49$$

$$\alpha_z : 0.49$$

λ̄: Esbeltez reducida.

$$\bar{\lambda} = \sqrt{\frac{A \cdot f_y}{N_{cr}}}$$

$$\bar{\lambda}_y : 1.23$$

$$\bar{\lambda}_z : 1.23$$

N_{cr}: Axil crítico elástico de pandeo, obtenido como el menor de los siguientes valores:

$$N_{cr} : 328.63 \text{ kN}$$

N_{cr,y}: Axil crítico elástico de pandeo por flexión respecto al eje Y.

$$N_{cr,y} : 328.63 \text{ kN}$$

N_{cr,z}: Axil crítico elástico de pandeo por flexión respecto al eje Z.

$$N_{cr,z} : 328.63 \text{ kN}$$

N_{cr,T}: Axil crítico elástico de pandeo por torsión.

$$N_{cr,T} : \infty$$

Resistencia a flexión eje Y (CTE DB SE-A, Artículo 6.2.6)

Se debe satisfacer:

$$\eta = \frac{M_{Ed}}{M_{c,Rd}} \leq 1$$

η : 0.029 ✓

Para flexión positiva:

El esfuerzo solicitante de cálculo pésimo se produce en un punto situado a una distancia de 2.500 m del nudo N736, para la combinación de acciones 1.35·PP.

M_{Ed}^+ : Momento flector solicitante de cálculo pésimo.

M_{Ed}^+ : 0.58 kN·m

Para flexión negativa:

M_{Ed}^- : Momento flector solicitante de cálculo pésimo.

M_{Ed}^- : 0.00 kN·m

El momento flector resistente de cálculo $M_{c,Rd}$ viene dado por:

$$M_{c,Rd} = W_{pl,y} \cdot f_{yd}$$

$M_{c,Rd}$: 20.27 kN·m

Donde:

Clase: Clase de la sección, según la capacidad de deformación y de desarrollo de la resistencia plástica de los elementos planos de una sección a flexión simple.

Clase : 1

$W_{pl,y}$: Módulo resistente plástico correspondiente a la fibra con mayor tensión, para las secciones de clase 1 y 2.

$W_{pl,y}$: 77.39 cm³

f_{yd} : Resistencia de cálculo del acero.

f_{yd} : 261.90 MPa

$$f_{yd} = f_y / \gamma_{M0}$$

Siendo:

f_y : Límite elástico. (CTE DB SE-A, Tabla 4.1)

f_y : 275.00 MPa

γ_{M0} : Coeficiente parcial de seguridad del material.

γ_{M0} : 1.05

Resistencia a flexión eje Z (CTE DB SE-A, Artículo 6.2.6)

La comprobación no procede, ya que no hay momento flector.

Resistencia a corte Z (CTE DB SE-A, Artículo 6.2.4)

Se debe satisfacer:

$$\eta = \frac{V_{Ed}}{V_{c,Rd}} \leq 1$$

η : 0.003 ✓

El esfuerzo solicitante de cálculo pésimo se produce en el nudo N736, para la combinación de acciones 1.35·PP.

V_{Ed} : Esfuerzo cortante solicitante de cálculo pésimo.

V_{Ed} : 0.47 kN

El esfuerzo cortante resistente de cálculo $V_{c,Rd}$ viene dado por:

$$V_{c,Rd} = A_v \cdot \frac{f_{yd}}{\sqrt{3}}$$

$V_{c,Rd}$: 135.48 kN

Donde:

A_v : Área transversal a cortante.

A_v : 8.96 cm²

$$A_v = 2 \cdot d \cdot t_w$$

Siendo:

d: Altura del alma.

d : 112.00 mm

t_w: Espesor del alma.

t_w : 4.00 mm

f_{yd}: Resistencia de cálculo del acero.

f_{yd} : 261.90 MPa

$$f_{yd} = f_y / \gamma_{M0}$$

Siendo:

f_y: Límite elástico. (CTE DB SE-A, Tabla 4.1)

f_y : 275.00 MPa

γ_{M0}: Coeficiente parcial de seguridad del material.

γ_{M0} : 1.05

Abolladura por cortante del alma: (CTE DB SE-A, Artículo 6.3.3.4)

Aunque no se han dispuesto rigidizadores transversales, no es necesario comprobar la resistencia a la abolladura del alma, puesto que se cumple:

$$\frac{d}{t_w} < 70 \cdot \varepsilon$$

$$28.00 < 64.71$$



Donde:

λ_w: Esbeltez del alma.

λ_w : 28.00

$$\lambda_w = \frac{d}{t_w}$$

λ_{máx}: Esbeltez máxima.

λ_{máx} : 64.71

ε: Factor de reducción.

ε : 0.92

$$\varepsilon = \sqrt{\frac{f_{ref}}{f_y}}$$

Siendo:

f_{ref}: Límite elástico de referencia.

f_{ref} : 235.00 MPa

f_y: Límite elástico. (CTE DB SE-A, Tabla 4.1)

f_y : 275.00 MPa

Resistencia a corte Y (CTE DB SE-A, Artículo 6.2.4)

La comprobación no procede, ya que no hay esfuerzo cortante.

Resistencia a momento flector Y y fuerza cortante Z combinados (CTE DB SE-A, Artículo 6.2.8)

No es necesario reducir la resistencia de cálculo a flexión, ya que el esfuerzo cortante solicitante de cálculo pésimo **V_{Ed}** no es superior al 50% de la resistencia de cálculo a cortante **V_{c,Rd}**.

$$V_{Ed} \leq \frac{V_{c,Rd}}{2}$$

$$0.41 \text{ kN} \leq 67.74 \text{ kN}$$



Los esfuerzos solicitantes de cálculo p_{ésimos} se producen en un punto situado a una distancia de 0.313 m del nudo N736, para la combinación de acciones 1.35·PP.

V_{Ed}: Esfuerzo cortante solicitante de cálculo p_{ésimo}.

V_{Ed} : 0.41 kN

V_{c,Rd}: Esfuerzo cortante resistente de cálculo.

V_{c,Rd} : 135.48 kN

Resistencia a momento flector Z y fuerza cortante Y combinados (CTE DB SE-A, Artículo 6.2.8)

No hay interacción entre momento flector y esfuerzo cortante para ninguna combinación. Por lo tanto, la comprobación no procede.

Resistencia a flexión y axil combinados (CTE DB SE-A, Artículo 6.2.8)

Se debe satisfacer:

$$\eta = \frac{N_{c,Ed}}{N_{pl,Rd}} + \frac{M_{y,Ed}}{M_{pl,Rd,y}} + \frac{M_{z,Ed}}{M_{pl,Rd,z}} \leq 1$$

η : 0.089 ✓

$$\eta = \frac{N_{c,Ed}}{\chi_y \cdot A \cdot f_{yd}} + k_y \cdot \frac{c_{m,y} \cdot M_{y,Ed}}{\chi_{LT} \cdot W_{pl,y} \cdot f_{yd}} + \alpha_z \cdot k_z \cdot \frac{c_{m,z} \cdot M_{z,Ed}}{W_{pl,z} \cdot f_{yd}} \leq 1$$

η : 0.175 ✓

$$\eta = \frac{N_{c,Ed}}{\chi_z \cdot A \cdot f_{yd}} + \alpha_y \cdot k_y \cdot \frac{c_{m,y} \cdot M_{y,Ed}}{W_{pl,y} \cdot f_{yd}} + k_z \cdot \frac{c_{m,z} \cdot M_{z,Ed}}{W_{pl,z} \cdot f_{yd}} \leq 1$$

η : 0.162 ✓

Los esfuerzos solicitantes de cálculo p_{ésimos} se producen en un punto situado a una distancia de 2.500 m del nudo N736, para la combinación de acciones 1.35·PP+1.5·V(90°)H2.

Donde:

N_{c,Ed}: Axil de compresión solicitante de cálculo p_{ésimo}.

N_{c,Ed} : 28.37 kN

M_{y,Ed}, M_{z,Ed}: Momentos flectores solicitantes de cálculo p_{ésimos}, según los ejes Y y Z, respectivamente.

M_{y,Ed} : 0.58 kN·m

M_{z,Ed} : 0.00 kN·m

Clase: Clase de la sección, según la capacidad de deformación y de desarrollo de la resistencia plástica de sus elementos planos, para axil y flexión simple.

Clase : 1

N_{pl,Rd}: Resistencia a compresión de la sección bruta.

N_{pl,Rd} : 471.37 kN

M_{pl,Rd,y}, M_{pl,Rd,z}: Resistencia a flexión de la sección bruta en condiciones plásticas, respecto a los ejes Y y Z, respectivamente.

M_{pl,Rd,y} : 20.27 kN·m

M_{pl,Rd,z} : 20.27 kN·m

Resistencia a pandeo: (CTE DB SE-A, Artículo 6.3.4.2)

A: Área de la sección bruta.

A : 18.00 cm²

W_{pl,y}, W_{pl,z}: Módulos resistentes plásticos correspondientes a la fibra comprimida, alrededor de los ejes Y y Z, respectivamente.

W_{pl,y} : 77.39 cm³

W_{pl,z} : 77.39 cm³

f_{yd}: Resistencia de cálculo del acero.

f_{yd} : 261.90 MPa

$$f_{yd} = f_y / \gamma_{M1}$$

Siendo:

f_y : Límite elástico. (CTE DB SE-A, Tabla 4.1)

f_y : 275.00 MPa

γ_{M1} : Coeficiente parcial de seguridad del material.

γ_{M1} : 1.05

k_y, k_z : Coeficientes de interacción.

$$k_y = 1 + (\bar{\lambda}_y - 0.2) \cdot \frac{N_{c,Ed}}{\chi_y \cdot N_{c,Rd}}$$

k_y : 1.11

$$k_z = 1 + (\bar{\lambda}_z - 0.2) \cdot \frac{N_{c,Ed}}{\chi_z \cdot N_{c,Rd}}$$

k_z : 1.11

$C_{m,y}, C_{m,z}$: Factores de momento flector uniforme equivalente.

$C_{m,y}$: 1.00

$C_{m,z}$: 1.00

χ_y, χ_z : Coeficientes de reducción por pandeo, alrededor de los ejes Y y Z, respectivamente.

χ_y : 0.42

χ_z : 0.42

$\bar{\lambda}_y, \bar{\lambda}_z$: Esbelteces reducidas con valores no mayores que 1.00, en relación a los ejes Y y Z, respectivamente.

$\bar{\lambda}_y$: 1.23

$\bar{\lambda}_z$: 1.23

α_y, α_z : Factores dependientes de la clase de la sección.

α_y : 0.60

α_z : 0.60

Resistencia a flexión, axil y cortante combinados (CTE DB SE-A, Artículo 6.2.8)

No es necesario reducir las resistencias de cálculo a flexión y a axil, ya que se puede ignorar el efecto de abolladura por esfuerzo cortante y, además, el esfuerzo cortante solicitante de cálculo pésimo V_{Ed} es menor o igual que el 50% del esfuerzo cortante resistente de cálculo $V_{c,Rd}$.

Los esfuerzos solicitantes de cálculo pésimos se producen en un punto situado a una distancia de 0.313 m del nudo N736, para la combinación de acciones 1.35·PP.

$$V_{Ed,z} \leq \frac{V_{c,Rd,z}}{2}$$

$$0.41 \text{ kN} \leq 67.74 \text{ kN}$$



Donde:

$V_{Ed,z}$: Esfuerzo cortante solicitante de cálculo pésimo.

$V_{Ed,z}$: 0.41 kN

$V_{c,Rd,z}$: Esfuerzo cortante resistente de cálculo.

$V_{c,Rd,z}$: 135.48 kN

Resistencia a torsión (CTE DB SE-A, Artículo 6.2.7)

La comprobación no procede, ya que no hay momento torsor.

Resistencia a cortante Z y momento torsor combinados (CTE DB SE-A, Artículo 6.2.8)

No hay interacción entre momento torsor y esfuerzo cortante para ninguna combinación. Por lo tanto, la comprobación no procede.

Resistencia a cortante Y y momento torsor combinados (CTE DB SE-A, Artículo 6.2.8)

No hay interacción entre momento torsor y esfuerzo cortante para ninguna combinación. Por lo tanto, la comprobación no procede.

$$N_{t,Rd} = A \cdot f_{yd}$$

Donde:

A: Área bruta de la sección transversal de la barra.

A : 4.91 cm²

f_{yd}: Resistencia de cálculo del acero.

f_{yd} : 252.38 MPa

$$f_{yd} = f_y / \gamma_{M0}$$

Siendo:

f_y: Límite elástico. (CTE DB SE-A, Tabla 4.1)

f_y : 265.00 MPa

γ_{M0}: Coeficiente parcial de seguridad del material.

γ_{M0} : 1.05

Resistencia a compresión (CTE DB SE-A, Artículo 6.2.5)

La comprobación no procede, ya que no hay axil de compresión.

Resistencia a flexión eje Y (CTE DB SE-A, Artículo 6.2.6)

La comprobación no procede, ya que no hay momento flector.

Resistencia a flexión eje Z (CTE DB SE-A, Artículo 6.2.6)

La comprobación no procede, ya que no hay momento flector.

Resistencia a corte Z (CTE DB SE-A, Artículo 6.2.4)

La comprobación no procede, ya que no hay esfuerzo cortante.

Resistencia a corte Y (CTE DB SE-A, Artículo 6.2.4)

La comprobación no procede, ya que no hay esfuerzo cortante.

Resistencia a momento flector Y y fuerza cortante Z combinados (CTE DB SE-A, Artículo 6.2.8)

No hay interacción entre momento flector y esfuerzo cortante para ninguna combinación. Por lo tanto, la comprobación no procede.

Resistencia a momento flector Z y fuerza cortante Y combinados (CTE DB SE-A, Artículo 6.2.8)

No hay interacción entre momento flector y esfuerzo cortante para ninguna combinación. Por lo tanto, la comprobación no procede.

Resistencia a flexión y axil combinados (CTE DB SE-A, Artículo 6.2.8)

No hay interacción entre axil y momento flector ni entre momentos flectores en ambas direcciones para ninguna combinación. Por lo tanto, la comprobación no procede.

Resistencia a flexión, axil y cortante combinados (CTE DB SE-A, Artículo 6.2.8)

No hay interacción entre momento flector, axil y cortante para ninguna combinación. Por lo tanto, la comprobación no procede.

Resistencia a torsión (CTE DB SE-A, Artículo 6.2.7)

La comprobación no procede, ya que no hay momento torsor.

$$N_{cr,y} = \frac{\pi^2 \cdot E \cdot I_y}{L_{ky}^2}$$

b) Axil crítico elástico de pandeo por flexión respecto al eje Z.

$$N_{cr,z} : 454.71 \text{ kN}$$

$$N_{cr,z} = \frac{\pi^2 \cdot E \cdot I_z}{L_{kz}^2}$$

c) Axil crítico elástico de pandeo por torsión.

$$N_{cr,T} : \infty$$

$$N_{cr,T} = \frac{1}{i_0^2} \cdot \left[G \cdot I_t + \frac{\pi^2 \cdot E \cdot I_w}{L_{kt}^2} \right]$$

Donde:

I_y : Momento de inercia de la sección bruta, respecto al eje Y.

$$I_y : 548.47 \text{ cm}^4$$

I_z : Momento de inercia de la sección bruta, respecto al eje Z.

$$I_z : 548.47 \text{ cm}^4$$

I_t : Momento de inercia a torsión uniforme.

$$I_t : 915.09 \text{ cm}^4$$

I_w : Constante de alabeo de la sección.

$$I_w : 0.00 \text{ cm}^6$$

E : Módulo de elasticidad.

$$E : 210000 \text{ MPa}$$

G : Módulo de elasticidad transversal.

$$G : 81000 \text{ MPa}$$

L_{ky} : Longitud efectiva de pandeo por flexión, respecto al eje Y.

$$L_{ky} : 5.000 \text{ m}$$

L_{kz} : Longitud efectiva de pandeo por flexión, respecto al eje Z.

$$L_{kz} : 5.000 \text{ m}$$

L_{kt} : Longitud efectiva de pandeo por torsión.

$$L_{kt} : 0.000 \text{ m}$$

i_0 : Radio de giro polar de la sección bruta, respecto al centro de torsión.

$$i_0 : 6.48 \text{ cm}$$

$$i_0 = \left(i_y^2 + i_z^2 + y_0^2 + z_0^2 \right)^{0.5}$$

Siendo:

i_y, i_z : Radios de giro de la sección bruta, respecto a los ejes principales de inercia Y y Z.

$$i_y : 4.58 \text{ cm}$$

$$i_z : 4.58 \text{ cm}$$

y_0, z_0 : Coordenadas del centro de torsión en la dirección de los ejes principales Y y Z, respectivamente, relativas al centro de gravedad de la sección.

$$y_0 : 0.00 \text{ mm}$$

$$z_0 : 0.00 \text{ mm}$$

Abolladura del alma inducida por el ala comprimida (Criterio de CYPE Ingenieros, basado en: Eurocódigo 3 EN 1993-1-5: 2006, Artículo 8)

Se debe satisfacer:

$$\frac{h_w}{t_w} \leq k \frac{E}{f_{yf}} \sqrt{\frac{A_w}{A_{fc,ef}}}$$

$$18.00 \leq 307.36 \checkmark$$

Donde:

h_w : Altura del alma.

$$h_w : 108.00 \text{ mm}$$

t_w : Espesor del alma.

A_w : Área del alma.

$A_{fc,ef}$: Área reducida del ala comprimida.

k : Coeficiente que depende de la clase de la sección.

E : Módulo de elasticidad.

f_{yf} : Límite elástico del acero del ala comprimida.

Siendo:

$$f_{yf} = f_y$$

$$t_w : \underline{6.00} \text{ mm}$$

$$A_w : \underline{12.96} \text{ cm}^2$$

$$A_{fc,ef} : \underline{7.20} \text{ cm}^2$$

$$k : \underline{0.30}$$

$$E : \underline{210000} \text{ MPa}$$

$$f_{yf} : \underline{275.00} \text{ MPa}$$

Resistencia a tracción (CTE DB SE-A, Artículo 6.2.3)

Se debe satisfacer:

$$\eta = \frac{N_{t,Ed}}{N_{t,Rd}} \leq 1$$

$$\eta : \underline{0.064} \checkmark$$

El esfuerzo solicitante de cálculo pésimo se produce para la combinación de acciones $0.8 \cdot PP + 1.5 \cdot V(0^\circ)H3 + 0.75 \cdot N(R)2$.

$N_{t,Ed}$: Axil de tracción solicitante de cálculo pésimo.

$$N_{t,Ed} : \underline{43.58} \text{ kN}$$

La resistencia de cálculo a tracción $N_{t,Rd}$ viene dada por:

$$N_{t,Rd} = A \cdot f_{yd}$$

$$N_{t,Rd} : \underline{683.44} \text{ kN}$$

Donde:

A : Área bruta de la sección transversal de la barra.

$$A : \underline{26.09} \text{ cm}^2$$

f_{yd} : Resistencia de cálculo del acero.

$$f_{yd} : \underline{261.90} \text{ MPa}$$

$$f_{yd} = f_y / \gamma_{M0}$$

Siendo:

f_y : Límite elástico. (CTE DB SE-A, Tabla 4.1)

$$f_y : \underline{275.00} \text{ MPa}$$

γ_{M0} : Coeficiente parcial de seguridad del material.

$$\gamma_{M0} : \underline{1.05}$$

Resistencia a compresión (CTE DB SE-A, Artículo 6.2.5)

Se debe satisfacer:

$$\eta = \frac{N_{c,Ed}}{N_{c,Rd}} \leq 1$$

$$\eta : \underline{0.099} \checkmark$$

$$\eta = \frac{N_{c,Ed}}{N_{b,Rd}} \leq 1$$

$$\eta : \underline{0.244} \checkmark$$

El esfuerzo solicitante de cálculo pésimo se produce para la combinación de acciones $1.35 \cdot PP + 1.5 \cdot V(90^\circ)H2 + 0.75 \cdot N(EI)$.

$N_{c,Ed}$: Axil de compresión solicitante de cálculo pésimo.

$$N_{c,Ed} : \underline{67.95} \text{ kN}$$

La resistencia de cálculo a compresión $N_{c,Rd}$ viene dada por:

$$N_{c,Rd} = A \cdot f_{yd}$$

$$N_{c,Rd} : 683.44 \text{ kN}$$

Donde:

Clase: Clase de la sección, según la capacidad de deformación y de desarrollo de la resistencia plástica de los elementos planos comprimidos de una sección.

$$\text{Clase} : 1$$

A: Área de la sección bruta para las secciones de clase 1, 2 y 3.

$$A : 26.09 \text{ cm}^2$$

f_{yd} : Resistencia de cálculo del acero.

$$f_{yd} : 261.90 \text{ MPa}$$

$$f_{yd} = f_y / \gamma_{M0}$$

Siendo:

f_y : Límite elástico. (CTE DB SE-A, Tabla 4.1)

$$f_y : 275.00 \text{ MPa}$$

γ_{M0} : Coeficiente parcial de seguridad del material.

$$\gamma_{M0} : 1.05$$

Resistencia a pandeo: (CTE DB SE-A, Artículo 6.3.2)

La resistencia de cálculo a pandeo $N_{b,Rd}$ en una barra comprimida viene dada por:

$$N_{b,Rd} = \chi \cdot A \cdot f_{yd}$$

$$N_{b,Rd} : 278.71 \text{ kN}$$

Donde:

A: Área de la sección bruta para las secciones de clase 1, 2 y 3.

$$A : 26.09 \text{ cm}^2$$

f_{yd} : Resistencia de cálculo del acero.

$$f_{yd} : 261.90 \text{ MPa}$$

$$f_{yd} = f_y / \gamma_{M1}$$

Siendo:

f_y : Límite elástico. (CTE DB SE-A, Tabla 4.1)

$$f_y : 275.00 \text{ MPa}$$

γ_{M1} : Coeficiente parcial de seguridad del material.

$$\gamma_{M1} : 1.05$$

χ : Coeficiente de reducción por pandeo.

$$\chi = \frac{1}{\Phi + \sqrt{\Phi^2 - (\bar{\lambda})^2}} \leq 1$$

$$\chi_y : 0.41$$

$$\chi_z : 0.41$$

Siendo:

$$\Phi = 0.5 \cdot \left[1 + \alpha \cdot (\bar{\lambda} - 0.2) + (\bar{\lambda})^2 \right]$$

$$\phi_y : 1.55$$

$$\phi_z : 1.55$$

α : Coeficiente de imperfección elástica.

$$\alpha_y : 0.49$$

$$\alpha_z : 0.49$$

$\bar{\lambda}$: Esbeltez reducida.

$$\bar{\lambda} = \sqrt{\frac{A \cdot f_y}{N_{cr}}}$$

$$\bar{\lambda}_y : 1.26$$

$$\bar{\lambda}_z : 1.26$$

N_{cr}: Axil crítico elástico de pandeo, obtenido como el menor de los siguientes valores:

$$N_{cr} : 454.71 \text{ kN}$$

N_{cr,y}: Axil crítico elástico de pandeo por flexión respecto al eje Y.

$$N_{cr,y} : 454.71 \text{ kN}$$

N_{cr,z}: Axil crítico elástico de pandeo por flexión respecto al eje Z.

$$N_{cr,z} : 454.71 \text{ kN}$$

N_{cr,T}: Axil crítico elástico de pandeo por torsión.

$$N_{cr,T} : \infty$$

Resistencia a flexión eje Y (CTE DB SE-A, Artículo 6.2.6)

Se debe satisfacer:

$$\eta = \frac{M_{Ed}}{M_{c,Rd}} \leq 1$$

$$\eta : 0.030 \checkmark$$

Para flexión positiva:

El esfuerzo solicitante de cálculo pésimo se produce en un punto situado a una distancia de 2.500 m del nudo N737, para la combinación de acciones 1.35·PP.

M_{Ed}⁺: Momento flector solicitante de cálculo pésimo.

$$M_{Ed}^+ : 0.85 \text{ kN}\cdot\text{m}$$

Para flexión negativa:

M_{Ed}⁻: Momento flector solicitante de cálculo pésimo.

$$M_{Ed}^- : 0.00 \text{ kN}\cdot\text{m}$$

El momento flector resistente de cálculo **M_{c,Rd}** viene dado por:

$$M_{c,Rd} = W_{pl,y} \cdot f_{yd}$$

$$M_{c,Rd} : 28.67 \text{ kN}\cdot\text{m}$$

Donde:

Clase: Clase de la sección, según la capacidad de deformación y de desarrollo de la resistencia plástica de los elementos planos de una sección a flexión simple.

$$\text{Clase} : 1$$

W_{pl,y}: Módulo resistente plástico correspondiente a la fibra con mayor tensión, para las secciones de clase 1 y 2.

$$W_{pl,y} : 109.48 \text{ cm}^3$$

f_{yd}: Resistencia de cálculo del acero.

$$f_{yd} : 261.90 \text{ MPa}$$

$$f_{yd} = f_y / \gamma_{M0}$$

Siendo:

f_y: Límite elástico. (CTE DB SE-A, Tabla 4.1)

$$f_y : 275.00 \text{ MPa}$$

γ_{M0}: Coeficiente parcial de seguridad del material.

$$\gamma_{M0} : 1.05$$

Resistencia a flexión eje Z (CTE DB SE-A, Artículo 6.2.6)

La comprobación no procede, ya que no hay momento flector.

Resistencia a corte Z (CTE DB SE-A, Artículo 6.2.4)

Se debe satisfacer:

$$\eta = \frac{V_{Ed}}{V_{c,Rd}} \leq 1$$

$$\eta : 0.003 \checkmark$$

El esfuerzo solicitante de cálculo pésimo se produce en el nudo N737, para la combinación de acciones 1.35·PP.

V_{Ed}: Esfuerzo cortante solicitante de cálculo pésimo.

$$V_{Ed} : 0.68 \text{ kN}$$

El esfuerzo cortante resistente de cálculo $V_{c,Rd}$ viene dado por:

$$V_{c,Rd} = A_v \cdot \frac{f_{yd}}{\sqrt{3}}$$

$$V_{c,Rd} : 195.97 \text{ kN}$$

Donde:

A_v : Área transversal a cortante.

$$A_v : 12.96 \text{ cm}^2$$

$$A_v = 2 \cdot d \cdot t_w$$

Siendo:

d : Altura del alma.

$$d : 108.00 \text{ mm}$$

t_w : Espesor del alma.

$$t_w : 6.00 \text{ mm}$$

f_{yd} : Resistencia de cálculo del acero.

$$f_{yd} : 261.90 \text{ MPa}$$

$$f_{yd} = f_y / \gamma_{M0}$$

Siendo:

f_y : Límite elástico. (CTE DB SE-A, Tabla 4.1)

$$f_y : 275.00 \text{ MPa}$$

γ_{M0} : Coeficiente parcial de seguridad del material.

$$\gamma_{M0} : 1.05$$

Abolladura por cortante del alma: (CTE DB SE-A, Artículo 6.3.3.4)

Aunque no se han dispuesto rigidizadores transversales, no es necesario comprobar la resistencia a la abolladura del alma, puesto que se cumple:

$$\frac{d}{t_w} < 70 \cdot \varepsilon$$

$$18.00 < 64.71$$



Donde:

λ_w : Esbeltez del alma.

$$\lambda_w : 18.00$$

$$\lambda_w = \frac{d}{t_w}$$

$\lambda_{m\acute{a}x}$: Esbeltez máxima.

$$\lambda_{m\acute{a}x} : 64.71$$

ε : Factor de reducción.

$$\varepsilon : 0.92$$

$$\varepsilon = \sqrt{\frac{f_{ref}}{f_y}}$$

Siendo:

f_{ref} : Límite elástico de referencia.

$$f_{ref} : 235.00 \text{ MPa}$$

f_y : Límite elástico. (CTE DB SE-A, Tabla 4.1)

$$f_y : 275.00 \text{ MPa}$$

Resistencia a corte Y (CTE DB SE-A, Artículo 6.2.4)

La comprobación no procede, ya que no hay esfuerzo cortante.

Resistencia a momento flector Y y fuerza cortante Z combinados (CTE DB SE-A, Artículo 6.2.8)

No es necesario reducir la resistencia de cálculo a flexión, ya que el esfuerzo cortante solicitante de cálculo pésimo V_{Ed} no es superior al 50% de la resistencia de cálculo a cortante $V_{c,Rd}$.

$$V_{Ed} \leq \frac{V_{c,Rd}}{2}$$

$$0.59 \text{ kN} \leq 97.98 \text{ kN}$$



Los esfuerzos solicitantes de cálculo pésimos se producen en un punto situado a una distancia de 0.313 m del nudo N737, para la combinación de acciones 1.35·PP.

V_{Ed} : Esfuerzo cortante solicitante de cálculo pésimo.

$$V_{Ed} : 0.59 \text{ kN}$$

$V_{c,Rd}$: Esfuerzo cortante resistente de cálculo.

$$V_{c,Rd} : 195.97 \text{ kN}$$

Resistencia a momento flector Z y fuerza cortante Y combinados (CTE DB SE-A, Artículo 6.2.8)

No hay interacción entre momento flector y esfuerzo cortante para ninguna combinación. Por lo tanto, la comprobación no procede.

Resistencia a flexión y axil combinados (CTE DB SE-A, Artículo 6.2.8)

Se debe satisfacer:

$$\eta = \frac{N_{c,Ed}}{N_{pl,Rd}} + \frac{M_{y,Ed}}{M_{pl,Rd,y}} + \frac{M_{z,Ed}}{M_{pl,Rd,z}} \leq 1$$

$$\eta : 0.129$$



$$\eta = \frac{N_{c,Ed}}{\chi_y \cdot A \cdot f_{yd}} + k_y \cdot \frac{c_{m,y} \cdot M_{y,Ed}}{\chi_{LT} \cdot W_{pl,y} \cdot f_{yd}} + \alpha_z \cdot k_z \cdot \frac{c_{m,z} \cdot M_{z,Ed}}{W_{pl,z} \cdot f_{yd}} \leq 1$$

$$\eta : 0.279$$



$$\eta = \frac{N_{c,Ed}}{\chi_z \cdot A \cdot f_{yd}} + \alpha_y \cdot k_y \cdot \frac{c_{m,y} \cdot M_{y,Ed}}{W_{pl,y} \cdot f_{yd}} + k_z \cdot \frac{c_{m,z} \cdot M_{z,Ed}}{W_{pl,z} \cdot f_{yd}} \leq 1$$

$$\eta : 0.265$$



Los esfuerzos solicitantes de cálculo pésimos se producen en un punto situado a una distancia de 2.500 m del nudo N737, para la combinación de acciones 1.35·PP+1.5·V(90°)H2+0.75·N(EI).

Donde:

$N_{c,Ed}$: Axil de compresión solicitante de cálculo pésimo.

$$N_{c,Ed} : 67.95 \text{ kN}$$

$M_{y,Ed}$, $M_{z,Ed}$: Momentos flectores solicitantes de cálculo pésimos, según los ejes Y y Z, respectivamente.

$$M_{y,Ed}^+ : 0.85 \text{ kN}\cdot\text{m}$$

$$M_{z,Ed}^+ : 0.00 \text{ kN}\cdot\text{m}$$

Clase: Clase de la sección, según la capacidad de deformación y de desarrollo de la resistencia plástica de sus elementos planos, para axil y flexión simple.

$$\text{Clase} : 1$$

$N_{pl,Rd}$: Resistencia a compresión de la sección bruta.

$$N_{pl,Rd} : 683.44 \text{ kN}$$

$M_{pl,Rd,y}$, $M_{pl,Rd,z}$: Resistencia a flexión de la sección bruta en condiciones plásticas, respecto a los ejes Y y Z, respectivamente.

$$M_{pl,Rd,y} : 28.67 \text{ kN}\cdot\text{m}$$

$$M_{pl,Rd,z} : 28.67 \text{ kN}\cdot\text{m}$$

Resistencia a pandeo: (CTE DB SE-A, Artículo 6.3.4.2)

A: Área de la sección bruta.

$$A : 26.09 \text{ cm}^2$$

$W_{pl,y}$, $W_{pl,z}$: Módulos resistentes plásticos correspondientes a la fibra comprimida, alrededor de los ejes Y y Z, respectivamente.

$$W_{pl,y} : 109.48 \text{ cm}^3$$

$$W_{pl,z} : 109.48 \text{ cm}^3$$

f_{yd} : Resistencia de cálculo del acero.

$$f_{yd} : 261.90 \text{ MPa}$$

$$f_{yd} = f_y / \gamma_{M1}$$

Siendo:

f_y : Límite elástico. (CTE DB SE-A, Tabla 4.1)

$$f_y : 275.00 \text{ MPa}$$

γ_{M1} : Coeficiente parcial de seguridad del material.

$$\gamma_{M1} : 1.05$$

k_y , k_z : Coeficientes de interacción.

$$k_y = 1 + (\bar{\lambda}_y - 0.2) \cdot \frac{N_{c,Ed}}{\chi_y \cdot N_{c,Rd}}$$

$$k_y : 1.20$$

$$k_z = 1 + (\bar{\lambda}_z - 0.2) \cdot \frac{N_{c,Ed}}{\chi_z \cdot N_{c,Rd}}$$

$$k_z : 1.20$$

$C_{m,y}$, $C_{m,z}$: Factores de momento flector uniforme equivalente.

$$C_{m,y} : 1.00$$

$$C_{m,z} : 1.00$$

χ_y , χ_z : Coeficientes de reducción por pandeo, alrededor de los ejes Y y Z, respectivamente.

$$\chi_y : 0.41$$

$$\chi_z : 0.41$$

$\bar{\lambda}_y$, $\bar{\lambda}_z$: Esbelteces reducidas con valores no mayores que 1.00, en relación a los ejes Y y Z, respectivamente.

$$\bar{\lambda}_y : 1.26$$

$$\bar{\lambda}_z : 1.26$$

α_y , α_z : Factores dependientes de la clase de la sección.

$$\alpha_y : 0.60$$

$$\alpha_z : 0.60$$

Resistencia a flexión, axil y cortante combinados (CTE DB SE-A, Artículo 6.2.8)

No es necesario reducir las resistencias de cálculo a flexión y a axil, ya que se puede ignorar el efecto de abolladura por esfuerzo cortante y, además, el esfuerzo cortante solicitante de cálculo pésimo **V_{Ed}** es menor o igual que el 50% del esfuerzo cortante resistente de cálculo **$V_{c,Rd}$** .

Los esfuerzos solicitantes de cálculo pésimos se producen en un punto situado a una distancia de 0.313 m del nudo N737, para la combinación de acciones 1.35·PP.

$$V_{Ed,z} \leq \frac{V_{c,Rd,z}}{2}$$

$$0.59 \text{ kN} \leq 97.98 \text{ kN}$$



Donde:

$V_{Ed,z}$: Esfuerzo cortante solicitante de cálculo pésimo.

$$V_{Ed,z} : 0.59 \text{ kN}$$

$V_{c,Rd,z}$: Esfuerzo cortante resistente de cálculo.

$$V_{c,Rd,z} : 195.97 \text{ kN}$$

Resistencia a torsión (CTE DB SE-A, Artículo 6.2.7)

La comprobación no procede, ya que no hay momento torsor.

El esfuerzo solicitante de cálculo pésimo se produce para la combinación de acciones $1.35 \cdot PP + 1.5 \cdot V(270^\circ)H2 + 0.75 \cdot N(EI)$.

$N_{t,Ed}$: Axil de tracción solicitante de cálculo pésimo.

$N_{t,Ed}$: 15.23 kN

La resistencia de cálculo a tracción $N_{t,Rd}$ viene dada por:

$$N_{t,Rd} = A \cdot f_{yd}$$

$N_{t,Rd}$: 242.82 kN

Donde:

A : Área bruta de la sección transversal de la barra.

A : 9.62 cm²

f_{yd} : Resistencia de cálculo del acero.

f_{yd} : 252.38 MPa

$$f_{yd} = f_y / \gamma_{M0}$$

Siendo:

f_y : Límite elástico. (CTE DB SE-A, Tabla 4.1)

f_y : 265.00 MPa

γ_{M0} : Coeficiente parcial de seguridad del material.

γ_{M0} : 1.05

Resistencia a compresión (CTE DB SE-A, Artículo 6.2.5)

La comprobación no procede, ya que no hay axil de compresión.

Resistencia a flexión eje Y (CTE DB SE-A, Artículo 6.2.6)

La comprobación no procede, ya que no hay momento flector.

Resistencia a flexión eje Z (CTE DB SE-A, Artículo 6.2.6)

La comprobación no procede, ya que no hay momento flector.

Resistencia a corte Z (CTE DB SE-A, Artículo 6.2.4)

La comprobación no procede, ya que no hay esfuerzo cortante.

Resistencia a corte Y (CTE DB SE-A, Artículo 6.2.4)

La comprobación no procede, ya que no hay esfuerzo cortante.

Resistencia a momento flector Y y fuerza cortante Z combinados (CTE DB SE-A, Artículo 6.2.8)

No hay interacción entre momento flector y esfuerzo cortante para ninguna combinación. Por lo tanto, la comprobación no procede.

Resistencia a momento flector Z y fuerza cortante Y combinados (CTE DB SE-A, Artículo 6.2.8)

No hay interacción entre momento flector y esfuerzo cortante para ninguna combinación. Por lo tanto, la comprobación no procede.

Resistencia a flexión y axil combinados (CTE DB SE-A, Artículo 6.2.8)

No hay interacción entre axil y momento flector ni entre momentos flectores en ambas direcciones para ninguna combinación. Por lo tanto, la comprobación no procede.

A: Área de la sección bruta para las secciones de clase 1, 2 y 3.

A : 11.60 cm²

f_y: Límite elástico. (CTE DB SE-A, Tabla 4.1)

f_y : 275.00 MPa

N_{cr}: Axil crítico de pandeo elástico.

N_{cr} : 89.82 kN

El axil crítico de pandeo elástico **N_{cr}** es el menor de los valores obtenidos en a), b) y c):

a) Axil crítico elástico de pandeo por flexión respecto al eje Y.

N_{cr,y} : 89.82 kN

$$N_{cr,y} = \frac{\pi^2 \cdot E \cdot I_y}{L_{ky}^2}$$

b) Axil crítico elástico de pandeo por flexión respecto al eje Z.

N_{cr,z} : 89.82 kN

$$N_{cr,z} = \frac{\pi^2 \cdot E \cdot I_z}{L_{kz}^2}$$

c) Axil crítico elástico de pandeo por torsión.

N_{cr,T} : ∞

$$N_{cr,T} = \frac{1}{i_0^2} \cdot \left[G \cdot I_t + \frac{\pi^2 \cdot E \cdot I_w}{L_{kt}^2} \right]$$

Donde:

I_y: Momento de inercia de la sección bruta, respecto al eje Y.

I_y : 108.34 cm⁴

I_z: Momento de inercia de la sección bruta, respecto al eje Z.

I_z : 108.34 cm⁴

I_t: Momento de inercia a torsión uniforme.

I_t : 180.76 cm⁴

I_w: Constante de alabeo de la sección.

I_w : 0.00 cm⁶

E: Módulo de elasticidad.

E : 210000 MPa

G: Módulo de elasticidad transversal.

G : 81000 MPa

L_{ky}: Longitud efectiva de pandeo por flexión, respecto al eje Y.

L_{ky} : 5.000 m

L_{kz}: Longitud efectiva de pandeo por flexión, respecto al eje Z.

L_{kz} : 5.000 m

L_{kt}: Longitud efectiva de pandeo por torsión.

L_{kt} : 0.000 m

i₀: Radio de giro polar de la sección bruta, respecto al centro de torsión.

i₀ : 4.32 cm

$$i_0 = \left(i_y^2 + i_z^2 + y_0^2 + z_0^2 \right)^{0.5}$$

Siendo:

i_y , i_z: Radios de giro de la sección bruta, respecto a los ejes principales de inercia Y y Z.

i_y : 3.06 cm

i_z : 3.06 cm

y₀ , z₀: Coordenadas del centro de torsión en la dirección de los ejes principales Y y Z, respectivamente, relativas al centro de gravedad de la sección.

y₀ : 0.00 mm

z₀ : 0.00 mm

Abolladura del alma inducida por el ala comprimida (Criterio de CYPE Ingenieros, basado en: Eurocódigo 3 EN 1993-1-5: 2006, Artículo 8)

Se debe satisfacer:

$$\frac{h_w}{t_w} \leq k \frac{E}{f_{yf}} \sqrt{\frac{A_w}{A_{fc,ef}}}$$

$$18.00 \leq 307.36 \quad \checkmark$$

Donde:

h_w : Altura del alma.

t_w : Espesor del alma.

A_w : Área del alma.

$A_{fc,ef}$: Área reducida del ala comprimida.

k : Coeficiente que depende de la clase de la sección.

E : Módulo de elasticidad.

f_{yf} : Límite elástico del acero del ala comprimida.

Siendo:

$$f_{yf} = f_y$$

$$h_w : 72.00 \text{ mm}$$

$$t_w : 4.00 \text{ mm}$$

$$A_w : 5.76 \text{ cm}^2$$

$$A_{fc,ef} : 3.20 \text{ cm}^2$$

$$k : 0.30$$

$$E : 210000 \text{ MPa}$$

$$f_{yf} : 275.00 \text{ MPa}$$

Resistencia a tracción (CTE DB SE-A, Artículo 6.2.3)

Se debe satisfacer:

$$\eta = \frac{N_{t,Ed}}{N_{t,Rd}} \leq 1$$

$$\eta : 0.027 \quad \checkmark$$

El esfuerzo solicitante de cálculo pésimo se produce para la combinación de acciones $1.35 \cdot PP + 1.5 \cdot V(180^\circ)H3 + 0.75 \cdot N(EI)$.

$N_{t,Ed}$: Axil de tracción solicitante de cálculo pésimo.

$$N_{t,Ed} : 8.12 \text{ kN}$$

La resistencia de cálculo a tracción $N_{t,Rd}$ viene dada por:

$$N_{t,Rd} = A \cdot f_{yd}$$

$$N_{t,Rd} : 303.75 \text{ kN}$$

Donde:

A : Área bruta de la sección transversal de la barra.

$$A : 11.60 \text{ cm}^2$$

f_{yd} : Resistencia de cálculo del acero.

$$f_{yd} : 261.90 \text{ MPa}$$

$$f_{yd} = f_y / \gamma_{M0}$$

Siendo:

f_y : Límite elástico. (CTE DB SE-A, Tabla 4.1)

$$f_y : 275.00 \text{ MPa}$$

γ_{M0} : Coeficiente parcial de seguridad del material.

$$\gamma_{M0} : 1.05$$

Resistencia a compresión (CTE DB SE-A, Artículo 6.2.5)

Se debe satisfacer:

$$\eta = \frac{N_{c,Ed}}{N_{c,Rd}} \leq 1$$

$$\eta : 0.055 \quad \checkmark$$

$$\eta = \frac{N_{c,Ed}}{N_{b,Rd}} \leq 1$$

$\eta : \underline{0.253}$ ✓

El esfuerzo solicitante de cálculo pésimo se produce para la combinación de acciones 0.8·PP+1.5·V(270°)H2.

N_{c,Ed}: Axil de compresión solicitante de cálculo pésimo.

N_{c,Ed} : 16.67 kN

La resistencia de cálculo a compresión **N_{c,Rd}** viene dada por:

$$N_{c,Rd} = A \cdot f_{yd}$$

N_{c,Rd} : 303.75 kN

Donde:

Clase: Clase de la sección, según la capacidad de deformación y de desarrollo de la resistencia plástica de los elementos planos comprimidos de una sección.

Clase : 1

A: Área de la sección bruta para las secciones de clase 1, 2 y 3.

A : 11.60 cm²

f_{yd}: Resistencia de cálculo del acero.

f_{yd} : 261.90 MPa

$$f_{yd} = f_y / \gamma_{M0}$$

Siendo:

f_y: Límite elástico. (CTE DB SE-A, Tabla 4.1)

f_y : 275.00 MPa

γ_{M0}: Coeficiente parcial de seguridad del material.

γ_{M0} : 1.05

Resistencia a pandeo: (CTE DB SE-A, Artículo 6.3.2)

La resistencia de cálculo a pandeo **N_{b,Rd}** en una barra comprimida viene dada por:

$$N_{b,Rd} = \chi \cdot A \cdot f_{yd}$$

N_{b,Rd} : 65.96 kN

Donde:

A: Área de la sección bruta para las secciones de clase 1, 2 y 3.

A : 11.60 cm²

f_{yd}: Resistencia de cálculo del acero.

f_{yd} : 261.90 MPa

$$f_{yd} = f_y / \gamma_{M1}$$

Siendo:

f_y: Límite elástico. (CTE DB SE-A, Tabla 4.1)

f_y : 275.00 MPa

γ_{M1}: Coeficiente parcial de seguridad del material.

γ_{M1} : 1.05

χ: Coeficiente de reducción por pandeo.

$$\chi = \frac{1}{\Phi + \sqrt{\Phi^2 - (\bar{\lambda})^2}} \leq 1$$

χ_y : 0.22

χ_z : 0.22

Siendo:

φ_y : 2.69

$$\Phi = 0.5 \cdot \left[1 + \alpha \cdot (\bar{\lambda} - 0.2) + (\bar{\lambda})^2 \right]$$

$$\phi_z : 2.69$$

α : Coeficiente de imperfección elástica.

$$\alpha_y : 0.49$$

$$\alpha_z : 0.49$$

$\bar{\lambda}$: Esbeltez reducida.

$$\bar{\lambda} = \sqrt{\frac{A \cdot f_y}{N_{cr}}}$$

$$\bar{\lambda}_y : 1.88$$

$$\bar{\lambda}_z : 1.88$$

N_{cr} : Axil crítico elástico de pandeo, obtenido como el menor de los siguientes valores:

$$N_{cr} : 89.82 \text{ kN}$$

$N_{cr,y}$: Axil crítico elástico de pandeo por flexión respecto al eje Y.

$$N_{cr,y} : 89.82 \text{ kN}$$

$N_{cr,z}$: Axil crítico elástico de pandeo por flexión respecto al eje Z.

$$N_{cr,z} : 89.82 \text{ kN}$$

$N_{cr,T}$: Axil crítico elástico de pandeo por torsión.

$$N_{cr,T} : \infty$$

Resistencia a flexión eje Y (CTE DB SE-A, Artículo 6.2.6)

Se debe satisfacer:

$$\eta = \frac{M_{Ed}}{M_{c,Rd}} \leq 1$$

$$\eta : 0.044 \checkmark$$

Para flexión positiva:

El esfuerzo solicitante de cálculo pésimo se produce en un punto situado a una distancia de 2.500 m del nudo N532, para la combinación de acciones 1.35·PP.

M_{Ed}^+ : Momento flector solicitante de cálculo pésimo.

$$M_{Ed}^+ : 0.38 \text{ kN}\cdot\text{m}$$

Para flexión negativa:

M_{Ed}^- : Momento flector solicitante de cálculo pésimo.

$$M_{Ed}^- : 0.00 \text{ kN}\cdot\text{m}$$

El momento flector resistente de cálculo $M_{c,Rd}$ viene dado por:

$$M_{c,Rd} = W_{pl,y} \cdot f_{yd}$$

$$M_{c,Rd} : 8.50 \text{ kN}\cdot\text{m}$$

Donde:

Clase: Clase de la sección, según la capacidad de deformación y de desarrollo de la resistencia plástica de los elementos planos de una sección a flexión simple.

$$\text{Clase} : 1$$

$W_{pl,y}$: Módulo resistente plástico correspondiente a la fibra con mayor tensión, para las secciones de clase 1 y 2.

$$W_{pl,y} : 32.44 \text{ cm}^3$$

f_{yd} : Resistencia de cálculo del acero.

$$f_{yd} : 261.90 \text{ MPa}$$

$$f_{yd} = f_y / \gamma_{M0}$$

Siendo:

f_y : Límite elástico. (CTE DB SE-A, Tabla 4.1)

$$f_y : 275.00 \text{ MPa}$$

γ_{M0} : Coeficiente parcial de seguridad del material.

$$\gamma_{M0} : 1.05$$

Resistencia a flexión eje Z (CTE DB SE-A, Artículo 6.2.6)

La comprobación no procede, ya que no hay momento flector.

Resistencia a corte Z (CTE DB SE-A, Artículo 6.2.4)

Se debe satisfacer:

$$\eta = \frac{V_{Ed}}{V_{c,Rd}} \leq 1$$

$$\eta : \underline{0.003} \quad \checkmark$$

El esfuerzo solicitante de cálculo pésimo se produce en el nudo N532, para la combinación de acciones 1.35·PP.

V_{Ed}: Esfuerzo cortante solicitante de cálculo pésimo.

$$V_{Ed} : \underline{0.30} \text{ kN}$$

El esfuerzo cortante resistente de cálculo **V_{c,Rd}** viene dado por:

$$V_{c,Rd} = A_v \cdot \frac{f_{yd}}{\sqrt{3}}$$

$$V_{c,Rd} : \underline{87.10} \text{ kN}$$

Donde:

A_v: Área transversal a cortante.

$$A_v : \underline{5.76} \text{ cm}^2$$

$$A_v = 2 \cdot d \cdot t_w$$

Siendo:

d: Altura del alma.

$$d : \underline{72.00} \text{ mm}$$

t_w: Espesor del alma.

$$t_w : \underline{4.00} \text{ mm}$$

f_{yd}: Resistencia de cálculo del acero.

$$f_{yd} : \underline{261.90} \text{ MPa}$$

$$f_{yd} = f_y / \gamma_{M0}$$

Siendo:

f_y: Límite elástico. (CTE DB SE-A, Tabla 4.1)

$$f_y : \underline{275.00} \text{ MPa}$$

γ_{M0}: Coeficiente parcial de seguridad del material.

$$\gamma_{M0} : \underline{1.05}$$

Abolladura por cortante del alma: (CTE DB SE-A, Artículo 6.3.3.4)

Aunque no se han dispuesto rigidizadores transversales, no es necesario comprobar la resistencia a la abolladura del alma, puesto que se cumple:

$$\frac{d}{t_w} < 70 \cdot \epsilon$$

$$18.00 < 64.71 \quad \checkmark$$

Donde:

λ_w: Esbeltez del alma.

$$\lambda_w : \underline{18.00}$$

$$\lambda_w = \frac{d}{t_w}$$

$\lambda_{\text{máx}}$: Esbeltez máxima.

$\lambda_{\text{máx}}$: 64.71

ε : Factor de reducción.

ε : 0.92

$$\varepsilon = \sqrt{\frac{f_{\text{ref}}}{f_y}}$$

Siendo:

f_{ref} : Límite elástico de referencia.

f_{ref} : 235.00 MPa

f_y : Límite elástico. (CTE DB SE-A, Tabla 4.1)

f_y : 275.00 MPa

Resistencia a corte Y (CTE DB SE-A, Artículo 6.2.4)

La comprobación no procede, ya que no hay esfuerzo cortante.

Resistencia a momento flector Y y fuerza cortante Z combinados (CTE DB SE-A, Artículo 6.2.8)

No es necesario reducir la resistencia de cálculo a flexión, ya que el esfuerzo cortante solicitante de cálculo pésimo V_{Ed} no es superior al 50% de la resistencia de cálculo a cortante $V_{\text{c,Rd}}$.

$$V_{\text{Ed}} \leq \frac{V_{\text{c,Rd}}}{2}$$

0.26 kN ≤ 43.55 kN



Los esfuerzos solicitantes de cálculo pésimos se producen en un punto situado a una distancia de 0.313 m del nudo N532, para la combinación de acciones 1.35·PP.

V_{Ed} : Esfuerzo cortante solicitante de cálculo pésimo.

V_{Ed} : 0.26 kN

$V_{\text{c,Rd}}$: Esfuerzo cortante resistente de cálculo.

$V_{\text{c,Rd}}$: 87.10 kN

Resistencia a momento flector Z y fuerza cortante Y combinados (CTE DB SE-A, Artículo 6.2.8)

No hay interacción entre momento flector y esfuerzo cortante para ninguna combinación. Por lo tanto, la comprobación no procede.

Resistencia a flexión y axil combinados (CTE DB SE-A, Artículo 6.2.8)

Se debe satisfacer:

$$\eta = \frac{N_{\text{c,Ed}}}{N_{\text{pl,Rd}}} + \frac{M_{\text{y,Ed}}}{M_{\text{pl,Rd,y}}} + \frac{M_{\text{z,Ed}}}{M_{\text{pl,Rd,z}}} \leq 1$$

η : **0.096** ✓

$$\eta = \frac{N_{\text{c,Ed}}}{\chi_y \cdot A \cdot f_{\text{yd}}} + k_y \cdot \frac{C_{\text{m,y}} \cdot M_{\text{y,Ed}}}{\chi_{\text{LT}} \cdot W_{\text{pl,y}} \cdot f_{\text{yd}}} + \alpha_z \cdot k_z \cdot \frac{C_{\text{m,z}} \cdot M_{\text{z,Ed}}}{W_{\text{pl,z}} \cdot f_{\text{yd}}} \leq 1$$

η : **0.289** ✓

$$\eta = \frac{N_{c,Ed}}{\chi_z \cdot A \cdot f_{yd}} + \alpha_y \cdot k_y \cdot \frac{C_{m,y} \cdot M_{y,Ed}}{W_{pl,y} \cdot f_{yd}} + k_z \cdot \frac{C_{m,z} \cdot M_{z,Ed}}{W_{pl,z} \cdot f_{yd}} \leq 1$$

$\eta : 0.268$ ✓

Los esfuerzos solicitantes de cálculo pésimos se producen en un punto situado a una distancia de 2.500 m del nudo N532, para la combinación de acciones 1.35·PP+1.5·V(270°)H2.

Donde:

N_{c,Ed}: Axil de compresión solicitante de cálculo pésimo.

N_{c,Ed} : 15.61 kN

M_{y,Ed}, M_{z,Ed}: Momentos flectores solicitantes de cálculo pésimos, según los ejes Y y Z, respectivamente.

M_{y,Ed}⁺ : 0.38 kN·m

M_{z,Ed}⁺ : 0.00 kN·m

Clase: Clase de la sección, según la capacidad de deformación y de desarrollo de la resistencia plástica de sus elementos planos, para axil y flexión simple.

Clase : 1

N_{pl,Rd}: Resistencia a compresión de la sección bruta.

N_{pl,Rd} : 303.75 kN

M_{pl,Rd,y}, M_{pl,Rd,z}: Resistencia a flexión de la sección bruta en condiciones plásticas, respecto a los ejes Y y Z, respectivamente.

M_{pl,Rd,y} : 8.50 kN·m

M_{pl,Rd,z} : 8.50 kN·m

Resistencia a pandeo: (CTE DB SE-A, Artículo 6.3.4.2)

A: Área de la sección bruta.

A : 11.60 cm²

W_{pl,y}, W_{pl,z}: Módulos resistentes plásticos correspondientes a la fibra comprimida, alrededor de los ejes Y y Z, respectivamente.

W_{pl,y} : 32.44 cm³

W_{pl,z} : 32.44 cm³

f_{yd}: Resistencia de cálculo del acero.

f_{yd} : 261.90 MPa

$$f_{yd} = f_y / \gamma_{M1}$$

Siendo:

f_y: Límite elástico. (CTE DB SE-A, Tabla 4.1)

f_y : 275.00 MPa

γ_{M1}: Coeficiente parcial de seguridad del material.

γ_{M1} : 1.05

k_y, k_z: Coeficientes de interacción.

$$k_y = 1 + (\bar{\lambda}_y - 0.2) \cdot \frac{N_{c,Ed}}{\chi_y \cdot N_{c,Rd}}$$

k_y : 1.19

$$k_z = 1 + (\bar{\lambda}_z - 0.2) \cdot \frac{N_{c,Ed}}{\chi_z \cdot N_{c,Rd}}$$

k_z : 1.19

C_{m,y}, C_{m,z}: Factores de momento flector uniforme equivalente.

C_{m,y} : 1.00

C_{m,z} : 1.00

χ_y, χ_z: Coeficientes de reducción por pandeo, alrededor de los ejes Y y Z, respectivamente.

χ_y : 0.22

χ_z : 0.22

λ_y, λ_z: Esbelteces reducidas con valores no mayores que 1.00, en relación a los ejes Y y Z, respectivamente.

λ_y : 1.88

λ_z : 1.88

α_y, α_z: Factores dependientes de la clase de la sección.

α_y : 0.60

α_z : 0.60

Resistencia a flexión, axil y cortante combinados (CTE DB SE-A, Artículo 6.2.8)

No es necesario reducir las resistencias de cálculo a flexión y a axil, ya que se puede ignorar el efecto de abolladura por esfuerzo cortante y, además, el esfuerzo cortante solicitante de cálculo pésimo V_{Ed} es menor o igual que el 50% del esfuerzo cortante resistente de cálculo $V_{c,Rd}$.

Los esfuerzos solicitantes de cálculo pésimos se producen en un punto situado a una distancia de 0.313 m del nudo N532, para la combinación de acciones 1.35·PP.

$$V_{Ed,z} \leq \frac{V_{c,Rd,z}}{2}$$

$$0.26 \text{ kN} \leq 43.55 \text{ kN}$$



Donde:

$V_{Ed,z}$: Esfuerzo cortante solicitante de cálculo pésimo.

$$V_{Ed,z} : 0.26 \text{ kN}$$

$V_{c,Rd,z}$: Esfuerzo cortante resistente de cálculo.

$$V_{c,Rd,z} : 87.10 \text{ kN}$$

Resistencia a torsión (CTE DB SE-A, Artículo 6.2.7)

La comprobación no procede, ya que no hay momento torsor.

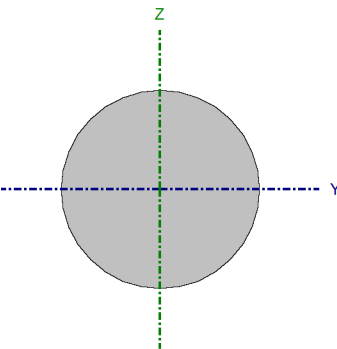
Resistencia a cortante Z y momento torsor combinados (CTE DB SE-A, Artículo 6.2.8)

No hay interacción entre momento torsor y esfuerzo cortante para ninguna combinación. Por lo tanto, la comprobación no procede.

Resistencia a cortante Y y momento torsor combinados (CTE DB SE-A, Artículo 6.2.8)

No hay interacción entre momento torsor y esfuerzo cortante para ninguna combinación. Por lo tanto, la comprobación no procede.

A1.2.8.2. Diagonal arriostramiento fachada exterior.

Perfil: R 18 Material: Acero (S275)							
	Nudos		Longitud (m)	Características mecánicas			
	Inicial	Final		Área (cm ²)	I _y ⁽¹⁾ (cm ⁴)	I _z ⁽¹⁾ (cm ⁴)	I _t ⁽²⁾ (cm ⁴)
	N1084	N571	7.134	2.54	0.52	0.52	1.03
	Notas: ⁽¹⁾ Inercia respecto al eje indicado ⁽²⁾ Momento de inercia a torsión uniforme						
		Pandeo		Pandeo lateral			
	Plano XY	Plano XZ	Ala sup.	Ala inf.			
β	0.00	0.00	0.00	0.00			
L _K	0.000	0.000	0.000	0.000			
C _m	1.000	1.000	1.000	1.000			
C ₁	-		1.000				
Notación: β: Coeficiente de pandeo L _K : Longitud de pandeo (m) C _m : Coeficiente de momentos C ₁ : Factor de modificación para el momento crítico							

Limitación de esbeltez (CTE DB SE-A, Artículos 6.3.1 y 6.3.2.1 - Tabla 6.3)

La esbeltez reducida $\bar{\lambda}$ de las barras comprimidas debe ser inferior al valor 4.0.

$$\bar{\lambda} = \sqrt{\frac{A \cdot f_y}{N_{cr}}}$$

$$\bar{\lambda} < \underline{0.01} \quad \checkmark$$

Donde:

Clase: Clase de la sección, según la capacidad de deformación y de desarrollo de la resistencia plástica de los elementos planos comprimidos de una sección.

Clase : 1

A: Área de la sección bruta para las secciones de clase 1, 2 y 3.

A : 2.54 cm²

f_y: Límite elástico. (CTE DB SE-A, Tabla 4.1)

f_y : 265.00 MPa

N_{cr}: Axil crítico elástico de pandeo mínimo, teniendo en cuenta que las longitudes de pandeo son nulas.

N_{cr} : ∞

Resistencia a tracción (CTE DB SE-A, Artículo 6.2.3)

Se debe satisfacer:

$$\eta = \frac{N_{t,Ed}}{N_{t,Rd}} \leq 1$$

$$\eta : \underline{0.225} \quad \checkmark$$

El esfuerzo solicitante de cálculo pésimo se produce en el nudo N571, para la combinación de acciones 0.8·PP+1.5·V(180°)H3.

N_{t,Ed}: Axil de tracción solicitante de cálculo pésimo.

N_{t,Ed} : 14.42 kN

La resistencia de cálculo a tracción **N_{t,Rd}** viene dada por:

$$N_{t,Rd} = A \cdot f_{yd}$$

N_{t,Rd} : 64.22 kN

Donde:

A: Área bruta de la sección transversal de la barra.

A : 2.54 cm²

f_{yd}: Resistencia de cálculo del acero.

f_{yd} : 252.38 MPa

$$f_{yd} = f_y / \gamma_{M0}$$

Siendo:

f_y: Límite elástico. (CTE DB SE-A, Tabla 4.1)

f_y : 265.00 MPa

γ_{M0}: Coeficiente parcial de seguridad del material.

γ_{M0} : 1.05

Resistencia a compresión (CTE DB SE-A, Artículo 6.2.5)

La comprobación no procede, ya que no hay axil de compresión.

Resistencia a flexión eje Y (CTE DB SE-A, Artículo 6.2.6)

La comprobación no procede, ya que no hay momento flector.

Resistencia a flexión eje Z (CTE DB SE-A, Artículo 6.2.6)

La comprobación no procede, ya que no hay momento flector.

Resistencia a corte Z (CTE DB SE-A, Artículo 6.2.4)

La comprobación no procede, ya que no hay esfuerzo cortante.

Resistencia a corte Y (CTE DB SE-A, Artículo 6.2.4)

La comprobación no procede, ya que no hay esfuerzo cortante.

Resistencia a momento flector Y y fuerza cortante Z combinados (CTE DB SE-A, Artículo 6.2.8)

No hay interacción entre momento flector y esfuerzo cortante para ninguna combinación. Por lo tanto, la comprobación no procede.

Resistencia a momento flector Z y fuerza cortante Y combinados (CTE DB SE-A, Artículo 6.2.8)

No hay interacción entre momento flector y esfuerzo cortante para ninguna combinación. Por lo tanto, la comprobación no procede.

Resistencia a flexión y axil combinados (CTE DB SE-A, Artículo 6.2.8)

No hay interacción entre axil y momento flector ni entre momentos flectores en ambas direcciones para ninguna combinación. Por lo tanto, la comprobación no procede.

Resistencia a flexión, axil y cortante combinados (CTE DB SE-A, Artículo 6.2.8)

No hay interacción entre momento flector, axil y cortante para ninguna combinación. Por lo tanto, la comprobación no procede.

Resistencia a torsión (CTE DB SE-A, Artículo 6.2.7)

La comprobación no procede, ya que no hay momento torsor.

Resistencia a cortante Z y momento torsor combinados (CTE DB SE-A, Artículo 6.2.8)

No hay interacción entre momento torsor y esfuerzo cortante para ninguna combinación. Por lo tanto, la comprobación no procede.

Resistencia a cortante Y y momento torsor combinados (CTE DB SE-A, Artículo 6.2.8)

No hay interacción entre momento torsor y esfuerzo cortante para ninguna combinación. Por lo tanto, la comprobación no procede.

$$N_{cr,T} = \frac{1}{i_0^2} \cdot \left[G \cdot I_t + \frac{\pi^2 \cdot E \cdot I_w}{L_{kt}^2} \right]$$

Donde:

I_y : Momento de inercia de la sección bruta, respecto al eje Y.	I_y : <u>548.47</u> cm ⁴
I_z : Momento de inercia de la sección bruta, respecto al eje Z.	I_z : <u>548.47</u> cm ⁴
I_t : Momento de inercia a torsión uniforme.	I_t : <u>915.09</u> cm ⁴
I_w : Constante de alabeo de la sección.	I_w : <u>0.00</u> cm ⁶
E : Módulo de elasticidad.	E : <u>210000</u> MPa
G : Módulo de elasticidad transversal.	G : <u>81000</u> MPa
L_{ky} : Longitud efectiva de pandeo por flexión, respecto al eje Y.	L_{ky} : <u>5.000</u> m
L_{kz} : Longitud efectiva de pandeo por flexión, respecto al eje Z.	L_{kz} : <u>5.000</u> m
L_{kt} : Longitud efectiva de pandeo por torsión.	L_{kt} : <u>0.000</u> m
i₀ : Radio de giro polar de la sección bruta, respecto al centro de torsión.	i₀ : <u>6.48</u> cm

$$i_0 = (i_y^2 + i_z^2 + y_0^2 + z_0^2)^{0.5}$$

Siendo:

i_y , i_z : Radios de giro de la sección bruta, respecto a los ejes principales de inercia Y y Z.	i_y : <u>4.58</u> cm
	i_z : <u>4.58</u> cm
y₀ , z₀ : Coordenadas del centro de torsión en la dirección de los ejes principales Y y Z, respectivamente, relativas al centro de gravedad de la sección.	y₀ : <u>0.00</u> mm
	z₀ : <u>0.00</u> mm

Abolladura del alma inducida por el ala comprimida (Criterio de CYPE Ingenieros, basado en: Eurocódigo 3 EN 1993-1-5: 2006, Artículo 8)

Se debe satisfacer:

$$\frac{h_w}{t_w} \leq k \frac{E}{f_{yf}} \sqrt{\frac{A_w}{A_{fc,ef}}}$$

$$18.00 \leq 307.36 \checkmark$$

Donde:

h_w : Altura del alma.	h_w : <u>108.00</u> mm
t_w : Espesor del alma.	t_w : <u>6.00</u> mm
A_w : Área del alma.	A_w : <u>12.96</u> cm ²
A_{fc,ef} : Área reducida del ala comprimida.	A_{fc,ef} : <u>7.20</u> cm ²
k : Coeficiente que depende de la clase de la sección.	k : <u>0.30</u>
E : Módulo de elasticidad.	E : <u>210000</u> MPa
f_{yf} : Límite elástico del acero del ala comprimida.	f_{yf} : <u>275.00</u> MPa

Siendo:

$$f_{yf} = f_y$$

Resistencia a tracción (CTE DB SE-A, Artículo 6.2.3)

Se debe satisfacer:

$$\eta = \frac{N_{t,Ed}}{N_{t,Rd}} \leq 1$$

$$\eta : \underline{0.029} \quad \checkmark$$

El esfuerzo solicitante de cálculo pésimo se produce para la combinación de acciones 0.8·PP+1.5·V(180°)H3+0.75·N(R)2.

N_{t,Ed}: Axil de tracción solicitante de cálculo pésimo.

$$\mathbf{N_{t,Ed}} : \underline{19.81} \text{ kN}$$

La resistencia de cálculo a tracción **N_{t,Rd}** viene dada por:

$$\mathbf{N_{t,Rd}} = A \cdot f_{yd}$$

$$\mathbf{N_{t,Rd}} : \underline{683.44} \text{ kN}$$

Donde:

A: Área bruta de la sección transversal de la barra.

$$\mathbf{A} : \underline{26.09} \text{ cm}^2$$

f_{yd}: Resistencia de cálculo del acero.

$$\mathbf{f_{yd}} : \underline{261.90} \text{ MPa}$$

$$f_{yd} = f_y / \gamma_{M0}$$

Siendo:

f_y: Límite elástico. (CTE DB SE-A, Tabla 4.1)

$$\mathbf{f_y} : \underline{275.00} \text{ MPa}$$

γ_{M0}: Coeficiente parcial de seguridad del material.

$$\mathbf{\gamma_{M0}} : \underline{1.05}$$

Resistencia a compresión (CTE DB SE-A, Artículo 6.2.5)

Se debe satisfacer:

$$\eta = \frac{N_{c,Ed}}{N_{c,Rd}} \leq 1$$

$$\eta : \underline{0.123} \quad \checkmark$$

$$\eta = \frac{N_{c,Ed}}{N_{b,Rd}} \leq 1$$

$$\eta : \underline{0.301} \quad \checkmark$$

El esfuerzo solicitante de cálculo pésimo se produce para la combinación de acciones 0.8·PP+1.5·V(270°)H2.

N_{c,Ed}: Axil de compresión solicitante de cálculo pésimo.

$$\mathbf{N_{c,Ed}} : \underline{83.80} \text{ kN}$$

La resistencia de cálculo a compresión **N_{c,Rd}** viene dada por:

$$\mathbf{N_{c,Rd}} = A \cdot f_{yd}$$

$$\mathbf{N_{c,Rd}} : \underline{683.44} \text{ kN}$$

Donde:

Clase: Clase de la sección, según la capacidad de deformación y de desarrollo de la resistencia plástica de los elementos planos comprimidos de una sección.

$$\mathbf{Clase} : \underline{1}$$

A: Área de la sección bruta para las secciones de clase 1, 2 y 3.

$$A : 26.09 \text{ cm}^2$$

f_{yd}: Resistencia de cálculo del acero.

$$f_{yd} : 261.90 \text{ MPa}$$

$$f_{yd} = f_y / \gamma_{M0}$$

Siendo:

f_y: Límite elástico. (CTE DB SE-A, Tabla 4.1)

$$f_y : 275.00 \text{ MPa}$$

γ_{M0}: Coeficiente parcial de seguridad del material.

$$\gamma_{M0} : 1.05$$

Resistencia a pandeo: (CTE DB SE-A, Artículo 6.3.2)

La resistencia de cálculo a pandeo **N_{b,Rd}** en una barra comprimida viene dada por:

$$N_{b,Rd} = \chi \cdot A \cdot f_{yd}$$

$$N_{b,Rd} : 278.71 \text{ kN}$$

Donde:

A: Área de la sección bruta para las secciones de clase 1, 2 y 3.

$$A : 26.09 \text{ cm}^2$$

f_{yd}: Resistencia de cálculo del acero.

$$f_{yd} : 261.90 \text{ MPa}$$

$$f_{yd} = f_y / \gamma_{M1}$$

Siendo:

f_y: Límite elástico. (CTE DB SE-A, Tabla 4.1)

$$f_y : 275.00 \text{ MPa}$$

γ_{M1}: Coeficiente parcial de seguridad del material.

$$\gamma_{M1} : 1.05$$

χ: Coeficiente de reducción por pandeo.

$$\chi = \frac{1}{\Phi + \sqrt{\Phi^2 - (\bar{\lambda})^2}} \leq 1$$

$$\chi_y : 0.41$$

$$\chi_z : 0.41$$

Siendo:

$$\Phi = 0.5 \cdot \left[1 + \alpha \cdot (\bar{\lambda} - 0.2) + (\bar{\lambda})^2 \right]$$

$$\phi_y : 1.55$$

$$\phi_z : 1.55$$

α: Coeficiente de imperfección elástica.

$$\alpha_y : 0.49$$

$$\alpha_z : 0.49$$

λ̄: Esbeltez reducida.

$$\bar{\lambda} = \sqrt{\frac{A \cdot f_y}{N_{cr}}}$$

$$\bar{\lambda}_y : 1.26$$

$$\bar{\lambda}_z : 1.26$$

N_{cr}: Axil crítico elástico de pandeo, obtenido como el menor de los siguientes valores:

$$N_{cr} : 454.71 \text{ kN}$$

N_{cr,y}: Axil crítico elástico de pandeo por flexión respecto al eje Y.

$$N_{cr,y} : 454.71 \text{ kN}$$

N_{cr,z}: Axil crítico elástico de pandeo por flexión respecto al eje Z.

$$N_{cr,z} : 454.71 \text{ kN}$$

N_{cr,T}: Axil crítico elástico de pandeo por torsión.

$$N_{cr,T} : \infty$$

Resistencia a flexión eje Y (CTE DB SE-A, Artículo 6.2.6)

Se debe satisfacer:

$$\eta = \frac{M_{Ed}}{M_{c,Rd}} \leq 1$$

$\eta : 0.030$ ✓

Para flexión positiva:

El esfuerzo solicitante de cálculo pésimo se produce en un punto situado a una distancia de 2.500 m del nudo N917, para la combinación de acciones 1.35·PP.

M_{Ed}^+ : Momento flector solicitante de cálculo pésimo.

$M_{Ed}^+ : 0.85 \text{ kN}\cdot\text{m}$

Para flexión negativa:

M_{Ed}^- : Momento flector solicitante de cálculo pésimo.

$M_{Ed}^- : 0.00 \text{ kN}\cdot\text{m}$

El momento flector resistente de cálculo $M_{c,Rd}$ viene dado por:

$$M_{c,Rd} = W_{pl,y} \cdot f_{yd}$$

$M_{c,Rd} : 28.67 \text{ kN}\cdot\text{m}$

Donde:

Clase: Clase de la sección, según la capacidad de deformación y de desarrollo de la resistencia plástica de los elementos planos de una sección a flexión simple.

Clase : 1

$W_{pl,y}$: Módulo resistente plástico correspondiente a la fibra con mayor tensión, para las secciones de clase 1 y 2.

$W_{pl,y} : 109.48 \text{ cm}^3$

f_{yd} : Resistencia de cálculo del acero.

$f_{yd} : 261.90 \text{ MPa}$

$$f_{yd} = f_y / \gamma_{M0}$$

Siendo:

f_y : Límite elástico. (CTE DB SE-A, Tabla 4.1)

$f_y : 275.00 \text{ MPa}$

γ_{M0} : Coeficiente parcial de seguridad del material.

$\gamma_{M0} : 1.05$

Resistencia a flexión eje Z (CTE DB SE-A, Artículo 6.2.6)

La comprobación no procede, ya que no hay momento flector.

Resistencia a corte Z (CTE DB SE-A, Artículo 6.2.4)

Se debe satisfacer:

$$\eta = \frac{V_{Ed}}{V_{c,Rd}} \leq 1$$

$\eta : 0.003$ ✓

El esfuerzo solicitante de cálculo pésimo se produce en el nudo N917, para la combinación de acciones 1.35·PP.

V_{Ed} : Esfuerzo cortante solicitante de cálculo pésimo.

$V_{Ed} : 0.68 \text{ kN}$

El esfuerzo cortante resistente de cálculo $V_{c,Rd}$ viene dado por:

$$V_{c,Rd} = A_v \cdot \frac{f_{yd}}{\sqrt{3}}$$

$V_{c,Rd} : 195.97 \text{ kN}$

Donde:

A_v : Área transversal a cortante.

$A_v : 12.96 \text{ cm}^2$

$$A_v = 2 \cdot d \cdot t_w$$

Siendo:

d: Altura del alma.

d : 108.00 mm

t_w: Espesor del alma.

t_w : 6.00 mm

f_{yd}: Resistencia de cálculo del acero.

f_{yd} : 261.90 MPa

$$f_{yd} = f_y / \gamma_{M0}$$

Siendo:

f_y: Límite elástico. (CTE DB SE-A, Tabla 4.1)

f_y : 275.00 MPa

γ_{M0}: Coeficiente parcial de seguridad del material.

γ_{M0} : 1.05

Abolladura por cortante del alma: (CTE DB SE-A, Artículo 6.3.3.4)

Aunque no se han dispuesto rigidizadores transversales, no es necesario comprobar la resistencia a la abolladura del alma, puesto que se cumple:

$$\frac{d}{t_w} < 70 \cdot \varepsilon$$

$$18.00 < 64.71$$



Donde:

λ_w: Esbeltez del alma.

λ_w : 18.00

$$\lambda_w = \frac{d}{t_w}$$

λ_{máx}: Esbeltez máxima.

λ_{máx} : 64.71

ε: Factor de reducción.

ε : 0.92

$$\varepsilon = \sqrt{\frac{f_{ref}}{f_y}}$$

Siendo:

f_{ref}: Límite elástico de referencia.

f_{ref} : 235.00 MPa

f_y: Límite elástico. (CTE DB SE-A, Tabla 4.1)

f_y : 275.00 MPa

Resistencia a corte Y (CTE DB SE-A, Artículo 6.2.4)

La comprobación no procede, ya que no hay esfuerzo cortante.

Resistencia a momento flector Y y fuerza cortante Z combinados (CTE DB SE-A, Artículo 6.2.8)

No es necesario reducir la resistencia de cálculo a flexión, ya que el esfuerzo cortante solicitante de cálculo pésimo **V_{Ed}** no es superior al 50% de la resistencia de cálculo a cortante **V_{c,Rd}**.

$$V_{Ed} \leq \frac{V_{c,Rd}}{2}$$

$$0.59 \text{ kN} \leq 97.98 \text{ kN}$$



Los esfuerzos solicitantes de cálculo p_{ésimos} se producen en un punto situado a una distancia de 0.313 m del nudo N917, para la combinación de acciones 1.35·PP.

V_{Ed}: Esfuerzo cortante solicitante de cálculo p_{ésimo}.

V_{Ed} : 0.59 kN

V_{c,Rd}: Esfuerzo cortante resistente de cálculo.

V_{c,Rd} : 195.97 kN

Resistencia a momento flector Z y fuerza cortante Y combinados (CTE DB SE-A, Artículo 6.2.8)

No hay interacción entre momento flector y esfuerzo cortante para ninguna combinación. Por lo tanto, la comprobación no procede.

Resistencia a flexión y axil combinados (CTE DB SE-A, Artículo 6.2.8)

Se debe satisfacer:

$$\eta = \frac{N_{c,Ed}}{N_{pl,Rd}} + \frac{M_{y,Ed}}{M_{pl,Rd,y}} + \frac{M_{z,Ed}}{M_{pl,Rd,z}} \leq 1$$

η : 0.151 ✓

$$\eta = \frac{N_{c,Ed}}{\chi_y \cdot A \cdot f_{yd}} + k_y \cdot \frac{c_{m,y} \cdot M_{y,Ed}}{\chi_{LT} \cdot W_{pl,y} \cdot f_{yd}} + \alpha_z \cdot k_z \cdot \frac{c_{m,z} \cdot M_{z,Ed}}{W_{pl,z} \cdot f_{yd}} \leq 1$$

η : 0.333 ✓

$$\eta = \frac{N_{c,Ed}}{\chi_z \cdot A \cdot f_{yd}} + \alpha_y \cdot k_y \cdot \frac{c_{m,y} \cdot M_{y,Ed}}{W_{pl,y} \cdot f_{yd}} + k_z \cdot \frac{c_{m,z} \cdot M_{z,Ed}}{W_{pl,z} \cdot f_{yd}} \leq 1$$

η : 0.319 ✓

Los esfuerzos solicitantes de cálculo p_{ésimos} se producen en un punto situado a una distancia de 2.500 m del nudo N917, para la combinación de acciones 1.35·PP+1.5·V(270°)H2.

Donde:

N_{c,Ed}: Axil de compresión solicitante de cálculo p_{ésimo}.

N_{c,Ed} : 82.69 kN

M_{y,Ed}, **M_{z,Ed}**: Momentos flectores solicitantes de cálculo p_{ésimos}, según los ejes Y y Z, respectivamente.

M_{y,Ed}⁺ : 0.85 kN·m

M_{z,Ed}⁺ : 0.00 kN·m

Clase: Clase de la sección, según la capacidad de deformación y de desarrollo de la resistencia plástica de sus elementos planos, para axil y flexión simple.

Clase : 1

N_{pl,Rd}: Resistencia a compresión de la sección bruta.

N_{pl,Rd} : 683.44 kN

M_{pl,Rd,y}, **M_{pl,Rd,z}**: Resistencia a flexión de la sección bruta en condiciones plásticas, respecto a los ejes Y y Z, respectivamente.

M_{pl,Rd,y} : 28.67 kN·m

M_{pl,Rd,z} : 28.67 kN·m

Resistencia a pandeo: (CTE DB SE-A, Artículo 6.3.4.2)

A: Área de la sección bruta.

A : 26.09 cm²

W_{pl,y}, **W_{pl,z}**: Módulos resistentes plásticos correspondientes a la fibra comprimida, alrededor de los ejes Y y Z, respectivamente.

W_{pl,y} : 109.48 cm³

W_{pl,z} : 109.48 cm³

f_{vd}: Resistencia de cálculo del acero.

f_{vd} : 261.90 MPa

$$f_{yd} = f_y / \gamma_{M1}$$

Siendo:

f_y : Límite elástico. (CTE DB SE-A, Tabla 4.1)

f_y : 275.00 MPa

γ_{M1} : Coeficiente parcial de seguridad del material.

γ_{M1} : 1.05

k_y, k_z : Coeficientes de interacción.

$$k_y = 1 + (\bar{\lambda}_y - 0.2) \cdot \frac{N_{c,Ed}}{\chi_y \cdot N_{c,Rd}}$$

k_y : 1.24

$$k_z = 1 + (\bar{\lambda}_z - 0.2) \cdot \frac{N_{c,Ed}}{\chi_z \cdot N_{c,Rd}}$$

k_z : 1.24

$C_{m,y}, C_{m,z}$: Factores de momento flector uniforme equivalente.

$C_{m,y}$: 1.00

$C_{m,z}$: 1.00

χ_y, χ_z : Coeficientes de reducción por pandeo, alrededor de los ejes Y y Z, respectivamente.

χ_y : 0.41

χ_z : 0.41

$\bar{\lambda}_y, \bar{\lambda}_z$: Esbelteces reducidas con valores no mayores que 1.00, en relación a los ejes Y y Z, respectivamente.

$\bar{\lambda}_y$: 1.26

$\bar{\lambda}_z$: 1.26

α_y, α_z : Factores dependientes de la clase de la sección.

α_y : 0.60

α_z : 0.60

Resistencia a flexión, axil y cortante combinados (CTE DB SE-A, Artículo 6.2.8)

No es necesario reducir las resistencias de cálculo a flexión y a axil, ya que se puede ignorar el efecto de abolladura por esfuerzo cortante y, además, el esfuerzo cortante solicitante de cálculo pésimo V_{Ed} es menor o igual que el 50% del esfuerzo cortante resistente de cálculo $V_{c,Rd}$.

Los esfuerzos solicitantes de cálculo pésimos se producen en un punto situado a una distancia de 0.313 m del nudo N917, para la combinación de acciones 1.35·PP.

$$V_{Ed,z} \leq \frac{V_{c,Rd,z}}{2}$$

0.59 kN ≤ 97.98 kN



Donde:

$V_{Ed,z}$: Esfuerzo cortante solicitante de cálculo pésimo.

$V_{Ed,z}$: 0.59 kN

$V_{c,Rd,z}$: Esfuerzo cortante resistente de cálculo.

$V_{c,Rd,z}$: 195.97 kN

Resistencia a torsión (CTE DB SE-A, Artículo 6.2.7)

La comprobación no procede, ya que no hay momento torsor.

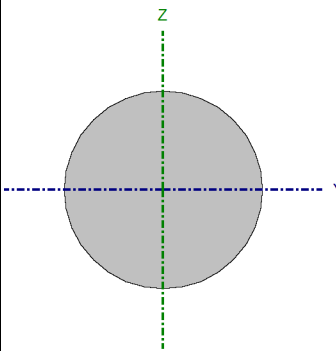
Resistencia a cortante Z y momento torsor combinados (CTE DB SE-A, Artículo 6.2.8)

No hay interacción entre momento torsor y esfuerzo cortante para ninguna combinación. Por lo tanto, la comprobación no procede.

Resistencia a cortante Y y momento torsor combinados (CTE DB SE-A, Artículo 6.2.8)

No hay interacción entre momento torsor y esfuerzo cortante para ninguna combinación. Por lo tanto, la comprobación no procede.

A1.2.8.4. Diagonal arriostramiento fachada interior.

Perfil: R 35 Material: Acero (S275)							
	Nudos		Longitud (m)	Características mecánicas			
	Inicial	Final		Área (cm ²)	I _y ⁽¹⁾ (cm ⁴)	I _z ⁽¹⁾ (cm ⁴)	I _t ⁽²⁾ (cm ⁴)
	N533	N918	7.142	9.62	7.37	7.37	14.73
	Notas:						
	⁽¹⁾ Inercia respecto al eje indicado						
	⁽²⁾ Momento de inercia a torsión uniforme						
		Pandeo		Pandeo lateral			
		Plano XY	Plano XZ	Ala sup.	Ala inf.		
		β	0.00	0.00	0.00	0.00	
		L _K	0.000	0.000	0.000	0.000	
C _m		1.000	1.000	1.000	1.000		
C ₁		-		1.000			
Notación:							
β: Coeficiente de pandeo							
L _K : Longitud de pandeo (m)							
C _m : Coeficiente de momentos							
C ₁ : Factor de modificación para el momento crítico							

Limitación de esbeltez (CTE DB SE-A, Artículos 6.3.1 y 6.3.2.1 - Tabla 6.3)

La esbeltez reducida $\bar{\lambda}$ de las barras de arriostramiento traccionadas no debe superar el valor 4.0.

$$\bar{\lambda} = \sqrt{\frac{A \cdot f_y}{N_{cr}}}$$

$$\bar{\lambda} < \underline{0.01} \quad \checkmark$$

Donde:

A: Área bruta de la sección transversal de la barra.

$$\mathbf{A} : \underline{9.62} \text{ cm}^2$$

f_y: Límite elástico. (CTE DB SE-A, Tabla 4.1)

$$\mathbf{f_y} : \underline{265.00} \text{ MPa}$$

N_{cr}: Axil crítico de pandeo elástico.

$$\mathbf{N_{cr}} : \infty$$

Resistencia a tracción (CTE DB SE-A, Artículo 6.2.3)

Se debe satisfacer:

$$\eta = \frac{N_{t,Ed}}{N_{t,Rd}} \leq 1$$

$$\eta : \underline{0.281} \quad \checkmark$$

El esfuerzo solicitante de cálculo pésimo se produce para la combinación de acciones 1.35·PP+1.5·V(90°)H1+0.75·N(EI).

N_{t,Ed}: Axil de tracción solicitante de cálculo pésimo.

$$\mathbf{N_{t,Ed}} : \underline{68.32} \text{ kN}$$

La resistencia de cálculo a tracción **N_{t,Rd}** viene dada por:

$$\mathbf{N_{t,Rd}} : \underline{242.82} \text{ kN}$$

$$N_{t,Rd} = A \cdot f_{yd}$$

Donde:

A: Área bruta de la sección transversal de la barra.

A : 9.62 cm²

f_{yd}: Resistencia de cálculo del acero.

f_{yd} : 252.38 MPa

$$f_{yd} = f_y / \gamma_{M0}$$

Siendo:

f_y: Límite elástico. (CTE DB SE-A, Tabla 4.1)

f_y : 265.00 MPa

γ_{M0}: Coeficiente parcial de seguridad del material.

γ_{M0} : 1.05

Resistencia a compresión (CTE DB SE-A, Artículo 6.2.5)

La comprobación no procede, ya que no hay axil de compresión.

Resistencia a flexión eje Y (CTE DB SE-A, Artículo 6.2.6)

La comprobación no procede, ya que no hay momento flector.

Resistencia a flexión eje Z (CTE DB SE-A, Artículo 6.2.6)

La comprobación no procede, ya que no hay momento flector.

Resistencia a corte Z (CTE DB SE-A, Artículo 6.2.4)

La comprobación no procede, ya que no hay esfuerzo cortante.

Resistencia a corte Y (CTE DB SE-A, Artículo 6.2.4)

La comprobación no procede, ya que no hay esfuerzo cortante.

Resistencia a momento flector Y y fuerza cortante Z combinados (CTE DB SE-A, Artículo 6.2.8)

No hay interacción entre momento flector y esfuerzo cortante para ninguna combinación. Por lo tanto, la comprobación no procede.

Resistencia a momento flector Z y fuerza cortante Y combinados (CTE DB SE-A, Artículo 6.2.8)

No hay interacción entre momento flector y esfuerzo cortante para ninguna combinación. Por lo tanto, la comprobación no procede.

Resistencia a flexión y axil combinados (CTE DB SE-A, Artículo 6.2.8)

No hay interacción entre axil y momento flector ni entre momentos flectores en ambas direcciones para ninguna combinación. Por lo tanto, la comprobación no procede.

Resistencia a flexión, axil y cortante combinados (CTE DB SE-A, Artículo 6.2.8)

No hay interacción entre momento flector, axil y cortante para ninguna combinación. Por lo tanto, la comprobación no procede.

Resistencia a torsión (CTE DB SE-A, Artículo 6.2.7)

La comprobación no procede, ya que no hay momento torsor.

Resistencia a cortante Z y momento torsor combinados (CTE DB SE-A, Artículo 6.2.8)

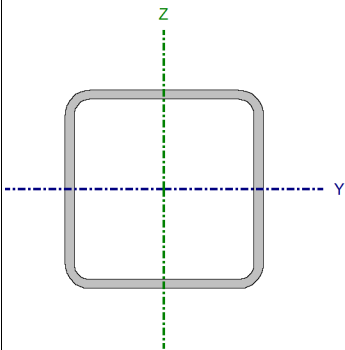
No hay interacción entre momento torsor y esfuerzo cortante para ninguna combinación. Por lo tanto, la comprobación no procede.

Resistencia a cortante Y y momento torsor combinados (CTE DB SE-A, Artículo 6.2.8)

No hay interacción entre momento torsor y esfuerzo cortante para ninguna combinación. Por lo tanto, la comprobación no procede.

A1.2.9. Viga perimetral.

A1.2.9.1. Viga perimetral extremos superiores y cubierta.

Perfil: #160x8									
Material: Acero (S275)									
			Nudos		Longitud (m)	Características mecánicas			
			Inicial	Final		Área (cm ²)	I _y ⁽¹⁾ (cm ⁴)	I _z ⁽¹⁾ (cm ⁴)	I _t ⁽²⁾ (cm ⁴)
			N628	N667	5.000	46.39	1733.45	1733.45	2892.13
			Notas:						
			⁽¹⁾ Inercia respecto al eje indicado						
⁽²⁾ Momento de inercia a torsión uniforme									
	Pandeo		Pandeo lateral						
	Plano XY	Plano XZ	Ala sup.	Ala inf.					
β	0.00	0.00	0.00	0.00					
L _K	0.000	0.000	0.000	0.000					
C _m	1.000	1.000	1.000	1.000					
C ₁	-		1.000						
Notación:									
β: Coeficiente de pandeo									
L _K : Longitud de pandeo (m)									
C _m : Coeficiente de momentos									
C ₁ : Factor de modificación para el momento crítico									

Limitación de esbeltez (CTE DB SE-A, Artículos 6.3.1 y 6.3.2.1 - Tabla 6.3)

La esbeltez reducida $\bar{\lambda}$ de las barras comprimidas debe ser inferior al valor 2.0.

$$\bar{\lambda} = \sqrt{\frac{A \cdot f_y}{N_{cr}}}$$

$$\bar{\lambda} < \underline{0.01} \quad \checkmark$$

Donde:

Clase: Clase de la sección, según la capacidad de deformación y de desarrollo de la resistencia plástica de los elementos planos comprimidos de una sección.

Clase : 1

A: Área de la sección bruta para las secciones de clase 1, 2 y 3.

A : 46.39 cm²

f_y: Límite elástico. (CTE DB SE-A, Tabla 4.1)

f_y : 275.00 MPa

N_{cr}: Axil crítico elástico de pandeo mínimo, teniendo en cuenta que las longitudes de pandeo son nulas.

N_{cr} : ∞

Abolladura del alma inducida por el ala comprimida (Criterio de CYPE Ingenieros, basado en: Eurocódigo 3 EN 1993-1-5: 2006, Artículo 8)

Se debe satisfacer:

$$\frac{h_w}{t_w} \leq k \frac{E}{f_{yf}} \sqrt{\frac{A_w}{A_{fc,ef}}}$$

$$18.00 \leq 307.36 \checkmark$$

Donde:

h_w : Altura del alma.

t_w : Espesor del alma.

A_w : Área del alma.

$A_{fc,ef}$: Área reducida del ala comprimida.

k : Coeficiente que depende de la clase de la sección.

E : Módulo de elasticidad.

f_{yf} : Límite elástico del acero del ala comprimida.

Siendo:

$$f_{yf} = f_y$$

$$h_w : 144.00 \text{ mm}$$

$$t_w : 8.00 \text{ mm}$$

$$A_w : 23.04 \text{ cm}^2$$

$$A_{fc,ef} : 12.80 \text{ cm}^2$$

$$k : 0.30$$

$$E : 210000 \text{ MPa}$$

$$f_{yf} : 275.00 \text{ MPa}$$

Resistencia a tracción (CTE DB SE-A, Artículo 6.2.3)

Se debe satisfacer:

$$\eta = \frac{N_{t,Ed}}{N_{t,Rd}} \leq 1$$

$$\eta : 0.115 \checkmark$$

El esfuerzo solicitante de cálculo pésimo se produce para la combinación de acciones 0.8·PP+1.5·V(180°)H1.

$N_{t,Ed}$: Axil de tracción solicitante de cálculo pésimo.

$$N_{t,Ed} : 140.17 \text{ kN}$$

La resistencia de cálculo a tracción $N_{t,Rd}$ viene dada por:

$$N_{t,Rd} = A \cdot f_{yd}$$

$$N_{t,Rd} : 1215.00 \text{ kN}$$

Donde:

A : Área bruta de la sección transversal de la barra.

$$A : 46.39 \text{ cm}^2$$

f_{yd} : Resistencia de cálculo del acero.

$$f_{yd} : 261.90 \text{ MPa}$$

$$f_{yd} = f_y / \gamma_{M0}$$

Siendo:

f_y : Límite elástico. (CTE DB SE-A, Tabla 4.1)

$$f_y : 275.00 \text{ MPa}$$

γ_{M0} : Coeficiente parcial de seguridad del material.

$$\gamma_{M0} : 1.05$$

Resistencia a compresión (CTE DB SE-A, Artículo 6.2.5)

Se debe satisfacer:

$$\eta = \frac{N_{c,Ed}}{N_{c,Rd}} \leq 1$$

$\eta : 0.076$ ✓

El esfuerzo solicitante de cálculo pésimo se produce para la combinación de acciones $1.35 \cdot PP + 1.5 \cdot V(270^\circ)H2 + 0.75 \cdot N(R)1$.

$N_{c,Ed}$: Axil de compresión solicitante de cálculo pésimo.

$N_{c,Ed}$: 91.94 kN

La resistencia de cálculo a compresión **$N_{c,Rd}$** viene dada por:

$$N_{c,Rd} = A \cdot f_{yd}$$

$N_{c,Rd}$: 1215.00 kN

Donde:

Clase: Clase de la sección, según la capacidad de deformación y de desarrollo de la resistencia plástica de los elementos planos comprimidos de una sección.

Clase : 1

A: Área de la sección bruta para las secciones de clase 1, 2 y 3.

A : 46.39 cm²

f_{yd} : Resistencia de cálculo del acero.

f_{yd} : 261.90 MPa

$$f_{yd} = f_y / \gamma_{M0}$$

Siendo:

f_y : Límite elástico. (CTE DB SE-A, Tabla 4.1)

f_y : 275.00 MPa

γ_{M0} : Coeficiente parcial de seguridad del material.

γ_{M0} : 1.05

Resistencia a pandeo: (CTE DB SE-A, Artículo 6.3.2)

No procede, dado que las longitudes de pandeo son nulas.

Resistencia a flexión eje Y (CTE DB SE-A, Artículo 6.2.6)

Se debe satisfacer:

$$\eta = \frac{M_{Ed}}{M_{c,Rd}} \leq 1$$

$\eta : 0.022$ ✓

Para flexión positiva:

El esfuerzo solicitante de cálculo pésimo se produce en un punto situado a una distancia de 2.500 m del nudo N628, para la combinación de acciones $1.35 \cdot PP$.

M_{Ed}^+ : Momento flector solicitante de cálculo pésimo.

M_{Ed}^+ : 1.51 kN·m

Para flexión negativa:

M_{Ed}^- : Momento flector solicitante de cálculo pésimo.

M_{Ed}^- : 0.00 kN·m

El momento flector resistente de cálculo **$M_{c,Rd}$** viene dado por:

$$M_{c,Rd} = W_{pl,y} \cdot f_{yd}$$

$M_{c,Rd}$: 67.96 kN·m

Donde:

Clase : 1

Clase: Clase de la sección, según la capacidad de deformación y de desarrollo de la resistencia plástica de los elementos planos de una sección a flexión simple.

$W_{pl,y}$: Módulo resistente plástico correspondiente a la fibra con mayor tensión, para las secciones de clase 1 y 2.

$W_{pl,y}$: 259.50 cm³

f_{yd} : Resistencia de cálculo del acero.

f_{yd} : 261.90 MPa

$$f_{yd} = f_y / \gamma_{M0}$$

Siendo:

f_y : Límite elástico. (CTE DB SE-A, Tabla 4.1)

f_y : 275.00 MPa

γ_{M0} : Coeficiente parcial de seguridad del material.

γ_{M0} : 1.05

Resistencia a flexión eje Z (CTE DB SE-A, Artículo 6.2.6)

La comprobación no procede, ya que no hay momento flector.

Resistencia a corte Z (CTE DB SE-A, Artículo 6.2.4)

Se debe satisfacer:

$$\eta = \frac{V_{Ed}}{V_{c,Rd}} \leq 1$$

η : 0.003 ✓

El esfuerzo solicitante de cálculo pésimo se produce en el nudo N628, para la combinación de acciones 1.35·PP.

V_{Ed} : Esfuerzo cortante solicitante de cálculo pésimo.

V_{Ed} : 1.21 kN

El esfuerzo cortante resistente de cálculo **$V_{c,Rd}$** viene dado por:

$$V_{c,Rd} = A_v \cdot \frac{f_{yd}}{\sqrt{3}}$$

$V_{c,Rd}$: 348.39 kN

Donde:

A_v : Área transversal a cortante.

A_v : 23.04 cm²

$$A_v = 2 \cdot d \cdot t_w$$

Siendo:

d : Altura del alma.

d : 144.00 mm

t_w : Espesor del alma.

t_w : 8.00 mm

f_{yd} : Resistencia de cálculo del acero.

f_{yd} : 261.90 MPa

$$f_{yd} = f_y / \gamma_{M0}$$

Siendo:

f_y : Límite elástico. (CTE DB SE-A, Tabla 4.1)

f_y : 275.00 MPa

γ_{M0} : Coeficiente parcial de seguridad del material.

γ_{M0} : 1.05

Abolladura por cortante del alma: (CTE DB SE-A, Artículo 6.3.3.4)

Aunque no se han dispuesto rigidizadores transversales, no es necesario comprobar la resistencia a la abolladura del alma, puesto que se cumple:

$$\frac{d}{t_w} < 70 \cdot \varepsilon$$

$$18.00 < 64.71$$



Donde:

λ_w : Esbeltez del alma.

$$\lambda_w : 18.00$$

$$\lambda_w = \frac{d}{t_w}$$

$\lambda_{m\acute{a}x}$: Esbeltez máxima.

$$\lambda_{m\acute{a}x} : 64.71$$

ε : Factor de reducci3n.

$$\varepsilon : 0.92$$

$$\varepsilon = \sqrt{\frac{f_{ref}}{f_y}}$$

Siendo:

f_{ref} : L3mite el3stico de referencia.

$$f_{ref} : 235.00 \text{ MPa}$$

f_y : L3mite el3stico. (CTE DB SE-A, Tabla 4.1)

$$f_y : 275.00 \text{ MPa}$$

Resistencia a corte Y (CTE DB SE-A, Art3culo 6.2.4)

La comprobaci3n no procede, ya que no hay esfuerzo cortante.

Resistencia a momento flector Y y fuerza cortante Z combinados (CTE DB SE-A, Art3culo 6.2.8)

No es necesario reducir la resistencia de c3lculo a flexi3n, ya que el esfuerzo cortante solicitante de c3lculo p3simo V_{Ed} no es superior al 50% de la resistencia de c3lculo a cortante $V_{c,Rd}$.

$$V_{Ed} \leq \frac{V_{c,Rd}}{2}$$

$$1.06 \text{ kN} \leq 174.19 \text{ kN}$$



Los esfuerzos solicitantes de c3lculo p3simos se producen en un punto situado a una distancia de 0.313 m del nudo N628, para la combinaci3n de acciones 1.35·PP.

V_{Ed} : Esfuerzo cortante solicitante de c3lculo p3simo.

$$V_{Ed} : 1.06 \text{ kN}$$

$V_{c,Rd}$: Esfuerzo cortante resistente de c3lculo.

$$V_{c,Rd} : 348.39 \text{ kN}$$

Resistencia a momento flector Z y fuerza cortante Y combinados (CTE DB SE-A, Art3culo 6.2.8)

No hay interacci3n entre momento flector y esfuerzo cortante para ninguna combinaci3n. Por lo tanto, la comprobaci3n no procede.

Resistencia a flexi3n y axil combinados (CTE DB SE-A, Art3culo 6.2.8)

Se debe satisfacer:

$$\eta : 0.137$$



$$\eta = \frac{N_{t,Ed}}{N_{pl,Rd}} + \frac{M_{y,Ed}}{M_{pl,Rd,y}} + \frac{M_{z,Ed}}{M_{pl,Rd,z}} \leq 1$$

Los esfuerzos solicitantes de cálculo p^{ésimos} se producen en un punto situado a una distancia de 2.500 m del nudo N628, para la combinación de acciones 1.35·PP+1.5·V(180°)H1.

Donde:

N_{t,Ed}: Axil de tracción solicitante de cálculo p^{ésimo}.

M_{y,Ed}, M_{z,Ed}: Momentos flectores solicitantes de cálculo p^{ésimos}, según los ejes Y y Z, respectivamente.

Clase: Clase de la sección, según la capacidad de deformación y de desarrollo de la resistencia plástica de sus elementos planos, para axil y flexión simple.

N_{pl,Rd}: Resistencia a tracción.

M_{pl,Rd,y}, M_{pl,Rd,z}: Resistencia a flexión de la sección bruta en condiciones plásticas, respecto a los ejes Y y Z, respectivamente.

$$\begin{aligned} N_{t,Ed} &: 139.42 \text{ kN} \\ M_{y,Ed} &: 1.51 \text{ kN}\cdot\text{m} \\ M_{z,Ed} &: 0.00 \text{ kN}\cdot\text{m} \\ \text{Clase} &: 1 \end{aligned}$$

$$\begin{aligned} N_{pl,Rd} &: 1215.00 \text{ kN} \\ M_{pl,Rd,y} &: 67.96 \text{ kN}\cdot\text{m} \\ M_{pl,Rd,z} &: 67.96 \text{ kN}\cdot\text{m} \end{aligned}$$

Resistencia a pandeo: (CTE DB SE-A, Artículo 6.3.4.1)

No procede, dado que tanto las longitudes de pandeo como las longitudes de pandeo lateral son nulas.

Resistencia a flexión, axil y cortante combinados (CTE DB SE-A, Artículo 6.2.8)

No es necesario reducir las resistencias de cálculo a flexión y a axil, ya que se puede ignorar el efecto de abolladura por esfuerzo cortante y, además, el esfuerzo cortante solicitante de cálculo p^{ésimo} **V_{Ed}** es menor o igual que el 50% del esfuerzo cortante resistente de cálculo **V_{c,Rd}**.

Los esfuerzos solicitantes de cálculo p^{ésimos} se producen en un punto situado a una distancia de 0.313 m del nudo N628, para la combinación de acciones 1.35·PP.

$$V_{Ed,z} \leq \frac{V_{c,Rd,z}}{2}$$

$$1.06 \text{ kN} \leq 174.19 \text{ kN}$$



Donde:

V_{Ed,z}: Esfuerzo cortante solicitante de cálculo p^{ésimo}.

V_{c,Rd,z}: Esfuerzo cortante resistente de cálculo.

$$\begin{aligned} V_{Ed,z} &: 1.06 \text{ kN} \\ V_{c,Rd,z} &: 348.39 \text{ kN} \end{aligned}$$

Resistencia a torsión (CTE DB SE-A, Artículo 6.2.7)

La comprobación no procede, ya que no hay momento torsor.

Resistencia a cortante Z y momento torsor combinados (CTE DB SE-A, Artículo 6.2.8)

No hay interacción entre momento torsor y esfuerzo cortante para ninguna combinación. Por lo tanto, la comprobación no procede.

Resistencia a cortante Y y momento torsor combinados (CTE DB SE-A, Artículo 6.2.8)

No hay interacción entre momento torsor y esfuerzo cortante para ninguna combinación. Por lo tanto, la comprobación no procede.

A_{fc,ef}: Área reducida del ala comprimida.

k: Coeficiente que depende de la clase de la sección.

E: Módulo de elasticidad.

f_{yf}: Límite elástico del acero del ala comprimida.

Siendo:

$$f_{yf} = f_y$$

$$A_{fc,ef} : \underline{4.80} \text{ cm}^2$$

$$k : \underline{0.30}$$

$$E : \underline{210000} \text{ MPa}$$

$$f_{yf} : \underline{275.00} \text{ MPa}$$

Resistencia a tracción (CTE DB SE-A, Artículo 6.2.3)

Se debe satisfacer:

$$\eta = \frac{N_{t,Ed}}{N_{t,Rd}} \leq 1$$

$$\eta : \underline{0.165} \checkmark$$

El esfuerzo solicitante de cálculo pésimo se produce para la combinación de acciones 1.35·PP+1.5·V(180°)H1+0.75·N(EI).

N_{t,Ed}: Axil de tracción solicitante de cálculo pésimo.

$$N_{t,Ed} : \underline{77.98} \text{ kN}$$

La resistencia de cálculo a tracción **N_{t,Rd}** viene dada por:

$$N_{t,Rd} = A \cdot f_{yd}$$

$$N_{t,Rd} : \underline{471.37} \text{ kN}$$

Donde:

A: Área bruta de la sección transversal de la barra.

$$A : \underline{18.00} \text{ cm}^2$$

f_{yd}: Resistencia de cálculo del acero.

$$f_{yd} : \underline{261.90} \text{ MPa}$$

$$f_{yd} = f_y / \gamma_{M0}$$

Siendo:

f_y: Límite elástico. (CTE DB SE-A, Tabla 4.1)

$$f_y : \underline{275.00} \text{ MPa}$$

γ_{M0}: Coeficiente parcial de seguridad del material.

$$\gamma_{M0} : \underline{1.05}$$

Resistencia a compresión (CTE DB SE-A, Artículo 6.2.5)

Se debe satisfacer:

$$\eta = \frac{N_{c,Ed}}{N_{c,Rd}} \leq 1$$

$$\eta : \underline{0.127} \checkmark$$

El esfuerzo solicitante de cálculo pésimo se produce para la combinación de acciones 0.8·PP+1.5·V(270°)H2.

N_{c,Ed}: Axil de compresión solicitante de cálculo pésimo.

$$N_{c,Ed} : \underline{59.94} \text{ kN}$$

La resistencia de cálculo a compresión **N_{c,Rd}** viene dada por:

$$N_{c,Rd} : \underline{471.37} \text{ kN}$$

$$N_{c,Rd} = A \cdot f_{yd}$$

Donde:

Clase: Clase de la sección, según la capacidad de deformación y de desarrollo de la resistencia plástica de los elementos planos comprimidos de una sección.

Clase : 1

A: Área de la sección bruta para las secciones de clase 1, 2 y 3.

A : 18.00 cm²

f_{yd}: Resistencia de cálculo del acero.

f_{yd} : 261.90 MPa

$$f_{yd} = f_y / \gamma_{M0}$$

Siendo:

f_y: Límite elástico. (CTE DB SE-A, Tabla 4.1)

f_y : 275.00 MPa

γ_{M0}: Coeficiente parcial de seguridad del material.

γ_{M0} : 1.05

Resistencia a pandeo: (CTE DB SE-A, Artículo 6.3.2)

No procede, dado que las longitudes de pandeo son nulas.

Resistencia a flexión eje Y (CTE DB SE-A, Artículo 6.2.6)

Se debe satisfacer:

$$\eta = \frac{M_{Ed}}{M_{c,Rd}} \leq 1$$

η : 0.029 ✓

Para flexión positiva:

El esfuerzo solicitante de cálculo pésimo se produce en un punto situado a una distancia de 2.500 m del nudo N962, para la combinación de acciones 1.35·PP.

M_{Ed}⁺: Momento flector solicitante de cálculo pésimo.

M_{Ed}⁺ : 0.58 kN·m

Para flexión negativa:

M_{Ed}⁻: Momento flector solicitante de cálculo pésimo.

M_{Ed}⁻ : 0.00 kN·m

El momento flector resistente de cálculo **M_{c,Rd}** viene dado por:

$$M_{c,Rd} = W_{pl,y} \cdot f_{yd}$$

M_{c,Rd} : 20.27 kN·m

Donde:

Clase: Clase de la sección, según la capacidad de deformación y de desarrollo de la resistencia plástica de los elementos planos de una sección a flexión simple.

Clase : 1

W_{pl,y}: Módulo resistente plástico correspondiente a la fibra con mayor tensión, para las secciones de clase 1 y 2.

W_{pl,y} : 77.39 cm³

f_{yd}: Resistencia de cálculo del acero.

f_{yd} : 261.90 MPa

$$f_{yd} = f_y / \gamma_{M0}$$

Siendo:

f_y: Límite elástico. (CTE DB SE-A, Tabla 4.1)

f_y : 275.00 MPa

γ_{M0}: Coeficiente parcial de seguridad del material.

γ_{M0} : 1.05

Resistencia a flexión eje Z (CTE DB SE-A, Artículo 6.2.6)

La comprobación no procede, ya que no hay momento flector.

Resistencia a corte Z (CTE DB SE-A, Artículo 6.2.4)

Se debe satisfacer:

$$\eta = \frac{V_{Ed}}{V_{c,Rd}} \leq 1$$

$$\eta : \underline{0.003} \quad \checkmark$$

El esfuerzo solicitante de cálculo pésimo se produce en el nudo N962, para la combinación de acciones 1.35·PP.

V_{Ed} : Esfuerzo cortante solicitante de cálculo pésimo.

$$V_{Ed} : \underline{0.47} \text{ kN}$$

El esfuerzo cortante resistente de cálculo $V_{c,Rd}$ viene dado por:

$$V_{c,Rd} = A_v \cdot \frac{f_{yd}}{\sqrt{3}}$$

$$V_{c,Rd} : \underline{135.48} \text{ kN}$$

Donde:

A_v : Área transversal a cortante.

$$A_v : \underline{8.96} \text{ cm}^2$$

$$A_v = 2 \cdot d \cdot t_w$$

Siendo:

d : Altura del alma.

$$d : \underline{112.00} \text{ mm}$$

t_w : Espesor del alma.

$$t_w : \underline{4.00} \text{ mm}$$

f_{yd} : Resistencia de cálculo del acero.

$$f_{yd} : \underline{261.90} \text{ MPa}$$

$$f_{yd} = f_y / \gamma_{M0}$$

Siendo:

f_y : Límite elástico. (CTE DB SE-A, Tabla 4.1)

$$f_y : \underline{275.00} \text{ MPa}$$

γ_{M0} : Coeficiente parcial de seguridad del material.

$$\gamma_{M0} : \underline{1.05}$$

Abolladura por cortante del alma: (CTE DB SE-A, Artículo 6.3.3.4)

Aunque no se han dispuesto rigidizadores transversales, no es necesario comprobar la resistencia a la abolladura del alma, puesto que se cumple:

$$\frac{d}{t_w} < 70 \cdot \varepsilon$$

$$28.00 < 64.71 \quad \checkmark$$

Donde:

λ_w : Esbeltez del alma.

$$\lambda_w : \underline{28.00}$$

$$\lambda_w = \frac{d}{t_w}$$

$\lambda_{m\acute{a}x}$: Esbeltez máxima.

$$\lambda_{m\acute{a}x} : \underline{64.71}$$

ε : Factor de reducción.

ε : 0.92

$$\varepsilon = \sqrt{\frac{f_{ref}}{f_y}}$$

Siendo:

f_{ref} : Límite elástico de referencia.

f_{ref} : 235.00 MPa

f_y : Límite elástico. (CTE DB SE-A, Tabla 4.1)

f_y : 275.00 MPa

Resistencia a corte Y (CTE DB SE-A, Artículo 6.2.4)

La comprobación no procede, ya que no hay esfuerzo cortante.

Resistencia a momento flector Y y fuerza cortante Z combinados (CTE DB SE-A, Artículo 6.2.8)

No es necesario reducir la resistencia de cálculo a flexión, ya que el esfuerzo cortante solicitante de cálculo pésimo V_{Ed} no es superior al 50% de la resistencia de cálculo a cortante $V_{c,Rd}$.

$$V_{Ed} \leq \frac{V_{c,Rd}}{2}$$

0.41 kN ≤ 67.74 kN



Los esfuerzos solicitantes de cálculo pésimos se producen en un punto situado a una distancia de 0.313 m del nudo N962, para la combinación de acciones 1.35·PP.

V_{Ed} : Esfuerzo cortante solicitante de cálculo pésimo.

V_{Ed} : 0.41 kN

$V_{c,Rd}$: Esfuerzo cortante resistente de cálculo.

$V_{c,Rd}$: 135.48 kN

Resistencia a momento flector Z y fuerza cortante Y combinados (CTE DB SE-A, Artículo 6.2.8)

No hay interacción entre momento flector y esfuerzo cortante para ninguna combinación. Por lo tanto, la comprobación no procede.

Resistencia a flexión y axil combinados (CTE DB SE-A, Artículo 6.2.8)

Se debe satisfacer:

$$\eta = \frac{N_{t,Ed}}{N_{pl,Rd}} + \frac{M_{y,Ed}}{M_{pl,Rd,y}} + \frac{M_{z,Ed}}{M_{pl,Rd,z}} \leq 1$$

η : 0.194 ✓

Los esfuerzos solicitantes de cálculo pésimos se producen en un punto situado a una distancia de 2.500 m del nudo N962, para la combinación de acciones 1.35·PP+1.5·V(180°)H1+0.75·N(EI).

Donde:

$N_{t,Ed}$: Axil de tracción solicitante de cálculo pésimo.

$N_{t,Ed}$: 77.98 kN

$M_{y,Ed}^+$: 0.58 kN·m

$M_{y,Ed}$, $M_{z,Ed}$: Momentos flectores solicitantes de cálculo pésimos, según los ejes Y y Z, respectivamente.

Clase: Clase de la sección, según la capacidad de deformación y de desarrollo de la resistencia plástica de sus elementos planos, para axil y flexión simple.

$N_{pl,Rd}$: Resistencia a tracción.

$M_{pl,Rd,y}$, $M_{pl,Rd,z}$: Resistencia a flexión de la sección bruta en condiciones plásticas, respecto a los ejes Y y Z, respectivamente.

$$M_{z,Ed}^+ : \underline{0.00} \text{ kN}\cdot\text{m}$$

$$\text{Clase} : \underline{1}$$

$$N_{pl,Rd} : \underline{471.37} \text{ kN}$$

$$M_{pl,Rd,y} : \underline{20.27} \text{ kN}\cdot\text{m}$$

$$M_{pl,Rd,z} : \underline{20.27} \text{ kN}\cdot\text{m}$$

Resistencia a pandeo: (CTE DB SE-A, Artículo 6.3.4.1)

No procede, dado que tanto las longitudes de pandeo como las longitudes de pandeo lateral son nulas.

Resistencia a flexión, axil y cortante combinados (CTE DB SE-A, Artículo 6.2.8)

No es necesario reducir las resistencias de cálculo a flexión y a axil, ya que se puede ignorar el efecto de abolladura por esfuerzo cortante y, además, el esfuerzo cortante solicitante de cálculo pésimo V_{Ed} es menor o igual que el 50% del esfuerzo cortante resistente de cálculo $V_{c,Rd}$.

Los esfuerzos solicitantes de cálculo pésimos se producen en un punto situado a una distancia de 0.313 m del nudo N962, para la combinación de acciones 1.35·PP.

$$V_{Ed,z} \leq \frac{V_{c,Rd,z}}{2}$$

$$0.41 \text{ kN} \leq 67.74 \text{ kN}$$



Donde:

$V_{Ed,z}$: Esfuerzo cortante solicitante de cálculo pésimo.

$V_{c,Rd,z}$: Esfuerzo cortante resistente de cálculo.

$$V_{Ed,z} : \underline{0.41} \text{ kN}$$

$$V_{c,Rd,z} : \underline{135.48} \text{ kN}$$

Resistencia a torsión (CTE DB SE-A, Artículo 6.2.7)

La comprobación no procede, ya que no hay momento torsor.

Resistencia a cortante Z y momento torsor combinados (CTE DB SE-A, Artículo 6.2.8)

No hay interacción entre momento torsor y esfuerzo cortante para ninguna combinación. Por lo tanto, la comprobación no procede.

Resistencia a cortante Y y momento torsor combinados (CTE DB SE-A, Artículo 6.2.8)

No hay interacción entre momento torsor y esfuerzo cortante para ninguna combinación. Por lo tanto, la comprobación no procede.

A1.2.10. Placas de anclaje.

A1.2.10.1 Placa de anclaje tipo 1.

Referencia:		
Comprobación	Valores	Estado
Separación mínima entre pernos: <i>3 diámetros</i>	Mínimo: 60 mm Calculado: 80 mm	Cumple
Separación mínima pernos-borde: <i>1.5 diámetros</i>	Mínimo: 30 mm Calculado: 40 mm	Cumple
Esbeltez de rigidizadores:	Máximo: 50	
- Paralelos a X:	Calculado: 35.5	Cumple
- Paralelos a Y:	Calculado: 36.7	Cumple
Longitud mínima del perno: <i>Se calcula la longitud de anclaje necesaria por adherencia.</i>	Mínimo: 22 cm Calculado: 65 cm	Cumple
Anclaje perno en hormigón:		
- Tracción:	Máximo: 144.46 kN Calculado: 55.91 kN	Cumple
- Cortante:	Máximo: 101.12 kN Calculado: 17.99 kN	Cumple
- Tracción + Cortante:	Máximo: 144.46 kN Calculado: 81.61 kN	Cumple
Tracción en vástago de pernos:	Máximo: 125.6 kN Calculado: 52.85 kN	Cumple
Tensión de Von Mises en vástago de pernos:	Máximo: 476.19 MPa Calculado: 197.522 MPa	Cumple
Aplastamiento perno en placa: <i>Límite del cortante en un perno actuando contra la placa</i>	Máximo: 314.29 kN Calculado: 17.01 kN	Cumple
Tensión de Von Mises en secciones globales:	Máximo: 261.905 MPa	
- Derecha:	Calculado: 104.299 MPa	Cumple
- Izquierda:	Calculado: 113.745 MPa	Cumple
- Arriba:	Calculado: 110.662 MPa	Cumple
- Abajo:	Calculado: 170.463 MPa	Cumple
Flecha global equivalente: <i>Limitación de la deformabilidad de los vuelos</i>	Mínimo: 250	
- Derecha:	Calculado: 10654	Cumple
- Izquierda:	Calculado: 9405.1	Cumple
- Arriba:	Calculado: 6741.3	Cumple
- Abajo:	Calculado: 4153.8	Cumple
Tensión de Von Mises local: <i>Tensión por tracción de pernos sobre placas en voladizo</i>	Máximo: 261.905 MPa Calculado: 153.699 MPa	Cumple
Se cumplen todas las comprobaciones		

A1.2.10.2 Placa de anclaje tipo 2.

Referencia:		
Comprobación	Valores	Estado
Separación mínima entre pernos: <i>3 diámetros</i>	Mínimo: 60 mm Calculado: 107 mm	Cumple
Separación mínima pernos-borde: <i>1.5 diámetros</i>	Mínimo: 30 mm Calculado: 40 mm	Cumple
Esbeltez de rigidizadores:	Máximo: 50	
- Paralelos a X:	Calculado: 27.7	Cumple
- Paralelos a Y:	Calculado: 23.1	Cumple
Longitud mínima del perno: <i>Se calcula la longitud de anclaje necesaria por adherencia.</i>	Mínimo: 22 cm Calculado: 60 cm	Cumple
Anclaje perno en hormigón:		
- Tracción:	Máximo: 133.34 kN Calculado: 58.46 kN	Cumple
- Cortante:	Máximo: 93.34 kN Calculado: 32.06 kN	Cumple
- Tracción + Cortante:	Máximo: 133.34 kN Calculado: 104.26 kN	Cumple
Tracción en vástago de pernos:	Máximo: 125.6 kN Calculado: 57.11 kN	Cumple
Tensión de Von Mises en vástago de pernos:	Máximo: 476.19 MPa Calculado: 263.945 MPa	Cumple
Aplastamiento perno en placa: <i>Límite del cortante en un perno actuando contra la placa</i>	Máximo: 261.9 kN Calculado: 31.22 kN	Cumple
Tensión de Von Mises en secciones globales:	Máximo: 261.905 MPa	
- Derecha:	Calculado: 145.992 MPa	Cumple
- Izquierda:	Calculado: 142.776 MPa	Cumple
- Arriba:	Calculado: 201.141 MPa	Cumple
- Abajo:	Calculado: 200.369 MPa	Cumple
Flecha global equivalente: <i>Limitación de la deformabilidad de los vuelos</i>	Mínimo: 250	
- Derecha:	Calculado: 4579.55	Cumple
- Izquierda:	Calculado: 4666.3	Cumple
- Arriba:	Calculado: 2925.57	Cumple
- Abajo:	Calculado: 2936.35	Cumple
Tensión de Von Mises local: <i>Tensión por tracción de pernos sobre placas en voladizo</i>	Máximo: 261.905 MPa Calculado: 170.961 MPa	Cumple
Se cumplen todas las comprobaciones		

A1.2.10.3 Placa de anclaje tipo 3.

Referencia:		
Comprobación	Valores	Estado
Separación mínima entre pernos: <i>3 diámetros</i>	Mínimo: 60 mm Calculado: 121 mm	Cumple
Separación mínima pernos-borde: <i>1.5 diámetros</i>	Mínimo: 30 mm Calculado: 30 mm	Cumple
Esbeltez de rigidizadores:	Máximo: 50	
- Paralelos a X:	Calculado: 23.3	Cumple
- Paralelos a Y:	Calculado: 23.9	Cumple
Longitud mínima del perno: <i>Se calcula la longitud de anclaje necesaria por adherencia.</i>	Mínimo: 22 cm Calculado: 40 cm	Cumple
Anclaje perno en hormigón:		
- Tracción:	Máximo: 88.9 kN Calculado: 38.98 kN	Cumple
- Cortante:	Máximo: 62.23 kN Calculado: 14.95 kN	Cumple
- Tracción + Cortante:	Máximo: 88.9 kN Calculado: 60.34 kN	Cumple
Tracción en vástago de pernos:	Máximo: 125.6 kN Calculado: 36.02 kN	Cumple
Tensión de Von Mises en vástago de pernos:	Máximo: 476.19 MPa Calculado: 122.363 MPa	Cumple
Aplastamiento perno en placa: <i>Límite del cortante en un perno actuando contra la placa</i>	Máximo: 230.48 kN Calculado: 14.05 kN	Cumple
Tensión de Von Mises en secciones globales:	Máximo: 261.905 MPa	
- Derecha:	Calculado: 74.2332 MPa	Cumple
- Izquierda:	Calculado: 81.0821 MPa	Cumple
- Arriba:	Calculado: 83.9243 MPa	Cumple
- Abajo:	Calculado: 87.3046 MPa	Cumple
Flecha global equivalente: <i>Limitación de la deformabilidad de los vuelos</i>	Mínimo: 250	
- Derecha:	Calculado: 11596.4	Cumple
- Izquierda:	Calculado: 11990	Cumple
- Arriba:	Calculado: 10020.4	Cumple
- Abajo:	Calculado: 9629.56	Cumple
Tensión de Von Mises local: <i>Tensión por tracción de pernos sobre placas en voladizo</i>	Máximo: 261.905 MPa Calculado: 136.094 MPa	Cumple
Se cumplen todas las comprobaciones		

A1.2.10.4. Placa de anclaje tipo 4.

Referencia:		
Comprobación	Valores	Estado
Separación mínima entre pernos: <i>3 diámetros</i>	Mínimo: 60 mm Calculado: 107 mm	Cumple
Separación mínima pernos-borde: <i>1.5 diámetros</i>	Mínimo: 30 mm Calculado: 40 mm	Cumple
Esbeltez de rigidizadores:	Máximo: 50	
- Paralelos a X:	Calculado: 28.4	Cumple
- Paralelos a Y:	Calculado: 19.4	Cumple
Longitud mínima del perno: <i>Se calcula la longitud de anclaje necesaria por adherencia.</i>	Mínimo: 22 cm Calculado: 90 cm	Cumple
Anclaje perno en hormigón:		
- Tracción:	Máximo: 200.02 kN Calculado: 70.9 kN	Cumple
- Cortante:	Máximo: 140.01 kN Calculado: 52.43 kN	Cumple
- Tracción + Cortante:	Máximo: 200.02 kN Calculado: 145.81 kN	Cumple
Tracción en vástago de pernos:	Máximo: 125.6 kN Calculado: 68.99 kN	Cumple
Tensión de Von Mises en vástago de pernos:	Máximo: 476.19 MPa Calculado: 321.075 MPa	Cumple
Aplastamiento perno en placa: <i>Límite del cortante en un perno actuando contra la placa</i>	Máximo: 314.29 kN Calculado: 49.24 kN	Cumple
Tensión de Von Mises en secciones globales:	Máximo: 261.905 MPa	
- Derecha:	Calculado: 158.957 MPa	Cumple
- Izquierda:	Calculado: 192.598 MPa	Cumple
- Arriba:	Calculado: 186.1 MPa	Cumple
- Abajo:	Calculado: 188.717 MPa	Cumple
Flecha global equivalente: <i>Limitación de la deformabilidad de los vuelos</i>	Mínimo: 250	
- Derecha:	Calculado: 4341.38	Cumple
- Izquierda:	Calculado: 3893.93	Cumple
- Arriba:	Calculado: 2931.65	Cumple
- Abajo:	Calculado: 2889.63	Cumple
Tensión de Von Mises local: <i>Tensión por tracción de pernos sobre placas en voladizo</i>	Máximo: 261.905 MPa Calculado: 155.119 MPa	Cumple
Se cumplen todas las comprobaciones		

A1.2.10.5. Placa de anclaje tipo 5.

Referencia:		
Comprobación	Valores	Estado
Separación mínima entre pernos: <i>3 diámetros</i>	Mínimo: 60 mm Calculado: 107 mm	Cumple
Separación mínima pernos-borde: <i>1.5 diámetros</i>	Mínimo: 30 mm Calculado: 40 mm	Cumple
Esbeltez de rigidizadores:	Máximo: 50	
- Paralelos a X:	Calculado: 23.7	Cumple
- Paralelos a Y:	Calculado: 19.4	Cumple
Longitud mínima del perno: <i>Se calcula la longitud de anclaje necesaria por adherencia.</i>	Mínimo: 22 cm Calculado: 80 cm	Cumple
Anclaje perno en hormigón:		
- Tracción:	Máximo: 177.79 kN Calculado: 92.21 kN	Cumple
- Cortante:	Máximo: 124.45 kN Calculado: 31.83 kN	Cumple
- Tracción + Cortante:	Máximo: 177.79 kN Calculado: 137.68 kN	Cumple
Tracción en vástago de pernos:	Máximo: 125.6 kN Calculado: 90.31 kN	Cumple
Tensión de Von Mises en vástago de pernos:	Máximo: 476.19 MPa Calculado: 342.378 MPa	Cumple
Aplastamiento perno en placa: <i>Límite del cortante en un perno actuando contra la placa</i>	Máximo: 314.29 kN Calculado: 31.12 kN	Cumple
Tensión de Von Mises en secciones globales:	Máximo: 261.905 MPa	
- Derecha:	Calculado: 213.171 MPa	Cumple
- Izquierda:	Calculado: 193.786 MPa	Cumple
- Arriba:	Calculado: 247.325 MPa	Cumple
- Abajo:	Calculado: 242.448 MPa	Cumple
Flecha global equivalente: <i>Limitación de la deformabilidad de los vuelos</i>	Mínimo: 250	
- Derecha:	Calculado: 3060.66	Cumple
- Izquierda:	Calculado: 3295.77	Cumple
- Arriba:	Calculado: 2476.84	Cumple
- Abajo:	Calculado: 2416.44	Cumple
Tensión de Von Mises local: <i>Tensión por tracción de pernos sobre placas en voladizo</i>	Máximo: 261.905 MPa Calculado: 203.056 MPa	Cumple
Se cumplen todas las comprobaciones		

A1.2.10.6. Placa de anclaje tipo 6.

Referencia:		
Comprobación	Valores	Estado
Separación mínima entre pernos: <i>3 diámetros</i>	Mínimo: 60 mm Calculado: 134 mm	Cumple
Separación mínima pernos-borde: <i>1.5 diámetros</i>	Mínimo: 30 mm Calculado: 50 mm	Cumple
Esbeltez de rigidizadores: - Paralelos a Y:	Máximo: 50 Calculado: 27.6	Cumple
Longitud mínima del perno: <i>Se calcula la longitud de anclaje necesaria por adherencia.</i>	Mínimo: 22 cm Calculado: 50 cm	Cumple
Anclaje perno en hormigón:		
- Tracción:	Máximo: 111.12 kN Calculado: 80.7 kN	Cumple
- Cortante:	Máximo: 77.78 kN Calculado: 11.78 kN	Cumple
- Tracción + Cortante:	Máximo: 111.12 kN Calculado: 97.53 kN	Cumple
Tracción en vástago de pernos:	Máximo: 125.6 kN Calculado: 76.76 kN	Cumple
Tensión de Von Mises en vástago de pernos:	Máximo: 476.19 MPa Calculado: 253.669 MPa	Cumple
Aplastamiento perno en placa: <i>Límite del cortante en un perno actuando contra la placa</i>	Máximo: 314.29 kN Calculado: 11.06 kN	Cumple
Tensión de Von Mises en secciones globales:	Máximo: 261.905 MPa	
- Derecha:	Calculado: 30.6761 MPa	Cumple
- Izquierda:	Calculado: 30.6766 MPa	Cumple
- Arriba:	Calculado: 95.8564 MPa	Cumple
- Abajo:	Calculado: 105.524 MPa	Cumple
Flecha global equivalente: <i>Limitación de la deformabilidad de los vuelos</i>	Mínimo: 250	
- Derecha:	Calculado: 9528.24	Cumple
- Izquierda:	Calculado: 9528.24	Cumple
- Arriba:	Calculado: 11616.7	Cumple
- Abajo:	Calculado: 10501.5	Cumple
Tensión de Von Mises local: <i>Tensión por tracción de pernos sobre placas en voladizo</i>	Máximo: 261.905 MPa Calculado: 78.8549 MPa	Cumple
Se cumplen todas las comprobaciones		

A1.2.10.7. Placa de anclaje tipo 7.

Pilar IPE 550

Cordones de soldadura

Comprobaciones geométricas									
Ref.	Tipo	a (mm)	l (mm)	t (mm)	Ángulo (grados)				
Soldadura perimetral a la placa	En ángulo	8	1657	11.1	90.00				
<i>a: Espesor garganta</i> <i>l: Longitud efectiva</i> <i>t: Espesor de piezas</i>									
Comprobación de resistencia									
Ref.	Tensión de Von Mises					Tensión normal		f _u (N/mm ²)	β _w
	σ _⊥ (N/mm ²)	τ _⊥ (N/mm ²)	τ (N/mm ²)	Valor (N/mm ²)	Aprov. (%)	σ _⊥ (N/mm ²)	Aprov. (%)		
Soldadura perimetral a la placa	La comprobación no procede.							410.0	0.85

2) Placa de anclaje

Referencia:		
Comprobación	Valores	Estado
Separación mínima entre pernos: <i>3 diámetros</i>	Mínimo: 96 mm Calculado: 137 mm	Cumple
Separación mínima pernos-borde: <i>1.5 diámetros</i>	Mínimo: 48 mm Calculado: 70 mm	Cumple
Esbeltez de rigidizadores: - Paralelos a Y:	Máximo: 50 Calculado: 44	Cumple
Longitud mínima del perno: <i>Se calcula la longitud de anclaje necesaria por adherencia.</i>	Mínimo: 35 cm Calculado: 90 cm	Cumple
Anclaje perno en hormigón:		
- Tracción:	Máximo: 320.03 kN Calculado: 187.64 kN	Cumple
- Cortante:	Máximo: 224.02 kN Calculado: 44.86 kN	Cumple
- Tracción + Cortante:	Máximo: 320.03 kN Calculado: 251.72 kN	Cumple
Tracción en vástago de pernos:	Máximo: 321.6 kN Calculado: 177.06 kN	Cumple
Tensión de Von Mises en vástago de pernos:	Máximo: 476.19 MPa Calculado: 242.266 MPa	Cumple
Aplastamiento perno en placa: <i>Límite del cortante en un perno actuando contra la placa</i>	Máximo: 670.48 kN Calculado: 42.24 kN	Cumple
Tensión de Von Mises en secciones globales:		
- Derecha:	Máximo: 261.905 MPa Calculado: 171.126 MPa	Cumple

Referencia:		
Comprobación	Valores	Estado
- Izquierda:	Calculado: 169.606 MPa	Cumple
- Arriba:	Calculado: 144.567 MPa	Cumple
- Abajo:	Calculado: 38.4672 MPa	Cumple
Flecha global equivalente: <i>Limitación de la deformabilidad de los vuelos</i>	Mínimo: 250	
- Derecha:	Calculado: 1227.62	Cumple
- Izquierda:	Calculado: 1238.23	Cumple
- Arriba:	Calculado: 7988.01	Cumple
- Abajo:	Calculado: 22813.5	Cumple
Tensión de Von Mises local: <i>Tensión por tracción de pernos sobre placas en voladizo</i>	Máximo: 261.905 MPa Calculado: 121.418 MPa	Cumple
Se cumplen todas las comprobaciones		

Cordones de soldadura

Comprobaciones geométricas									
Ref.	Tipo	a (mm)	Preparación de bordes (mm)	l (mm)	t (mm)	Ángulo (grados)			
Rigidizador y-y (x = -111): Soldadura a la placa base	En ángulo	8	--	900	12.0	90.00			
Rigidizador y-y (x = 111): Soldadura a la placa base	En ángulo	8	--	900	12.0	90.00			
Soldadura de los pernos a la placa base	De penetración parcial	--	15	101	32.0	90.00			
<i>a: Espesor garganta</i> <i>l: Longitud efectiva</i> <i>t: Espesor de piezas</i>									
Comprobación de resistencia									
Ref.	Tensión de Von Mises				Tensión normal		f _u (N/mm ²)	β _w	
	σ _⊥ (N/mm ²)	τ _⊥ (N/mm ²)	τ (N/mm ²)	Valor (N/mm ²)	Aprov. (%)	σ (N/mm ²)			Aprov. (%)
Rigidizador y-y (x = -111): Soldadura a la placa base	La comprobación no procede.						410.0	0.85	
Rigidizador y-y (x = 111): Soldadura a la placa base	La comprobación no procede.						410.0	0.85	
Soldadura de los pernos a la placa base	0.0	0.0	135.5	234.7	60.81	0.0	0.00	410.0	0.85

A1.2.10.8. Placa de anclaje tipo 8.

Pilar IPE 600

Cordones de soldadura

Comprobaciones geométricas									
Ref.				Tipo		a (mm)	l (mm)	t (mm)	Ángulo (grados)
Soldadura perimetral a la placa				En ángulo		8	1788	12.0	90.00
<i>a: Espesor garganta</i> <i>l: Longitud efectiva</i> <i>t: Espesor de piezas</i>									
Comprobación de resistencia									
Ref.	Tensión de Von Mises					Tensión normal		f _u (N/mm²)	β _w
	σ _⊥ (N/mm²)	τ _⊥ (N/mm²)	τ (N/mm²)	Valor (N/mm²)	Aprov. (%)	σ _⊥ (N/mm²)	Aprov. (%)		
Soldadura perimetral a la placa	La comprobación no procede.							410.0	0.85

2) Placa de anclaje

Referencia:		
Comprobación	Valores	Estado
Separación mínima entre pernos: <i>3 diámetros</i>	Mínimo: 96 mm Calculado: 213 mm	Cumple
Separación mínima pernos-borde: <i>1.5 diámetros</i>	Mínimo: 48 mm Calculado: 50 mm	Cumple
Esbeltez de rigidizadores: - Paralelos a Y:	Máximo: 50 Calculado: 44	Cumple
Longitud mínima del perno: <i>Se calcula la longitud de anclaje necesaria por adherencia.</i>	Mínimo: 35 cm Calculado: 75 cm	Cumple
Anclaje perno en hormigón:		
- Tracción:	Máximo: 266.69 kN Calculado: 226.05 kN	Cumple
- Cortante:	Máximo: 186.68 kN Calculado: 13.51 kN	Cumple
- Tracción + Cortante:	Máximo: 266.69 kN Calculado: 245.34 kN	Cumple
Tracción en vástago de pernos:	Máximo: 321.6 kN Calculado: 212.68 kN	Cumple
Tensión de Von Mises en vástago de pernos:	Máximo: 476.19 MPa Calculado: 266.183 MPa	Cumple
Aplastamiento perno en placa: <i>Límite del cortante en un perno actuando contra la placa</i>	Máximo: 670.48 kN Calculado: 12.67 kN	Cumple
Tensión de Von Mises en secciones globales:		
- Derecha:	Calculado: 97.4817 MPa	Cumple
- Izquierda:	Calculado: 97.5399 MPa	Cumple

Referencia:		
Comprobación	Valores	Estado
- Arriba:	Calculado: 142.98 MPa	Cumple
- Abajo:	Calculado: 149.931 MPa	Cumple
Flecha global equivalente: <i>Limitación de la deformabilidad de los vuelos</i>	Mínimo: 250	
- Derecha:	Calculado: 5602.8	Cumple
- Izquierda:	Calculado: 5595.87	Cumple
- Arriba:	Calculado: 8919.87	Cumple
- Abajo:	Calculado: 7194.96	Cumple
Tensión de Von Mises local: <i>Tensión por tracción de pernos sobre placas en voladizo</i>	Máximo: 261.905 MPa Calculado: 125.036 MPa	Cumple
Se cumplen todas las comprobaciones		

Cordones de soldadura

Comprobaciones geométricas									
Ref.	Tipo	a (mm)	Preparación de bordes (mm)	l (mm)	t (mm)	Ángulo (grados)			
Rigidizador y-y (x = -116): Soldadura a la placa base	En ángulo	8	--	950	12.0	90.00			
Rigidizador y-y (x = 116): Soldadura a la placa base	En ángulo	8	--	950	12.0	90.00			
Soldadura de los pernos a la placa base	De penetración parcial	--	16	101	32.0	90.00			
<i>a: Espesor garganta</i> <i>l: Longitud efectiva</i> <i>t: Espesor de piezas</i>									
Comprobación de resistencia									
Ref.	Tensión de Von Mises					Tensión normal		f _u (N/mm ²)	β _w
	σ _⊥ (N/mm ²)	τ _⊥ (N/mm ²)	τ (N/mm ²)	Valor (N/mm ²)	Aprov. (%)	σ _⊥ (N/mm ²)	Aprov. (%)		
Rigidizador y-y (x = -116): Soldadura a la placa base	La comprobación no procede.						410.0	0.85	
Rigidizador y-y (x = 116): Soldadura a la placa base	La comprobación no procede.						410.0	0.85	
Soldadura de los pernos a la placa base	0.0	0.0	151.1	261.7	67.83	0.0	0.00	410.0	0.85

A1.2.11. Cimentación.

A1.2.11.1. Zapata tipo A.

Referencia: (N547 - N556)		
Dimensiones: 300 x 1100 x 140		
Armados: Xi:Ø20c/24 Yi:Ø20c/24 Xs:Ø20c/24 Ys:Ø20c/24		
Comprobación	Valores	Estado
Tensiones sobre el terreno: <i>Criterio de CYPE Ingenieros</i>		
-Tensión media en situaciones persistentes:	Máximo: 0.2 MPa Calculado: 0.0478728 MPa	Cumple
-Tensión máxima en situaciones persistentes sin viento:	Máximo: 0.249959 MPa Calculado: 0.0587619 MPa	Cumple
-Tensión máxima en situaciones persistentes con viento:	Máximo: 0.249959 MPa Calculado: 0.0715149 MPa	Cumple
Vuelco de la zapata: <i>Si el % de reserva de seguridad es mayor que cero, quiere decir que los coeficientes de seguridad al vuelco son mayores que los valores estrictos exigidos para todas las combinaciones de equilibrio.</i>		
- En dirección X:	Reserva seguridad: 1578.5 %	Cumple
- En dirección Y:	Reserva seguridad: 177.0 %	Cumple
Flexión en la zapata:		
- En dirección X:	Momento: -183.84 kN·m	Cumple
- En dirección Y:	Momento: 867.75 kN·m	Cumple
Cortante en la zapata:		
- En dirección X:	Cortante: 6.87 kN	Cumple
- En dirección Y:	Cortante: 276.84 kN	Cumple
Compresión oblicua en la zapata:		
- Situaciones persistentes: <i>Criterio de CYPE Ingenieros</i>	Máximo: 5000 kN/m ² Calculado: 266.9 kN/m ²	Cumple
Canto mínimo: <i>Artículo 58.8.1 de la norma EHE-08</i>	Mínimo: 25 cm Calculado: 140 cm	Cumple
Espacio para anclar arranques en cimentación:	Calculado: 131 cm	
- N547:	Mínimo: 60 cm	Cumple
- N556:	Mínimo: 40 cm	Cumple
Cuantía geométrica mínima: <i>Artículo 42.3.5 de la norma EHE-08</i>	Mínimo: 0.0009	
- Armado inferior dirección X:	Calculado: 0.0009	Cumple
- Armado superior dirección X:	Calculado: 0.0009	Cumple
- Armado inferior dirección Y:	Calculado: 0.0009	Cumple
- Armado superior dirección Y:	Calculado: 0.0009	Cumple
Cuantía mínima necesaria por flexión: <i>Artículo 42.3.2 de la norma EHE-08</i>	Calculado: 0.001	
- Armado inferior dirección X:	Mínimo: 0.0001	Cumple

Referencia: (N547 - N556) Dimensiones: 300 x 1100 x 140 Armados: Xi:Ø20c/24 Yi:Ø20c/24 Xs:Ø20c/24 Ys:Ø20c/24		
Comprobación	Valores	Estado
- Armado inferior dirección Y:	Mínimo: 0.0006	Cumple
- Armado superior dirección X:	Mínimo: 0.0001	Cumple
- Armado superior dirección Y:	Mínimo: 0.0006	Cumple
Diámetro mínimo de las barras: <i>Recomendación del Artículo 58.8.2 (norma EHE-08)</i>	Mínimo: 12 mm	
- Parrilla inferior:	Calculado: 20 mm	Cumple
- Parrilla superior:	Calculado: 20 mm	Cumple
Separación máxima entre barras: <i>Artículo 58.8.2 de la norma EHE-08</i>	Máximo: 30 cm	
- Armado inferior dirección X:	Calculado: 24 cm	Cumple
- Armado inferior dirección Y:	Calculado: 24 cm	Cumple
- Armado superior dirección X:	Calculado: 24 cm	Cumple
- Armado superior dirección Y:	Calculado: 24 cm	Cumple
Separación mínima entre barras: <i>Criterio de CYPE Ingenieros, basado en: J. Calavera. "Cálculo de Estructuras de Cementación". Capítulo 3.16</i>	Mínimo: 10 cm	
- Armado inferior dirección X:	Calculado: 24 cm	Cumple
- Armado inferior dirección Y:	Calculado: 24 cm	Cumple
- Armado superior dirección X:	Calculado: 24 cm	Cumple
- Armado superior dirección Y:	Calculado: 24 cm	Cumple
Longitud de anclaje: <i>Criterio del libro "Cálculo de estructuras de cimentación", J. Calavera. Ed. INTEMAC, 1991</i>		
- Armado inf. dirección X hacia der:	Mínimo: 20 cm Calculado: 20 cm	Cumple
- Armado inf. dirección X hacia izq:	Mínimo: 20 cm Calculado: 20 cm	Cumple
- Armado inf. dirección Y hacia arriba:	Mínimo: 20 cm Calculado: 297 cm	Cumple
- Armado inf. dirección Y hacia abajo:	Mínimo: 26 cm Calculado: 330 cm	Cumple
- Armado sup. dirección X hacia der:	Mínimo: 28 cm Calculado: 28 cm	Cumple
- Armado sup. dirección X hacia izq:	Mínimo: 28 cm Calculado: 28 cm	Cumple
- Armado sup. dirección Y hacia arriba:	Mínimo: 28 cm Calculado: 305 cm	Cumple
- Armado sup. dirección Y hacia abajo:	Mínimo: 33 cm Calculado: 338 cm	Cumple
Longitud mínima de las patillas: - Armado inf. dirección X hacia der:	Mínimo: 20 cm Calculado: 20 cm	Cumple

Referencia: (N547 - N556)		
Dimensiones: 300 x 1100 x 140		
Armados: Xi:Ø20c/24 Yi:Ø20c/24 Xs:Ø20c/24 Ys:Ø20c/24		
Comprobación	Valores	Estado
- Armado inf. dirección X hacia izq:	Calculado: 20 cm	Cumple
- Armado inf. dirección Y hacia arriba:	Calculado: 20 cm	Cumple
- Armado inf. dirección Y hacia abajo:	Calculado: 20 cm	Cumple
- Armado sup. dirección X hacia der:	Calculado: 28 cm	Cumple
- Armado sup. dirección X hacia izq:	Calculado: 28 cm	Cumple
- Armado sup. dirección Y hacia arriba:	Calculado: 28 cm	Cumple
- Armado sup. dirección Y hacia abajo:	Calculado: 28 cm	Cumple
Se cumplen todas las comprobaciones		

A1.2.11.2. Zapata tipo B.

Referencia: (N781 - N790)		
Dimensiones: 540 x 1400 x 160		
Armados: Xi:Ø20c/21 Yi:Ø20c/21 Xs:Ø20c/21 Ys:Ø20c/21		
Comprobación	Valores	Estado
Tensiones sobre el terreno: <i>Criterio de CYPE Ingenieros</i>		
- Tensión media en situaciones persistentes:	Máximo: 0.2 MPa Calculado: 0.0530721 MPa	Cumple
- Tensión máxima en situaciones persistentes sin viento:	Máximo: 0.249959 MPa Calculado: 0.0640593 MPa	Cumple
- Tensión máxima en situaciones persistentes con viento:	Máximo: 0.249959 MPa Calculado: 0.0795591 MPa	Cumple
Vuelco de la zapata: <i>Si el % de reserva de seguridad es mayor que cero, quiere decir que los coeficientes de seguridad al vuelco son mayores que los valores estrictos exigidos para todas las combinaciones de equilibrio.</i>		
- En dirección X:	Reserva seguridad: 310.0 %	Cumple
- En dirección Y:	Reserva seguridad: 654.8 %	Cumple
Flexión en la zapata:		
- En dirección X:	Momento: -1549.39 kN·m	Cumple
- En dirección Y:	Momento: 1505.33 kN·m	Cumple
Cortante en la zapata:		
- En dirección X:	Cortante: 477.65 kN	Cumple
- En dirección Y:	Cortante: 454.69 kN	Cumple
Compresión oblicua en la zapata:		
- Situaciones persistentes: <i>Criterio de CYPE Ingenieros</i>	Máximo: 5000 kN/m ² Calculado: 390.2 kN/m ²	Cumple
Canto mínimo: <i>Artículo 58.8.1 de la norma EHE-08</i>	Mínimo: 25 cm Calculado: 160 cm	Cumple

Referencia: (N781 - N790) Dimensiones: 540 x 1400 x 160 Armados: Xi:Ø20c/21 Yi:Ø20c/21 Xs:Ø20c/21 Ys:Ø20c/21		
Comprobación	Valores	Estado
Espacio para anclar arranques en cimentación:	Calculado: 151 cm	
- N781:	Mínimo: 80 cm	Cumple
- N790:	Mínimo: 90 cm	Cumple
Cuantía geométrica mínima: <i>Artículo 42.3.5 de la norma EHE-08</i>	Mínimo: 0.0009	
- Armado inferior dirección X:	Calculado: 0.0009	Cumple
- Armado superior dirección X:	Calculado: 0.0009	Cumple
- Armado inferior dirección Y:	Calculado: 0.0009	Cumple
- Armado superior dirección Y:	Calculado: 0.0009	Cumple
Cuantía mínima necesaria por flexión: <i>Artículo 42.3.2 de la norma EHE-08</i>	Calculado: 0.001	
- Armado inferior dirección X:	Mínimo: 0.0002	Cumple
- Armado inferior dirección Y:	Mínimo: 0.0005	Cumple
- Armado superior dirección X:	Mínimo: 0.0002	Cumple
- Armado superior dirección Y:	Mínimo: 0.0004	Cumple
Diámetro mínimo de las barras: <i>Recomendación del Artículo 58.8.2 (norma EHE-08)</i>	Mínimo: 12 mm	
- Parrilla inferior:	Calculado: 20 mm	Cumple
- Parrilla superior:	Calculado: 20 mm	Cumple
Separación máxima entre barras: <i>Artículo 58.8.2 de la norma EHE-08</i>	Máximo: 30 cm	
- Armado inferior dirección X:	Calculado: 21 cm	Cumple
- Armado inferior dirección Y:	Calculado: 21 cm	Cumple
- Armado superior dirección X:	Calculado: 21 cm	Cumple
- Armado superior dirección Y:	Calculado: 21 cm	Cumple
Separación mínima entre barras: <i>Criterio de CYPE Ingenieros, basado en: J. Calavera. "Cálculo de Estructuras de Cimentación". Capítulo 3.16</i>	Mínimo: 10 cm	
- Armado inferior dirección X:	Calculado: 21 cm	Cumple
- Armado inferior dirección Y:	Calculado: 21 cm	Cumple
- Armado superior dirección X:	Calculado: 21 cm	Cumple
- Armado superior dirección Y:	Calculado: 21 cm	Cumple
Longitud de anclaje: <i>Criterio del libro "Cálculo de estructuras de cimentación", J. Calavera. Ed. INTEMAC, 1991</i>		
- Armado inf. dirección X hacia der:	Mínimo: 20 cm Calculado: 249 cm	Cumple
- Armado inf. dirección X hacia izq:	Mínimo: 20 cm Calculado: 20 cm	Cumple

Referencia: (N781 - N790)		
Dimensiones: 540 x 1400 x 160		
Armados: Xi:Ø20c/21 Yi:Ø20c/21 Xs:Ø20c/21 Ys:Ø20c/21		
Comprobación	Valores	Estado
- Armado inf. dirección Y hacia arriba:	Mínimo: 20 cm Calculado: 311 cm	Cumple
- Armado inf. dirección Y hacia abajo:	Mínimo: 20 cm Calculado: 314 cm	Cumple
- Armado sup. dirección X hacia der:	Mínimo: 28 cm Calculado: 257 cm	Cumple
- Armado sup. dirección X hacia izq:	Mínimo: 28 cm Calculado: 28 cm	Cumple
- Armado sup. dirección Y hacia arriba:	Mínimo: 28 cm Calculado: 357 cm	Cumple
- Armado sup. dirección Y hacia abajo:	Mínimo: 28 cm Calculado: 322 cm	Cumple
Longitud mínima de las patillas:	Mínimo: 20 cm	
- Armado inf. dirección X hacia der:	Calculado: 20 cm	Cumple
- Armado inf. dirección X hacia izq:	Calculado: 20 cm	Cumple
- Armado inf. dirección Y hacia arriba:	Calculado: 20 cm	Cumple
- Armado inf. dirección Y hacia abajo:	Calculado: 20 cm	Cumple
- Armado sup. dirección X hacia der:	Calculado: 28 cm	Cumple
- Armado sup. dirección X hacia izq:	Calculado: 28 cm	Cumple
- Armado sup. dirección Y hacia arriba:	Calculado: 28 cm	Cumple
- Armado sup. dirección Y hacia abajo:	Calculado: 28 cm	Cumple
Se cumplen todas las comprobaciones		

A1.2.11.3. Zapata tipo C.

Referencia: N1009		
Dimensiones: 400 x 500 x 140		
Armados: Xi:Ø20c/24 Yi:Ø20c/24 Xs:Ø20c/24 Ys:Ø20c/24		
Comprobación	Valores	Estado
Tensiones sobre el terreno: <i>Criterio de CYPE Ingenieros</i>		
- Tensión media en situaciones persistentes:	Máximo: 0.2 MPa Calculado: 0.0479709 MPa	Cumple
- Tensión máxima en situaciones persistentes sin viento:	Máximo: 0.249959 MPa Calculado: 0.0479709 MPa	Cumple
- Tensión máxima en situaciones persistentes con viento:	Máximo: 0.249959 MPa Calculado: 0.0959418 MPa	Cumple
Vuelco de la zapata: <i>Si el % de reserva de seguridad es mayor que cero, quiere decir que los coeficientes de seguridad al vuelco son mayores que los valores estrictos exigidos para todas las combinaciones de equilibrio.</i>		
- En dirección X:	Reserva seguridad: 13509.7 %	Cumple

Referencia: N1009 Dimensiones: 400 x 500 x 140 Armados: Xi:Ø20c/24 Yi:Ø20c/24 Xs:Ø20c/24 Ys:Ø20c/24		
Comprobación	Valores	Estado
- En dirección Y:	Reserva seguridad: 57.8 %	Cumple
Flexión en la zapata:		
- En dirección X:	Momento: 102.88 kN·m	Cumple
- En dirección Y:	Momento: 435.72 kN·m	Cumple
Cortante en la zapata:		
- En dirección X:	Cortante: 30.51 kN	Cumple
- En dirección Y:	Cortante: 188.55 kN	Cumple
Compresión oblicua en la zapata:		
- Situaciones persistentes: <i>Criterio de CYPE Ingenieros</i>	Máximo: 5000 kN/m ² Calculado: 42.9 kN/m ²	Cumple
Canto mínimo: <i>Artículo 58.8.1 de la norma EHE-08</i>	Mínimo: 25 cm Calculado: 140 cm	Cumple
Espacio para anclar arranques en cimentación: - N1009:	Mínimo: 50 cm Calculado: 131 cm	Cumple
Cuantía geométrica mínima: <i>Artículo 42.3.5 de la norma EHE-08</i>	Mínimo: 0.0009	
- Armado inferior dirección X:	Calculado: 0.0009	Cumple
- Armado superior dirección X:	Calculado: 0.0009	Cumple
- Armado inferior dirección Y:	Calculado: 0.0009	Cumple
- Armado superior dirección Y:	Calculado: 0.0009	Cumple
Cuantía mínima necesaria por flexión: <i>Artículo 42.3.2 de la norma EHE-08</i>	Calculado: 0.001	
- Armado inferior dirección X:	Mínimo: 0.0001	Cumple
- Armado inferior dirección Y:	Mínimo: 0.0003	Cumple
- Armado superior dirección X:	Mínimo: 0.0001	Cumple
- Armado superior dirección Y:	Mínimo: 0.0003	Cumple
Diámetro mínimo de las barras: <i>Recomendación del Artículo 58.8.2 (norma EHE-08)</i>	Mínimo: 12 mm	
- Parrilla inferior:	Calculado: 20 mm	Cumple
- Parrilla superior:	Calculado: 20 mm	Cumple
Separación máxima entre barras: <i>Artículo 58.8.2 de la norma EHE-08</i>	Máximo: 30 cm	
- Armado inferior dirección X:	Calculado: 24 cm	Cumple
- Armado inferior dirección Y:	Calculado: 24 cm	Cumple
- Armado superior dirección X:	Calculado: 24 cm	Cumple
- Armado superior dirección Y:	Calculado: 24 cm	Cumple

Referencia: N1009		
Dimensiones: 400 x 500 x 140		
Armados: Xi:Ø20c/24 Yi:Ø20c/24 Xs:Ø20c/24 Ys:Ø20c/24		
Comprobación	Valores	Estado
Separación mínima entre barras: <i>Criterio de CYPE Ingenieros, basado en: J. Calavera. "Cálculo de Estructuras de Cimentación". Capítulo 3.16</i>	Mínimo: 10 cm	
- Armado inferior dirección X:	Calculado: 24 cm	Cumple
- Armado inferior dirección Y:	Calculado: 24 cm	Cumple
- Armado superior dirección X:	Calculado: 24 cm	Cumple
- Armado superior dirección Y:	Calculado: 24 cm	Cumple
Longitud de anclaje: <i>Criterio del libro "Cálculo de estructuras de cimentación", J. Calavera. Ed. INTEMAC, 1991</i>		
- Armado inf. dirección X hacia der:	Mínimo: 20 cm Calculado: 63 cm	Cumple
- Armado inf. dirección X hacia izq:	Mínimo: 20 cm Calculado: 63 cm	Cumple
- Armado inf. dirección Y hacia arriba:	Mínimo: 20 cm Calculado: 107 cm	Cumple
- Armado inf. dirección Y hacia abajo:	Mínimo: 20 cm Calculado: 20 cm	Cumple
- Armado sup. dirección X hacia der:	Mínimo: 28 cm Calculado: 63 cm	Cumple
- Armado sup. dirección X hacia izq:	Mínimo: 28 cm Calculado: 63 cm	Cumple
- Armado sup. dirección Y hacia arriba:	Mínimo: 28 cm Calculado: 115 cm	Cumple
- Armado sup. dirección Y hacia abajo:	Mínimo: 28 cm Calculado: 28 cm	Cumple
Longitud mínima de las patillas:	Mínimo: 20 cm	
- Armado inf. dirección Y hacia arriba:	Calculado: 20 cm	Cumple
- Armado inf. dirección Y hacia abajo:	Calculado: 20 cm	Cumple
- Armado sup. dirección Y hacia arriba:	Calculado: 28 cm	Cumple
- Armado sup. dirección Y hacia abajo:	Calculado: 28 cm	Cumple
Se cumplen todas las comprobaciones		

A1.2.11.4. Zapata tipo D.

Referencia: (N783 - N806)		
Dimensiones: 540 x 1400 x 160		
Armados: Xi:Ø20c/21 Yi:Ø20c/21 Xs:Ø20c/21 Ys:Ø20c/21		
Comprobación	Valores	Estado
Tensiones sobre el terreno: <i>Criterio de CYPE Ingenieros</i>		
- Tensión media en situaciones persistentes:	Máximo: 0.2 MPa Calculado: 0.0534645 MPa	Cumple

Referencia: (N783 - N806) Dimensiones: 540 x 1400 x 160 Armados: Xi:Ø20c/21 Yi:Ø20c/21 Xs:Ø20c/21 Ys:Ø20c/21		
Comprobación	Valores	Estado
- Tensión máxima en situaciones persistentes sin viento:	Máximo: 0.249959 MPa Calculado: 0.0640593 MPa	Cumple
- Tensión máxima en situaciones persistentes con viento:	Máximo: 0.249959 MPa Calculado: 0.0800496 MPa	Cumple
Vuelco de la zapata: <i>Si el % de reserva de seguridad es mayor que cero, quiere decir que los coeficientes de seguridad al vuelco son mayores que los valores estrictos exigidos para todas las combinaciones de equilibrio.</i>		
- En dirección X:	Reserva seguridad: 296.1 %	Cumple
- En dirección Y:	Reserva seguridad: 635.4 %	Cumple
Flexión en la zapata:		
- En dirección X:	Momento: -1619.92 kN·m	Cumple
- En dirección Y:	Momento: 1509.86 kN·m	Cumple
Cortante en la zapata:		
- En dirección X:	Cortante: 500.21 kN	Cumple
- En dirección Y:	Cortante: 456.07 kN	Cumple
Compresión oblicua en la zapata:		
- Situaciones persistentes: <i>Criterio de CYPE Ingenieros</i>	Máximo: 5000 kN/m ² Calculado: 397.3 kN/m ²	Cumple
Canto mínimo: <i>Artículo 58.8.1 de la norma EHE-08</i>		
	Mínimo: 25 cm Calculado: 160 cm	Cumple
Espacio para anclar arranques en cimentación:		
- N783:	Calculado: 151 cm Mínimo: 80 cm	Cumple
- N806:	Mínimo: 90 cm	Cumple
Cuantía geométrica mínima: <i>Artículo 42.3.5 de la norma EHE-08</i>		
- Armado inferior dirección X:	Mínimo: 0.0009 Calculado: 0.0009	Cumple
- Armado superior dirección X:	Calculado: 0.0009	Cumple
- Armado inferior dirección Y:	Calculado: 0.0009	Cumple
- Armado superior dirección Y:	Calculado: 0.0009	Cumple
Cuantía mínima necesaria por flexión: <i>Artículo 42.3.2 de la norma EHE-08</i>		
	Calculado: 0.001	
- Armado inferior dirección X:	Mínimo: 0.0002	Cumple
- Armado inferior dirección Y:	Mínimo: 0.0005	Cumple
- Armado superior dirección X:	Mínimo: 0.0002	Cumple
- Armado superior dirección Y:	Mínimo: 0.0004	Cumple
Diámetro mínimo de las barras: <i>Recomendación del Artículo 58.8.2 (norma EHE-08)</i>		
- Parrilla inferior:	Mínimo: 12 mm Calculado: 20 mm	Cumple

Referencia: (N783 - N806) Dimensiones: 540 x 1400 x 160 Armados: Xi:Ø20c/21 Yi:Ø20c/21 Xs:Ø20c/21 Ys:Ø20c/21		
Comprobación	Valores	Estado
- Parrilla superior:	Calculado: 20 mm	Cumple
Separación máxima entre barras: <i>Artículo 58.8.2 de la norma EHE-08</i>	Máximo: 30 cm	
- Armado inferior dirección X:	Calculado: 21 cm	Cumple
- Armado inferior dirección Y:	Calculado: 21 cm	Cumple
- Armado superior dirección X:	Calculado: 21 cm	Cumple
- Armado superior dirección Y:	Calculado: 21 cm	Cumple
Separación mínima entre barras: <i>Criterio de CYPE Ingenieros, basado en: J. Calavera. "Cálculo de Estructuras de Cimentación". Capítulo 3.16</i>	Mínimo: 10 cm	
- Armado inferior dirección X:	Calculado: 21 cm	Cumple
- Armado inferior dirección Y:	Calculado: 21 cm	Cumple
- Armado superior dirección X:	Calculado: 21 cm	Cumple
- Armado superior dirección Y:	Calculado: 21 cm	Cumple
Longitud de anclaje: <i>Criterio del libro "Cálculo de estructuras de cimentación", J. Calavera. Ed. INTEMAC, 1991</i>		
- Armado inf. dirección X hacia der:	Mínimo: 20 cm Calculado: 249 cm	Cumple
- Armado inf. dirección X hacia izq:	Mínimo: 20 cm Calculado: 20 cm	Cumple
- Armado inf. dirección Y hacia arriba:	Mínimo: 20 cm Calculado: 314 cm	Cumple
- Armado inf. dirección Y hacia abajo:	Mínimo: 20 cm Calculado: 311 cm	Cumple
- Armado sup. dirección X hacia der:	Mínimo: 28 cm Calculado: 257 cm	Cumple
- Armado sup. dirección X hacia izq:	Mínimo: 28 cm Calculado: 28 cm	Cumple
- Armado sup. dirección Y hacia arriba:	Mínimo: 28 cm Calculado: 322 cm	Cumple
- Armado sup. dirección Y hacia abajo:	Mínimo: 28 cm Calculado: 357 cm	Cumple
Longitud mínima de las patillas:	Mínimo: 20 cm	
- Armado inf. dirección X hacia der:	Calculado: 20 cm	Cumple
- Armado inf. dirección X hacia izq:	Calculado: 20 cm	Cumple
- Armado inf. dirección Y hacia arriba:	Calculado: 20 cm	Cumple
- Armado inf. dirección Y hacia abajo:	Calculado: 20 cm	Cumple
- Armado sup. dirección X hacia der:	Calculado: 28 cm	Cumple
- Armado sup. dirección X hacia izq:	Calculado: 28 cm	Cumple
- Armado sup. dirección Y hacia arriba:	Calculado: 28 cm	Cumple

Referencia: (N783 - N806)		
Dimensiones: 540 x 1400 x 160		
Armados: Xi:Ø20c/21 Yi:Ø20c/21 Xs:Ø20c/21 Ys:Ø20c/21		
Comprobación	Valores	Estado
- Armado sup. dirección Y hacia abajo:	Calculado: 28 cm	Cumple
Se cumplen todas las comprobaciones		

A1.2.11.5. Zapata tipo E.

Referencia: (N40 - N49)		
Dimensiones: 460 x 1100 x 160		
Armados: Xi:Ø20c/21 Yi:Ø20c/21 Xs:Ø20c/21 Ys:Ø20c/21		
Comprobación	Valores	Estado
Tensiones sobre el terreno: <i>Criterio de CYPE Ingenieros</i>		
- Tensión media en situaciones persistentes:	Máximo: 0.2 MPa Calculado: 0.050031 MPa	Cumple
- Tensión máxima en situaciones persistentes sin viento:	Máximo: 0.249959 MPa Calculado: 0.046107 MPa	Cumple
- Tensión máxima en situaciones persistentes con viento:	Máximo: 0.249959 MPa Calculado: 0.0611163 MPa	Cumple
Vuelco de la zapata: <i>Si el % de reserva de seguridad es mayor que cero, quiere decir que los coeficientes de seguridad al vuelco son mayores que los valores estrictos exigidos para todas las combinaciones de equilibrio.</i>		
- En dirección X:	Reserva seguridad: 1180.4 %	Cumple
- En dirección Y:	Reserva seguridad: 682.5 %	Cumple
Flexión en la zapata:		
- En dirección X:	Momento: 572.33 kN·m	Cumple
- En dirección Y:	Momento: 445.50 kN·m	Cumple
Cortante en la zapata:		
- En dirección X:	Cortante: 166.67 kN	Cumple
- En dirección Y:	Cortante: 134.50 kN	Cumple
Compresión oblicua en la zapata:		
- Situaciones persistentes: <i>Criterio de CYPE Ingenieros</i>	Máximo: 5000 kN/m ² Calculado: 178.5 kN/m ²	Cumple
Canto mínimo: <i>Artículo 58.8.1 de la norma EHE-08</i>	Mínimo: 25 cm Calculado: 160 cm	Cumple
Espacio para anclar arranques en cimentación:	Mínimo: 90 cm	
- N40:	Calculado: 151 cm	Cumple
- N49:	Calculado: 151 cm	Cumple
Cuantía geométrica mínima: <i>Artículo 42.3.5 de la norma EHE-08</i>	Mínimo: 0.0009	
- Armado inferior dirección X:	Calculado: 0.0009	Cumple

Referencia: (N40 - N49) Dimensiones: 460 x 1100 x 160 Armados: Xi:Ø20c/21 Yi:Ø20c/21 Xs:Ø20c/21 Ys:Ø20c/21		
Comprobación	Valores	Estado
- Armado superior dirección X:	Calculado: 0.0009	Cumple
- Armado inferior dirección Y:	Calculado: 0.0009	Cumple
- Armado superior dirección Y:	Calculado: 0.0009	Cumple
Cuantía mínima necesaria por flexión: <i>Artículo 42.3.2 de la norma EHE-08</i>	Calculado: 0.001	
- Armado inferior dirección X:	Mínimo: 0.0001	Cumple
- Armado inferior dirección Y:	Mínimo: 0.0002	Cumple
- Armado superior dirección X:	Mínimo: 0.0001	Cumple
- Armado superior dirección Y:	Mínimo: 0.0002	Cumple
Diámetro mínimo de las barras: <i>Recomendación del Artículo 58.8.2 (norma EHE-08)</i>	Mínimo: 12 mm	
- Parrilla inferior:	Calculado: 20 mm	Cumple
- Parrilla superior:	Calculado: 20 mm	Cumple
Separación máxima entre barras: <i>Artículo 58.8.2 de la norma EHE-08</i>	Máximo: 30 cm	
- Armado inferior dirección X:	Calculado: 21 cm	Cumple
- Armado inferior dirección Y:	Calculado: 21 cm	Cumple
- Armado superior dirección X:	Calculado: 21 cm	Cumple
- Armado superior dirección Y:	Calculado: 21 cm	Cumple
Separación mínima entre barras: <i>Criterio de CYPE Ingenieros, basado en: J. Calavera. "Cálculo de Estructuras de Cimentación". Capítulo 3.16</i>	Mínimo: 10 cm	
- Armado inferior dirección X:	Calculado: 21 cm	Cumple
- Armado inferior dirección Y:	Calculado: 21 cm	Cumple
- Armado superior dirección X:	Calculado: 21 cm	Cumple
- Armado superior dirección Y:	Calculado: 21 cm	Cumple
Longitud de anclaje: <i>Criterio del libro "Cálculo de estructuras de cimentación", J. Calavera. Ed. INTEMAC, 1991</i>		
- Armado inf. dirección X hacia der:	Mínimo: 20 cm Calculado: 82 cm	Cumple
- Armado inf. dirección X hacia izq:	Mínimo: 20 cm Calculado: 82 cm	Cumple
- Armado inf. dirección Y hacia arriba:	Mínimo: 20 cm Calculado: 281 cm	Cumple
- Armado inf. dirección Y hacia abajo:	Mínimo: 20 cm Calculado: 314 cm	Cumple
- Armado sup. dirección X hacia der:	Mínimo: 28 cm Calculado: 82 cm	Cumple

Referencia: (N40 - N49)		
Dimensiones: 460 x 1100 x 160		
Armados: Xi:Ø20c/21 Yi:Ø20c/21 Xs:Ø20c/21 Ys:Ø20c/21		
Comprobación	Valores	Estado
- Armado sup. dirección X hacia izq:	Mínimo: 28 cm Calculado: 82 cm	Cumple
- Armado sup. dirección Y hacia arriba:	Mínimo: 28 cm Calculado: 289 cm	Cumple
- Armado sup. dirección Y hacia abajo:	Mínimo: 28 cm Calculado: 322 cm	Cumple
Longitud mínima de las patillas:	Mínimo: 20 cm	
- Armado inf. dirección Y hacia arriba:	Calculado: 20 cm	Cumple
- Armado inf. dirección Y hacia abajo:	Calculado: 20 cm	Cumple
- Armado sup. dirección Y hacia arriba:	Calculado: 28 cm	Cumple
- Armado sup. dirección Y hacia abajo:	Calculado: 28 cm	Cumple
Se cumplen todas las comprobaciones		

A1.2.11.6. Zapata tipo F.

Referencia: N1015		
Dimensiones: 300 x 450 x 140		
Armados: Xi:Ø20c/24 Yi:Ø20c/24 Xs:Ø20c/24 Ys:Ø20c/24		
Comprobación	Valores	Estado
Tensiones sobre el terreno: <i>Criterio de CYPE Ingenieros</i>		
- Tensión media en situaciones persistentes:	Máximo: 0.2 MPa Calculado: 0.0444393 MPa	Cumple
- Tensión máxima en situaciones persistentes sin viento:	Máximo: 0.249959 MPa Calculado: 0.0439488 MPa	Cumple
- Tensión máxima en situaciones persistentes con viento:	Máximo: 0.249959 MPa Calculado: 0.0704358 MPa	Cumple
Vuelco de la zapata: <i>Si el % de reserva de seguridad es mayor que cero, quiere decir que los coeficientes de seguridad al vuelco son mayores que los valores estrictos exigidos para todas las combinaciones de equilibrio.</i>		
- En dirección X:	Reserva seguridad: 10735.9 %	Cumple
- En dirección Y:	Reserva seguridad: 79.0 %	Cumple
Flexión en la zapata:		
- En dirección X:	Momento: 62.98 kN·m	Cumple
- En dirección Y:	Momento: 369.40 kN·m	Cumple
Cortante en la zapata:		
- En dirección X:	Cortante: 0.00 kN	Cumple
- En dirección Y:	Cortante: 153.04 kN	Cumple

Referencia: N1015 Dimensiones: 300 x 450 x 140 Armados: Xi:Ø20c/24 Yi:Ø20c/24 Xs:Ø20c/24 Ys:Ø20c/24		
Comprobación	Valores	Estado
Compresión oblicua en la zapata: - Situaciones persistentes: <i>Criterio de CYPE Ingenieros</i>	Máximo: 5000 kN/m ² Calculado: 60.3 kN/m ²	Cumple
Canto mínimo: <i>Artículo 58.8.1 de la norma EHE-08</i>	Mínimo: 25 cm Calculado: 140 cm	Cumple
Espacio para anclar arranques en cimentación: - N1015:	Mínimo: 75 cm Calculado: 131 cm	Cumple
Cuantía geométrica mínima: <i>Artículo 42.3.5 de la norma EHE-08</i> - Armado inferior dirección X: - Armado superior dirección X: - Armado inferior dirección Y: - Armado superior dirección Y:	Mínimo: 0.0009 Calculado: 0.0009 Calculado: 0.0009 Calculado: 0.0009 Calculado: 0.0009	Cumple Cumple Cumple Cumple
Cuantía mínima necesaria por flexión: <i>Artículo 42.3.2 de la norma EHE-08</i> - Armado inferior dirección X: - Armado inferior dirección Y: - Armado superior dirección X: - Armado superior dirección Y:	Calculado: 0.001 Mínimo: 0.0001 Mínimo: 0.0003 Mínimo: 0.0001 Mínimo: 0.0003	Cumple Cumple Cumple Cumple
Diámetro mínimo de las barras: <i>Recomendación del Artículo 58.8.2 (norma EHE-08)</i> - Parrilla inferior: - Parrilla superior:	Mínimo: 12 mm Calculado: 20 mm Calculado: 20 mm	Cumple Cumple
Separación máxima entre barras: <i>Artículo 58.8.2 de la norma EHE-08</i> - Armado inferior dirección X: - Armado inferior dirección Y: - Armado superior dirección X: - Armado superior dirección Y:	Máximo: 30 cm Calculado: 24 cm Calculado: 24 cm Calculado: 24 cm Calculado: 24 cm	Cumple Cumple Cumple Cumple
Separación mínima entre barras: <i>Criterio de CYPE Ingenieros, basado en: J. Calavera. "Cálculo de Estructuras de Cimentación". Capítulo 3.16</i> - Armado inferior dirección X: - Armado inferior dirección Y: - Armado superior dirección X: - Armado superior dirección Y:	Mínimo: 10 cm Calculado: 24 cm Calculado: 24 cm Calculado: 24 cm Calculado: 24 cm	Cumple Cumple Cumple Cumple
Longitud de anclaje: <i>Criterio del libro "Cálculo de estructuras de cimentación", J. Calavera. Ed. INTEMAC, 1991</i>		

Referencia: N1015 Dimensiones: 300 x 450 x 140 Armados: Xi:Ø20c/24 Yi:Ø20c/24 Xs:Ø20c/24 Ys:Ø20c/24		
Comprobación	Valores	Estado
- Armado inf. dirección X hacia der:	Mínimo: 20 cm Calculado: 20 cm	Cumple
- Armado inf. dirección X hacia izq:	Mínimo: 20 cm Calculado: 20 cm	Cumple
- Armado inf. dirección Y hacia arriba:	Mínimo: 20 cm Calculado: 20 cm	Cumple
- Armado inf. dirección Y hacia abajo:	Mínimo: 20 cm Calculado: 162 cm	Cumple
- Armado sup. dirección X hacia der:	Mínimo: 28 cm Calculado: 28 cm	Cumple
- Armado sup. dirección X hacia izq:	Mínimo: 28 cm Calculado: 28 cm	Cumple
- Armado sup. dirección Y hacia arriba:	Mínimo: 28 cm Calculado: 28 cm	Cumple
- Armado sup. dirección Y hacia abajo:	Mínimo: 28 cm Calculado: 170 cm	Cumple
Longitud mínima de las patillas:	Mínimo: 20 cm	
- Armado inf. dirección X hacia der:	Calculado: 20 cm	Cumple
- Armado inf. dirección X hacia izq:	Calculado: 20 cm	Cumple
- Armado inf. dirección Y hacia arriba:	Calculado: 20 cm	Cumple
- Armado inf. dirección Y hacia abajo:	Calculado: 20 cm	Cumple
- Armado sup. dirección X hacia der:	Calculado: 28 cm	Cumple
- Armado sup. dirección X hacia izq:	Calculado: 28 cm	Cumple
- Armado sup. dirección Y hacia arriba:	Calculado: 28 cm	Cumple
- Armado sup. dirección Y hacia abajo:	Calculado: 28 cm	Cumple
Se cumplen todas las comprobaciones		

A1.2.11.7. Viga de atado.

Referencia: C.1 [(N783 - N806)-(N744 - N767)] (Viga de atado) -Dimensiones: 40.0 cm x 40.0 cm -Armadura superior: 2Ø12 -Armadura inferior: 2Ø12 -Estribos: 1xØ8c/30		
Comprobación	Valores	Estado
Diámetro mínimo estribos:	Mínimo: 6 mm Calculado: 8 mm	Cumple
Separación mínima entre estribos: <i>Artículo 69.4.1 de la norma EHE-08</i>	Mínimo: 3.7 cm Calculado: 29.2 cm	Cumple
Separación mínima armadura longitudinal: <i>Artículo 69.4.1 de la norma EHE-08</i>	Mínimo: 3.7 cm	
- Armadura superior:	Calculado: 26 cm	Cumple

Referencia: C.1 [(N783 - N806)-(N744 - N767)] (Viga de atado) -Dimensiones: 40.0 cm x 40.0 cm -Armadura superior: 2Ø12 -Armadura inferior: 2Ø12 -Estribos: 1xØ8c/30		
Comprobación	Valores	Estado
- Armadura inferior:	Calculado: 26 cm	Cumple
Separación máxima estribos: -Sin cortantes: <i>Artículo 44.2.3.4.1 de la norma EHE-08</i>	Máximo: 30 cm Calculado: 30 cm	Cumple
Separación máxima armadura longitudinal: <i>Artículo 42.3.1 de la norma EHE-08</i> -Armadura superior: -Armadura inferior:	Máximo: 30 cm Calculado: 26 cm Calculado: 26 cm	 Cumple Cumple
Se cumplen todas las comprobaciones		

ANEJO II

ESTUDIO DE SEGURIDAD Y SALUD

ÍNDICE ANEJO II

DOCUMENTO NUM 1: MEMORIA.....	459
DOCUMENTO NUM 2: PLANO Y ESQUEMAS.....	505
DOCUMENTO NUM 3: PLIEGO DE CONDICIONES.....	517
DOCUMENTO NUM 4: PRESUPUESTO.....	529

DOCUMENTO NÚM 1:

MEMORIA

INDICE MEMORIA ANEJO II

A2.1. OBJETIVOS.....	463
A2.2. OBLIGATORIEDAD DEL ESTUDIO DE SEGURIDAD Y SALUD.....	464
A2.3. DATOS DEL PROYECTO Y DEL ESTUDIO DE SEGURIDAD Y SALUD.....	464
A2.3.1 Datos generales.....	464
A2.3.2 Climatología.....	464
A2.3.3. Emplazamiento.....	465
A2.3.4. Accesos.....	465
A2.3.5. Interferencias y servicios afectados.....	465
A2.3.6. Centros asistenciales de proximidad.....	465
A2.4. DESCRIPCIÓN DE LA CONSTRUCCIÓN DEL HANGAR.....	466
A2.4.1. Desbroce y nivelación.....	466
A2.4.2. Descripción general del hangar.....	467
A2.4.3. Acometidas.....	467
A2.5. RIESGOS Y MEDIDAS PREVENTIVAS AL INICIO DE LAS OBRAS.....	467
A2.5.1. Medidas preventivas de emergencia.....	468
A2.5.2. Actuación en caso de emergencia.....	468
A2.6. RIESGOS Y MEDIDAS PREVENTIVAS DE LAS UNIDADES DE OBRA.....	469
A2.6.1. Replanteo y nivelación.....	469
A2.6.2. Excavaciones.....	470
A2.6.3. Instalación de estructuras metálicas.....	471
A2.6.4. Trabajos de manipulación de ferralla.....	472
A2.6.5. Trabajos de manipulación de hormigón.....	472
A2.6.6. Trabajos de encofrado y desencofrado.....	473
A2.6.7. Instalación de cubiertas y paneles laterales.....	474
A2.6.8. Carga y transporte a vertedero.....	475
A2.6.9. Ejecución de firmes.....	476
A2.6.10. Señalización provisional de obra.....	476
A2.7. RIESGOS Y MEDIDAS PREVENTIVAS DE LA MAQUINARIA.....	477
A2.7.1. Camiones.....	477
A2.7.2. Maquinaria para movimiento de tierras.....	478
A2.7.3. Maquinaria de elevación.....	480
A2.7.4. Maquinaria de compactación.....	481

A2.8. RIESGOS Y MEDIDAS PREVENTIVAS DE LOS MEDIOS AUXILIARES.....482

A2.8.1. Andamios en general.....	482
A2.8.2. Guindola de soldador.	484
A2.8.3. Escaleras de mano.....	484

**A2.9. RIESGOS Y MEDIDAS PREVENTIVAS DE LAS MÁQUINAS
HERRAMIENTAS.....485**

A2.9.1. Esmeril angular.....	485
A2.9.2. Máquina de soldadura.....	486
A2.9.3. Máquina de taladrado.....	487
A2.9.4. Máquina vibradora de aguja.....	488
A2.9.5. Sierra circular.....	489

A2.10. ENFERMEDADES PROFESIONALES Y SU FORMAS DE PREVENCIÓN...489

A.2.10.1. Sordera profesional.....	490
A.2.10.2. Enfermedades por exposición a las vibraciones.....	490
A.2.10.3. Dermatitis profesional.....	491

A2.11. INSTALACIÓN CONTRA INCENDIOS.....491

A2.12. SUSTANCIAS PELIGROSAS.....492

**A2.13. REALIZACIÓN DE TRABAJOS DE CONSERVACIÓN, MANTENIMIENTO,
ENTRETENIMIENTO Y REPARACIÓN.....499**

A.2.13.1. Reparación de fachadas, cubiertas e instalaciones.....	500
A.2.13.2. Instalación eléctrica.....	500
A.2.13.3. Obras posteriores.....	500

A2.14. PROTECCIONES COLECTIVAS.....501

A2.14.1. En maquinaria.....	501
A2.14.2. Señalización.....	501
A2.14.3. Protección contra incendios.....	501
A2.14.4. Instalaciones eléctricas.....	501

A2.15. EQUIPOS DE PROTECCIÓN INDIVIDUAL.....502

A2.16. INSTALACIONES DE HIGIENE Y SERVICIOS COMUNES.....503

A2.16.1. Dotación de vestuarios y aseos.	503
A2.16.2. Dotación oficina de obra.....	503
A2.16.3. Dotación comedor.....	503

A2.1. OBJETIVOS

Con el presente estudio se van a identificar los riesgos y evaluar las eficacia de las protecciones previstas sobre el proyecto. También diseñar mecanismos preventivos dentro de los límites técnicos y económicos.

El estudio de Seguridad y Salud, es de ayuda al Contratista para cumplir con la prevención de Riesgos laborales, por ello influir en el objetivo final, que es la construcción del hangar sin accidentes laborales ni enfermedades profesionales.

El contratista será quien por obligación legal, dispondrá de los recursos materiales, humanos, económicos y de formación requeridos para que el proceso de construcción del hangar sea seguro.

A continuación se concretan los objetivos de este estudio:

1. Colaborar con el equipo redactor del proyecto para estudiar y adoptar soluciones técnicas y de organización que eliminen o disminuyan los riesgos.
2. Proponer las medidas preventivas a poner en práctica como consecuencia de la tecnología utilizada. Así como los servicios sanitarios y comunes a utilizar durante todo el proceso de esta obra.
3. Realizar el análisis de todas las unidades de obra contenidas en el proyecto a construir, en función de factores.
4. Identificar todos los riesgos evitables y proponer las medidas para ello. Describir los procedimientos, equipos técnicos y medios auxiliares a utilizar.
5. Obtener el costes de la prevención además de incluir los planos y gráficos necesarios para la adecuada comprensión.
6. Servir de base para la elaboración del Plan de Seguridad y Salud por parte del Contratista y formar parte, junto al Plan de Seguridad y Salud y al Plan de Prevención del mismo, de las herramientas de planificación e implantación de la prevención en la construcción del hangar.
7. Divulgar la prevención proyectada para esta construcción, a través del Plan de Seguridad y Salud que elabore el Contratista basándose en este Estudio de Seguridad y Salud. Se llevará a cabo un estudio de las actividades empresariales que concurren en la construcción de este hangar, para determinar las necesidades concretas en en prevención de riesgos laborales según la Ley 54/2003, de 12 de Diciembre, materializado por el RD. 171/2004, de 30 de Enero en lo relativo a la coordinación de las actividades empresariales.
8. Definir un método formativo e informativo para prevenir los accidentes, y por medio de ella, llegar a definir y aplicar en la obra los métodos correctos de trabajo.
9. Crear un ambiente de salud laboral en la obra para la prevención de accidentes y enfermedades profesionales.
10. Definir las actuaciones a seguir en el caso de que fracase la prevención prevista y se produzca el accidente, de tal forma que la asistencia al

accidentado sea la oportuna a su caso concreto y aplicada con la máxima celeridad y atención posible.

A2.2. OBLIGATORIEDAD DEL ESTUDIO DE SEGURIDAD Y SALUD

Toda obra que supere alguno de los 4 supuestos que se especifican en el artículo 4 del capítulo II, del R.D. 1627/97, de 24 de Octubre “Obligatoriedad del Estudio de Seguridad y Salud o del Estudio Básico de Seguridad y Salud en las obras”, deberá tener un Estudio de Seguridad y Salud.

- a) Que el presupuesto de ejecución por contrata incluido en el proyecto sea igual o superior a 450.759,08 Euros.
- b) Que la duración estimada sea superior a 30 días laborables, empleándose en algún momento a más de 20 trabajadores simultáneamente.
- c) Que el volumen de mano de obra estimada, entendiendo por tal la suma de los días de trabajo del total de los trabajadores en la obra, sea superior a 500.
- d) Las obras de túneles, galerías, conducciones subterráneas y presas.

En el caso de los proyectos no incluido en ninguno de los supuestos previstos en el apartado anterior, el promotor estará obligado a que en la fase de redacción del proyecto se elabore un Estudio Básico de Seguridad y Salud.

Debido a que el presupuesto de la construcción del hangar supera la cifra del punto a). El presente proyecto será de obligatoriedad la elaboración de un ESTUDIO DE SEGURIDAD Y SALUD en la fase de redacción del proyecto.

A2.3. DATOS DEL PROYECTO Y DEL ESTUDIO DE SEGURIDAD Y SALUD

A2.3.1 Datos generales

PROYECTO	Proyecto constructivo de un hangar para aviones comerciales
PRESUPUESTO TOTAL	4.086.239,77
PRESUPUESTO DE SEGURIDAD Y SALUD	20.006,77
PLAZO PARA LA EJECUCIÓN DE LA OBRA	14 meses
LOCALIZACIÓN DE LA OBRA	Aeropuerto de Valencia

A2.3.2 Climatología

El aeropuerto de Valencia, se encuentra muy próximo al mar Mediterráneo, por lo que su clima es mediterráneo puro, con temperaturas medias entre los 15 y 18 grados centígrados de promedio anual. Por lo que las condiciones que se esperan durante la

ejecución de la construcción del hangar serán suaves y templadas. Por ello no se requiere de condiciones o cuidados especiales para la realización de los trabajos de construcción.

A2.3.3. Emplazamiento

La obra se sitúa dentro del aeropuerto de Valencia, en el límite Sur de este donde se encuentran ubicados el resto de los hangares del aeropuerto.

A2.3.4. Accesos

En cuanto al acceso a la parcela donde se realizarán las obras, este se realizará por la entrada de servicios del sur del aeropuerto de Valencia y prosiguiendo por la carretera interior que bordea el aeropuerto. Se señalizarán los puntos de entrada conforme a la normativa vigente, y se adaptará la señalización existente conforme a la zona en obras en que se encuentra.

En cualquier caso, todos los medios y materiales necesarios para establecer estos controles serán a cargo del Contratista, que también controlará el acceso de personal y vehículos a la obra empleando los medios humanos y materiales pertinentes, según se establezca con la Dirección de Obra y el Aeropuerto.

A2.3.5. Interferencias y servicios afectados.

Se considera muy importante detectar las interferencias con conducciones de toda índole, ya que han sido causa eficiente de accidentes. Por ello con su detección y localización exacta se podrá valorar y delimitar los diversos riesgos así como las interferencias detectadas.

A2.3.6. Centros asistenciales de proximidad

- Servicio Médico del Aeropuerto.

Planta 0, zona de llegadas. Se dispone de un médico y una ayudante Técnico sanitario, con sala de recuperación, botiquín, primeros auxilios y ambulancia.

Teléfono: 913 211 000

- Hospital de Manises.

Av. de la Generalitat Valenciana, 50, 46940 Manises, Valencia

Teléfono: 961 84 50 00

- Hospital la Fe

Av. de Fernando Abril Martorell, 106, 46026 Valencia

Teléfono: 961 24 40 00

- Centro de salud de Quart de Poblet

Calle Trafalgar, 0, 46930 Quart de Poblet, Valencia

Teléfono: 961 62 21 00

- Centro de salud de Manises

Calle Dr. Juan Bta. Peset Aleixandre, 0, 46940 Manises, Valencia

Teléfono: 961 96 18 00

TELEFONOS DE INTERÉS

Bomberos	Teléfono: 080
Emergencias	Teléfono: 112
Guardia Urbana	Teléfono: 092
Guardia Civil	Teléfono 062
Servicio de urgencias médicas	Teléfono: 061
Policía Nacional	Teléfono: 091

A2.4. DESCRIPCIÓN DE LA CONSTRUCCIÓN DEL HANGAR

A2.4.1. Desbroce y nivelación.

Para realizar la obra, será necesario realizar el desbroce de la parcela y la zona adyacente a ella que será utilizada para el acopio de materiales. También se realizará la nivelación de esta.

En primer lugar, se retirará la capa superficial y los rellenos antrópicos que pudiesen ser encontrados en la parcelas. Debido a su desnivel se prevé un relleno en la zona sur de la parcela con material de aportación adecuado.

A2.4.2. Descripción general del hangar.

El hangar tiene unas dimensiones de 90x100 en una geometría en planta rectangular. Esta se plantea a dos aguas, obteniéndose con una altura variable entre los 21 y 25 metros.

La solución estructural para los diferentes elementos es:

- a) Fachadas: Compuestas por paneles arquitectónicos tipo sándwich fijados a las correas de fachada conformadas por CF 250x2.5. En la fachada también existen puertas y ventanas con carpintería de aluminio y la puerta del hangar de tipo enrollable.
- b) Cubierta de la nave: Se ha utilizado pórticos en celosía con perfiles tubulares rectangulares. Sobre los pórticos se disponen las correas CF 250x2.5 sobre las que apoyara la cubierta formada por paneles tipo sándwich.
- c) El interior del hangar estará pavimentado con una losa de hormigón armado HA- de 30 centímetros de espesor sobre toda su superficie.
- d) Cimentación: Se han utilizado zapatas de hormigón armado de diferentes configuraciones dependiendo de las cargas que actúan sobre ellas.
- e) Estructura principal portante: Se ha creado una estructura de acero S275 con perfiles tubulares, tirantes redondos y perfiles IPE.

A2.4.3. Acometidas.

Acometida de agua: Se realizará una acometida de agua mediante una zanga de 0,8 m de profundidad y tubería PE 100 mm hasta la acometida general del aeropuerto.

Acometidas eléctrica: Se instalará el cableado por banco de tubos desde la estación de transformación hasta la parcela.

Acometida de saneamiento: Para las aguas de vertido en el interior del hangar y residuales se utilizará la red contigua existente.

Acometida pluviales: Las aguas pluviales se verterán a la red contigua existente.

Acometida de red de comunicaciones: Se instalará una nueva red de comunicaciones hasta la instalación general del aeropuerto.

A2.5. RIESGOS Y MEDIDAS PREVENTIVAS AL INICIO DE LAS OBRAS

A2.5.1. Medidas preventivas de emergencia.

1. Medidas preventivas y de seguridad contra incendios.

El Decreto 3769/1972 de 23 de diciembre, por el que se aprueba el Reglamento de la Ley 81/1968, de 5 de diciembre, sobre incendios forestales, se establecen las siguientes normas de seguridad:

- Mantener limpios de vegetación los cargaderos. Los productos se apilarán de manera que exista un mínimo de 10 metros entre las pilas de cualquier material combustible.
- Mantener limpios de vegetación los lugares de empalamiento de grupos electrógenos, motores o equipos eléctricos de explosión. También tendrán una faja de seguridad alrededor con anchura mínima de 5 metros.
- Mantener los caminos o pistas libres de obstáculos que impidan el paso y la maniobra de vehículos.
- La carga de combustible se hará en frío, sin fumar y con el motor parado.
- Se dispondrá de extintores y reserva de agua en cantidad no inferior a 50 litros por persona.

2. Medidas preventivas de seguridad para accidentes.

- En la obra siempre existirán personas encargadas de llamar a los servicios de emergencia. Dispondrán de toda la información de teléfonos y personas con las que contactar.
- En un lugar visible, se indicará el plano de evacuación de la obra, el listado con el nombre y teléfono de las mutuas laborales y teléfonos de emergencia.
- Al inicio de las obras se facilitará planos de situación de la obra, indicando los acceso a Bomberos, Ambulancias..., indicando los accesos a la obra.

A2.5.2. Actuación en caso de emergencia.

1. En caso de incendio, el aviso de fuego deberá comunicarse al encargado de obra, director de obra o persona encargada de dar el aviso. Este aviso se hará llegar a los bombero cuyo teléfono es el 080.
2. En caso de accidente de operarios, se deberá comunicar al servicio de emergencias 112 en caso de gravedad o si es de menor daño a la mutua quien donde el responsable de emergencias acompañará al herido.
3. En caso de accidente medioambiental, se deberá comunicar a la administración autonómica quien evaluará este y propondrá medidas reparadoras.

A2.6. RIESGOS Y MEDIDAS PREVENTIVAS DE LAS UNIDADES DE OBRA

Debido a la metodología usada en la construcción, así como el proceso productivo previsto aparecen una serie de riesgos los cuales se pueden prevenir con la utilización de una metodología precisa o utilización de protecciones de seguridad.

En este punto se va a identificar en cada fase del proceso de construcción, los riesgos específicos, las medidas de prevención y protección a tomar. Esta metodología no implica que en cada fase sólo existan esos riesgos o exclusivamente deban aplicarse esas medidas de seguridad o haya que observar sólo esas conductas, ya que dependiendo de la concurrencia de riesgos o por las características de la unidad de obra puede ser probable emplear otras conductas o normas.

A2.6.1. Replanteo y nivelación

1. Riesgos más frecuentes:

- Golpes en brazos, piernas con la maza.
- Caída de objetos.
- Caídas al mismo nivel.
- Atropellos por maquinaria o vehículos, por presencia cercana a la misma en labores de comprobación.
- Riesgos de picaduras de insectos y reptiles.

2. Normas preventivas:

- Utilizar guantes, para clavar las estacas
- Evitar el uso de punteros que presenten deformaciones en la zona de golpeo, por tener riesgo de proyección de partículas.
- Evitar subidas o posiciones por zonas muy pendientes, y en caso necesario utilizar el material apropiado para evitar la caída.
- En las obras en que por necesidad haya maquinaria funcionando, se realizarán las comprobaciones parando el estas, o cuando se encuentren alejadas del punto de trabajo. También se utilizarán chalecos reflectantes.
- En el vehículo se dispondrá de un botiquín con los elementos básicos para atención de urgencias.

3. Protecciones individuales:

- Guantes de lona o piel.
- Botas de seguridad antideslizantes.
- Chalecos reflectantes.
- Mascarilla anti polvo.
- Mono de trabajo.
- Casco de seguridad.

- Arnés de seguridad.
- Todos los equipos de protección individual deben disponer de la marca CE.

A2.6.2. Excavaciones.

1. Riesgos más frecuentes:

- Interferencias con conducciones enterradas no conocidas.
- Ruido.
- Caídas de personas al mismo nivel.
- Colisiones, atropellos, falsas maniobras y vuelco de la maquinaria empleada.
- Caídas de personal u objetos a diferente nivel.
- Contactos eléctricos directos e indirectos.
- Riesgos inherentes respecto al manejo de maquinaria

2. Normas preventivas:

- Separación de los acceso para peatones y vehículos de carga.
- Comprobación y análisis de todas las instalaciones que puedan ser afectadas por la excavación, así como la distancia de seguridad de los tendidos eléctricos.
- Se tomarán las medidas pertinentes para evitar la entrada de aguas superficiales a la excavación.
- En el caso de no realizar un encofrado contra el terreno, se dejará un talud con una pendiente 1/3 (ancho/alto), dejando una zona de trabajo de un mínimo de 55cm.
- Se utilizará maquinaria específica de obra que cumpla con la normativa vigente.
- No estará permitido realizar el acopio de materiales como mínimo a 3 metros del borde de la excavación.
- La circulación de vehículos se realizará a un máximo de aproximación al borde de la excavación de 3 metros.
- Se evitará en la medida de lo posible los barrizales, en previsión de posibles accidentes.
- En el caso de temporada seca, se regará los caminos de circulación de vehículos.
- El manejo de la maquinaria de cualquier tipo será realizado por personal cualificado.
- No estará permitido trabajar o permanecer bajo el radio de acción del brazo de la máquina.

3. Protecciones individuales:

- Guantes de cuero.
- Calzado de seguridad antideslizantes.
- Chalecos reflectantes.
- Mascarilla anti polvo.
- Ropa de trabajo.
- Casco de seguridad.

- Todos los equipos de protección individual deben disponer de la marca CE.

4. Protecciones colectivas:

- Señalización y ordenación del tráfico.
- Vallado de la zona de vaciado, a una distancia de 2 metros como mínimo. La valla deberá tener como mínimo 1 metro de altura sujeta por postes anclados al terreno.

A2.6.3. Instalación de estructuras metálicas.

1. Riesgos más frecuentes:

- Desprendimiento de cargas suspendidas.
- Hundimiento o desplome de de estructuras metálicas.
- Vuelco de pilas de acopio.
- Caídas de personas al mismo nivel.
- Proyección de fragmentos o partículas.
- Caídas de personal u objetos a diferente nivel.
- Contactos eléctricos directos e indirectos.
- Pisadas sobre objetos punzantes.
- Atrapamiento por o entre objetos.
- Radiaciones por soldadura con arco.
- Quemaduras.

2. Normas preventivas:

- Izamiento de perfiles cortados a medida.
- Correcto uso de los medios auxiliares.
- Está prohibido permanecer bajo cargas suspendidas.
- El izamiento de pilares y vigas se realizará, al menos por tres operarios.
- Se habilitarán zonas adecuadas para el acopio de la perfilería, que se apilará de manera ordenada sobre durmientes de madera.
- Queda prohibido permanecer bajo los tajos de soldadura.
- Queda prohibido dejar la pinza y el electrodo directamente en el suelo conectado al grupo. Es necesario el uso de un recogepinzas.
- Las botellas de gases licuados permanecerán en el interior del carro portabotellas.

3. Protecciones individuales:

- Guantes de loneta.
- Calzado de seguridad.
- Chalecos reflectantes.
- Gafas protectoras.
- Ropa de trabajo.
- Casco de seguridad.

- Cinturón de seguridad de categoría II ó categoría III (si hay peligro de caída en altura)
- Pantalla de soldador.
- Todos los equipos de protección individual deben disponer de la marca CE.

4. Protecciones colectivas:

- Redes horizontales
- Extintor de incendios timbrado y con revisiones al día.
- Barandillas de seguridad que llevan incluidas las cestas de las elevadoras.

A2.6.4. Trabajos de manipulación de ferralla.

1. Riesgos más frecuentes:

- Cortes y heridas principalmente en manos, piernas y por objetos o material.
- Caídas de personas al mismo nivel.
- Proyección de fragmentos o partículas.
- Caídas de personal u objetos a diferente nivel.
- Pisadas sobre objetos punzantes.
- Atrapamiento o aplastamiento en operaciones de carga y descarga.
- Sobreesfuerzos.

2. Normas preventivas:

- El almacenamiento de la ferralla se realizará en posición horizontal sobre durmientes de madera, evitando alturas superiores a 1.3 metros.
- La zona de almacenamiento debe de disponer de suficiente espacio y no interferir en las zonas de paso u otras actividades de la obra.
- El izado de la ferralla se realizará mediante grúas.
- Los desperdicios o recortes de acero, se recogerán y depositarán en un lugar determinado.

3. Protecciones individuales:

- Guantes de seguridad.
- Calzado de seguridad.
- Chalecos reflectantes.
- Gafas protectoras.
- Ropa de trabajo.
- Casco de seguridad.
- Cinturón de seguridad de categoría II ó categoría III (si hay peligro de caída en altura)
- Cinturón porta-herramientas.
- Todos los equipos de protección individual deben disponer de la marca CE.

A2.6.5. Trabajos de manipulación de hormigón.

1. Riesgos más frecuentes:

- Contactos con el hormigón (dermatitis por cemento)
- Caídas de personas al mismo nivel.
- Caídas de personal u objetos a diferente nivel.
- Pisadas sobre objetos punzantes.
- Sobreesfuerzos.
- Vibraciones por manejos de la aguja vibrante.
- Riesgos higiénicos por ambientes pulverulentos.

2. Normas preventivas:

- Antes del inicio del vertido del hormigón, personal competente revisará el buen estado de seguridad de las paredes de los cimientos o de los encofrados en prevención de reventones y de derrames.
- Se instalarán pasarelas de circulación de personas sobre las zanjas a hormigonar con una anchura mínima de 60 centímetros.
- Los operarios no podrán permanecer detrás de los camiones durante el retroceso.
- La maniobra de vertido será dirigida por personal competente que vigilará que no se realicen maniobras inseguras.
- Los cubiletes no podrán ser cargados por encima de la máxima carga admisible de la grúa, este estará señalizado con una traza horizontal el nivel máximo.
- Queda prohibido permanecer debajo de cargas suspendidas por grúas.
- Se evitará golpear con el cubo los encofrados.
- En la utilización de vibradores eléctricos es fundamental, dado el ambiente de trabajo, su aislamiento y protección adecuada.

3. Protecciones individuales:

- Guantes de seguridad.
- Guantes impermeables.
- Calzado de seguridad.
- Chalecos reflectantes.
- Gafas protectoras.
- Ropa de trabajo.
- Casco de seguridad.
- Cinturón antivibratorio.
- Todos los equipos de protección individual deben disponer de la marca CE.

A2.6.6. Trabajos de encofrado y desencofrado.

1. Riesgos más frecuentes:

- Desprendimientos de las maderas o chapas por mal apilado o colocación de las mismas.

- Golpes en las manos al clavar puntas o en la colocación de las chapas.
- Cortes por o contra objetos, máquinas o material.
- Caídas de personas al mismo nivel.
- Caídas de personal u objetos a diferente nivel.
- Pisadas sobre objetos punzantes.
- Sobreesfuerzos.
- Cortes al utilizar la mesa de sierra circular.

2. Normas preventivas:

- Los clavos o puntas existentes en la madera usada, se extraerán o remacharán.
- Se prohíbe la permanencia en el radio de operación durante las operaciones de izado de chapas, tablones y puntales.
- Los clavos sueltos o arrancados se eliminarán mediante un barrido y apilado en lugar conocido para su posterior retirada.
- El desencofrado se realizará siempre con ayuda de uñas metálicas, realizándose siempre desde el lado del que no puede desprenderse el material encofrado.
- El encofrado deberá ser realizado por personal cualificado como carpintero encofrador con experiencia.
- Se apuntalará de forma que el desmontaje pueda ser realizado parcialmente, garantizando la resistencia, la estabilidad y la seguridad.
- Todas las máquinas se conservarán en perfecto estado manteniendo un su correspondiente mecanismo de seguridad.

3. Protecciones individuales:

- Guantes de seguridad.
- Calzado de seguridad.
- Chalecos reflectantes.
- Gafas protectoras.
- Ropa de trabajo.
- Cinturón de seguridad.
- Casco de seguridad.
- Todos los equipos de protección individual deben disponer de la marca CE.

A2.6.7. Instalación de cubiertas y paneles laterales.

1. Riesgos más frecuentes:

- Caídas de personas al mismo nivel.
- Caídas de personal u objetos a diferente nivel.
- Sobreesfuerzos.
- Cortes o golpes al utilizar herramientas manuales.
- Sobresfuerzos.
- Atrapamiento por los medios de elevación y transporte

2. Normas preventivas:

- Izamiento de paneles cortados a medida.
- Correcto uso de los medios auxiliares.
- Está prohibido permanecer bajo cargas suspendidas.
- Utilización de barandillas de seguridad y arneses en los elevadores utilizados.
- Mantener la cubierta limpia y libre de obstáculos que dificulten la circulación o los trabajos.

3. Protecciones individuales:

- Guantes de seguridad.
- Calzado de seguridad.
- Arnés de seguridad.
- Chalecos reflectantes.
- Gafas protectoras.
- Ropa de trabajo.
- Casco de seguridad.
- Todos los equipos de protección individual deben disponer de la marca CE.

A2.6.8. Carga y transporte a vertedero.

1. Riesgos más frecuentes:

- Caídas de personas al mismo nivel.
- Caídas de personal u objetos a diferente nivel.
- Atropellos, colisiones, vuelcos y falsas maniobras por maquinaria de movimiento de tierras.
- Sobreesfuerzos.
- Riesgos derivados de los trabajos realizados bajo condiciones meteorológicas adversas
- Ruido ambiental

2. Normas preventivas:

- Se revisarán periódicamente todos los vehículos.
- No está permitido sobrecargar los vehículos por encima de la carga admisible.
- Todo el personal que maneje los camiones y máquinas será especialista en el manejo de estos vehículos.
- Se regarán periódicamente las cargas, carreteras y cajas de camión para evitar la emisión de polvo.
- Se instalará en el borde de los terraplenes de vertido, sólidos para evitar el retroceso del camión.
- Se señalizarán los accesos y recorrido de los vehículos en el interior de la obra para evitar las interferencias.
- Todos los vehículos de la obra estarán dotados con bocina de marcha atrás.
- Los conductores deberán hacer uso del casco de seguridad cuando no permanezcan dentro de la cabina.

3. Protecciones individuales:

- Guantes de seguridad.
- Calzado de seguridad.
- Chalecos reflectantes.
- Ropa de trabajo.
- Casco de seguridad.
- Todos los equipos de protección individual deben disponer de la marca CE.

A2.6.9. Ejecución de firmes.

1. Riesgos más frecuentes:

- Caídas de personas al mismo nivel.
- Atropellos por máquinas y camiones.
- Sobreesfuerzos.
- Salpicaduras y proyección a los ojos.
- Atrapamientos.
- Vibraciones.
- Ruido ambiental.

2. Normas preventivas:

- Todas las arquetas, pozos, registros, etc., existentes, se han de mantener con su tapa puesta y, en su defecto, con tapas provisionales.
- Se revisarán periódicamente todos los vehículos.
- No está permitido sobrecargar los vehículos por encima de la carga admisible.
- Todo el personal que maneje los camiones y máquinas será especialista en el manejo de estos vehículos.
- Se señalizarán los accesos y recorrido de los vehículos en el interior de la obra para evitar las interferencias.
- Todos los vehículos de la obra estarán dotados con bocina de marcha atrás.
- Se vigilará permanentemente la existencia de extintores de incendio adecuados a bordo de la máquina, así como del estado de esto, de forma que su funcionamiento quede garantizado.

3. Protecciones individuales:

- Guantes impermeabilizados.
- Calzado de seguridad.
- Chalecos reflectantes.
- Ropa de trabajo.
- Casco de seguridad.
- Todos los equipos de protección individual deben disponer de la marca CE.

A2.6.10. Señalización provisional de obra.

1. Riesgos más frecuentes:

- Afecciones respiratorias.
- Caídas de personas al mismo nivel.
- Atropellos.
- Golpes contra objetos.
- Atrapamientos.
- Cortes en las manos.
- Afecciones en la piel.

2. Normas preventivas:

- Se utilizarán gafas de protección contra la proyección de partículas en el hincado de postes para las vallas y barreras.
- Cuando se realicen trabajos de pintado en la zona asfaltada debe de señalizarse con antelación la presencia del equipo en la zona.
- La pintura debe estar envasada y para su consumo se trasvasará al depósito de la máquina con protección respiratoria.
- Queda prohibido fumar o encender cerillas y mecheros durante la manipulación de las pinturas o extendido de las mismas.

3. Protecciones individuales:

- Guantes de cuero o lona.
- Calzado de seguridad.
- Chalecos reflectantes.
- Ropa de trabajo.
- Casco de seguridad de polietileno.
- Mascarilla para agente químicos.
- Gafas antiproyecciones.
- Todos los equipos de protección individual deben disponer de la marca CE.

A2.7. RIESGOS Y MEDIDAS PREVENTIVAS DE LA MAQUINARIA.

A2.7.1. Camiones.

1. Riesgos más frecuentes:

- Caída al subir o bajar.
- Atropellos
- Choques contra otros vehículos o contra objetos fijos de obra.
- Atrapamiento de personas en maniobras y operaciones de mantenimiento.
- Vuelco del camión.
- Quemaduras durante las operaciones de mantenimiento.

- Descarga eléctrica por contacto de la caja con líneas de tensión.
- Riesgos higiénicos por contacto con el hormigón.

2. Normas preventivas:

- Se deberá respetar la señalización de la obra.
- Se bajará la caja antes de iniciar la marcha del camión.
- Comprobación de la funcionalidad de los mandos así como la señalización acústica de la marcha atrás antes de iniciar cada turno de trabajo.
- Se respetarán todas las normas del código de circulación.
- En el caso de que el vehículo tuviese que parar en una rampa de acceso, este quedará frenado y calzado con topes.
- No se excederá la velocidad de circulación estando este en concordancia con la carga transportada, la visibilidad y las condiciones del terreno.
- Para realizar la descarga se deberá tener echado el freno de mano.
- Las cargas se posarán sobre la caja del camión de forma uniforme de manera que los pesos queden repartidos por toda ella.
- Todos los camiones de la obra estarán en perfectas condiciones de mantenimiento y conservación.
- Las cargas deberán ser cubiertas con lonas si se trata de materiales sueltos.
- Cuando se abandone la cabina, el camionero debe hacer uso del casco de seguridad.
- En el caso de camiones hormigonera, la limpieza de estos se realizarán en los puntos definidos para ello.

3. Protecciones individuales:

- Casco de seguridad.
- Guantes de seguridad para las labores de mantenimiento.
- Calzado de seguridad con suela antideslizante y que sea adecuado para la conducción de vehículos.
- Todos los equipos de protección individual deben disponer de marcado CE.

4. Protecciones colectivas:

- Está prohibido permanecer nadie en las proximidades del camión cuando este esté realizando cualquier tipo de maniobras.
- El camión se aproximará a una distancia máxima de 1,2 metros en las proximidades de una zanja o pozo garantizando esta mediante topes.

A2.7.2. Maquinaria para movimiento de tierras.

1. Riesgos más frecuentes:

- Deslizamiento de la máquina
- Caída al subir o bajar.
- Atropellos

- Choques contra otros vehículos o contra objetos fijos de obra.
- Atrapamiento de personas en maniobras y operaciones de mantenimiento.
- Caída de la máquina por pendientes.
- Quemaduras durante las operaciones de mantenimiento.
- Descarga eléctrica por contacto con líneas de tensión.
- Incendio.
- Máquina en marcha, fuera de control por abandono de la máquina sin desconectar la máquina.
- Vuelco de la máquina.
- Proyecciones de objetos durante el trabajo.
- Ruido.
- Riesgos higiénicos de carácter pulverulento.
- Interferencias con líneas.

2. Normas preventivas:

- Queda prohibido que personas no autorizadas accedan a la máquina.
- Los conductores de la maquinaria deben conocer la normativa preventiva antes del inicio de los trabajos.
- No se debe saltar directamente al suelo, se usarán los peldaños y asideros dispuestos para tal función.
- No trabajar con la máquina averiada.
- Las operaciones de servicio se deben realizar con la cuchara apoyada en el suelo, el motor parado y el freno de mano o bloqueo de la máquina puesto.
- Comprobación de la funcionalidad de los mandos así como la señalización acústica de la marcha atrás antes de iniciar cada turno de trabajo.
- Si se debiese manipular el sistema eléctrico, desconectar el motor y extraer la llave del contacto totalmente.
- Para la limpieza de la máquina, protegerse con mascarilla, mono y guantes de goma. Cuando se utilice aire a presión, evitar las proyecciones de objetos.
- En caso de utilizar una batería de otra máquina para arrancar, deben tomarse precauciones para evitar chisporroteos de los cables. Recuerde que los líquidos de la batería desprenden gases inflamables que pueden hacer explotar la batería.
- No se admitirá maquinaria que no venga con la protección de cabina antivuelco y antiimpacto instalada.
- En el caso de relleno de aire de las ruedas, debe situarse el operario tras la banda de rodadura apartándose del punto de conexión y la llanta.
- Se revisarán todos los puntos de escape del motor, con el fin de asegurar que no entran gases procedente de la combustión a la cabina.
- Todas las máquinas de la obra estarán dotadas de un botiquín.
- Queda prohibido abandonar la máquina con el motor en marcha y la pala no apoyada en el suelo.
- No está permitido transportar personas en las máquinas, salvo en condiciones de emergencia.
- Se prohíbe izar personas utilizando la cuchara.
- La maquinaria estará dotada de un extintor, timbrado y con las revisiones al día.

- Mantener la cabina limpia de aceites, grasas, trapos, etc.
- No levantar en caliente la tapa del radiador. Espere a que baje la temperatura y opere posteriormente.
- Cambiar el aceite del motor y del sistema hidráulico en frío para evitar quemaduras.
- Se prohíbe en obra el manejo de grandes cargas, bajo régimen de fuertes vientos.
- Utilización de casco de seguridad cuando no se baje de la cabina de la máquina.

3. Protecciones individuales:

- Casco de seguridad.
- Guantes de seguridad para las labores de mantenimiento.
- Calzado de seguridad con suela antideslizante y que sea adecuado para la conducción de vehículos.
- Gafas antiproyecciones para las operaciones de mantenimiento.
- Mascarillas con filtro mecánico.
- Protectores auditivos en caso de que la máquina no disponga de cabina insonorizada.
- Cinturón antivibratorio y de seguridad en la cabina.
- Todos los equipos de protección individual deben disponer de marcado CE.

A2.7.3. Maquinaria de elevación.

1. Riesgos más frecuentes:

- Caída de materiales (desplome de la carga).
- Deslizamiento de la máquina
- Caída al subir o bajar.
- Atropellos
- Choques contra otros vehículos o contra objetos fijos de obra.
- Atrapamiento de personas en maniobras y operaciones de mantenimiento.
- Caída de la máquina por pendientes.
- Quemaduras durante las operaciones de mantenimiento.
- Descarga eléctrica por contacto con líneas de tensión.
- Incendio.
- Vuelco.

2. Normas preventivas:

- Comprobación de los mandos y de la señalización acústica de la marcha atrás antes de iniciar cada turno de trabajo.
- Será obligatorio el uso de ganchos de seguridad.
- Antes de cualquier elevación la maquinaria deberá estar nivelada.
- Se prohíbe en todo momento sobrepasar la carga máxima admisible fijada por el fabricante.

- El gruista en todo momento tendrá a vista la carga suspendida y en caso de que no fuese posible será dirigido por un señalista.
- Se prohíbe realizar tirones sesgados de la carga.
- Se utilizarán cabos de gobierno para facilitar el guiado de las cargas.
- Se prohíbe la permanencia bajo las cargas en suspensión.
- Los operarios que manipulen la maquinaria de elevación deberán tener en posesión el certificado que lo acredite.
- Los encargados de la manipulación de la maquinaria de elevación conocerán la normativa de seguridad de la obra.
- Si entra en contacto con una línea eléctrica, pida auxilio con la bocina y espere recibir instrucciones. No abandonar la cabina aunque el contacto haya cesado y sobre todo no permita a nadie tocar la máquina.
- Cuando se realicen desplazamientos, las máquinas deben estar en posición de transporte.
- No abandonar la máquina con carga suspendida.
- Antes de poner en servicio la máquina comprobar todos los dispositivos de frenado.
- Asegurarse de que todos los ganchos de los aparejos, balancines, eslingas o estribos cumplan con las medidas de seguridad y se encuentren en buenas condiciones.

3. Protecciones individuales:

- Casco de seguridad.
- Guantes de seguridad.
- Calzado de seguridad con suela antideslizante y que sea adecuado para la conducción de vehículos.
- Gafas antiproyecciones para las operaciones de mantenimiento.
- Todos los equipos de protección individual deben disponer de marcado CE.

A2.7.4. Maquinaria de compactación.

1. Riesgos más frecuentes:

- Máquina en marcha fuera de control.
- Deslizamiento de la máquina
- Caída al subir o bajar.
- Atropellos.
- Vibraciones.
- Choques contra otros vehículos o contra objetos fijos de obra.
- Atrapamiento de personas en maniobras y operaciones de mantenimiento.
- Caída de la máquina por pendientes.
- Quemaduras durante las operaciones de mantenimiento.
- Incendio.
- Vuelco.
- Los derivados de trabajos continuos y monótonos.

2. Normas preventivas:

- Los conductores tendrán probada destreza en el manejo de estas máquinas.
- Comprobación de los mandos y de la señalización acústica de la marcha atrás antes de iniciar cada turno de trabajo.
- Para subir o bajar a la cabina se utilizarán peldaños y asideros dispuestos para ello.
- No acceder a la máquina encaramándose por los rodillos.
- Queda prohibido acceder a la maquinaria a personas ajenas y menos a su manejo ya que pueden accidentarse o provocar accidentes.
- No trabajar en situaciones de avería o semiavería de la máquina. Repárela primero, luego reanude su trabajo.
- Para realizar operaciones de mantenimiento, poner el freno de mano o bloqueo de la máquina.
- No guardar combustible ni trapos grasientos sobre la máquina ya que pueden provocar incendios.
- Cambiar el aceite de motor o del sistema hidráulico en frío.
- Todas las máquinas estarán dotadas de cabinas antivuelco y antiimpactos.
- Las máquinas de la obra estarán dotados de botiquín.
- Prever sombras para ser utilizadas en los descansos, especialmente si la obra debe realizarse en época de altas temperaturas.
- El pisón produce polvo ambiental en apariencia ligera. Regar la zona a aplanar o usar mascarilla de filtro mecánico.
- El pisón puede llegar a atrapar los pies.
- Las zonas en fase de compactación quedarán cerradas al paso mediante señalización.

3. Protecciones individuales:

- Cinturón antivibratorio.
- Casco de seguridad.
- Mascarilla antipolvo con filtro recambiable.
- Ropa de trabajo.
- Guantes de seguridad.
- Calzado de seguridad con suela antideslizante y que sea adecuado para la conducción de vehículos.
- Tapones o cascos para los oídos.
- Gafas antiimpacto y antipolvo.
- Todos los equipos de protección individual deben disponer de marcado CE.

A2.8. RIESGOS Y MEDIDAS PREVENTIVAS DE LOS MEDIOS AUXILIARES.

A2.8.1. Andamios en general.

1. Riesgos más frecuentes:

- Caídas al vacío.
- Caídas al mismo nivel.
- Atrapamiento durante el montaje.
- Caída de objetos.
- Golpes por objetos o herramientas.
- Desplome del andamio.
- Contacto con la energía eléctrica.
- Hundimiento de las plataformas por sobrecargas inadecuadas.

2. Normas preventivas:

- No se acumulará demasiada carga, ni demasiadas personas en un mismo punto de manera que se sobrepase la carga máxima admisible de estos.
- Los pesos no se depositarán violentamente.
- No habrán obstáculos en los andamios y no se realizarán movimientos violentos sobre ellos.
- Todos los andamios deberán estar arriostrados para evitar movimientos que puedan hacer perder el equilibrio de los trabajadores o el desplome del andamio.
- Los pies de los andamios tanto fijos como de ruedas deberán fijarse de manera que este no se deslice por el terreno.
- Los andamios utilizados deberán de cumplir con la normativa vigente.
- Las plataformas de trabajo cuya altura supere los 2 metros deberán estar protegidas mediante barandilla perimetral reglamentaria.
- Se establecerán a lo largo y ancho de los paramentos verticales puntos fuertes de seguridad en los que arriostrar los andamios.
- Se tendrán cables de de seguridad anclados a puntos fijos de la estructura en los que se amarrará el fiador del cinturón de seguridad.
- Las plataformas de trabajo se limitarán delantera, lateral y posteriormente, por un rodapié de 15 centímetros.

3. Protecciones individuales:

- Casco de seguridad.
- Zapatos de seguridad con suela antideslizante.
- Mono de trabajo.
- Cinturón de seguridad clase A o C.
- Guantes de cuero.
- Todos los equipos de protección individual deben disponer de la marca CE.

4. Protecciones colectivas:

- Se colocarán viseras o marquesinas de protección debajo de las zonas de trabajo, sobre todo cuando se trabaje con los andamios en los cerramientos de fachada.

- Se delimitará la zona de trabajo evitando el paso del personal por debajo de estos, así como la coincidencia de los andamios con las zonas de acopio de material.

A2.8.2. Guindola de soldador.

1. Riesgos más frecuentes:

- Caídas al vacío.
- Caída de objetos.
- Golpes por objetos o herramientas.
- Desplome de la plataforma.
- Contacto con la energía eléctrica.
- Atrapamientos.
- Vuelco o caída por fallo del pescante o fallo de la trovada o carraca.
- Cortes por rebabas y similares.

2. Normas preventivas:

- Las guindolas utilizadas deberán estar homologadas.
- El pavimento será de chapa antideslizante.
- Las dimensiones mínimas serán de 500x500x1000 milímetros.
- Las guindolas estarán fabricadas en hierro dulce en prevención de los riesgos por cristalización del acero en caso de calentamiento por soldadura.
- Estarán provistas de una barandilla perimetral de 100 centímetros y rodapié de 15 centímetros de chapa metálica.
- En el interior de las guindolas estará siempre libre de objetos y recortes que puedan dificultar la estancia del trabajador.

3. Protecciones individuales:

- Casco de seguridad.
- Chalecos, chaquetas y mandiles de cuero para la soldadura.
- Zapatos de seguridad con suela antideslizante.
- Mono de trabajo.
- Cinturón de seguridad.
- Guantes de cuero.
- Todos los equipos de protección individual deben disponer de la marca CE.

A2.8.3. Escaleras de mano.

1. Riesgos más frecuentes:

- Caídas a diferente nivel.
- Caída de objetos.
- Golpes con la escalera al manejarla de manera incorrecta.

- Los derivados de los usos inadecuados o de los montajes peligrosos.

2. Normas preventivas:

- Las escaleras tendrán los largueros de una sola pieza, sin defectos que puedan mermar su seguridad.
- Las escaleras de madera se guardarán a cubierto. Y si es posible solo se utilizarán para usos internos de la obra.
- Las escaleras estarán homologadas y estará visible la carga máxima admisible.
- El empalme de escaleras metálicas a utilizar se realizará mediante la instalación de dispositivos para tal fin.
- Las escaleras de tijera estarán dotadas de dispositivos de seguridad que impida su apertura al ser utilizadas.
- Las escaleras de tijera se utilizarán montadas siempre sobre pavimentos horizontales.
- No se emplearán escaleras de mano de más de 5 metros de longitud.
- Queda prohibido el uso de escaleras de mano de construcción improvisada.
- Antes de utilizar escalera de mano deberá asegurarse su estabilidad. La base estará sólidamente asentada, estado su extremo inferior dotados de superficie antideslizante.
- Las escaleras se colocarán formando un ángulo de 75 grados con la horizontal.
- Los largueros deberán prolongarse al menos 1 metro por encima de la posición de trabajo.
- Se prohíbe la manipulación de cargas desde escaleras de mano cuando su peso o dimensiones puedan comprometer la seguridad del trabajador.
- No podrán ser utilizadas por mas de 1 persona simultáneamente.

3. Protecciones individuales:

- Casco de seguridad.
- Zapatos de seguridad con suela antideslizante.
- Mono de trabajo.
- Todos los equipos de protección individual deben disponer de la marca CE.

A2.9. RIESGOS Y MEDIDAS PREVENTIVAS DE LAS MÁQUINAS HERRAMIENTAS.

A2.9.1. Esmeril angular.

1. Riesgos más frecuentes:

- Cortes.
- Proyecciones de fragmentos, partículas y polvo.
- Ruido.
- Descargas eléctricas.

2. Normas de utilización:

- Todos los elementos móviles de la máquina estarán protegidos con una carcasa.
- Siempre antes de iniciar cualquier corte, se realizará el replanteo exacto de la línea de sección a ejecutar.
- Las zonas de contacto con el operario estarán recubiertas con material aislante que evite contactos fortuitos con la energía eléctrica.

3. Protecciones individuales:

- Ropa de trabajo.
- Guantes de seguridad.
- Gafas de seguridad antiproyecciones.
- Mascarilla con filtro mecánico.
- Protectores auditivos.
- Todos los equipos de protección individual deben disponer de la marca CE.

A2.9.2. Máquina de soldadura.

1. Riesgos más frecuentes:

- Contactos térmicos.
- Proyecciones de fragmentos o partículas.
- Exposición a radiaciones.
- Descargas eléctricas.

2. Normas de utilización:

- Revisión periódica del estado de los cables y de las mangueras, eliminando aquellos que se encuentren defectuosos.
- Las mangueras para conducción de acetileno serán de distinto color que las utilizadas para la conducción de oxígeno.
- Se deberá comprobar que las boquillas para la soldadura o se hallan en buenas condiciones.
- Antes de comenzar el proceso de soldadura asegurarse que las conexiones están bien realizadas.
- Se deberán colocar extintores en las zonas donde se realicen las tareas de soldadura.
- Para encender el soplete se debe emplear un encendedor de fricción, no con cerillas que darían lugar a quemaduras en las manos.
- Todos los elementos de la máquina de soldadura deberán encontrarse en buenas condiciones de uso.
- Es obligatorio el uso de ropas que protejan contra chispas y metal fundido. Debiendo llevar el cuello cerrado, bolsillos abotonados, mangas metidas dentro de las manoplas o guantes, cabeza cubierta por pantallas inactivas, calzado de seguridad, polainas y mandil protector. En el caso de que sea necesario la ayuda por otro operario este también deberá ir protegido de la misma forma.

- En el caso de efectuar trabajo en lugares elevados, el soldador deberán utilizar cinturón de seguridad además de tomar precauciones para que las chispas o metal caliente no caigan sobre personas ni materiales.
- En el caso de incendiarse una manguera de acetileno, no se debe intentar extinguir el fuego doblando y oprimiendo la manguera, en este caso se deberán cerrar la llave de la botella.
- En el caso de soldadura eléctrica, las masas estarán dotadas de puesta a tierra.
- En el caso de lugar húmedo el operario se deberá aislar trabajando sobre una base de madera seca.
- La zona de trabajo deberá estar convenientemente delimitada.
- No introducir en ningún caso el portaelectrodos en agua para enfriarlo, puede causar un accidente eléctrico.
- En el caso de modificar la intensidad, se debe desconectar el equipo.

3. Protecciones individuales:

- Pantallas de soldadura.
- Calzado de seguridad, con puntera reforzada de acero.
- Polainas de soldador.
- Chalecos, chaqueta y mandiles para soldadura.
- Manguitos o guantes o manoplas para soldadura.
- Todos los equipos de protección individual deben disponer de la marca CE.

A2.9.3. Máquina de taladrado.

1. Riesgos más frecuentes:

- Cortes.
- Contactos térmicos.
- Proyecciones de fragmentos o partículas.
- Atrapamientos.
- Descargas eléctricas.
- Por rotura de la broca.
- Derivados del mal montaje de la broca.

2. Normas de utilización:

- Comprobar el estado del cable de conexión así como de sus clavijas, en caso que se encuentren en mal estado, se deberá reparar.
- Comprobar que la máquina debe de tener todas las partes de su carcasa destinadas a la protección.
- Debe usarse la broca adecuada para el material a taladrar.
- Para realizar taladrados con inclinación se deben realizar con una taladro específico para ello.
- Se deberá seguir una metodología a la hora de realizar el taladrado consistiendo en primer lugar un marcado, posteriormente un taladrado con una broca de

pequeñas dimensiones y finalmente el agujero con la broca del tamaño seleccionado.

- No presionar el aparato excesivamente, ya que puede producir la rotura de la broca y por consiguiente lesiones.
- En el caso de piezas de pequeñas dimensiones estas deberán amordazarse para evitar que se desplacen y causen lesiones.
- Desconectar el taladro de la red eléctrica antes de realizar cualquier tipo de manipulación de la broca.
- Las máquinas taladradoras deberán estar dotados de doble aislamiento eléctrico.
- Queda prohibido dejar en el suelo el taladro portátil conectado a la red eléctrica

3. Protecciones individuales:

- Gafas antiproyecciones.
- Ropa de trabajo.
- Casco de seguridad.
- Guantes de cuero.
- Calzado de seguridad.
- Todos los equipos de protección individual deben disponer de la marca CE.

A2.9.4. Máquina vibradora de aguja.

1. Riesgos más frecuentes:

- Salpicaduras en ojos.
- Caídas en altura.
- Caídas a mismo nivel.
- Descargas eléctricas.

2. Normas de utilización:

- La operación de vibrado siempre se realizará desde una posición en el que el operario tengas estabilidad.
- Los vibradores deberán ser manejados por personal en buen estado físico.
- En el caso de que la manguera de alimentación pase por alguna zona de paso, esta deberá estar protegida.
- Se deberán adoptar todas las medidas posibles de manera que reduzcan al máximo las vibraciones transmitidas al operario.
- Los trabajos de mantenimiento del vibrador se realizarán por personal especializado para tal fin.
- La alimentación eléctrica se realizará mediante mangueras antihumedad, dotadas de clavijas estancas.
- El vibrador deberá estar dotado de conexión a tierra.

3. Protecciones individuales:

- Gafas para protección de proyecciones de hormigón.
- Ropa de trabajo.
- Casco de seguridad.
- Guantes aislantes.
- Botas de agua.
- Todos los equipos de protección individual deben disponer de la marca CE.

A2.9.5. Sierra circular.

1. Riesgos más frecuentes:

- Cortes y amputaciones en extremidades.
- Proyección de partículas.
- Rotura del disco.
- Descargas eléctricas.

2. Normas de utilización:

- Se controlará el estado de los dientes del disco, la cadena, así como las estructura de la máquina.
- Estará dotado de los sistemas de seguridad que impidan atrapamientos o cortes.
- La zona de trabajo estará limpia de serrín y virutas, así como su estructura.
- Se revisará la existencia de clavos en el material a cortar.

3. Protecciones individuales:

- Gafas para protección de proyecciones de partículas de madera.
- Ropa de trabajo.
- Casco de seguridad.
- Guantes de cuero.
- Calzado con plantilla anticlavos.
- Todos los equipos de protección individual deben disponer de la marca CE.

4. Protecciones colectivas:

- Perfecto estado de la conexión eléctrica.
- Zona de trabajo delimitada.

A2.10. ENFERMEDADES PROFESIONALES Y SU FORMAS DE PREVENCIÓN.

El trabajo la obra supone una serie de enfermedades profesionales en los que se encuadran los trabajos a realizar en las obras del proyecto de construcción de un hangar.

En el presente documento se relaciona su nombre, su mecanismo o causa de penetración y prevención de estas enfermedades que se describen en los siguientes puntos.

A.2.10.1. Sordera profesional.

La continuada exposición a un ruido elevado o la existencia de ruidos puntuales de gran intensidad pueden provocar la aparición de esta enfermedad.

Al comienzo de la enfermedad puede afectar al laberinto del oído, por lo que se pierde audición en los tonos agudos, siendo esta peligrosa porque el trabajador no se entera de su existencia. Esta sordera se establece cuando comienza el trabajo, pero el oído se recupera cuando finaliza el trabajo de ruido durante un tiempo de reposo.

Se pueden establecer tres etapas de la sordera profesional.

La primera etapa denominada periodo de adaptación dura aproximadamente un mes. El operario después de este tiempo comienza a notar los síntomas como cambios en su capacidad intelectual, compresión, fatiga o nerviosismo. Pero esta etapa es transitoria ya que con la finalización de las actividades de ruido vuelve a su estado normal.

La segunda etapa, de latencia total, la sordera puede ser reversible si se evita el medio ruidoso aunque este estado hay que descubrirlo para su análisis.

La tercera etapa, de latencia sub-total. En esta etapa el operario no oye la voz cuchicheada y puede variar de unas personas a otras. Después de este periodo si que aparece la sordera completas donde no oye la voz cuchicheada además de aparecer zumbidos y no percibir los agudos y los sobreagudos.

En cuanto a las causas pueden ser individuales como las susceptibilidad individual de cada persona también a partir de los cuarenta años, es menor la capacidad de audición indicando que ya hay causa fisiológica en el operario.

El ambiente es la principal causa, sonidos de mayores de 90 decibelios así como sonidos agudos son capaces de lesionar el oído.

No existe medicación para curar o retroceder la sordera profesional, pero si que hay técnicas para luchar contra el ruido como son: Disminuir el ruido en lo posible mediante diseño de máquinas, utilizar protecciones colectivas o protecciones individuales mediante protectores auditivos que disminuyan la intensidad.

A.2.10.2. Enfermedades por exposición a las vibraciones.

Las vibraciones afectan al estado general de las personas y algunos de sus consecuencias pueden ser la fatiga, que es una de las mayores causas de estrés. Estas

a su vez pueden ser transmitidas únicamente al sistema mano-brazo del operario, pero si las vibraciones son de gran intensidad pueden afectar al cuerpo completo.

Las vibraciones de cuerpo completo ocurren cuando el cuerpo está apoyado en una superficie vibrante. Estas pueden tener efectos perniciosos sobre la columna vertebral, provocando o agravando lesiones de los discos intervertebrales, lumbalgias, pinzamientos y lesiones raquídeas menores.

Las vibraciones transmitidas a mano-brazo son como consecuencia del agarre de máquinas que producen vibraciones. Estas pueden producir trastornos neuro-vasculares, inflamación y enrojecimiento de la zona afectada, trastorno osteo-articulares y lesiones de muñeca.

Mediante una detección precoz se pueden solucionar los problemas causados por las vibraciones pero lo mejor es reducirlas o eliminarlas mediante el uso de materiales textiles inteligentes que absorben las vibraciones producidas y evitan la transmisión al operario.

A.2.10.3. Dermatitis profesional.

Son muchos los agente causantes de la dermatitis profesional, estos son tanto de naturaleza química como física, microbiana o vegetal. Además también se produce por la acción directa de agentes irritantes sobre la piel como materias cáusticas, ácidos y bases fuertes.

La dermatitis profesional es la enfermedad profesional más extendida.

Para su prevención, en primer lugar hay que identificar el producto causante de esta, hay que cuidar la limpieza de máquinas y útiles así como de las manos y cuerpo. Además se debe buscar la supresión del contacto mediante el uso de guantes o monos o buzos adecuados para el trabajo a realizar.

Esta enfermedad puede ser curada mediante el uso de pomadas o medicación adecuada para tal fin.

A2.11. INSTALACIÓN CONTRA INCENDIOS.

Son muchas las causas que pueden generar la aparición de un incendio, por ello la obra estará dotada de medios de extinción como los extintores de polvo seco, agua, arena y herramientas de uso común (palas, rastrillos, picos etc.).

Para disminuir el riesgo de incendio se realizará una revisión y comprobación periódica a la instalación eléctrica de la obra, así como del correcto acopio de sustancias combustibles. También se deberán mantener libres de obstáculos los caminos de evacuación e iluminados y señalizados con alumbrado de emergencia.

Las normas básicas y medidas preventivas en base a la prevención de incendios en la obra son:

- Se dispondrá de extintores junto a las puertas de los almacenes que contengan productos inflamables. Estos deberán llevar el marcado CE.
- Orden y limpieza en general.
- En esta obra queda prohibido fumar en el caso de estar manipulando productos combustibles o de la existencia de estos en la proximidad.
- La ubicación de los almacenes de materiales combustibles o explosivos estará alejada de los tajos de soldadura, en prevención de posibles incendios.
- La iluminación e interruptores eléctricos de los almacenes de productos inflamables será mediante el uso de mecanismo anti-deflagrantes.
- En la puerta de los almacenes de productos inflamables deben aparecer las señales de prohibido fumar, indicación de la posición del extintor y peligro de incendio.
- Los acopios de materiales inflamables deben estar situados lejos de instalaciones de corriente eléctrica así como evitarse el uso de fuentes de calor en su proximidad.
- En los lugares que se realicen trabajos con empleo de llama abierta, existirá un extintor de mano.
- Toda maquinaria accionada por energía eléctrica debe de tener las conexiones a tierra bien realizadas.
- No podrán realizarse trabajos de corte o soldadura en la proximidad de sustancias inflamables.

Se debe tener en cuenta que dependiendo de la clase del fuego este se deberá aplicar la materia extintora más adecuada.

Clase A: fuegos secos, donde el material combustible son las materias sólidas inflamables. La extinción de estos es más efectiva mediante agua o soluciones que contengan un gran porcentaje de agua.

Clase B: fuegos producidos por líquidos inflamables y combustibles, o sólidos licuables. Estos fuegos se extinguen mediante sofocamiento.

Clase C: fuegos de sustancias que pasan al estado gaseoso en condiciones normales como puedan ser el metano, butano...

Clase D: fuegos que consumen metales ligeros inflamables y compuestos químicos reactivos, como magnesio, aluminio en polvo, potasio etc... En este tipo de fuegos se debe emplear agentes extintores especiales.

A2.12. SUSTANCIAS PELIGROSAS.

En la obra pueden utilizarse sustancias peligrosas, por ello resulta importante conocer sus riesgos tanto en la manipulación como en el almacenamiento.

En primer lugar se deben de identificar, ya que un punto clave para una actuación preventiva ante las sustancias químicas consiste en el conocimiento de la exposición de estas teniendo toda la información precisa que le permita conocer su peligrosidad y las precauciones a seguir en su manejo.

Dos de las formas que facilitan disponer de dicha información son el correcto etiquetado de las sustancias y las fichas informativas de los productos.

1. Etiquetado:

Los envases que contengan la sustancia peligrosa deberán estar etiquetados de manera que sea legible e indeleble, y al menos en una lengua oficial del estado, conteniendo las siguientes indicaciones:

- El nombre químico de la sustancias o sustancia presente en el preparado.
- La denominación o el nombre comercial del preparado.
- Los pictogramas y las indicaciones de peligro de las sustancias y preparados.
- El nombre y dirección completa, incluido el número de teléfono del responsable de la comercialización, ya sea el fabricante, el importador o el distribuidor.
- La cantidad nominal del contenido para los preparados en caso de ser vendidos al público en general.
- Las frases tipo que indiquen los riesgos específicos derivados de los correspondientes pictogramas. Frases R.
- Las frases tipo que indiquen los consejos de prudencia referentes al empleo del preparado. Frases S.

2. Pictogramas.

Son símbolos e indicaciones de peligro de las sustancias y preparados peligrosos. Estos pictogramas representan peligros de:

- Explosivo.
- Comburente.
- Fácilmente inflamable.
- Extremadamente inflamable.
- Tóxico.
- Muy tóxico.
- Corrosivo.
- Nocivo.
- Irritante.
- Peligroso para el medio ambiente.

3. Clasificación de la peligrosidad.

Las sustancias y preparados definidos como peligroso se clasifican en:

- Explosivos: Representados por el pictograma "E".

- Comburentes: Representados por el pictograma “O”.
- Fácilmente inflamables: Representados por el pictograma “F”.
- Extremadamente inflamable: Representados por el pictograma “F+”.
- Tóxicos: Representados por el pictograma “T”.
- Muy tóxicos: Representados por el pictograma “T+”.
- Nocivos: Representados por el pictograma “Xn”.
- Corrosivos: Representados por el pictograma “C”.
- Irritantes (piel, ojos y vías respiratorias): Representados por el pictograma “Xi”.
- Carcinógenos: Representados por el pictograma “T” mas “Tóxico” o “Nocivo”.
- Mutagénicos (alteraciones en el material genético de las células): Representados por el pictograma “T” más “Tóxico” o “Nocivo”.
- Tóxicos para la reproducción (lesiones en el feto en el desarrollo intrauterino): Representados por el pictograma “T” más “Tóxico” o “Nocivo”.
- Peligrosos para el medio ambiente: Representados por el pictograma “N”.

4. Indicaciones relativas a los riesgos específicos. Frases R:

Las frases R indican la naturaleza de los riesgos específicos atribuidos a las sustancias y preparados: Estas son:

- R1 Explosivo en estado seco.
- R2 Riesgo de explosión por choque, fricción, fuego u otras fuentes de ignición.
- R3 Alto riesgo de explosión por choque, fricción, fuego u otras fuentes de ignición.
- R4 Forma compuestos metálicos explosivos muy sensibles.
- R5 Peligro de explosión en caso de calentamiento.
- R6 Peligro de explosión, en contacto o sin contacto con el aire.
- R7 Puede provocar incendios.
- R8 Peligro de fuego en contacto con materias de combustibles.
- R9 Peligro de explosión al mezclar con materias combustibles.
- R10 Inflamable.
- R11 Fácilmente inflamable.
- R12 Extremadamente inflamable.
- R13 Gas licuado extremadamente inflamable.
- R14 Reacciona violentamente con el agua.
- R15 Reacciona con el agua liberando gases fácilmente inflamables.
- R16 Puede explotar en mezcla con sustancias comburentes. R17 Se inflama espontáneamente en contacto con el aire.
- R18 Al usarlo pueden formarse mezclas aire-vapor explosivas inflamables.
- R19 Puede formar peróxidos explosivos.
- R20 Nocivo por inhalación.
- R21 Nocivo en contacto con la piel.
- R22 Nocivo por ingestión.
- R23 Tóxico por inhalación.

- R24 Tóxico en contacto con la piel.
- R25 Tóxico por ingestión.
- R26 Muy tóxico por inhalación.
- R27 Muy tóxico en contacto con la piel.
- R28 Muy tóxico por ingestión.
- R29 En contacto con agua libera gases tóxicos.
- R30 Puede inflamarse fácilmente al usarlo.
- R31 En contacto con ácidos libera gases tóxicos.
- R32 En contacto con ácidos libera gases muy tóxicos.
- R33 Peligro de efectos acumulativos.
- R34 Provoca quemaduras.
- R35 Provoca quemaduras graves.
- R36 Irrita los ojos.
- R37 Irrita las vías respiratorias. R38 Irrita la piel.
- R39 Peligro de efectos irreversibles muy graves.
- R40 Posibilidad de efectos irreversibles.
- R41 Riesgo de lesiones oculares graves.
- R42 Posibilidad de sensibilización por inhalación.
- R43 Posibilidad de sensibilización en contacto con la piel.
- R44 Riesgo de explosión al calentarlo en ambiente confinado.
- R45 Puede causar cáncer.
- R46 Puede causar alteraciones genéticas hereditarias.
- R47 Puede causar malformaciones congénitas.
- R48 Riesgo de efectos graves para la salud en caso de exposición prologada.
- R49 Puede causar cáncer por inhalación.
- R50 Muy tóxico para los organismos acuáticos.
- R51 Tóxico para los organismos acuáticos.
- R52 Nocivo para los organismos acuáticos.
- R53 Puede provocar a largo plazo efectos negativos en el medio ambiente acuático.
- R54 Tóxico para la flora.
- R55 Tóxico para la fauna.
- R56 Tóxico para los organismos del suelo.
- R57 Tóxico para abejas.
- R58 Puede provocar a largo plazo efectos negativos para el medio ambiente.
- R59 Peligroso para la capa de ozono.
- R60 Puede perjudicar la fertilidad.
- R61 Riesgo durante el embarazo de efectos adversos para el feto.
- R62 Posible riesgo de perjudicar la fertilidad.
- R63 Posible riesgo durante el embarazo de efectos adversos para el feto.
- R64 Puede perjudicar a los niños alimentados con leche materna.
- R14/15 Reacciona violentamente con el agua, liberando gases muy inflamables.
- R15/19 Reacciona con el agua formando gases tóxicos y fácilmente inflamables.

- R20/21 Nocivo por inhalación y en contacto con la piel.
- R20/22 Nocivo por inhalación y por ingestión.
- R20/21/22 Nocivo por inhalación, por ingestión y en contacto con la piel.
- R21/22 Nocivo en contacto con la piel y por ingestión.
- R23/24 Tóxico por inhalación y en contacto con la piel.
- R23/25 Tóxico por inhalación y por ingestión.
- R23/24/25 Tóxico por inhalación y en contacto con la piel.
- R24/25 Tóxico en contacto con la piel y por ingestión.
- R26/27 Muy tóxico por inhalación y en contacto con la piel.
- R26/28 Muy tóxico por inhalación y por ingestión.
- R26/27/28 Muy tóxico por inhalación, por ingestión y en contacto con la piel.
- R27/28 Muy tóxico en contacto con la piel y por ingestión.
- R36/37 Irrita los ojos y las vías respiratorias.
- R36/38 Irrita los ojos y la piel.
- R36/37/38 Irrita los ojos, la piel y las vías respiratorias.
- R37/38 Irrita las vías respiratorias y la piel.
- R39/23 Tóxico: Peligro de efectos irreversibles muy graves por inhalación.
- R39/24 Tóxico: Peligro de efectos irreversibles muy graves por contacto con la piel.
- R39/25 Tóxico: Peligro de efectos irreversibles muy graves por ingestión.
- R39/23/24/25 Tóxico: Peligro de efectos irreversibles muy graves por inhalación, contacto con la piel e ingestión.
- R39/26 Muy tóxico: Peligro de efectos irreversibles muy graves por inhalación
- R39/27 Muy tóxico: Peligro de efectos irreversibles muy graves por contacto con la piel.
- R39/28 Muy tóxico: Peligro de efectos irreversibles muy graves por ingestión.
- R39/26/27/28 Muy tóxico: Peligro de efectos irreversibles muy graves por inhalación, contacto con la piel e ingestión.
- R40/20 Nocivo: Posibilidad de efectos irreversibles por inhalación.
- R40/21 Nocivo: Posibilidad de efectos irreversibles en contacto con la piel.
- R40/22 Nocivo: Posibilidad de efectos irreversibles por ingestión.
- R40/20/21 Nocivo: Posibilidad de efectos irreversibles por inhalación y contacto con la piel.
- R40/20/22 Nocivo: Posibilidad de efectos irreversibles por inhalación e ingestión
- R40/21/22 Nocivo: Posibilidad de efectos irreversibles por inhalación e ingestión.
- R40/20/21/22 Nocivo: Posibilidad de efectos irreversibles por inhalación, contacto con la piel.
- R42/43 Posibilidad de sensibilización por inhalación y en contacto con la piel.
- R48/20 Nocivo: Riesgo de efectos graves para la salud en caso de exposición prolongada por inhalación.
- R48/21 Riesgo de efectos graves para la salud en caso de exposición prolongada por contacto con la piel.
- R48/22 Nocivo: Riesgo de efectos graves para la salud en caso de exposición prolongada por ingestión.

- R48/20/21 Nocivo: Riesgo de efectos graves para la salud en caso de exposición prolongada por inhalación y contacto con la piel.
- R48/20/22 Nocivo: Riesgo de efectos graves para la salud en caso de exposición prolongada por inhalación e ingestión.
- R48/21/22 Nocivo: Riesgo de efectos graves para la salud en caso de exposición prolongada por contacto con la piel e ingestión.
- R48/20/21/22 Nocivo: Riesgo de efectos graves para la salud en caso de exposición prolongada por inhalación, contacto con la piel e ingestión.
- R48/23 Tóxico: Riesgo de efectos graves para la salud en caso de exposición prolongada por inhalación.
- R48/24 Tóxico: Riesgo de efectos graves para la salud en caso de exposición prolongada por contacto con la piel.
- R48/25 Tóxico: Riesgo de efectos graves para la salud en caso de exposición prolongada por contacto con la piel.
- R48/25 Tóxico: Riesgo de efectos graves para la salud en caso de exposición prolongada por ingestión.
- R48/23/24 Tóxico: Riesgo de efectos graves para la salud en caso de exposición prolongada por inhalación y contacto con la piel.
- R48/23/25 Tóxico: Riesgo de efectos graves para la salud en caso de exposición prolongada por inhalación e ingestión.
- R48/24/25 Tóxico: Riesgo de efectos graves para la salud en caso de exposición prolongada por contacto con la piel e ingestión.
- R48/23/24/25 Tóxico: Riesgo de efectos graves para la salud en caso de exposición prolongada por inhalación, contacto con la piel e ingestión.
- R50/53 Muy tóxico para los organismos acuáticos, puede provocar a largo plazo efectos negativos en el método en el medio ambiente acuático.
- R51/53 Tóxico para los organismos acuáticos, puede provocar a largo plazo efectos negativos en el medio ambiente acuático.
- R52/53 Nocivo para los organismos acuáticos, puede provocar a largo plazo efectos en el medio ambiente acuático.

5. Indicaciones de consejos de prudencia. Frases S:

Las frases S son las frases normalizadas que indican los consejos de prudencia que hay que adoptar en el empleo de la sustancia. Las indicaciones del tipo “no tóxico”, “no nocivo” o cualquier otra indicación con carácter a demostrar la no peligrosidad del producto no podrán figurar en el envase o etiquetado de los mismos.

- S1 Consérvese bajo llave.
- S2 Manténgase fuera del alcance de los niños.
- S3 Consérvese en lugar fresco.
- S4 Manténgase lejos de locales habitados.
- S5 Consérvese en ... (líquido apropiado a especificar por el fabricante).
- S6 Consérvese en ... (gas inerte a especificar por el fabricante).
- S7 Manténgase el recipiente bien cerrado.
- S8 Manténgase el recipiente en lugar seco.
- S9 Consérvese el recipiente en lugar bien ventilado.

- S12 No cerrar el recipiente herméticamente.
- S13 Manténgase lejos de alimentos, bebidas y piensos.
- S14 Consérvese lejos de ... (materiales incompatibles a especificar por el fabricante).
- S15 Protéjase del calor.
- S16 Protéjase de fuentes de ignición. No fumar.
- S17 Manténgase lejos de materias combustibles.
- S18 Manipúlese y ábrase el recipiente con prudencia.
- S20 No comer ni beber durante su utilización.
- S21 No fumar durante su utilización.
- S22 No respirar el polvo.
- S23 No respirar los gases/humos/vapores/aerosoles [denominación(es) adecuada(s) a especificar por el fabricante].
- S24 Evítese el contacto con la piel.
- S25 Evítese el contacto con los ojos.
- S26 En caso de contacto con los ojos, lávense inmediata y abundantemente con agua y acúdase a un médico.
- S27 Quítese inmediatamente la ropa manchada o salpicada.
- S28 En caso de contacto con la piel, lávese inmediata y abundantemente con... (productos a especificar por el fabricante).
- S29 No tirar los residuos por el desagüe.
- S30 No echar jamás agua al producto.
- S33 Evítese la acumulación de cargas electrostáticas.
- S34 Evítense golpes y rozamientos.
- S35 Elimínense los residuos del producto y sus recipientes con todas las precauciones posibles.
- S36 Usen indumentaria protectora adecuada.
- S37 Usen guantes adecuados.
- S38 En caso de ventilación insuficiente, usen equipo respiratorio adecuado
- S39 Usen protección para los ojos/la cara.
- S40 Para limpiar el suelo y los objetos contaminados por este producto, úsese... (a especificar por el fabricante).
- S41 En caso de incendio y/o explosión, no respire los humos.
- S42 Durante las fumigaciones/pulverizaciones, use equipo respiratorio adecuado. [Denominación(es) adecuada(s) a especificar por el fabricante]
- S43 En caso de incendio, úsese (o úsense) ... (medios de extinción a especificar por el fabricante). (Si el agua aumenta el riesgo se debe añadir: "No usar nunca agua").
- S44 En caso de malestar, acuda al médico (si es posible, muéstrole la etiqueta).
- S45 En caso de accidente o malestar, acuda inmediatamente al médico (si es posible, muéstrole la etiqueta).
- S46 En caso de ingestión, acuda inmediatamente al médico y muéstrole la etiqueta o el envase.
- S47 Consérvese a una temperatura no superior a ...oC (a especificar por el fabricante).

- S48 Consérvese húmedo con ... (medio apropiado a especificar por el fabricante).
- S49 Consérvese únicamente en el recipiente de origen.
- S50 No mezclar con ... (a especificar por el fabricante).
- S51 Úsese únicamente en lugares bien ventilados.
- S52 No usar sobre grandes superficies en locales habitados.
- S53 Evítese la exposición-recábense instrucciones especiales antes del uso.
- S54 Obtener autorización de las autoridades de control de la contaminación antes verter hacia las instalaciones de depuración de agua residuales.
- S55 Trátese con las mejores técnicas disponibles antes de verter en desagües o en el medio acuático.
- S56 No verter en desagües o en el medio ambiente. Elimínense en punto autorizado de recogida de residuos.
- S57 Utilícese un envase de seguridad adecuado para evitar la contaminación del medio ambiente.
- S58 Elimínese como residuo peligroso.
- S59 Remitirse al fabricante o proveedor para obtener información sobre su reciclado recuperación.
- S60 Elimínense el producto y/o recipiente como residuos peligrosos.
- S61 Evítese su liberación en el medio ambiente. Recábense instrucciones específicas de la ficha de datos de seguridad.
- S62 en caso de ingestión no provocar el vómito: acúdase inmediatamente al médico y muéstrole la etiqueta o el envase.
- S1/2 Consérvese bajo llave y manténgase fuera del alcance de los niños S3/7 Consérvese el recipiente bien cerrado y en lugar fresco.
- S3/9/14 Consérvese en lugar fresco y bien ventilado y lejos de ... (materiales incompatibles, a especificar por el fabricante).
- S3/9/14/49 Consérvese únicamente en el recipiente de origen, en lugar fresco y bien ventilado y lejos de ... (materiales incompatibles, a especificar por el fabricante).
- S3/9/49 Consérvese únicamente en el recipiente de origen, en lugar fresco y bien ventilado.
- S3/14 Consérvese en lugar fresco y lejos de ... (materiales incompatibles, a especificar por el fabricante).
- S7/8 Manténgase el recipiente bien cerrado y en lugar seco.
- S7/9 Manténgase el recipiente bien cerrado y consérvese en lugar bien ventilado.

A2.13. REALIZACIÓN DE TRABAJOS DE CONSERVACIÓN, MANTENIMIENTO, ENTRETENIMIENTO Y REPARACIÓN.

En el estudio de seguridad y salud según el Real Decreto 1627/97 se exige que además de los riesgos previsibles que tendrán lugar durante el transcurso de la obra, también se contemplen las previsiones e información para efectuar en su día, en las condiciones de seguridad y salud, los previsibles trabajos posteriores.

Las operaciones de conservación, mantenimiento y entretenimiento son muy similares a las del proceso constructivo desarrollados en este estudio. Por ello se remite a los epígrafes desarrollados en los que se describen los riesgos específicos para cada fase de la obra.

Una única diferencia es que se ha de tener en cuenta que el edificio en este caso se encuentra abierto al público, por lo que las zonas afectadas se deben señalar y acotarse convenientemente.

Resulta destacable los riesgos correspondientes a la conservación, mantenimiento y reparación de las siguientes instalaciones.

A.2.13.1. Reparación de fachadas, cubiertas e instalaciones.

Frecuentemente aparecen reparaciones de cubiertas, fachadas e instalaciones por lo que en los apartados pertinentes del Estudio de Seguridad y Salud donde se han descrito los riesgos y las medidas correctoras que corresponden.

A diferencia, el edificio en este caso se encuentra abierto al público, por lo que las zonas afectadas se deben señalar y acotarse convenientemente.

También se ha de prever en las intersecciones de fachada con cubierta o en cumbrera ganchos resistentes o soportes para facilitar el mantenimiento o las posibles reparaciones.

A.2.13.2. Instalación eléctrica.

Todos los trabajos de reparación eléctrica se realizarán por un técnico autorizado.

Cuando se realice un trabajo que pueda entrañar peligro se debe establecer como norma básicas las denominadas coloquialmente “cinco reglas de oro”.

1. Abrir con corte visible todas las fuentes de tensión del punto a trabajar, verificando que no haya tensión de retorno.
- 2.- Enclavar o bloquear el equipo de corte, y si no es posible, señalar tal circunstancia en el dispositivo de mando. El llevarse los cartuchos fusibles es una buena medida para evitar que alguien pueda poner en tensión la instalación.
- 3.- Reconocimiento de la ausencia de tensión mediante la comprobación en todos los conductores, bien con voltímetro o lámpara de prueba.
- 4.- Cortocircuitar los conductores activos y conectar el punto de cortocircuito a tierra.
- 5.- Acotar la zona de trabajo mediante señales, vallas, cintas de señalización, etc.

A.2.13.3. Obras posteriores.

En el caso de realizar obras posteriores, la propiedad encargará el correspondiente proyecto según las características de este donde se indiquen los riesgos y las medidas correctivas correspondientes. También la propiedad encargará el mantenimiento del edificio según el plan redactado por un técnico, y obtendrá las correspondientes licencias para llevar a cabo las obras y operaciones a realizar.

A2.14. PROTECCIONES COLECTIVAS.

A2.14.1. En maquinaria.

- Las máquinas deberán cumplir la normativa en emisión de ruidos.
- Las sierras de disco llevarán visera para evitar la proyección de partículas.
- Todos los vehículos de la obra no podrán superar la velocidad de 20Km/h dentro de la obra. Su carga no debe limitar la visión del maquinista.
- Cada máquina deberá ser usada por el personal cualificado siendo este autorizado por el jefe de obra.
- La maquinaria debe cumplir con las normas de seguridad indicadas en sus respectivos manuales de operación y mantenimiento.

A2.14.2. Señalización.

- Se instalarán señales de uso obligatorio de casco, de cinturón de seguridad, de gafas, de mascarilla, de protectores auditivos, de botas y de guantes, etc.
- Señalización de prohibido el paso a toda persona ajena a la obra, de prohibido encender fuego, de prohibido fumar y de prohibido aparcar.
- Señal informativa de localización de botiquín y de extintor.
- Señales de riesgo eléctrico, caída de objetos, de caída a distinto nivel, de maquinaria pesada en movimiento, de incendio, de explosiones y de cargas suspendidas.
- En general se instalarán todas las señales de seguridad de prohibición, indicadores de riesgo e informativas que sean necesarias en la obra.

A2.14.3. Protección contra incendios.

- Se utilizarán extintores portátiles de polvo con el marcado CE y de acuerdo al Código Técnico de la Edificación.

A2.14.4. Instalaciones eléctricas.

- Detector de tormentas
- Interruptores diferenciales de 30 mA de sensibilidad para alumbrado y de 300 mA para fuerza.
- Conductor de protección y pica o placa de puesta a tierra.
- Iluminación de emergencia.
- Aparatos de medida eléctricos.

A2.15. EQUIPOS DE PROTECCIÓN INDIVIDUAL.

Para determinar los materiales necesarios para la seguridad y salud, se tendrá en cuenta la maquinaria empleada, así como el número total de operarios, el número simultáneo de operarios, el número de soldadores, número de operarios de maquinaria, número de técnicos, personal directivo o mandos intermedios.

- Número de operarios total de la obra: 50.
- Número simultáneo de operarios en la obra: 32.
- Número de soldadores: 8.
- Número de operarios que conducen maquinaria: 6.
- Número de técnicos, personal directivo o mandos intermedios: 5.

a) EPI para cabeza:

- Pantalla casco seguridad soldador: 8.
- Caso cd seguridad no metálico, categoría II: 32.
- Gafas contra impactos: 32.
- Gafas antipolvo: 32.
- Máscara contra partículas: 15.
- Filtro recambio de mascarilla para polvo y humos: 30.
- Cascos protectores auditivos: 18.

b) EPI para cuerpo:

- Mono de trabajo: 50.
- Mandil de cuero para soldador: 8.
- Chaleco de seguridad: 50.
- Cinturón antivibratorio: 3.

c) EPI para las manos:

- Par de guantes de soldador: 8
- Guantes de seguridad: 50.
- Guantes de cuero: 40.
- Guantes impermeables: 20.

d) EPI para los pies y piernas:

- Botas de seguridad: 50.
- Botas antideslizantes 20.
- Botas impermeables: 20.

e) EPI trabajo en altura.

- Cinturones de seguridad: 10.
- Cinturón porta herramientas 15.

A2.16. INSTALACIONES DE HIGIENE Y SERVICIOS COMUNES.

A2.16.1. Dotación de vestuarios y aseos.

Para determinar la superficie necesaria se estima una superficie mínima de 2 metros cuadrados por cada trabajador en el caso de que estén trabajando simultáneamente el máximo número de trabajadores. Estarán dotados de:

- Duchas con agua corriente, caliente y fría.
- Depósitos dotados de cierre, para vertido de desperdicios.
- Taquillas provistas de llave.
- Bancos de asientos.
- Convectores eléctricos.
- Inodoros con carga y descarga de agua automática.
- Lavabos dotados con agua corriente caliente y fría, con espejos, jaboneras y secadores de manos por aire caliente.
- En el vestuario quedará instalado un botiquín.

A2.16.2. Dotación oficina de obra.

- Mesas tipo despacho.
- Sillas de despacho.
- Sillas sin brazos.
- Convectores eléctricos.
- Inodoros con carga y descarga de agua automática.
- Lavabos dotados con agua corriente caliente y fría, con espejos, jaboneras y secadores de manos por aire caliente.

A2.16.3. Dotación comedor.

La superficie mínima será la necesaria para contener las sillas y mesas necesarias además de fregaderos y microondas o hornos. Se considerará como mínimo 1,4 metros cuadrados por trabajador en el caso en el que esté trabajando simultáneamente el máximo número de trabajadores. La dotación del comedor será:

- Mesas y sillas de comedor.
- Calienta comidas.
- Piletas con grifo.
- Convectores eléctricos murales.
- Depósitos dotados de cierre para el vertido de desperdicios.

DOCUMENTO NÚM 2:

ESQUEMAS Y PLANO

ÍNDICE PLANOS Y ESQUEMAS ANEJO II

A2.1. ESQUEMAS PROTECCIONES.....509

A2.2. SEÑALIZACIÓN.....512

A2.3. PLANO UBICACIÓN DE LOS ELEMENTOS DE SEGURIDAD
E HIGIENE Y VIAS DE ACCESO.....516

A2.1. ESQUEMAS PROTECCIONES

Debido al riesgo que se está sometido tanto en el proceso de soldadura, almacenaje y transporte de bombonas de oxígeno y acetileno, en la *figura A2.1.* se observa el esquema de conexiones y el modo de almacenaje y transporte.

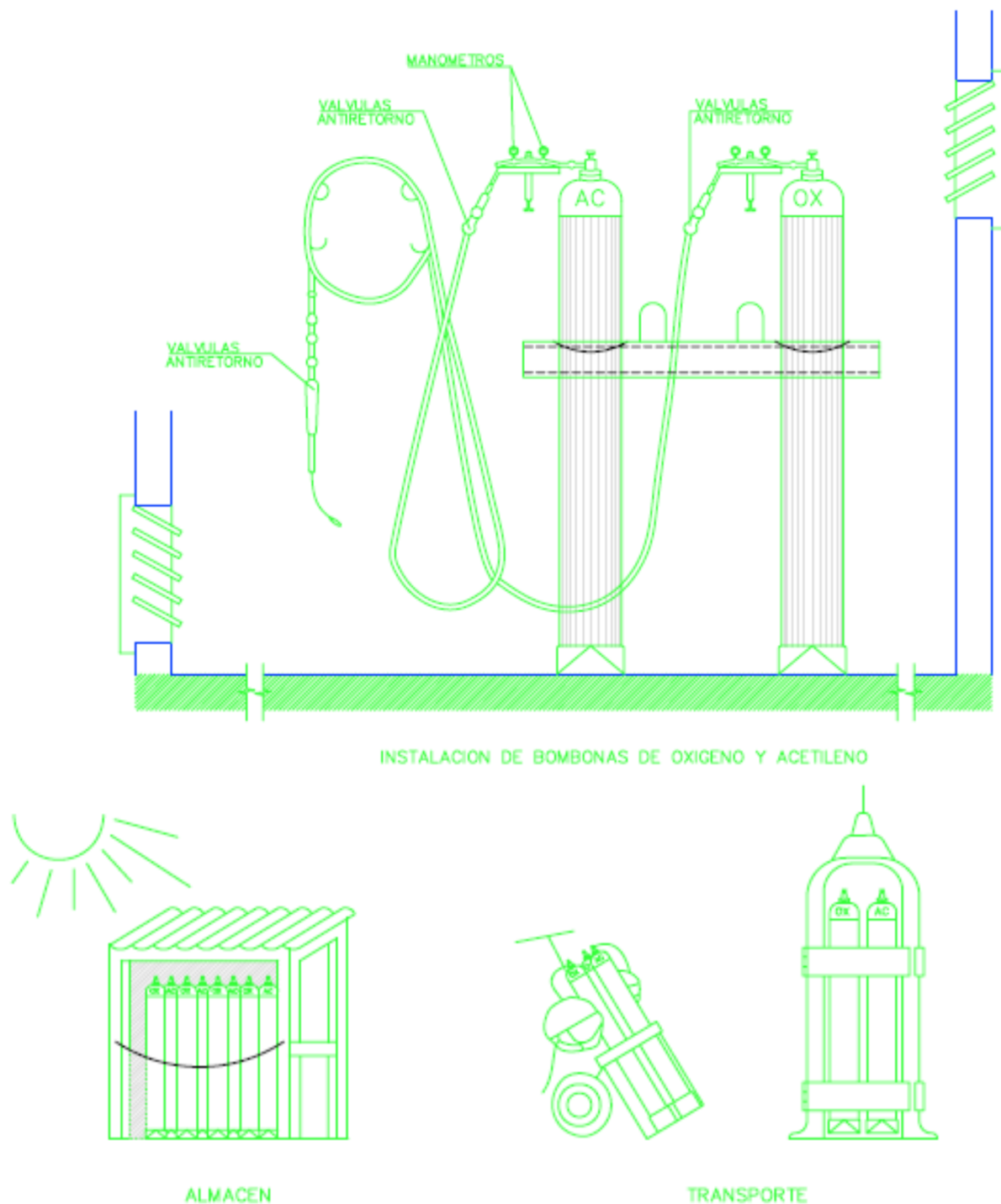


Figura A2.1. Instalación, almacén y transporte de bombonas de oxígeno y acetileno.

En la *figura A2.2.* se establecen los modos de sujeción del arnés de seguridad al cable de seguridad y de este a la estructura metálica.

DETALLE DE SUJECION DEL CINTURON DE SEGURIDAD AL CABLE DE SEGURIDAD ANCLADO A LA ESTRUCTURA METÁLICA

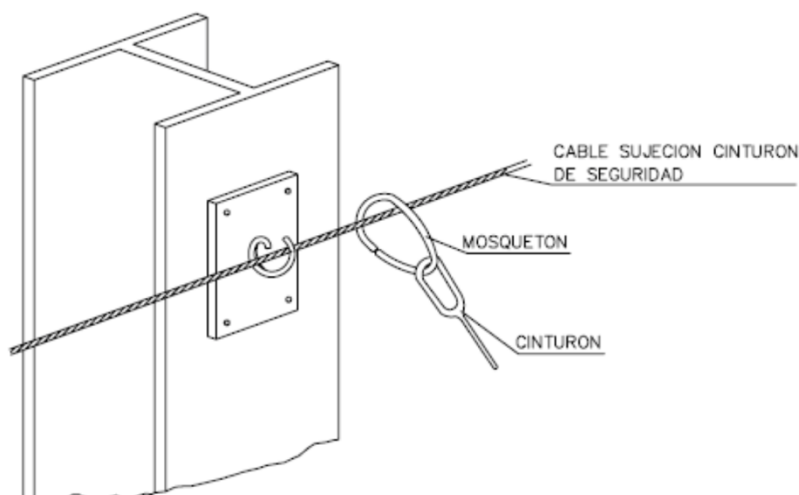


Figura A2.2. Sujeción del cinturón de seguridad a la estructura metálica.

En la *figura A2.3.* se detallan las diferentes partes así como características que debe tener el casco de seguridad no metálico utilizado en la obra.

CASCO DE SEGURIDAD NO METALICO

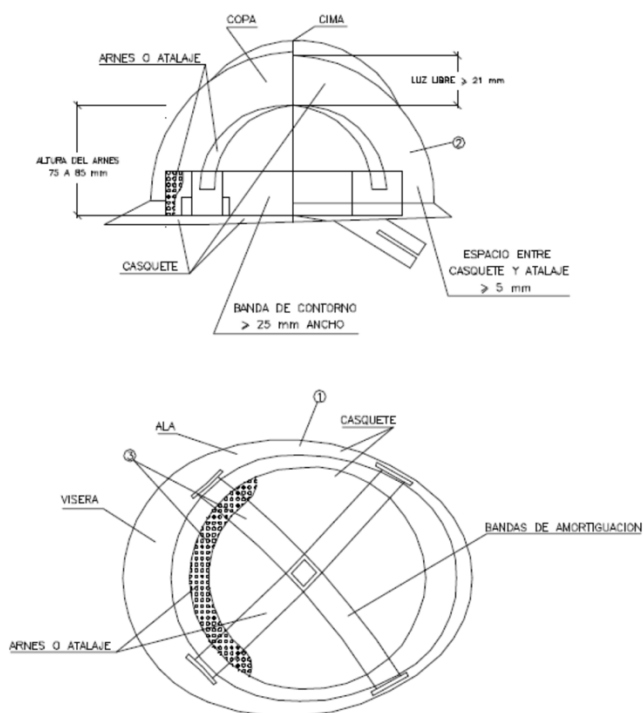


Figura A2.3. Detalle casco de seguridad.

En la *figura A2.4*. Se establecen los detalles y características de las botas de seguridad utilizadas en la obra.



Figura A2.4. Detalle botas de seguridad.

En la *figura A2.5*. Se establecen las partes que deben de tener las gafas de seguridad utilizadas en la obra.

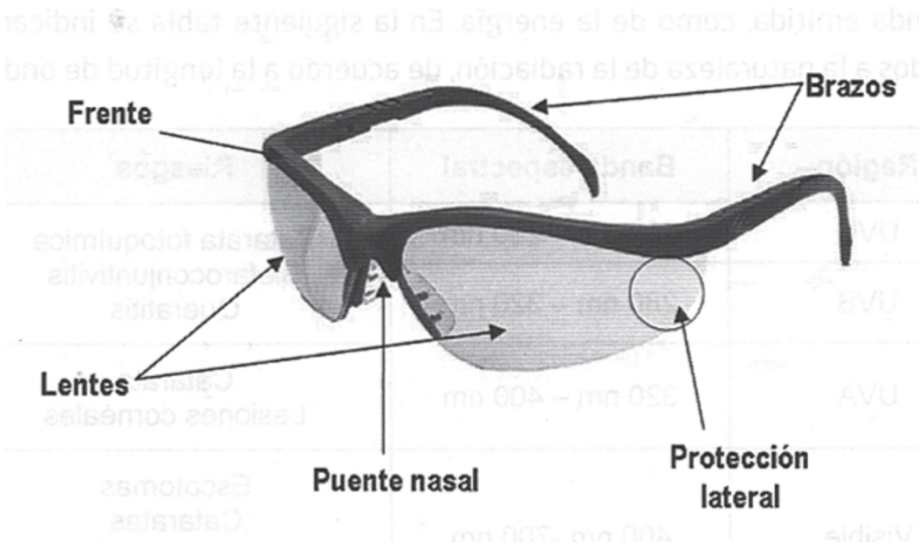


Figura A2.5. Detalle gafas de seguridad.

A2.2. SEÑALIZACIÓN.

Para la construcción del hangar serán obligatorias ciertas protecciones así como procedimientos de uso, por ello en la *figura A2.6.* se indican las señales de obligación presentes en la obra con sus respectivos significados.



Figura A2.6. Señales de obligación.

Debido a los posibles accidentes que puedan darse así como situaciones de emergencia será obligatorio el uso de las señales de socorro, en la *figura A2.7.* se indican las señales de socorro presentes en la obra con sus respectivos significados.



Figura A2.7. Señales de socorro.

Queda obligado el uso de señales de advertencia en la obra, por ello en la *figura A2.8.* se indican las señales de advertencia presentes en la obra con sus respectivos significados.



Figura A2.8. Señales de advertencia.

Durante la construcción del hangar quedan totalmente prohibidas ciertas acciones, en la *figura A2.9.* se indican las señales de prohibición presentes en la obra con sus respectivos significados.

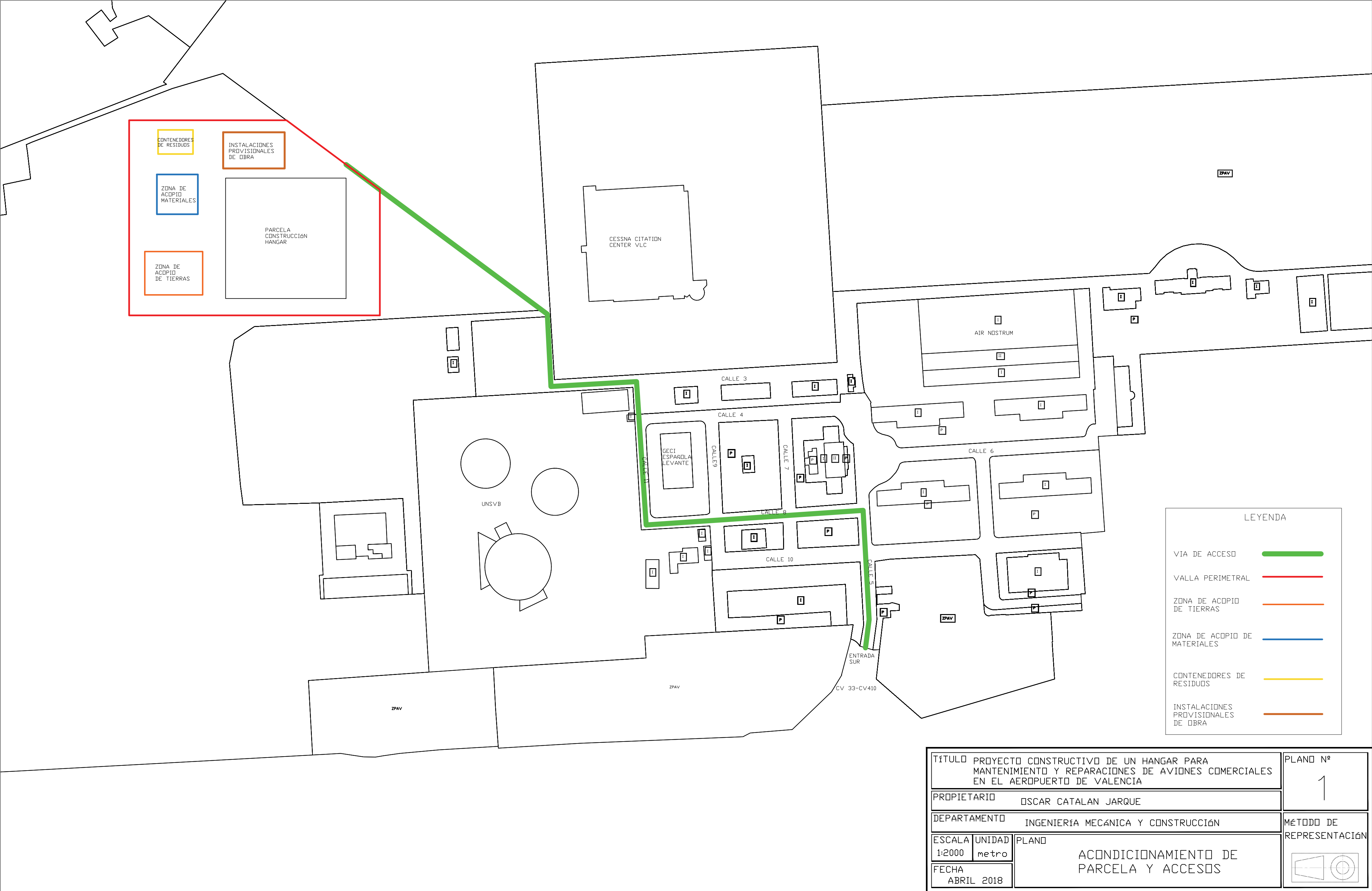


Figura A2.9. Señales de prohibición.

Debido al riesgo de incendio, la obra estará dotada con señalización de lucha contra incendios, en la figura A2.10. se indican las señales de lucha contra incendios presentes en la obra con sus respectivos significados.



Figura A2.10. Señales de lucha contra incendios.



DOCUMENTO NÚM 3:

**PLIEGO DE
CONDICIONES
PARTICULARES**

ÍNDICE PLIEGO DE CONDICIONES PARTICULARES ANEJO II

A2.1. NORMATIVA DE SEGURIDAD Y SALUD.....521

A2.2. CONDICIONES DE LOS MEDIOS DE PROTECCIÓN E INSTALACIONES PROVISIONALES DE OBRA.....521

- A2.2.1. Características de empleo y conservación de útiles y herramientas.....521
- A2.2.2. Características de empleo y conservación máquinas.....521
- A2.2.3. Señalización de obra.....521
- A2.2.4. Características, empleo y conservación de los equipos preventivos.....522
- A2.2.5. Condiciones climatológicas desfavorables.....525
- A2.2.6. Instalación contra incendios.....525

A2.3. ORGANIZACIÓN DE LA SEGURIDAD EN OBRA.....526

- A2.3.1. Bases de la acción preventiva.....526
- A2.3.2. Servicios de prevención.....526
- A2.3.3. Coordinador de seguridad y salud durante la obra.....526
- A2.3.4. Comité de seguridad y salud.....527
- A2.3.5. Perfiles del personal de prevención.....527

A2.1. NORMATIVA DE SEGURIDAD Y SALUD.

En el pliego de condiciones particulares se tendrán todas las normas legales aplicables a las características técnicas de la construcción del hangar. También se tendrán en cuenta las prescripciones que se habrán de cumplir con las características de cumplir con las características, la utilización y la conservación de equipos, útiles, herramientas, sistemas y máquinas.

En este documento debe entenderse toda la legislación transcrita laboral de España, también es de obligado cumplimiento el Derecho positivo del Estado y de sus Comunidades Autónomas aplicable a esta obra, porque el hecho de su transcripción o no, es irrelevante para lograr su eficacia en esta materia.

A2.2. CONDICIONES DE LOS MEDIOS DE PROTECCIÓN E INSTALACIONES PROVISIONALES DE OBRA.

A2.2.1. Características de empleo y conservación de útiles y herramientas.

El encargado de obra será el responsable del empleo y la conservación de los útiles y herramientas, exigiendo a los operarios el cumplimiento de las especificaciones establecidas por el fabricante para su correcto uso.

Todas las herramientas y útiles establecidos en este estudio son conocidos y con experiencia en su empleo por el uso general de estas. Por ello a dichas herramientas y útiles se les aplicarán las normas generales de carácter práctico y de conocimiento general.

A2.2.2. Características de empleo y conservación máquinas.

En cuanto a las características de empleo y conservación de máquinas se cumplirá lo indicado en el Reglamento de Seguridad de máquinas, R.D. 1495/86, con mayor énfasis a lo que se refiere a las instrucciones de uso, expuestas en el Capítulo IV, a Instalaciones y puestas en servicio, Capítulo V, a Inspecciones y revisiones periódicas, Capítulo VI y Reglas generales de seguridad, Capítulo VII.

A2.2.3. Señalización de obra.

A2.2.3.1. Señalización vial.

En la obra toda la señalización deberá cumplir el nuevo código de la circulación y con el contenido de la norma de carreteras 8.3-IC, señalización, balizamiento, defensa, limpieza y terminación de obras fijas fuera de poblado.

En el documento de mediciones y presupuesto de este documento se especifican, se especifican el tipo, modelo tamaño y material de cada una de las señales que serán utilizadas en la obra.

Con la señalización vial se pretende proteger a los conductores de la vía respecto de riesgo a terceros por la existencia de obras, pero también proteger a los trabajadores de la obra por accidentes causado por la irrupción de los vehículos de la obra.

A2.2.3.2. Señalización de riesgos en el trabajo.

La señalización utilizada en este ámbito debe cumplir el Real Decreto 485 de 14 de abril de 1997 donde se desarrollan los preceptos sobre señalización de riesgos en el trabajo según la Ley 31 de 8 de noviembre de 1995 de Prevención de Riesgos Laborales.

A2.2.4. Características, empleo y conservación de los equipos preventivos.

A2.2.4.1. Equipo de protección individual (EPI)

El equipo de protección individual es aquel destinado a ser llevado o sujetado por el trabajador para que lo proteja de riesgos que puedan amenazar su seguridad o salud. Se establecen tres categorías:

Categorías I: Se consideran así los equipos destinados a proteger contra riesgos mínimos.

Categoría II: Se consideran así los equipos destinados a proteger contra riesgos de grado medio o elevado, pero no de consecuencias mortales o irreversibles.

Categoría III: Se consideran así los equipos destinados a proteger contra riesgos de consecuencias mortales o irreversibles.

Todos los EPI deben de ir marcados con los siguientes elementos:

ELEMENTOS OBLIGATORIOS A FACILITAR AL USUARIO

1.- MARCADO "CE"

CE + XXXX

A B

A = EPI categorías I y II

A + B = EPI categoría III

B = Código de cuatro dígitos identificativos, en el ámbito de la UE, del organismo que lleva a cabo el control de aseguramiento de la calidad de la producción.

Se suministrará conjuntamente con el equipo un “folleto informativo” en el que se referenciarán y explicarán claramente los niveles de protección ofrecidos por el equipo, el mantenimiento y, en su caso, las sustituciones necesarias, etc.

- a) Instrucciones de almacenamiento, uso, limpieza, mantenimiento, revisión y desinfección.
- b).- Rendimientos técnicos alcanzados en los exámenes técnicos dirigidos a la verificación de los grados o clases de protección de los EPI.
- c).- Accesorios que se puedan utilizar en los EPI y características de las piezas de repuesto adecuadas.
- d).- Clases de protección adecuadas a los diferentes niveles de riesgo y límites de uso correspondientes.
- e).- Fecha o plazo de caducidad de los EPI o de alguno de sus componentes.
- f).- Tipo de embalaje adecuado para transportar los EPI.
- g).- Explicación de las marcas, si las hubiere.
- h).- En su caso, las referencias de las disposiciones aplicadas para la estampación del marcado “CE”, cuando al EPI le son aplicables, además, disposiciones referentes a otros aspectos y que conlleven la estampación del referido marcado.
- i).- Nombre, dirección y número de identificación de los organismos de control notificados que intervienen en la fase de diseño de los EPI.

Todos los equipos de protección individual utilizados para la construcción del hangar deben cumplir las siguientes condiciones generales.

1. Se ajustará a lo establecido en el R.D. 1407/92, de 20 de Noviembre, y sus instrucciones complementarias que lo desarrollan. Los equipos deben tener marcado “CE” y cumplir también el R.D. 773/1997, de 30 de Mayo, sobre disposiciones mínimas de seguridad y salud relativas a la utilización por los trabajadores de Equipos de Protección Individual.
2. El equipo utilizado no puede sobrepasar la fecha de su periodo de vigencia, en caso contrario este será revisado por el Coordinador en materia de seguridad y salud, para que autorice su eliminación de la obra.
3. Los equipos de protección individual en utilización rotos, serán reemplazados de inmediato, quedando constancia motivo del cambio y el nombre de la empresa y de la persona que recibe el nuevo equipo de protección individual.
4. Las normas de utilización de los equipos de protección individual, se atenderán a lo previsto en la reglamentación vigente y folletos explicativos de cada uno de sus

fabricantes.

A2.2.4.2. Equipo de protección colectiva.

Los elementos de protección colectiva que se utilizarán en la obra se deben ajustar a las características siguientes:

- Vallas autónomas de limitación y protección: Tendrán como mínimo 90 cm de altura, metálicas y con pies derechos de apoyo de tal modo que conserven sus estabilidad. Estas vallas podrán utilizarse, ancladas convenientemente, para la protección de zanjas y pozos.
- Pasillos o marquesinas de seguridad: Podrán realizarse a base de pórticos con pies derechos y dintel a base de tablones embridados, firmemente sujetos al terreno y cubierta cuajada de tablones. Serán capaces de soportar el impacto de los objetos que se prevea puedan caer.
- Redes perimetrales: La protección del riesgo de caída al vacío por el borde perimetral se hará mediante la utilización de pescante tipo horca. El extremo inferior de la red se anclará a horquillas de hierro embebidas en el forjado. La cuerda de seguridad será como mínimo de 10 mm de diámetro para sujeción a pescantes y de 6 mm para atado de paños y malla rómbica de cuadrícula 10 x 10 cm.
- Cables y elementos de sujeción de cinturón de seguridad y sus anclajes: Tendrán suficiente resistencia para soportar los esfuerzos a que pueden estar sometidos, de acuerdo a su función protectora.
- Escaleras de mano: Estarán en buen estado de utilización, serán de longitud suficiente para rebasar en 1 m el punto superior de apoyo y estarán provistas de zapatas antideslizantes en la base de los largueros.
- Plataformas de trabajo: Tendrán como mínimo 60 cm de ancho y las situadas a más de 2 m del suelo estarán dotadas de barandillas de 90 cm de altura, listón intermedio y rodapié.
- Topes para la descarga de vehículos a distinto nivel: Se podrán realizar con un par de tablones embridados, fijados al terreno por medio de redondos hincados al mismo, o de otra forma eficaz.
- Balizamientos: Cumplirán con la Norma UNE 81.501, Señalización de Seguridad en los lugares de trabajo.
- Barandillas: Deberán tener la suficiente resistencia para garantizar la retención de personas. Dispondrán de un listón superior a una altura de 90 cm., listón intermedio y rodapié.
- Limitaciones de movimiento de grúas: Cuando las grúas puedan tener interferencias entre ellas se colocarán limitaciones de giro y/o finales de carrera que impidan automáticamente su funcionamiento, cuando una grúa intente trabajar en la zona de interferencia.
- Extintores: Serán adecuados en agente extintor y tamaño al tipo de incendio previsible. Se revisarán cada 6 meses como máximo.
- Interruptores diferenciales y tomas de tierra: La sensibilidad mínima de los interruptores diferenciales será para alumbrado de 30 mA y para fuerza de 300 mA. La resistencia de las tomas de tierra no será superior a la que garantice, de

acuerdo con la sensibilidad del interruptor diferencial, una tensión máxima de 24 V. Se medirá su resistencia periódicamente y, al menos, en la época más seca del año.

- Portabotellas: Las bombonas de oxígeno y acetileno, para transporte en horizontal dentro de la obra, se llevarán siempre sobre carro portabotellas.
- Válvulas antirretroceso: Los equipos de oxiacetileno llevarán tres válvulas antirretroceso: una en el acoplamiento de la manguera de la salida de los manorreductores de bombonas y otra en la conexión del soplete.
- Ganchos para reparaciones, conservación y mantenimiento: Tendrán las características adecuadas para soportar los pesos de los elementos que se han de suspender. Satisfarán a las Normas UNE que a ellos se refieran.

A2.2.5. Condiciones climatológicas desfavorables.

En el caso de realizar trabajos que se deban ejecutar no estando bajo cubierta se tendrán en cuenta las siguientes consideraciones.

- En presencia de lluvia, heladas, nieve o vientos superiores a 60 Km/hora, se extremarán al máximo las medidas de seguridad y se suspenderán cualquier trabajo que haya de realizarse en altura.
- Se suspenderán los trabajos de movimiento de tierra en presencia de lluvia o nieve.
- En presencia de lluvia, heladas o nieve se suspenderán los trabajos de encofrados para evitar resbalones.

A2.2.6. Instalación contra incendios.

Con el fin de evitar y extinguir el riesgo de incendios se establecen una serie de normas de obligado cumplimiento en la obra.

1. Queda terminantemente prohibido la realización de hogueras, la utilización de mecheros, realización de soldaduras y asimilares en presencia de materiales inflamables.
2. El Contratista queda obligado a suministrar en su plan de seguridad y salud, un plano en el que se plasmen unas vías de evacuación. En fase de proyecto, no es posible establecer estas vías, si se proyectaran quedarían reducidas al campo teórico.
3. Se establece como método de extinción de incendios, la utilización de extintores cumpliendo la norma UNE 23.110, aplicándose por extensión, la norma NBE CP1-96
4. En el presente estudio de seguridad y salud, se definen una serie de extintores aplicando las citadas normas. El Contratista respetará en su plan de seguridad y salud en el trabajo el nivel de prevención diseñado.

A2.3. ORGANIZACIÓN DE LA SEGURIDAD EN OBRA.

A2.3.1. Bases de la acción preventiva.

El artículo 15 de la Ley 31/95 de PRL, el empresario aplicará las medidas necesarias para la integración del deber general de prevención según los siguientes supuestos.

- Evitar los riesgos.
- Evaluar los riesgos que no se puedan evitar.
- Combatir los riesgos en su origen.
- Adaptar el trabajo a la persona, en particular en lo que respecta a la concepción de los puestos de trabajo, así como a la elección de los equipos y métodos de trabajo y de producción, con miras, en particular, a atenuar el trabajo monótono y repetitivo y a reducir los efectos del mismo en la salud.
- Tener en cuenta la evolución de la técnica.
- Sustituir lo peligroso por lo que entrañe poco o ningún peligro.
- Planificar la prevención, buscando un conjunto coherente que integre en ella la técnica, la organización del trabajo, las condiciones de trabajo, las relaciones sociales y la influencia de los factores ambientales en el trabajo.
- Adoptar medidas que antepongan la protección colectiva a la individual.
- Dar las debidas instrucciones a los trabajadores.

A2.3.2. Servicios de prevención.

Se considera como servicio de prevención al conjunto de medios humanos y materiales para realizar las actividades de prevención a fin de garantizar la adecuada protección de la seguridad y salud de los operadores de la obra.

El servicio de prevención será organizado por el empresario en función de la actividad y número de trabajadores según se especifica en el Reglamento de los Servicios de Prevención, en concreto en los artículos 11, 12, 13, 14, 15 y 16 del RD 39/1997 de 17 de enero.

También se asignarán delegados de prevención que son los representantes de los trabajadores con funciones específicas en materia de prevención de riesgos en el trabajo, según el Artículo 35 de la Ley 31/1995 de 8 de noviembre. Y estos tendrán la formación adecuada para el ejercicio de sus funciones.

A2.3.3. Coordinador de seguridad y salud durante la obra.

Antes de dar comienzo a los trabajos de construcción de un hangar, el promotor designará un coordinador en materia de seguridad y salud que deberá desarrollar las siguientes funciones:

- Coordinar la aplicación de los principios generales de prevención y de seguridad.
- Coordinar las actividades de la obra para garantizar que los contratista y, en su caso, los subcontratistas y los trabajadores autónomos apliquen de manera

coherente y responsable los principios de la acción preventiva, que se recogen en el artículo 15 de la Ley de Prevención de Riesgos Laborales.

- Aprobar el Plan de Seguridad y Salud elaborado por el Contratista y, en su caso, las modificaciones introducidas en el mismo.
- Organizar la coordinación de actividades empresariales prevista en el art. 24 de la Ley de Prevención de Riesgos Laborales.
- Coordinar las acciones y funciones de control de la aplicación correcta de los métodos de trabajo. Adoptar las medidas necesarias para que sólo las personas autorizadas puedan acceder a la obra.

A2.3.4. Comité de seguridad y salud.

El Comité de Seguridad y Salud es el órgano paritario y colegiado de participación destinado a consulta regular y periódica de las actuaciones de la empresa en materia de prevención de riesgos.

Estará constituido en todas las empresas que cuenten con 50 o más trabajadores. Además, este estará formado por los delegados de prevención, de una parte, y por el empresario y sus representantes en número igual al de los delegados de prevención, de la otra.

En las reuniones del comité, participarán delegados sindicales y responsables técnicos además de trabajadores aunque todos estos tendrán voz pero sin voto. Estas reuniones se realizarán con una periodicidad trimestral y siempre que lo solicite algunas de las partes.

Para cumplir con la Ley de Prevención de Riesgos Laborales 31/1995, la empresa contratista principal procurará que se realice la designación de los Delegados de Prevención y por extensión la creación del Comité de Seguridad y Salud correspondiente, cuando se produzcan las condiciones previstas en el Artículo 38 de la citada Ley.

Las competencias del comité de seguridad y salud son: participar en la elaboración, puesta en práctica y evaluación de los planes y programas de prevención de riesgos en la empresa y promover iniciativas sobre métodos y procedimientos para la efectiva prevención de riesgos, proponiendo a la empresa la mejora de las condiciones o la corrección de las deficiencias existentes.

A2.3.5. Perfiles del personal de prevención.

A2.3.5.1. Encargado de seguridad y salud.

Debido a las necesidades de controlar el día a día y puntualmente la prevención y protección, es necesario la existencia de un encargado de seguridad y salud. Esta persona será contratado por el contratista de la obra.

Las funciones a realizar por el encargado de seguridad serán:

- Seguir las instrucciones del Coordinador en materia de seguridad y salud durante la ejecución de la obra.
- Informar puntualmente del estado de la prevención desarrollada al Coordinador en materia de seguridad y salud durante la ejecución de la obra.
- Controlar y dirigir, siguiendo las instrucciones del plan que origine este estudio de seguridad y salud, el montaje, mantenimiento y retirada de las protecciones colectivas.
- Dirigir y coordinará la cuadrilla de seguridad y salud.
- Controlar las existencias y consumos de la prevención y protección decidida en el plan de seguridad y salud aprobado y entregará a los trabajadores y visitas los equipos de protección individual.
- Medir el nivel de la seguridad de la obra, cumplimentando las listas de seguimiento y control, que entregará a la jefatura de obra para su conocimiento y al Coordinador en materia de seguridad y salud durante la ejecución de la obra, para que tome las decisiones oportunas.
- Realizar las mediciones de las certificaciones de seguridad y salud, para la jefatura de obra.
- Se incorporará como vocal, al Comité de seguridad y salud de la obra, si los trabajadores de la obra no ponen inconvenientes para ello y en cualquier caso con voz pero sin voto si los trabajadores opinan que no debe tomar parte en las decisiones de este órgano de la prevención de riesgos.

A2.3.5.2. Cuadrilla de seguridad y salud.

La cuadrilla de seguridad y salud estará formada por un oficial y dos peones, siendo el contratista el encargado de la formación de estas personas en materia de seguridad y salud que se incluyen dentro del plan que origine este estudio, para garantizar que realicen su trabajo en la medida de lo posible sin accidentes.

DOCUMENTO NÚM 4:

PRESUPUESTO

ÍNDICE PRESUPUESTO ANEJO II

CAPÍTULO 1. EPIS.....533

1.1.	Cascos.....	533
1.2.	Pantallas de soldador.....	533
1.3.	Gafas contra impacto.....	533
1.4.	Gafas anti polvo.....	533
1.5.	Máscara contra partículas.....	533
1.6.	Filtros contra partículas.....	533
1.7.	Cascos protectores auditivos.....	533
1.8.	Mono de trabajo.....	534
1.9.	Mandil de cuero para soldador.....	534
1.10.	Chaleco de seguridad.....	534
1.11.	Faja antivibratoria.....	534
1.12.	Par de guantes de soldador.....	534
1.13.	Guantes de seguridad.....	534
1.14.	Guantes impermeables.....	535
1.15.	Botas de seguridad.....	535
1.16.	Botas antideslizantes.....	535
1.17.	Botas impermeables.....	535
1.18.	Arnés de seguridad.....	535
1.19.	Cinturón portaherramientas.....	535

CAPÍTULO 2. PROTECCIÓN COLECTIVA.....536

2.1.	Valla de seguridad.....	536
2.2.	Cinta de balizamiento.....	536
2.3.	Cartel indicativo.....	536
2.4.	Señal de prohibición.....	536
2.5.	Señal de obligación.....	536
2.6.	Señal de extinción.....	536
2.7.	Señal de evacuación.....	536
2.8.	Malla de señalización.....	537
2.9.	Caseta para aseos.....	537
2.10.	Caseta para comedor.....	538
2.11.	Caseta para almacén.....	538
2.12.	Caseta para oficina.....	539
2.13.	Limpieza casetas.....	539
2.14.	Botiquín.....	539
2.15.	Extintores.....	539

CAPÍTULO 3. FORMACIÓN Y CONTROL.....540

3.1.	Formación del personal.....	540
3.2.	Reuniones	540

CAPÍTULO 1. EPIS

	Unidades	Coste unitario	Coste total
1.1. Cascos.			
Casco de protección, EPI de categoría II, según EN 397 y UNE-EN 13087-7, cumpliendo todos los requisitos de seguridad según el R.D. 1407/1992	32	2,31 €	73,92 €
1.2. Pantalla soldador.			
Pantalla de protección facial, con fijación en la cabeza y con filtros de soldadura, EPI de categoría II, según UNE-EN 166, UNE-EN 175 y UNE-EN 169, cumpliendo todos los requisitos de seguridad según el R.D. 1407/1992.	8	24,25 €	194,00 €
1.3. Gafas contra impactos.			
Gafas de protección con montura universal, EPI de categoría II, según UNE-EN 166, cumpliendo todos los requisitos de seguridad según el R.D. 1407/1992.	32	12,93 €	413,76 €
1.4. Gafas antipolvo.			
Gafas de protección con montura integral, EPI de categoría II, según UNE-EN 166, cumpliendo todos los requisitos de seguridad según el R.D. 1407/1992.	32	11,89 €	380,48 €
1.5. Máscara contra partículas.			
Máscara completa, clase 2, EPI de categoría III, según UNE-EN 136, cumpliendo todos los requisitos de seguridad según el R.D. 1407/1992	15	35,36 €	530,40 €
1.6. Filtros contra partículas.			
Filtro especial, con un filtro contra gases combinado con un filtro contra partículas (P3), EPI de categoría III, según UNE-EN 14387, cumpliendo todos los requisitos de seguridad según el R.D. 1407/1992	30	7,04 €	211,20 €
1.7. Cascos protectores auditivos			

Juego de orejeras, estándar, con atenuación acústica de 33 dB, EPI de categoría II, según UNE-EN 352-1 y UNE-EN 458, cumpliendo todos los requisitos de seguridad según el R.D. 1407/1992.	18	5,57 €	100,26 €
--	----	--------	----------

1.8. Mono de trabajo.

Mono de protección, EPI de categoría I, según UNE-EN 340, cumpliendo todos los requisitos de seguridad según el R.D. 1407/1992.	50	19,40 €	970,00 €
---	----	---------	----------

1.9. Mandil de cuero para soldador.

Mandil de protección para trabajos de soldeo, sometidos a una temperatura ambiente hasta 100°C, EPI de categoría II, según UNE-EN ISO 11611, UNE-EN 348 y UNE-EN 340, cumpliendo todos los requisitos de seguridad según el R.D. 1407/1992	8	12,22 €	97,76 €
--	---	---------	---------

1.10. Chaleco de seguridad.

Chaleco de alta visibilidad, de material reflectante, EPI de categoría II, según UNE-EN 471 y UNE-EN 340, cumpliendo todos los requisitos de seguridad según el R.D. 1407/1992	50	22,89 €	1.144,50 €
--	----	---------	------------

1.11. Faja antivibratoria.

Faja de protección lumbar con amplio soporte abdominal y sujeción regulable mediante velcro, EPI de categoría II, según UNE-EN 340, cumpliendo todos los requisitos de seguridad según el R.D. 1407/1992	3	19,50 €	58,50 €
--	---	---------	---------

1.12. Par de guantes soldador.

Par de guantes para soldadores, EPI de categoría II, según UNE-EN 420 y UNE-EN 12477, cumpliendo todos los requisitos de seguridad según el R.D. 1407/1992	8	9,00 €	72,00 €
--	---	--------	---------

1.13. Guantes de seguridad.

Par de guantes contra riesgos mecánicos, EPI de categoría II, según UNE-EN 420 y UNE-EN 388, cumpliendo todos los requisitos de seguridad según el R.D. 1407/1992	40	13,36 €	534,40 €
---	----	---------	----------

1.14. Guantes impermeables.

Par de guantes contra productos químicos, EPI de categoría III, según UNE-EN 420 y UNE-EN 374-1, cumpliendo todos los requisitos de seguridad según el R.D. 1407/1992.

20	1,09 €	21,80 €
----	--------	---------

1.15. Botas de seguridad.

Par de botas de seguridad, con puntera resistente a un impacto de hasta 200 J y a una compresión de hasta 15 kN, con resistencia al deslizamiento, EPI de categoría II, según UNE-EN ISO 20344 y UNE-EN ISO 20345, cumpliendo todos los requisitos de seguridad según el R.D. 1407/1992.

50	37,56 €	1.878,00 €
----	---------	------------

1.16 Botas antideslizantes.

Par de botas bajas de trabajo, sin puntera resistente a impactos, con las suelas provistas de resaltes, con resistencia al deslizamiento, EPI de categoría II, según UNE-EN ISO 20344 y UNE-EN ISO 20347, cumpliendo todos los requisitos de seguridad según el R.D. 1407/1992.

20	33,35 €	667,00 €
----	---------	----------

1.17 Botas impermeables.

Par de botas altas de trabajo, sin puntera resistente a impactos, con resistencia al deslizamiento, a la penetración y a la absorción de agua, EPI de categoría II, según UNE-EN ISO 20344 y UNE-EN ISO 20347, cumpliendo todos los requisitos de seguridad según el R.D. 1407/1992.

20	40,73 €	814,60 €
----	---------	----------

1.18 Arnés de seguridad.

Arnés anticaídas, con un punto de amarre, EPI de categoría III, según UNE-EN 361, UNE-EN 363, UNE-EN 364 y UNE-EN 365, cumpliendo todos los requisitos de seguridad según el R.D. 1407/1992.

10	28,22 €	282,20 €
----	---------	----------

- €

1.19. Cinturón portaherramientas.

Bolsa portaherramientas, EPI de categoría II, según UNE-EN 340, cumpliendo todos los requisitos de seguridad según el R.D. 1407/1992.

15	24,04 €	360,60 €
----	---------	----------

- €

CAPÍTULO2. PROTECCIÓN COLECTIVA

2.1. Valla de seguridad.

Valla trasladable de 3,50x2,00 m, formada por panel de malla electrosoldada con pliegues de refuerzo, de 200x100 mm de paso de malla, con alambres horizontales de 5 mm de diámetro y verticales de 4 mm de diámetro, soldados en los extremos a postes verticales de 40 mm de diámetro, acabado galvanizado, para delimitación provisional de zona de obras, incluso argollas para unión de postes

115	30,75 €	3.536,25 €
-----	---------	------------

2.2. Cinta de balizamiento.

metros

Cinta para balizamiento, de material plástico, de 8 cm de anchura y 0,05 mm de espesor, impresa por ambas caras en franjas de color rojo y blanco.

900	0,10 €	90,00 €
-----	--------	---------

2.3. Cartel indicativo.

Cartel general indicativo de riesgos, de PVC serigrafiado, de 990x670 mm, con 6 orificios de fijación.

4	10,75 €	43,00 €
---	---------	---------

2.4. Señal de prohibición.

Señal de prohibición, de PVC serigrafiado, de 297x210 mm, con pictograma negro de forma circular sobre fondo blanco, con 4 orificios de fijación, según R.D. 485/1997.

8	3,05 €	24,40 €
---	--------	---------

2.5. Señal de obligación.

Señal de prohibición, de PVC serigrafiado, de 297x210 mm, con pictograma negro de forma circular sobre fondo blanco, con 4 orificios de fijación, según R.D. 485/1997.

8	3,05 €	24,40 €
---	--------	---------

2.6. Señal de extinción.

Señal de extinción, de PVC serigrafiado, de 297x210 mm, con pictograma blanco de forma rectangular sobre fondo rojo, con 4 orificios de fijación, según R.D. 485/1997.

8	4,15 €	33,20 €
---	--------	---------

2.7. Señal de evacuación.

Señal de evacuación, salvamento y socorro, de PVC serigrafiado, de 297x210 mm, con pictograma blanco de forma rectangular sobre fondo verde, con 4 orificios de fijación, según R.D. 485/1997.	10	4,15 €	41,50 €
--	----	--------	---------

2.8. Malla de señalización. metros

Malla de señalización de polietileno de alta densidad (200 g/m ²), doblemente reorientada, con tratamiento ultravioleta, color naranja, de 1,2 m de altura.	600	0,49 €	294,00 €
---	-----	--------	----------

2.9. Caseta para aseos.

Alquiler de caseta prefabricada para aseos en obra, de 3,45x2,05x2,30 m (7,00 m ²), compuesta por: estructura metálica mediante perfiles conformados en frío; cerramiento de chapa nervada y galvanizada con terminación de pintura prelacada; cubierta de chapa galvanizada ondulada reforzada con perfil de acero; aislamiento interior con lana de vidrio combinada con poliestireno expandido; instalaciones de fontanería, saneamiento y electricidad y fuerza con toma exterior a 230 V; tubos fluorescentes y punto de luz exterior; termo eléctrico de 50 litros de capacidad; ventanas correderas de aluminio anodizado, con luna de 6 mm y rejas; puerta de entrada de chapa galvanizada de 1 mm con cerradura; suelo contrachapado hidrófugo con capa fenólica antideslizante; revestimiento de tablero melaminado en paredes; inodoro, plato de ducha y lavabo de tres grifos, de fibra de vidrio con terminación de gel-coat blanco y pintura antideslizante; puerta de madera en inodoro y cortina en ducha. Según R.D. 1627/1997.	2	628,32 €	1.256,64 €
--	---	----------	------------

2.10. Caseta para comedor.

Mes de alquiler de caseta prefabricada para comedor en obra, de 7,87x2,33x2,30 (18,40) m², compuesta por: estructura metálica mediante perfiles conformados en frío; cerramiento de chapa nervada y galvanizada con terminación de pintura prelacada; cubierta de chapa galvanizada ondulada reforzada con perfil de acero; aislamiento interior con lana de vidrio combinada con poliestireno expandido; instalación de electricidad y fuerza con toma exterior a 230 V; tubos fluorescentes y punto de luz exterior; ventanas correderas de aluminio anodizado, con luna de 6 mm y rejas; puerta de entrada de chapa galvanizada de 1 mm con cerradura; suelo de aglomerado revestido con PVC continuo de 2 mm y poliestireno de 50 mm con apoyo en base de chapa galvanizada de sección trapezoidal y revestimiento de tablero melaminado en paredes. Según R.D. 1627/1997.

1	856,27 €	856,27 €
---	----------	----------

2.11. Caseta para almacén.

Mes de alquiler de caseta prefabricada para almacenamiento en obra de materiales, pequeña maquinaria y herramientas, de 3,43x2,05x2,30 m (7,00 m²), compuesta por: estructura metálica mediante perfiles conformados en frío; cerramiento de chapa nervada y galvanizada con terminación de pintura prelacada; cubierta de chapa galvanizada ondulada reforzada con perfil de acero; instalación de electricidad y fuerza con toma exterior a 230 V; tubos fluorescentes y punto de luz exterior; ventanas correderas de aluminio anodizado, con luna de 6 mm y rejas; puerta de entrada de chapa galvanizada de 1 mm con cerradura; suelo de aglomerado hidrófugo de 19 mm.

2	423,45 €	846,90 €
---	----------	----------

2.12. Caseta para oficina.

Mes de alquiler de caseta prefabricada para despacho de oficina en obra, de 4,78x2,42x2,30 m (10,55 m²), compuesta por: estructura metálica mediante perfiles conformados en frío; cerramiento de chapa nervada y galvanizada con terminación de pintura prelacada; cubierta de chapa galvanizada ondulada reforzada con perfil de acero; aislamiento interior con lana de vidrio combinada con poliestireno expandido; instalación de electricidad y fuerza con toma exterior a 230 V; tubos fluorescentes y punto de luz exterior; ventanas correderas de aluminio anodizado, con luna de 6 mm y rejas; puerta de entrada de chapa galvanizada de 1 mm con cerradura; suelo de aglomerado revestido con PVC continuo de 2 mm y poliestireno de 50 mm con apoyo en base de chapa galvanizada de sección trapezoidal y revestimiento de tablero melaminado en paredes.

1	859,34 €	859,34 €
---	----------	----------

2.13. Limpieza casetas.

Hora de limpieza y desinfección de caseta o local provisional en obra.

50	16,64 €	832,00 €
----	---------	----------

2.14. Botiquín.

Botiquín de urgencia provisto de desinfectantes y antisépticos autorizados, gasas estériles, algodón hidrófilo, venda, esparadrapo, apósitos adhesivos, un par de tijeras, pinzas, guantes desechables, bolsa de goma para agua y hielo, antiespasmódicos, analgésicos, tónicos cardíacos de urgencia, un torniquete, un termómetro clínico y jeringuillas desechables, con tornillos y tacos para fijar al paramento.

4	96,16 €	384,64 €
---	---------	----------

2.15. Extintores.

Extintor portátil de polvo químico ABC polivalente antibrasa, con presión incorporada, de eficacia 21A-144B-C, con 6 kg de agente extintor, con manómetro y manguera con boquilla difusora, con accesorios de montaje, según UNE-EN 3.

5	41,83 €	209,15 €
---	---------	----------

CAPÍTULO 3 FORMACIÓN Y CONTROL

3.1. Formación del personal.

Formación del personal, necesaria para el cumplimiento de la normativa vigente en materia de Seguridad y Salud en el Trabajo. El precio incluye las reuniones del Comité de Seguridad y Salud en el Trabajo.

1	852,34 €	852,34 €
---	----------	----------

3.2. Reuniones.

Reunión del Comité de Seguridad y Salud en el Trabajo, considerando una reunión de dos horas.

4	254,34 €	1.017,36 €
---	----------	------------

RESUMEN DE PRESUPUESTO

		Importe
CAPITULO 1.	EPIS	8.805,38 €
CAPITULO 2.	PROTECCIÓN COLECTIVA	9.331,69 €
CAPITULO 3	FORMACIÓN Y CONTROL	1.869,70 €
TOTAL		20.006,77 €

ANEJO III

INFORME MEDIOAMBIENTAL

ÍNDICE ANEJO III

A3.1. OBJETIVO.....	545
A3.2. DESCRIPCIÓN DEL ENTORNO.....	545
A3.3. GESTIÓN DE RESIDUOS.....	546
A3.3.1. Clasificación.....	546
A3.3.2. Residuos de Construcción y Demolición (RCD) previstos.....	546
A3.3.3. Transporte a vertedero y medidas de prevención.....	546
A3.3.4. Localización de vertederos.....	546
A3.4. IMPACTOS.....	547
A3.4.1. Impacto sobre el entorno físico.....	547
A3.4.2. Impacto sobre fauna y flora.....	547
A3.4.3. Impacto sobre poblaciones cercanas.....	547
A3.5. MEDIDAS DE PROTECCIÓN.....	548
A3.5.1 Protección del suelo.....	548
A3.5.2. Protección atmosféricas.....	548
A3.5.3. Protección de la calidad de las aguas y del sistema hidrológico.....	549
A3.5.4. Protección acústica.....	550
A3.5.5. Protección de la vegetación.....	550
A3.6. PLAN DE VIGILANCIA AMBIENTAL.....	551
A3.6.1. Objetivo.....	551
A3.6.2. Responsabilidades.....	551
A3.6.3. Programa de aseguramiento de la calidad ambiental de la obra.....	551
A3.6.4. Diario ambiental de la obra.....	552

A3.1. OBJETIVO

En el presente anejo se pretende analizar los diferentes impactos medioambientales del proyecto así mismo se expondrán una serie de medidas preventivas que se adoptarán en el desarrollo de su ejecución para reducir el impacto en el entorno.

También en este anejo se describirán las bases sobre las que deberá desarrollarse el Plan de vigilancia Ambiental para la ejecución de la construcción del hangar.

A3.2. DESCRIPCIÓN DEL ENTORNO

La parcela se encuentra situada dentro del aeropuerto de Valencia. Este se encuentra rodeado por 3 núcleos urbanos principalmente, Manises, Quart de Poblet y Aldaia, pero el principal núcleo de población es su capital Valencia a 6 kilómetros al este.

El aeropuerto ocupa una superficie de 3537 km² según datos del catastro, en terrenos pertenecientes en al término municipal de Manises. Sus límites son por el Norte la población de Manises, el real club golf de Manises y el polígono industrial la Cova. En cuanto a sus límites por el Sur, se sitúan varios polígonos industriales y un centro comercial. Sus límites por el este son las poblaciones de Quart de Poblet y Aldaia y Valencia a mayor distancia. Finalmente por el Oeste el aeropuerto linda con campos agrícolas.

El terreno sobre el que se levanta el aeropuerto es una llanura con una altura media de 73 metros, esta desciende suavemente hasta el lecho del río Turia. El mar se encuentra a 12 km del aeropuerto.

Debido a la proximidad a núcleos urbanos y áreas de concentración industrial se crea una interrelación mutua entorno-aeropuerto. Los núcleos urbanos tienen grandes beneficios económicos y sociales en el aeropuerto como motor de actividad industrial, negocio y turismo. Aunque por el contrario, también provoca afecciones ambientales como pueda ser el ruido. Pero por otro lado, el establecimiento industrial de la zona provoca humos que pueden ser causa de disminución de visibilidad, de esta manera se crea una interrelación, con ventajas e inconvenientes.

En cuanto a zonas protegidas, el aeropuerto se encuentra a 15 kilómetros del parque natural de la Albufera, se trata del lago más grande de la península, siendo esta un área muy sensible que se ve afectada por contaminación de sus aguas o la urbanización.

En relación a la fauna, no existe presencia de especies protegidas en las inmediaciones del aeropuerto, únicamente en el parque natural de la Albufera.

A3.3. GESTIÓN DE RESIDUOS

A3.3.1. Clasificación

Durante la ejecución del presente proyecto se generarán residuos, estos son Residuos de la Construcción y Demolición (RCD), la clasificación de los mismos se efectuará según el Código LER (Lista Europea de Residuos según Orden MAM/304/2002 de 8 de febrero publicada en BOE nº 61, de 12 de marzo de 2002). Dentro de los denominados RCD se pueden distinguir entre inertes y los de carácter peligroso, aunque en el presente proyecto no se generarán productos de carácter peligroso.

A3.3.2. Residuos de Construcción y Demolición (RCD) previstos

- Ladrillos
- Plásticos
- Hormigón
- Mezclas bituminosas y productos alquitranados
- Metales mezclados
- Cables
- Tierra
- Piedra
- Fibra de vidrio
- Otros residuos de construcción y demolición

A3.3.3. Transporte a vertedero y medidas de prevención

Todos los residuos del proyecto serán llevados a vertederos autorizados para tal fin, para ello se utilizarán camiones homologados con medidas de protección adecuados como son toldos que cubran por completo la carga con el fin de evitar la emisión de polvo durante su transporte.

También deberán seguirse las notas técnicas de prevención del Instituto Nacional de Seguridad e Higiene en el Trabajo publicadas por el Ministerio de Trabajo y Asuntos Sociales referidas a los residuos de construcción y demolición (RCD), exactamente a residuos inertes que son los generados en el proyecto. Las notas técnicas referidas son las expuestas a continuación:

NTP 258: Riesgos laborales en empresas de gestión y tratamiento de residuos.
NTP 258: Prevención de riesgos en demoliciones.

A3.3.4. Localización de vertederos

En relación con la gestión de los residuos, se propone llevar estos a los vertederos que se exponen en la tabla A3.1.

NOMBRE	DIRECCIÓN
HERMANOS ROBLEDO HERNANDEZ, SL	C/ ARTESANÍA, 42, 46930 ,QUART DE POBLET QUART DE POBLET
HORMIUNION, S.L.	POLÍGONO INDUSTRIAL LA FOIA, MANZANA 12, PARCELA 36, 46394 RIBA-ROJA DE TÚRIA
AMBECO SERVICIOS MEDIOAMBIENTALES, S.L.	POLÍGONO INDUSTRIAL L'ALTER, C/ DELS GREMIS, 30 ,46290 ALCÀSSER
COMERCIAL VISA- BUÑOL, S.L.	CALLE FUENTE CORACHAN, PAHILLA 222ª, 46360 BUÑOL
FORMACIONES AGRICOLAS KIKO, S.L.	PDA. DE CAMUSERO, POL. 10, PARCELA 5 Y 7 46900 TORRENT
GESTIÓN INTEGRAL DE RESIDUOS, SA (GIRSA)	POLÍGONO INDUSTRIAL JUAN CARLOS I, PARCELA 18.11 0, 46220 PICASSENT
HERMANOS ANDUJAR Y NAVARRO, SL	PARTIDA RABOSAR, S/N, 46980, PATERNA
GESTIÓN MEDIOAMBIENTAL DE RESIDUOS, SA (GEMERSA)	POLÍGONO INDUSTRIAL 51, PARCELA 13, PARTIDA LA CONTIENDA, MASÍA DEL JUEZ , 46900, TORRENT

Tabla A3.1. Vertederos en las proximidades del aeropuerto de Valencia.

A3.4. IMPACTOS

En este punto se considerarán los impactos producidos tanto en la construcción como en la explotación del hangar para mantenimiento y reparaciones de aviones comerciales.

A3.4.1. Impacto sobre el entorno físico

- Emisión de polvo durante la ejecución de los trabajos.
- Contaminación acústica en la ejecución de los trabajos.
- Generación de residuos en construcción y explotación.
- Emisiones derivadas de la combustión a causa de la maquinaria en la ejecución de los trabajos de construcción y explotación.

A3.4.2. Impacto sobre fauna y flora

- Destrucción de la vegetación en parcela.
- Contaminación acústica en la ejecución de los trabajos.
- Alteración del movimiento de las aves por la construcción del hangar.

A3.4.3. Impacto sobre poblaciones cercanas

- Contaminación acústica en la ejecución de los trabajos.
- Emisión de polvo durante la ejecución de los trabajos de construcción.

A3.5. MEDIDAS DE PROTECCIÓN

A3.5.1 Protección del suelo

Los elementos auxiliares de obra, así como las oficinas de obra, áreas de acopio de materiales, se delimitarán dentro de zonas acotadas de manera que la concentración espacial de estas sea máxima para evitar la dispersión de los objetos y minimizar la zona afectada por la obra.

También se delimitará mediante balizas y señalizará toda la zona que vaya a verse afectada durante la ejecución de las obras. No se permitirá ni el paso de maquinaria ni el depósito de materiales o residuos de ninguna clase fuera de la zona delimitada por las obras.

Se aprovecharán en la medida de lo posible los caminos existentes, de esta manera se minimizará la afección producida por los caminos de acceso a la obra. Para ello se procederá al jalonamiento de los caminos de acceso a las obras, de esta manera la circulación de personal y maquinaria se restrinja a la zona acotada.

Finalizado el proyecto, se procederá a la retirada y desinstalación de las instalaciones y elementos auxiliares de obra, restituyendo el terreno a sus condiciones originales. Para ello se procederá a realizar un laboreo de todos los suelos afectados por la obra como consecuencia de movimiento de maquinaria y tránsito de vehículos de transporte para así facilitar el crecimiento de nueva vegetación.

La capa superior de tierra vegetal que pudiera estar directa o indirectamente afectada por la ejecución de la obra se recuperará se recuperará para su posterior tratamiento en vertedero. También para facilitar los procesos de colonización vegetal, se establecerá un proceso que garantice el mantenimiento de las propiedades del suelo fértil.

A3.5.2. Protección atmosféricas.

Diferentes tareas de excavación que se van a llevar a cabo durante la ejecución del proyecto pueden generar el levantamiento de polvo, este incrementado por la acción del viento, para ello se humectarán mediante riego las zonas donde se van a llevar dichas tareas.

El levantamiento de polvo también se provocará por la acción del viento sobre las superficies desbrozadas, para ello durante las obras se aminorará iniciando su revegetación una vez que las superficies dejen de ser utilizadas en la ejecución del proyecto. De esta manera la erosión eólica se minimizará al reducir el tiempo de exposición.

Los acopios de tierra se situarán en zonas de menor incidencia del viento así y estos serán humectados para reducir la emisión de polvo. En cuanto al traslado tanto

de residuos como de materiales para la construcción del hangar, estos se transportarán tapados.

En relación con el polvo generado, para evitar las molestias que durante las obras se pueda producir sobre los núcleos de población próximos al aeropuerto o las instalaciones del mismo, se efectuarán riegos periódicos en todos los caminos de acceso a obra, así como a las zonas colindantes a la obra. También se realizarán barrido de los viales de circulación.

Para determinar la periodicidad de los riegos, esta se realizará de acuerdo a las características del suelo y de las condiciones climáticas con el fin de que asegure que los niveles resultantes de concentración de partículas en el aire, en las zonas externas habitadas próximas al aeropuerto o en las zonas internas del recinto aeroportuario, no superen los límites establecidos por el R.D. 1073/2002, de 18 de octubre, sobre la evaluación y gestión de la calidad del aire ambiente.

La maquinaria, camiones y vehículos de transporte utilizados durante la obra deberán cumplir estrictamente con los programas de revisión y mantenimiento especificados por el fabricante de los equipos y tener pasada la inspección técnica de vehículos obligatoria.

A3.5.3. Protección de la calidad de las aguas y del sistema hidrológico.

Durante la construcción del hangar y su posterior explotación se generarán productos residuales que se gestionarán de acuerdo con la normativa aplicable. Para la asignación de contrato de la obra, el contratista tendrá la obligación de elaborar un Plan de Gestión de Residuos de obra.

Una de las afectaciones se dará en el lavado de cubas de hormigón, para ello se definirán lugares específicos que también contarán con los sistemas de depuración primaria necesarios. También se construirán balsas de decantación provisionales durante las obras donde los vertidos accidentales y aguas de lavado pudieran generarse.

Antes de realizar los vertidos del agua almacenada en las balsas de decantación se realizará un análisis de su calidad, que de no cumplir con los valores establecidos en la legislación vigente, deberán ser tratadas.

A la hora de realizar el trazado de los caminos de acceso se evitará en la medida de lo posible el paso sobre elementos pertenecientes a la red principal de drenaje con el fin de evitar posibles modificaciones de la escorrentía, vertidos accidentales y la deposición de material fino que pudiera ser removido por las aguas superficiales. En el caso que se produjese cualquier afección estas se repararía el daño causado.

Las casetas de obra se dotarán de un sistema de saneamiento adecuado que evite la contaminación de las aguas, así como la instalación de baños portátiles para el personal de obra.

Finalizada la construcción del hangar, se verificará, mediante la toma de muestras, la no afección tanto a aguas subterráneas como a los suelos circundantes y se entregará un informe con los resultados. En caso de afección, se deberá realizar un estudio que defina el alcance y la ubicación de las áreas contaminadas con el fin de llevar a cabo la recuperación de esa zona afectada.

A3.5.4. Protección acústica.

La maquinaria utilizada durante la construcción del hangar, recibirá un correcto mantenimiento de la misma que permita el cumplimiento de la legislación vigente en materia de emisión de ruidos en maquinaria de obras públicas con el fin de minimizar los niveles sonoros producidos.

Quedará limitado la utilización y movimiento de maquinaria en los periodos de 22:00 horas hasta las 6:00 horas. Por lo que se realizará la planificación de la construcción del proyecto de acuerdo con este horario establecido procurando disminuir así las afecciones acústicas a la población.

Toda maquinaria utilizada en la ejecución del proyecto tendrá un nivel de potencia acústica garantizado igual o inferior a los límites fijados por la Directiva 2000/14 CE del Parlamento Europeo y del Consejo de 8 de mayo de 2000, relativa a la aproximación de las legislaciones de los estados miembros sobre emisiones sonoras en el entorno, debidas a las máquinas de uso al aire libre. También se cumplirá su transposición a la legislación estatal a través del Real Decreto 524/2006, de 28 de abril, por el que se regulan las emisiones sonoras en entornos debidas a determinadas máquinas de uso al aire libre (BOE nº52 de 1 de marzo de 2002).

A3.5.5. Protección de la vegetación.

Con anterioridad al comienzo de la construcción del hangar, se realizará una inspección de la zona con el fin de comprobar la vegetación actual y la conveniencia de adoptar medidas adicionales para minimizar la afección a la vegetación y evaluar la necesidad de recuperar la cubierta vegetal.

En cualquier caso, se llevará a cabo la descompactación del suelo mediante un subsolado y a reposición de especies vegetales en toda la superficie, que hayan resultado afectadas por acciones de despeje y desbroce o por proceso de compactación de suelo por el tránsito de maquinaria pesada.

Estas tareas se realizarán tanto parcialmente si se conoce que una zona ya no va a ser utilizada como inmediatamente después de finalizar las actuaciones previstas en la obra, con el fin de reponer la cubierta vegetal en el menor plazo de tiempo posible.

A3.6. PLAN DE VIGILANCIA AMBIENTAL

A3.6.1. Objetivo

Mediante la realización del Plan de Vigilancia ambiental se pretende el aseguramiento de la correcta ejecución de todas las medidas correctoras y protectoras, así mismo la determinación de su grado de eficacia real, y en caso contrario establecer los mecanismos para corregir las posibles desviaciones que se hayan producido.

A3.6.2. Responsabilidades

Durante la fase de ejecución del proyecto, se designará un Director Ambiental de Obra, cuya responsabilidad será velar por la efectiva ejecución de las medidas protectoras y correctoras o si lo cree correspondiente la realización de nuevas medidas. También se encargará de la ejecución del Plan de Vigilancia Ambiental y de la emisión de los informes de cumplimiento.

En el proyecto habrá un Responsable de Medio Ambiente nombrado por el contratista que se encargará de la puesta a cabo de las medidas protectoras y correctoras del proyecto previstas en la fase de construcción y de proporcionar tanto al concesionario como a AENA la información y los medios necesario para el correcto cumplimiento del Plan de Vigilancia Ambiental.

A3.6.3. Programa de aseguramiento de la calidad ambiental de la obra

Se elaborará un Programa de Aseguramiento de la Calidad de la Obra y un Plan de Gestión de Residuos de la obra. Este será elaborado por el Responsable de Medio Ambiente nombrado por el contratista.

Los puntos como mínimo a desarrollar en el Programa son:

- Programación de los controles ambientales requeridos en este capítulo.
- Normas de comportamiento con el fin de evitar daños innecesarios a la vegetación y fauna.
- Normas de comportamiento antes accidentes ambientales (inundaciones, vertidos contaminantes, fuego, etc.).
- Normas de circulación de los vehículos (velocidades máximas, rutas permitidas, etc.).
- Realización de actividades expresamente prohibidas tales como el vertido de aceites, la quema en hogueras, lavados de equipo fuera de los lugares asignados, etc.

A3.6.4. Diario ambiental de la obra

Durante la ejecución del proyecto se anotarán las operaciones de naturaleza ambiental realizadas, el ejecutor de estas y el responsable supervisor. En encargado de realizar estas anotaciones será el Responsable de Medio Ambiente, estando este documento a disposición plena y permanente del Director Ambiental de Obra y de cualquier persona que lo solicite.

ANEJO IV

**ESTUDIO DE
VIABILIDAD
ECONÓMICA**

ÍNDICE ESTUDIO DE VIABILIDAD ECONÓMICA

A4.1. INTRODUCCIÓN.....	557
A4.2. ESTUDIO DE VIABILIDAD ECONÓMICA.....	557
A4.2.1. Hipótesis.....	557
A4.2.2. Inversión inicial.....	558
A4.2.3. Ingresos.....	558
A4.2.4. Gastos.....	558
A4.2.5. Valor Actual Neto (VAN).....	559
A4.2.6. Tasa Interna de Retorno (TIR).....	559
A4.2.7. Periodo de retorno.....	559
A4.3. CÁLCULOS.....	559
A4.4. CONCLUSIONES.....	562

A4.1. INTRODUCCIÓN

En el presente anejo se va a estudiar la viabilidad económica de la construcción del hangar.

Para obtener la viabilidad económica del hangar se plantea el concesionado de la explotación de este. Por ello en base a este anejo se determinará si el proyecto es viable económicamente en base a su rentabilidad.

En los siguientes puntos se describe detalladamente la metodología utilizada para determinar la rentabilidad del hangar, así como los parámetros e hipótesis consideradas en el presente estudio.

A4.2. ESTUDIO DE VIABILIDAD ECONÓMICA

A4.2.1. Hipótesis

Concesión:

El proyecto de construcción de un hangar para mantenimiento y reparaciones de aviones comerciales, se materializa en base a una concesión por parte de AENA en el aeropuerto de Valencia. El periodo de duración de este tipo de concesiones suele ser de 30 años por lo que el estudio se realizará teniendo en cuenta este tiempo.

Una vez pasado este tiempo y en caso de no ser renovada, el hangar pasaría a ser propiedad de AENA a efectos inmediatos y sin remuneración alguna.

Inversión inicial:

La inversión en obra civil se desembolsaría en el primer año. Asimismo, se considera que después de su construcción el hangar entra en operación al finalizar este primer año.

Tasa de descuento:

La tasa de descuento que se considerará para el cálculo del Valor Actual Neto (VAN) de la inversión será aquella libre de riesgo. Por ello y coincidiendo con los intereses de las obligaciones del estado a 30 años, se considerará una tasa de descuento del 5,10%. Por ello no se tendrá en cuenta la inflación.

Precios y Costes:

Los costes de operación así como los precios asociados a los servicios realizados en el hangar aumentarán de manera constante en el tiempo. Este crecimiento se ha supuesto del 1,5% para los costes y un crecimiento del 2% para los precios.

Tráfico de Aviación Corporativa:

Según los datos y previsiones del tráfico de aviación corporativa en el aeropuerto de Barcelona según datos aportados por AENA, se considera un crecimiento aéreo constante en el tiempo del 3%.

Rentabilidad:

Como técnica para determinar la viabilidad económica, se comparará la Tasa Interna de Retorno (TIR) con la rentabilidad exigida en otros proyectos del sector. Se considera que un proyecto entre dentro del sector de mantenimiento aeroportuario con una rentabilidad aproximada del 10%. Es elevado el valor de la rentabilidad ya que está asociada al riesgo de indeterminación de las operaciones a realizar en el hangar.

A4.2.2. Inversión inicial.

Se considera como inversión inicial la obra civil de construcción del hangar. Tomando para ello el presupuesto por contrato contabilizando los gastos generales, el beneficio industrial y el IVA.

A4.2.3. Ingresos.

Los principales ingresos serán en base a operaciones de reparación y mantenimiento realizadas en el hangar. Para ello se considera el desarrollo de revisiones tipo C en aviación comercial.

Debido al considerable volumen de operaciones del aeropuerto de Valencia y considerando que no existe otro hangar con las características para realizar estas operaciones en el aeropuerto, las operaciones de mantenimiento se han computado bajo la hipótesis de que hay una demanda en cola.

Las operaciones de reparación y mantenimiento requieren de un tiempo aproximado de 2 semanas por lo que se realizarán 27 operaciones anualmente siendo necesarias aproximadamente 1600 horas-hombre.

A4.2.4. Gastos

Para el presente estudio se van a distinguir tres tipos de gastos:

- **Gastos de Personal:** Para la realización de las operaciones, el hangar debe contar con personal técnico, personal administrativo y personal de limpieza. Dentro de estos gastos se contabilizarán los costes de formación y certificación del personal técnico.
- **Gastos de Operación:** Los gastos de operación incluyen la cobertura del mantenimiento y limpieza de la infraestructura así como la logística de los

suministros técnicos necesarios y los consumos del hangar. Se han consultado las tarifas de Gestair para obtener los gastos de operación.

- Tarifas aeroportuarias: En este apartado se contabilizan los gastos derivados de las tarifas aeroportuarias que son necesaria para la mayoría de actividades y servicios ofrecidos por el hangar. Se ha consultado las tarifas Aeroportuarias ofrecidas por AENA para el año 2019.

A4.2.5. Valor Actual Neto (VAN)

Aplicando como base el escenario planteado en los puntos anteriores se procederá a calcular la rentabilidad del proyecto. Para determinar la esta rentabilidad se evalúan los flujos de caja generados anualmente a lo largo de toda la concesión manteniendo actualizados el valor monetario al momento presente en base a una tasa de descuento (VAN).

$$VAN = \sum_{t=1}^n \frac{F_t}{(1+d)^t} - I_0$$

Donde:

- F_t : Flujo de caja en el año t.
- I_0 : Inversión Inicial
- d : Tasa de descuento

A4.2.6. Tasa Interna de Retorno (TIR)

La tasa interna de retorno es la tasa o interés o rentabilidad que ofrece una inversión. Es por tanto el porcentaje o beneficio o pérdida que tendrá una inversión.

Se puede obtener la tasa interna de retorno igualando el VAN a cero y despejando el parámetro d que se considera el TIR del proyecto.

A4.2.7. Periodo de retorno

El periodo de retorno es un criterio para evaluar inversiones definido este como el periodo requerido para evaluar el capital inicial de una inversión.

Utilizando el periodo de retorno sabemos el número de años que se tarda en recuperar el dinero desembolsado al comienzo de una inversión. Lo que es crucial a la hora de decidir si embarcarse en un proyecto es viable.

A4.3. CÁLCULOS

En el presente punto se va a proceder a la realización de los cálculos mediante una hoja Excel, donde se identifican todos los gastos e ingresos y se calculará el VAN, TIR y Periodo de Retorno.

ESTUDIO DE VIABILIDAD ECONÓMICA

GASTOS INICIALES:	Total
Obra Civil	4077016

INGRESOS:			
	Op anuales	Precio unitario (€/op)	Total
Operaciones de mantenimiento C	27	112500	3037500

GASTOS:			
Gastos de Personal:			
	Unidades	Precio unitario(€/año)	Total
Personal zona técnica- Ingenieros	7	60000	420000
Formación y certificación- Ingenieros	7	10000	70000
Personal zona técnica- Operarios	12	40000	480000
Formación y certificación- Operarios	12	6500	78000
Personal zona administrativa	2	40000	80000
Personal de limpieza	1	20000	20000
Gastos de Operación:			
	Unidades	Precio unitario(€/año)	Total
Limpieza y mantenimiento	1	12000	12000
Consumos y suministros	1	23000	23000
Logística consumos y suministros	1	1450000	1450000
Tarifas Aeroportuarias:			
	Unidades	Precio unitario(€/año)	Total
Gestión de RSU	10000	1,35	13500
Uso de terreno	10000	8,64	86400
Towing (entrada/salida de aviones al hangar)	27	41,87	1130,49
Limpieza exterior del aeronave	27	11,21	302,67
		TOTAL	2734333,16

CALCULO DEL VAN:

AÑO	2020	2021	2022	2023	2024	2025
Ingresos	3037500	3098250	3160215	3223419,3	3287887,686	3353645,44
Gastos	-2734333,16	-2775348,157	-2816978,38	-2859233,055	-2902121,551	-2945653,375
Resultado	303166,84	322901,8426	343236,6202	364186,2445	385766,1347	407992,0652
VAN	-3788560,396	-3496235,979	-3200580,816	-2902102,576	-2601279,935	-2298563,904
	2026	2027	2028	2029	2030	2031
	3420718,349	3489132,715	3558915,37	3630093,677	3702695,551	3776749,462
	3852284,451					
	-2989838,175	-3034685,748	-3080206,034	-3126409,125	-3173305,261	-3220904,84
	-3269218,413					
	430880,1733	454446,9677	478709,3358	503684,5527	529390,2893	555844,6214
	583066,0381					
	-1994379,112	-1689125,029	-1383177,145	-1076888,095	-770588,7311	-464589,1618
	-159179,7354					
	2033	2034	2035	2036	2037	2038
	3929330,14	4007916,743	4088075,078	4169836,579	4253233,311	4338297,977
	4425063,937					
	-3318256,689	-3368030,539	-3418550,998	-3469829,263	-3521876,701	-3574704,852
	-3628325,425					
	611073,4509	639886,2033	669524,0801	700007,3167	731356,6093	763593,125
	796738,5118					
	145368,0117	448800,4493	750880,9865	1051389,242	1350120,248	1646883,694
	1941503,195					
	2040	2041	2042	2043	2044	2045
	4513565,215	4603836,52	4695913,25	4789831,515	4885628,145	4983340,708
	5083007,522					
	-3682750,306	-3737991,561	-3794061,434	-3850972,356	-3908736,941	-3967367,995
	-4026878,515					
	830814,9092	865844,9589	901851,8159	938859,1593	976891,2043	1015972,713
	1056129,007					
	2233815,599	2523670,321	2810928,707	3095463,423	3377157,879	3655905,665
	3931610,028					
	2048	2049	2050			
	5184667,673	5288361,026	5394128,247			
	-4087281,693	-4148590,918	-4210819,782			
	1097385,98	1139770,108	1183308,465			
	4204183,357	4473546,703	4739629,312			

CÁLCULO DEL TIR:

Se ha calculado el TIR mediante la fórmula que tiene implementada Excel para este cálculo con los datos de resultados anteriormente calculados obteniendo como resultado un TIR de 11,44%.

PERIODO DE RETORNO:

De los datos obtenidos del VAN se observa que este es positivo a los 14 años, siendo este el periodo de retorno.

A4.4. CONCLUSIONES

Como resultado del estudio de viabilidad económica se desatan las siguientes observaciones:

- El VAN es superior a 0 considerando 30 años, el proyecto es por tanto viable comparándolo con una inversión sin riesgo.
- Con el TIR = 11,44% siendo este mayor al 10% requerido por las inversiones del sector de mantenimiento aeroportuario. De esta manera se compensa así el riesgo de la inversión derivada de la incertidumbre de la demanda de operaciones de mantenimiento.
- El periodo de retorno obtenido es de 14 años por lo que queda un amplio margen para generar veneficios.
- En los primeros años de entrada en funcionamiento del proyecto, los flujos de caja son positivos, de esta manera se evitan pérdidas insostenibles y se asegura la continuidad de su operatividad.

Por tanto, se concluye afirmando que el proyecto de un hangar para mantenimiento y reparaciones de aviones comerciales en el aeropuerto de Valencia es viable económicamente.

CAPÍTULO III

PLIEGO DE CONDICIONES

ÍNDICE PLIEGO DE CONDICIONES

1. OBJETIVO DEL PLIEGO.....	567
2. DISPOSICIONES GENERALES.....	567
2.1. Disposiciones de carácter general.....	567
2.2. Disposiciones relativas a trabajos, materiales y medios auxiliares.....	570
2.3. Disposiciones de las recepciones de edificios y obras anejas.....	575
3. DISPOSICIONES FACULTATIVAS.....	577
3.1. Definición, atribuciones y obligaciones de los agentes de la edificación....	577
3.2. Agentes que intervienen en la obra según ley 38/1999 (L.O.E.).....	579
3.3. Agentes en materia de seguridad y salud según R.D. 1627/199.....	579
3.4. Agentes en materia de gestión de residuos según R.D. 105/2008.	579
3.5. La dirección facultativa.....	579
3.6. Visitas facultativas.....	580
3.7. Obligaciones de los agentes intervinientes.....	580
3.8. Documentación final de obra: Libro del edificio.	589
4. DISPOSICIONES ECONÓMICAS.....	589
4.1. Definición.....	589
4.2. Contrato de obra.....	589
4.3. Criterio general.....	590
4.4. Fianzas.....	590
4.5. De los precios.....	591
4.6. Obras por administración.....	594
4.7. Valoración y abono de los trabajos.....	594
4.8. Indemnizaciones mutuas.....	596
4.9. Varios.....	596
4.10. Retenciones en concepto de garantía.....	597
4.11. Plazos de ejecución: Planning de obra.....	598
4.12. Liquidación económica de las obras.....	598
4.13. Liquidación final de la obra.....	598
5. PLIEGO DE CONDICIONES DE LAS PARTIDAS.....	599
5.1. Desbroce y limpieza del terreno.....	599
5.2. Excavación a cielo abierto.....	600
5.3. Hormigón de limpieza.....	601
5.4. Zapata de cimentación de hormigón armado.....	602
5.5. Viga entre zapatas.....	604
5.6. Solera de hormigón.....	605
5.7. Acero en correas metálicas.....	606
5.8. Acero en pilares.....	607
5.9. Acero en vigas.....	609
5.10. Placas de anclaje con pernos soldados y preparación de bordes.....	610
5.11. Panel sándwich aislante de acero.....	611

1. OBJETIVO DEL PLIEGO

La finalidad del siguiente pliego de condiciones, que será de aplicación en el presente proyecto, será fijar los criterios de la relación que se establece entre los agentes que intervienen en las obras definidas en el proyecto y servir de base para la realización del contrato de obra entre el promotor y el contratista.

Por ello se establecen el conjunto de características que deberán cumplir los materiales empleados en la construcción, así como los técnicos de su colocación en la obra y los que deberán mandar en la ejecución de cualquier tipo de instalaciones y de obras accesorias y dependientes para la ejecución del presente proyecto.

2. DISPOSICIONES GENERALES

2.1. Disposiciones de carácter general

2.1.1. Contrato y documentación del contrato de obra.

La contratación de la ejecución de las obras se recomienda ser realizada por unidades de obra, con arreglo a los documentos del proyecto y en cifras fijas. A tal fin, el Director de Obra ofrece la documentación necesaria para la realización del contrato de obra.

La documentación del contrato de obra integra los siguientes documentos, relacionados por orden de prelación atendiendo al valor de sus especificaciones, en el caso de posibles interpretaciones, omisiones o contradicciones:

- Las condiciones fijadas en el contrato de obra.
- El presente Pliego de Condiciones.
- La documentación gráfica y escrita del Proyecto: planos generales y de detalle, memorias, anejos, mediciones y presupuestos.

En el caso de interpretación, prevalecen las especificaciones literales sobre las gráficas y las cotas sobre las medidas a escala tomadas de los planos.

2.1.2. Proyecto arquitectónico.

El Proyecto Arquitectónico es el conjunto de documentos que definen y determinan las exigencias técnicas, funcionales y estéticas de las obras contempladas en el artículo 2 de la Ley de Ordenación de la Edificación. En él se justificará técnicamente las soluciones propuestas de acuerdo con las especificaciones requeridas por la normativa técnica aplicable.

Cuando el proyecto se desarrolle o complete mediante proyectos parciales u otros documentos técnicos sobre tecnologías específicas o instalaciones del edificio, se mantendrá entre todos ellos la necesaria coordinación, sin que se produzca una duplicidad en la documentación ni en los honorarios a percibir por los autores de los distintos trabajos indicados.

Los documentos complementarios al Proyecto serán:

- Las licencias y otras autorizaciones administrativas.
- El estudio de gestión de residuos de construcción y demolición.
- El estudio de seguridad y salud.
- El estudio de seguridad y salud elaborado por cada contratista.
- El libro de órdenes y asistencias.
- El programa de control de calidad de edificación y su libro de control.
- Todos los planos o documentos de obra que, a lo largo de la misma, vaya suministrando la dirección de obra como interpretación, complemento o precisión.

2.1.3. Formalización del contrato de obra.

La formalización del contrato en general se realizará mediante documento privado, que podrá elevarse a escritura pública a petición de cualquiera de las partes.

El cuerpo de estos documentos contendrá:

- La comunicación de la adjudicación.
- La copia del recibo de depósito de la fianza (en caso de que se haya exigido).
- La cláusula en la que se exprese, de forma categórica, que el Contratista se obliga al cumplimiento estricto del contrato de obra, conforme a lo previsto en este Pliego de Condiciones, junto con la Memoria y sus Anejos, el Estado de Mediciones, Presupuestos, Planos y todos los documentos que han de servir de base para la realización de las obras definidas en el presente Proyecto.

El Contratista, antes de la formalización del contrato de obra, dará también su conformidad con la firma al pie del Pliego de Condiciones, los Planos, Cuadro de Precios y Presupuesto General. Serán a cuenta del adjudicatario todos los gastos que ocasione la extensión del documento en que se consigne el Contratista.

2.1.4. Responsabilidad del contratista.

El contratista es responsable de la ejecución de las obras en las condiciones establecidas en el contrato y en los documentos que componen el Proyecto. Por tanto quedará obligado a la demolición y reconstrucción de todas las unidades de obra con deficiencias o mal ejecutadas, sin que pueda servir de excusa el hecho de que la Dirección Facultativa haya examinado y reconocido la construcción durante sus visitas de obra, ni que hayan sido abonadas en liquidaciones parciales.

2.1.5. Jurisdicción competente

En el caso de no llegar a un acuerdo cuando surjan diferencias entre las partes, ambas quedan obligadas a someter la discusión de todas las cuestiones derivadas de su contrato a las Autoridades y Tribunales Administrativos con arreglo a la legislación vigente, renunciando al derecho común y al fuero de su domicilio, siendo competente la jurisdicción donde estuviese ubicada la obra.

2.1.6. Accidentes de trabajo.

Queda obligado el cumplimiento el Real Decreto 1627/1997, de 24 de Octubre, por el que se establecen las disposiciones mínimas de seguridad y salud en las obras de construcción y demás legislación vigente que, tanto directa como indirectamente, inciden sobre la planificación de la seguridad y salud en el trabajo de la construcción, conservación y mantenimiento de edificios.

Siendo responsabilidad del Coordinador de Seguridad y Salud, en virtud del Real Decreto 1627/97, el control y el seguimiento, durante toda la ejecución de la obra, del Plan de Seguridad y Salud redactado por el Contratista.

2.1.7. Daños y perjuicios a terceros.

El Contratista será responsable de todos los accidentes que, por inexperiencia o descuido, sobrevinieran tanto en la edificación donde se efectúen las obras como en las colindantes o contiguas. Será por tanto de su cuenta el abono de las indemnizaciones a quien corresponda y cuando a ello hubiere lugar, y de todos los daños y perjuicios que puedan ocasionarse o causarse en las operaciones de la ejecución de las obras.

Asimismo, será responsable de los daños y perjuicios directos o indirectos que se puedan ocasionar frente a terceros como consecuencia de la obra, tanto en ella como en sus alrededores, incluso los que se produzcan por omisión o negligencia del personal a su cargo, así como los que se deriven de los subcontratistas e industriales que intervengan en la obra.

Es de su responsabilidad mantener vigente durante la ejecución de los trabajos una póliza de seguros frente a terceros, en la modalidad de "Todo riesgo al derribo y la construcción", suscrita por una compañía aseguradora con la suficiente solvencia para la cobertura de los trabajos contratados. Dicha póliza será aportada y ratificada por el Promotor o Propiedad, no pudiendo ser cancelada mientras no se firme el Acta de Recepción Provisional de la obra.

2.1.8. Causas de rescisión del contrato de obra

Se considerarán causas suficientes de rescisión de contrato:

- La muerte o incapacitación del Contratista.
- La quiebra del Contratista.
- La modificación del proyecto en forma tal que represente alteraciones fundamentales del mismo a juicio del Director de Obra y, en cualquier caso, siempre que la variación del Presupuesto de Ejecución Material, como consecuencia de estas modificaciones, represente una desviación mayor del 20%.
- Las modificaciones de unidades de obra, siempre que representen variaciones en más o en menos del 40% del proyecto original, o más de un 50% de unidades de obra del proyecto reformado.
- La suspensión de obra comenzada, siempre que el plazo de suspensión haya excedido de un año y, en todo caso, siempre que por causas ajenas al

Contratista no se dé comienzo a la obra adjudicada dentro del plazo de tres meses a partir de la adjudicación. En este caso, la devolución de la fianza será automática.

- Que el Contratista no comience los trabajos dentro del plazo señalado en el contrato.
- El incumplimiento de las condiciones del Contrato cuando implique descuido o mala fe, con perjuicio de los intereses de las obras.
- El vencimiento del plazo de ejecución de la obra.
- El abandono de la obra sin causas justificadas.
- La mala fe en la ejecución de la obra.

2.1.9. Omisiones (buena fe).

Las relaciones entre el Promotor y el Contratista, reguladas por el presente Pliego de Condiciones y la documentación complementaria, presentan la prestación de un servicio al Promotor por parte del Contratista mediante la ejecución de una obra, basándose en la buena fe mutua de ambas partes, que pretenden beneficiarse de esta colaboración sin ningún tipo de perjuicio. Por este motivo, las relaciones entre ambas partes y las omisiones que puedan existir en este Pliego y la documentación complementaria del proyecto y de la obra, se entenderán siempre suplidas por la buena de las partes, que las subsanarán debidamente con el fin de conseguir una adecuada calidad final de la obra.

2.2. Disposiciones relativas a trabajos, materiales y medios auxiliares.

2.2.1. Accesos y vallados

El Contratista dispondrá, por su cuenta, los accesos a la obra, el cerramiento o el vallado de ésta y su mantenimiento durante la ejecución de la obra, pudiendo exigir el Director de Ejecución de la Obra su modificación o mejora.

2.2.2. Replanteo

El Contratista iniciará "in situ" el replanteo de las obras, señalando las referencias principales que mantendrá como base de posteriores replanteos parciales. Dichos trabajos se considerarán a cargo del Contratista e incluidos en su oferta económica.

Asimismo, someterá el replanteo a la aprobación del Director de Ejecución de la Obra y, una vez éste haya dado su conformidad, preparará el Acta de Inicio y Replanteo de la Obra acompañada de un plano de replanteo definitivo, que deberá ser aprobado por el Director de Obra. Será responsabilidad del Contratista la deficiencia o la omisión de este trámite.

2.2.3. Inicio de la obra y ritmo de ejecución de los trabajos

El Contratista dará comienzo a las obras en el plazo especificado en el respectivo contrato, desarrollándose de manera adecuada para que dentro de los períodos parciales señalados se realicen los trabajos, de modo que la ejecución total se lleve a

cabo dentro del plazo establecido en el contrato.

Será obligación del Contratista comunicar a la Dirección Facultativa el inicio de las obras, de forma fehaciente y preferiblemente por escrito, al menos con tres días de antelación.

El Director de Obra redactará el acta de comienzo de la obra y la suscribirán en la misma obra junto con él, el día de comienzo de los trabajos, el Director de la Ejecución de la Obra, el Promotor y el Contratista.

Para la formalización del acta de comienzo de la obra, el Director de la Obra comprobará que en la obra existe copia de los siguientes documentos:

- Proyecto de Ejecución, Anejos y modificaciones.
- Plan de Seguridad y Salud en el Trabajo y su acta de aprobación por parte del Coordinador de Seguridad y Salud durante la ejecución de los trabajos.
- Licencia de Obra otorgada por el Ayuntamiento.
- Comunicación de apertura de centro de trabajo efectuada por el Contratista.
- Otras autorizaciones, permisos y licencias que sean preceptivas por otras administraciones.
- Libro de Órdenes y Asistencias.
- Libro de Incidencias. La fecha del acta de comienzo de la obra marca el inicio de los plazos parciales y total de la ejecución de la obra.

2.2.4. Orden de los trabajos

La determinación del orden de los trabajos es, generalmente, facultad del Contratista, salvo en aquellos casos en que, por circunstancias de naturaleza técnica, se estime conveniente su variación por parte de la Dirección Facultativa.

2.2.5. Facilidades para otros contratistas

De acuerdo con lo que requiera la Dirección Facultativa, el Contratista dará todas las facilidades razonables para la realización de los trabajos que le sean encomendados a los Subcontratistas u otros Contratistas que intervengan en la ejecución de la obra. Todo ello sin perjuicio de las compensaciones económicas a que haya lugar por la utilización de los medios auxiliares o los suministros de energía u otros conceptos.

En caso de litigio, todos ellos se ajustarán a lo que resuelva la Dirección Facultativa.

2.2.6. Ampliación del proyecto por causas imprevistas o de fuerza mayor

Cuando se precise ampliar el Proyecto, por motivo imprevisto o por cualquier incidencia, no se interrumpirán los trabajos, continuándose según las instrucciones de la Dirección Facultativa en tanto se formula o se tramita el Proyecto Reformado.

El Contratista está obligado a realizar, con su personal y sus medios materiales, cuanto la Dirección de Ejecución de la Obra disponga para apeos, apuntalamientos,

derribos, recalces o cualquier obra de carácter urgente, anticipando de momento este servicio, cuyo importe le será consignado en un presupuesto adicional o abonado directamente, de acuerdo con lo que se convenga.

2.2.7. Interpretaciones, aclaraciones y modificaciones del proyecto

El Contratista podrá requerir del Director de Obra o del Director de Ejecución de la Obra, según sus respectivos cometidos y atribuciones, las instrucciones o aclaraciones que se precisen para la correcta interpretación y ejecución de la obra proyectada.

Cuando se trate de interpretar, aclarar o modificar preceptos de los Pliegos de Condiciones o indicaciones de los planos, croquis, órdenes e instrucciones correspondientes, se comunicarán necesariamente por escrito al Contratista, estando éste a su vez obligado a devolver los originales o las copias, suscribiendo con su firma el enterado, que figurará al pie de todas las órdenes, avisos e instrucciones que reciba tanto del Director de Ejecución de la Obra, como del Director de Obra.

Cualquier reclamación que crea oportuno hacer el Contratista en contra de las disposiciones tomadas por la Dirección Facultativa, habrá de dirigirla, dentro del plazo de tres días, a quien la hubiera dictado, el cual le dará el correspondiente recibo, si éste lo solicitase.

2.2.8. Prórroga por causa de fuerza mayor

Si, por causa de fuerza mayor o independientemente de la voluntad del Contratista, éste no pudiese comenzar las obras, tuviese que suspenderlas o no le fuera posible terminirlas en los plazos prefijados, se le otorgará una prórroga proporcionada para su cumplimiento, previo informe favorable del Director de Obra. Para ello, el Contratista expondrá, en escrito dirigido al Director de Obra, la causa que impide la ejecución o la marcha de los trabajos y el retraso que por ello se originaría en los plazos acordados, razonando debidamente la prórroga que por dicha causa solicita.

2.2.9. Responsabilidad de la dirección facultativa en el retraso de la obra

El Contratista no podrá excusarse de no haber cumplido los plazos de obras estipulados, alegando como causa la carencia de planos u órdenes de la Dirección Facultativa, a excepción del caso en que habiéndolo solicitado por escrito, no se le hubiese proporcionado.

2.2.10.- Trabajos defectuosos

El Contratista debe emplear los materiales que cumplan las condiciones exigidas en el proyecto, y realizará todos y cada uno de los trabajos contratados de acuerdo con lo estipulado.

Por ello, y hasta que tenga lugar la recepción definitiva del edificio, el Contratista es responsable de la ejecución de los trabajos que ha contratado y de las faltas y defectos que puedan existir por su mala ejecución, no siendo un eximente el que la Dirección Facultativa lo haya examinado o reconocido con anterioridad, ni tampoco el hecho de

que estos trabajos hayan sido valorados en las Certificaciones Parciales de obra, que siempre se entenderán extendidas y abonadas a buena cuenta.

Como consecuencia de lo anteriormente expresado, cuando el Director de Ejecución de la Obra advierta vicios o defectos en los trabajos ejecutados, o que los materiales empleados o los aparatos y equipos colocados no reúnen las condiciones preceptuadas, ya sea en el curso de la ejecución de los trabajos o una vez finalizados con anterioridad a la recepción definitiva de la obra, podrá disponer que las partes defectuosas sean sustituidas o demolidas y reconstruidas de acuerdo con lo contratado a expensas del Contratista. Si ésta no estimase justa la decisión y se negase a la sustitución, demolición y reconstrucción ordenadas, se planteará la cuestión ante el Director de Obra, quien mediará para resolverla.

2.2.11. Vicios ocultos

El Contratista es el único responsable de los vicios ocultos y de los defectos de la construcción, durante la ejecución de las obras y el periodo de garantía, hasta los plazos prescritos después de la terminación de las obras en la vigente L.O.E., aparte de otras responsabilidades legales o de cualquier índole que puedan derivarse.

Si el Director de Ejecución de la Obra tuviese fundadas razones para creer en la existencia de vicios ocultos de construcción en las obras ejecutadas, ordenará, cuando estime oportuno, realizar antes de la recepción definitiva los ensayos, destructivos o no, que considere necesarios para reconocer o diagnosticar los trabajos que suponga defectuosos, dando cuenta de la circunstancia al Director de Obra.

El Contratista demolerá, y reconstruirá posteriormente a su cargo, todas las unidades de obra mal ejecutadas, sus consecuencias, daños y perjuicios, no pudiendo eludir su responsabilidad por el hecho de que el Director de Obra y/o el Director del Ejecución de Obra lo hayan examinado o reconocido con anterioridad, o que haya sido conformada o abonada una parte o la totalidad de las obras mal ejecutadas.

2.2.12. Procedencia de materiales, aparatos y equipos

El Contratista tiene libertad de proveerse de los materiales, aparatos y equipos de todas clases donde considere oportuno y conveniente para sus intereses, excepto en aquellos casos en los se preceptúe una procedencia y características específicas en el proyecto.

Obligatoriamente, y antes de proceder a su empleo, acopio y puesta en obra, el Contratista deberá presentar al Director de Ejecución de la Obra una lista completa de los materiales, aparatos y equipos que vaya a utilizar, en la que se especifiquen todas las indicaciones sobre sus características técnicas, marcas, calidades, procedencia e idoneidad de cada uno de ellos.

2.2.13. Presentación de muestras

A petición del Director de Obra, el Contratista presentará las muestras de los materiales, aparatos y equipos, siempre con la antelación prevista en el calendario de

obra.

2.2.14. Materiales, aparatos y equipos defectuosos

Cuando los materiales, aparatos, equipos y elementos de instalaciones no fuesen de la calidad y características técnicas prescritas en el proyecto, no tuvieran la preparación en él exigida o cuando, a falta de prescripciones formales, se reconociera o demostrara que no son los adecuados para su fin, el Director de Obra, a instancias del Director de Ejecución de la Obra, dará la orden al Contratista de sustituirlos por otros que satisfagan las condiciones o sean los adecuados al fin al que se destinen.

Si, a los 15 días de recibir el Contratista orden de que retire los materiales que no estén en condiciones, ésta no ha sido cumplida, podrá hacerlo el Promotor o Propiedad a cuenta de Contratista.

En el caso de que los materiales, aparatos, equipos o elementos de instalaciones fueran defectuosos, pero aceptables a juicio del Director de Obra, se recibirán con la rebaja del precio que aquél determine, a no ser que el Contratista prefiera sustituirlos por otros en condiciones.

2.2.15. Gastos ocasionados por pruebas y ensayos

Todos los gastos originados por las pruebas y ensayos de materiales o elementos que intervengan en la ejecución de las obras correrán a cargo y cuenta del Contratista.

Todo ensayo que no resulte satisfactorio, no se realice por omisión del Contratista, o que no ofrezca las suficientes garantías, podrá comenzarse nuevamente o realizarse nuevos ensayos o pruebas especificadas en el proyecto, a cargo y cuenta del Contratista y con la penalización correspondiente, así como todas las obras complementarias a que pudieran dar lugar cualquiera de los supuestos anteriormente citados y que el Director de Obra considere necesarios.

2.2.16. Limpieza de las obras

Es obligación del Contratista mantener limpias las obras y sus alrededores tanto de escombros como de materiales sobrantes, retirar las instalaciones provisionales que no sean necesarias, así como ejecutar todos los trabajos y adoptar las medidas que sean apropiadas para que la obra presente buen aspecto.

2.2.17. Obras sin prescripciones explícitas

En la ejecución de trabajos que pertenecen a la construcción de las obras, y para los cuales no existan prescripciones consignadas explícitamente en este Pliego ni en la restante documentación del proyecto, el Contratista se atenderá, en primer término, a las instrucciones que dicte la Dirección Facultativa de las obras y, en segundo lugar, a las normas y prácticas de la buena construcción.

2.3. Disposiciones de las recepciones de edificios y obras anejas.

2.3.1. Consideraciones de carácter general

La recepción de la obra es el acto por el cual el Contratista, una vez concluida la obra, hace entrega de la misma al Promotor y es aceptada por éste. Podrá realizarse con o sin reservas y deberá abarcar la totalidad de la obra o fases completas y terminadas de la misma, cuando así se acuerde por las partes.

La recepción deberá consignarse en un acta firmada, al menos, por el Promotor y el Contratista, haciendo constar:

- Las partes que intervienen.
- La fecha del certificado final de la totalidad de la obra o de la fase completa y terminada de la misma.
- El coste final de la ejecución material de la obra.
- La declaración de la recepción de la obra con o sin reservas, especificando, en su caso, éstas de manera objetiva, y el plazo en que deberán quedar subsanados los defectos observados. Una vez subsanados los mismos, se hará constar en un acta aparte, suscrita por los firmantes de la recepción.
- Las garantías que, en su caso, se exijan al Contratista para asegurar sus responsabilidades.

Asimismo, se adjuntará el certificado final de obra suscrito por el Director de Obra y el Director de la Ejecución de la Obra. El Promotor podrá rechazar la recepción de la obra por considerar que la misma no está terminada o que no se adecúa a las condiciones contractuales. En todo caso, el rechazo deberá ser motivado por escrito en el acta, en la que se fijará el nuevo plazo para efectuar la recepción.

Salvo pacto expreso en contrario, la recepción de la obra tendrá lugar dentro de los treinta días siguientes a la fecha de su terminación, acreditada en el certificado final de obra, plazo que se contará a partir de la notificación efectuada por escrito al promotor. La recepción se entenderá tácitamente producida si transcurridos treinta días desde la fecha indicada el promotor no hubiera puesto de manifiesto reservas o rechazo motivado por escrito.

El cómputo de los plazos de responsabilidad y garantía será el establecidos en la L.O.E., y se iniciará a partir de la fecha en que se suscriba el acta de recepción, o cuando se entienda ésta tácitamente producida según lo previsto en el apartado anterior.

2.3.2. Recepción provisional

Treinta días antes de dar por finalizadas las obras, comunicará el Director de Ejecución de la Obra al Promotor o Propiedad la proximidad de su terminación a fin de convenir el acto de la Recepción Provisional.

Ésta se realizará con la intervención de la Propiedad, del Contratista, del Director de Obra y del Director de Ejecución de la Obra. Se convocará también a los restantes

técnicos que, en su caso, hubiesen intervenido en la dirección con función propia en aspectos parciales o unidades especializadas.

Practicado un detenido reconocimiento de las obras, se extenderá un acta con tantos ejemplares como intervinientes y firmados por todos ellos. Desde esta fecha empezará a correr el plazo de garantía, si las obras se hallasen en estado de ser admitidas. Seguidamente, los Técnicos de la Dirección extenderán el correspondiente Certificado de Final de Obra.

Cuando las obras no se hallen en estado de ser recibidas, se hará constar expresamente en el Acta y se darán al Contratista las oportunas instrucciones para subsanar los defectos observados, fijando un plazo para subsanarlos, expirado el cual se efectuará un nuevo reconocimiento a fin de proceder a la recepción provisional de la obra.

Si el Contratista no hubiese cumplido, podrá declararse resuelto el contrato con la pérdida de la fianza.

2.3.3. Documentación final de la obra

El Director de Ejecución de la Obra, asistido por el Contratista y los técnicos que hubieren intervenido en la obra, redactará la documentación final de las obras, que se facilitará al Promotor, con las especificaciones y contenidos dispuestos por la legislación vigente, en el caso de viviendas, con lo que se establece en los párrafos 2, 3, 4 y 5, del apartado 2 del artículo 4o del Real Decreto 515/1989, de 21 de Abril. Esta documentación incluye el Manual de Uso y Mantenimiento del Edificio.

2.3.4. Medición definitiva y liquidación provisional de la obra

Recibidas provisionalmente las obras, se procederá inmediatamente por el Director de Ejecución de la Obra a su medición definitiva, con precisa asistencia del Contratista o de su representante. Se extenderá la oportuna certificación por triplicado que, aprobada por el Director de Obra con su firma, servirá para el abono por el Promotor del saldo resultante menos la cantidad retenida en concepto de fianza.

2.3.5. Plazo de garantía

El plazo de garantía deberá estipularse en el contrato privado y, en cualquier caso, nunca deberá ser inferior a seis meses

2.3.6. Conservación de las obras recibidas provisionalmente

Los gastos de conservación durante el plazo de garantía comprendido entre las recepciones provisional y definitiva, correrán a cargo y cuenta del Contratista.

Si el edificio fuese ocupado o utilizado antes de la recepción definitiva, la guardería, limpieza y reparaciones ocasionadas por el uso correrán a cargo de la Propiedad y las reparaciones por vicios de obra o por defectos en las instalaciones, serán a cargo del Contratista.

2.3.7. Recepción definitiva

La recepción definitiva se realizará después de transcurrido el plazo de garantía, en igual modo y con las mismas formalidades que la provisional. A partir de esa fecha cesará la obligación del Contratista de reparar a su cargo aquellos desperfectos inherentes a la normal conservación de los edificios, y quedarán sólo subsistentes todas las responsabilidades que pudieran derivar de los vicios de construcción.

2.3.8. Prórroga del plazo de garantía

Si, al proceder al reconocimiento para la recepción definitiva de la obra, no se encontrase ésta en las condiciones debidas, se aplazará dicha recepción definitiva y el Director de Obra indicará al Contratista los plazos y formas en que deberán realizarse las obras necesarias. De no efectuarse dentro de aquellos, podrá resolverse el contrato con la pérdida de la fianza.

2.3.9. Recepciones de trabajos cuya contrata haya sido rescindida

En caso de resolución del contrato, el Contratista vendrá obligado a retirar, en el plazo fijado, la maquinaria, instalaciones y medios auxiliares, a resolver los subcontratos que tuviese concertados y a dejar la obra en condiciones de ser reanudada por otra empresa sin problema alguno.

Las obras y trabajos terminados por completo se recibirán provisionalmente con los trámites establecidos anteriormente. Transcurrido el plazo de garantía, se recibirán definitivamente según lo dispuesto anteriormente.

Para las obras y trabajos no determinados, pero aceptables a juicio del Director de Obra, se efectuará una sola y definitiva recepción.

3. DISPOSICIONES FACULTATIVAS

3.1. Definición, atribuciones y obligaciones de los agentes de la edificación.

Las atribuciones de los distintos agentes intervinientes en la edificación son las reguladas por la Ley 38/99 de Ordenación de la Edificación (L.O.E.).

Se definen agentes de la edificación todas las personas, físicas o jurídicas, que intervienen en el proceso de la edificación. Sus obligaciones quedan determinadas por lo dispuesto en la L.O.E. y demás disposiciones que sean de aplicación y por el contrato que origina su intervención.

Las definiciones y funciones de los agentes que intervienen en la edificación quedan recogidas en el capítulo III "Agentes de la edificación", considerándose:

3.1.1. El Promotor

Es la persona física o jurídica, pública o privada, que individual o colectivamente decide, impulsa, programa y financia con recursos propios o ajenos, las obras de

edificación para sí o para su posterior enajenación, entrega o cesión a terceros bajo cualquier título.

Asume la iniciativa de todo el proceso de la edificación, impulsando la gestión necesaria para llevar a cabo la obra inicialmente proyectada, y se hace cargo de todos los costes necesarios.

Según la legislación vigente, a la figura del promotor se equiparan también las de gestor de sociedades cooperativas, comunidades de propietarios, u otras análogas que asumen la gestión económica de la edificación.

Cuando las Administraciones públicas y los organismos sujetos a la legislación de contratos de las Administraciones públicas actúen como promotores, se regirán por la legislación de contratos de las Administraciones públicas y, en lo no contemplado en la misma, por las disposiciones de la L.O.E.

3.1.2. El Projectista

Es el agente que, por encargo del promotor y con sujeción a la normativa técnica y urbanística correspondiente, redacta el proyecto.

Podrán redactar proyectos parciales del proyecto, o partes que lo complementen, otros técnicos, de forma coordinada con el autor de éste.

Cuando el proyecto se desarrolle o complete mediante proyectos parciales u otros documentos técnicos según lo previsto en el apartado 2 del artículo 4 de la L.O.E., cada projectista asumirá la titularidad de su proyecto.

3.1.3. El Constructor o Contratista

Es el agente que asume, contractualmente ante el Promotor, el compromiso de ejecutar con medios humanos y materiales, propios o ajenos, las obras o parte de las mismas con sujeción al Proyecto y al Contrato de obra.

Cabe efectuar especial mención de que la ley señala como responsable explícito de los vicios o defectos constructivos al contratista general de la obra, sin perjuicio del derecho de repetición de éste hacia los subcontratistas.

3.1.4. El Director de Obra

Es el agente que, formando parte de la dirección facultativa, dirige el desarrollo de la obra en los aspectos técnicos, estéticos, urbanísticos y medioambientales, de conformidad con el proyecto que la define, la licencia de edificación y demás autorizaciones preceptivas, y las condiciones del contrato, con el objeto de asegurar su adecuación al fin propuesto.

Podrán dirigir las obras de los proyectos parciales otros técnicos, bajo la coordinación del Director de Obra.

3.1.5. El Director de la Ejecución de la Obra

Es el agente que, formando parte de la Dirección Facultativa, asume la función técnica de dirigir la Ejecución Material de la Obra y de controlar cualitativa y cuantitativamente la construcción y calidad de lo edificado. Para ello es requisito indispensable el estudio y análisis previo del proyecto de ejecución una vez redactado por el Arquitecto, procediendo a solicitarle, con antelación al inicio de las obras, todas aquellas aclaraciones, subsanaciones o documentos complementarios que, dentro de su competencia y atribuciones legales, estimare necesarios para poder dirigir de manera solvente la ejecución de las mismas.

3.1.6. Las entidades y los laboratorios de control de calidad de la edificación

Son entidades de control de calidad de la edificación aquellas capacitadas para prestar asistencia técnica en la verificación de la calidad del proyecto, de los materiales y de la ejecución de la obra y sus instalaciones de acuerdo con el proyecto y la normativa aplicable.

Son laboratorios de ensayos para el control de calidad de la edificación los capacitados para prestar asistencia técnica, mediante la realización de ensayos o pruebas de servicio de los materiales, sistemas o instalaciones de una obra de edificación.

3.1.7. Los suministradores de productos

Se consideran suministradores de productos los fabricantes, almacenistas, importadores o vendedores de productos de construcción.

Se entiende por producto de construcción aquel que se fabrica para su incorporación permanente en una obra, incluyendo materiales, elementos semielaborados, componentes y obras o parte de las mismas, tanto terminadas como en proceso de ejecución.

3.2. Agentes que intervienen en la obra según ley 38/1999 (L.O.E.)

La relación de agentes intervinientes se encuentra en la memoria descriptiva del proyecto.

3.3. Agentes en materia de seguridad y salud según R.D. 1627/1997

La relación de agentes intervinientes en materia de seguridad y salud se encuentra en la memoria descriptiva del proyecto.

3.4. Agentes en materia de gestión de residuos según R.D. 105/2008

La relación de agentes intervinientes en materia de gestión de residuos, se encuentra en el Estudio de Gestión de Residuos de Construcción y Demolición.

3.5. La dirección facultativa

En correspondencia con la L.O.E., la Dirección Facultativa está compuesta por la Dirección de Obra y la Dirección de Ejecución de la Obra. A la Dirección Facultativa se

integrará el Coordinador en materia de Seguridad y Salud en fase de ejecución de la obra, en el caso de que se haya adjudicado dicha misión a facultativo distinto de los anteriores.

Representa técnicamente los intereses del promotor durante la ejecución de la obra, dirigiendo el proceso de construcción en función de las atribuciones profesionales de cada técnico participante.

3.6. Visitas facultativas.

Son las realizadas a la obra de manera conjunta o individual por cualquiera de los miembros que componen la Dirección Facultativa. La intensidad y número de visitas dependerá de los cometidos que a cada agente le son propios, pudiendo variar en función de los requerimientos específicos y de la mayor o menor exigencia presencial requerible al técnico al efecto en cada caso y según cada una de las fases de la obra.

Deberán adaptarse al proceso lógico de construcción, pudiendo los agentes ser o no coincidentes en la obra en función de la fase concreta que se esté desarrollando en cada momento y del cometido exigible a cada cual.

3.7. Obligaciones de los agentes intervinientes.

Las obligaciones de los agentes que intervienen en la edificación son las contenidas en los artículos 9, 10, 11, 12, 13, 14, 15 y 16, del capítulo III de la L.O.E. y demás legislación aplicable.

3.7.1. El Promotor

Ostentar sobre el solar la titularidad de un derecho que le faculte para construir en él.

Facilitar la documentación e información previa necesaria para la redacción del proyecto, así como autorizar al Director de Obra, al Director de la Ejecución de la Obra y al Contratista posteriores modificaciones del mismo que fueran imprescindibles para llevar a buen fin lo proyectado.

Elegir y contratar a los distintos agentes, con la titulación y capacitación profesional necesaria, que garanticen el cumplimiento de las condiciones legalmente exigibles para realizar en su globalidad y llevar a buen fin el objeto de lo promovido, en los plazos estipulados y en las condiciones de calidad exigibles mediante el cumplimiento de los requisitos básicos estipulados para los edificios.

Gestionar y hacerse cargo de las preceptivas licencias y demás autorizaciones administrativas procedentes que, de conformidad con la normativa aplicable, conlleva la construcción de edificios, la urbanización que procediera en su entorno inmediato, la realización de obras que en ellos se ejecuten y su ocupación.

Garantizar los daños materiales que el edificio pueda sufrir, para la adecuada protección de los intereses de los usuarios finales, en las condiciones legalmente

establecidas, asumiendo la responsabilidad civil de forma personal e individualizada, tanto por actos propios como por actos de otros agentes por los que, con arreglo a la legislación vigente, se deba responder.

La suscripción obligatoria de un seguro, de acuerdo a las normas concretas fijadas al efecto, que cubra los daños materiales que ocasionen en el edificio el incumplimiento de las condiciones de habitabilidad en tres años o que afecten a la seguridad estructural en el plazo de diez años, con especial mención a las viviendas individuales en régimen de autopromoción, que se regirán por lo especialmente legislado al efecto.

Contratar a los técnicos redactores del preceptivo Estudio de Seguridad y Salud o Estudio Básico, en su caso, al igual que a los técnicos coordinadores en la materia en la fase que corresponda, todo ello según lo establecido en el R.D. 1627/97, de 24 de octubre, por el que se establecen las disposiciones mínimas en materia de seguridad y salud en las obras de construcción.

Suscribir el acta de recepción final de las obras, una vez concluidas éstas, haciendo constar la aceptación de las obras, que podrá efectuarse con o sin reservas y que deberá abarcar la totalidad de las obras o fases completas. En el caso de hacer mención expresa a reservas para la recepción, deberán mencionarse de manera detallada las deficiencias y se deberá hacer constar el plazo en que deberán quedar subsanados los defectos observados.

Entregar al adquirente y usuario inicial, en su caso, el denominado Libro del Edificio que contiene el manual de uso y mantenimiento del mismo y demás documentación de obra ejecutada, o cualquier otro documento exigible por las Administraciones competentes.

3.7.2. El Projectista

Redactar el proyecto por encargo del Promotor, con sujeción a la normativa urbanística y técnica en vigor y conteniendo la documentación necesaria para tramitar tanto la licencia de obras y demás permisos administrativos -proyecto básico- como para ser interpretada y poder ejecutar totalmente la obra, entregando al Promotor las copias autorizadas correspondientes, debidamente visadas por su colegio profesional.

Definir el concepto global del proyecto de ejecución con el nivel de detalle gráfico y escrito suficiente y calcular los elementos fundamentales del edificio, en especial la cimentación y la estructura. Concretar en el Proyecto el emplazamiento de cuartos de máquinas, de contadores, hornacinas, espacios asignados para subida de conductos, reservas de huecos de ventilación, alojamiento de sistemas de telecomunicación y, en general, de aquellos elementos necesarios en el edificio para facilitar las determinaciones concretas y especificaciones detalladas que son cometido de los proyectos parciales, debiendo éstos adaptarse al Proyecto de Ejecución, no pudiendo contravenirlo en modo alguno. Deberá entregarse necesariamente un ejemplar del proyecto complementario al Arquitecto antes del inicio de las obras o instalaciones correspondientes.

Acordar con el Promotor la contratación de colaboraciones parciales de otros

técnicos profesionales.

Facilitar la colaboración necesaria para que se produzca la adecuada coordinación con los proyectos parciales exigibles por la legislación o la normativa vigente y que sea necesario incluir para el desarrollo adecuado del proceso edificatorio, que deberán ser redactados por técnicos competentes, bajo su responsabilidad y suscritos por persona física. Los proyectos parciales serán aquellos redactados por otros técnicos cuya competencia puede ser distinta e incompatible con las competencias del Arquitecto y, por tanto, de exclusiva responsabilidad de éstos.

Elaborar aquellos proyectos parciales o estudios complementarios exigidos por la legislación vigente en los que es legalmente competente para su redacción, excepto declinación expresa del Arquitecto y previo acuerdo con el Promotor, pudiendo exigir la compensación económica en concepto de cesión de derechos de autor y de la propiedad intelectual si se tuviera que entregar a otros técnicos, igualmente competentes para realizar el trabajo, documentos o planos del proyecto por él redactado, en soporte papel o informático.

Ostentar la propiedad intelectual de su trabajo, tanto de la documentación escrita como de los cálculos de cualquier tipo, así como de los planos contenidos en la totalidad del proyecto y cualquiera de sus documentos complementarios.

3.7.3. El Constructor o Contratista

Tener la capacitación profesional o titulación que habilita para el cumplimiento de las condiciones legalmente exigibles para actuar como constructor.

Organizar los trabajos de construcción para cumplir con los plazos previstos, de acuerdo al correspondiente Plan de Obra, efectuando las instalaciones provisionales y disponiendo de los medios auxiliares necesarios.

Elaborar, y exigir de cada subcontratista, un plan de seguridad y salud en el trabajo en el que se analicen, estudien, desarrollen y complementen las previsiones contenidas en el estudio o estudio básico, en función de su propio sistema de ejecución de la obra. En dichos planes se incluirán, en su caso, las propuestas de medidas alternativas de prevención propuestas, con la correspondiente justificación técnica, que no podrán implicar disminución de los niveles de protección previstos en el estudio o estudio básico.

Comunicar a la autoridad laboral competente la apertura del centro de trabajo en la que incluirá el Plan de Seguridad y Salud al que se refiere el artículo 7 del RD 1627/97 de 24 de octubre.

Adoptar todas las medidas preventivas que cumplan los preceptos en materia de Prevención de Riesgos laborales y Seguridad y Salud que establece la legislación vigente, redactando el correspondiente Plan de Seguridad y ajustándose al cumplimiento estricto y permanente de lo establecido en el Estudio de Seguridad y Salud, disponiendo de todos los medios necesarios y dotando al personal del equipamiento de seguridad exigibles, así como cumplir las órdenes efectuadas por el

Coordinador en materia de Seguridad y Salud en la fase de Ejecución de la obra.

Supervisar de manera continuada el cumplimiento de las normas de seguridad, tutelando las actividades de los trabajadores a su cargo y, en su caso, relevando de su puesto a todos aquellos que pudieran menoscabar las condiciones básicas de seguridad personales o generales, por no estar en las condiciones adecuadas.

Examinar la documentación aportada por los técnicos redactores correspondientes, tanto del Proyecto de Ejecución como de los proyectos complementarios, así como del Estudio de Seguridad y Salud, verificando que le resulta suficiente para la comprensión de la totalidad de la obra contratada o, en caso contrario, solicitando las aclaraciones pertinentes.

Facilitar la labor de la Dirección Facultativa, suscribiendo el Acta de Replanteo, ejecutando las obras con sujeción al Proyecto de Ejecución que deberá haber examinado previamente, a la legislación aplicable, a las Instrucciones del Arquitecto Director de Obra y del Director de la Ejecución Material de la Obra, a fin de alcanzar la calidad exigida en el proyecto.

Efectuar las obras siguiendo los criterios al uso que son propios de la correcta construcción, que tiene la obligación de conocer y poner en práctica, así como de las leyes generales de los materiales o *lex artis*, aún cuando éstos criterios no estuvieran específicamente reseñados en su totalidad en la documentación de proyecto. A tal efecto, ostenta la jefatura de todo el personal que intervenga en la obra y coordina las tareas de los subcontratistas.

Disponer de los medios materiales y humanos que la naturaleza y entidad de la obra impongan, disponiendo del número adecuado de oficiales, suboficiales y peones que la obra requiera en cada momento, bien por personal propio o mediante subcontratistas al efecto, procediendo a solapar aquellos oficios en la obra que sean compatibles entre sí y que permitan acometer distintos trabajos a la vez sin provocar interferencias, contribuyendo con ello a la agilización y finalización de la obra dentro de los plazos previstos.

Ordenar y disponer en cada momento de personal suficiente a su cargo para que efectúe las actuaciones pertinentes para ejecutar las obras con solvencia, diligentemente y sin interrupción, programándolas de manera coordinada con el Arquitecto Técnico o Aparejador, Director de Ejecución Material de la Obra.

Supervisar personalmente y de manera continuada y completa la marcha de las obras, que deberán transcurrir sin dilación y con adecuado orden y concierto, así como responder directamente de los trabajos efectuados por sus trabajadores subordinados, exigiéndoles el continuo autocontrol de los trabajos que efectúen, y ordenando la modificación de todas aquellas tareas que se presenten mal efectuadas.

Asegurar la idoneidad de todos y cada uno de los materiales utilizados y elementos constructivos, comprobando los preparados en obra y rechazando, por iniciativa propia o por prescripción facultativa del Director de la Ejecución de la obra, los suministros de material o prefabricados que no cuenten con las garantías, documentación mínima

exigible o documentos de idoneidad requeridos por las normas de aplicación, debiendo recabar de la Dirección Facultativa la información que necesite para cumplir adecuadamente su cometido.

Dotar de material, maquinaria y utillajes adecuados a los operarios que intervengan en la obra, para efectuar adecuadamente las instalaciones necesarias y no menoscabar con la puesta en obra las características y naturaleza de los elementos constructivos que componen el edificio una vez finalizado.

Poner a disposición del Arquitecto Técnico o Aparejador los medios auxiliares y personal necesario para efectuar las pruebas pertinentes para el Control de Calidad, recabando de dicho técnico el plan a seguir en cuanto a las tomas de muestras, traslados, ensayos y demás actuaciones necesarias.

Cuidar de que el personal de la obra guarde el debido respeto a la Dirección Facultativa.

Auxiliar al Director de la Ejecución de la Obra en los actos de replanteo y firmar posteriormente y una vez finalizado éste, el acta correspondiente de inicio de obra, así como la de recepción final.

Facilitar a los Arquitectos Directores de Obra los datos necesarios para la elaboración de la documentación final de obra ejecutada.

Suscribir las garantías de obra que se señalan en el Artículo 19 de la Ley de Ordenación de la Edificación y que, en función de su naturaleza, alcanzan períodos de 1 año (daños por defectos de terminación o acabado de las obras), 3 años (daños por defectos o vicios de elementos constructivos o de instalaciones que afecten a la habitabilidad) o 10 años (daños en cimentación o estructura que comprometan directamente la resistencia mecánica y la estabilidad del edificio).

3.7.4. El Director de Obra

Dirigir la obra coordinándola con el Proyecto de Ejecución, facilitando su interpretación técnica, económica y estética a los agentes intervinientes en el proceso constructivo.

Detener la obra por causa grave y justificada, que se deberá hacer constar necesariamente en el Libro de Ordenes y Asistencias, dando cuenta inmediata al Promotor.

Redactar las modificaciones, ajustes, rectificaciones o planos complementarios que se precisen para el adecuado desarrollo de las obras. Es facultad expresa y única la redacción de aquellas modificaciones o aclaraciones directamente relacionadas con la adecuación de la cimentación y de la estructura proyectadas a las características geotécnicas del terreno; el cálculo o recálculo del dimensionado y armado de todos y cada uno de los elementos principales y complementarios de la cimentación y de la estructura vertical y horizontal; los que afecten sustancialmente a la distribución de espacios y las soluciones de fachada y cubierta y dimensionado y composición de

huecos, así como la modificación de los materiales previstos.

Asesorar al Director de la Ejecución de la Obra en aquellas aclaraciones y dudas que pudieran acontecer para el correcto desarrollo de la misma, en lo que respecta a las interpretaciones de las especificaciones de proyecto.

Asistir a las obras a fin de resolver las contingencias que se produzcan para asegurar la correcta interpretación y ejecución del proyecto, así como impartir las soluciones aclaratorias que fueran necesarias, consignando en el Libro de Ordenes y Asistencias las instrucciones precisas que se estimara oportunas reseñar para la correcta interpretación de lo proyectado, sin perjuicio de efectuar todas las aclaraciones y órdenes verbales que estimare oportuno.

Firmar el Acta de replanteo o de comienzo de obra y el Certificado Final de Obra, así como firmar el visto bueno de las certificaciones parciales referidas al porcentaje de obra efectuada y, en su caso y a instancias del Promotor, la supervisión de la documentación que se le presente relativa a las unidades de obra realmente ejecutadas previa a su liquidación final, todo ello con los visados que en su caso fueran preceptivos.

Informar puntualmente al Promotor de aquellas modificaciones sustanciales que, por razones técnicas o normativas, conlleven una variación de lo construido con respecto al proyecto básico y de ejecución y que afecten o puedan afectar al contrato suscrito entre el promotor y los destinatarios finales de las viviendas.

Redactar la documentación final de obra, en lo que respecta a la documentación gráfica y escrita del proyecto ejecutado, incorporando las modificaciones efectuadas. Para ello, los técnicos redactores de proyectos y/o estudios complementarios deberán obligatoriamente entregarle la documentación final en la que se haga constar el estado final de las obras y/o instalaciones por ellos redactadas, supervisadas y realmente ejecutadas, siendo responsabilidad de los firmantes la veracidad y exactitud de los documentos presentados.

Al Proyecto Final de Obra se anexará el Acta de Recepción Final; la relación identificativa de los agentes que han intervenido en el proceso de edificación, incluidos todos los subcontratistas y oficios intervinientes; las instrucciones de Uso y Mantenimiento del Edificio y de sus instalaciones, de conformidad con la normativa que le sea de aplicación.

La documentación a la que se hace referencia en los dos apartados anteriores es parte constituyente del Libro del Edificio y el Promotor deberá entregar una copia completa a los usuarios finales del mismo que, en el caso de edificios de viviendas plurifamiliares, se materializa en un ejemplar que deberá ser custodiado por el Presidente de la Comunidad de Propietarios o por el Administrador, siendo éstos los responsables de divulgar al resto de propietarios su contenido y de hacer cumplir los requisitos de mantenimiento que constan en la citada documentación.

Además de todas las facultades que corresponden al Arquitecto Director de Obra, expresadas en los artículos precedentes, es misión específica suya la dirección mediata, denominada alta dirección en lo que al cumplimiento de las directrices generales del

proyecto se refiere, y a la adecuación de lo construido a éste.

Cabe señalar expresamente que la resistencia al cumplimiento de las órdenes de los Arquitectos Directores de Obra en su labor de alta dirección se considerará como falta grave y, en caso de que, a su juicio, el incumplimiento de lo ordenado pusiera en peligro la obra o las personas que en ella trabajan, podrá recusar al Contratista y/o acudir a las autoridades judiciales, siendo responsable el Contratista de las consecuencias legales y económicas.

3.7.5. El Director de la Ejecución de la Obra

Corresponde al Arquitecto Técnico o Aparejador, según se establece en el Artículo 13 de la LOE y demás legislación vigente al efecto, las atribuciones competenciales y obligaciones que se señalan a continuación:

La Dirección inmediata de la Obra.

Verificar personalmente la recepción a pie de obra, previo a su acopio o colocación definitiva, de todos los productos y materiales suministrados necesarios para la ejecución de la obra, comprobando que se ajustan con precisión a las determinaciones del proyecto y a las normas exigibles de calidad, con la plena potestad de aceptación o rechazo de los mismos en caso de que lo considerase oportuno y por causa justificada, ordenando la realización de pruebas y ensayos que fueran necesarios.

Dirigir la ejecución material de la obra de acuerdo con las especificaciones de la memoria y de los planos del Proyecto, así como, en su caso, con las instrucciones complementarias necesarias que recabara del Director de Obra.

Anticiparse con la antelación suficiente a las distintas fases de la puesta en obra, requiriendo las aclaraciones al Arquitecto o Arquitectos Directores de Obra que fueran necesarias y planificando de manera anticipada y continuada con el Contratista principal y los subcontratistas los trabajos a efectuar.

Comprobar los replanteos, los materiales, hormigones y demás productos suministrados, exigiendo la presentación de los oportunos certificados de idoneidad de los mismos.

Verificar la correcta ejecución y disposición de los elementos constructivos y de las instalaciones, extendiéndose dicho cometido a todos los elementos de cimentación y estructura horizontal y vertical, con comprobación de sus especificaciones concretas de dimensionado de elementos, tipos de viguetas y adecuación a ficha técnica homologada, diámetros nominales, longitudes de anclaje y adecuados solape y doblado de barras.

Observancia de los tiempos de encofrado y desencofrado de vigas, pilares y forjados señalados por la Instrucción del Hormigón vigente y de aplicación.

Comprobación del correcto dimensionado de rampas y escaleras y de su adecuado trazado y replanteo con acuerdo a las pendientes, desniveles proyectados y al

cumplimiento de todas las normativas que son de aplicación; a dimensiones parciales y totales de elementos, a su forma y geometría específica, así como a las distancias que deben guardarse entre ellos, tanto en horizontal como en vertical.

Verificación de la adecuada puesta en obra de fábricas y cerramientos, a su correcta y completa trabazón y, en general, a lo que atañe a la ejecución material de la totalidad de la obra y sin excepción alguna, de acuerdo a los criterios y leyes de los materiales y de la correcta construcción (lex artis) y a las normativas de aplicación.

Asistir a la obra con la frecuencia, dedicación y diligencia necesarias para cumplir eficazmente la debida supervisión de la ejecución de la misma en todas sus fases, desde el replanteo inicial hasta la total finalización del edificio, dando las órdenes precisas de ejecución al Contratista y, en su caso, a los subcontratistas.

Consignar en el Libro de Ordenes y Asistencias las instrucciones precisas que considerara oportuno reseñar para la correcta ejecución material de las obras.

Supervisar posteriormente el correcto cumplimiento de las órdenes previamente efectuadas y la adecuación de lo realmente ejecutado a lo ordenado previamente.

Verificar el adecuado trazado de instalaciones, conductos, acometidas, redes de evacuación y su dimensionado, comprobando su idoneidad y ajuste tanto a la especificaciones del proyecto de ejecución como de los proyectos parciales, coordinando dichas actuaciones con los técnicos redactores correspondientes.

Detener la Obra si, a su juicio, existiera causa grave y justificada, que se deberá hacer constar necesariamente en el Libro de Ordenes y Asistencias, dando cuenta inmediata a los Arquitectos Directores de Obra que deberán necesariamente corroborarla para su plena efectividad, y al Promotor.

Supervisar las pruebas pertinentes para el Control de Calidad, respecto a lo especificado por la normativa vigente, en cuyo cometido y obligaciones tiene legalmente competencia exclusiva, programando bajo su responsabilidad y debidamente coordinado y auxiliado por el Contratista, las tomas de muestras, traslados, ensayos y demás actuaciones necesarias de elementos estructurales, así como las pruebas de estanqueidad de fachadas y de sus elementos, de cubiertas y sus impermeabilizaciones, comprobando la eficacia de las soluciones.

Informar con prontitud a los Arquitectos Directores de Obra de los resultados de los Ensayos de Control conforme se vaya teniendo conocimiento de los mismos, proponiéndole la realización de pruebas complementarias en caso de resultados adversos.

Tras la oportuna comprobación, emitir las certificaciones parciales o totales relativas a las unidades de obra realmente ejecutadas, con los visados que en su caso fueran preceptivos.

Colaborar activa y positivamente con los restantes agentes intervinientes, sirviendo de nexo de unión entre éstos, el Contratista, los Subcontratistas y el personal de la obra.

Elaborar y suscribir responsablemente la documentación final de obra relativa a los resultados del Control de Calidad y, en concreto, a aquellos ensayos y verificaciones de ejecución de obra realizados bajo su supervisión relativos a los elementos de la cimentación, muros y estructura, a las pruebas de estanqueidad y escorrentía de cubiertas y de fachadas, a las verificaciones del funcionamiento de las instalaciones de saneamiento y desagües de pluviales y demás aspectos señalados en la normativa de Control de Calidad.

Suscribir conjuntamente el Certificado Final de Obra, acreditando con ello su conformidad a la correcta ejecución de las obras y a la comprobación y verificación positiva de los ensayos y pruebas realizadas.

Si se hiciera caso omiso de las órdenes efectuadas por el Arquitecto Técnico, Director de la Ejecución de las Obras, se considerara como falta grave y, en caso de que, a su juicio, el incumplimiento de lo ordenado pusiera en peligro la obra o las personas que en ella trabajan, podrá acudir a las autoridades judiciales, siendo responsable el Contratista de las consecuencias legales y económicas.

3.7.6. Las entidades y los laboratorios de control de calidad de la edificación

Prestar asistencia técnica y entregar los resultados de su actividad al agente autor del encargo y, en todo caso, al director de la ejecución de las obras.

Justificar la capacidad suficiente de medios materiales y humanos necesarios para realizar adecuadamente los trabajos contratados, en su caso, a través de la correspondiente acreditación oficial otorgada por las Comunidades Autónomas con competencia en la materia.

3.7.7. Los suministradores de productos

Realizar las entregas de los productos de acuerdo con las especificaciones del pedido, respondiendo de su origen, identidad y calidad, así como del cumplimiento de las exigencias que, en su caso, establezca la normativa técnica aplicable.

Facilitar, cuando proceda, las instrucciones de uso y mantenimiento de los productos suministrados, así como las garantías de calidad correspondientes, para su inclusión en la documentación de la obra ejecutada.

3.7.8. Los propietarios y los usuarios

Son obligaciones de los propietarios conservar en buen estado la edificación mediante un adecuado uso y mantenimiento, así como recibir, conservar y transmitir la documentación de la obra ejecutada y los seguros y garantías con que ésta cuente.

Son obligaciones de los usuarios sean o no propietarios, la utilización adecuada de los edificios o de parte de los mismos de conformidad con las instrucciones de uso y mantenimiento contenidas en la documentación de la obra ejecutada.

3.8. Documentación final de obra: Libro del edificio.

De acuerdo al Artículo 7 de la Ley de Ordenación de la Edificación, una vez finalizada la obra, el proyecto con la incorporación, en su caso, de las modificaciones debidamente aprobadas, será facilitado al promotor por el Director de Obra para la formalización de los correspondientes trámites administrativos.

A dicha documentación se adjuntará, al menos, el acta de recepción, la relación identificativa de los agentes que han intervenido durante el proceso de edificación, así como la relativa a las instrucciones de uso y mantenimiento del edificio y sus instalaciones, de conformidad con la normativa que le sea de aplicación.

Toda la documentación a que hacen referencia los apartados anteriores, que constituirá el Libro del Edificio, será entregada a los usuarios finales del edificio.

3.8.1. Los propietarios y los usuarios

Son obligaciones de los propietarios conservar en buen estado la edificación mediante un adecuado uso y mantenimiento, así como recibir, conservar y transmitir la documentación de la obra ejecutada y los seguros y garantías con que ésta cuenta.

Son obligaciones de los usuarios sean o no propietarios, la utilización adecuada de los edificios o de parte de los mismos de conformidad con las instrucciones de uso y mantenimiento contenidas en la documentación de la obra ejecutada.

4. DISPOSICIONES ECONÓMICAS

4.1. Definición

Las condiciones económicas fijan el marco de relaciones económicas para el abono y recepción de la obra. Tienen un carácter subsidiario respecto al contrato de obra, establecido entre las partes que intervienen, Promotor y Contratista, que es en definitiva el que tiene validez.

4.2. Contrato de obra

Se aconseja que se firme el contrato de obra, entre el Promotor y el Contratista, antes de iniciarse las obras, evitando en lo posible la realización de la obra por administración. A la Dirección Facultativa (Director de Obra y Director de Ejecución de la Obra) se le facilitará una copia del contrato de obra, para poder certificar en los términos pactados.

Sólo se aconseja contratar por administración aquellas partidas de obra irrelevantes y de difícil cuantificación, o cuando se desee un acabado muy esmerado.

El contrato de obra deberá prever las posibles interpretaciones y discrepancias que pudieran surgir entre las partes, así como garantizar que la Dirección Facultativa pueda, de hecho, COORDINAR, DIRIGIR y CONTROLAR la obra, por lo que es conveniente que se especifiquen y determinen con claridad, como mínimo, los siguientes puntos:

- Documentos a aportar por el Contratista.
- Condiciones de ocupación del solar e inicio de las obras.
- Determinación de los gastos de enganches y consumos.
- Responsabilidades y obligaciones del Contratista: Legislación laboral.
- Responsabilidades y obligaciones del Promotor.
- Presupuesto del Contratista.
- Revisión de precios (en su caso).
- Forma de pago: Certificaciones.
- Retenciones en concepto de garantía (nunca menos del 5%).
- Plazos de ejecución: Planning.
- Retraso de la obra: Penalizaciones.
- Recepción de la obra: Provisional y definitiva.
- Litigio entre las partes.

Dado que este Pliego de Condiciones Económicas es complemento del contrato de obra, en caso de que no exista contrato de obra alguno entre las partes se le comunicará a la Dirección Facultativa, que pondrá a disposición de las partes el presente Pliego de Condiciones Económicas que podrá ser usado como base para la redacción del correspondiente contrato de obra.

4.3. Criterio general

Todos los agentes que intervienen en el proceso de la construcción, definidos en la Ley 38/1999 de Ordenación de la Edificación (L.O.E.), tienen derecho a percibir puntualmente las cantidades devengadas por su correcta actuación con arreglo a las condiciones contractualmente establecidas, pudiendo exigirse recíprocamente las garantías suficientes para el cumplimiento diligente de sus obligaciones de pago.

4.4. Fianzas

El Contratista presentará una fianza con arreglo al procedimiento que se estipule en el contrato de obra:

4.4.1. Ejecución e trabajos con cargo a la fianza

Si el contratista se negase a hacer por su cuenta los trabajos precisos para ultimar la obra en las condiciones contratadas, el Director de Obra, en nombre y representación del Promotor, los ordenará ejecutar a un tercero, o podrá realizarlos directamente por administración, abonando su importe con la fianza depositada, sin perjuicio de las acciones a que tenga derecho el Promotor, en el caso de que el importe de la fianza no bastase para cubrir el importe de los gastos efectuados en las unidades de obra que no fuesen de recibo.

4.4.2. Devolución de las fianzas

La fianza recibida será devuelta al Contratista en un plazo establecido en el contrato de obra, una vez firmada el Acta de Recepción Definitiva de la obra. El Promotor podrá

exigir que el Contratista le acredite la liquidación y finiquito de sus deudas causadas por la ejecución de la obra, tales como salarios, suministros y subcontratos.

4.4.3. Devolución de la fianza en el caso de efectuarse recepciones parciales

Si el Promotor, con la conformidad del Director de Obra, accediera a hacer recepciones parciales, tendrá derecho el Contratista a que se le devuelva la parte proporcional de la fianza.

4.5. De los precios

El objetivo principal de la elaboración del presupuesto es anticipar el coste del proceso de construir la obra. Descompondremos el presupuesto en unidades de obra, componente menor que se contrata y certifica por separado, y basándonos en esos precios, calcularemos el presupuesto.

4.5.1. Precio básico

Es el precio por unidad (ud, m, kg, etc.) de un material dispuesto a pie de obra, (incluido su transporte a obra, descarga en obra, embalajes, etc.) o el precio por hora de la maquinaria y de la mano de obra.

4.5.2. Precio unitario

Es el precio de una unidad de obra que obtendremos como suma de los siguientes costes:

- Costes directos: calculados como suma de los productos "precio básico x cantidad" de la mano de obra, maquinaria y materiales que intervienen en la ejecución de la unidad de obra.
- Medios auxiliares: Costes directos complementarios, calculados en forma porcentual como porcentaje de otros componentes, debido a que representan los costes directos que intervienen en la ejecución de la unidad de obra y que son de difícil cuantificación. Son diferentes para cada unidad de obra.
- Costes indirectos: aplicados como un porcentaje de la suma de los costes directos y medios auxiliares, igual para cada unidad de obra debido a que representan los costes de los factores necesarios para la ejecución de la obra que no se corresponden a ninguna unidad de obra en concreto.

En relación a la composición de los precios, el vigente Reglamento general de la Ley de Contratos de las Administraciones Públicas (Real Decreto 1098/2001, de 12 de octubre) establece que la composición y el cálculo de los precios de las distintas unidades de obra se base en la determinación de los costes directos e indirectos precisos para su ejecución, sin incorporar, en ningún caso, el importe del Impuesto sobre el Valor Añadido que pueda gravar las entregas de bienes o prestaciones de servicios realizados.

Considera costes directos:

- La mano de obra que interviene directamente en la ejecución de la unidad de obra.
- Los materiales, a los precios resultantes a pie de obra, que quedan integrados en la unidad de que se trate o que sean necesarios para su ejecución.
- Los gastos de personal, combustible, energía, etc., que tengan lugar por el accionamiento o funcionamiento de la maquinaria e instalaciones utilizadas en la ejecución de la unidad de obra.
- Los gastos de amortización y conservación de la maquinaria e instalaciones anteriormente citadas.

Deben incluirse como costes indirectos:

Los gastos de instalación de oficinas a pie de obra, comunicaciones, edificación de almacenes, talleres, pabellones temporales para obreros, laboratorio, etc., los del personal técnico y administrativo adscrito exclusivamente a la obra y los imprevistos. Todos estos gastos, excepto aquéllos que se reflejen en el presupuesto valorados en unidades de obra o en partidas alzadas, se cifrarán en un porcentaje de los costes directos, igual para todas las unidades de obra, que adoptará, en cada caso, el autor del proyecto a la vista de la naturaleza de la obra proyectada, de la importancia de su presupuesto y de su previsible plazo de ejecución.

Las características técnicas de cada unidad de obra, en las que se incluyen todas las especificaciones necesarias para su correcta ejecución, se encuentran en el apartado de 'Prescripciones en cuanto a la Ejecución por Unidad de Obra', junto a la descripción del proceso de ejecución de la unidad de obra.

Si en la descripción del proceso de ejecución de la unidad de obra no figurase alguna operación necesaria para su correcta ejecución, se entiende que está incluida en el precio de la unidad de obra, por lo que no supondrá cargo adicional o aumento de precio de la unidad de obra contratada.

Para mayor aclaración, se exponen algunas operaciones o trabajos, que se entiende que siempre forman parte del proceso de ejecución de las unidades de obra:

- El transporte y movimiento vertical y horizontal de los materiales en obra, incluso carga y descarga de los camiones.
- Eliminación de restos, limpieza final y retirada de residuos a vertedero de obra.
- Transporte de escombros sobrantes a vertedero autorizado.
- Montaje, comprobación y puesta a punto.
- Las correspondientes legalizaciones y permisos en instalaciones.
- Maquinaria, andamiajes y medios auxiliares necesarios.

Trabajos que se considerarán siempre incluidos y para no ser reiterativos no se especifican en cada una de las unidades de obra.

4.5.3. Presupuesto de Ejecución Material (PEM)

Es el resultado de la suma de los precios unitarios de las diferentes unidades de obra que la componen.

Se denomina Presupuesto de Ejecución Material al resultado obtenido por la suma de los productos del número de cada unidad de obra por su precio unitario y de las partidas alzadas. Es decir, el coste de la obra sin incluir los gastos generales, el beneficio industrial y el impuesto sobre el valor añadido.

4.5.4. Precios contradictorios

Sólo se producirán precios contradictorios cuando el Promotor, por medio del Director de Obra, decida introducir unidades o cambios de calidad en alguna de las previstas, o cuando sea necesario afrontar alguna circunstancia imprevista.

El Contratista siempre estará obligado a efectuar los cambios indicados.

A falta de acuerdo, el precio se resolverá contradictoriamente entre el Director de Obra y el Contratista antes de comenzar la ejecución de los trabajos y en el plazo que determine el contrato de obra o, en su defecto, antes de quince días hábiles desde que se le comunique fehacientemente al Director de Obra. Si subsiste la diferencia, se acudirá, en primer lugar, al concepto más análogo dentro del cuadro de precios del proyecto y, en segundo lugar, al banco de precios de uso más frecuente en la localidad.

Los contradictorios que hubiese se referirán siempre a los precios unitarios de la fecha del contrato de obra. Nunca se tomará para la valoración de los correspondientes precios contradictorios la fecha de la ejecución de la unidad de obra en cuestión.

4.5.5. Reclamación de aumento de precios

Si el Contratista, antes de la firma del contrato de obra, no hubiese hecho la reclamación u observación oportuna, no podrá bajo ningún pretexto de error u omisión reclamar aumento de los precios fijados en el cuadro correspondiente del presupuesto que sirva de base para la ejecución de las obras.

4.5.6. Formas tradicionales de medir o de aplicar los precios

En ningún caso podrá alegar el Contratista los usos y costumbres locales respecto de la aplicación de los precios o de la forma de medir las unidades de obra ejecutadas. Se estará a lo previsto en el Presupuesto y en el criterio de medición en obra recogido en el Pliego.

4.5.7. De la revisión de los precios contratados

El presupuesto presentado por el Contratista se entiende que es cerrado, por lo que no se aplicará revisión de precios.

Sólo se procederá a efectuar revisión de precios cuando haya quedado explícitamente determinado en el contrato de obra entre el Promotor y el Contratista.

4.5.8. Acopio de materiales

El Contratista queda obligado a ejecutar los acopios de materiales o aparatos de obra que el Promotor ordene por escrito.

Los materiales acopiados, una vez abonados por el propietario, son de la exclusiva propiedad de éste, siendo el Contratista responsable de su guarda y conservación.

4.6. Obras por administración

Se denominan "Obras por administración" aquellas en las que las gestiones que se precisan para su realización las lleva directamente el Promotor, bien por sí mismo, por un representante suyo o por mediación de un Contratista.

Las obras por administración se clasifican en dos modalidades:

- Obras por administración directa.
- Obras por administración delegada o indirecta.

Según la modalidad de contratación, en el contrato de obra se regulará:

- Su liquidación.
- El abono al Contratista de las cuentas de administración delegada.
- Las normas para la adquisición de los materiales y aparatos.
- Responsabilidades del Contratista en la contratación por administración en general y, en particular, la debida al bajo rendimiento de los obreros.

4.7. Valoración y abono de los trabajos

4.7.1. Forma y plazos de abono de las obras

Se realizará por certificaciones de obra y se recogerán las condiciones en el contrato de obra establecido entre las partes que intervienen (Promotor y Contratista) que, en definitiva, es el que tiene validez.

Los pagos se efectuarán por la propiedad en los plazos previamente establecidos en el contrato de obra, y su importe corresponderá precisamente al de las certificaciones de la obra conformadas por el Director de Ejecución de la Obra, en virtud de las cuáles se verifican aquéllos.

El Director de Ejecución de la Obra realizará, en la forma y condiciones que establezca el criterio de medición en obra incorporado en las Prescripciones en cuanto a la Ejecución por Unidad de Obra, la medición de las unidades de obra ejecutadas durante el período de tiempo anterior, pudiendo el Contratista presenciar la realización de tales mediciones.

Para las obras o partes de obra que, por sus dimensiones y características, hayan de quedar posterior y definitivamente ocultas, el contratista está obligado a avisar al Director de Ejecución de la Obra con la suficiente antelación, a fin de que éste pueda

realizar las correspondientes mediciones y toma de datos, levantando los planos que las definan, cuya conformidad suscribirá el Contratista.

A falta de aviso anticipado, cuya existencia corresponde probar al Contratista, queda éste obligado a aceptar las decisiones del Promotor sobre el particular.

4.7.2. Relaciones valoradas y certificaciones

En los plazos fijados en el contrato de obra entre el Promotor y el Contratista, éste último formulará una relación valorada de las obras ejecutadas durante las fechas previstas, según la medición practicada por el Director de Ejecución de la Obra.

Las certificaciones de obra serán el resultado de aplicar, a la cantidad de obra realmente ejecutada, los precios contratados de las unidades de obra. Sin embargo, los excesos de obra realizada en unidades, tales como excavaciones y hormigones, que sean imputables al Contratista, no serán objeto de certificación alguna.

Los pagos se efectuarán por el Promotor en los plazos previamente establecidos, y su importe corresponderá al de las certificaciones de obra, conformadas por la Dirección Facultativa. Tendrán el carácter de documento y entregas a buena cuenta, sujetas a las rectificaciones y variaciones que se deriven de la Liquidación Final, no suponiendo tampoco dichas certificaciones parciales la aceptación, la aprobación, ni la recepción de las obras que comprenden.

Las relaciones valoradas contendrán solamente la obra ejecutada en el plazo a que la valoración se refiere. Si la Dirección Facultativa lo exigiera, las certificaciones se extenderán a origen.

4.7.3. Mejora de obras libremente ejecutadas

Cuando el Contratista, incluso con la autorización del Director de Obra, emplease materiales de más esmerada preparación o de mayor tamaño que el señalado en el proyecto o sustituyese una clase de fábrica por otra que tuviese asignado mayor precio, o ejecutase con mayores dimensiones cualquier parte de la obra, o, en general, introdujese en ésta y sin solicitársela, cualquier otra modificación que sea beneficiosa a juicio de la Dirección Facultativa, no tendrá derecho más que al abono de lo que pudiera corresponderle en el caso de que hubiese construido la obra con estricta sujeción a la proyectada y contratada o adjudicada.

4.7.4. Abono de trabajos presupuestados con partida alzada

El abono de los trabajos presupuestados en partida alzada se efectuará previa justificación por parte del Contratista. Para ello, el Director de Obra indicará al Contratista, con anterioridad a su ejecución, el procedimiento que ha de seguirse para llevar dicha cuenta.

4.7.5. Abono de trabajos especiales no contratados

Cuando fuese preciso efectuar cualquier tipo de trabajo de índole especial u ordinaria que, por no estar contratado, no sea de cuenta del Contratista, y si no se contratasen

con tercera persona, tendrá el Contratista la obligación de realizarlos y de satisfacer los gastos de toda clase que ocasionen, los cuales le serán abonados por la Propiedad por separado y en las condiciones que se estipulen en el contrato de obra.

4.7.6. Abono de trabajos ejecutados durante el plazo de garantía

Efectuada la recepción provisional, y si durante el plazo de garantía se hubieran ejecutado trabajos cualesquiera, para su abono se procederá así:

- Si los trabajos que se realicen estuvieran especificados en el Proyecto, y sin causa justificada no se hubieran realizado por el Contratista a su debido tiempo, y el Director de obra exigiera su realización durante el plazo de garantía, serán valorados a los precios que figuren en el Presupuesto y abonados de acuerdo con lo establecido en el presente Pliego de Condiciones, sin estar sujetos a revisión de precios.
- Si se han ejecutado trabajos precisos para la reparación de desperfectos ocasionados por el uso del edificio, por haber sido éste utilizado durante dicho plazo por el Promotor, se valorarán y abonarán a los precios del día, previamente acordados.
- Si se han ejecutado trabajos para la reparación de desperfectos ocasionados por deficiencia de la construcción o de la calidad de los materiales, nada se abonará por ellos al Contratista.

4.8. Indemnizaciones mutuas

4.8.1. Indemnización por retraso del plazo de terminación de las obras

Si, por causas imputables al Contratista, las obras sufrieran un retraso en su finalización con relación al plazo de ejecución previsto, el Promotor podrá imponer al Contratista, con cargo a la última certificación, las penalizaciones establecidas en el contrato, que nunca serán inferiores al perjuicio que pudiera causar el retraso de la obra.

4.8.2. Demora de los pagos por parte del Promotor

Se regulará en el contrato de obra las condiciones a cumplir por parte de ambos.

4.9. Varios

4.9.1. Mejoras, aumentos y/o reducciones de obra

Sólo se admitirán mejoras de obra, en el caso que el Director de Obra haya ordenado por escrito la ejecución de los trabajos nuevos o que mejoren la calidad de los contratados, así como de los materiales y maquinaria previstos en el contrato.

Sólo se admitirán aumentos de obra en las unidades contratadas, en el caso que el Director de Obra haya ordenado por escrito la ampliación de las contratadas como consecuencia de observar errores en las mediciones de proyecto.

En ambos casos será condición indispensable que ambas partes contratantes, antes de su ejecución o empleo, convengan por escrito los importes totales de las unidades mejoradas, los precios de los nuevos materiales o maquinaria ordenados emplear y los aumentos que todas estas mejoras o aumentos de obra supongan sobre el importe de las unidades contratadas.

Se seguirán el mismo criterio y procedimiento, cuando el Director de Obra introduzca innovaciones que supongan una reducción en los importes de las unidades de obra contratadas.

4.9.2. Unidades de obra defectuosas

Las obras defectuosas no se valorarán.

4.9.3. Seguro de las obras

El Contratista está obligado a asegurar la obra contratada durante todo el tiempo que dure su ejecución, hasta la recepción definitiva.

4.9.4. Conservación de la obra

El Contratista está obligado a conservar la obra contratada durante todo el tiempo que dure su ejecución, hasta la recepción definitiva.

4.9.5. Uso por el Contratista de edificio o bienes del Promotor

No podrá el Contratista hacer uso de edificio o bienes del Promotor durante la ejecución de las obras sin el consentimiento del mismo.

Al abandonar el Contratista el edificio, tanto por buena terminación de las obras, como por resolución del contrato, está obligado a dejarlo desocupado y limpio en el plazo que se estipule en el contrato de obra.

4.9.6. Pago de arbitrios

El pago de impuestos y arbitrios en general, municipales o de otro origen, sobre vallas, alumbrado, etc., cuyo abono debe hacerse durante el tiempo de ejecución de las obras y por conceptos inherentes a los propios trabajos que se realizan, correrán a cargo del Contratista, siempre que en el contrato de obra no se estipule lo contrario.

4.10. Retenciones en concepto de garantía

Del importe total de las certificaciones se descontará un porcentaje, que se retendrá en concepto de garantía. Este valor no deberá ser nunca menor del cinco por cien (5%) y responderá de los trabajos mal ejecutados y de los perjuicios que puedan ocasionarle al Promotor.

Esta retención en concepto de garantía quedará en poder del Promotor durante el tiempo designado como PERIODO DE GARANTÍA, pudiendo ser dicha retención, "en metálico" o mediante un aval bancario que garantice el importe total de la retención.

Si el Contratista se negase a hacer por su cuenta los trabajos precisos para ultimar la obra en las condiciones contratadas, el Director de Obra, en representación del Promotor, los ordenará ejecutar a un tercero, o podrá realizarlos directamente por administración, abonando su importe con la fianza depositada, sin perjuicio de las acciones a que tenga derecho el Promotor, en el caso de que el importe de la fianza no bastase para cubrir el importe de los gastos efectuados en las unidades de obra que no fuesen de recibo.

La fianza retenida en concepto de garantía será devuelta al Contratista en el plazo estipulado en el contrato, una vez firmada el Acta de Recepción Definitiva de la obra. El promotor podrá exigir que el Contratista le acredite la liquidación y finiquito de sus deudas atribuibles a la ejecución de la obra, tales como salarios, suministros o subcontratos.

4.11. Plazos de ejecución: Planning de obra

En el contrato de obra deberán figurar los plazos de ejecución y entregas, tanto totales como parciales. Además, será conveniente adjuntar al respectivo contrato un Planning de la ejecución de la obra donde figuren de forma gráfica y detallada la duración de las distintas partidas de obra que deberán conformar las partes contratantes.

4.12. Liquidación económica de las obras

Simultáneamente al libramiento de la última certificación, se procederá al otorgamiento del Acta de Liquidación Económica de las obras, que deberán firmar el Promotor y el Contratista. En este acto se dará por terminada la obra y se entregarán, en su caso, las llaves, los correspondientes boletines debidamente cumplimentados de acuerdo a la Normativa Vigente, así como los proyectos Técnicos y permisos de las instalaciones contratadas.

Dicha Acta de Liquidación Económica servirá de Acta de Recepción Provisional de las obras, para lo cual será conformada por el Promotor, el Contratista, el Director de Obra y el Director de Ejecución de la Obra, quedando desde dicho momento la conservación y custodia de las mismas a cargo del Promotor.

La citada recepción de las obras, provisional y definitiva, queda regulada según se describe en las Disposiciones Generales del presente Pliego.

4.13. Liquidación final de la obra

Entre el Promotor y Contratista, la liquidación de la obra deberá hacerse de acuerdo con las certificaciones conformadas por la Dirección de Obra. Si la liquidación se realizara sin el visto bueno de la Dirección de Obra, ésta sólo mediará, en caso de desavenencia o desacuerdo, en el recurso ante los Tribunales.

5. PLIEGO DE CONDICIONES DE LAS PARTIDAS

5.1. Desbroce y limpieza del terreno

- Características técnicas:

Desbroce y limpieza del terreno, con medios mecánicos. Comprende los trabajos necesarios para retirar de las zonas previstas para la edificación o urbanización: pequeñas plantas, maleza, broza, maderas caídas, escombros, basuras o cualquier otro material existente, hasta una profundidad no menor que el espesor de la capa de tierra vegetal, considerando como mínima 25 cm. Incluso transporte de la maquinaria, retirada de los materiales excavados y carga a camión, sin incluir transporte a vertedero autorizado.

- Normativa de aplicación:

Ejecución NTE-ADE. Acondicionamiento del terreno. Desmontes: Explanaciones.

- Criterio de medición en proyecto:

Superficie medida en proyección horizontal, según documentación gráfica de Proyecto.

- Condiciones previas que han de cumplirse antes de la ejecución de las unidades de obra:

Del soporte: Inspección ocular del terreno. Se comprobará la posible existencia de servidumbres, elementos enterrados, redes de servicio o cualquier tipo de instalaciones que puedan resultar afectadas por las obras a iniciar.

Del contratista: Si existieran instalaciones en servicio que pudieran verse afectadas por los trabajos a realizar, solicitará de las correspondientes compañías suministradoras su situación y, en su caso, la solución a adoptar, así como las distancias de seguridad a tendidos aéreos de conducción de energía eléctrica.

- Proceso de ejecución:

Fases de ejecución: Replanteo en el terreno. Remoción mecánica de los materiales de desbroce. Retirada y disposición mecánica de los materiales objeto de desbroce. Carga mecánica a camión.

Condiciones de terminación: La superficie del terreno quedará limpia y en condiciones adecuadas para poder realizar el replanteo definitivo de la obra.

- Criterio de medición en obra y condiciones de abono.

Se medirá, en proyección horizontal, la superficie realmente ejecutada según especificaciones de Proyecto, sin incluir los incrementos por excesos de excavación no

autorizados.

5.2. Excavación a cielo abierto

- Características técnicas:

Excavación de tierras a cielo abierto, en suelo de arcilla semidura, con medios manuales, hasta alcanzar la cota de profundidad indicada en el Proyecto. Incluso refinado de paramentos y fondo de excavación, extracción de tierras fuera de la excavación, retirada de los materiales excavados y carga a camión.

- Normativa de aplicación:

- CTE. DB-SE-C Seguridad estructural: Cimientos.

- NTE-ADV. Acondicionamiento del terreno. Desmontes: Vaciados.

- Criterio de medición en proyecto:

Volumen medido sobre las secciones teóricas de la excavación, según documentación gráfica de Proyecto.

- Condiciones previas que han de cumplirse antes de la ejecución de las unidades de obra:

Del soporte: Se comprobará la posible existencia de servidumbres, elementos enterrados, redes de servicio o cualquier tipo de instalaciones que puedan resultar afectadas por las obras a iniciar. Se dispondrá de la información topográfica y geotécnica necesaria, recogida en el correspondiente estudio geotécnico del terreno realizado por un laboratorio acreditado en el área técnica correspondiente, y que incluirá, entre otros datos: plano altimétrico de la zona, cota del nivel freático y tipo de terreno que se va a excavar a efecto de su trabajabilidad. Se dispondrán puntos fijos de referencia en lugares que puedan verse afectados por el vaciado, a los cuales se referirán todas las lecturas de cotas de nivel y desplazamientos horizontales y verticales de los puntos del terreno. Se comprobará el estado de conservación de los edificios medianeros y de las construcciones próximas que puedan verse afectadas por el vaciado.

Del contratista: Si existieran instalaciones en servicio que pudieran verse afectadas por los trabajos a realizar, solicitará de las correspondientes compañías suministradoras su situación y, en su caso, la solución a adoptar, así como las distancias de seguridad a tendidos aéreos de conducción de energía eléctrica. Notificará al Director de Ejecución de la obra, con la antelación suficiente, el comienzo de las excavaciones.

- Proceso de ejecución:

Fases de ejecución: Replanteo general y fijación de los puntos y niveles de referencia. Colocación de las camillas en las esquinas y extremos de las alineaciones. Excavación en sucesivas franjas horizontales y extracción de tierras. Refinado de

fondos y laterales a mano, con extracción de las tierras. Carga a camión de las tierras excavadas.

Condiciones de terminación: La excavación quedará limpia y a los niveles previstos, cumpliéndose las exigencias de estabilidad de los cortes de tierras, taludes y edificaciones próximas.

- Conservación y mantenimiento:

Las excavaciones quedarán protegidas frente a filtraciones y acciones de erosión o desmoronamiento por parte de las aguas de escorrentía. Se tomarán las medidas oportunas para asegurar que las características geométricas permanecen inamovibles.

- Criterio de medición en obra y condiciones de abono.

Se medirá el volumen teórico ejecutado según especificaciones de Proyecto, sin incluir los incrementos por excesos de excavación no autorizados, ni el relleno necesario para reconstruir la sección teórica por defectos imputables al Contratista. Se medirá la excavación una vez realizada y antes de que sobre ella se efectúe ningún tipo de relleno. Si el Contratista cerrase la excavación antes de conformada la medición, se entenderá que se aviene a lo que unilateralmente determine el Director de Ejecución de la obra.

5.3. Hormigón de limpieza

- Características técnicas:

Suministro de hormigón HL-150/B/20, fabricado en central y vertido desde camión, para formación de capa de hormigón de limpieza y nivelado de fondos de cimentación, en el fondo de la excavación previamente realizada.

- Normativa de aplicación:

Elaboración, transporte y puesta en obra del hormigón:

- Instrucción de Hormigón Estructural (EHE-08).

Ejecución:

- CTE. DB-SE-C Seguridad estructural: Cimientos.

- CTE. DB-HS Salubridad.

- Criterio de medición en proyecto:

Volumen teórico, según documentación gráfica de Proyecto.

- Condiciones previas que han de cumplirse antes de la ejecución de las unidades de obra:

Del soporte: Se comprobará, visualmente o mediante las pruebas que se juzguen

oportunas, que el terreno de apoyo de aquella se corresponde con las previsiones del Proyecto. El resultado de tal inspección, definiendo la profundidad de la cimentación de cada uno de los apoyos de la obra, su forma y dimensiones, y el tipo y consistencia del terreno, se incorporará a la documentación final de obra. En particular, se debe comprobar que el nivel de apoyo de la cimentación se ajusta al previsto y, apreciablemente, la estratigrafía coincide con la estimada en el estudio geotécnico, que el nivel freático y las condiciones hidrogeológicas se ajustan a las previstas, que el terreno presenta, apreciablemente, una resistencia y una humedad similares a la supuesta en el estudio geotécnico, que no se detectan defectos evidentes tales como cavernas, fallas, galerías, pozos, etc, y, por último, que no se detectan corrientes subterráneas que puedan producir socavación o arrastres. Una vez realizadas estas comprobaciones, se confirmará la existencia de los elementos enterrados de la instalación de puesta a tierra, y que el plano de apoyo del terreno es horizontal y presenta una superficie limpia.

Ambientales: Se suspenderán los trabajos de hormigonado cuando llueva con intensidad, nieve, exista viento excesivo, una temperatura ambiente superior a 40°C o se prevea que dentro de las 48 horas siguientes pueda descender la temperatura ambiente por debajo de los 0°C.

Del contratista: Dispondrá en obra de una serie de medios, en previsión de que se produzcan cambios bruscos de las condiciones ambientales durante el hormigonado o posterior periodo de fraguado, no pudiendo comenzarse el hormigonado de los diferentes elementos sin la autorización por escrito del Director de Ejecución de la obra.

- Proceso de ejecución:

Fases de ejecución: Replanteo. Colocación de toques y/o formación de maestras. Vertido y compactación del hormigón. Coronación y enrase del hormigón.

Condiciones de terminación: La superficie quedará horizontal y plana.

- Criterio de medición en obra y condiciones de abono.

Se medirá el volumen teórico ejecutado según especificaciones de Proyecto, sin incluir los incrementos por excesos de excavación no autorizados.

5.4. Zapata de cimentación de hormigón armado

- Medidas para asegurar la compatibilidad entre los diferentes productos, elementos y sistemas constructivos que componen la unidad de obra:

Dependiendo de la agresividad del terreno o la presencia de agua con sustancias agresivas, se elegirá el cemento adecuado para la fabricación del hormigón, así como su dosificación y permeabilidad y el espesor de recubrimiento de las armaduras.

- Características técnicas:

Formación de zapata de cimentación de hormigón armado, realizada con hormigón

HA- 25/B/20/IIa fabricado en central, y vertido desde camión, y acero UNE-EN 10080 B 400 S, con una cuantía aproximada de 50kg/m³, sin incluir el encofrado en este precio. Incluso p/p de elaboración de la ferralla (corte, doblado y conformado de elementos) en taller industrial y montaje en el lugar definitivo de su colocación en obra, separadores, armaduras de espera del pilar y curado del hormigón.

- Normativa de aplicación:

Elaboración, transporte y puesta en obra del hormigón:

- Instrucción de Hormigón Estructural (EHE-08).

Ejecución:

- CTE. DB-SE-C Seguridad estructural: Cimientos.
- NTE-CSZ. Cimentaciones superficiales: Zapatas.

- Criterio de medición en proyecto:

Volumen medido sobre las secciones teóricas de la excavación, según documentación gráfica de Proyecto

- Condiciones previas que han de cumplirse antes de la ejecución de las unidades de obra:

Del soporte: Se comprobará la existencia de la capa de hormigón de limpieza, que presentará un plano de apoyo horizontal y una superficie limpia.

Ambientales: Se suspenderán los trabajos de hormigonado cuando llueva con intensidad, nieve, exista viento excesivo, una temperatura ambiente superior a 40°C o se prevea que dentro de las 48 horas siguientes pueda descender la temperatura ambiente por debajo de los 0°C.

Del contratista: Dispondrá en obra de una serie de medios, en previsión de que se produzcan cambios bruscos de las condiciones ambientales durante el hormigonado o posterior periodo de fraguado, no pudiendo comenzarse el hormigonado de los diferentes elementos sin la autorización por escrito del Director de Ejecución de la obra.

- Proceso de ejecución:

Fases de ejecución: Replanteo y trazado de las zapatas y de los pilares u otros elementos estructurales que apoyen en las mismas. Colocación de separadores y fijación de las armaduras. Vertido y compactación del hormigón. Coronación y enrase de cimientos. Curado del hormigón.

Condiciones de terminación: El conjunto será monolítico y transmitirá correctamente las cargas al terreno. La superficie quedará sin imperfecciones.

Conservación y mantenimiento: Se protegerán y señalizarán las armaduras de

espera.

- Criterio de medición en obra y condiciones de abono.

Se medirá el volumen teórico ejecutado según especificaciones de Proyecto, sin incluir los incrementos por excesos de excavación no autorizados.

5.5. Viga entre zapatas

- Medidas para asegurar la compatibilidad entre los diferentes productos, elementos y sistemas constructivos que componen la unidad de obra:

Dependiendo de la agresividad del terreno o la presencia de agua con sustancias agresivas, se elegirá el cemento adecuado para la fabricación del hormigón, así como su dosificación y permeabilidad y el espesor de recubrimiento de las armaduras.

- Características técnicas:

Formación de viga centradora de hormigón armado, realizada con hormigón HA-25/B/20/IIa fabricado en central, y vertido desde camión, y acero UNE-EN 10080 B 400 S, con una cuantía aproximada de 50 kg/m³, sin incluir el encofrado en este precio. Incluso p/p de elaboración de la ferralla (corte, doblado y conformado de elementos) en taller industrial y montaje en el lugar definitivo de su colocación en obra, separadores, y curado del hormigón.

- Normativa de aplicación:

Elaboración, transporte y puesta en obra del hormigón:

- Instrucción de Hormigón Estructural (EHE-08).

Ejecución:

- CTE. DB-SE-C Seguridad estructural: Cimientos.

- Criterio de medición en proyecto:

Volumen medido sobre las secciones teóricas de la excavación, según documentación gráfica de Proyecto

- Condiciones previas que han de cumplirse antes de la ejecución de las unidades de obra:

Del soporte: Se comprobará la existencia de la capa de hormigón de limpieza, que presentará un plano de apoyo horizontal y una superficie limpia.

Ambientales: Se suspenderán los trabajos de hormigonado cuando llueva con intensidad, nieve, exista viento excesivo, una temperatura ambiente superior a 40°C o se prevea que dentro de las 48 horas siguientes pueda descender la temperatura ambiente por debajo de los 0°C.

Del contratista: Dispondrá en obra de una serie de medios, en previsión de que se produzcan cambios bruscos de las condiciones ambientales durante el hormigonado o posterior periodo de fraguado, no pudiendo comenzarse el hormigonado de los diferentes elementos sin la autorización por escrito del Director de Ejecución de la obra.

- Proceso de ejecución:

Fases de ejecución: Colocación de la armadura con separadores homologados. Vertido y compactación del hormigón. Coronación y enrase. Curado del hormigón.

Condiciones de terminación: El conjunto será monolítico y transmitirá correctamente las cargas al terreno. La superficie quedará sin imperfecciones.

Conservación y mantenimiento: Se protegerán y señalizarán las armaduras de espera.

- Criterio de medición en obra y condiciones de abono.

Se medirá el volumen teórico ejecutado según especificaciones de Proyecto, sin incluir los incrementos por excesos de excavación no autorizados.

5.6. Solera de hormigón.

- Características técnicas:

Formación de solera de hormigón en masa de 30 cm de espesor, realizada con hormigón HM- 25/B/20/IIa fabricado en central y vertido desde camión, sin tratamiento de su superficie; apoyada sobre capa base existente (no incluida en este precio). Incluso p/p de preparación de la superficie de apoyo del hormigón, extendido y vibrado del hormigón mediante regla vibrante, formación de juntas de construcción y colocación de un panel de poliestireno expandido de 3 cm de espesor, alrededor de cualquier elemento que interrumpa la solera, como pilares y muros, para la ejecución de juntas de dilatación; emboquillado o conexión de los elementos exteriores (cercos de arquetas, sumideros, botes sifónicos, etc.) de las redes de instalaciones ejecutadas bajo la solera; y curado del hormigón.

- Normativa de aplicación:

Elaboración, transporte y puesta en obra del hormigón:

- Instrucción de Hormigón Estructural (EHE-08).

Ejecución:

- NTE-RSS. Revestimientos de suelos: Soleras.

- Criterio de medición en proyecto:

Superficie medida según documentación gráfica de Proyecto.

- Condiciones previas que han de cumplirse antes de la ejecución de las unidades de obra:

Del soporte: Se comprobará que la superficie base presenta una planeidad adecuada, cumple los valores resistentes tenidos en cuenta en la hipótesis de cálculo, y no tiene blandones, bultos ni materiales sensibles a las heladas. El nivel freático no originará sobreempujes.

Ambientales: Se suspenderán los trabajos de hormigonado cuando llueva con intensidad, nieve, exista viento excesivo, una temperatura ambiente superior a 40°C o se prevea que dentro de las 48 horas siguientes pueda descender la temperatura ambiente por debajo de los 0°C.

Del contratista: Dispondrá en obra de una serie de medios, en previsión de que se produzcan cambios bruscos de las condiciones ambientales durante el hormigonado o posterior periodo de fraguado, no pudiendo comenzarse el hormigonado de los diferentes elementos sin la autorización por escrito del Director de Ejecución de la obra.

- Proceso de ejecución:

Fases de ejecución: Preparación de la superficie de apoyo del hormigón, comprobando la densidad y las rasantes. Replanteo de las juntas de construcción y de dilatación. Tendido de niveles mediante toques, maestras de hormigón o reglas. Riego de la superficie base. Formación de juntas de construcción y de juntas perimetrales de dilatación. Vertido y compactación del hormigón. Curado del hormigón. Aserrado de juntas de retracción.

Condiciones de terminación: La superficie de la solera cumplirá las exigencias de planeidad y resistencia, y se dejará a la espera del solado.

Conservación y mantenimiento: Se protegerá el hormigón fresco frente a lluvias, heladas y temperaturas elevadas. No se superarán las cargas previstas.

- Criterio de medición en obra y condiciones de abono.

Se medirá la superficie realmente ejecutada según especificaciones de Proyecto, sin deducir la superficie ocupada por los pilares situados dentro de su perímetro.

5.7. Acero en correas metálicas.

- Medidas para asegurar la compatibilidad entre los diferentes productos, elementos y sistemas constructivos que componen la unidad de obra.

No se pondrá en contacto directo el acero con otros metales ni con yesos.

- Características técnicas:

Suministro y montaje de acero galvanizado UNE-EN 10025 S235JRC, en perfiles conformados en frío, piezas simples de las series C o Z, para formación de correas sobre las que se apoyará la chapa o panel que actuará como cubierta (no incluida en este precio), y quedarán fijadas a las cerchas mediante tornillos normalizados. Incluso p/p de accesorios y elementos de anclaje.

- Normativa de aplicación:

Ejecución:

- CTE. DB-SE-A Seguridad estructural: Acero.

- UNE-EN 1090-2. Ejecución de estructuras de acero y aluminio. Parte 2: Requisitos técnicos para la ejecución de estructuras de acero.

- Criterio de medición en proyecto:

Peso nominal medido según documentación gráfica de Proyecto.

- Condiciones previas que han de cumplirse antes de la ejecución de las unidades de obra:

Del contratista: Presentará para su aprobación, al Director de Ejecución de la obra, el programa de montaje de la estructura, basado en las indicaciones del Proyecto.

- Proceso de ejecución:

Fases de ejecución: Replanteo de las correas sobre las cerchas. Presentación de las correas sobre las cerchas. Aplomado y nivelación definitivos. Resolución de sus fijaciones a las cerchas.

Condiciones de terminación: Las cargas se transmitirán correctamente a la estructura.

Conservación y mantenimiento: Se evitará la actuación sobre el elemento de acciones mecánicas no previstas en el cálculo.

- Criterio de medición en obra y condiciones de abono.

Se determinará, a partir del peso obtenido en báscula oficial de las unidades llegadas a obra, el peso de las unidades realmente ejecutadas según especificaciones de Proyecto.

5.8. Acero en pilares.

- Medidas para asegurar la compatibilidad entre los diferentes productos, elementos y sistemas constructivos que componen la unidad de obra.

La zona de soldadura no se pintará. No se pondrá en contacto directo el acero con otros metales ni con yesos.

- Características técnicas:

Suministro y montaje de acero laminado UNE-EN 10025 S275JR, en perfiles laminados en caliente, piezas simples para pilares, mediante uniones soldadas. Trabajado y montado en taller, con preparación de superficies en grado SA21/2 según UNE-EN ISO 8501-1 y aplicación posterior de dos manos de imprimación con un espesor mínimo de película seca de 30 micras por mano, excepto en la zona en que deban realizarse soldaduras en obra, en una distancia de 100 mm desde el borde de la soldadura. Incluso p/p de preparación de bordes, soldaduras, cortes, piezas especiales, placas de arranque y transición de pilar inferior a superior, mortero sin retracción para retacado de placas, despuntes y reparación en obra de cuantos desperfectos se originen por razones de transporte, manipulación o montaje, con el mismo grado de preparación de superficies e imprimación.

- Normativa de aplicación:

Ejecución:

- CTE. DB-SE-A Seguridad estructural: Acero.

- UNE-EN 1090-2. Ejecución de estructuras de acero y aluminio. Parte 2: Requisitos técnicos para la ejecución de estructuras de acero.

- NTE-EAS. Estructuras de acero: Soportes.

- Criterio de medición en proyecto:

Peso nominal medido según documentación gráfica de Proyecto.

- Condiciones previas que han de cumplirse antes de la ejecución de las unidades de obra:

Ambientales: No se realizarán trabajos de soldadura cuando la temperatura sea inferior a 0°C.

Del contratista: Presentará para su aprobación, al Director de Ejecución de la obra, el programa de montaje de la estructura, basado en las indicaciones del Proyecto, así como la documentación que acredite que los soldadores que intervengan en su ejecución estén certificados por un organismo acreditado.

- Proceso de ejecución:

Fases de ejecución: Limpieza y preparación del plano de apoyo. Replanteo y marcado de los ejes. Colocación y fijación provisional del pilar. Aplomado y nivelación. Ejecución de las uniones. Reparación de defectos superficiales.

Condiciones de terminación: Las cargas se transmitirán correctamente a la estructura. El acabado superficial será el adecuado para el posterior tratamiento de protección.

- Criterio de medición en obra y condiciones de abono.

Se determinará, a partir del peso obtenido en báscula oficial de las unidades llegadas a obra, el peso de las unidades realmente ejecutadas según especificaciones de Proyecto.

5.9. Acero en vigas.

- Medidas para asegurar la compatibilidad entre los diferentes productos, elementos y sistemas constructivos que componen la unidad de obra.

La zona de soldadura no se pintará. No se pondrá en contacto directo el acero con otros metales ni con yesos.

- Características técnicas:

Suministro y montaje de acero laminado UNE-EN 10025 S275JR, en perfiles laminados en caliente, piezas simples para vigas y correas, mediante uniones soldadas. Trabajado y montado en taller, con preparación de superficies en grado SA21/2 según UNE-EN ISO 8501-1 y aplicación posterior de dos manos de imprimación con un espesor mínimo de película seca de 30 micras por mano, excepto en la zona en que deban realizarse soldaduras en obra, en una distancia de 100 mm desde el borde de la soldadura. Incluso p/p de preparación de bordes, soldaduras, cortes, piezas especiales, placas de arranque y transición de pilar inferior a superior, mortero sin retracción para retacado de placas, despuntes y reparación en obra de cuantos desperfectos se originen por razones de transporte, manipulación o montaje, con el mismo grado de preparación de superficies e imprimación.

- Normativa de aplicación:

Ejecución:

- CTE. DB-SE-A Seguridad estructural: Acero.

- UNE-EN 1090-2. Ejecución de estructuras de acero y aluminio. Parte 2: Requisitos técnicos para la ejecución de estructuras de acero.

- NTE-EAV. Estructuras de acero: Vigas.

- Criterio de medición en proyecto:

Peso nominal medido según documentación gráfica de Proyecto.

- Condiciones previas que han de cumplirse antes de la ejecución de las unidades de obra:

Ambientales: No se realizarán trabajos de soldadura cuando la temperatura sea inferior a 0°C.

Del contratista: Presentará para su aprobación, al Director de Ejecución de la obra, el programa de montaje de la estructura, basado en las indicaciones del Proyecto, así como la documentación que acredite que los soldadores que intervengan en su ejecución estén certificados por un organismo acreditado.

- Proceso de ejecución:

Fases de ejecución: Limpieza y preparación del plano de apoyo. Replanteo y marcado de los ejes. Colocación y fijación provisional de la viga. Aplomado y nivelación. Ejecución de las uniones. Reparación de defectos superficiales.

Condiciones de terminación: Las cargas se transmitirán correctamente a la estructura. El acabado superficial será el adecuado para el posterior tratamiento de protección.

- Criterio de medición en obra y condiciones de abono.

Se determinará, a partir del peso obtenido en báscula oficial de las unidades llegadas a obra, el peso de las unidades realmente ejecutadas según especificaciones de Proyecto.

5.10. Placas de anclaje con pernos soldados y preparación de bordes.

- Medidas para asegurar la compatibilidad entre los diferentes productos, elementos y sistemas constructivos que componen la unidad de obra.

La zona de soldadura no se pintará. No se pondrá en contacto directo el acero con otros metales ni con yesos.

- Características técnicas:

Suministro y montaje de placa de anclaje de acero UNE-EN 10025 S275JR en perfil plano. Trabajado y montado en taller. Incluso p/p de taladro central, preparación de bordes, biselado alrededor del taladro para mejorar la unión del perno a la cara superior de la placa, soldaduras, cortes, pletinas, piezas especiales, despuntes y reparación en obra de cuantos desperfectos se originen por razones de transporte, manipulación o montaje.

- Normativa de aplicación:

Ejecución:

- CTE. DB-SE-A Seguridad estructural: Acero.

- UNE-EN 1090-2. Ejecución de estructuras de acero y aluminio. Parte 2: Requisitos técnicos para la ejecución de estructuras de acero.

- NTE-EAS. Estructuras de acero: Soportes.

- Criterio de medición en proyecto:

Número de unidades previstas, según documentación gráfica de Proyecto

- Condiciones previas que han de cumplirse antes de la ejecución de las unidades de obra:

Ambientales: No se realizarán trabajos de soldadura cuando la temperatura sea inferior a 0°C.

Del contratista: Presentará para su aprobación, al Director de Ejecución de la obra, el programa de montaje de la estructura, basado en las indicaciones del Proyecto, así como la documentación que acredite que los soldadores que intervengan en su ejecución estén certificados por un organismo acreditado.

- Proceso de ejecución:

Fases de ejecución: Limpieza y preparación del plano de apoyo. Replanteo y marcado de los ejes. Colocación y fijación provisional de la placa. Aplomado y nivelación.

Condiciones de terminación: La posición de la placa será correcta y estará ligada con la cimentación. El acabado superficial será el adecuado para el posterior tratamiento de protección.

- Criterio de medición en obra y condiciones de abono.

Se medirá el número de unidades realmente ejecutadas según especificaciones de Proyecto.

5.11. Panel sándwich aislante de acero.

- Características técnicas:

Suministro y montaje de paneles sándwich aislantes de acero, de 50mm de espesor y 1000mm de ancho, formados por doble cara metálica de chapa estándar de acero, acabado prelacado, de espesor exterior 0,4 mm y espesor interior 0,5 mm y alma aislante de lana de roca de densidad media 145 Kg/m³, y accesorios, fijados mecánicamente a cualquier tipo de correa estructura.

- Normativa de aplicación:

Ejecución:

-CTE. DB-HS Salubridad.

-CTE. DB-HE Ahorro de energía.

- Criterio de medición en proyecto:

Superficie medida según documentación gráfica de Proyecto, sin duplicar esquinas ni encuentros, deduciendo los huecos de superficie mayor de 3 m².

- Condiciones previas que han de cumplirse antes de la ejecución de las unidades de obra:

Del soporte: Se comprobará que la estructura portante presenta aplomado, planeidad y horizontalidad adecuados.

Ambientales: Se suspenderán los trabajos cuando llueva, nieve o la velocidad del viento sea superior a 50 km/h.

- Proceso de ejecución:

Fases de ejecución: Replanteo de los paneles por faldón. Ejecución de juntas y perímetro. Fijación mecánica de los paneles.

Condiciones de terminación: Serán básicas las condiciones de estanqueidad y el mantenimiento de la integridad de la cobertura frente a la acción del viento.

Conservación y mantenimiento: Se evitará la actuación sobre el elemento de acciones mecánicas y no previstas en el cálculo.

- Criterio de medición en obra y condiciones de abono.

Se medirá, en verdadera magnitud, la superficie realmente ejecutada según especificaciones de Proyecto.

CAPÍTULO IV

PRESUPUESTO

ÍNDICE PRESUPUESTO

CAPÍTULO 1 MOVIMIENTO DE TIERRAS.....	617
CAPÍTULO 2 CIMENTACIONES.....	617
CAPÍTULO 3 ESTRUCTURA.....	618
CAPÍTULO 4 CERRAMIENTOS Y CARPINTERIA.....	620
CAPÍTULO 5 PRESUPUESTO SEGURIDAD Y SALUD.....	621

CAPÍTULO 1 MOVIMIENTO DE TIERRAS			TOTAL	72.379€
1.1.	Desbroce y limpieza del terreno	Unidades (m2)	Precio unitario	Total
Desbroce y limpieza del terreno, con medios mecánicos. Comprende los trabajos necesarios para retirar de las zonas previstas para la edificación o urbanización: pequeñas plantas, maleza, broza, maderas caídas, escombros, basuras o cualquier otro material existente, hasta una profundidad no menor que el espesor de la capa de tierra vegetal, considerando como mínima 25 cm; y carga a camión. El precio no incluye la tala de árboles ni el transporte de los materiales retirados.		9000	0,99 €	8.910,00 €
1.2	Excavación de la cimentación	Unidades (m3)	Precio unitario	Total
Excavación de zanjas y pozos para cimentaciones hasta una profundidad de 2 m, en suelo de arcilla semidura, con medios mecánicos, y carga a camión. El precio no incluye el transporte de los materiales excavados.		2594,94	23,08 €	59.891,22 €
1.3	Transporte de los materiales	Unidades (m3)	Precio unitario	Total
Transporte de tierras con camión de 12 t de los productos procedentes de la excavación de cualquier tipo de terreno . El precio incluye el tiempo de espera en obra durante las operaciones de carga, el viaje de ida, la descarga y el viaje de vuelta, pero no incluye la carga en obra		4364	0,82 €	3.578,48 €
CAPÍTULO 2 CIMENTACIONES			TOTAL	707.407 €
2.1.	Hormigón de limpieza	Unidades (m3)	Precio unitario	Total
Hormigón HL-150/B/20, fabricado en central y vertido desde camión, para formación de capa de hormigón de limpieza y nivelado de fondos de cimentación, en el fondo de la excavación previamente realizada.		184,36	74,79 €	13.788,28 €
Zapata tipo A 3x11x0,1m (34)		112,2	74,79 €	8.391,44 €
Zapata tipo B 5,5x14x0,1 (2)		15,4	74,79 €	1.151,77 €
Zapata tipo C 4x5x0,1(1)		2	74,79 €	149,58 €
Zapata tipo D 4,5x12x0,1 (2)		10,8	74,79 €	807,73 €
Zapata tipo E 4,6x11x0,1 (4)		20,24	74,79 €	1.513,75 €
Zapata tipo F 3x4,5x0,1(12)		16,2	74,79 €	1.211,60 €
Viga de atado 188x0,4x0,1		7,52	74,79 €	562,42 €
2.2.	Hormigón HA-25	Unidades (m3)	Precio unitario	Total

Hormigón HA-25/B/20/Illa fabricado en central, y vertido desde camión para formación de zapata de cimentación	2414,36	92,55 €	223.449,02 €
Zapata tipo A 3x11x1,3m (34)	1458,6	92,55 €	134.993,43 €
Zapata tipo B 5,5x14x1,5 (2)	231	92,55 €	21.379,05 €
Zapata tipo C 4x5x1,3(1)	26	92,55 €	2.406,30 €
Zapata tipo D 4,5x12x1,5 (2)	162	92,55 €	14.993,10 €
Zapata tipo E 4,6x11x1,5 (4)	303,6	92,55 €	28.098,18 €
Zapata tipo F 3x4,5x1,3 (12)	210,6	92,55 €	19.491,03 €
Viga de atado 188x0,4x0,3	22,56	92,55 €	2.087,93 €

2.3. Acero	Unidades (m3)	Precio unitario	Total
Acero UNE-EN 10080 B 500S, con una cuantía aproximada de 50 kg/m3, sin incluir encofrado en este precio. Incluso p/p de elaboración de la ferralla (corte, doblado y conformado de elementos) en el taller industrial y montaje en el lugar de colocación de la obra, separadores y armaduras de espera del pilar.	2598,72	47,00 €	122.139,84 €

2.4. Solera de hormigón	Unidades (m2)	Precio unitario	Total
Solera de hormigón armado de 30 cm de espesor, realizada con hormigón HA-25/B/20/Illa fabricado en central, y vertido con bomba, extendido y vibrado manual, y malla electrosoldada ME 20x20 Ø5-5 B 500 T 6x2,20 UNE-EN 10080 sobre separadores homologados.	9000	38,67 €	348.030,00 €

CAPÍTULO 3 ESTRUCTURA		TOTAL	1.074.789€
3.1. Estructura principal	Unidades (kg)	Precio unitario	Total
Acero S275JR en pilares, con piezas compuestas formadas por perfiles laminados en caliente con uniones soldadas.			1.062.455,44 €
Serie: Rectangular conformado	374145,94	2,20 €	823.121,07 €
Huecos cuadrados	48896,01	2,20 €	107.571,22 €
Redondos	15168,92	2,20 €	33.371,62 €
IPE	44723,42	2,20 €	98.391,52 €

3.2. Correas	Unidades (kg)	Precio unitario	Total
--------------	---------------	-----------------	-------

Acero S235JRC en correas metálicas, con piezas simples de perfiles conformados en frío de las series omega, L, U, C o Z, acabado galvanizado y colocado en obra con tornillos.			173.322,23 €
Correas de cubierta	50490	2,55 €	128.749,50 €
Correas laterales	17479,5	2,55 €	44.572,73 €
3.3. Anclajes	Unidades	Precio unitario	Total
TIPO 1: Placa de anclaje de acero S275JR en perfil plano, con rigidizadores, de 400x500 mm y espesor 30 mm, con 14 pernos soldados, de acero corrugado UNE-EN 10080 B 500 S de 20 mm de diámetro y 65 cm de longitud total.	4	140,88 €	563,52 €
TIPO 2: Placa de anclaje de acero S275JR en perfil plano, con rigidizadores, de 400x450 mm y espesor 25 mm, con 10 pernos soldados, de acero corrugado UNE-EN 10080 B 500 S de 20 mm de diámetro y 60 cm de longitud total.	34	107,29 €	3.647,86 €
TIPO 3: Placa de anclaje de acero S275JR en perfil plano, con rigidizadores, de 300x350 mm y espesor 25 mm, con 8 pernos soldados, de acero corrugado UNE-EN 10080 B 500 S de 22 mm de diámetro y 40 cm de longitud total.	34	70,06 €	2.382,04 €
TIPO 4: Placa de anclaje de acero S275JR en perfil plano, con rigidizadores, de 400x450 mm y espesor 30 mm, con 10 pernos soldados, de acero corrugado UNE-EN 10080 B 500 S de 20 mm de diámetro y 90 cm de longitud total.	8	125,81 €	1.006,48 €
TIPO 5: Placa de anclaje de acero S275JR en perfil plano, con rigidizadores, de 400x450 mm y espesor 30 mm, con 10 pernos soldados, de acero corrugado UNE-EN 10080 B 500 S de 20 mm de diámetro y 80 cm de longitud total.	2	124,82 €	249,64 €
TIPO 6: Placa de anclaje de acero S275JR en perfil plano, con rigidizadores, de 500x2000 mm y espesor 30 mm, con 16 pernos soldados, de acero corrugado UNE-EN 10080 B 500 S de 20 mm de diámetro y 50 cm de longitud total	1	343,55 €	343,55 €

TIPO 7: Placa de anclaje de acero S275JR en perfil plano, con rigidizadores, de 550x900 mm y espesor 30 mm, con 14 pernos soldados, de acero corrugado UNE-EN 10080 B 500 S de 32 mm de diámetro y 90 cm de longitud total		2	284,45 €	568,90 €
TIPO 8: Placa de anclaje de acero S275JR en perfil plano, con rigidizadores, de 550x950 mm y espesor 40 mm, con 12 pernos soldados, de acero corrugado UNE-EN 10080 B 500 S de 32 mm de diámetro y 75 cm de longitud total		12	297,64 €	3.571,68 €
CERRAMIENTOS Y CARPINTERIA			TOTAL	969.913 €
CAPÍTULO 4		Unidades (m2)	Precio unitario	Total
4.1.	Cerramiento de fachada			
Cerramiento de fachada con paneles sándwich aislantes, de 50 mm de espesor y 1100 mm de ancho, formados por doble cara metálica de chapa lisa de acero, acabado galvanizado, de espesor exterior 0,5 mm y espesor interior 0,4 mm y alma aislante de lana de roca de densidad media 100 kg/m³, montados en posición vertical, con sistema de fijación oculto		6700	49,34 €	330.578,00 €
4.2	Cerramiento de cubierta			
Cubierta inclinada de paneles sándwich aislantes de acero, de 50 mm de espesor y 1150 mm de ancho, alma aislante de lana de roca, con una pendiente mayor del 10%.		9000	44,49 €	400.410,00 €
4.3	Puerta de lona fachada delantera	Unidades (m2)	Precio unitario	Total
Puerta ASSA ABLOY VL3190 de anchura 20 metros con espesor de la hoja de 290mm y guías verticales de aluminio.		1760	128,00 €	225.280,00 €
4.4.	Puerta de entrada peatonal	Unidades	Precio unitario	Total
Puerta de PVC, una hoja practicable con apertura hacia el interior, dimensiones 1200x2200 mm, acabado estándar en las dos caras, color blanco, sin premarco. Cajón de persiana básico incorporado (monoblock), persiana enrollable de lamas de PVC, con accionamiento manual con cinta y recogedor.		2	514,07 €	1.028,14 €
4.5.	Ventanas	Unidades	Precio unitario	Total
Ventana de PVC, cuatro hojas correderas, dimensiones 2100x1500 mm, acabado estándar en las dos caras, color blanco, sin premarco. Cajón de persiana básico incorporado (monoblock), persiana enrollable de lamas de PVC, con accionamiento manual con cinta y recogedor.		20	630,89 €	12.617,80 €

CAPÍTULO 5 PRESUPUESTO SEGURIDAD Y SALUD TOTAL 20.066 €

El presupuesto final del proyecto se obtiene considerando todos los costes totales calculados anteriormente. Por lo que se obtiene:

CAPÍTULO 1	MOVIMIENTO DE TIERRAS	72.379,70 €
CAPÍTULO 2	CIMENTACIONES	707.407,14 €
CAPÍTULO 3	ESTRUCTURA	1.074.789,11 €
CAPÍTULO 4	CERRAMIENTOS Y CARPINTERIA	969.913,94 €
CAPÍTULO 5	PRESUPUESTO SEGURIDAD Y SALUD	20.066,77 €
	TOTAL	2.838.135,83 €

PRESUPUESTO DE EJECUCIÓN MATERIAL (PEM) 2.844.556,66 €

12% Gastos generales	341.346,8 €
6% Beneficio industrial	191.154,20 €

PRESUPUESTO DE EJECUCIÓN POR CONTRATA (PEC) 3.377.057,66 €

21% I.V.A	709.182,10 €
-----------	--------------

PRESUPUESTO TOTAL 4.086.239,77 €

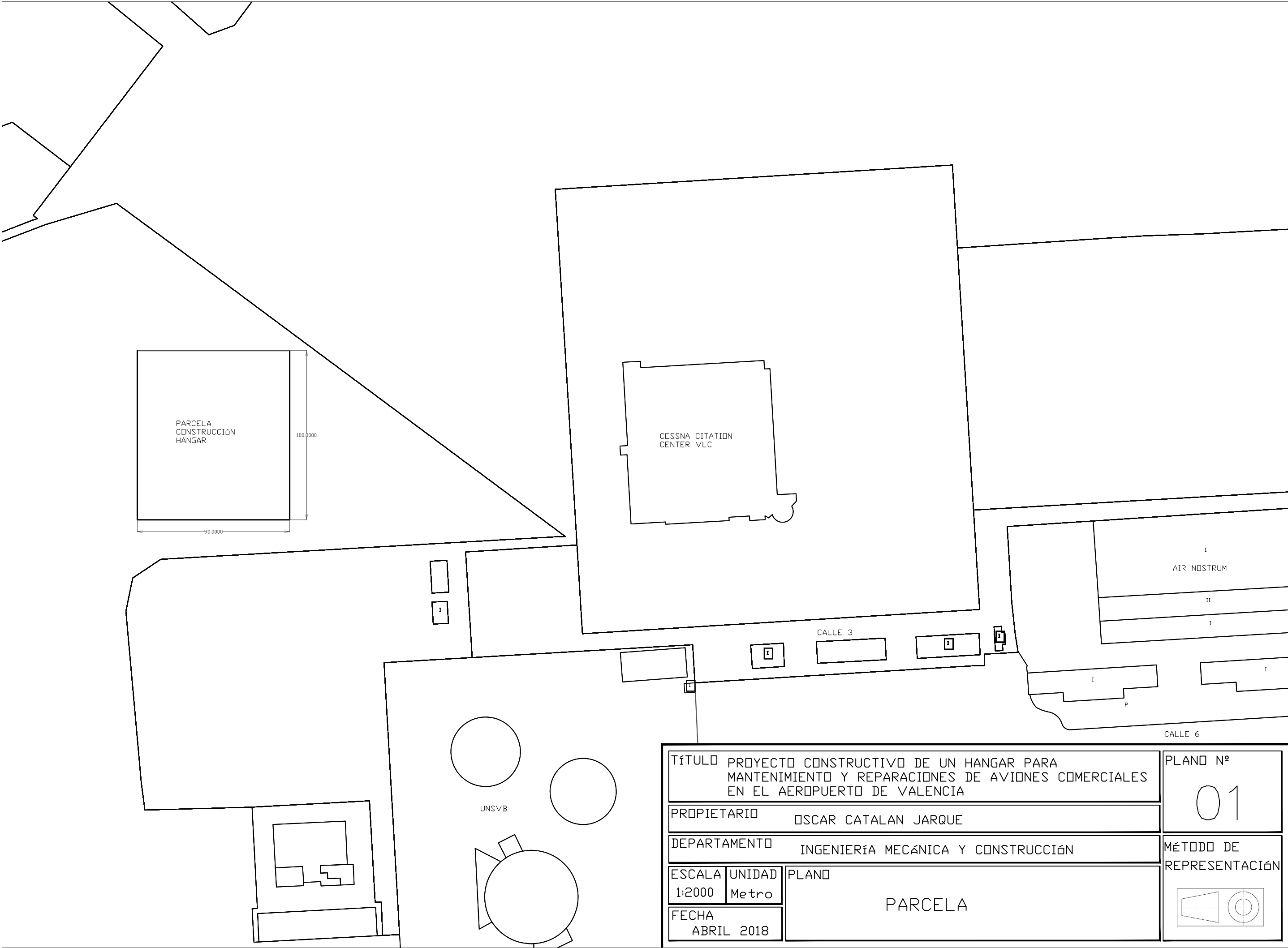
El presupuesto final corresponde con el presupuesto total y asciende a CUATRO MILLONES OCHENTA Y SEIS MIL DOSCIENTO TREINTA Y NUEVE EUROS CON SETENTA Y SIETE CÉNTIMOS.

CAPÍTULO V

PLANOS

ÍNDICE PLANOS

PARCELA.....	PLANO Nº 1
ESTRUCTURA 3D.....	PLANO Nº 2
PÓRTICO FRONTAL.....	PLANO Nº 3
PÓRTICO NÚMERO 2 Y 20.....	PLANO Nº 4
PÓRTICO INTERIOR.....	PLANO Nº 5
PÓRTICO TRASERO.....	PLANO Nº 6
FACHADAS LATERALES.....	PLANO Nº 7
CUBIERTA SUPERIOR.....	PLANO Nº 8
CUBIERTA INFERIOR.....	PLANO Nº 9
CIMENTACIÓN.....	PLANO Nº 10
ZAPATAS (1).....	PLANO Nº 11
ZAPATAS (2).....	PLANO Nº 12
PLACAS DE ANCLAJE.....	PLANO Nº 13



TÍTULO PROYECTO CONSTRUCTIVO DE UN HANGAR PARA
MANTENIMIENTO Y REPARACIONES DE AVIONES COMERCIALES
EN EL AEROPUERTO DE VALENCIA

PROPIETARIO OSCAR CATALAN JARQUE

DEPARTAMENTO INGENIERÍA MECÁNICA Y CONSTRUCCIÓN

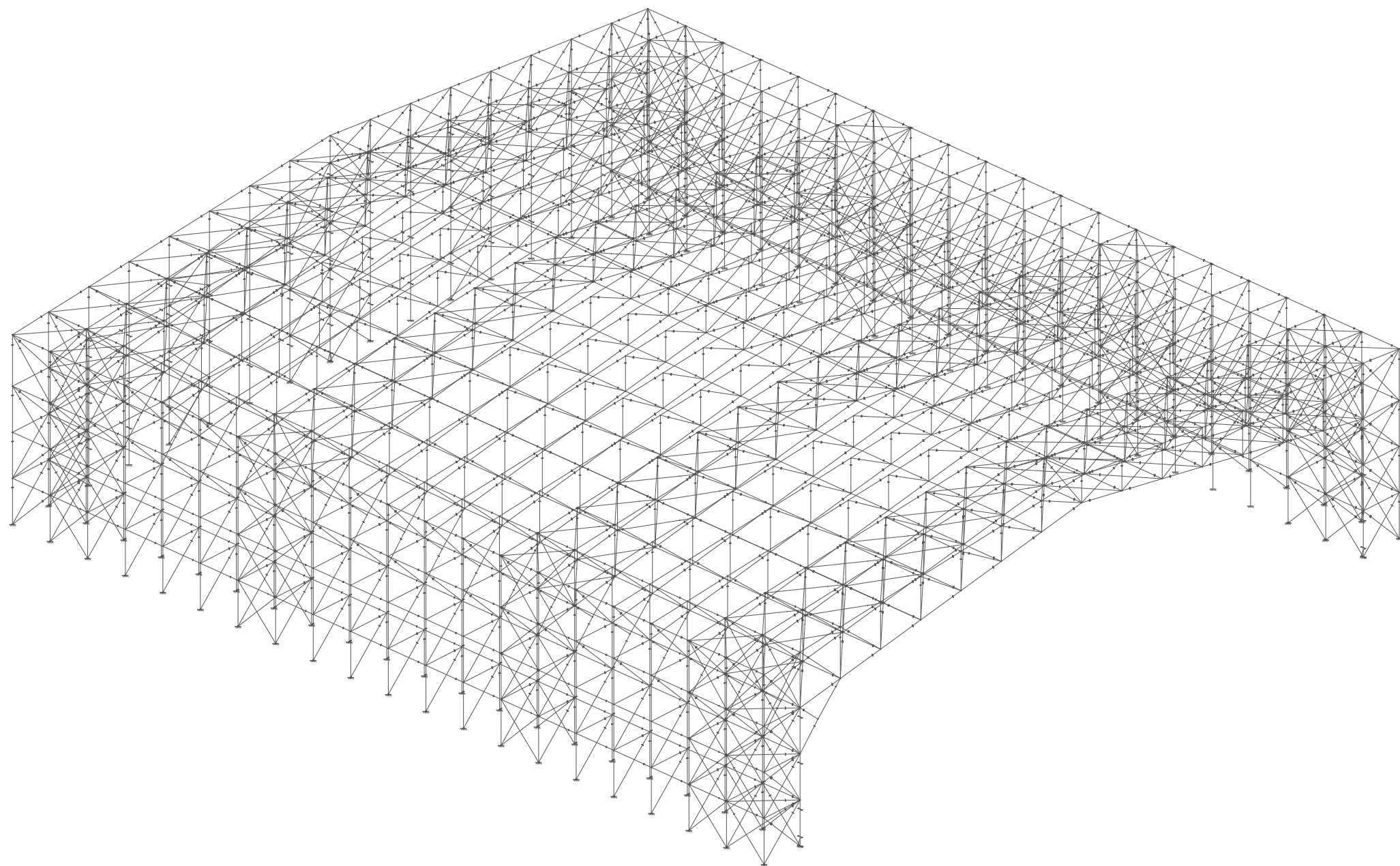
ESCALA UNIDAD
1:2000 Metro

FECHA
ABRIL 2018

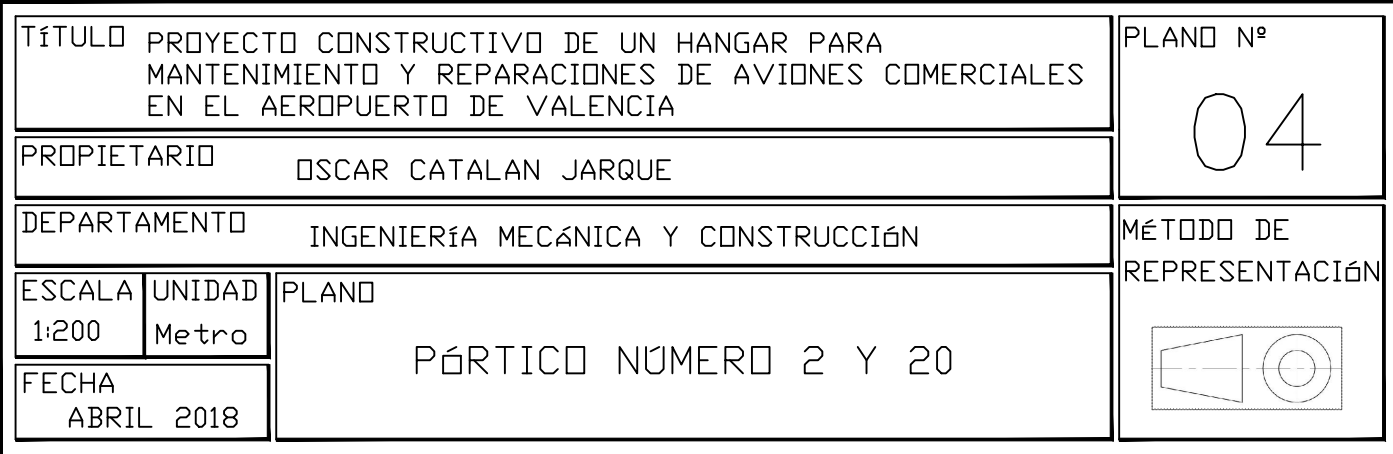
PLANO
PARCELA

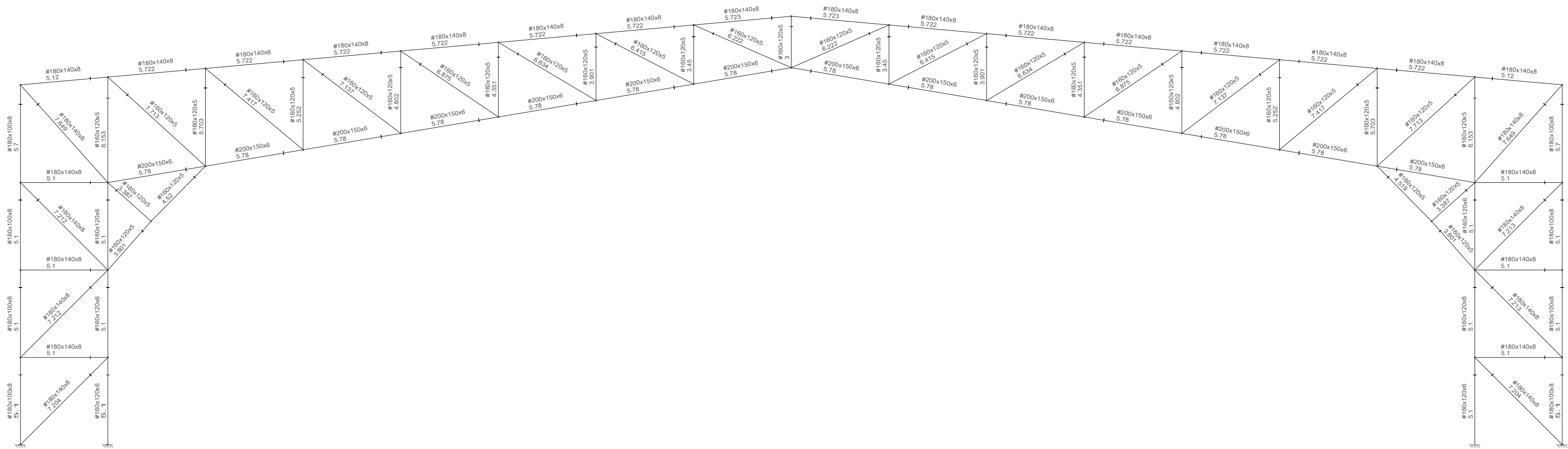
PLANO Nº
01

MÉTODO DE
REPRESENTACIÓN

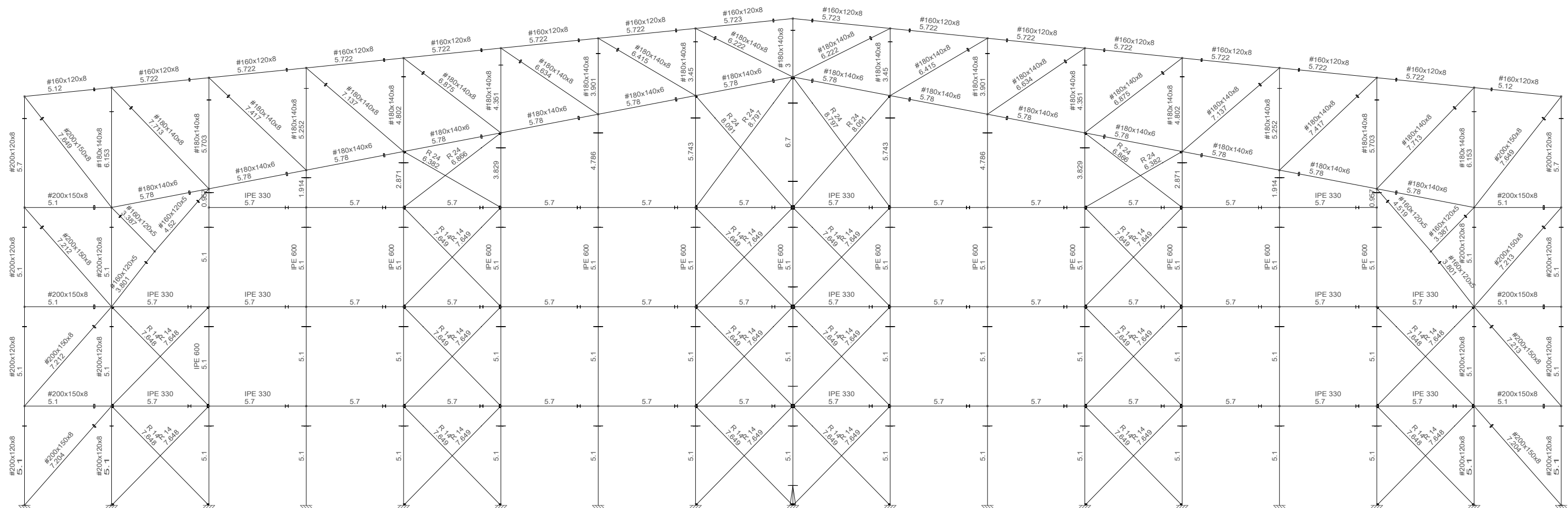


TÍTULO PROYECTO CONSTRUCTIVO DE UN HANGAR PARA MANTENIMIENTO Y REPARACIONES DE AVIONES COMERCIALES EN EL AEROPUERTO DE VALENCIA			PLANO Nº
PROPIETARIO OSCAR CATALAN JARQUE			02
DEPARTAMENTO INGENIERÍA MECÁNICA Y CONSTRUCCIÓN			MÉTODO DE REPRESENTACIÓN
ESCALA 1:500	UNIDAD Metro	PLANO ESTRUCTURA 3D	
FECHA ABRIL 2018			





TÍTULO			PROYECTO CONSTRUCTIVO DE UN HANGAR PARA MANTENIMIENTO Y REPARACIONES DE AVIONES COMERCIALES EN EL AEROPUERTO DE VALENCIA		PLANO Nº
PROPIETARIO			OSCAR CATALAN JARQUE		05
DEPARTAMENTO			INGENIERÍA MECÁNICA Y CONSTRUCCIÓN		MÉTODO DE REPRESENTACIÓN
ESCALA	UNIDAD	PLANO			
1:200	Metro	PÓRTICO INTERIOR			
FECHA					
ABRIL 2018					



TÍTULO PROYECTO CONSTRUCTIVO DE UN HANGAR PARA
MANTENIMIENTO Y REPARACIONES DE AVIONES COMERCIALES
EN EL AEROPUERTO DE VALENCIA

PROPIETARIO OSCAR CATALAN JARQUE

DEPARTAMENTO INGENIERÍA MECÁNICA Y CONSTRUCCIÓN

ESCALA UNIDAD
1:200 Metro

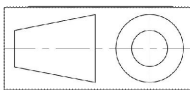
FECHA
ABRIL 2018

PLANO
PÓRTICO TRASERO

PLANO Nº

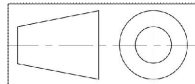
06

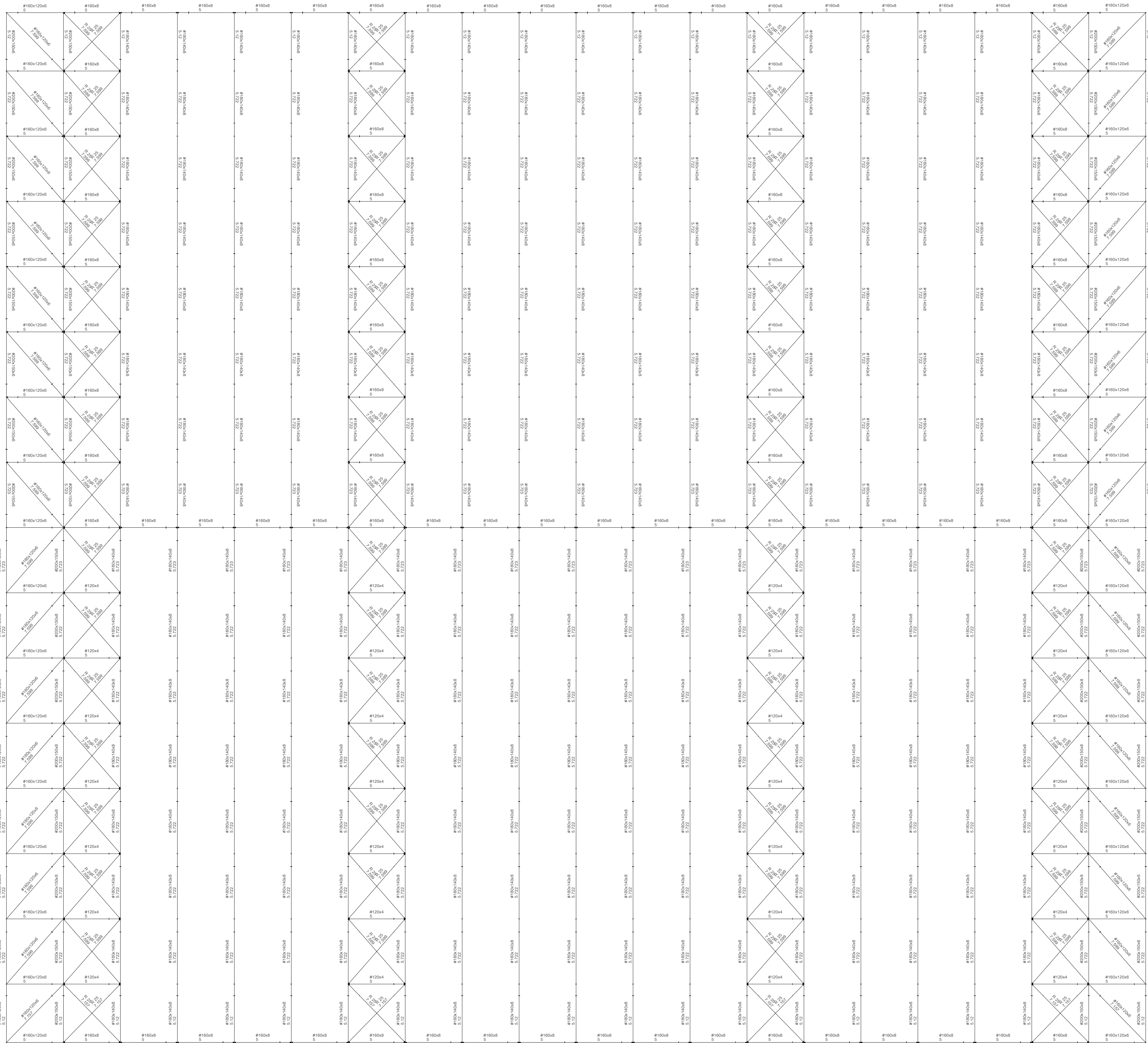
MÉTODO DE
REPRESENTACIÓN



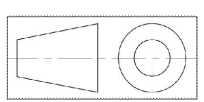
The figure illustrates the reinforcement layout for the top slab of the main beam. It features a series of parallel reinforcement bars labeled with their specifications (e.g., #160x120x6, #80x4, #120x4, #180x100x8) and specific dimensions (e.g., 7.134, 7.19, 7.142, 7.152). A vertical dimension of 21 is shown on the right side of the diagram.

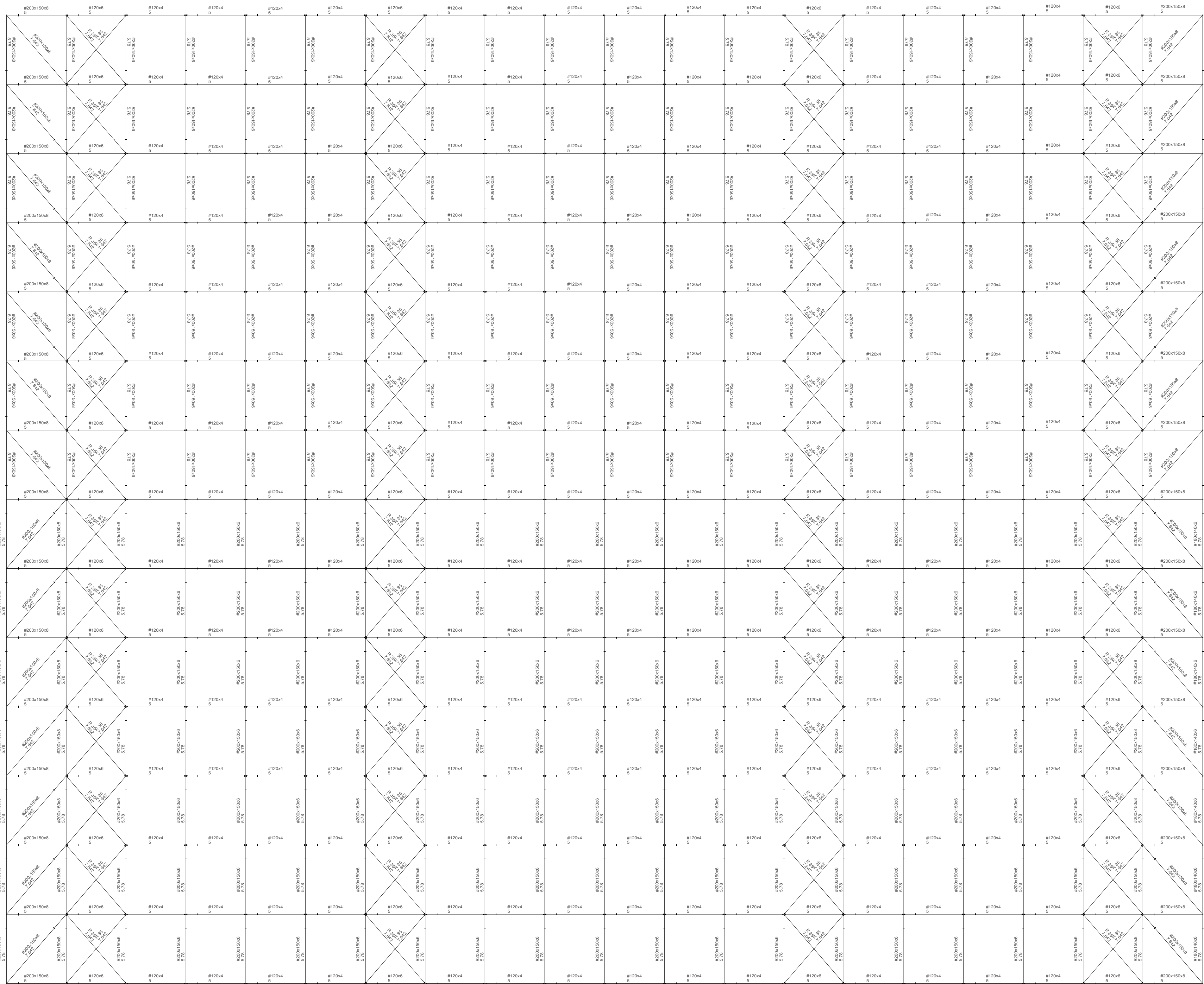
[illegible]

TÍTULO		PROYECTO CONSTRUCTIVO DE UN HANGAR PARA MANTENIMIENTO Y REPARACIONES DE AVIONES COMERCIALES EN EL AEROPUERTO DE VALENCIA		PLANO Nº		07	
PROPIETARIO		OSCAR CATALAN JARQUE					
DEPARTAMENTO		INGENIERÍA MECÁNICA Y CONSTRUCCIÓN		MÉTODO DE REPRESENTACIÓN			
ESCALA	UNIDAD	PLANO					
1:200	Metro	FACHADAS LATERALES					
FECHA							
ABRIL 2018							

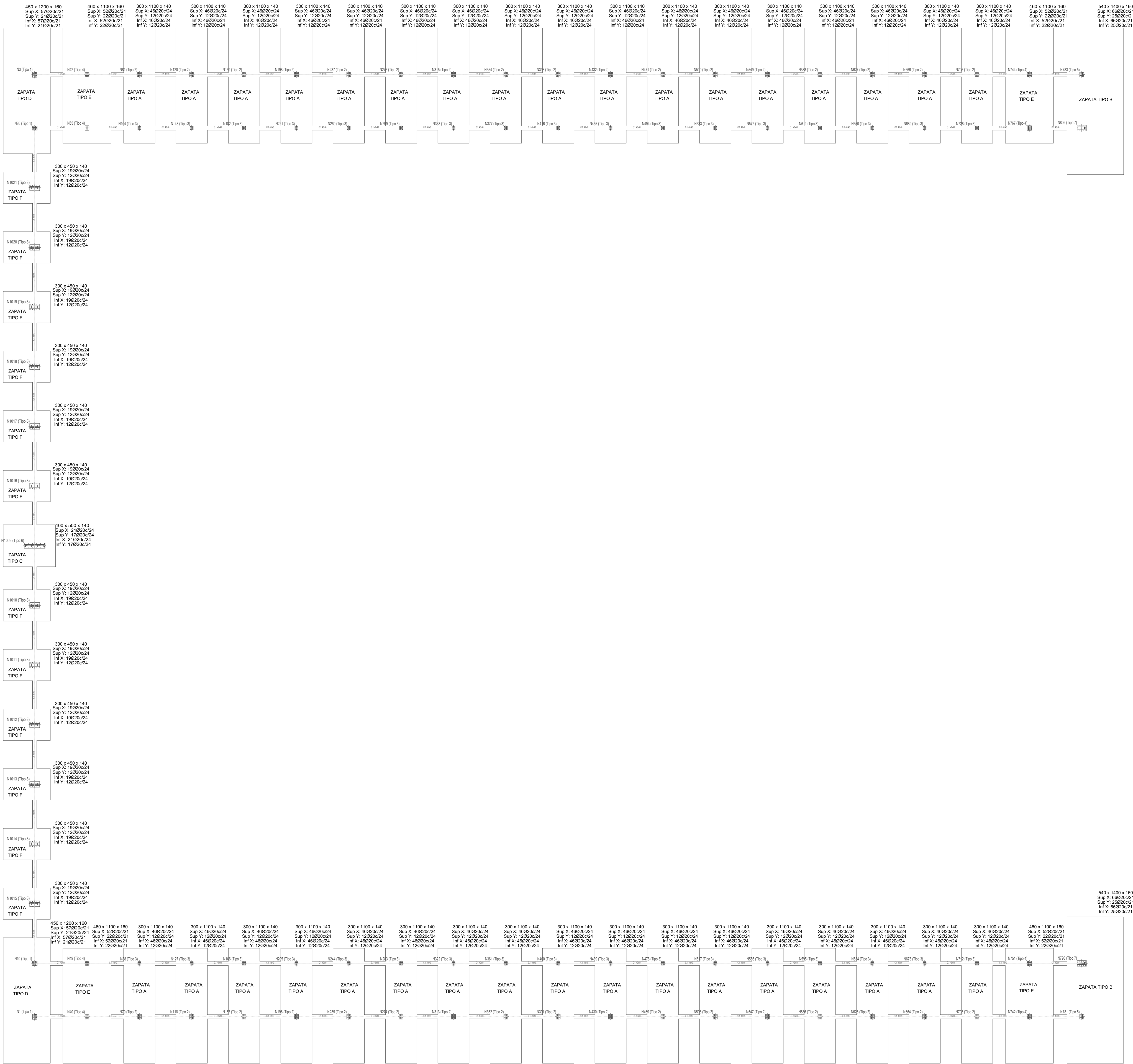


TÍTULO PROYECTO CONSTRUCTIVO DE UN HANGAR PARA MANTENIMIENTO Y REPARACIONES DE AVIONES COMERCIALES EN EL AEROPUERTO DE VALENCIA		PLANO Nº
PROPIETARIO OSCAR CATALAN JARQUE		08
DEPARTAMENTO INGENIERIA MECANICA Y CONSTRUCCION		MÉTODO DE REPRESENTACIÓN
ESCALA 1:200	UNIDAD Metro	CUBIERTA SUPERIOR
FECHA ABRIL 2018		

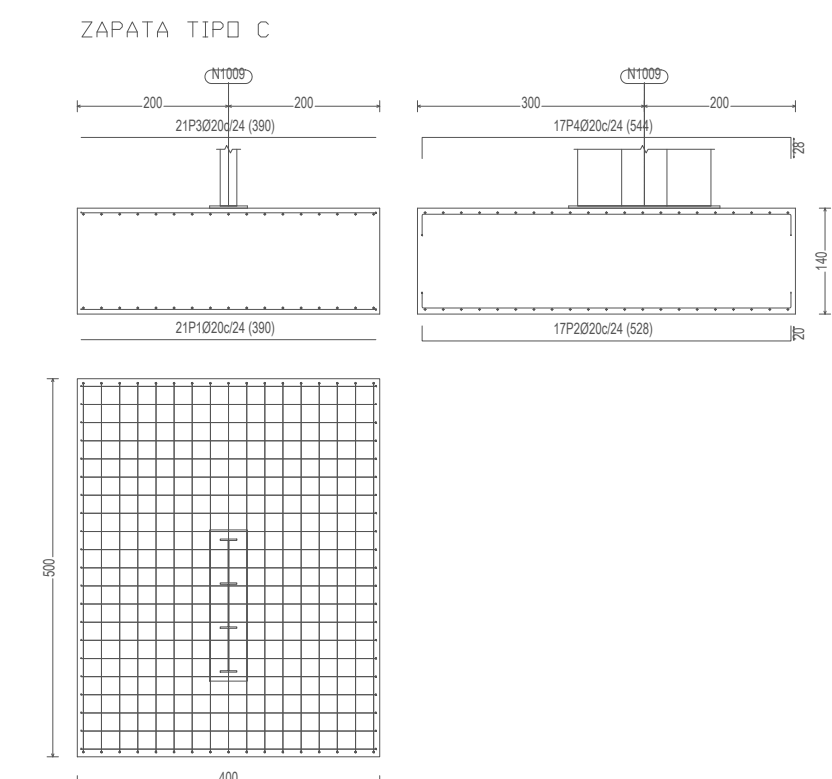
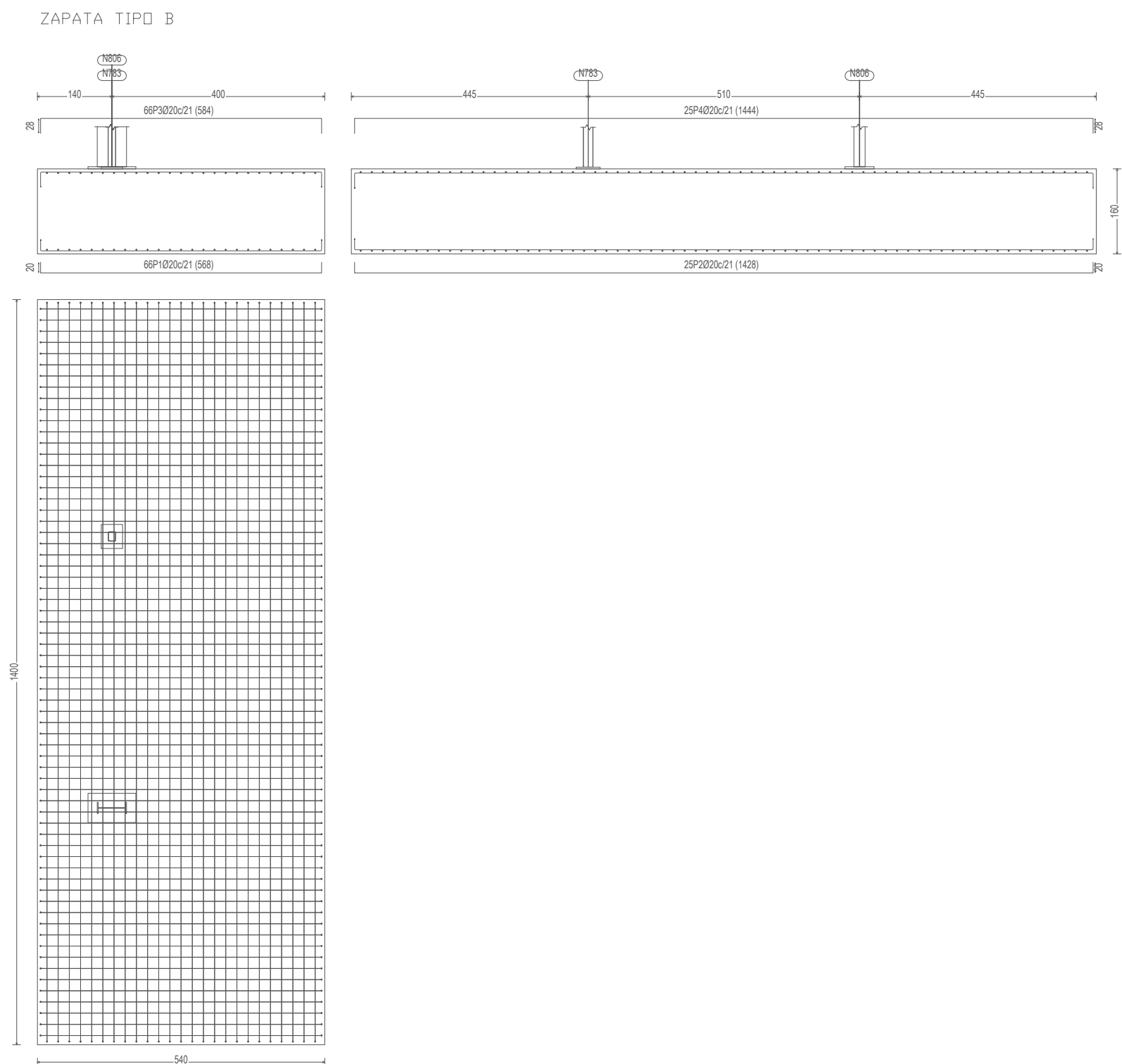
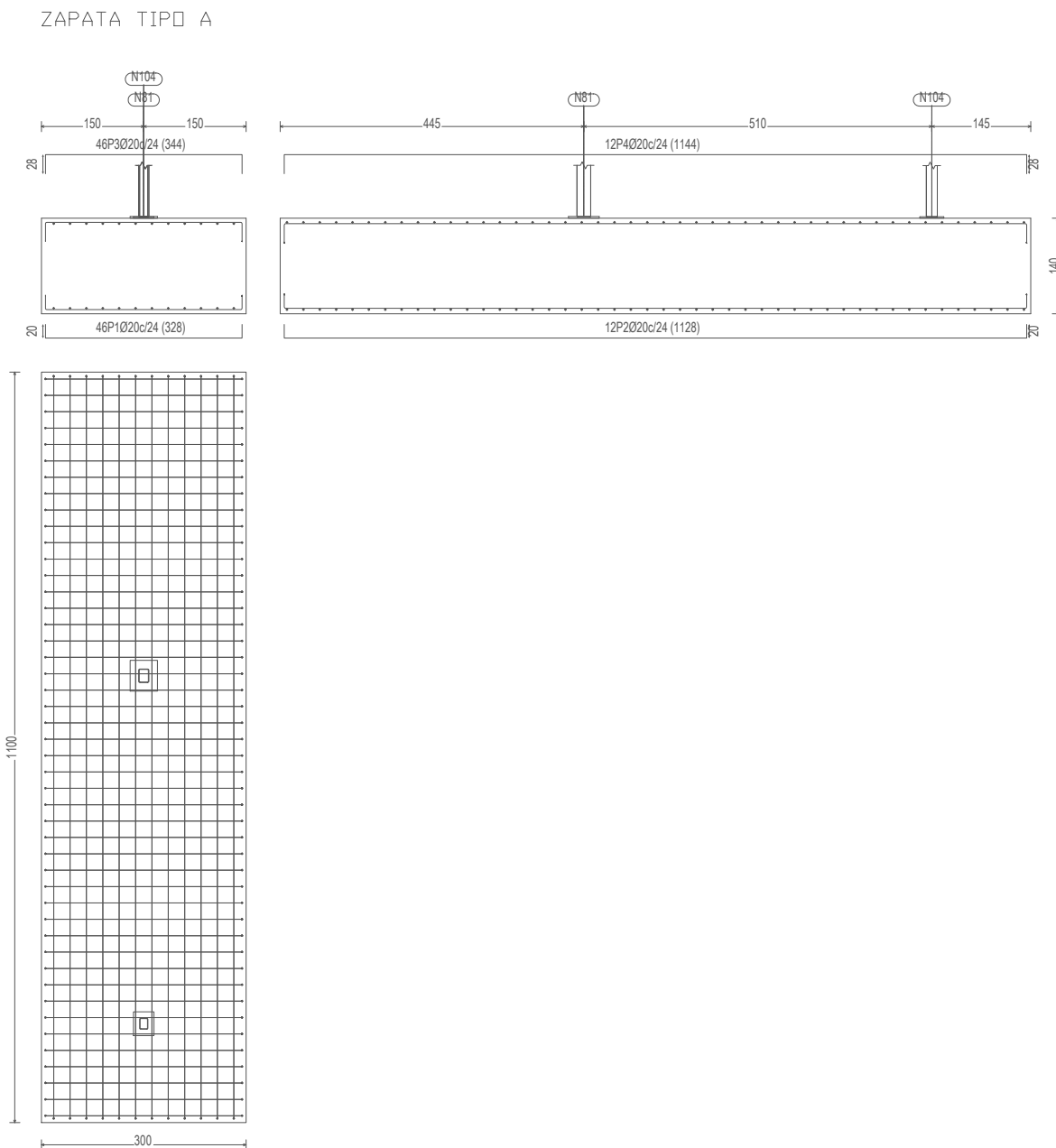




TÍTULO PROYECTO CONSTRUCTIVO DE UN HANGAR PARA MANTENIMIENTO Y REPARACIONES DE AVIONES COMERCIALES EN EL AEROPUERTO DE VALENCIA		PLANO Nº
PROPIETARIO OSCAR CATALAN JARQUE		09
DEPARTAMENTO INGENIERIA MECANICA Y CONSTRUCCIÓN		MÉTODO DE REPRESENTACIÓN
ESCALA UNIDAD 1:200	PLANO	
FECHA ABRIL 2018	CUBIERTA INFERIOR	



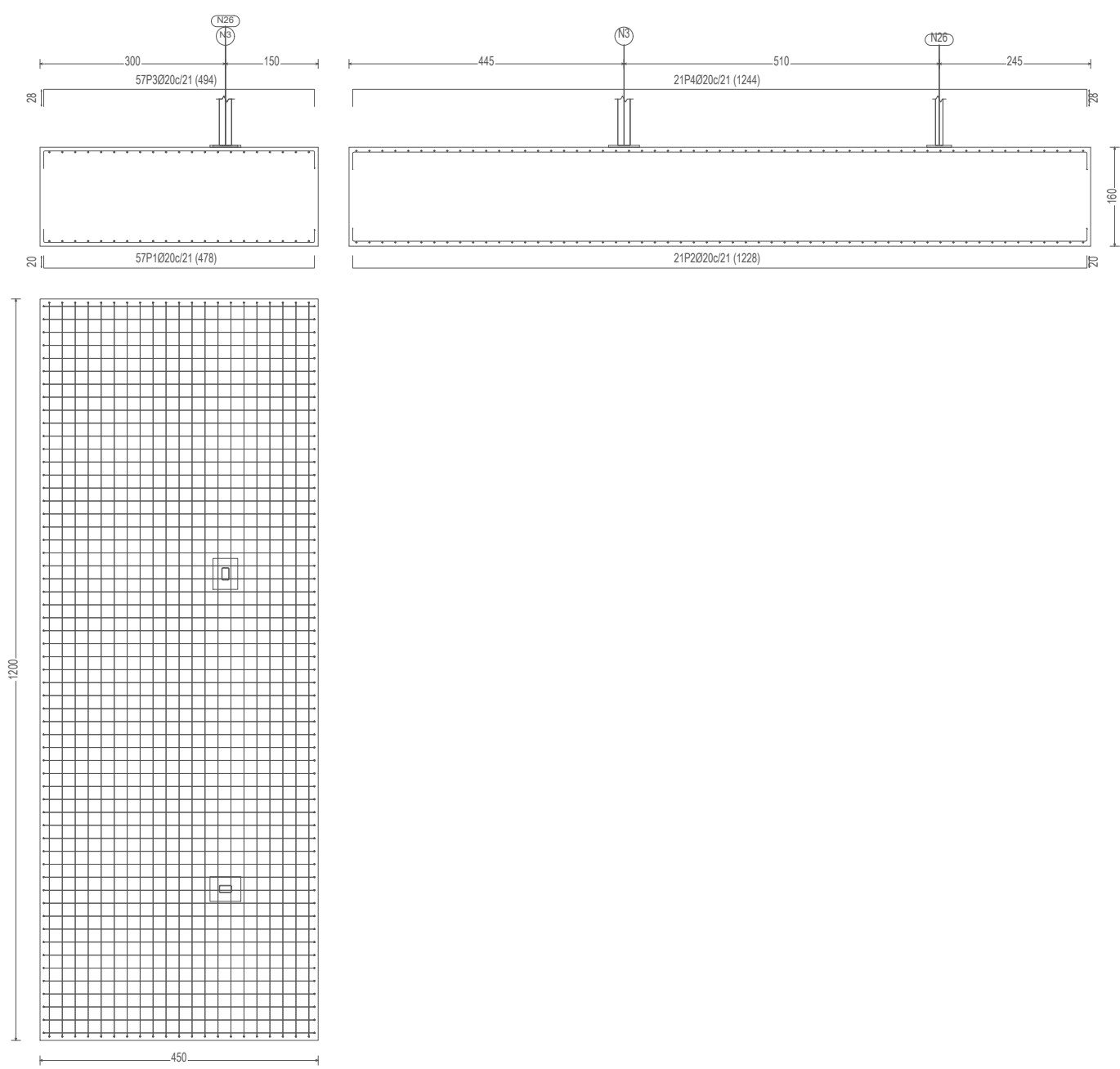
TÍTULO PROYECTO CONSTRUCTIVO DE UN HANGAR PARA MANTENIMIENTO Y REPARACIONES DE AVIONES COMERCIALES EN EL AEROPUERTO DE VALENCIA		PLANO Nº
PROPIETARIO OSCAR CATALAN JARQUE		10
DEPARTAMENTO INGENIERIA MECANICA Y CONSTRUCCIÓN		MÉTODO DE REPRESENTACIÓN
ESCALA	UNIDAD	PLANO CIMENTACIÓN
1:200	cm	
FECHA ABRIL 2018		



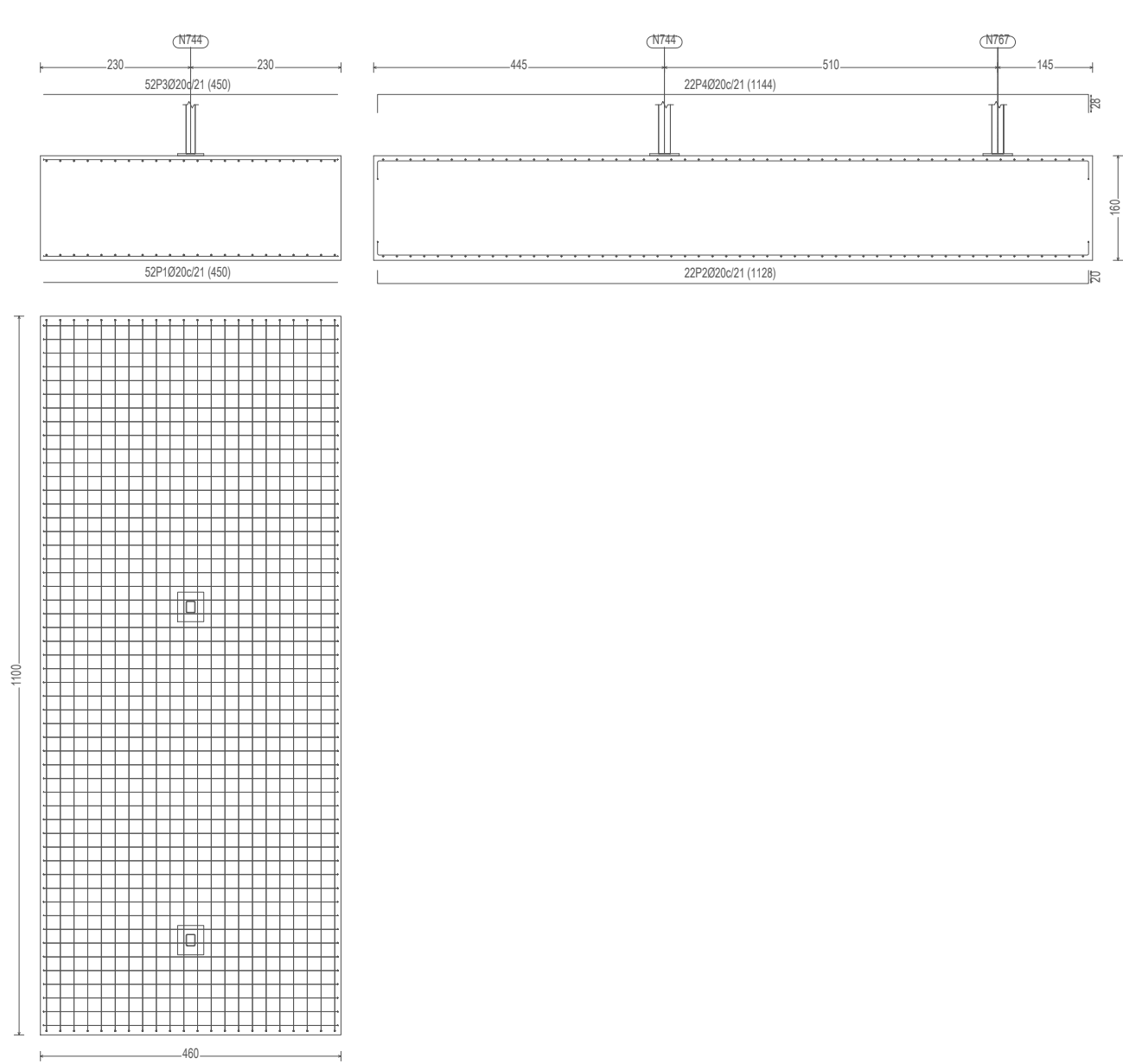
CUADRO DE ELEMENTOS DE CIMENTACIÓN						
Referencias	Dimensiones (cm)	Canto (cm)	Armado inf. X	Armado inf. Y	Armado sup. X	Armado sup. Y
ZAPATA TIPO A	300x1100	140	46Ø20c/24	12Ø20c/24	46Ø20c/24	12Ø20c/24
ZAPATA TIPO B	540x1400	160	66Ø20c/21	25Ø20c/21	66Ø20c/21	25Ø20c/21
ZAPATA TIPO C	400x500	140	21Ø20c/24	17Ø20c/24	21Ø20c/24	17Ø20c/24

TÍTULO PROYECTO CONSTRUCTIVO DE UN HANGAR PARA MANTENIMIENTO Y REPARACIONES DE AVIONES COMERCIALES EN EL AEROPUERTO DE VALENCIA			PLANO Nº 11
PROPIETARIO OSCAR CATALAN JARQUE			MÉTODO DE REPRESENTACIÓN
DEPARTAMENTO INGENIERÍA MECÁNICA Y CONSTRUCCIÓN			
ESCALA 1:100	UNIDAD cm	PLANO ZAPATAS (1)	
FECHA ABRIL 2018			

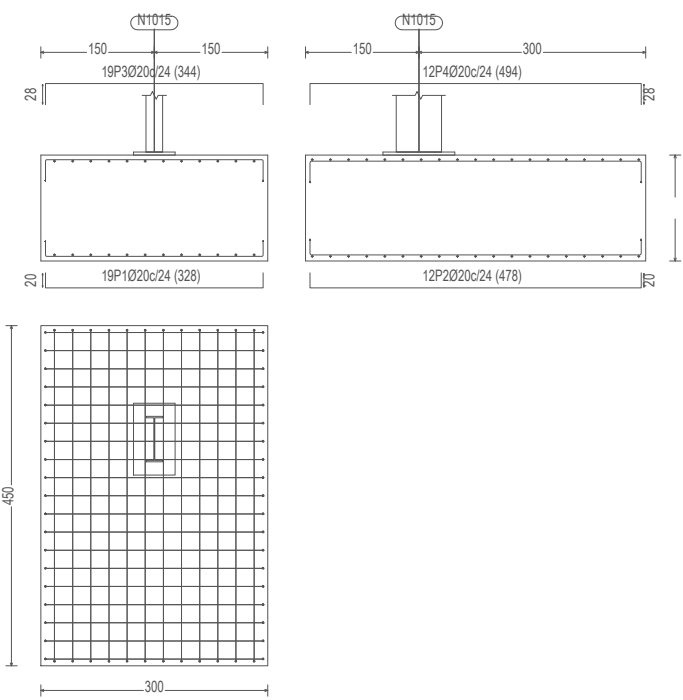
ZAPATA TIPO D



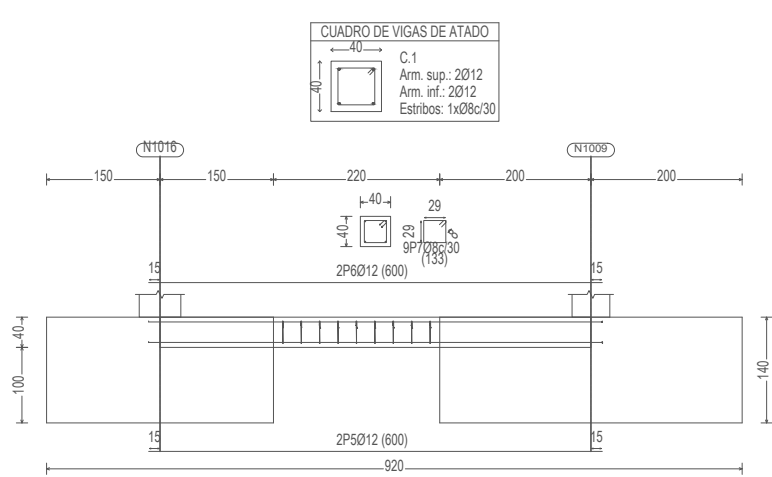
ZAPATA TIPO E



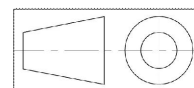
ZAPATA TIPO F

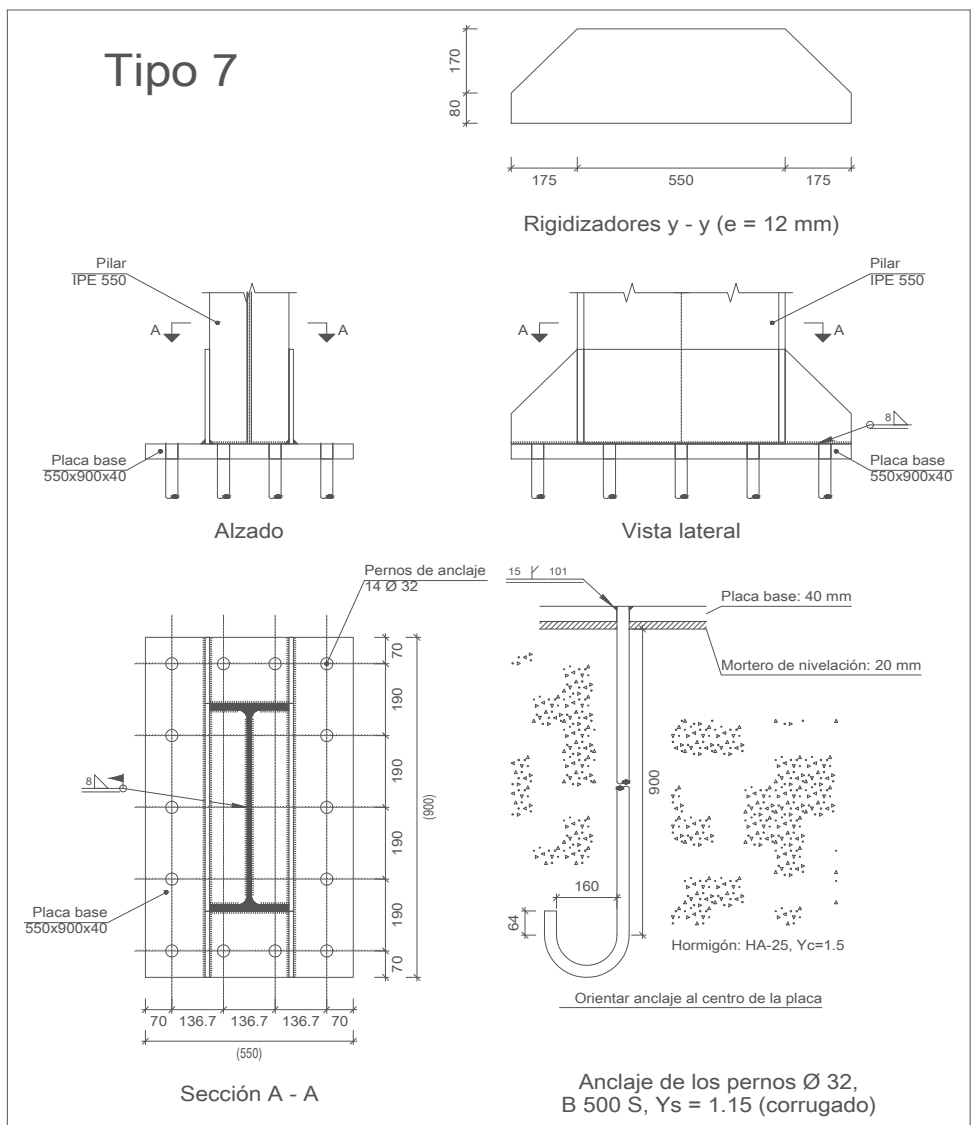
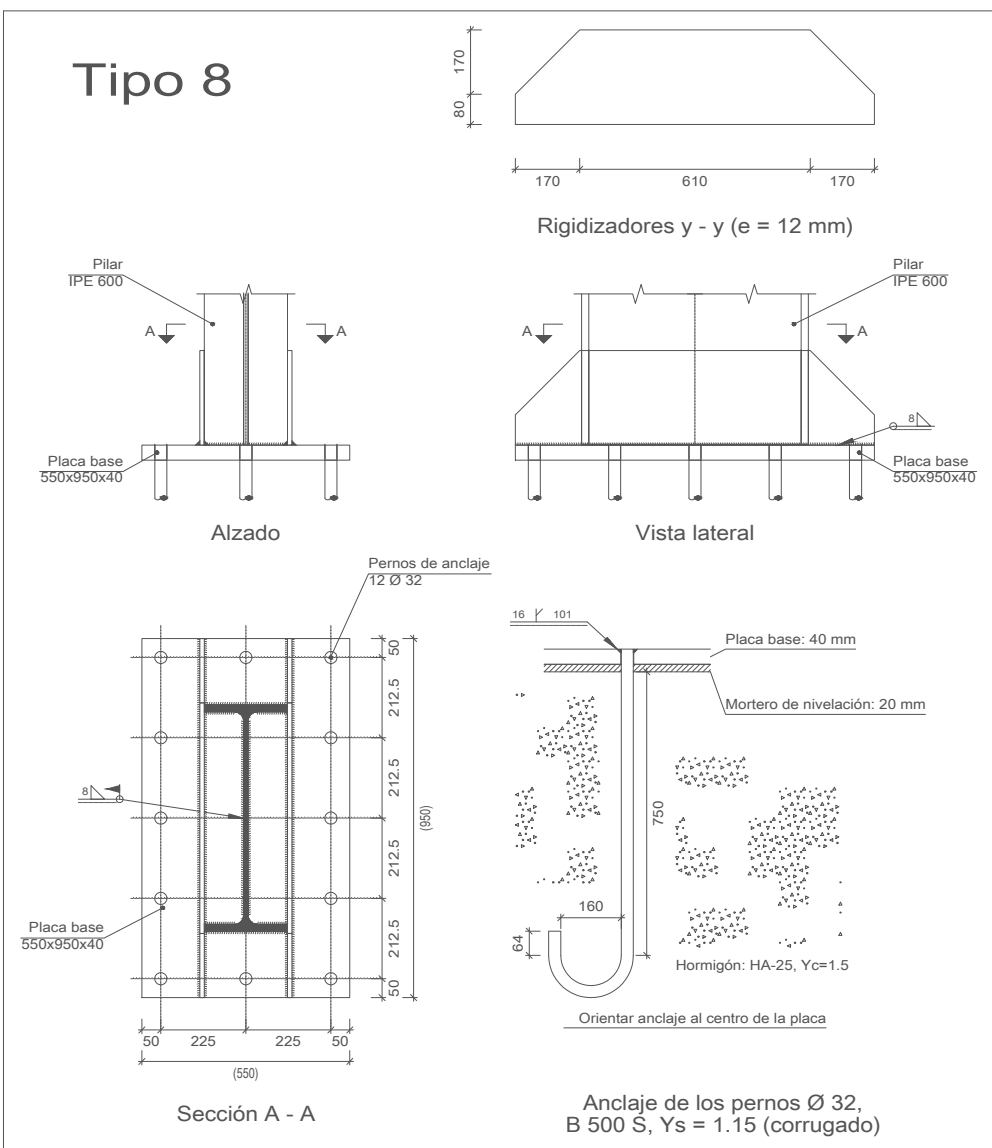
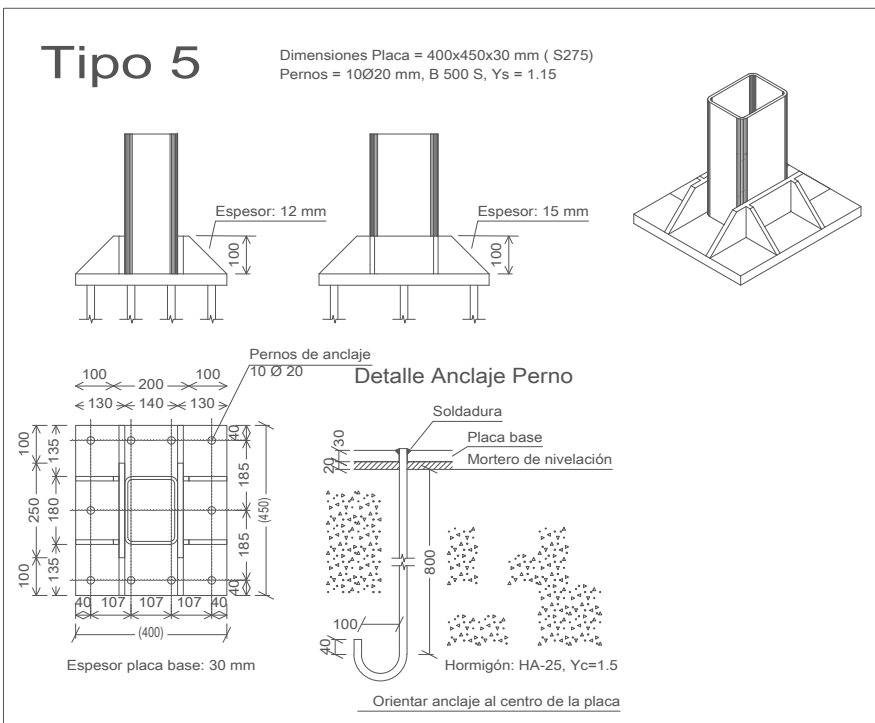
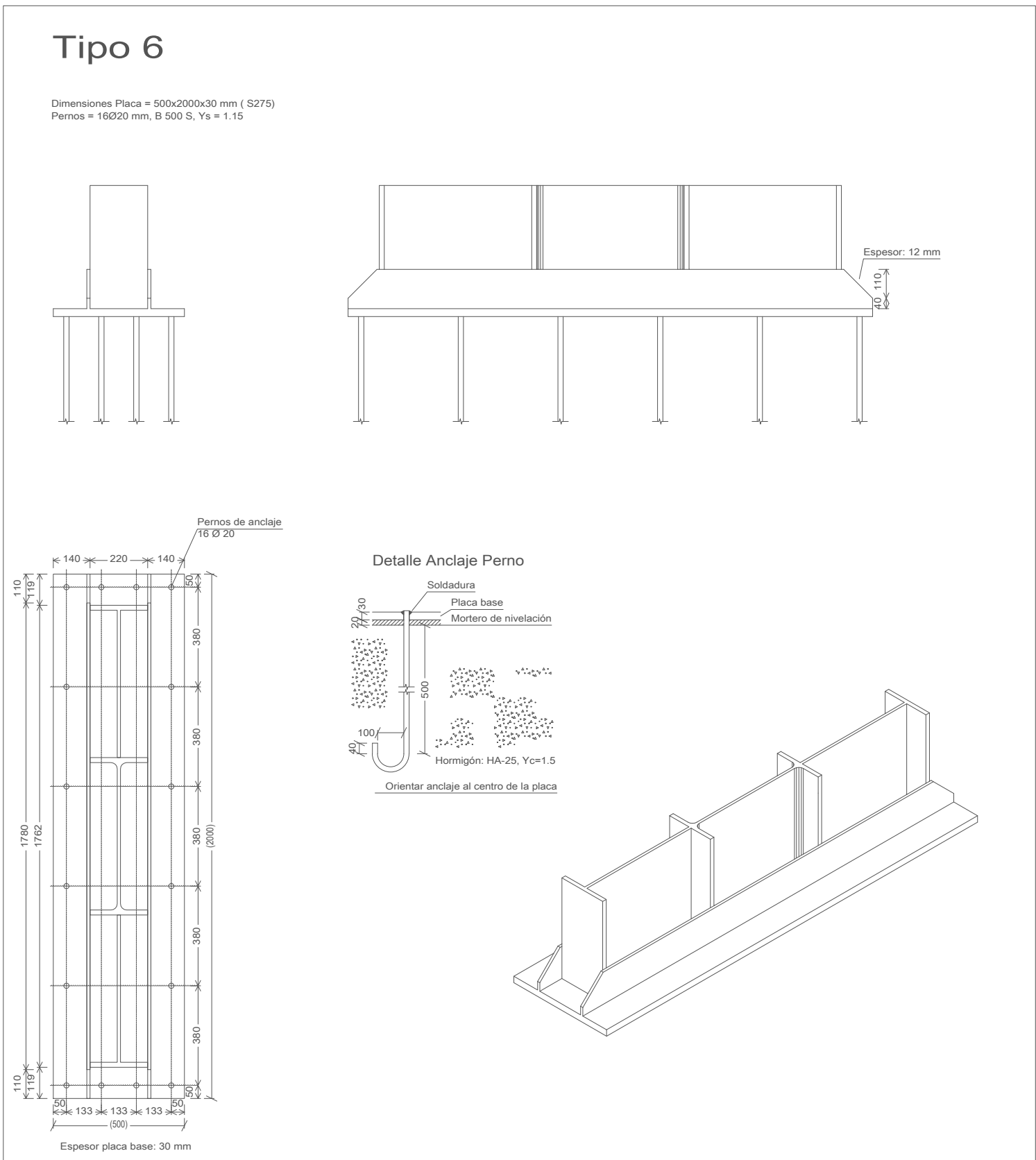
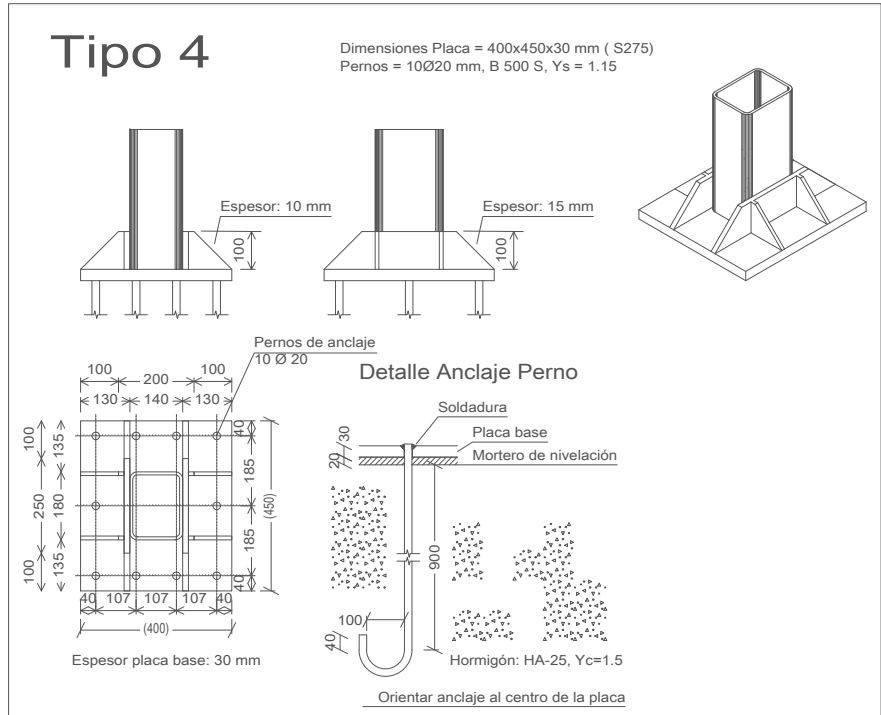
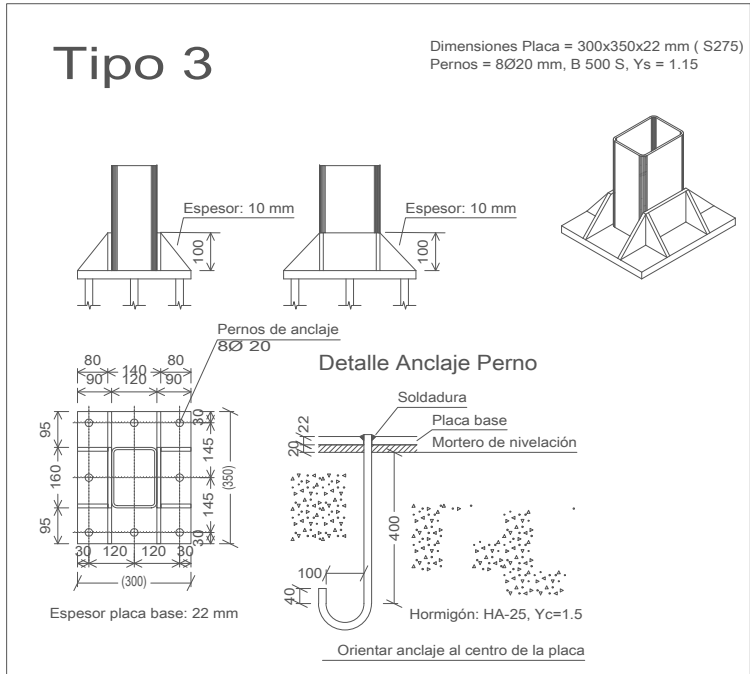
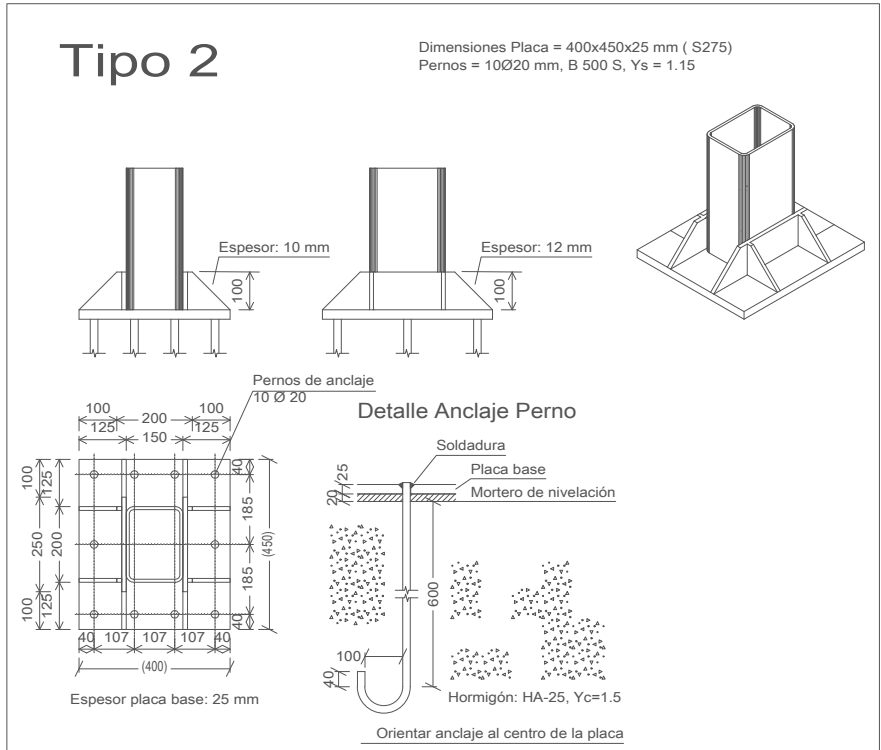
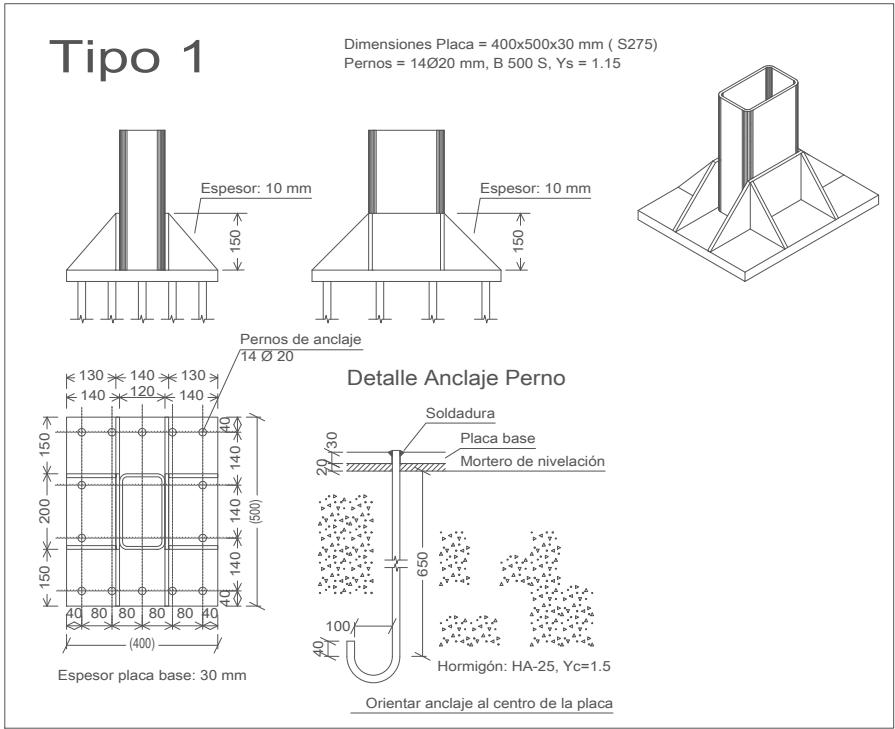


VIGA DE ATADO TIPO



CUADRO DE ELEMENTOS DE CIMENTACIÓN						
Referencias	Dimensiones (cm)	Canto (cm)	Armado inf. X	Armado inf. Y	Armado sup. X	Armado sup. Y
ZAPATA TIPO D	450x1200	160	57Ø20c/21	21Ø20c/21	57Ø20c/21	21Ø20c/21
ZAPATA TIPO E	460x1100	160	52Ø20c/21	22Ø20c/21	52Ø20c/21	22Ø20c/21
ZAPATA TIPO F	300x450	140	19Ø20c/24	12Ø20c/24	19Ø20c/24	12Ø20c/24

TÍTULO PROYECTO CONSTRUCTIVO DE UN HANGAR PARA MANTENIMIENTO Y REPARACIONES DE AVIONES COMERCIALES EN EL AEROPUERTO DE VALENCIA			PLANO Nº 12	
PROPIETARIO OSCAR CATALAN JARQUE			MÉTODO DE REPRESENTACIÓN 	
DEPARTAMENTO INGENIERÍA MECÁNICA Y CONSTRUCCIÓN				
ESCALA 1:100	UNIDAD cm	PLANO ZAPATAS (2)		
FECHA ABRIL 2018				



TÍTULO PROYECTO CONSTRUCTIVO DE UN HANGAR PARA
MANTENIMIENTO Y REPARACIONES DE AVIONES COMERCIALES
EN EL AEROPUERTO DE VALENCIA

PROPIETARIO OSCAR CATALAN JARQUE

DEPARTAMENTO INGENIERÍA MECÁNICA Y CONSTRUCCIÓN

ESCALA UNIDAD
1:20 mm

FECHA
ABRIL 2018

PLANO
PLACAS DE ANCLAJE

PLANO Nº

13

MÉTODO DE
REPRESENTACIÓN

